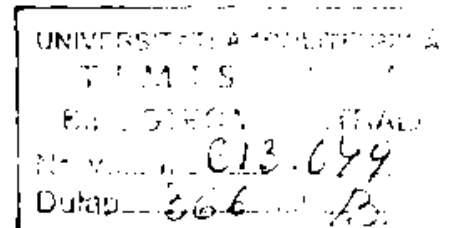


UNIVERSITATEA "POLITEHNICA" TIMIȘOARA  
FACULTATEA DE AUTOMATICĂ ȘI CALCULATOARE

**CONTRIBUȚII LA  
STABILIZAREA ȘI REGLAREA SISTEMELOR CU  
SUSTENTAȚIE ELECTROMAGNETICĂ**

- TEZĂ DE DOCTORAT -



ing. **ALEXANDRU R. TRICA**

BIBLIOTECA CENTRALĂ  
UNIVERSITATEA "POLITEHNICA"  
TIMIȘOARA

Conducător științific:  
Prof.dr.ing. **TOMA LEONIDA DRAGOMIR**

- 1997 -

## CUVÂNT ÎNAINTE

*In ultimele 7 luni, perioadă în care am scris teza de doctorat, am avut bucuria de a mă reîntâlni cu un subiect de care m-am ocupat o mare parte a carierei mele profesionale: sistemele cu sustentație electromagnetică. Scrierea acestei lucrări mi-a redeseptat amintirile legate de laboratorul de Reglatoare Automate unde am făcut calcule interminabile de funcții de transfer, proiectare de compensatoare și estimatoare de stare, unde am conceput scheme electronice pentru sisteme de reglare, traductoare și comenzi de chopper, amintiri legate de laboratorul de Mașini Electrice în care am văzut pentru prima oară o "roată magnetică" sistemată stabil și robust, amintiri legate de stadionul din spatele Facultății de Electrotehnică unde era amplasată cabina MAGNIBUS-ului și calea de glisare de 150 m, unde în acel 24 decembrie 1985 am reușit pentru prima oară, în timp ce afară ninge și eram îmbrăcați în haine groase, să ținem levitat electromagnetic un vehicul de 4 tone și unde în vara lui 1986 am fost primul "vatman" al vehiculului pe pernă magnetică MAGNIBUS-01, amintiri legate de laboratorul de Sisteme Electromecanice în care un motor electric se rotea la o turație neatinsă până atunci în Facultatea de Electrotehnică, 30000 rpm fără contact mecanic, fără frecare.*

*Toate acestea nu ar fi fost posibile fără participarea directă, continuă și tenace a prof.dr.ing. Ioan Boldea și prof.dr.ing. Toma Leonida Dragomir. Proaspăt inginer, influența celor doi profesori asupra personalității mele profesionale este certă și nu știu căruia ar trebui să-i mulțumesc mai mult pentru ceea ce sunt astăzi.*

*Lucrarea de față este în același timp o sinteză a anilor de activitate în domeniul sistemelor cu sustentație electromagnetică cât și o nouă abordare a stabilizării și reglării acestor sisteme, în contextul progresului tehnologic atât în domeniul echipamentelor de calcul numeric cât și a electronicii de putere. Teza nu-și propune să fie încheie cercetările în domeniul levitației electromagnetice, ci mai degrabă să deschidă noi direcții de cercetare și experimentare. Din păcate, indiferent că ar fi vorba de un vehicul pe pernă magnetică sau de o mașină electrică cu lagăre cu sustentație electromagnetică, construcția unui model sau prototip este scumpă și nu se poate face fără sprijinul unei companii interesate într-un astfel de produs. De aceea pe tot parcursul tezei am încercat să subliniez aplicabilitatea practică a metodelor prezentate atât din punct de vedere al implementării cât și al costului. Modelul de laborator propus în lucrare este un sistem simplu și testin dar adecvat testării algoritmilor atât pentru sisteme cu un electromagnet și un grad de libertate cât și a celui cu doi electromagneți și un grad de libertate.*

*Doresc să mulțumesc în mod deosebit prof.dr.ing. Toma Leonida Dragomir pentru sprijinul acordat nu numai în lunile de scriere a tezei și în anii de concepere a ei, ci încă de la începutul colaborării noastre, pentru observațiile întotdeauna benefice pentru calitatea lucrării, pentru atenția cu care a citit întregul material, pentru pasiunea pe care mi-a insuflat-o spre aprofundarea reglării automate.*

*Doresc să mulțumesc apoi prof.dr.ing. Ioan Boldea pentru posibilitatea oferită de a lucra la MAGNIBUS și la lagărul cu sustentație electromagnetică, pentru toți anii de colaborare și pentru îndemnul și încurajările de la ultima noastră întâlnire din octombrie 1996.*

*Prof.dr.ing. Nicolae Budișan îi mulțumesc pentru sfaturile utile, discuțiile lungi, aprecierile și criticile aduse pe parcursul anilor.*

*Pentru entuziasmul său continuu legat de lagărele cu sustentație electromagnetică, nestins chiar și acum după ani de la încheierea oficială a proiectului, pentru discuțiile aprinse și constructive avute, îi mulțumesc prietenului ing. Gabriel Schulhoff.*

*Prietenului și colegului de mai bine de 20 de ani ing. Mihail Stern îi datorez mulțumiri pentru discuțiile avute în decursul anilor în mai toate subiectele tehnice pe care le-am abordat și în ultimele luni în special, pentru sprijinul tehnic și moral în redactarea tezei.*

*Nu am cîvinte să mulțumesc părinților mei pentru grija pe care au avut-o și o au pentru mine, pentru educația pe care mi-au dat-o. Legătura sufletească dintre noi nu poate fi învinsă de nici un ocean.*

*Sofiei Lia și fiului meu Alex trebuie să le mulțumesc în mod deosebit pentru răbdarea de care au dat dovadă în special în aceste luni de lucru susținut, pentru faptul că m-am neglijat așa de mult. Înțelegerea lui Lia pentru întreaga mea activitate profesională este neprețuită și nelimitată. Lui Alex îi mulțumesc și pentru ajutorul pe care mi l-a dat în redactarea unor desene din teză.*

*Toronto, iunie 1997*

# CUPRINS

## CAPITOLUL 1

1. Introducere	1.1
----------------	-----

## CAPITOLUL 2

2. Modelarea sistemelor cu sustentație magnetică.	2.1
<b>2.1 Modelarea matematică a sistemului cu un electromagnet și un grad de libertate (S1E1GL)</b>	2.1
2.1.1 Analiza S1E1GL	2.1
2.1.2 Linearizarea ecuațiilor S1E1GL	2.4
2.1.2.1 Obținerea formelor canonice	2.4
2.1.2.2 Analiza coeficienților modelului liniar pentru un sistem neperturbat, în funcție de punctul de liniarizare	2.7
2.1.2.3 Definirea și determinarea unui punct de optim pentru liniarizare	2.9
2.1.3 Modele matematice intrare-stare-ieșire	2.11
2.1.3.1 Stabilirea modelelor matematice intrare-stare-ieșire	2.11
2.1.3.2 Analiza valorilor parametrilor MM-ISI în funcție de punctul de funcționare staționară	2.14
2.1.4 Compararea modelelor liniare pe stare cu modelul matematic neliniar prin intermediul răspunsului indicial	2.15
2.1.5 Caracteristicile de pulsație ale modelului liniar	2.16
2.1.6 Sisteme exogene asociate mărimilor perturbatoare și modelele extinse ale S1E1G	2.17
2.1.6.1 Sisteme exogene asociate mărimii $F_{ext}$	2.18
2.1.6.2 Sisteme exogene asociate mărimii $z_s$	2.18
2.1.6.3 S1E1G extins	2.20
2.1.6.4 Vibrații, șocuri, rezonanță, zgomot	2.20
2.1.7 Discretizarea modelului extins al S1E1G	2.21
<b>2.2 Modelarea matematică a sistemului cu doi electromagneți și un grad de libertate (S2E1GL)</b>	2.23
2.2.1 Modelul matematic neliniar al S2E1GL	2.23
2.2.2 Linearizarea S2E1GL și stabilirea modelului matematic intrare-stare-ieșire	2.26
2.2.3 Caracterizarea în domeniul pulsațiilor a S2E1GL	2.30
2.2.4 Descrierea modelului de laborator utilizat în studiul S2E1GL	2.31
<b>2.3 Modelarea sistemului cu 10 electromagneți și 5 grade de libertate</b>	2.35
2.3.1 Dezvoltarea modelului S10E5GL	2.35
2.3.2 Analiza efectului giroscopic	2.45
<b>2.4 Concluzii</b>	2.46

## ANEXA 2.1.

A2.1. Analiza coeficienților modelelor liniarizate ale S1E1G	A2.1.1
A2.1.1 Cazul unui electromagnet cu forță portantă mare	A2.1.1

**A2.1.2 Cazul unui electromagnet cu forță portantă redusă** \_\_\_\_\_ A2.1.4

## **ANEXA 2.2**

**A2.2. Determinarea unui punct de liniarizare cvasi-optimum pentru minimizarea erorii la funcționarea în afara punctului de liniarizare considerat** \_\_\_\_\_ A2.2.1

## **ANEXA 2.3**

**A2.3. Variația coeficienților din modelele matematice ale S1E1G în funcție de întrefierul de liniarizare** \_\_\_\_\_ A2.3.1

## **ANEXA 2.4**

**A2.4. Compararea răspunsului sistemului neliniar cu cele ale sistemelor liniarizate pe baza răspunsului indicial** \_\_\_\_\_ A2.4.1

## **ANEXA 2.5**

**A2.5. Caracteristicile de pulsație ale S1E1G** \_\_\_\_\_ A2.5.1

## **ANEXA 2.6**

**A2.6. Determinarea funcțiilor originale ale funcțiilor raționale de variabilă complexă "s" din imaginea Laplace a funcției de tranziție (2.71)** \_\_\_\_\_ A2.6.1

## **CAPITOLUL 3**

**3. Metode de stabilizare și reglare a sistemelor cu sustentație electromagnetică** \_\_\_\_\_ 3.1

**3.1 Prezentarea metodelor de reglare utilizate în stabilizarea și reglarea sistemelor cu sustentație electromagnetică** \_\_\_\_\_ 3.1

**3.2 Reglarea după stare a S1E1GL** \_\_\_\_\_ 3.1

**3.3 S1E1GL funcționând în regim alunecător.** \_\_\_\_\_ 3.9

**3.3.1 Funcționarea în regim alunecător.** \_\_\_\_\_ 3.9

**3.3.2 Proiectarea sistemelor cu structură variabilă, monovariabile la intrare.** \_\_\_\_\_ 3.11

**3.3.3 Funcționarea sistemului cu un electromagnet și un grad de libertate (S1E1G) în regim alunecător.** \_\_\_\_\_ 3.17

**3.3.3.1 Alegerea modelului matematic** \_\_\_\_\_ 3.17

**3.3.3.2 Proiectarea SRA a S1E1GL funcționând în regim alunecător** \_\_\_\_\_ 3.18

**3.3.3.2.1 Comanda cu structură variabilă de tip proporțional** \_\_\_\_\_ 3.19

**3.3.3.2.2 Comanda cu structură variabilă de tip proporțional pentru sistemul perturbat, cu răspuns oscilant amortizat.** \_\_\_\_\_ 3.24

**3.3.3.2.3 Comanda hipozitională cu regulator cu structură variabilă** \_\_\_\_\_ 3.26

**3.3.3.2.4 Comanda cu structură variabilă cu acțiune de tip proporțional în vecinătatea lui  $\sigma(x,t) = 0$**  \_\_\_\_\_ 3.27

**3.3.3.2.5 Comanda cu structură variabilă cu compensator de stare în vecinătatea lui  $\sigma(x,t) = 0$**  \_\_\_\_\_ 3.30

**3.3.3.2.6 Comanda cu structură variabilă cu acțiune de tip PI în vecinătatea lui  $\sigma(x,t) = 0$**  \_\_\_\_\_ 3.30

<b>3.4 Rejecția perturbației <math>\tilde{z}_x</math></b>	<b>3.34</b>
3.4.1 Eliminarea perturbației $\tilde{z}_x$ din ecuațiile de stare ale procesului, prin utilizarea variabilei de stare $\tilde{z}_y$	3.35
3.4.2 Sistem de reglare în cascadă cu buclă interioară de curent	3.36
<b>3.5 Concluzii asupra reglării în domeniul continuu a S1E1GL</b>	<b>3.41</b>
<b>3.6 Reglarea numerică a S1E1GL</b>	<b>3.43</b>
3.6.1 Reglarea numerică a S1E1GL funcționând în regim alunecător, cu element PI la ieșire	3.44
3.6.2 Reglarea numerică a S1E1GL cu buclă de curent analogică.	3.49
3.6.3 Concluzii legate de reglarea numerică a S1E1GL	3.53
<b>3.7 Reglarea numerică a S2E1GL</b>	<b>3.54</b>
<b>3.8 Concluzii</b>	<b>3.66</b>

## ANEXA 3.1

<b>A3.1. Analiza locului rădăcinilor pentru sistemul de reglare automată a S1E1GL discret.</b>	<b>A3.1.1</b>
<b>A3.1.1 Sistem discret funcționând în regim alunecător cu funcționala de stare de ordinul 3</b>	<b>A3.1.1</b>
<b>A3.1.2 Sistem discret funcționând în regim alunecător cu funcționala de stare de ordinul 2</b>	<b>A.3.1.8</b>

## ANEXA 3.2

<b>A3.2. Analiza locului rădăcinilor pentru sistemul de reglare automată a S2E1GL discret.</b>	<b>A3.2.1</b>
--	---------------

## CAPITOLUL 4

<b>4. Metode pentru estimarea stării sistemelor cu sustentație electromagnetică</b>	<b>4.1</b>
<b>4.1 Enunțarea problemei</b>	<b>4.1</b>
<b>4.2 Estimatoare de stare</b>	<b>4.2</b>
4.2.1 Estimatoare de stare liniare	4.2
4.2.2 Filtre Kalman	4.7
4.2.3 Estimatoare cu funcționare în regim alunecător	4.11
4.2.3.1 Preliminarii	4.11
4.2.3.2 Estimator de stare de ordin complet.	4.15
4.2.3.3 Estimator de $F_x$ de ordin redus.	4.16
4.2.3.4 Estimator de stare de ordin redus	4.18
4.2.3.5 Estimator de funcțională liniară de stare	4.19
<b>4.3 Estimatoare de stare utilizate pentru sistemele cu sustentație electromagnetică</b>	<b>4.20</b>

4.3.1 Estimatoare de stare liniare _____	4.20
4.3.1.1 Estimarea stării _____	4.20
4.3.1.2 Estimarea perturbațiilor deterministe _____	4.27
4.3.2 Estimatoare Kalman _____	4.28
4.3.3 Estimatoare cu funcționare în regim alunecător _____	4.30
4.3.3.1 Estimator de stare de ordin complet funcționând în regim alunecător _____	4.30
4.3.3.2 Discretizarea estimatorului de stare de ordin complet funcționând în regim alunecător _____	4.35
4.3.3.3 Estimator de stare de ordin redus, discret, funcționând în regim alunecător _____	4.38
<b>4.4 Concluzii legate de estimarea stării sistemelor cu sustentație electromagnetică.</b> _____	<b>4.41</b>

## CAPITOLUL 5

<b>5. Implementarea reguletoarelor pentru sistemele cu sustentație electromagnetică</b> _____	<b>5.1</b>
<b>5.1 Implementarea sistemelor de reglare continue</b> _____	<b>5.1</b>
5.1.1 Sistem de reglare continuu cu compensator după stare _____	5.1
5.1.2 Sistem de reglare continuu cu funcționare în regim alunecător, cu buclă interioară de curent _____	5.4
<b>5.2 Implementarea sistemelor de reglare discrete</b> _____	<b>5.10</b>
5.2.1 Sistem de reglare numeric pentru modelul de laborator _____	5.10
5.2.2 Sistem de reglare numerică pentru o axă a unui lagăr magnetic _____	5.12

### ANEXA 5.1

A5.1. Chopper în două cadrane cu IGBT-uri _____	A5.1.1
---	--------

### ANEXA 5.2

A5.2.1. Chopper în două cadrane cu buclă interioară de curent _____	A5.2.1
---	--------

### ANEXA 5.3

A5.3. Programele pentru subrutinele de reglare numerică _____	A5.3.1
<b>A5.3.1 Program pentru reglarea numerică cu regulator cu structură variabilă și estimator de stare de ordinul 2</b> _____	<b>A5.3.1</b>
<b>A5.3.2 Program pentru reglarea numerică cu regulator și estimator de stare cu structură variabilă.</b> _____	<b>A5.3.8</b>

### ANEXA 5.4

A5.4. Schema electronică a modelului de laborator _____	A5.4.1
---	--------

## CAPITOLUL 6

<b>6. Rezultate experimentale</b>	<b>6.1</b>
<b>6.1 Vehiculul cu sustentație electromagnetică, MAGNIBUS-01.</b>	<b>6.1</b>
<b>6.2 Motor de inducție de mare viteză cu lagăre cu sustentație electromagnetică</b>	<b>6.4</b>

## **CAPITOLUL 7**

<b>7. Concluzii</b>	<b>7.1</b>
<b>7.1 Rezultatele lucrării</b>	<b>7.1</b>
<b>7.2 Direcții de cercetare viitoare</b>	<b>7.10</b>



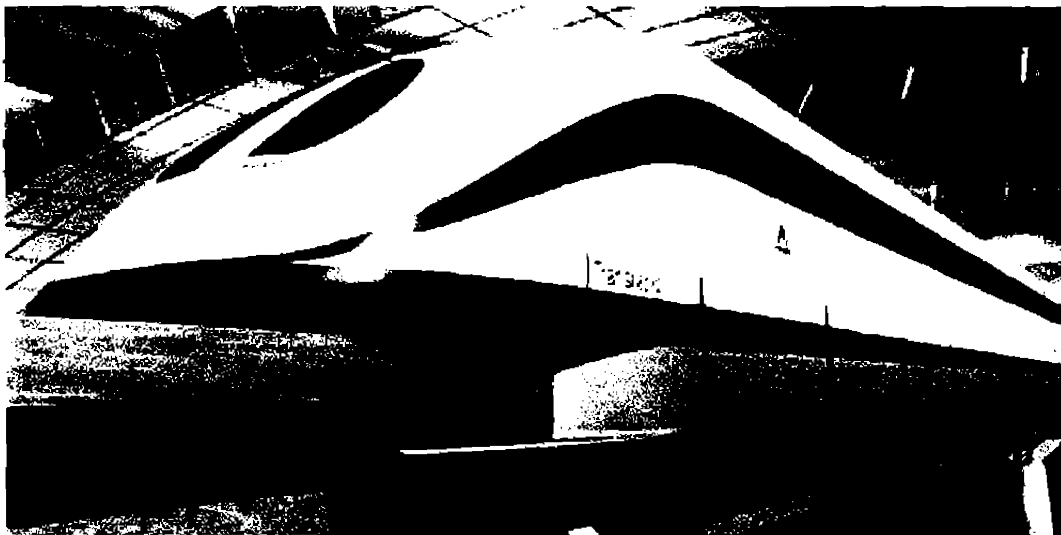
# CAPITOLUL 1

## 1. Introducere

Utilizarea forței electromagnetice pentru înfrîngerea atracției gravitaționale datează cel puțin de la începutul secolului XX: în 1912 ideea este patentată de Graemingen și experimentată pe la mijlocul anilor 1930 de către Kemper. În timp aplicațiile sustentației electromagnetice s-au extins în cele mai diverse domenii ale tehnicii, de la mijloace de transport pînă în laboratoarele medicale: vehicule cu sustentație electromagnetică, lagăre electromagnetice, mese de lucru stabile în medii cu vibrații puternice, benzi rulante în fabricarea unor produse în medii fără praf – fabricarea semiconductoarelor –, ghidaje pentru lansarea sateliților cosmici, sustentația plasmei în experimentele pentru fuziunea nucleară, suspendarea fără contact a unor obiecte în tuneluri aerodinamice, baterii electro-mecanice, accelerometru cu sustentație magnetică pentru monitorizarea vibrațiilor inimii și multe altele, lista putîndu-se întinde pe multe pagini. Literatura de specialitate abundă în lucrări dedicate acestui domeniu.

Probabil că cele mai spectaculoase aplicații sunt legate de transportul interurban cu vehicule pe pernă magnetică și de lagărele magnetice care revoluționează multe domenii de utilizare limitate, pînă acum, în special de frecări la turații foarte ridicate.

Cu titlu informativ se arată în figura 1 vehiculul pe pernă magnetică TRNASRAPID 08 al firmei Thyssen Transrapid System GmbH., prezentat la tîrgul de la Hanover în aprilie 1997.



**Figura 1.1. TRNASRAPID 08**

Acest vehicul are o lungime de 79.7 m, lățime de 3.7 m, greutate de 188.5 tone și este capabil de a dezvolta viteze pînă la 550 km/h, viteza de croazieră fiind la 500 km/h.

Probabil că rezultatele cele mai avansate în domeniul lagărelor electromagnetice s-au obținut la Universitatea ETH Zürich, împreună cu firma MECOS Traxler AG. Aceasta din urma a livrat în ultimii ani industriei, echipamente unice în care au fost aplicate lagărele cu sustentație electromagnetică. Tot ca titlu informativ, în figura 2 se prezintă un model experimental de ax cu lagăre electromagnetice al Universității ETH.

Aplicarea lagărelor cu sustentație electromagnetică la motoare electrice permite ridicarea turației acestora pînă la viteze de 200000 rpm, cu avantaje legate de durata de viață și costuri de întreținere certe.

O aplicație care a devenit actuală în ultimii ani, odată cu competiția marilor firme producătoare de autovehicule pentru livrarea către piață a primelor vehicule electrice, dar și pînă în prezent de mare interes pentru industria aeronautică o constituie așa numitele baterii electro-mecanice. Este vorba de o mașină electrică cu lagăre magnetice, cu inerție foarte mare. Mașina, pe post de motor este adusă la turații extrem

de ridicate, înmagazinând energie sub formă de energie cinetică. Apoi, ca generator, mașina poate furniza energie electrică în contul energiei cinetice înmagazinate [A1].

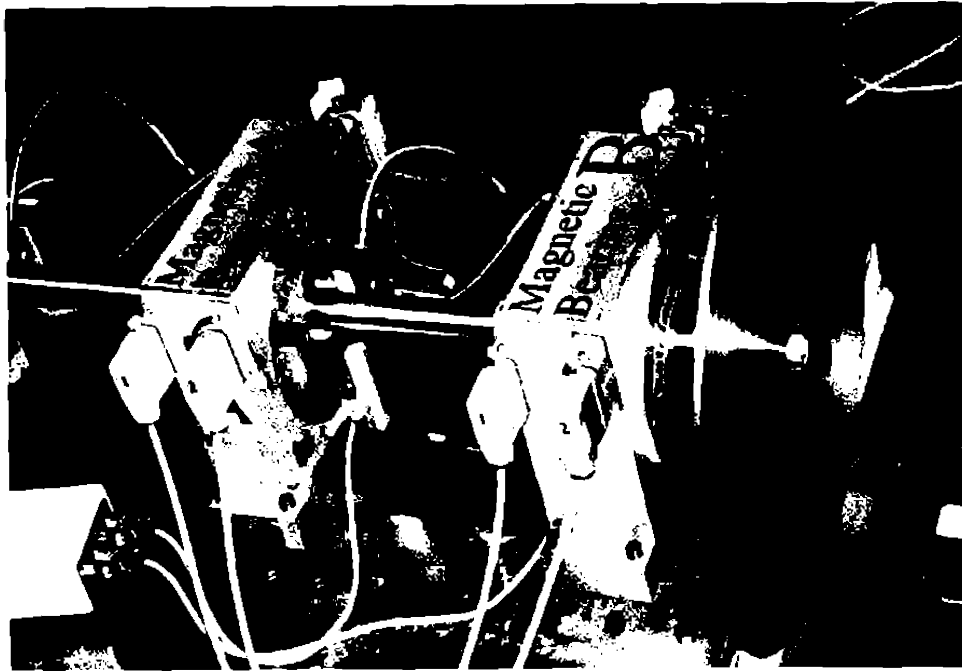


Figura 1.2. Model experimental de ax cu lagăre electromagnetice.

Subiectul sustentației electromagnetice a cunoscut în anii 70 și 80 un interes deosebit din partea cercetătorilor, interes care cunoaște o nouă creștere în ultimii doi ani. Astfel revista IEEE on Control Systems Technology dedică numărul din noiembrie 1996 integral lucrărilor care tratează această temă. Aplicațiile sistemelor cu sustentație electromagnetice sunt vaste și multe încă neexplorate. Se pot cita ca lucrări de referință [B2], [D4], [G2] și [J1] pentru vehiculele pe pernă magnetică și [L1] și [R1] pentru lagărele cu sustentație electromagnetice. Subiectul este însă foarte vast și fiecare lucrare tratează doar un anumit aspect al problemei în detaliu.

Autorul lucrării de față a avut preocupări legate de sustentația electromagnetică începând cu anul 1983, an în care a început colaborarea la proiectul de experimentare a unui vehicul cu sustentație electromagnetice la Institutul Politehnic din Timișoara. Pe o durată de aproape 8 ani, munca susținută deslășurată de întregul colectiv, a dat satisfacția membrilor săi de a vedea nu numai un vehicul de 4 tone, levitat complet parcurgând un traseu de 150 m, dar și un motor de inducție de 300 W cu lagăre cu sustentație electromagnetice rotit la turația de 30000 rpm. Rezultatele au fost concretizate și prin publicarea unui număr de lucrări la conferințe și în reviste de specialitate în România și străinătate și obținerea unor brevete de invenție. Astfel din totalul de 65 de titluri bibliografice consultate în această lucrare, 20 sunt contribuții ale autorului, ca unic autor sau coautor.

Teza de față conține în egală măsură rezultatele acestor ani de cercetare și experiență acumulată, cât și noi idei de stabilizare și reglare a sistemelor cu sustentație electromagnetice, bazate pe evoluția tehnologiei atât în domeniul sistemelor de control discrete cât și a electronicii de putere. Astfel sunt explorate posibilitățile de stabilizare și reglare a sistemelor cu sustentație electromagnetice utilizând cu precădere regimurile modal-alunecătoare. Deși regimurile alunecătoare au fost aplicate lagărelor cu sustentație electromagnetice, menționându-se în acest sens în special lucrarea [R1], literatura abordează fie doar un anumit aspect al problemei, fie doar o tratare pur teoretică fără posibilitatea de aplicare practică, fie un model de laborator foarte simplu.

Se apreciază că lucrarea de față aduce o contribuție literaturii de specialitate atât din punct de vedere al reglării și estimării sistemelor funcționând în regim alunecător în general, cât și printr-o descriere

detaliată a modelelor matematice ale sistemelor cu sustentație electromagnetică și prin modul de aplicare al regimurilor alunecătoare în stabilizarea și reglarea acestei clase de sisteme.

În mod natural lucrarea se partiționează în următoarele capitole

- Capitolul 1. **Introducere** - în care se prezintă motivația și obiectivele lucrării;
- Capitolul 2. **Modelarea sistemelor cu sustentație electromagnetică** - în care sunt analizate în detaliu modelarea sistemelor cu 1 electromagnet și 1 grad de libertate (S1E1GL), a sistemelor cu 2 electromagneți și 1 grad de libertate (S2E1GL) și a sistemelor cu 10 electromagneți și 5 grade de libertate (S10E5GL);
- Capitolul 3. **Metode de stabilizare și reglare a sistemelor cu sustentație electromagnetică** - în care se discută modalități de stabilizare și reglare atât pentru sistemele continue cât și pentru sistemele discrete de conducere a S1E1GL și a S2E1GL funcționând în regim alunecător;
- Capitolul 4. **Metode pentru estimarea stării sistemelor cu sustentație electromagnetică** - în care se studiază posibilități de estimare a stării în condițiile măsurărilor limitate din proces, prezentându-se atât estimatoare devenite clasice, de tip linear Luenberger și filtre Kalman cât și estimatoare cu funcționarea în regim alunecător;
- Capitolul 5. **Implementarea reguletoarelor pentru sistemele cu sustentație electromagnetică** - în care se prezintă atât probleme ale implementării continue și discrete cât și scheme electronice practice și implementări software ale algoritmilor de reglare;
- Capitolul 6. **Rezultate experimentale** - legate de cele două aplicații la care autorul a lucrat: vehiculul pe pernă magnetică și mașina asincronă cu lăgăre cu sustentație electromagnetică;
- Capitolul 7. **Concluzii** - în care se face o analiză a rezultatelor lucrării și se propun câteva direcții de cercetare viitoare.

## CAPITOLUL 2

### 2. Modelarea sistemelor cu sustentație magnetică.

#### 2.1 Modelarea matematică a sistemului cu un electromagnet și un grad de libertate (S1E1GL)

##### 2.1.1 Analiza S1E1GL

Primul proces cu sustentație electromagnetică considerat în lucrare corespunde sistemului fizic din figură:

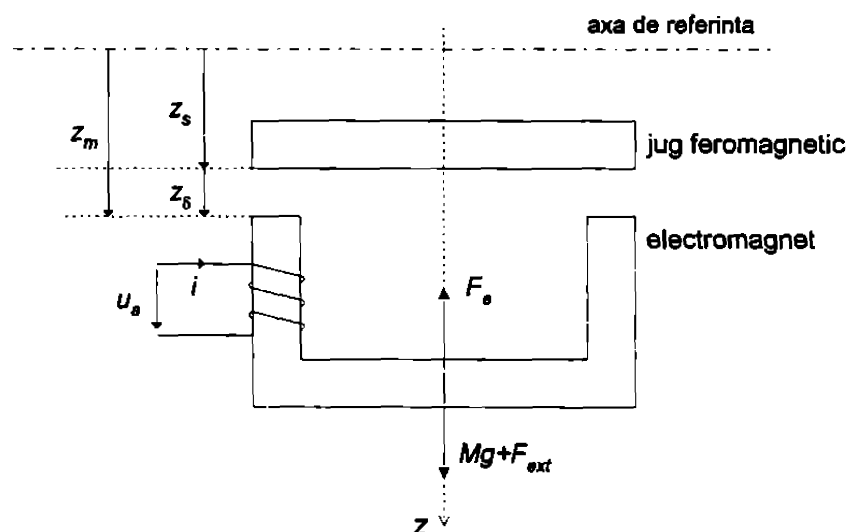


Figura 2.1. Sistemul cu 1 electromagnet și 1 grad de libertate

Un electromagnet mobil a cărui înfășurare este alimentată la o tensiune  $u_a$  și este străbătută de un curent  $i$ , dezvoltă o forță electromagnetică  $F_e$  care trebuie să compenseze greutatea electromagnetului  $Mg$  și forțele exterioare  $F_{ext}$  ce acționează asupra lui astfel încât să-și păstreze poziția, la o distanță  $z_f$  impusă, de jugul feromagnetic fix. Pentru cazul considerat se presupune că suprafața jugului aflată la distanța  $z_f$  de electromagnet se află într-un plan orizontal, paralel cu axa de referință și la o distanță  $z_s$  arbitrară de ea. Mișcarea electromagnetului are un singur grad de libertate, pe verticală (după axa  $z$ ). Poziția absolută a electromagnetului față de axa de referință este notată cu  $z_m$ .

În regim dinamic, ecuațiile care redau funcționarea ansamblului descris sunt:

$$\begin{aligned}
 u_o(t) &= R \cdot i(t) + \dot{\Psi}(t) \\
 \Psi(t) &= L(z_\delta(t), i(t)) \cdot i(t) \\
 F_c(t) &= - \left. \frac{\partial W_m(t)}{\partial z_\delta(t)} \right|_{i=\text{const}} \\
 W_m(t) &= \int_{t_0}^t \Psi(t) \cdot i(t) \cdot dt \\
 M \cdot \ddot{z}_m(t) &= -F_c(t) + M \cdot g + F_{ext}(t) \\
 z_m(t) &= z_s(t) + z_\delta(t)
 \end{aligned} \tag{2.1}$$

în care:

$R$  - este rezistența înfășurării electromagnetului a cărei variație în timp datorită încălzirii se neglijează,

$L$  - este inductanța electromagnetului dependentă de întrefier și curent,

$\Psi$  - este fluxul electromagnetic produs de curentul ce străbate electromagnetul,

$W_m$  - este energia electromagnetică înmagazinată în electromagnet.

Aceste ecuații descriu funcționarea unui sistem dinamic având ca mărimi de intrare tensiunea  $u_o$ , mărime de comandă și forța exterioară  $F_{ext}$  și întrefierul  $z_s$ , mărimi perturbatoare, iar ca mărime de ieșire întrefierul  $z_\delta$ .

Pentru a calcula distribuția spațială a fluxului electromagnetic și a stabili relații pentru inductanța  $L$ , ținând cont de diferite tipuri de material, de curbele de magnetizare ale acestora, de saturația miezului feromagnetic au fost efectuate numeroase studii [G2],[J1],[S1],[S2],[D4]. Practic, se constată că în situațiile reale, la o proiectare corectă a electromagnetului, când fenomenul de saturație nu apare, permeabilitatea magnetică nu variază cu curentul și inductanța se poate considera, cu o bună aproximație ca o funcție doar de valoarea momentană a întrefierului. Astfel, ecuațiile se pot scrie simplificat:

$$\begin{aligned}
 u_o(t) &= R \cdot i(t) + \dot{\Psi}(t) \\
 \Psi(t) &= L(z_\delta(t)) \cdot i(t) \\
 F_c(t) &= - \left. \frac{\partial W_m(t)}{\partial z_\delta(t)} \right|_{i=\text{const}} \\
 W_m(t) &= \frac{1}{2} \Psi(t) \cdot i(t) \\
 M \cdot \ddot{z}_m(t) &= -F_c(t) + M \cdot g + F_{ext}(t) \\
 z_m(t) &= z_s(t) + z_\delta(t)
 \end{aligned} \tag{2.2}$$

În ceea ce privește inductanța  $L(z_\delta)$ , s-au efectuat calcule laborioase care au dus la formule complexe, evident toate dependente de forma constructivă a electromagnetului. De exemplu, pentru un electromagnet în forma de U cu înfășurări pe ambele coloane, în [D4] s-a dedus expresia:

$$L(z_\delta) = \frac{N^2}{R_c} \left\{ 1 - \frac{2 \frac{R_j}{R_b} (\operatorname{ch} \rho - 1) R_l(z_\delta) + (R_j + R_l(z_\delta)) \operatorname{sh} \rho}{R_c \left[ \left( 1 + \frac{R_j}{R_b^2} R_l(z_\delta) \right) \operatorname{sh} \rho + \frac{R_j + R_l(z_\delta)}{R_b} \operatorname{ch} \rho \right]} \right\} \quad (2.3)$$

cu:

- $N$  - numărul de spire pe coloană,
- $R_c$  - reluctanța magnetică a coloanelor,
- $R_j$  - reluctanța magnetică a jugului,
- $R_l(z_\delta)$  - reluctanța magnetică a întrefierului,
- $R_b = (R_c R_\sigma)^{1/2}$
- $\rho = (R_c / R_\sigma)^{1/2}$
- $R_\sigma$  - reluctanța magnetică de dispersie.

Expresiile reluctanțelor de mai sus depind de dimensiunile magnetului și de materialul feromagnetic utilizat.

În cele mai multe lucrări din literatură, pentru inductanță se admite formula de aproximare [M3], [Y1], [Y2], [S2]:

$$L(z_\delta) = \frac{c}{z_\delta} \quad (2.4)$$

cu  $c$  o constantă dependentă de caracteristicile constructive ale electromagnetului (pătratul numărului de spire, suprafața străbănută de fluxul magnetic, permeabilitatea  $\mu_0$ ).

Această relație însă nu ține cont de dispersie și admite la întrefier nul o valoare a inductanței infinite. În situația specială a sistemelor cu susținere magnetică în care scopul controlului este generarea și menținerea unui întrefier, aceste aproximări sunt grosiere.

În lucrarea de față se propune pentru inductanță utilizarea relației:

$$L(z_\delta) = \frac{c}{z_\delta + z_0} + L_\infty \quad (2.5)$$

relație identică, din punctul de vedere al structurii ei, cu (2.3). Prin identificare se pot determina constantele  $c$ ,  $z_0$  și  $L_\infty$ .  $c$  cu semnificația din (2.4),  $z_0$  fiind o funcție de lungimile liniilor de câmp în miezul magnetului și în jugul electromagnetic raportate la permeabilitățile lor relative și  $L_\infty$ , fluxul de dispersie.

Avantajul utilizării unei astfel de relații constă în generalitatea ei: ea este valabilă pentru orice formă constructivă a electromagnetului, iar constantele se pot determina cu numai trei măsurări ale inductanței la întrefieruri diferite. Sigur că precizia determinării valorilor lui  $c$ ,  $z_0$  și  $L_\infty$  crește dacă se fac un număr de  $n$  măsurări la  $n$  întrefieruri diferite și se aplică o metodă de mediere a rezultatelor.

Un punct de echilibru cvasistaționar (cvasistaționar datorită instabilității sistemului în acel punct) este caracterizat de mărimile de intrare  $U_{d0}$ ,  $F_{ext0}$  și  $z_{s0}$ . Prin scrierea ecuațiilor de regim cvasistaționar se obține un sistem de ecuații neliniar dar compatibil și determinat, a cărui soluție este reprezentată de ansamblul tuturor celorlalte mărimi ale sistemului. Având în vedere această proprietate, pentru ca punctul de echilibru să aibe un caracter mai sugestiv, el se poate defini în continuare înlocuind tensiunea  $U_{d0}$  cu întrefierul  $z_{d0}$ . Se obține astfel punctul  $\Delta_0(z_{d0}, z_{s0}, F_{ext0})$ . Plecând de la această definiție, ecuațiile de regim cvasistaționar sunt:

$$\begin{aligned}
 U_{s0} &= R \cdot I_0 \\
 \Psi_0 &= L(z_{\delta 0}) \cdot I_0 \\
 F_{c0} &= -\frac{1}{2} \frac{dL(z_{\delta})}{dz_{\delta}} \Big|_{z_{\delta}=z_{\delta 0}} \cdot I_0^2 = -\frac{1}{2} \frac{d}{dz_{\delta}} \left[ \frac{1}{L(z_{\delta})} \right] \Big|_{z_{\delta}=z_{\delta 0}} \cdot \Psi_0^2 \\
 0 &= Mg - F_{r0} + F_{ext0} \\
 z_{m0} &= z_{r0} + z_{\delta 0}
 \end{aligned} \tag{2.6}$$

în care curentul  $I_0$

$$I_0 = \sqrt{\frac{2(Mg + F_{ext0})}{-\frac{dL(z_{\delta})}{dz_{\delta}} \Big|_{z_{\delta}=z_{\delta 0}}}} = (z_{\delta 0} + z_0) \sqrt{\frac{2}{c} (Mg + F_{ext0})} \tag{2.7}$$

s-a calculat pornind de la relațiile:

$$\begin{aligned}
 F_{r0} &= Mg + F_{ext0} \\
 F_{c0} &= -\frac{1}{2} \frac{dL(z_{\delta})}{dz_{\delta}} \Big|_{z_{\delta}=z_{\delta 0}} \cdot I_0^2
 \end{aligned} \tag{2.8}$$

iar din (2.5)

$$\frac{dL(z_{\delta})}{dz_{\delta}} = -\frac{c}{(z_{\delta} + z_0)^2} \tag{2.9}$$

Se observă în (2.7) variația liniară cu întrefierul a curentului necesar menținerii electromagnetului într-un punct cvasistaționar. De asemenea atât curentul cât și forța electromagnetică sunt independente în raport cu inductanța de dispersie.

## 2.1.2 Linearizarea ecuațiilor SIEIGL

### 2.1.2.1 Obținerea formelor canonice

Modelul matematic (2.2) fiind neliniar dar având toate mărimile continue și derivabile în raport cu timpul, poate fi ușor liniarizat aplicând dezvoltarea în serie Taylor în jurul unui punct de funcționare, cu neglijarea termenilor de ordin superior, începând cu cei de ordinul 2. Fiecare mărime variabilă în timp, se poate scrie ca sumă între valoarea ei în punctul considerat și variația față de aceasta.

Expresia fluxului din (2.2) permite eliminarea din sistem a uneia dintre cele trei variabile: flux, curent, și întrefier. În cele ce urmează se vor stabili doua modele, unul cu eliminarea fluxului și unul cu eliminarea curentului, modele care descriind același sistem sunt echivalente. În literatura de specialitate se regăsește doar modelul după curent, dar pornind de la lucrarea [M3], în care se arată influența pozitivă a unei bucle de flux într-un sistem de reglare a unui SIEIG, autorul a considerat necesar studiul mai detaliat al acestui aspect, începând cu modelarea sistemului [T5]

Pentru cazul modelului cu eliminarea fluxului, liniarizarea conduce la sistemul de ecuații:

$$\begin{aligned}
 U_{a0} + \Delta u_a(t) &= R \cdot I_0 + R \cdot \Delta i(t) + \left. \frac{\partial \Psi(t)}{\partial i(t)} \right|_{\Delta_0} \cdot \Delta i(t) + \left. \frac{\partial \Psi(t)}{\partial z_\delta(t)} \right|_{\Delta_0} \cdot \Delta z_\delta(t) \\
 \Psi_0 + \Delta \psi(t) &= L(z_{\delta 0}) \cdot I_0 + L(z_\delta) \Big|_{\Delta_0} \cdot \Delta i(t) + \left. \frac{dL(z_\delta)}{dz_\delta} \right|_{\Delta_0} \cdot \Delta z_\delta(t) \\
 F_{e0} + \Delta f_e(t) &= -\frac{1}{2} \left. \frac{dL(z_\delta)}{dz_\delta} \right|_{z_\delta=z_{\delta 0}} \cdot I_0^2 + \left( -\left. \frac{dL(z_\delta)}{dz_\delta} \right|_{\Delta_0} \right) \cdot \Delta i(t) + \\
 &\quad + \left( -\frac{1}{2} \left. \frac{d^2 L(z_\delta)}{dz_\delta^2} \right|_{\Delta_0} \right) \cdot \Delta z_\delta(t) \\
 M \cdot \Delta \ddot{z}_m(t) &= -F_{e0} - \Delta f_e(t) + Mg + F_{ext0} + \Delta f_{ext}(t) \\
 z_{m0} + \Delta z_m(t) &= z_{s0} + \Delta z_s(t) + z_{\delta 0} + \Delta z_\delta(t)
 \end{aligned} \tag{2.10}$$

Tinând cont de relațiile de regim staționar (2.6) și înlocuind în prima ecuație fluxul din a doua ecuație după derivare, se obțin ecuațiile valabile în jurul punctului de funcționare  $\Delta_0$ :

$$\begin{aligned}
 \Delta u_a(t) &= R \cdot \Delta i(t) + \alpha'_i \cdot \Delta \dot{i}(t) + \alpha'_\delta \cdot \Delta \dot{z}_\delta(t) \\
 \Delta f_e(t) &= \beta'_i \cdot \Delta i(t) + \beta'_\delta \cdot \Delta z_\delta(t) \\
 M \cdot \Delta \ddot{z}_m(t) &= -\Delta f_e(t) + \Delta f_{ext}(t) \\
 \Delta z_m(t) &= \Delta z_s(t) + \Delta z_\delta(t)
 \end{aligned} \tag{2.11}$$

în care:

$$\begin{aligned}
 \alpha'_i &= \left. \frac{\partial \Psi}{\partial i} \right|_{\Delta_0} = L(z_\delta), & \alpha'_\delta &= \left. \frac{\partial \Psi}{\partial z_\delta} \right|_{\Delta_0} = \left. \frac{dL(z_\delta)}{dz_\delta} \right|_{z_\delta=z_{\delta 0}} \cdot I_0 \\
 \beta'_i &= \left. \frac{\partial F_e}{\partial i} \right|_{\Delta_0} = -\left. \frac{dL(z_\delta)}{dz_\delta} \right|_{z_\delta=z_{\delta 0}} \cdot I_0, & \beta'_\delta &= \left. \frac{\partial F_e}{\partial z_\delta} \right|_{\Delta_0} = -\frac{1}{2} \left. \frac{d^2 L(z_\delta)}{dz_\delta^2} \right|_{z_\delta=z_{\delta 0}} \cdot I_0^2
 \end{aligned} \tag{2.12}$$

Tinând cont de expresia (2.5) a inductanței, se vede ușor că cei patru coeficienți au o variație neliniară în raport cu întrefierul. Mai mult, trei dintre coeficienți variază și cu curentul, ultimul cu pătratul acestuia.

Schema bloc informațională a modelului liniar dedus este:

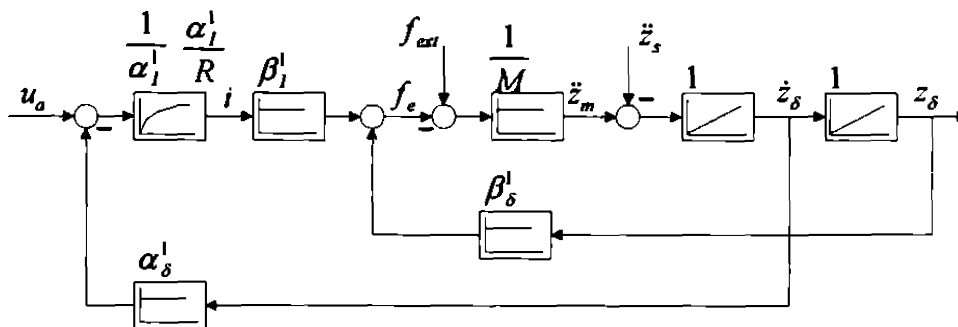


Figura 2.2. Modelul liniar al SIEIGL cu eliminarea fluxului



Deși schema este construită pentru variații ale mărimilor sistemului în jurul unui punct de funcționare staționară  $\Delta_0$  ales, pentru a nu încălca figura s-a omis notația pentru variație  $\Delta$ , utilizată în relația (2.11), subînțelegându-se faptul că toate mărimile reprezintă variații.

Pentru procesul de reglare interesează mai puțin poziția SIEIG față de axa de referință, cât mai ales accelerația întregului sistem față de aceasta, motiv pentru care ultima ecuație din (2.11) a fost inclusă în schema bloc după derivarea ei de două ori.

În cazul modelului cu eliminarea curentului:

$$U_{a0} + \Delta u_a(t) = R \cdot \frac{\Psi_0}{L(z_{\delta 0})} + \frac{R}{L(z_{\delta 0})} \cdot \Delta \psi(t) + R \cdot \left. \frac{d}{dz_\delta} \frac{1}{L(z_\delta)} \right|_{z_\delta = z_{\delta 0}} \cdot \Psi_0 \cdot \Delta z_\delta(t) + \Delta \dot{\psi}(t)$$

$$I_0 + \Delta i(t) = \frac{\Psi_0}{L(z_{\delta 0})} + \frac{1}{L(z_{\delta 0})} \cdot \Delta \psi(t) + \left. \frac{d}{dz_\delta} \frac{1}{L(z_\delta)} \right|_{z_\delta = z_{\delta 0}} \cdot \Psi_0 \cdot \Delta z_\delta(t) \quad (2.13)$$

$$F_{r0} + \Delta f_r(t) = -\frac{1}{2} \cdot \left. \frac{d}{dz_\delta} L(z_\delta) \right|_{z_\delta = z_{\delta 0}} \cdot \frac{\Psi_0^2}{L(z_{\delta 0})^2} - \left. \frac{d}{dz_\delta} L(z_\delta) \right|_{z_\delta = z_{\delta 0}} \cdot \frac{\Psi_0}{L(z_{\delta 0})^2} \cdot \Delta \psi(t) +$$

$$\left[ -\frac{1}{2} \cdot \left. \frac{d^2}{dz_\delta^2} L(z_\delta) \right|_{z_\delta = z_{\delta 0}} \cdot \frac{\Psi_0^2}{L(z_{\delta 0})^2} + \left( \left. \frac{d}{dz_\delta} L(z_\delta) \right|_{z_\delta = z_{\delta 0}} \right)^2 \cdot \frac{\Psi_0^2}{L(z_{\delta 0})^3} \right] \cdot \Delta z_\delta(t)$$

$$M \cdot \Delta \ddot{z}_m(t) = -F_{e0} - \Delta f_r(t) + Mg + F_{ext0} + \Delta f_{ext}(t)$$

$$z_{m0} + \Delta z_m(t) = z_{r0} + \Delta z_s(t) + z_{\delta 0} + \Delta z_\delta(t)$$

Folosind, din nou, (2.6) se obține:

$$\begin{aligned} \Delta u_a(t) &= \alpha_\psi^2 \cdot \Delta \psi(t) + \Delta \dot{\psi}(t) + \alpha_\delta^2 \cdot \Delta z_\delta(t) \\ \Delta f_r(t) &= \beta_\psi^2 \cdot \Delta \psi(t) + \beta_\delta^2 \cdot \Delta z_\delta(t) \\ M \cdot \Delta \ddot{z}_m(t) &= -\Delta f_r(t) + \Delta f_{ext}(t) \\ \Delta z_m(t) &= \Delta z_s(t) + \Delta z_\delta(t) \end{aligned} \quad (2.14)$$

în care s-au făcut notațiile:

$$\begin{aligned} \alpha_\psi^2 &= \left. \frac{\partial i}{\partial \Psi} \right|_{\Psi_0} = \frac{R}{L(z_{\delta 0})} = \frac{1}{T(z_{\delta 0})} \\ \alpha_\delta^2 &= \left. \frac{\partial i}{\partial z_\delta} \right|_{\Psi_0} = R \left. \frac{d}{dz_\delta} \frac{1}{L(z_\delta)} \right|_{z_\delta = z_{\delta 0}} \cdot \Psi_0 = -R \left. \frac{dL(z_\delta)}{dz_\delta} \right|_{z_\delta = z_{\delta 0}} \cdot \frac{\Psi_0}{L(z_{\delta 0})^2} \\ \beta_\psi^2 &= \left. \frac{\partial F_r}{\partial \Psi} \right|_{\Psi_0} = -\left. \frac{dL(z_\delta)}{dz_\delta} \right|_{z_\delta = z_{\delta 0}} \cdot \frac{\Psi_0}{L(z_{\delta 0})^2} \\ \beta_\delta^2 &= \left. \frac{\partial F_r}{\partial z_\delta} \right|_{\Psi_0} = -\frac{1}{2} \cdot \left. \frac{d^2 L(z_\delta)}{dz_\delta^2} \right|_{z_\delta = z_{\delta 0}} \cdot \frac{\Psi_0^2}{L(z_{\delta 0})^2} + \left( \left. \frac{dL(z_\delta)}{dz_\delta} \right|_{z_\delta = z_{\delta 0}} \right)^2 \cdot \frac{\Psi_0^2}{L(z_{\delta 0})^3} \end{aligned} \quad (2.15)$$

Schema bloc corespunzătoare ecuațiilor (2.14) este următoarea

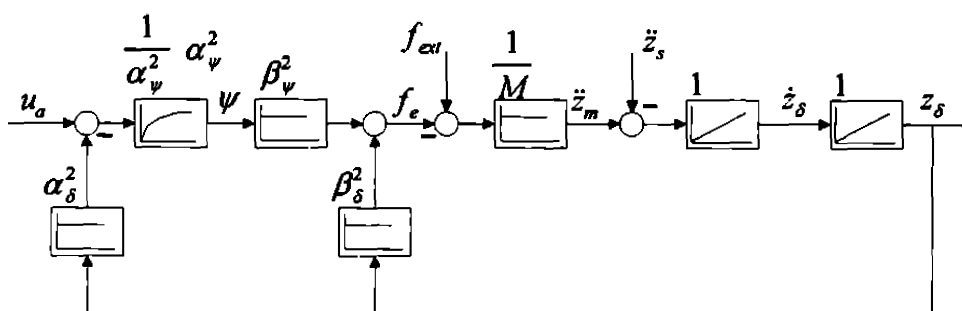


Figura 2.3. Modelul linear al SIEIGL cu eliminarea curentului

Formele canonice (2.11) și (2.14) ale modelului linear (ML-SIEIGL), prin modul în care au fost calculate sunt echivalente, ele descriind funcționarea aceluiași sistem în jurul punctului de funcționare dat  $\Delta_0$ .

### 2.1.2.2 Analiza coeficienților modelului linear pentru un sistem neperturbat, în funcție de punctul de liniarizare

Pentru procesul neperturbat, în regim staționar forța electromagnetică trebuie să compenseze exact greutatea sistemului  $F_e = Mg$ ; valorile corespunzătoare ale curentului și fluxului se pot calcula cu formulele:

$$I_0 = \sqrt{\frac{2Mg}{\left. \frac{dL(z_\delta)}{dz_\delta} \right|_{z_\delta = z_{\delta 0}}}} \quad \Psi_0 = \sqrt{\frac{2Mg \cdot L(z_\delta)^2}{\left. \frac{dL(z_\delta)}{dz_\delta} \right|_{z_\delta = z_{\delta 0}}}} \quad (2.16)$$

Tinând cont de relația (2.5) a inductanței, pentru coeficienții  $\alpha$  și  $\beta$  se obțin, după efectuarea calculului, expresiile:

$$\alpha_i^1 = \frac{c}{z_{\delta 0} + z_0} + L_\infty \quad \alpha_\delta^1 = -\frac{\sqrt{2Mg \cdot c}}{z_{\delta 0} + z_0} \quad (2.17)$$

$$\beta_i^1 = \frac{\sqrt{2Mg \cdot c}}{z_{\delta 0} + z_0} \quad \beta_\delta^1 = -\frac{2Mg}{z_{\delta 0} + z_0}$$

$$\alpha_v^2 = \frac{R \cdot (z_{\delta 0} + z_0)}{c + L_\infty (z_{\delta 0} + z_0)} \quad \alpha_\delta^2 = \frac{R\sqrt{2Mg \cdot c}}{c + L_\infty (z_{\delta 0} + z_0)} \quad (2.18)$$

$$\beta_\varphi^2 = \frac{\sqrt{2Mg \cdot c}}{c + L_\infty (z_{\delta 0} + z_0)} \quad \beta_\delta^2 = -\frac{2Mg \cdot L_\infty}{c + L_\infty (z_{\delta 0} + z_0)}$$

Se observă dependența neliniară a coeficienților  $\alpha$  și  $\beta$  ai modelului liniarizat de poziția de funcționare  $z_{\delta 0}$ , de greutatea susținută  $Mg$  și într-o măsură mai mică de rezistența electrică  $R$  a bobinajului electromagneticului.

Dependența acestor parametri de mărimile menționate se poate separa după modul în care ele acționează în timpul unei funcționări normale. Astfel, variația întrefierului în limite largi are loc doar în perioadele de pornire și oprire a sistemului, atunci când dintr-o poziție de repaus se comandă aducerea magnetului în punctul nominal de funcționare, respectiv, când din punctul nominal de funcționare se comandă aducerea sistemului în starea de repaus. Variația greutateii levitate poate avea loc în momente de repaus când sarcina ce trebuie susținută se modifică (de exemplu în cazul unui vehicul pe pernă magnetică, masa se poate modifica într-o stație în care numărul de călători se modifică). Orice altă modificare a greutateii pe parcursul funcționării poate fi interpretată ca o forță exterioară perturbatoare. Rezistența electrică a bobinajului se modifică datorită încălzirii în timpul funcționării. Este însă o variație lentă comparativ cu variația întrefierului și afectează doar doi dintre parametri modelului după flux.

Este interesantă reprezentarea grafică a acestor coeficienți în funcție de întrefier deoarece permite evaluarea domeniului de variație a coeficienților cu întrefierul, precum și modul lor de variație. Din păcate datorită aspectului lor, expresiile analitice (2.17) și (2.18) nu permit o reprezentare analitică normată în raport cu punctul de funcționare (liniarizare)  $\Delta_0$ .

- Din acest motiv în Anexa 2.1 se analizează coeficienții de liniarizare a doi electromagneți: unul utilizat la vehicule cu susținere magnetică, cu forța portantă mare și unul utilizat în cadrul unui model de laborator cu forța portantă mult redusă.
- De asemenea în [T5] s-a discutat un alt electromagnet utilizat în cadrul unui stand în laboratorul de Regulate Automate și ai cărui parametri se dau în anexă.

Analizând rezultatele din Anexa A2.1 se pot face următoarele observații.

1. Tabelul 2.1 prezintă variațiile procentuale față de punctul nominal de funcționare (10 mm în cazul electromagnetului cu forță portantă mare, 5 mm în cazul standului și 1.5 mm pentru modelul de laborator utilizat în lucrarea de față) cărui îi corespund 100 %.

Tabelul 2.1

Coeficient	Vehicul	Stand	Model de laborator
$\alpha_1^1$	45.99% - 189.48%	58.42% - 424.89%	62% - 287.18%
$\alpha_8^1$	40.09% - 199.25%	50.13% - 489.6%	60.15% - 296.3%
$\beta_1^1$	40.09% - 199.25%	50.13% - 489.6%	60.15% - 296.3%
$\beta_8^1$	40.09% - 199.25%	50.13% - 489.6%	60.15% - 296.3%
$\alpha_w^2$	52.78% - 217.44%	23.54% - 171.19%	34.82% - 161.29%
$\alpha_8^2$	87.18% - 105.16%	85.82% - 115.23%	97.02% - 103.17%
$\beta_w^2$	87.18% - 105.16%	85.82% - 115.23%	97.02% - 103.17%
$\beta_8^2$	87.18% - 105.16%	85.82% - 115.23%	97.02% - 103.17%

Se constată că ordinul de variație al diferiților coeficienți se păstrează de la un electromagnet la altul. De asemenea pentru fiecare model, trei dintre coeficienți au variații identice. Ultimii trei coeficienți ai modelului obținut prin eliminarea curentului au variații semnificativ mai reduse ceea ce ar indica preferarea acestui model celui obținut prin eliminarea fluxului. În fine, cantitativ variațiile sunt diferite de la un electromagnet la altul și nu sunt într-o relație de proporționalitate cu dimensiunile sau inductanța magnetului. Se poate face ipoteza că aceste variații depind atât de caracteristicile magnetului cât și de punctul de liniarizare ales. În paragraful următor se va căuta determinarea unui punct de optim în procesul de liniarizare.

2. Se observă că pe intervalul de întrefier considerat, pentru ambii electromagneți, coeficienții corespunzători modelului cu eliminarea curentului au o variație cvasiliniară în raport cu întrefierul  $z_{\delta}$ . Pentru ei se pot deduce formule analitice de forma:

$$\alpha(\cdot, \beta) = m \cdot z_{\delta} + n \tag{2.19}$$

cu  $m$  și  $n$  deduse în anexă. Aceste relații simple ar putea fi utilizate în cazul unei implementări de reglare adaptivă în care, în funcție de punctul de funcționare curent, se pot simplu calcula coeficienții de liniarizare. O altă utilizare a acestor relații ar putea fi monitorizarea diferitelor mărimi din proces.

3. Se constată variația liniară, în ipoteza funcționării nesaturate, a curentului și fluxului în funcție de întrefier.

### 2.1.2.3 Definierea și determinarea unui punct de optim pentru liniarizare

Deși deduse pentru variații în jurul unui punct de funcționare  $\Delta_0$  dat, modelele (2.11) și (2.14) trebuiesc utilizate pe întreaga plajă de variație a mărimilor  $z_{\delta}$ ,  $z_s$  și  $I'_{ext}$ . Din acest motiv, în continuare se caută să se stabilească în ce măsură, deduse pentru un punct de funcționare  $\Delta_0$ , ele sunt valabile și la abateri mari ale mărimilor din proces față de acesta și dacă este posibilă determinarea unui punct  $\Delta_0$  astfel încât abaterile relațiilor liniarizate față de cele neliniare, exacte, să fie cât mai mici.

Supuse discuției vor fi doar primele două ecuații ale sistemelor liniarizate ce descriu funcționarea SIEIG, ultimele două, caracterizând mișcarea fiind din start liniare.

Se analizează pentru început cazul staționar. Fie  $\Delta_1$  un punct de funcționare staționară, altul decât  $\Delta_0$ . Pentru modelul (2.11) se obține:

$$\begin{aligned} (U_{a1} - U_{a0}) &= R \cdot (I_1 - I_0) \\ (F_{e1} - F_{e0}) &= \beta'_I \cdot (I_1 - I_0) + \beta'_s \cdot (z_{\delta 1} - z_{\delta 0}) \end{aligned} \quad (2.20)$$

Având în vedere relațiile de regim staționar (2.6), prima relație este evident identic nulă. Explicitând coeficienții  $\beta'_I$  în a doua și utilizând relațiile (2.8) se deduce că:

$$(F_{ext1} - F_{ext0}) = 2(z_{\delta 1} + \varepsilon) \left[ \sqrt{Mg + F_{ext0}} \left( \sqrt{Mg + F_{ext1}} - \sqrt{Mg + F_{ext0}} \right) \right] \quad (2.21)$$

Se observă că dacă forța exterioară nu-și schimbă valoarea de la un punct la altul și a doua ecuație de liniarizare este valabilă în regim staționar în orice punct  $z_{\delta 0}$ .

Pentru modelul (2.14):

$$\begin{aligned} (U_{a1} - U_{a0}) &= \alpha'_\psi \cdot (\Psi_1 - \Psi_0) + \alpha'_s \cdot (z_{\delta 1} - z_{\delta 0}) \\ (F_{e1} - F_{e0}) &= \beta'_\psi \cdot (\Psi_1 - \Psi_0) + \beta'_s \cdot (z_{\delta 1} - z_{\delta 0}) \end{aligned} \quad (2.22)$$

și prin explicitarea coeficienților de liniarizare (2.8), se obțin:

$$(F_{ext1} - F_{ext0}) = 0,$$

respectiv

$$(F_{ext1} - F_{ext0}) = 2 \frac{L(z_{\delta 1})(z_{\delta 1} + \varepsilon)}{L(z_{\delta 0})(z_{\delta 0} + \varepsilon)} \left[ \sqrt{Mg + F_{ext0}} \left( \sqrt{Mg + F_{ext1}} - \sqrt{Mg + F_{ext0}} \right) \right] \quad (2.23)$$

În concluzie, în absența variațiilor perturbațiilor de tip forță exterioară persistente, modelul liniarizat de ecuații (2.11) sau (2.14), în regim permanent constant descrie exact funcționarea sistemului (2.6) în orice punct  $\Delta_0(z_{\delta 1}, z_{\delta 1}, 0)$ .

În regim dinamic, o tratare analitică este mult mai complexă, deoarece în relațiile (2.11) și (2.14) mărimile ce intervin pot să aibe orice valoare într-un interval dat. Din acest motiv se caută o soluție numerică a problemei. Astfel considerând domeniile admisibile:

$$z_{\delta} \in Z_{\delta}, \dot{z}_{\delta} \in \dot{Z}_{\delta}, i \in I, \dot{i} \in \dot{I} \quad (2.24)$$

și în ipoteza  $F_{ext}^* = 0$ , se aleg șirurile de valori  $\{z_{\delta 0,k}\}_{k=0,n_{\delta\delta}}$ ,  $\{z_{\delta,k}\}_{k=0,n_{\delta}}$ ,  $\{\dot{z}_{\delta,k}\}_{k=0,n_{\delta\dot{z}}}$ ,  $\{\dot{i}_k\}_{k=0,n_i}$  și  $\{i_k\}_{k=0,n_i}$ , care să acopere fiecare întregul domeniu admisibil corespunzător. Pentru fiecare valoare  $z_{\delta 0,k}$  se calculează de  $n_{\delta} \cdot n_{\dot{z}} \cdot n_i \cdot \dot{n}_i$  ori expresiile:

$$\left| U_{a,lin} - U_{a,util} \right| \text{ și } \left| F_{e,lin} - F_{e,util} \right| \quad (2.25)$$

în care

$$U_{a,lin} = U_{a0} + \Delta u_a, \quad U_{a0} = Ri(z_{\delta}) \text{ și } \Delta u_a \text{ calculat cu (2.11)}$$

$$U_{a,util} = Ri(z_{\delta}) + \Psi = Ri(z_{\delta}) + L(z_{\delta})\dot{i} + \frac{dL(z_{\delta})}{dz_{\delta}} z_{\delta} \dot{i}$$

$$F_{e,lin} = Mg + \Delta f_e \text{ cu } \Delta f_e \text{ calculat cu (2.11)}$$

$$F_{e,util} = -\frac{1}{2} \frac{dL(z_{\delta})}{dz_{\delta}} \dot{i}^2$$

pentru toate combinațiile posibile ale variabilelor  $z_{\delta,k}, \dot{z}_{\delta,k}, i_k, \dot{i}_k$  făcând apoi suma lor, reținând în final acele valori pentru care suma este minimă. Cele două valori  $z_{\delta 0}$  și  $z_{\delta 0F_e}$  obținute sunt punctele de funcționare optime pentru liniarizare.

Se repetă apoi algoritmul pentru  $\Delta u_a$  și  $\Delta f_e$  calculate cu (2.14) cu variabilele:

$$z_{\delta} \in Z_{\delta} \text{ și } \Psi \in \Psi \quad (2.26)$$

domeniile pentru întrefier și flux acoperind aceleași valori ca și cele din (2.24).

Anexa 2.2 detaliază procedura de mai sus și prezintă rezultatele obținute pentru cei trei electromagneți descriși în Anexa 2.1. Tabelul 2.2 evidențiază întrefierurile de liniarizare la care se poate găsi un punct de minim:

Tabelul 2.2

Ecuatie	Vehicul	Stand	Model de laborator
Tensiune (elim. flux)	3.8 mm	>12 mm	1.4 mm
Forța (elim. flux)	2.8 mm	1.5 mm	0.28 mm
Tensiune (elim. curent)	7 mm	3.5 mm	0.7 mm
Forța (elim. curent)	-	-	-

Concluziile cele mai importante ale analizei din acest paragraf sunt:

1. În orice punct de echilibru cvasistaționar, funcționarea sistemului neliniar este exact descrisă de către ecuațiile liniarizate, indiferent de modelul adoptat, cu eliminarea fluxului sau a curentului
2. Eroarea introdusă în regim dinamic prin liniarizare este mult redusă în cazul utilizării modelului cu eliminarea curentului față de cel cu eliminarea fluxului; în cazul electromagnetului pentru vehiculul cu susținere electromagnetică și a modelului de laborator reducerea este de mai bine de 10 ori.

3. Pentru modelul cu eliminarea fluxului există puncte de minim atât pentru ecuația tensiunii cât și pentru ecuația forței dar ele nu sunt identice. În toate cazurile însă, ecuația tensiunii are un palier larg pentru care eroarea este apropiată de cea de minim astfel încât se poate găsi un compromis și anume pentru vehicul la 3mm, pentru stand la 1.5 mm și la modelul de laborator la 0.7 mm. În cazul modelului cu eliminarea curentului, punctul considerat este cel în care eroarea ecuației tensiunii este minimă. Punctele de optim obținute pot fi utilizate ca puncte de plecare în alegerea întrefierului de liniazare.
4. Rezultatele obținute au un caracter mai mult calitativ decât cantitativ, punctele de optim obținute sunt afectate în mod semnificativ de domeniile de variație admisibile adoptate.

### 2.1.3 Modele matematice intrare-stare-ieșire

#### 2.1.3.1 Stabilirea modelelor matematice intrare-stare-ieșire

Schemele bloc din figurile 2.2 și 2.3 sugerează posibilitatea alegerii a trei variante de vectori de stare ce ar putea fi utilizați eficient în calculul buclelor de reglare și anume:

$$x_1 = \begin{bmatrix} z_\delta \\ \dot{z}_\delta \\ i \end{bmatrix} \quad x_2 = \begin{bmatrix} z_\delta \\ \dot{z}_\delta \\ \ddot{z}_m \end{bmatrix} \quad x_3 = \begin{bmatrix} z_\delta \\ \dot{z}_\delta \\ \psi \end{bmatrix} \quad (2.27)$$

În literatura de specialitate cel mai des este utilizat vectorul  $x_1$ , mai rar  $x_2$ , iar după cunoștințele autorului  $x_3$  doar în [T5] și [B3].

Fiecare dintre acești vectori de stare au avantaje și dezavantaje ce vor fi detaliate pe parcursul acestui capitol și al capitolului 3. În principal, alegerea unuia sau a altuia se face în funcție de condițiile tehnice concrete - de traductoarele disponibile, de calitatea semnalului măsurat - și de performanțele de reglare obținute cu sistemul de reglare sintetizat pe baza vectorului de stare ales.

În continuare se precizează modelele matematice corespunzătoare fiecăruia dintre vectorii de stare (2.27), plecând întâi de la relațiile (2.11) și apoi de la relațiile (2.14). Ele sunt:

$$\begin{bmatrix} \dot{z}_\delta \\ \ddot{z}_\delta \\ i \end{bmatrix}' = \begin{bmatrix} 0 & 1 & 0 \\ a_{21}^1 & 0 & a_{23}^1 \\ 0 & a_{32}^1 & a_{33}^1 \end{bmatrix} \begin{bmatrix} z_\delta \\ \dot{z}_\delta \\ i \end{bmatrix} + \begin{bmatrix} 0 \\ 0 \\ b_3^1 \end{bmatrix} u_a + \begin{bmatrix} 0 & 0 \\ b_{v,21}^1 & -1 \\ 0 & 0 \end{bmatrix} \begin{bmatrix} F_{ext} \\ \ddot{z}_s \end{bmatrix} \quad (2.28)$$

cu

$$a_{21}^1 = -\frac{\beta_\delta^1}{M}, \quad a_{23}^1 = -\frac{\beta_l^1}{M}, \quad a_{32}^1 = -\frac{\alpha_\delta^1}{\alpha_l^1}, \quad a_{33}^1 = -\frac{R}{\alpha_l^1} \quad (2.29)$$

$$b_3^1 = \frac{1}{\alpha_l^1}, \quad b_{v,21}^1 = \frac{1}{M}$$

apoi

$$\begin{bmatrix} \dot{z}_\delta \\ \dot{z}_\delta \\ \ddot{z}_m \end{bmatrix}' = \begin{bmatrix} 0 & 1 & 0 \\ 0 & 0 & 1 \\ a_{31}^2 & a_{32}^2 & a_{33}^2 \end{bmatrix} \begin{bmatrix} z_\delta \\ \dot{z}_\delta \\ \ddot{z}_m \end{bmatrix} + \begin{bmatrix} 0 \\ 0 \\ b_3^2 \end{bmatrix} u_a + \begin{bmatrix} 0 & 0 & 0 \\ 0 & 0 & -1 \\ b_{v,31}^2 & b_{v,32}^2 & 0 \end{bmatrix} \begin{bmatrix} F_{em} \\ F_{ext} \\ \ddot{z}_s \end{bmatrix} \quad (2.30)$$

cu

$$\begin{aligned}
 a_{31}^2 &= -\frac{R\beta_\delta^1}{M\alpha_1^1}, & a_{32}^2 &= -\frac{\beta_\delta^1}{M} + \frac{\beta_1^1\alpha_\delta^1}{M\alpha_1^1}, & a_{33}^2 &= -\frac{R}{\alpha_1^1} \\
 b_3^2 &= -\frac{\beta_1^1}{M\alpha_1^1}, & b_{v,31}^2 &= \frac{R}{M\alpha_1^1}, & b_{v,32}^2 &= \frac{1}{M}
 \end{aligned}
 \tag{2.31}$$

și ultimul

$$\begin{bmatrix} \ddot{z}_\delta \\ \dot{z}_\delta \\ \psi \end{bmatrix}' = \begin{bmatrix} 0 & 1 & 0 \\ a_{21}^3 & 0 & a_{23}^3 \\ a_{32}^3 & 0 & a_{33}^3 \end{bmatrix} \begin{bmatrix} z_\delta \\ \dot{z}_\delta \\ \psi \end{bmatrix} + \begin{bmatrix} 0 \\ 0 \\ 1 \end{bmatrix} u_a + \begin{bmatrix} 0 & 0 \\ b_{v,21}^1 & -1 \\ 0 & 0 \end{bmatrix} \begin{bmatrix} F_{ext} \\ \ddot{z}_s \end{bmatrix}
 \tag{2.32}$$

cu

$$\begin{aligned}
 a_{21}^3 &= \frac{\beta_1^1\alpha_\delta^1}{M\alpha_1^1} - \frac{\beta_\delta^1}{M}, & a_{23}^3 &= -\frac{\beta_1^1}{M\alpha_1^1}, & a_{31}^3 &= \frac{R\alpha_\delta^1}{\alpha_1^1}, & a_{33}^3 &= -\frac{R}{\alpha_1^1} \\
 b_{v,21}^3 &= \frac{1}{M}
 \end{aligned}
 \tag{2.33}$$

O observație interesantă o constituie forma canonică controlabilă a sistemului (2.30).

Având în vedere echivalența sistemelor (2.11) și (2.14) rămân valabile pentru acesta din urmă ecuațiile (2.28), (2.30) și (2.32) în care însă parametrii se modifică:

- pentru (2.28):

$$a_{21}^1 = \frac{\beta_v^2\alpha_\delta^2}{M\alpha_v^2} - \frac{\beta_\delta^2}{M}, \quad a_{23}^1 = -\frac{R\beta_v^2}{M\alpha_v^2}, \quad a_{32}^1 = \frac{\alpha_\delta^2}{R}, \quad a_{33}^1 = -\alpha_v^2
 \tag{2.34}$$

$$b_1^1 = \frac{\alpha_v^2}{R}, \quad b_{v,21}^1 = \frac{1}{M}$$

- pentru (2.30):

$$a_{31}^2 = \frac{\beta_v^2\alpha_\delta^2 - \beta_\delta^2\alpha_v^2}{M}, \quad a_{32}^2 = -\frac{\beta_\delta^2}{M}, \quad a_{33}^2 = -\alpha_v^2
 \tag{2.35}$$

$$b_3^2 = -\frac{\beta_v^2}{M}, \quad b_{v,31}^2 = \frac{\alpha_v^2}{M}, \quad b_{v,32}^2 = \frac{1}{M}$$

- pentru (2.32):

$$a_{21}^3 = -\frac{\beta_\delta^2}{M}, \quad a_{23}^3 = -\frac{\beta_v^2}{M}, \quad a_{31}^3 = -\alpha_\delta^2, \quad a_{33}^3 = -\alpha_v^2
 \tag{2.36}$$

$$b_{v,21}^3 = \frac{1}{M}$$

Utilizarea reprezentărilor intrare-stare-ieșire în scopul implementării unei strategii de reglare impune analizarea atentă a posibilităților de prelevare a variabilelor de stare. Principalele constatări refitoare la acest aspect sunt următoarele:

- În toate cazurile măsurarea întrefierului, care reprezintă mărimea reglată în acest tip de proces, este absolut necesară pentru o reglare performantă.
- În general măsurarea vitezei de variație a întrefierului este dificilă și costisitoare, astfel că în mod obișnuit se recurge la estimarea acestei mărimi cu estimatoare de stare [J1].

- **Măsurarea curentului** este o soluție des utilizată, mai ales datorită faptului că traductoarele de curent sunt uzuale și relativ ieftine.
- **Accelerația absolută** se măsoară cu traductoare inerțiale cu timbre tensiometrice. Sunt mai scumpe comparativ cu cele de curent, necesită întreținere periodică și în cazul sistemelor de dimensiuni reduse se montează incomod. În ultimul timp au apărut traductoare de accelerație încapsulate, independente de mediul ambiant, de exemplu ADXL05 al firmei Analog Devices.
- **Măsurarea fluxului** a fost multă vreme evitată datorită variației cu temperatura a caracteristicilor sondelor Hall, a sensibilității la vibrații și a plasării relativ dificile a traductorului în câmpul generat de electromagnet. Noile tehnologii au înlăturat în parte dezavantajele, existând în prezent sonde Hall cu compensarea practic totală a efectului variației cu temperatura. Rămâne însă problema plasării traductorului în câmpul electromagnetic astfel încât să se măsoare fluxul total.

Utilizarea unora sau a altora dintre posibilitățile de măsurare enumerate, se reflectă din punctul de vedere al modelării prin completarea ecuațiilor de stare de mai sus cu ecuațiile de ieșire:

$$\begin{bmatrix} z_\delta \\ i \end{bmatrix} = \begin{bmatrix} 1 & 0 & 0 \\ 0 & 0 & 1 \end{bmatrix} \begin{bmatrix} z_\delta \\ \dot{z}_\delta \\ i \end{bmatrix} \quad \text{pentru (2.28),} \quad (2.37)$$

$$\begin{bmatrix} z_\delta \\ z_m \end{bmatrix} = \begin{bmatrix} 1 & 0 & 0 \\ 0 & 0 & 1 \end{bmatrix} \begin{bmatrix} z_\delta \\ \dot{z}_\delta \\ z_m \end{bmatrix} \quad \text{pentru (2.30),} \quad (2.38)$$

$$\begin{bmatrix} z_\delta \\ \psi \end{bmatrix} = \begin{bmatrix} 1 & 0 & 0 \\ 0 & 0 & 1 \end{bmatrix} \begin{bmatrix} z_\delta \\ \dot{z}_\delta \\ \psi \end{bmatrix} \quad \text{pentru (2.32).} \quad (2.39)$$

Pot să apară situații în care doar întrefierul este măsurabil, rezultând ecuația de ieșire utilizabilă la toate modelele

$$z_\delta = \begin{bmatrix} 1 & 0 & 0 \end{bmatrix} x_i, \quad i = 1, 2, 3. \quad (2.40)$$

Acest caz necesită însă estimatoare complexe pentru determinarea stărilor nemăsurabile în mod nemijlocit.

De asemenea nu este neobișnuită nici alegerea unui set de ecuații de stare și măsurarea altor mărimi decât mărimile de stare, de exemplu utilizarea ecuațiilor (2.32) și măsurarea întrefierului și a curentului. De data aceasta ecuațiile de ieșire sunt:

$$\begin{bmatrix} z_\delta \\ i \end{bmatrix} = \begin{bmatrix} 1 & 0 & 0 \\ 0 & 0 & c_{23}^i \end{bmatrix} \begin{bmatrix} z_\delta \\ \dot{z}_\delta \\ \psi \end{bmatrix}, \quad \text{cu } c_{23}^i = \frac{\alpha_\psi^2}{R} \quad (2.41)$$

Aceasta este situația în care se dorește utilizarea modelului cu eliminarea curentului, dar din considerente practice se dispune doar de măsurarea curentului. Din nou trebuie utilizate estimatoare pentru estimarea vectorului de stare.

Se arată ușor că toate modelele matematice de mai sus descriu un sistem controlabil și observabil

Polinomul caracteristic dedus pentru cele trei sisteme de ecuații de stare (2.28), (2.30) și (2.32) are formele:



$$\begin{aligned}\mu_1(s) &= s^3 - a_{33}^1 s^2 - (a_{21}^1 a_{32}^1 + a_{21}^1) s + a_{21}^1 a_{33}^1 \\ \mu_{z_n}(s) &= s^3 - a_{33}^2 s^2 - a_{32}^2 s - a_{31}^2 \\ \mu_\psi(s) &= s^3 - a_{33}^3 s^2 - a_{21}^3 s + (a_{21}^3 a_{33}^3 - a_{31}^3 a_{23}^3)\end{aligned}\quad (2.42)$$

Anticipând, se afirmă că având în vedere echivalența celor trei modele matematice descrise, polinoamele caracteristice (2.42) sunt identice. De asemenea, tot anticipând, se precizează că SIEIGL este instabil, polinomul caracteristic asociat având o valoare proprie reală pozitivă.

### 2.1.3.2 Analiza valorilor parametrilor MM-ISI în funcție de punctul de funcționare staționară

Înlocuind în expresiile parametrilor modelelor matematice deduse în paragraful anterior pe  $\alpha$  și  $\beta$  cu relațiile (2.17) și (2.18) se obțin:

- pentru (2.29), echivalent cu (2.34)

$$\begin{aligned}a_{21}^1 &= \frac{2g}{z_{\delta 0} + z_0}, a_{23}^1 = -\sqrt{\frac{2gc}{M}} \frac{1}{z_{\delta 0} + z_0}, a_{32}^1 = \frac{\sqrt{2Mgc}}{c + L_\infty(z_{\delta 0} + z_0)}, a_{33}^1 = -\frac{R}{L(z_{\delta 0})} = -\frac{1}{T(z_{\delta 0})} \\ b_3^1 &= \frac{1}{L(z_{\delta 0})}, b_{v,21}^1 = \frac{1}{M}\end{aligned}\quad (2.43)$$

- pentru (2.31), echivalent cu (2.35)

$$\begin{aligned}a_{31}^2 &= \frac{2R}{c + L_\infty(z_{\delta 0} + z_0)}, a_{32}^2 = \frac{2gl_\infty}{c + L_\infty(z_{\delta 0} + z_0)}, a_{33}^2 = -\frac{1}{T(z_{\delta 0})} \\ b_3^2 &= -\sqrt{\frac{2gc}{M}} \frac{1}{c + L_\infty(z_{\delta 0} + z_0)}, b_{v,31}^2 = \frac{1}{MT(z_{\delta 0})}, b_{v,32}^2 = \frac{1}{M}\end{aligned}\quad (2.44)$$

- pentru (2.33), echivalent cu (2.36)

$$\begin{aligned}a_{21}^3 &= \frac{2gl_\infty}{c + L_\infty(z_{\delta 0} + z_0)}, a_{23}^3 = -\sqrt{\frac{2gc}{M}} \frac{1}{c + L_\infty(z_{\delta 0} + z_0)}, a_{31}^3 = -\frac{R\sqrt{2Mgc}}{c + L_\infty(z_{\delta 0} + z_0)}, a_{33}^3 = -\frac{1}{T(z_{\delta 0})} \\ b_{v,21}^3 &= \frac{1}{M}\end{aligned}\quad (2.45)$$

Din nou, datorită echivalenței sistemelor (2.11) și (2.14), era de așteptat ca în cele trei cazuri, parametrii deduși pornind de la setul de ecuații (2.11) și cei obținuți cu plecare de la setul (2.14) să aibe expresii identice. Mai mult, indiferent de vectorul de stare ales, înlocuind în expresiile polinomului caracteristic (2.42) parametrii cu expresiile (2.43), (2.44) și (2.45) respectiv, se obține o unică expresie:

$$\mu(s) = s^3 + \frac{1}{T(z_{\delta 0})} s^2 - \frac{2gl_\infty}{c + L_\infty(z_{\delta 0} + z_0)} s - \frac{2Rg}{c + L_\infty(z_{\delta 0} + z_0)}\quad (2.46)$$

Anticiparea din finalul paragrafului precedent, referitoare la existența unei valori proprii reale pozitive (pol "instabil"), este acum evidentă datorită termenului liber negativ din (2.46), SIEIGL fiind în buclă deschisă instabil.

În anexa A2.3 se analizează variația coeficienților modelelor (2.28), (2.30) și (2.32) pentru cei trei electromagneți considerați. Tabelul 2.3 prezintă variația procentuală a coeficienților, de la valoarea minimă la valoarea maximă pe intervalul de întrefier considerat.

Tabelul 2.3

Coefficient	Vehicul	Stand	Model de laborator
$a_{21}^1$	369.98%	394.73%	392.59%
$a_{23}^1$	369.98%	394.73%	392.59%
$a_{12}^1$	20.63%	29.34%	6.25%
$a_{13}^1$	312.00%	282.50%	363.19%
$b_3^1$	312.00%	282.50%	363.19%
$a_{11}^2$	20.63%	29.34%	6.25%
$a_{12}^2$	20.63%	29.34%	6.25%
$a_{13}^2$	312.00%	282.50%	363.19%
$b_3^2$	20.63%	29.34%	6.25%
$b_{s,11}^2$	312.00%	282.50%	363.19%
$a_{21}^3$	20.63%	29.34%	6.25%
$a_{23}^3$	20.63%	29.34%	6.25%
$a_{31}^3$	20.63%	29.34%	6.25%
$a_{33}^3$	312.00%	282.50%	363.19%

În urma analizei din acest paragraf, precum și a rezultatelor anexei A2.3 se constată că:

1. În cazul modelului cu variabila de stare curent numărul coeficienților variabili este 5, în cazul modelului cu variabila de stare accelerație absolută numărul coeficienților variabili este tot 5 dintre care unul se referă la perturbații, iar în cazul modelului cu variabila de stare flux numărul coeficienților variabili este 4.
2. În cadrul tuturor modelelor, coeficientul  $a_{13}^{(i)}$  are o variație mare și este proporțional cu constanta de timp a electromagnetului
3. Modelul (2.28) are variațiile cele mai mari ale coeficienților, în timp ce modelul (2.32) are variațiile cele mai mici.
4. Variațiile nu depind de dimensiunile magnetului ci mai degrabă de domeniul de întrefier considerat.

### 2.1.4 Compararea modelelor liniare pe stare cu modelul matematic neliniar prin intermediul răspunsului indicial

Pentru a evalua valabilitatea modelelor linearizate și pentru a stabili în ce măsură proiectarea se poate baza pe ele, se compară modelele lineare (2.11) și (2.14) cu sistemul nelinear de bază (2.2) prin intermediul răspunsului indicial.

Astfel considerând sistemele aflate într-un punct staționar  $\Delta_1(z_{s0}, 0, 0)$  se consideră un scenariu constând în aplicarea separată a următoarelor variații ale celor trei mărimi de intrare.

$$u_s = u_{s0} + \delta u_s, \quad u_a = u_{a0} - \delta u_a, \quad f_{ext} = -\delta f_{ext}, \quad f_{ext} = \delta f_{ext}, \quad z_s = \delta z_s \quad \text{și} \quad z_a = -\delta z_a$$

Pentru a putea compara efectele acestor variații, valoarea lor se va lua astfel încât în regim staționar toate ar produce o variație a forței dezvoltate de electromagnet de 10% din masa sustentată  $M$ .

Simularea sistemelor s-a făcut cu pachetul SIMULINK [\*1], diagramele bloc și rezultatele simulărilor fiind prezentate în anexa A2.4

Analizând rezultatele simulărilor din anexa menționată, se pot trage concluziile:

1. Modelul linearizat bazat pe eliminarea curentului aproximează foarte bine comportarea sistemului neliniar, real.

2. Modelul liniarizat batat pe eliminarea fluxului aproximează într-o măsură mai mică sistemul neliniar: curentul are o variație mult mai lentă decât cel real, toate celelalte mărimi având o variație mai energetică decât în cazul real.
3. Pe măsură ce întrefierul crește față de punctul de liniarizare, variația mărimilor modelului cu eliminarea curentului devine mai rapidă decât a mărimilor sistemului neliniar real, iar când întrefierul scade, variația este mai lentă.
4. Aceste observații se păstrează pentru ambii electromagneți considerați:
  - pentru vehicul cu levitație magnetică cu forța portanta mare și întrefier nominal mare și
  - pentru modelul de laborator cu forța portantă redusă și întrefier nominal mic.

### 2.1.5 Caracteristicile de pulsație ale modelului liniar

În continuare se determină expresiile în operațional ale mărimilor modelului matematic liniarizat într-un punct de optim  $\Delta_0$ , în sensul definit în paragraful 2.1.2.3, ca funcții de mărimile de intrare. Acestea permit calcularea imediată a funcțiilor de transfer utilizabile pentru trasarea caracteristicilor de pulsație. Având în vedere echivalența celor trei modele liniare deduse, calculul se poate face pentru oricare dintre ele. Astfel, utilizând (2.28) cu (2.34) și plecând de la relația:

$$x(s) = (sI - A)^{-1} [b \cdot u_o(s) + B_v \cdot v(s)] \quad (2.47)$$

- cu:
- $x(s)$  - vectorul de stare în operațional
  - $v(s)$  - vectorul mărimilor perturbatoare în operațional
  - $A$  - matricea sistemului
  - $b$  - vectorul coeficienților mărimii de intrare
  - $B_v$  - matricea coeficienților mărimilor perturbatoare

și efectuând calculele se obține

$$x(s) = \frac{1}{\mu(s)} \begin{bmatrix} a_{23}^1 b_3^1 \\ a_{23}^1 b_3^1 s \\ b_3^1 (s^2 - a_{21}^1) \end{bmatrix} u_o(s) + \frac{1}{\mu(s)} \begin{bmatrix} b_{v,21}^1 (s - a_{33}^1) & -(s - a_{33}^1) \\ b_{v,21}^1 s (s - a_{33}^1) & -s (s - a_{33}^1) \\ b_{v,21}^1 a_{32}^1 s & -a_{32}^1 s \end{bmatrix} \begin{bmatrix} f_{ext}(s) \\ \ddot{z}_s(s) \end{bmatrix} \quad (2.48)$$

în care

$$\mu(s) = s^3 - a_{33}^1 s^2 - (a_{23}^1 a_{32}^1 + a_{21}^1) s + a_{21}^1 a_{33}^1$$

Cu ajutorul expresiei (2.48) rezultă în continuare:

$$\ddot{z}_s(s) = \frac{1}{\mu(s)} [a_{23}^1 b_3^1 u_o(s) + b_{v,21}^1 (s - a_{33}^1) f_{ext}(s) - (s - a_{33}^1) \ddot{z}_s(s)] \quad (2.49)$$

$$\ddot{z}_s(s) = \frac{1}{\mu(s)} [a_{23}^1 b_3^1 s u_o(s) + b_{v,21}^1 s (s - a_{33}^1) f_{ext}(s) - s (s - a_{33}^1) \ddot{z}_s(s)] \quad (2.50)$$

$$i(s) = \frac{1}{\mu(s)} [b_3^1 (s^2 - a_{21}^1) u_o(s) + b_{v,21}^1 a_{32}^1 s f_{ext}(s) - a_{32}^1 s \ddot{z}_s(s)] \quad (2.51)$$

Utilizând relațiile (2.10) și (2.11) se calculează

$$\begin{aligned} \psi(s) &= \alpha_i^1 i(s) + \alpha_s^1 \ddot{z}_s(s) \\ f_e(s) &= \beta_i^1 i(s) + \beta_s^1 \ddot{z}_s(s) \\ \ddot{z}_m(s) &= \frac{1}{M} (f_{ext}(s) - f_e(s)) \end{aligned} \quad (2.52)$$

care conduc la expresiile de detaliu:

$$\psi(s) = \frac{1}{\mu(s)} \left[ (s^2 - a_{32}^1 a_{23}^1 a_{21}^1) u_a(s) + \frac{a_{32}^1 a_{33}^1 b_{v,21}^1}{b_3^1} f_{ext}(s) - \frac{a_{32}^1 a_{33}^1}{b_3^1} \ddot{z}_s(s) \right] \quad (2.53)$$

$$f_v(s) = \frac{1}{\mu(s)} \left[ -\frac{a_{23}^1 b_3^1}{b_{v,21}^1} s^2 u_a(s) + \left[ -s(a_{23}^1 a_{32}^1 + a_{21}^1) + a_{21}^1 a_{33}^1 \right] f_{ext}(s) - \frac{-s(a_{23}^1 a_{32}^1 + a_{21}^1) + a_{21}^1 a_{33}^1}{b_{v,21}^1} \ddot{z}_s(s) \right] \quad (2.54)$$

$$\ddot{z}_m(s) = \frac{1}{\mu(s)} \left[ a_{21}^1 b_3^1 s^2 u_a(s) + b_{v,21}^1 s^2 (s - a_{33}^1) f_{ext}(s) - \left[ s(a_{23}^1 a_{32}^1 + a_{21}^1) - a_{21}^1 a_{33}^1 \right] \ddot{z}_s(s) \right] \quad (2.55)$$

Relațiile (2.49) - (2.55) permit determinarea tuturor funcțiilor de transfer care interesează.

Este interesant de remarcat că în toate relațiile  $f_{ext}$  și  $\ddot{z}_s$  pot fi prinse ca o singură intrare perturbatoare fictivă de forma

$$b_{v,21} f_{ext}(s) - \ddot{z}_s(s) \quad (2.56)$$

Această observație poate fi exploatată în cadrul stabilirii modelelor extinse ale S1E1G.

În anexa A2.5 sunt reprezentate caracteristicile de pulsație corespunzătoare relațiilor (2.49)-(2.52), în urma analizei cărora se pot face următoarele observații:

1. Variațiile întrefierului în raport cu tensiunea de alimentare au un caracter proporțional și aperiodic amortizat
2. Variațiile curentului și fluxului în raport cu tensiunea de alimentare au un caracter proporțional dar în timp ce curentul este aperiodic amortizat, fluxul este oscilant amortizat
3. În raport cu forța exterioară și accelerația perturbatoare, curentul are un caracter dublu anticipativ, ceea ce conferă întrefierului un caracter proporțional în raport cu mărimile perturbatoare.
4. Comparând diagramele în raport cu forța exterioară și accelerația perturbatoare se confirmă posibilitatea echivalării intrărilor perturbatoare într-o singură mărime perturbatoare conform relației (2.56).
5. Banda de frecvență a electromagnetului pentru vehicule pe pernă magnetică este limitată la 20-25 Hz, în schimb banda de frecvență a electromagnetului utilizat în modelul de laborator se ridică datorită dimensiunilor mai mici la 100 Hz. De asemenea datorită rezervei de tensiune mult mai ridicată în cazul modelului de laborator, coeficientul de transfer în bucla deschisă în raport cu tensiunea de alimentare este mai mare decât în cazul electromagnetului cu forță portantă mare

### 2.1.6 Sisteme exogene asociate mărimilor perturbatoare și modelele extinse ale S1E1G

În continuare se analizează mărimile de intrare  $F_{ext}$  și  $\ddot{z}_s$  cu caracter perturbator, stabilindu-se sistemele exogene corespunzătoare. Se identifică apoi alte posibile surse perturbatoare legate de structura internă a sistemului și în final se scrie modelul extins al S1E1G.

### 2.1.6.1 Sisteme exogene asociate mărimii $F_{ext}$

Mărimea perturbatoare  $F_{ext}$  corespunde forțelor exterioare care se exercită asupra electromagnetului datorită interacțiunii dintre acesta și mediul înconjurător. În cazul vehiculelor pe pernă magnetică de exemplu, forța  $F_{ext}$  se datorează acțiunii vântului asupra cutiei vehiculului, a forțelor centrifuge care apar la mișcarea vehiculului în curbe și pante, a numărului variabil de pasageri. În cazul unei mașini electrice cu lagăre magnetice forțele exterioare se datorează în primul rând sarcinii cuplate la arbore și a presiunii exercitate asupra acestuia, de exemplu în cursul unei prelucrări mecanice atunci când mașina face parte dintr-o mașină unealtă.

Acțiunea forței exterioare se produce în timp aleator, variațiile sale putând fi considerate de tip treaptă, rampă limitată sau exponențială (figura 2.4) [D4], [T5].

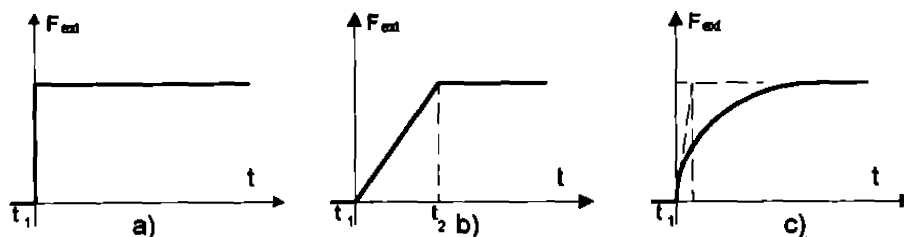


Figura 2.4. Posibile forme de variație a forței exterioare

Ecuatiile asociate celor trei tipuri de variații sunt:

$$a) \quad F_{ext}(t) = F_0 \cdot l(t_1) \quad (2.57a)$$

$$b) \quad F_{ext}(t) = F_0 \cdot [r(t_1) - r(t_2)] \quad (2.57b)$$

$$c) \quad F_{ext}(t) = F_0 \cdot \left[ 1 - \exp\left(-\frac{(t-t_1)}{T_F}\right) \right], \quad (2.57c)$$

cu  $l(t)$  notându-se semnalul treaptă unitate și cu  $r(t)$  semnalul rampă unitate.

Modelele exogene corespunzătoare au ecuațiile:

$$a) \quad \begin{bmatrix} F_{ext} \end{bmatrix}' = \begin{bmatrix} 0 \end{bmatrix} \begin{bmatrix} F_{ext} \end{bmatrix} + \delta(t_1) \quad (2.58a)$$

$$b) \quad \begin{bmatrix} F_{ext} \\ \dot{F}_{ext} \end{bmatrix}' = \begin{bmatrix} 0 & 1 \\ 0 & 0 \end{bmatrix} \begin{bmatrix} F_{ext} \\ \dot{F}_{ext} \end{bmatrix} + \begin{bmatrix} 0 & 0 \\ 1 & -1 \end{bmatrix} \begin{bmatrix} \delta(t_1) \\ \delta(t_2) \end{bmatrix} \quad (2.58b)$$

$$c) \quad \begin{bmatrix} F_{ext} \\ \dot{F}_{ext} \end{bmatrix}' = \begin{bmatrix} 0 & 1 \\ 0 & -\frac{1}{T_F} \end{bmatrix} \begin{bmatrix} F_{ext} \\ \dot{F}_{ext} \end{bmatrix} + \begin{bmatrix} 0 & 0 \\ 1 & 1 \end{bmatrix} \begin{bmatrix} \delta(t_1) \\ \delta(t_2) \end{bmatrix}, \quad (2.58c)$$

$\delta(t)$  reprezentând impulsul Dirac unitar.

Se impune precizarea că sistemul (2.58b) poate aproxima prin alegerea adecvată a lui  $\delta(t_1)$  și  $\delta(t_2)$  atât sistemul (2.58a) cât și (2.58c) așa încât în continuare ne vom referi numai la el.

### 2.1.6.2 Sisteme exogene asociate mărimii $z_x$

Mărimea de intrare  $z_x$  redă modificarea poziției șinei în raport cu un sistem de referință fix. Ea conține mai multe componente cu caracter diferit (mărime de conducere sau mărime perturbatoare) și de tip diferit (determinist sau aleator) și anume:

1. *componenta utilă*  $z_m$  *de tip determinist*, cu caracter de mărime de conducere prin faptul că prin  $z_m$  se prescrie valoarea lui  $z_m$  corespunzătoare variațiilor poziției SIEIG față de axa de referință;
2. *componenta perturbatoare*  $z_{sp1}$  *de tip determinist* datorată variațiilor periodice ale poziției SIEIG față de axa de referință și care în cazul vehiculelor cu susținere magnetică se datorează arcurii șinelor sub propria lor greutate și sub greutatea vehiculului în cursul deplasării acestuia, iar în cazul lagărului, rotației sale;
3. *componenta perturbatoare*  $z_{sp2}$ , *de tip aleator*, datorată impreciziilor constructive.

Se consideră că cele trei componente contribuie aditiv la formarea lui  $z_s$ :

$$z_s = z_{su} + z_{sp1} + z_{sp2} = z_{su} + z_{sp} \quad (2.59)$$

Literatura de specialitate acorda mult spațiu acestor tipuri de perturbații [D4], [D5], [F1], [S3]. Astfel, pentru componenta deterministă cu caracter de mărime de conducere se asociază modelul:

$$z_{su}^{(4)} + z_{su}^{(3)} + z_{su}^{(2)} + z_{su}^{(1)} = \delta_1 + \delta_2 + \delta_3 + \delta_4 \quad (2.60)$$

cu  $\delta(t)$  impulsul Dirac, căruia îi corespunde modelul

$$\begin{bmatrix} z_{su} \\ \dot{z}_{su} \\ \ddot{z}_{su} \\ \dddot{z}_{su} \end{bmatrix}' = \begin{bmatrix} 0 & 1 & 0 & 0 \\ 0 & 0 & 1 & 0 \\ 0 & 0 & 0 & 1 \\ 0 & 0 & 0 & 0 \end{bmatrix} \begin{bmatrix} z_{su} \\ \dot{z}_{su} \\ \ddot{z}_{su} \\ \dddot{z}_{su} \end{bmatrix} + \begin{bmatrix} \delta_1 \\ \delta_2 \\ \delta_3 \\ \delta_4 \end{bmatrix} \quad (2.61)$$

Deoarece pentru modelul stabilit în paragraful 2.1.3 interesează accelerația  $\ddot{z}_{su}$ , sistemul asociat acestei componente este:

$$\begin{bmatrix} \ddot{z}_{su} \\ \dot{z}_{su} \end{bmatrix}' = \begin{bmatrix} 0 & 1 \\ 0 & 0 \end{bmatrix} \begin{bmatrix} \ddot{z}_{su} \\ \dot{z}_{su} \end{bmatrix} + \begin{bmatrix} \delta_1 \\ \delta_2 \end{bmatrix} \quad (2.62)$$

Pentru  $z_{sp1}$  se admite o variație sinusoidală de forma

$$z_{sp1}(t) = Z_{sp1 \max} \cdot \sin(\omega_s t + \varphi_s) \quad (2.63)$$

cu pulsația  $\omega_s$  dependentă de viteza de glisare (în cazul vehiculelor pe pernă magnetică) sau de turație (în cazul lagărelor).

Sistemul generator asociat lui  $z_{sp1}$  este:

$$\begin{bmatrix} z_{sp1} \\ \dot{z}_{sp1} \end{bmatrix}' = \begin{bmatrix} 0 & 1 \\ -\omega_s^2 & 0 \end{bmatrix} \begin{bmatrix} z_{sp1} \\ \dot{z}_{sp1} \end{bmatrix} + \begin{bmatrix} f_1(\delta_1, \delta_2) \\ f_2(\delta_1, \delta_2) \end{bmatrix} \quad (2.64)$$

cu  $f_1$  și  $f_2$  două funcții neliniare, având ca variabile independente impulsurile Dirac  $\delta_1$  și  $\delta_2$  cu momentele de producere și amplitudinile aleatoare, exprimând modificările lui  $Z_{sp1 \max}$  și ale lui  $\varphi_s$ .

Forma sistemului exogen (2.64) rămâne valabilă și în cazul utilizării în cadrul vectorului de stare a accelerației  $\ddot{z}_{sp1}$  și a derivatei sale.

În fine, componenta perturbatoare de tip aleator se caracterizează prin densitatea spectrală de putere

$$S_{z_{sp1,sp2}}(\Omega) \approx \frac{\alpha}{\Omega^2} \quad (2.65)$$

în care  $\alpha$  este coeficientul de rugozitate spectral și  $\Omega$  numărul de unde.

### 2.1.6.3 SIEIG extins

Analizând sistemele exogene din paragraful precedent, ținând cont de observația referitoare la expresiile funcțiilor de transfer ale mărimilor sistemului în raport cu forța exterioară și accelerația perturbatoare și având în vedere poziția mărimilor  $F_{ext}$  și  $z_s$  în schemele bloc informaționale, se observă că perturbațiilor  $\ddot{z}_{sp}$  și  $\ddot{z}_{sp2}$  li se pot asocia forțe exterioare perturbatoare fictive de forma (2.57b) astfel încât ele pot fi înglobate în acest tip de perturbații. În consecință se poate alege ca model al perturbațiilor sistemul:

$$\begin{bmatrix} F_{ext} \\ \dot{F}_{ext} \\ \ddot{z}_{sp1} \\ \ddot{z}_{sp1} \end{bmatrix}' = \begin{bmatrix} 0 & 1 & 0 & 0 \\ 0 & 0 & 0 & 0 \\ 0 & 0 & 0 & 1 \\ 0 & 0 & -\omega_s^2 & 0 \end{bmatrix} \begin{bmatrix} F_{ext} \\ \dot{F}_{ext} \\ \ddot{z}_{sp1} \\ \ddot{z}_{sp1} \end{bmatrix}, \quad (2.66)$$

în locul vectorului de intrare sub formă de impulsuri Dirac putându-se considera vectorul condițiilor inițiale:

$$\begin{bmatrix} F_{ext_0} & \dot{F}_{ext_0} & \ddot{z}_{sp1_0} & \ddot{z}_{sp1_0} \end{bmatrix}' \quad (2.67)$$

Asociind sistemul exogen (2.66) cu condițiile inițiale (2.67) modelului SIEIG (2.28) se obține modelul extins al SIEIG

$$\begin{bmatrix} z_\delta \\ \dot{z}_\delta \\ i \\ F_{ext} \\ \dot{F}_{ext} \\ \ddot{z}_{sp1} \\ \ddot{z}_{sp1} \end{bmatrix}' = \begin{bmatrix} 0 & 1 & 0 & 0 & 0 & 0 & 0 \\ a_{21}^1 & 0 & a_{23}^1 & b_{v,21}^1 & 0 & -1 & 0 \\ 0 & a_{32}^1 & a_{33}^1 & 0 & 0 & 0 & 0 \\ 0 & 0 & 0 & 0 & 1 & 0 & 0 \\ 0 & 0 & 0 & 0 & 0 & 0 & 0 \\ 0 & 0 & 0 & 0 & 0 & 0 & 0 \\ 0 & 0 & 0 & 0 & 0 & 0 & 0 \end{bmatrix} \begin{bmatrix} z_\delta \\ \dot{z}_\delta \\ i \\ F_{ext} \\ \dot{F}_{ext} \\ \ddot{z}_{sp1} \\ \ddot{z}_{sp1} \end{bmatrix} + \begin{bmatrix} 0 \\ 0 \\ b_3^1 \\ 0 \\ 0 \\ 0 \\ 0 \end{bmatrix} u_a \quad (2.68)$$

Acest sistem poate fi utilizat fie pentru determinarea unor compensatoare cu rejecția perturbațiilor, fie în scopul evaluării căilor informaționale de zgomot pentru a lua măsurile necesare eliminării efectului lor.

### 2.1.6.4 Vibrații, șocuri, rezonanță, zgomot

În studiul sistemelor de reglare din cadrul acestei lucrări se vor lua în considerare perturbații care se pot datora unor efecte exterioare sau pot proveni din interiorul sistemului. Ele toate pot fi cuprinse sub formă de vibrații, șocuri, rezonanță și zgomot.

Vibrațiile sunt perturbații care se manifestă ca forțe exterioare perturbatoare. Ele sunt datorate în principal structurii mecanice a sistemului. Sunt de diferite frecvențe, în general mai ridicate decât banda de frecvență utilă a sistemului în buclă închisă.

Șocurile se manifestă și ele pe canalul forței exterioare perturbatoare fiind datorate unor astfel de mărimi. Forma lor poate fi descrisă cel mai bine ca un semnal semi-sinus izolat.

Rezonanța este un fenomen datorat structurii interne și condițiilor de funcționare ale sistemului. În general ea poate fi inclusă în schema bloc informațională la ieșirea mărimii reglate (întrețierul) ca un bloc cu funcția de transfer de ordinul 2 cu o amortizare redusă. Un sistem mecanic are într-un punct de funcționare, în mod obișnuit mai multe frecvențe de rezonanță dintre care una este dominantă. Posibilități de eliminare a acestei frecvențe vor fi discutate într-unul din capitolele următoare.

Zgomotul este inerent oricărui sistem de măsură și el se manifestă în acest caz cu o distribuție normală (zgomot alb). În analiza sistemelor de reglare din această lucrare se vor lua în considerare și zgomotele introduse pe diferitele canale de măsură.

### 2.1.7 Discretizarea modelului extins al S1E1G

Mărimea de comandă de la ieșirea unui regulator numeric este furnizată fie de un convertor numeric-analogic (CNA) fie de un modulator de semnal dreptunghiular (MLP - modulare în lățime de puls). În ambele situații, intrarea procesului studiat este alimentată cu semnale de tip scară, în ultimă instanță de tip treaptă, astfel încât metoda de discretizare trebuie să țină cont de acest fapt. În concret, se obține modelul matematic intrare-stare-ieșire discret extins al S1E1G plecând de la forma (2.68) a sistemului extins prin aplicarea metodei realizării invariante la semnal treaptă.

Potrivit acestei metode pentru discretizare se folosesc formulele [D2], [J2]:

$$A_d = e^{-AT_c} = \Phi(T_c)$$

$$B_d = \int_0^{T_c} (e^{-A\tau} B) d\tau = \left( \int_0^{T_c} e^{-A\tau} d\tau \right) B \quad (2.69)$$

cu  $\Phi(t)$  matricea de tranziție,  $T_c$  pasul de discretizare și  $B$ =constant.

Calculul propriu-zis necesită, pentru început, determinarea polinomului caracteristic al sistemului extins. Rezultă

$$\mu_2(s) = s^2(s^2 + \omega_s^2)\mu_1(s) = s^2(s^2 + \omega_s^2)(s - \alpha)[(s + a)^2 + \omega^2] \quad (2.70)$$

cu  $\mu_1(s)$  dedus din (2.42)

Matricea de tranziție a sistemului extins are aspectul:

$$\Phi(s) = \begin{bmatrix} \frac{s^2 - a_{33}^1 s - a_{32}^1 a_{21}^1}{\mu_1(s)} & \frac{s - a_{33}^1}{\mu_1(s)} & \frac{a_{23}^1}{\mu_1(s)} & \frac{-b_{v,21}^1 (s - a_{33}^1)}{s\mu_1(s)} & \frac{-b_{v,21}^1 (s - a_{33}^1)}{s^2\mu_1(s)} \\ \frac{a_{21}^1 (s - a_{33}^1)}{\mu_1(s)} & \frac{s(s - a_{33}^1)}{\mu_1(s)} & \frac{sa_{23}^1}{\mu_1(s)} & \frac{-b_{v,21}^1 (s - a_{33}^1)}{\mu_1(s)} & \frac{-b_{v,21}^1 (s - a_{33}^1)}{s\mu_1(s)} \\ \frac{a_{21}^1 a_{33}^1}{\mu_1(s)} & \frac{sa_{32}^1}{\mu_1(s)} & \frac{s^2 - a_{21}^1}{\mu_1(s)} & \frac{-b_{v,21}^1 a_{32}^1}{\mu_1(s)} & \frac{-b_{v,21}^1 a_{32}^1}{s\mu_1(s)} \\ 0 & 0 & 0 & \frac{1}{s} & \frac{1}{s^2} \\ 0 & 0 & 0 & 0 & \frac{1}{s} \\ 0 & 0 & 0 & 0 & 0 \\ 0 & 0 & 0 & 0 & 0 \end{bmatrix}$$



$$\left. \begin{array}{l} \frac{s(s - a_{33}^1)}{(s^2 + \omega_s^2)\mu_l(s)} \quad \frac{s - a_{33}^1}{(s^2 + \omega_s^2)\mu_l(s)} \\ \frac{s^2(s - a_{33}^1)}{(s^2 + \omega_s^2)\mu_l(s)} \quad \frac{s(s - a_{33}^1)}{(s^2 + \omega_s^2)\mu_l(s)} \\ \frac{-b_{v,21}^1 a_{32}^1}{s\mu_l(s)} \quad \frac{s a_{33}^1}{(s^2 + \omega_s^2)\mu_l(s)} \\ 0 \quad 0 \\ 0 \quad 0 \\ \frac{s}{(s^2 + \omega_s^2)} \quad \frac{1}{(s^2 + \omega_s^2)} \\ \frac{-\omega_s^2}{(s^2 + \omega_s^2)} \quad \frac{s}{(s^2 + \omega_s^2)} \end{array} \right\} \quad (2.71)$$

Pentru determinarea originalului funcției  $\Phi(s)$ , în anexa A2.6 sunt deduse relații generale de calcul al originalului diferitelor funcții raționale ce intră în componența transformărilor Laplace din cadrul matricei de transfer (2.71). Utilizarea lor conduce la o matrice de tranziție în original de forma:

$$\Phi(t) = \begin{bmatrix} f_1^{11}(t) & f_1^{12}(t) & f_1^{13}(t) & f_2^{14}(t) & f_3^{15}(t) & f_4^{16}(t) & f_4^{17}(t) \\ f_1^{21}(t) & f_1^{22}(t) & f_1^{23}(t) & f_2^{24}(t) & f_2^{25}(t) & f_4^{26}(t) & f_4^{27}(t) \\ f_1^{31}(t) & f_1^{32}(t) & f_1^{33}(t) & f_2^{34}(t) & f_2^{35}(t) & f_4^{36}(t) & f_4^{37}(t) \\ 0 & 0 & 0 & 1 & t & 0 & 0 \\ 0 & 0 & 0 & 0 & 1 & 0 & 0 \\ 0 & 0 & 0 & 0 & 0 & f_5^{66}(t) & f_6^{67}(t) \\ 0 & 0 & 0 & 0 & 0 & f_5^{76}(t) & f_6^{77}(t) \end{bmatrix} \quad (2.72)$$

Matricea sistemului discret  $A_d$  se obține în final cu relația:

$$A_d = \Phi(t)|_{t=T_s} = \Phi(T_s) \quad \text{cu } T_s = \text{pasul de discretizare}$$

Determinarea lui  $b_d$  se face prin efectuarea integralei din (2.69), adică:

$$\begin{aligned} b_d^T &= b_3^T \int_0^{T_s} \begin{bmatrix} f_1^{13}(t) & f_1^{23}(t) & f_1^{33}(t) & 0 & 0 & 0 & 0 \end{bmatrix} dt = \\ &= b_3^T \begin{bmatrix} f_2^{13}(T_s) & f_2^{23}(T_s) & f_2^{33}(T_s) & 0 & 0 & 0 & 0 \end{bmatrix} \end{aligned} \quad (2.73)$$

Un aspect care nu a fost atins în discretizarea de mai sus constă în surprinderea întârzierii introduse chiar de către regulator. În reglarea numerică a unui proces rapid, rareori sistemul de calcul este așa de rapid încât mărimea de comandă să poată fi considerată furnizată procesului simultan cu achiziția mărimilor din proces. De cele mai multe ori există o întârziere între achiziție și generarea comenzii, datorată convertoarelor analog-numeric (CAN), a calculului efectuat și a CNA. Această întârziere trebuie luată în considerare în procesul de discretizare, ea introducând un pol în originea planului "z".

Astfel, dacă întârzierea introdusă de regulator este  $t_R < T_c$  atunci ea poate fi surprinsă din punct de vedere matematic prin introducerea unui timp mort de valoare  $t_R$  pe canalul mării de comandă  $u$  a procesului, sub forma:

$$\dot{x}(t) = Ax(t) + Bu(t - t_R) \quad (2.74)$$

În condiții inițiale  $x_0$  date se obține

$$x(t) = \exp(At)x_0 + \int_0^t \exp[A(t - \tau)]Bu(\tau)d\tau \quad (2.75)$$

Așadar, discretizarea pleacă practic de la:

$$x_{k+1} = \exp[A(k+1)T_c]x_0 + \int_0^{(k+1)T_c} \exp[A(kT_c - \tau)]Bu(\tau)d\tau \quad (2.76)$$

Cum  $u_k$  se modifică în trepte și  $B = \text{const.}$ , în ipoteza că  $t_R < T_c$  se obține

$$x_{k+1} = \exp(AT_c) \left[ \exp(AkT_c)x_0 + \int_0^{kT_c} \exp[A(kT_c - \tau)]Bu(\tau)d\tau \right] + \left( \int_{kT_c}^{kT_c+t_R} \exp[A(k+1)T_c - \tau]d\tau \right) Bu_{k-1} + \left( \int_{kT_c+t_R}^{(k+1)T_c} \exp[A(k+1)T_c - \tau]d\tau \right) Bu_k$$

rezultând în final

$$x_{k+1} = \exp(AT_c)x_k + \left( \int_0^{T_c-t_R} \exp(A\tau)d\tau \right) Bu_k + \left( \int_{T_c-t_R}^{T_c} \exp(A\tau)d\tau \right) Bu_{k-1} \quad (2.77)$$

Este ușor de observat că rezultatul discretizării este un proces de un ordin mai mare cu o unitate decât al sistemului în timp continuu de la care s-a plecat. Ecuațiile (2.77) nu reprezintă un model pe stare în formă canonică, care să surprindă în mod nemijlocit acest lucru. Este necesară introducerea unei noi variabile de stare  $x_{n-1} = u_{k-1}$ . Rezultă imediat mărirea ordinului sistemului și introducerea unui pol în origine

Exemplul de discretizare din acest paragraf a fost parcurs, mai mult, pentru a evidenția problemele și complexitatea procesului de discretizare a unui proces. Pe parcursul acestei lucrări, în studiul diferitelor procese se va recurge la metode numerice de discretizare, metode implementate în pachetul MATLAB în funcțiile "c2d" (continuous to discrete) sau "c2dt" (continuous to discrete with delay) [\*2].

## 2.2 Modelarea matematică a sistemului cu doi electromagneți și un grad de libertate (S2E1GL)

### 2.2.1 Modelul matematic neliniar al S2E1GL

Doi electromagneți fixați rigid într-un sistem fizic inerțial dat, definit de axa de referință situată la jumătatea distanței  $D$  dintre ei, dezvoltă asupra jugului feromagnetic mobil, prin intermediul curenților  $i_1$  și  $i_2$  produși în înfășurări de tensiunile de alimentare  $u_{a1}$  și  $u_{a2}$ , forțele de atracție  $F_{a1}$  și  $F_{a2}$  de sensuri contrare. În interiorul sistemului fizic considerat, deplasarea jugului este posibilă doar în lungul axei  $z$  (un grad de libertate), iar ansamblul este mobil tot după un singur grad de libertate, după axa  $z$ , situându-se la distanța  $z_m$  față de o axă de referință absolută

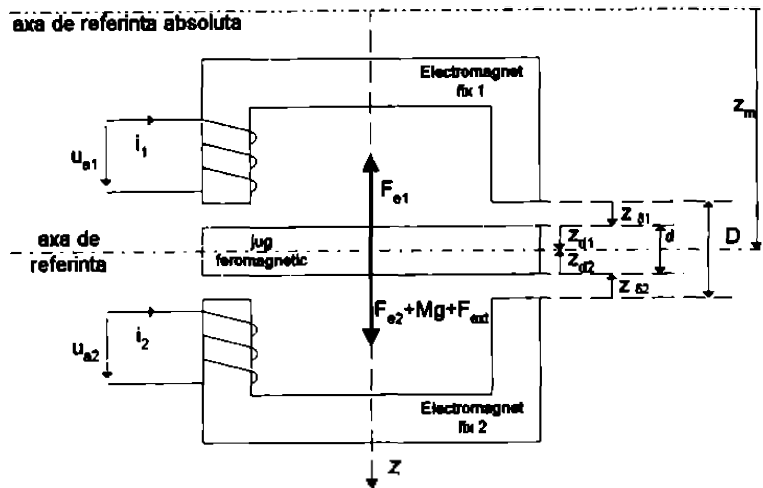


Figura 2.5. Sistemul cu 2 electromagneți și 1 grad de libertate

Asupra jugului feromagnetic se mai exercită forțe exterioare cu caracter perturbator  $F_{ext}$  și greutatea proprie  $Mg$ . Întrefierurile absolute dintre electromagneți și jugul mobil sunt  $z_{\delta 1}$  și  $z_{\delta 2}$ , între ele existând relația:

$$z_{\delta 1} + z_{d1} = z_{\delta 2} + z_{d2} = \frac{D}{2} \quad (2.78)$$

cu  $z_{d1} + z_{d2}$  grosimea jugului.

O prelucrare mecanică ideală a jugului înseamnă  $z_{d1} + z_{d2} = d = \text{constant}$ , situație în care poziția dorită a sistemului se exprimă prin condițiile:

$$z_{d1} = z_{d2} = \frac{d}{2} \quad \text{și} \quad z_{\delta 1} = z_{\delta 2} \quad (2.79)$$

Cum prelucrarea este întotdeauna imperfectă, utilizarea a două bucle de reglare independente pentru fiecare electromagnet, care să stabilească pentru cele două întrefieruri valori prescrise distincte, bucle care să nu țină cont una de alta, este imposibilă datorită rigidității sistemului. Din acest motiv se va considera ca mărime reglată un unic întrefier, un *întrefier diferențial*, cu semnul convențional pozitiv după axa  $z$

$$z_{\delta} = \frac{1}{2}(z_{\delta 1} - z_{\delta 2}) \quad (2.80)$$

care în situația ideală enunțată mai sus va fi nul.

Figura 2.6 redă modelul fizic în care sunt surprinse imperfecțiunile de prelucrare  $z_{s1}$  și  $z_{s2}$  astfel încât  $z_{d1}$  și  $z_{d2}$  pot fi exprimate ca:

$$z_{d1} = \frac{D-d}{2} + z_{s1}, \quad z_{d2} = \frac{D-d}{2} + z_{s2}, \quad z_{\delta} = \frac{z_{s1} - z_{s2}}{2} \quad (2.81)$$

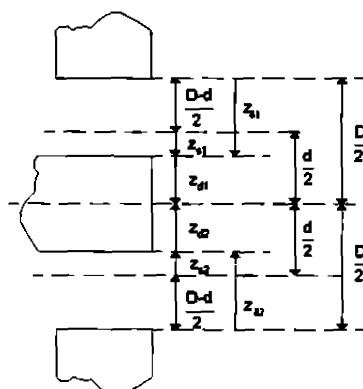


Figura 2.6. Detalii ale notațiilor legate de dimensiunile geometrice ale S2E1GL

Introducând mărimea (eroarea medie de prelucrare a jugului)

$$z_s = \frac{-z_{s1} + z_{s2}}{2} \quad (2.82)$$

ca o mărime perturbatoare datorată imperfecțiunilor geometrice ale jugului,  $z_{s1}$  și  $z_{s2}$  sunt determinate prin  $z_\delta$  și  $z_s$ :

$$z_{s1} = z_\delta + z_s, \quad z_{s2} = z_\delta - z_s. \quad (2.83)$$

Se face precizarea că în regim staționar, prin sistemul de reglare automată jugul se presupune a fi poziționat simetric față de axa de referință și deci

$$z_s = z_{s1} = z_{s2}, \quad z_\delta = 0 \quad (2.84)$$

Cu aceste precizări modelul matematic neliniar, în ipoteza  $\mu_{Fe} = \text{constant}$  este:

$$\begin{aligned} u_{o1} &= i_1 R_1 + \frac{d\psi_1}{dt} & u_{o2} &= i_2 R_2 + \frac{d\psi_2}{dt} \\ \psi_1 &= L_1(z_{\delta 1}) i_1 & \psi_2 &= L_2(z_{\delta 2}) i_2 \\ F_{e1} &= -\frac{1}{2} \frac{dL_1(z_{\delta 1})}{dz_{\delta 1}} i_1^2 & F_{e2} &= -\frac{1}{2} \frac{dL_2(z_{\delta 2})}{dz_{\delta 2}} i_2^2 \\ M(\ddot{z}_m + \ddot{z}_\delta) &= Mg - F_{e1} + F_{e2} + F_{em} & & \\ z_\delta &= \frac{z_{s1} + z_{s2}}{2} & & \\ z_s &= \frac{-z_{s1} + z_{s2}}{2} & & \end{aligned} \quad (2.85)$$

Presupunând că electromagneții sunt identici atât ca dimensiuni geometrice cât și din punctul de vedere al înfășurărilor, rezistențele acestora sunt egale

$$R_1 = R_2 = R \quad (2.86)$$

și constatnele ce intervin în expresiile inductanțelor sunt de asemenea identice și în consecință

$$L_1(z_{s1}) = I_1(z_{s1}) = \frac{c}{\frac{D-d}{2} + z_{s1} + z_0} + I_\infty \quad (2.87)$$

$$L_2(z_{s2}) = I_2(z_{s2}) = \frac{c}{\frac{D-d}{2} + z_{s2} + z_0} + I_\infty$$

Notând

$$\frac{D-d}{2} + z_0 = \eta \quad (2.88)$$

se mai poate scrie:

$$I_1(z_{s1}) = \frac{c}{\eta + z_{s1}} + I_\infty \quad I_2(z_{s2}) = \frac{c}{\eta + z_{s2}} + I_\infty \quad (2.89)$$

În regim staționar, în care s-a presupus valabilitatea relației (2.84) ecuațiile sistemului devin:

$$\begin{aligned} U_{a10} &= I_{10}R_1 & U_{a20} &= I_{20}R_2 \\ \Psi_{10} &= I_1(z_{s0})I_{10} & \Psi_{20} &= I_2(z_{s0})I_{20} \\ F_{e10} &= -\frac{1}{2} \frac{dI_1(z_{s0})}{dz_s} I_{10}^2 & F_{e20} &= -\frac{1}{2} \frac{dI_2(z_{s0})}{dz_s} I_{20}^2 \\ 0 &= Mg - F_{e01} + F_{e02} + F_{car0} \\ z_\delta &= 0 \end{aligned} \quad (2.90)$$

Aparent, în regim staționar nu are sens dezvoltarea unei forțe  $F_{e20}$  decât în situația unor forțe exterioare negative de valoare mare, astfel că în absența acestora  $I_{20}$  ar putea fi nul. Totuși, deși cu un consum mai mare de energie, pentru a obține performanțe dinamice superioare se impune prevederea unei pretensionări a sistemului în sensul că pentru regimul normal de funcționare, în absența perturbațiilor se alege curentul  $I_{20}$  astfel încât forța  $F_{e20}$  să fie aproximativ 10% până la 20% din  $Mg$  și deci  $F_{e10}$  110%÷120% din greutatea jugului. Pretensionarea diminuează unele manifestări de tip histeresis și de tip inerțial. În situația în care sistemul se află inițial într-un echilibru labil (situația unui ghidaj sau situația modelului de laborator studiat în această lucrare), se dorește o pretensionare a sistemului cu 10%÷20% din sarcina nominală

Se face precizarea că studiul acestui tip de sistem cu sustentație electromagnetică este făcut în vederea utilizării rezultatelor obținute în analiza lagarelor cu sustentație electromagnetică (lagăre active), S2E1GI reprezentând "axa unui lagăr" respectiv un proces condus.

### 2.2.2 Linearizarea S2E1GI și stabilirea modelului matematic intrare-stare-ieșire

Linearizarea sistemului se face după același principiu ca și în paragraful 2.1.2, în jurul unui punct de funcționare  $\Delta_0(z_{s1}, z_{s2}, z_m, F_{esa}) = \Delta_0(0, 0, z_{m0}, F_{esa0})$ . Linearizarea se poate face din nou prin eliminarea fluxului cât și prin eliminarea curentului. Astfel, în primul caz se obține:

$$\begin{aligned}
 u_{a1} &= Ri_1 + \alpha'_{11}i_1 + \alpha'_{1s}z_{s1} & u_{a2} &= Ri_2 + \alpha'_{21}i_2 + \alpha'_{2s}z_{s2} \\
 f_{e1} &= \beta'_{11}i_1 + \beta'_{1s}z_{s1} & f_{e2} &= \beta'_{21}i_2 + \beta'_{2s}z_{s2} \\
 M(\ddot{z}_m + \ddot{z}_\delta) &= -f_{e1} + f_{e2} + f_{ext} \\
 z_\delta &= \frac{z_{s1} - z_{s2}}{2} & z_s &= \frac{z_{s1} + z_{s2}}{2}
 \end{aligned}
 \tag{2.91}$$

în care toate mărimile reprezintă variații, renunțându-se pentru simplificare la scrierea simbolului  $\Delta$ . Recurgând la relațiile (2.12) și (2.17) pentru coeficienții de liniarizare se constată că:

$$\begin{aligned}
 \alpha'_{11} &= \alpha'_{21} = \frac{c}{\eta} + L_m & \alpha'_{1s} &= -\frac{c}{\eta^2}I_{10} & \alpha'_{2s} &= -\frac{c}{\eta^2}I_{20} \\
 \beta'_{11} &= \frac{c}{\eta^2}I_{10} & \beta'_{21} &= \frac{c}{\eta^2}I_{20} & \beta'_{1s} &= -\frac{c}{\eta^3}I_{10}^2 & \beta'_{2s} &= -\frac{c}{\eta^3}I_{20}^2
 \end{aligned}
 \tag{2.92}$$

Se observă dependența acestor coeficienți doar de curenți, adică de greutatea jugului mobil și de forța exterioară perturbatoare luată inițial în considerare, precum și de dimensiunile geometrice ale sistemului.

Schema bloc informațională dedusă din relațiile (2.91) este redată în figura 2.7.

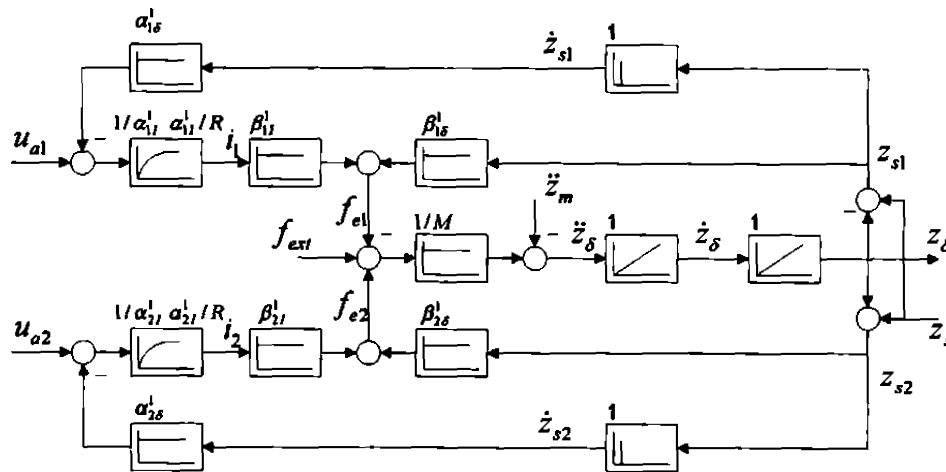


Figura 2.7. Schema bloc informațională a S2E1GL cu eliminarea fluxului

Modelul matematic intrare-stare-ieșire se deduce ținând cont de relațiile (2.83). Se obține:

$$\begin{bmatrix} z_\delta \\ \dot{z}_\delta \\ i_1 \\ i_2 \end{bmatrix}' = \begin{bmatrix} 0 & 1 & 0 & 0 \\ a'_{21} & 0 & a'_{23} & a'_{24} \\ 0 & a'_{32} & a'_{33} & 0 \\ 0 & a'_{42} & 0 & a'_{44} \end{bmatrix} \begin{bmatrix} z_\delta \\ \dot{z}_\delta \\ i_1 \\ i_2 \end{bmatrix} + \begin{bmatrix} 0 & 0 \\ 0 & 0 \\ b'_3 & 0 \\ 0 & b'_4 \end{bmatrix} \begin{bmatrix} u_{a1} \\ u_{a2} \end{bmatrix} + \begin{bmatrix} 0 & 0 & 0 & 0 \\ b'_{v,21} & b'_{v,22} & 0 & -1 \\ 0 & 0 & b'_{v,33} & 0 \\ 0 & 0 & b'_{v,43} & 0 \end{bmatrix} \begin{bmatrix} f_{ext} \\ z_s \\ \dot{z}_s \\ \ddot{z}_m \end{bmatrix}
 \tag{2.93}$$

în care:

$$\begin{aligned}
 a_{21}^1 &= -\frac{\beta_{1\delta}^1 + \beta_{2\delta}^1}{M} & a_{23}^1 &= -\frac{\beta_{1l}^1}{M} & a_{24}^1 &= \frac{\beta_{2l}^1}{M} & a_{32}^1 &= -\frac{\alpha_{1\delta}^1}{\alpha_{1l}^1} & a_{33}^1 &= -\frac{R}{\alpha_{1l}^1} \\
 a_{42}^1 &= \frac{\alpha_{2\delta}^1}{\alpha_{2l}^1} & a_{44}^1 &= -\frac{R}{\alpha_{2l}^1} & b_3^1 &= \frac{1}{\alpha_{1l}^1} & b_4^1 &= \frac{1}{\alpha_{2l}^1} \\
 b_{v,21}^1 &= \frac{1}{M} & b_{v,22}^1 &= \frac{-\beta_{1\delta}^1 + \beta_{2\delta}^1}{M} & b_{v,33}^1 &= -\frac{\alpha_{1\delta}^1}{\alpha_{1l}^1} & b_{v,43}^1 &= -\frac{\alpha_{2\delta}^1}{\alpha_{2l}^1}
 \end{aligned} \tag{2.94}$$

sau înlocuind cu (2.92):

$$\begin{aligned}
 a_{21}^1 &= \frac{c}{M\eta^3} (I_{10}^2 + I_{20}^2) & a_{23}^1 &= -\frac{c}{M\eta^2} I_{10} & a_{24}^1 &= \frac{c}{M\eta^2} I_{20} \\
 a_{32}^1 &= \frac{c}{\eta^2 L_0} I_{10} & a_{33}^1 &= -\frac{R}{L_0} & a_{42}^1 &= -\frac{c}{\eta^2 L_0} I_{20} & a_{44}^1 &= -\frac{R}{L_0} \\
 b_{31}^1 &= b_{3l}^1 = \frac{1}{L_0} & b_{v,21}^1 &= \frac{1}{M} & b_{v,22}^1 &= \frac{c}{M\eta^3} (I_{10}^2 - I_{20}^2) \\
 b_{v,33}^1 &= \frac{c}{\eta^2 L_0} I_{10} & b_{v,43}^1 &= \frac{c}{\eta^2 L_0} I_{20} & \text{cu } l_0 &= \frac{c}{\eta + L_\infty}
 \end{aligned} \tag{2.95}$$

Se observă că în situația în care sistemul este utilizat într-o aplicație de ghidaj în care nu se face pretensionarea electromagneților așa cum s-a enunțat mai sus, la echilibru curenții în starea de echilibru staționar sunt nuli și doar 2 dintre coeficienții matricei sistemului sunt nenuli. Sistemul devine astfel necontrolabil, cu indicele de controlabilitate  $\nu=2$ . Cu o pretensionare, se poate ușor arăta că sistemul (2.93) este controlabil.

Similar, liniarizarea cu eliminarea curentului conduce la ecuațiile:

$$\begin{aligned}
 u_{s1} &= \alpha_{1v}^2 \psi_1 + \alpha_{1\delta}^2 \bar{z}_{s1} + \dot{\psi}_1 & u_{s2} &= \alpha_{2v}^2 \psi_2 + \alpha_{2\delta}^2 \bar{z}_{s2} + \dot{\psi}_2 \\
 f_{e1} &= \beta_{1v}^2 \psi_1 + \beta_{1\delta}^2 \bar{z}_{s1} & f_{e2} &= \beta_{2v}^2 \psi_2 + \beta_{2\delta}^2 \bar{z}_{s2} \\
 M(\ddot{z}_m + \ddot{z}_\delta) &= -f_{e1} + f_{e2} + f_{ext} \\
 z_\delta &= \frac{1}{2}(\bar{z}_{s1} - \bar{z}_{s2}) & z_s &= \frac{1}{2}(\bar{z}_{s1} + \bar{z}_{s2})
 \end{aligned} \tag{2.96}$$

în care coeficienții de liniarizare s-au determinat utilizând relațiile (2.15)

$$\begin{aligned}
 \alpha_{1v}^2 &= \alpha_{2v}^2 = \frac{R}{L_0} & \alpha_{1\delta}^2 &= \frac{Rc}{\eta^2 L_0^2} \Psi_{10} & \alpha_{2\delta}^2 &= \frac{Rc}{\eta^2 L_0^2} \Psi_{20} \\
 \beta_{1v}^2 &= \frac{c}{\eta^2 L_0^2} \Psi_{10} & \beta_{2v}^2 &= \frac{c}{\eta^2 L_0^2} \Psi_{20} \\
 \beta_{1\delta}^2 &= -\frac{c}{\eta^3 L_0^2} \left(1 - \frac{c}{\eta L_0}\right) \Psi_{10}^2 & \beta_{2\delta}^2 &= -\frac{c}{\eta^3 L_0^2} \left(1 - \frac{c}{\eta L_0}\right) \Psi_{20}^2
 \end{aligned} \tag{2.97}$$

Cu aceasta se poate reprezenta schema bloc informațională a S2E1GL cu eliminarea curentului (figura 2.8).

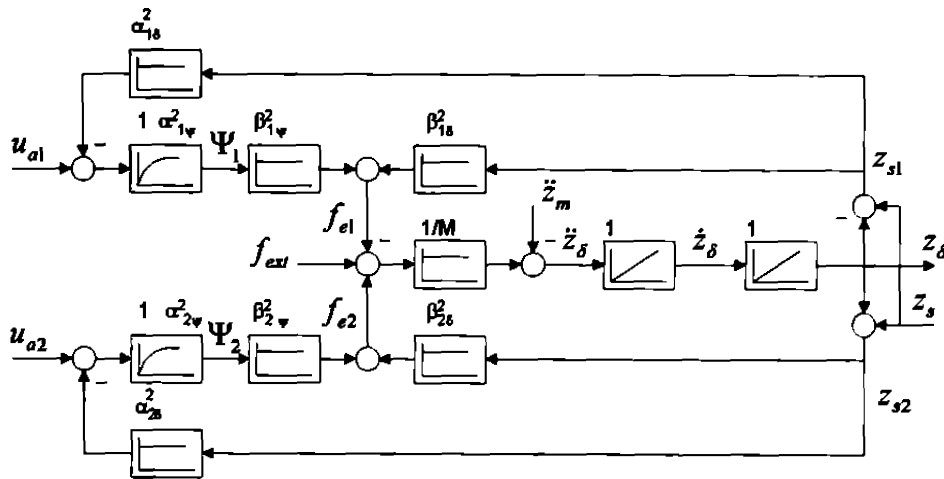


Figura 2.8. Schema bloc informațională a S2E1GL cu eliminarea curentului

Modelul matematic intrare-stare-ieșire pentru sistemul dedus se poate scrie:

$$\begin{bmatrix} z_\delta \\ \dot{z}_\delta \\ \Psi_1 \\ \Psi_2 \end{bmatrix}' = \begin{bmatrix} 0 & 1 & 0 & 0 \\ a_{21}^2 & 0 & a_{23}^2 & a_{24}^2 \\ a_{31}^2 & 0 & a_{33}^2 & 0 \\ a_{41}^2 & 0 & 0 & a_{44}^2 \end{bmatrix} \begin{bmatrix} z_\delta \\ \dot{z}_\delta \\ \Psi_1 \\ \Psi_2 \end{bmatrix} + \begin{bmatrix} 0 & 0 \\ 0 & 0 \\ 1 & 0 \\ 0 & 1 \end{bmatrix} \begin{bmatrix} u_{a1} \\ u_{a2} \end{bmatrix} + \begin{bmatrix} 0 & 0 & 0 \\ b_{v,21}^2 & b_{v,22}^2 & -1 \\ 0 & b_{v,32}^2 & 0 \\ 0 & b_{v,42}^2 & 0 \end{bmatrix} \begin{bmatrix} f_{ext} \\ z_s \\ \dot{z}_m \end{bmatrix} \quad (2.98)$$

în care coeficienții s-au dedus din relațiile (2.97)

$$\begin{aligned} a_{21}^2 &= -\frac{\beta_{1\delta}^2 + \beta_{2\delta}^2}{M} & a_{23}^2 &= -\frac{\beta_{1v}^2}{M} & a_{24}^2 &= \frac{\beta_{2v}^2}{M} & a_{31}^2 &= -\alpha_{1\delta}^2 & a_{33}^2 &= -\alpha_{1v}^2 \\ a_{41}^2 &= \alpha_{2\delta}^2 & a_{44}^2 &= -\alpha_{2v}^2 & b_{v,21}^2 &= \frac{1}{M} & b_{v,22}^2 &= \frac{-\beta_{1\delta}^2 + \beta_{2\delta}^2}{M} & b_{v,32}^2 &= -\alpha_{1\delta}^2 & b_{v,42}^2 &= -\alpha_{1\delta}^2 \end{aligned} \quad (2.99)$$

iar înlocuind coeficienții de linearizare cu expresiile lor din (2.97) se obține:

$$\begin{aligned} a_{21}^2 &= \frac{c}{\eta^3 ML_0^2} \left(1 - \frac{c}{\eta L_0}\right) (\Psi_{10}^2 + \Psi_{20}^2) & a_{23}^2 &= -\frac{c}{\eta^2 ML_0^2} \Psi_{10} & a_{24}^2 &= \frac{c}{\eta^2 ML_0^2} \Psi_{20} \\ a_{31}^2 &= -\frac{Rc}{\eta^2 L_0} \Psi_{10} & a_{33}^2 &= a_{44}^2 = -\frac{R}{L_0} = -\frac{1}{T_0} & a_{41}^2 &= \frac{Rc}{\eta^2 L_0} \Psi_{20} & b_{v,21}^2 &= \frac{1}{M} \\ b_{v,22}^2 &= \frac{c}{\eta^3 ML_0^2} \left(1 - \frac{c}{\eta L_0}\right) (\Psi_{10}^2 - \Psi_{20}^2) & b_{v,32}^2 &= -\frac{Rc}{\eta^2 L_0} \Psi_{10} & b_{v,42}^2 &= -\frac{Rc}{\eta^2 L_0} \Psi_{20} \end{aligned} \quad (2.100)$$

Se observă din expresiile coeficienților  $b_{v,21}^2$  și  $b_{v,22}^2$  că în situația unui sistem de ghidare efectul perturbăției  $z_s$  asupra vitezei este nul.

Și în acest caz se poate arăta că în situația unui sistem tensionat, sistemul (2.98) este controlabil.

În ceea ce privește ecuațiile de ieșire, cel mai ieftin într-un astfel de sistem este măsurarea întrefierului și a celor doi curenți. Nici măsurarea directă a fluxului în întrefier nu este deosebit de complicată având în vedere existența sondelor Hall și a întrefierului mic considerat.



Din motive de simplitate constructivă și preț se preferă utilizarea curenților ca mărimi de măsură. Măsurarea întrefierului se face diferențial pentru a se obține o liniarizare cât mai bună a semnalului de ieșire a traductorului, fără a mai utiliza circuite de liniarizare suplimentare. Se măsoară astfel chiar  $z_6$ . În consecință ecuațiile de ieșire ale sistemului pentru (2.93) sunt:

$$\begin{bmatrix} \ddot{z}_\delta \\ i_1 \\ i_2 \end{bmatrix} = \begin{bmatrix} 1 & 0 & 0 & 0 \\ 0 & 0 & 1 & 0 \\ 0 & 0 & 0 & 1 \end{bmatrix} \begin{bmatrix} \ddot{z}_\delta \\ \dot{z}_\delta \\ i_1 \\ i_2 \end{bmatrix} \quad (2.101)$$

iar pentru (2.98) ecuațiile de ieșire conțin și parametri și perturbații:

$$\begin{bmatrix} \ddot{z}_\delta \\ i_1 \\ i_2 \end{bmatrix} = \begin{bmatrix} 1 & 0 & 0 & 0 \\ -\alpha_{1\delta}^2 & 0 & \alpha_{1\psi}^2 & 0 \\ \alpha_{2\delta}^2 & 0 & 0 & \alpha_{2\psi}^2 \end{bmatrix} \begin{bmatrix} \ddot{z}_\delta \\ \dot{z}_\delta \\ \psi_1 \\ \psi_2 \end{bmatrix} + \begin{bmatrix} 0 & 0 & 0 \\ 0 & -\alpha_{1\delta}^2 & 0 \\ 0 & -\alpha_{2\delta}^2 & 0 \end{bmatrix} \begin{bmatrix} f_{ext} \\ z_s \\ \ddot{z}_m \end{bmatrix} \quad (2.102)$$

Ecuațiile de ieșire (2.101) și (2.102) permit demonstrarea proprietății de observabilitate a S2E1GL.

După cum s-a precizat și în paragraful 2.1 sistemele (2.93) cu (2.101) și (2.98) cu (2.102) descriu funcționarea aceluiași sistem și sunt echivalente. Avantajul modelului cu eliminarea fluxului constă în accesul la 3 din 4 variabile de stare prin măsurare directă, în timp ce sistemul obținut prin eliminarea curentului are avantajul unei perturbații "mai puțin", derivata lui  $z_s$ . În funcție de tipul analizei se poate utiliza una sau alta din descrierile S2E1GL liniarizat. O formă controlabilă a sistemului cu variabile de stare care să aibe corespondent fizic în sistem nu este de data aceasta posibilă. Se poate însă oricând găsi o transformare de stare care să aducă S2E1GL la forma canonică controlabilă

### 2.2.3 Caracterizarea în domeniul pulsațiilor a S2E1GL

Datorită echivalenței sistemelor (2.93) și (2.98), pentru determinarea caracteristicilor de pulsație sunt suficiente calcule plecând de la o singură formă a sistemului. În cele ce urmează s-au ales ecuațiile (2.93).

Polinomul caracteristic este dat de

$$\begin{aligned} \mu(s) = & s^4 - (a_{33}^1 + a_{44}^1)s^3 + (a_{13}^1 a_{33}^1 - a_{24}^1 a_{42}^1 - a_{32}^1 a_{23}^1 - a_{21}^1)s^2 + [a_{21}^1(a_{33}^1 + a_{44}^1) + \\ & + a_{23}^1 a_{42}^1 a_{33}^1 + a_{23}^1 a_{32}^1 a_{44}^1]s - a_{21}^1 a_{33}^1 a_{44}^1 \end{aligned} \quad (2.103)$$

El are ca și în cazul S1E1GL un pol "instabil". Principalele mărimi au expresiile

$$\begin{aligned} z_\delta(s) = & \frac{1}{\mu(s)} \{ a_{21}^1 (s - a_{44}^1) u_{a1}(s) + a_{24}^1 (s - a_{33}^1) u_{a2}(s) + b_{v,21}^1 [s^2 - (a_{33}^1 + a_{44}^1)s + \\ & + a_{33}^1 a_{44}^1] f_{arr}(s) + b_{v,22}^1 [s^2 - (a_{33}^1 + a_{44}^1)s + a_{33}^1 a_{44}^1] z_s(s) + [b_{v,33}^1 a_{23}^1 (s - a_{44}^1) + \\ & + b_{v,34}^1 a_{24}^1 (s - a_{33}^1)] \dot{z}_s(s) - [s^2 - (a_{33}^1 + a_{44}^1)s + a_{33}^1 a_{44}^1] \ddot{z}_m(s) \} \end{aligned} \quad (2.104)$$

$$\begin{aligned} \dot{z}_\delta(s) = & \frac{s}{\mu(s)} \left\{ a_{23}^1 (s - a_{44}^1) u_{o1}(s) + a_{24}^1 (s - a_{33}^1) u_{o2}(s) + b_{v,21}^1 [s^2 - (a_{33}^1 + a_{44}^1)s + \right. \\ & + a_{33}^1 a_{44}^1] f_{ext}(s) + b_{v,22}^1 [s^2 - (a_{33}^1 + a_{44}^1)s + a_{33}^1 a_{44}^1] z_s(s) + [b_{v,33}^1 a_{23}^1 (s - a_{44}^1) + \\ & \left. + b_{v,34}^1 a_{24}^1 (s - a_{33}^1)] \dot{z}_s(s) - [s^2 - (a_{33}^1 + a_{44}^1)s + a_{33}^1 a_{44}^1] \ddot{z}_m(s) \right\} \end{aligned} \quad (2.105)$$

$$\begin{aligned} i_1(s) = & \frac{1}{\mu(s)} \left\{ b_{31}^1 [s^3 - a_{44}^1 s^2 - (a_{24}^1 a_{42}^1 + a_{21}^1)s + a_{21}^1 a_{44}^1] u_{o1}(s) + b_{42}^1 a_{24}^1 u_{o2}(s) + \right. \\ & b_{v,21}^1 a_{32}^1 s (s - a_{44}^1) f_{ext}(s) + b_{v,22}^1 a_{32}^1 s (s - a_{44}^1) z_s(s) + [b_{v,33}^1 (s^3 - a_{44}^1 s^2 - \\ & (a_{24}^1 a_{42}^1 + a_{21}^1)s + a_{21}^1 a_{44}^1) + b_{v,43}^1 a_{24}^1 a_{32}^1 s] \dot{z}_s(s) - a_{32}^1 s (s - a_{44}^1) \ddot{z}_m(s) \left. \right\} \end{aligned} \quad (2.106)$$

$$\begin{aligned} i_2(s) = & \frac{1}{\mu(s)} \left\{ -b_{31}^1 a_{23}^1 u_{o1}(s) + b_{42}^1 [s^3 - a_{33}^1 s^2 - (a_{23}^1 a_{32}^1 + a_{21}^1)s + a_{21}^1 a_{33}^1] u_{o2}(s) + \right. \\ & b_{v,21}^1 a_{42}^1 s (s - a_{33}^1) f_{ext}(s) + b_{v,22}^1 a_{42}^1 s (s - a_{33}^1) z_s(s) + [b_{v,43}^1 (s^3 - a_{33}^1 s^2 - \\ & (a_{23}^1 a_{32}^1 + a_{21}^1)s + a_{21}^1 a_{33}^1) + b_{v,33}^1 a_{23}^1 a_{42}^1 s] \dot{z}_s(s) - a_{42}^1 s (s - a_{33}^1) \ddot{z}_m(s) \left. \right\} \end{aligned} \quad (2.107)$$

$$\psi_1(s) = \alpha_{1\delta}^1 z_\delta(s) + \alpha_{11}^1 i_1(s) - \alpha_{1\delta}^1 z_s(s) \quad (2.108)$$

$$\psi_2(s) = \alpha_{2\delta}^1 z_\delta(s) + \alpha_{21}^1 i_2(s) - \alpha_{2\delta}^1 z_s(s) \quad (2.109)$$

$$f_{e1}(s) = \beta_{1\delta}^1 z_\delta(s) + \beta_{11}^1 i_1(s) - \beta_{1\delta}^1 z_s(s) \quad (2.110)$$

$$f_{e2}(s) = \beta_{2\delta}^1 z_\delta(s) + \beta_{21}^1 i_2(s) - \beta_{2\delta}^1 z_s(s) \quad (2.111)$$

Se observă că trei dintre perturbații, forța exterioară, eroarea de prelucrare medie și accelerația față de referința absolută pot fi cuprinse într-o singură mărime perturbatoare fie de tip forță exterioară, fie de tip accelerație.

Trasarea unora dintre aceste caracteristici de pulsație se va face pentru un model de laborator, prezentat în cele ce urmează.

## 2.2.4 Descrierea modelului de laborator utilizat în studiul S2E1GL

În figura 2.9 se prezintă schematic modelul de laborator utilizat în studiul S2E1GL.

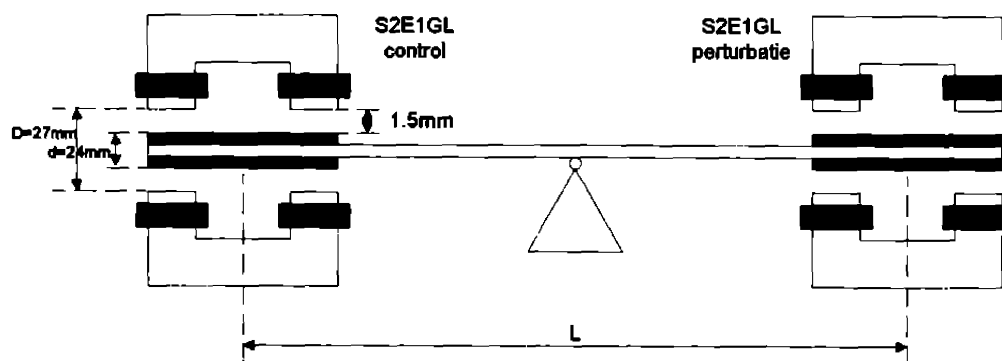


Figura 2.9. Modelul de laborator pentru experimentarea S2E1GL

O pârghie dintr-un material nemagnetic se află în echilibru. La capetele pârghiei sunt plasate pe ambele părți plăci feromagnetice reprezentând jugul mobil a 4 electromagneți de tipul celui descris în anexa A2.1, paragraful A2.1.2. În fiecare capăt, ansamblul *electromagneți - jug mobil* reprezintă câte un sistem cu 2 electromagneți și 1 grad de libertate.

Unul dintre aceste două S2E1GL este sistemul luat în studiu, cu titlul de proces condus, pentru care se caută păstrarea unui întrefier  $z_s=0$ , celălalt S2E1GL este utilizat în scopul perturbării echilibrului primului sistem. Forțele dezvoltate de cele două sisteme se consideră că acționează în două puncte aflate la egală distanță  $L/2$  de centrul pârghiei. Această lungime  $L$  este suficient de mare, fiind aleasă astfel încât unghiul de înclinare al pârghiei să fie neglijabil, mișcarea putându-se considera după o singură axă  $z$  și în același timp suficient de scurtă ca arcurile pârghiei sub acțiunea forțelor ce acționează asupra ei să se poată neglija (ultima condiție depinzând și de materialul din care este confecționată pârghia). Întrefierul nominal este 1.5 mm, iar distanțele  $D$  și  $d$  necesare calculului coeficienților de liniarizare sunt date în figură.

Sistemul perturbator poate genera forțe modulate, ce se pot echivala cu forțe exterioare perturbatoare dezvoltate în sistemul de control, cu ajutorul lui putându-se simula unele din perturbațiile ce acționează în general asupra unui S2E1GL.

Electromagneții utilizați sunt de tipul celui studiat în paragraful 2.1, sub denumirea de electromagnet cu forță portantă redusă și caracteristicile sale sunt date în anexa A2.1.

Sistemul din figura 2.10 are caracteristicile unui sistem de ghidaj și necesită o pretensionare. Forțele nominale la care trebuie să facă față sunt de 20 N, cu o pretensionare de 10% rezultând că la echilibru și în absența unor forțe exterioare forțele electromagnetice dezvoltate trebuie să fie de 2 N. Cu această precizare și cu datele electromagneților din anexa A2.1 se pot calcula coeficienții de liniarizare și modelele matematice obținându-se:

$$\alpha_{1f}^1 = \alpha_{2f}^1 = 0.0104 \text{ H} \quad \alpha_{1s}^1 = \alpha_{2s}^1 = -5.0842 \text{ Wb / m}$$

$$\beta_{1f}^1 = \beta_{2f}^1 = 5.0842 \text{ N / A} \quad \beta_{1s}^1 = \beta_{2s}^1 = -2.5997 \cdot 10^3 \text{ N / m}$$

$$a_{21}^1 = 2.5997 \cdot 10^3 \text{ sec}^{-2} \quad a_{23}^1 = -2.5421 \text{ m / A} \cdot \text{sec}^2 \quad a_{24}^1 = 2.5421 \text{ m / A} \cdot \text{sec}^2$$

$$a_{32}^1 = 487.5726 \text{ Wb} \quad a_{33}^1 = -36.4415 \text{ sec}^{-1} \quad a_{42}^1 = -487.5726 \text{ Wb} \quad a_{44}^1 = -36.4415 \text{ sec}^{-1}$$

$$b_3^1 = b_4^1 = 95.8988 \text{ H}^{-1} \quad b_{v,21}^1 = 0.5 \text{ kg}^{-1} \quad b_{v,22}^1 = 0 \quad b_{v,33}^1 = b_{v,43}^1 = 487.5726 \text{ Wb / m}$$

$$\alpha_{1w}^2 = \alpha_{2w}^2 = 36.4415 \text{ sec}^{-1} \quad \alpha_{1s}^2 = \alpha_{2s}^2 = 185.2776 \text{ A / m}$$

$$\beta_{1w}^2 = \beta_{2w}^2 = 487.5726 \text{ N / Wb} \quad \beta_{1s}^2 = \beta_{2s}^2 = -120.7126 \text{ N / m}$$

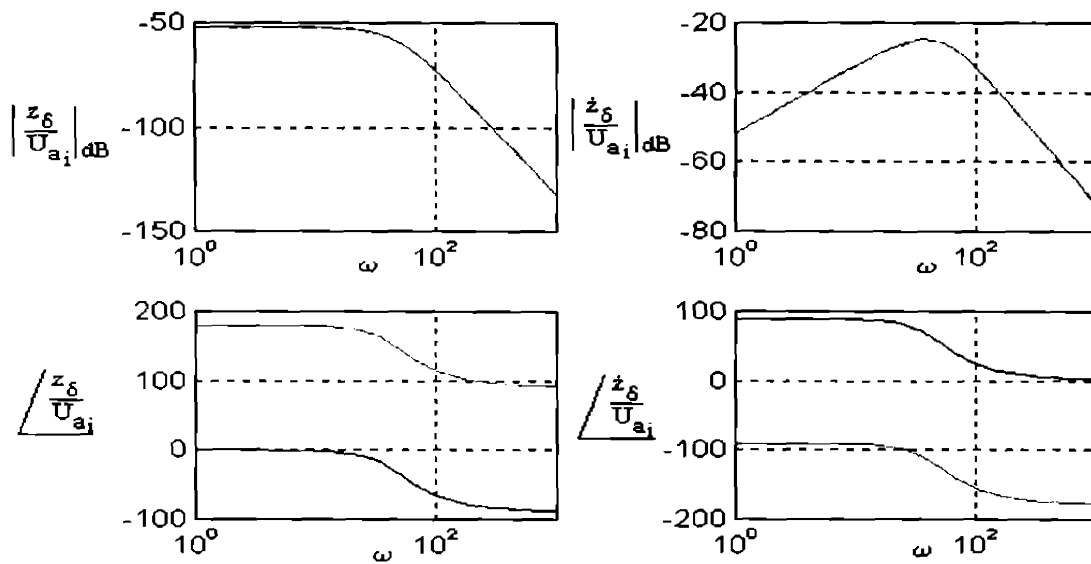
$$a_{21}^2 = 120.7126 \text{ sec}^{-1} \quad a_{23}^2 = -243.7863 \text{ m / Wb} \cdot \text{sec}^2 \quad a_{24}^2 = 243.7863 \text{ m / Wb} \cdot \text{sec}^2$$

$$a_{31}^2 = -185.2776 \text{ Wb / m} \cdot \text{sec} \quad a_{33}^2 = a_{44}^2 = -36.4415 \text{ sec}^{-1} \quad a_{41}^2 = 185.2776 \text{ Wb / m} \cdot \text{sec}$$

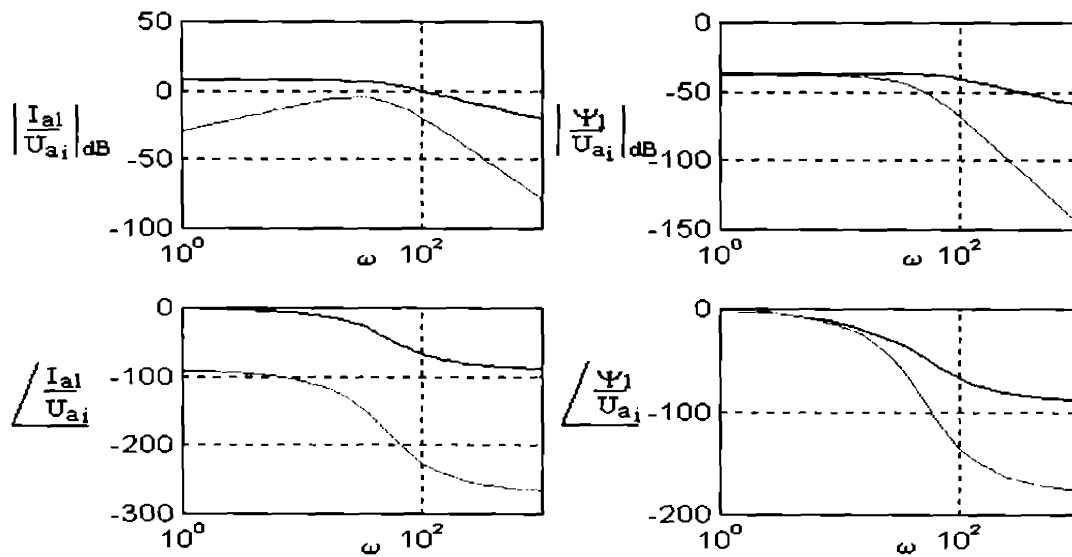
$$b_{v,21}^2 = 0.5 \text{ kg} \quad b_{v,22}^2 = 0 \quad b_{v,32}^2 = b_{v,42}^2 = -185.2776 \text{ Wb / m} \cdot \text{sec}^{-1}$$

Fiind un sistem de ghidare se observă că întradevăr influența lui  $z_s$  asupra vitezei de variație a întrefierului echivalent se anulează.

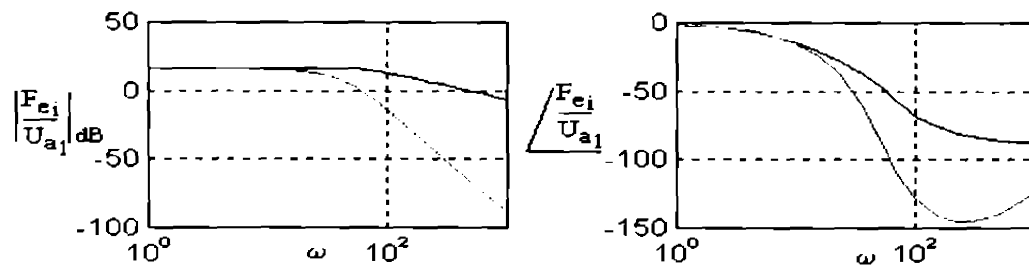
Caracteristicile de pulsație ale sistemului sunt redată în figurile 2.10.



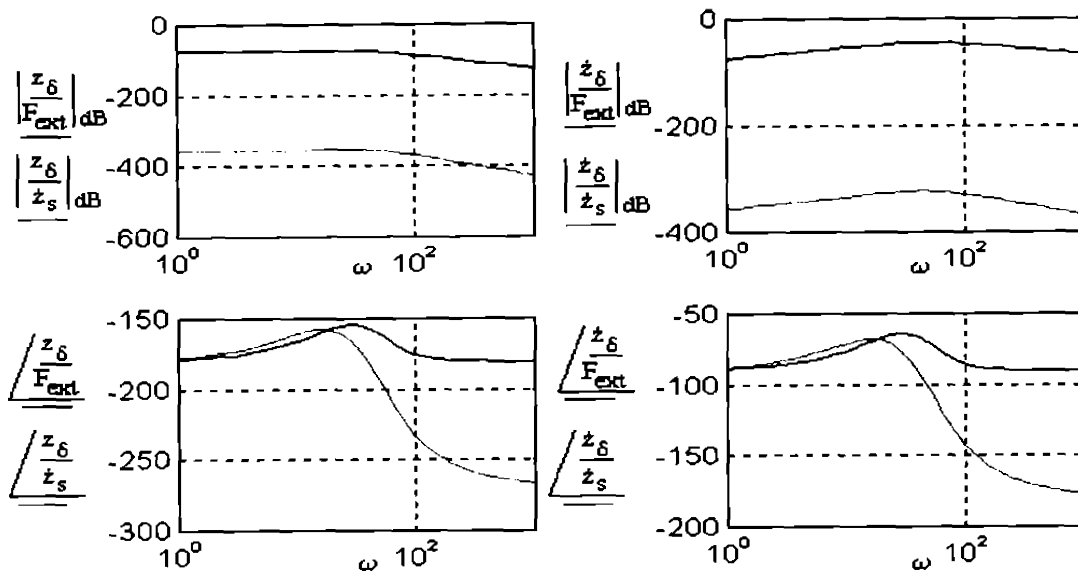
a). Caracteristici de pulsație în raport cu tensiunea aplicată electromagneților ( $U_{a1}$  albastru,  $U_{a2}$  roșu)



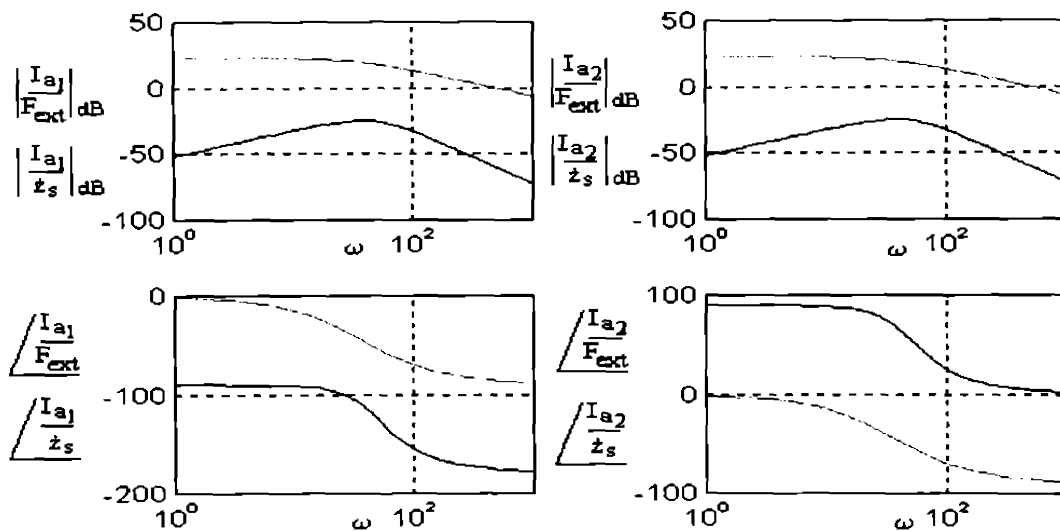
b). Caracteristici de pulsație în raport cu tensiunea aplicată ( $U_{a1}$  albastru,  $U_{a2}$  roșu)



c). Caracteristici de pulsație ale forțelor dezvoltate de electromagneți în raport cu tensiunea aplicată ( $F_{e1}$  albastru,  $F_{e2}$  roșu)



d). Caracteristici de pulsație în raport cu mărimile perturbatoare ( $F_{ext}$  albastru,  $\dot{z}_s$  roșu)



e). Caracteristici de pulsație în raport cu mărimile perturbatoare ( $F_{ext}$  albastru,  $\dot{z}_s$  roșu)

Figura 2.10

Astfel în figura 2.10a sunt reprezentate amplitudinile și fazele întrefierului echivalent și a vitezei sale de variație în funcție de cele două tensiuni de comandă. Se constată că variația amplitudinii este absolut identică, iar fazele sunt în opoziție, ceea ce era de așteptat având în vedere efectul contrar al tensiunilor asupra întrefierului. Se constată de asemenea că banda de frecvență este ceva mai redusă decât în cazul SIEIGL datorită pretensionării de 10%, comparativ cu o tensionare de 100% în cazul SIEIGL.

Datorită simetriei sistemului, în figura 2.10b s-au reprezentat curentul și fluxul unui electromagnet în funcție de cele două tensiuni de comandă. Se constată influența relativ redusă a tensiunii unui electromagnet asupra curentului celuilalt, dar importantă în flux (prin modificarea întrefierului).

Similar fluxului și în cazul forței electromagnetice dezvoltate de electromagneți, tensiunea unuia influențează în aproape egală măsură, în special la frecvențe joase cele două forțe (figura 2.10c).

Figurile 2.10d și 2.10e prezintă efectele forței exterioare și a vitezei de variație a lui  $Z_s$ , considerându-se conform observației din paragraful precedent că  $Z_s$  și accelerația referinței absolute se pot include în  $F_{ext}$ . Se observă că în timp ce asupra întrefierului echivalent și a vitezei sale de variație efectul preponderent este al forței exterioare, asupra curenților efectul mai mare îl are variația lui  $Z_s$ .

Rezultatele obținute în acest paragraf oferă condiții inițiale pentru sinteza unor sisteme de reglare, sisteme care se vor discuta în capitolele 3 și 4. Tot acolo se va discuta și alegerea unei perioade de eșantionare pentru algoritmii de reglare discretă, discretizarea sistemului făcându-se cu una din metodele oferite de pachetul MATLAB.

## 2.3 Modelarea sistemului cu 10 electromagneți și 5 grade de libertate

Lagărele magnetice sunt lagăre fără contact mecanic între partea ce se rotește și suportul ei. În lucrarea de față se discută doar cazul lagărelor bazate pe principiul sustentăției electromagnetice.

Lagărele cu sustentăție electromagnetică pot fi utilizate atât în vid cât și în medii atmosferice cu temperaturi joase sau înalte, de la viteze de rotație foarte mici și până la viteze foarte mari, fără a cauza frecare, uzură și zgomot. Aplicația cea mai răspândită o constituie mașinile electrice de turații foarte mari (până la 200000 rotații/minut), rotorul acestora fiind montat pe axul cu lagăre magnetice. Se analizează în cele ce urmează doar cazul mașinilor cu ax orizontal.

### 2.3.1 Dezvoltarea modelului S10E5GL

Se consideră o mașină electrică al cărei rotor se sprijină în două lagăre magnetice aflate la capetele sale (numite în continuare capătul stâng și capătul drept). Statorul este echipat cu 10 electromagneți care exercită forțe axiale sau radiale  $f_{s1}, \dots, f_{s5}, f_{d1}, \dots, f_{d5}$  asupra rotorului. În afara acestora, asupra rotorului se exercită și alte forțe și momente exterioare [M1], [D2].

Statorului i se asociază sistemul de coordonate  $(OX_s, Y_s, Z_s)$  cu centrul de coordonate în  $O$ , iar rotorului sistemul  $(GX_r, Y_r, Z_r)$  cu centrul de coordonate în  $G$ , centrul de greutate al rotorului (figura 2.11). Față de stator,  $G$  are coordonatele  $(x_s, y_s, z_s)$ .

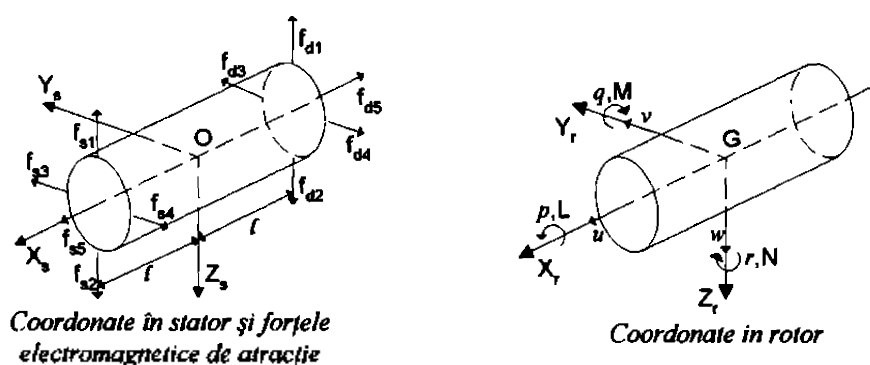


Figura 2.11. Coordonatele geometrice ale S10E5GL

Se fac notațiile:

- $u, v, w$  - componentele vitezei de deplasare a rotorului în lungul axelor de coordonate  $X_r$ ,  $Y_r$  respectiv  $Z_r$ ,
- $p, q, r$  - componentele vitezelor unghiulare în jurul aceluiași axe,
- $X, Y, Z$  - componentele forțelor exterioare totale exercitate asupra rotorului,
- $L, M, N$  - momentele acestor forțe relative la sistemul  $(GX_r, Y_r, Z_r)$ .

În cazul echilibrului ideal sistemele de coordonate ale statorului și rotorului coincid. Situația reală este reprezentată în figura 2.12. Se poate considera că poziția axei  $X_r$  a rotorului față de axa  $X_s$  a statorului rezultă printr-o succesiune de trei operații:

- translație  $O \rightarrow G$ ,
- o rotație în plan orizontal  $\Psi$  și
- o rotație în plan vertical  $\Theta$ .

Dacă mașina electrică este acționată, axele  $Y_r$  și  $Z_r$  se rotesc în jurul axei de rotație  $X_r$  cu unghiul  $\Phi$ . Presupunind că deplasările față de situația ideală sunt mici se poate scrie:

$$\begin{bmatrix} u & v & w \end{bmatrix}^T = T \cdot \begin{bmatrix} \dot{x} & \dot{y} & \dot{z} \end{bmatrix}^T$$

$$\begin{bmatrix} p & q & r \end{bmatrix}^T = T \cdot \begin{bmatrix} \dot{\Phi} & \dot{\Theta} & \dot{\Psi} \end{bmatrix}^T \quad (2.112)$$

cu

$$T = \begin{bmatrix} 1 & 0 & 0 \\ 0 & \cos\Phi & \sin\Phi \\ 0 & -\sin\Phi & \cos\Phi \end{bmatrix}$$

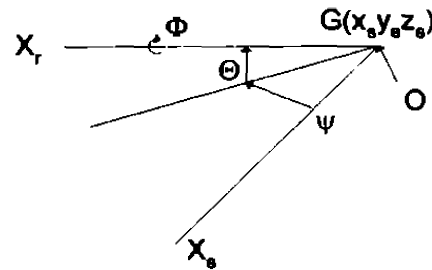


Figura 2.12. Coordonatele statorice și rotorice

Notând cu  $m$ ,  $J_x$ ,  $J_y$  și  $J_z$  masa și momentele de inerție ale rotorului în raport cu sistemul  $(GX, Y, Z_r)$  rezultă ecuațiile de mișcare:

$$\begin{aligned} m(u + qw - rv) &= X & J_x p &= L \\ m(v + ru - pw) &= Y & J_y q + (J_x - J_z)rp &= M \\ m(w + pv - qu) &= Z & J_z r - (J_x - J_y)pq &= N \end{aligned} \quad (2.113)$$

Toate forțele exercitate asupra rotorului sunt:

- în lungul axei  $X_r$ :  $f_{15} - f_{15} - \beta x_s$
- în lungul axei  $Y_r$ :  $f_{13} - f_{14} + f_{13} - f_{14} + \alpha y_s$
- în lungul axei  $Z_r$ :  $f_{12} - f_{11} + f_{12} - f_{11} + \alpha z_s + mg$

De asemenea, asupra rotorului se exercită și următoarele momente:

- în jurul axei  $X_r$ :  $M_m - \rho p - M_0$
- în jurul axei  $Y_r$ :  $(J_{11} - J_{12} + J_{12} - J_{11})l$
- în jurul axei  $Z_r$ :  $(J_{13} - J_{14} + J_{14} - J_{13})l$

În aceste ultime relații s-au introdus notațiile:

- $\alpha$  - coeficient de proporționalitate al forței de atracție exercitate de stator datorită excentricității radiale a rotorului ( $\alpha > 0$ )
- $\beta$  - coeficient de proporționalitate al forței de atracție ce apare datorită excentricității axiale a rotorului ( $\beta > 0$ )
- $M_m$  - moment activ de rotație dezvoltat de motor
- $\rho$  - coeficient de proporționalitate al momentului de amortizare
- $M_0$  - momentul forței de frecare Coulombiene
- $l$  - distanța de la centrul de greutate G la capetele rotorului.

În consecință forțele și momentele exercitate în lungul, respectiv în jurul axelor rotorului sunt:

$$\begin{bmatrix} X \\ Y \\ Z \end{bmatrix} = \begin{bmatrix} 1 & 0 & 0 \\ 0 & \cos\Phi & \sin\Phi \\ 0 & -\sin\Phi & \cos\Phi \end{bmatrix} \begin{bmatrix} f_{s5} - f_{d5} - \beta x_s \\ f_{s3} - f_{s4} + f_{d3} - f_{d4} + \alpha y_s \\ f_{s2} - f_{s1} + f_{d2} - f_{d1} + \alpha z_s + mg \end{bmatrix} \quad (2.114)$$

respectiv:

$$\begin{bmatrix} L \\ M \\ N \end{bmatrix} = \begin{bmatrix} 1 & 0 & 0 \\ 0 & \cos\Phi & \sin\Phi \\ 0 & -\sin\Phi & \cos\Phi \end{bmatrix} \begin{bmatrix} M_m - \rho p - M_0 \\ (f_{s1} - f_{s2} + f_{d2} - f_{d1})l \\ (f_{s3} - f_{s4} + f_{d4} - f_{d3})l \end{bmatrix} \quad (2.115)$$

Notăm cu  $\delta_0$  întrefierul dintre rotor și stator în stare de echilibru. În regim dinamic în dreptul electromagneților radiali se măsoară întrefieruri diferite  $\delta_{s1}, \delta_{d1}, \dots$ . Sunt valabile următoarele relații de legătură:

$$\begin{aligned} \delta_{s1} &= \delta_0 + z_s - l\Theta & \delta_{d1} &= \delta_0 + z_s + l\Theta \\ \delta_{s2} &= \delta_0 - z_s + l\Theta & \delta_{d2} &= \delta_0 - z_s - l\Theta \\ \delta_{s3} &= \delta_0 - y_s - l\Psi & \delta_{d3} &= \delta_0 - y_s + l\Psi \\ \delta_{s4} &= \delta_0 + y_s + l\Psi & \delta_{d4} &= \delta_0 + y_s - l\Psi \end{aligned} \quad (2.116)$$

Sistemul analizat este un sistem neliniar. Se definește ca stare de echilibru cvasistaționară, starea caracterizată de relațiile:

$$\begin{aligned} x_s = y_s = z_s = 0, \quad u = v = w = 0, \quad X = Y = Z = 0, \quad L = M = N = 0 \\ \rho = \frac{M_m - M_0}{\rho}, \quad \delta_{s1} = \delta_{d1} = \dots = \delta_0 \\ q = r = 0, \quad f_{s3} = f_{s4}, \quad \Theta = \Psi = 0, \quad f_{d3} = f_{d4} \\ \Phi = p \cdot t \quad (t = \text{timp}), \quad f_{s1} - f_{s2} = f_{d1} - f_{d2} = \frac{1}{2} mg \end{aligned} \quad (2.117)$$

Liniarizând ecuațiile ce descriu mișcarea de translație în vecinătatea ei și considerând  $J_x = J_z$ , relațiile (2.113) devin:

$$\begin{aligned} mu = X & \quad J_x p = l \\ m(v - pw) = Y & \quad J_y q + (J_x - J_z)rp = M \\ m(w + pv) = Z & \quad J_z r - (J_x - J_y)pq = N \end{aligned} \quad (2.118)$$

Dacă în prima ecuație se înlocuiește  $u$  din (2.112) și  $X$  din (2.114), atunci se obține:

$$mx_s + \beta x_s = f_{s5} - f_{d5} \quad (2.119)$$

ceea ce arată că în condițiile micilor variații, variabila  $x_s$  este independentă de celelalte. Similar se obține

$$J_x p + \rho p = M_m - M_0 \quad (2.120)$$

și deci nici viteza unghiulară  $p$  nu depinde de celelalte variabile.

Aceste două observații permit decuplarea problemei forțelor axiale de cea a forțelor radiale. Astfel sistemul cu sustentaj electromagnetic axial poate fi privit ca un S2E1GL, tratat în paragraful 2.2.

În continuare se va analiza situația sistemului de sustentaj radial în ipotezele  $x_s=0, u=0$  și  $p=\text{constant}$ , satisfăcute prin controlarea forțelor  $f_{s5}$  și  $f_{d5}$  și a cuplului  $M_m$ .



Eliminând pe  $v, w, Y, Z$  și  $\Phi$  din (2.112), (2.114) și (2.118) și apoi pe  $q, r, M, N$  și  $\Phi$  din aceleași sisteme, se obțin ecuațiile de mișcare liniarizate în vecinătatea stării de echilibru cvasistaționar:

$$\begin{bmatrix} \ddot{y}_s \\ \ddot{z}_s \end{bmatrix} = \frac{\alpha}{m} \begin{bmatrix} y_s \\ z_s \end{bmatrix} + \frac{1}{m} \begin{bmatrix} f_{s3} - f_{s4} + f_{d3} - f_{d4} \\ f_{s2} - f_{s1} + f_{d2} - f_{d1} + mg \end{bmatrix} \quad (2.121)$$

$$\begin{bmatrix} \ddot{\Theta} \\ \ddot{\Psi} \end{bmatrix} = \frac{pJ_x}{J_y} \begin{bmatrix} 0 & -1 \\ 1 & 0 \end{bmatrix} \begin{bmatrix} \dot{\Theta} \\ \dot{\Psi} \end{bmatrix} + \frac{1}{J_y} \begin{bmatrix} f_{s1} - f_{s2} + f_{d2} - f_{d1} \\ f_{s3} - f_{s4} + f_{d3} - f_{d4} \end{bmatrix}$$

Considerând forțele radiale ca mărimi de intrare și variațiile întrefierurilor ca mărimi de ieșire, pe baza ecuațiilor (2.121) se obține modelul matematic intrare-stare-ieșire al axului cu lagăre magnetice:

$$\begin{bmatrix} \dot{x}_1 \\ \dot{x}_2 \end{bmatrix} = \begin{bmatrix} 0 & I \\ A_1 & A_2 \end{bmatrix} \begin{bmatrix} x_1 \\ x_2 \end{bmatrix} + \begin{bmatrix} 0 \\ B_1 \end{bmatrix} f \quad (2.122)$$

$$\delta = \begin{bmatrix} C_1 & 0 \end{bmatrix} \begin{bmatrix} x_1 \\ x_2 \end{bmatrix}$$

în care

$$x_1 = [y_s \quad z_s \quad \Theta \quad \Psi]^T, \quad x_2 = \dot{x}_1, \quad f = \begin{bmatrix} f_{s1} - f_{s2} - \frac{mg}{2} \\ f_{d1} - f_{d2} - \frac{mg}{2} \\ f_{s3} - f_{s4} \\ f_{d3} - f_{d4} \end{bmatrix}, \quad \delta = \begin{bmatrix} \delta_{s1} - \delta_0 \\ \delta_{d1} - \delta_0 \\ \delta_{s2} - \delta_0 \\ \delta_{d2} - \delta_0 \end{bmatrix} \quad (2.123-1)$$

$$A_1 = \begin{bmatrix} \frac{\alpha}{m} & 0 & 0 & 0 \\ 0 & \frac{\alpha}{m} & 0 & 0 \\ 0 & 0 & 0 & 0 \\ 0 & 0 & 0 & 0 \end{bmatrix}, \quad A_2 = \begin{bmatrix} 0 & 0 & 0 & 0 \\ 0 & 0 & 0 & 0 \\ 0 & 0 & 0 & -\frac{pJ_x}{J_y} \\ 0 & 0 & \frac{pJ_x}{J_y} & 0 \end{bmatrix} \quad (2.123-2)$$

$$B_1 = \begin{bmatrix} 0 & 0 & \frac{1}{m} & \frac{1}{m} \\ -\frac{1}{m} & -\frac{1}{m} & 0 & 0 \\ \frac{1}{J_y} & -\frac{1}{J_y} & 0 & 0 \\ 0 & 0 & \frac{1}{J_y} & -\frac{1}{J_y} \end{bmatrix}, \quad C_1 = \begin{bmatrix} 0 & 1 & -1 & 0 \\ 0 & 1 & 1 & 0 \\ -1 & 0 & 0 & -1 \\ -1 & 0 & 0 & 1 \end{bmatrix}$$

Forțele radiale  $f$  se obțin prin intermediul a opt electromagneți identici. Considerând neglijabilă forța datorată tensiunii induse în electromagneți prin rotație și că se operează cu abateri mici în vecinătatea punctului de echilibru cvasistaționar, pentru un electromagnet "j",  $j=s1, \dots, s3, d1, \dots, d4$  se scriu ecuațiile:

$$\begin{aligned}
 u_j &= Ri_j + \Psi_j \\
 f_j &= -\left. \frac{\partial W_j}{\partial \delta_j} \right|_{i_j = \text{const}}
 \end{aligned}
 \tag{2.124}$$

care reprezintă relații cunoscute din paragraful 2.1.

În starea de echilibru cvasistaționar, pentru poziția orizontală a lagărului și în absența unor alte forțe perturbatoare, tensiunile și forțele au valorile

$$\begin{aligned}
 u_{s3} &= u_{s4} = u_{d3} = u_{d4} = u_{s2} = u_{d2} = RI_{01} \\
 f_{s3} &= f_{s4} = f_{d3} = f_{d4} = f_{s2} = f_{d2} = -\left. \frac{1}{2} \frac{dL(\delta)}{d\delta} \right|_{\delta=\delta_0} I_{01}^2 \\
 u_{d1} &= u_{d1} = RI_{02} \\
 f_{s1} &= f_{d1} = -\left. \frac{1}{2} \frac{dL(\delta)}{d\delta} \right|_{\delta=\delta_0} I_{02}^2
 \end{aligned}
 \tag{2.125}$$

În aceste relații curentul  $I_{01}$  produce în electromagneții care nu trebuie să compenseze greutatea axului o pretensionare de 10%+20% din jumătatea greutății rotorului, iar  $I_{02}$  produce o forță care compensează atât greutatea axului cât și pretensionarea electromagneților din partea inferioară a lagărului, adică 110%+120% din jumătatea greutății rotorului (vezi paragraful 2.2, observațiile referitoare la pretensionarea electromagneților de ghidaj).

Prin liniarizarea celor 16 relații (2.124) în jurul punctului de echilibru cvasistaționar, variațiile în jurul acestuia sunt descrise de:

$$\begin{aligned}
 u_j &= Ri_j + \alpha_{ji}^1 i_j + \alpha_{j\delta}^1 \delta_j \quad j = s1, \dots, s4, \dots, d1, \dots, d4 \\
 f_j &= \beta_{ji}^1 i_j + \beta_{j\delta}^1 \delta_j
 \end{aligned}
 \tag{2.126}$$

în care s-a renunțat la simbolul  $\Delta$  pentru variații, coeficienții  $\alpha_{ji}^1$  și  $\beta_{ji}^1$  fiind coeficienții de liniarizare prin eliminarea fluxului, ce pot fi determinați cu relațiile (2.12).

Sistemul de ecuații (2.126) poate fi privit ca descriind un sistem dinamic cu tensiunile de alimentare a electromagneților ca mărimi de intrare, întrefierurile, derivatele acestora și curenții ca mărimi de stare și forțele ca mărimi de ieșire. Matriceal acest lucru se pune sub forma:

$$\begin{aligned}
 \begin{bmatrix} \delta \\ \dot{\delta} \\ i \end{bmatrix}' &= \begin{bmatrix} 0 & I & 0 \\ 0 & 0 & 0 \\ 0 & A_3 & A_4 \end{bmatrix} \begin{bmatrix} \delta \\ \dot{\delta} \\ i \end{bmatrix} + \begin{bmatrix} 0 \\ 0 \\ B_3 \end{bmatrix} u \\
 [f] &= [C_2 \quad 0 \quad C_3] \begin{bmatrix} \delta \\ \dot{\delta} \\ i \end{bmatrix}
 \end{aligned}
 \tag{2.127}$$

în care  $\delta$  are semnificația din (2.116) dar cu  $\delta_0$  inclus fiind vorba de variații, iar vectorii curent și tensiune sunt:

$$l = [l_{s1} \quad l_{d1} \quad l_{s2} \quad l_{d2} \quad l_{s3} \quad l_{d3} \quad l_{s4} \quad l_{d4}]$$

$$u = [u_{s1} \quad u_{d1} \quad u_{s2} \quad u_{d2} \quad u_{s3} \quad u_{d3} \quad u_{s4} \quad u_{d4}]$$
(2.128)

Pentru forțe s-a ales vectorul (2.123-1), adaptat la variații în jurul punctului de echilibru, adică:

$$f = \begin{bmatrix} f_{s1} - f_{s2} \\ f_{d1} - f_{d2} \\ f_{s3} - f_{s4} \\ f_{d3} - f_{d4} \end{bmatrix}$$
(2.129)

Matricele sistemului sunt:

$$A_3 = \text{diag} \left( -\frac{R}{\alpha_{s1l}^1} \quad -\frac{R}{\alpha_{d1l}^1} \quad \dots \quad -\frac{R}{\alpha_{s4l}^1} \quad -\frac{R}{\alpha_{d4l}^1} \right)$$

$$A_4 = \text{diag} \left( -\frac{\alpha_{s1\delta}^1}{\alpha_{s1l}^1} \quad -\frac{\alpha_{d1\delta}^1}{\alpha_{d1l}^1} \quad \dots \quad -\frac{\alpha_{s4\delta}^1}{\alpha_{s4l}^1} \quad -\frac{\alpha_{d4\delta}^1}{\alpha_{d4l}^1} \right)$$
(2.130-1)

$$B_3 = \text{diag} \left( \frac{1}{\alpha_{s1l}^1} \quad \frac{1}{\alpha_{d1l}^1} \quad \dots \quad \frac{1}{\alpha_{s4l}^1} \quad \frac{1}{\alpha_{d4l}^1} \right)$$

$$C_2 = \begin{bmatrix} \beta_{s1\delta}^1 & 0 & -\beta_{s2\delta}^1 & 0 & 0 & 0 & 0 & 0 \\ 0 & \beta_{d1\delta}^1 & 0 & -\beta_{d2\delta}^1 & 0 & 0 & 0 & 0 \\ 0 & 0 & 0 & 0 & \beta_{s3\delta}^1 & 0 & -\beta_{s4\delta}^1 & 0 \\ 0 & 0 & 0 & 0 & 0 & \beta_{d3\delta}^1 & 0 & -\beta_{d4\delta}^1 \end{bmatrix}$$

$$C_3 = \begin{bmatrix} \beta_{s1l}^1 & 0 & -\beta_{s2l}^1 & 0 & 0 & 0 & 0 & 0 \\ 0 & \beta_{d1l}^1 & 0 & -\beta_{d2l}^1 & 0 & 0 & 0 & 0 \\ 0 & 0 & 0 & 0 & \beta_{s3l}^1 & 0 & -\beta_{s4l}^1 & 0 \\ 0 & 0 & 0 & 0 & 0 & \beta_{d3l}^1 & 0 & -\beta_{d4l}^1 \end{bmatrix}$$
(2.130-2)

Pentru a lega sistemele (2.128) și (2.122) se parcurg următorii pași:

– se rescrie (2.122) pentru variații ale mărimilor în jurul punctului de echilibru cvasistaționar, păstrându-se forma, dar mărimile ce intervin având semnificația de variații;

– se introduc mărimile  $\delta_j, j=\{vs, vd, os, od\}$ , reprezentînd întrefierurile diferențiale măsurate pe diferitele axe ale lagărului:

$$\delta_{vs} = \delta_{s1} = -\delta_{s2} \quad \delta_{vd} = \delta_{d1} = -\delta_{d2}$$

$$\delta_{os} = \delta_{s3} = -\delta_{s4} \quad \delta_{od} = \delta_{d3} = -\delta_{d4}$$
(2.131)

$\delta_j, j=\{s1, d1, \dots, s4, d4\}$  reprezentînd variațiile întrefierurilor din (2.116). Se obține astfel în (2.122) ca vector de ieșire vectorul  $\delta = [\delta_{vs} \quad \delta_{vd} \quad \delta_{os} \quad \delta_{od}]^T$

– se face în (2.122) schimbarea de variabilă de stare

$$x_1 = C_1^{-1} \delta$$
(2.132)

- se înlocuiește ieșirea  $f$  din (2.128) în (2.122) ținând cont de noul vector de stare.
- In urma acestor etape, efectuând calculele, se obține în final sistemul:

$$\begin{bmatrix} \delta \\ \dot{\delta} \\ i \end{bmatrix}' = \begin{bmatrix} 0 & I & 0 \\ C_1(A_1C_1^{-1} + B_1C_4) & C_1A_2C_1^{-1} & C_1B_1C_3 \\ 0 & A_5 & A_4 \end{bmatrix} \begin{bmatrix} \delta \\ \dot{\delta} \\ i \end{bmatrix} + \begin{bmatrix} 0 \\ 0 \\ B_3 \end{bmatrix} u$$

$$[y] = [I \quad 0 \quad I] \begin{bmatrix} \delta \\ \dot{\delta} \\ i \end{bmatrix}$$
(2.133)

în care apar matricele noi:

$$C_2 = \begin{bmatrix} \beta_{s1\delta}^1 & 0 & -\beta_{s2\delta}^1 & 0 & 0 & 0 & 0 & 0 \\ 0 & \beta_{d1\delta}^1 & 0 & -\beta_{d2\delta}^1 & 0 & 0 & 0 & 0 \\ 0 & 0 & 0 & 0 & \beta_{s3\delta}^1 & 0 & -\beta_{s4\delta}^1 & 0 \\ 0 & 0 & 0 & 0 & 0 & \beta_{d3\delta}^1 & 0 & -\beta_{d4\delta}^1 \end{bmatrix}$$

$$C_3 = \begin{bmatrix} \beta_{s1l}^1 & 0 & -\beta_{s2l}^1 & 0 & 0 & 0 & 0 & 0 \\ 0 & \beta_{d1l}^1 & 0 & -\beta_{d2l}^1 & 0 & 0 & 0 & 0 \\ 0 & 0 & 0 & 0 & \beta_{s3l}^1 & 0 & -\beta_{s4l}^1 & 0 \\ 0 & 0 & 0 & 0 & 0 & \beta_{d3l}^1 & 0 & -\beta_{d4l}^1 \end{bmatrix}$$
(2.130-2)

Pentru a lega sistemele (2.128) și (2.122) se parcurg următorii pași:

- se rescrie (2.122) pentru variații ale mărimilor în jurul punctului de echilibru cvasistaționar, păstrându-se forma, dar mărimile ce intervin având semnificația de variații;
- se introduc mărimile  $\delta_j$ ,  $j=\{vs, vd, os, od\}$ , reprezentând întrefierurile diferențiale măsurate pe diferitele axe ale lagărului:

$$\begin{aligned} \delta_{vs} &= \delta_{s1} = -\delta_{s2} & \delta_{vd} &= \delta_{d1} = -\delta_{d2} \\ \delta_{os} &= \delta_{s3} = -\delta_{s4} & \delta_{od} &= \delta_{d3} = -\delta_{d4} \end{aligned}$$
(2.131)

$\delta_j$ ,  $j=\{s1, d1, \dots, s4, d4\}$  reprezentând variațiile întrefierurilor din (2.116). Se obține astfel în (2.122) ca vector de ieșire vectorul  $\delta = [\delta_{vs} \quad \delta_{vd} \quad \delta_{os} \quad \delta_{od}]^T$ .

- se face în (2.122) schimbarea de variabilă de stare

$$x_1 = C_1^{-1} \delta$$
(2.132)

- se înlocuiește ieșirea  $f$  din (2.128) în (2.122) ținând cont de noul vector de stare.
- In urma acestor etape, efectuând calculele, se obține în final sistemul:

$$\begin{bmatrix} \delta \\ \dot{\delta} \\ i \end{bmatrix}' = \begin{bmatrix} 0 & I & 0 \\ C_1(A_1C_1^{-1} + B_1C_4) & C_1A_2C_1^{-1} & C_1B_1C_3 \\ 0 & A_5 & A_4 \end{bmatrix} \begin{bmatrix} \delta \\ \dot{\delta} \\ i \end{bmatrix} + \begin{bmatrix} 0 \\ 0 \\ B_3 \end{bmatrix} u$$

$$[y] = [I \quad 0 \quad I] \begin{bmatrix} \delta \\ \dot{\delta} \\ i \end{bmatrix}$$
(2.133)

în care apar matricele noi:

$$\begin{aligned}
 a_{5,1}^1 &= -\left(\frac{1}{m} + \frac{l^2}{J_y}\right)(\beta_{s1\delta}^1 + \beta_{s2\delta}^1) + \frac{\alpha}{2m} & a_{5,1}^1 &= -\left(\frac{1}{m} - \frac{l^2}{J_y}\right)(\beta_{d1\delta}^1 + \beta_{d2\delta}^1) + \frac{\alpha}{2m} \\
 a_{6,1}^1 &= -\left(\frac{1}{m} - \frac{l^2}{J_y}\right)(\beta_{s1\delta}^1 + \beta_{s2\delta}^1) + \frac{\alpha}{2m} & a_{5,1}^1 &= -\left(\frac{1}{m} + \frac{l^2}{J_y}\right)(\beta_{d1\delta}^1 + \beta_{d2\delta}^1) + \frac{\alpha}{2m} \\
 a_{7,3}^1 &= -\left(\frac{1}{m} + \frac{l^2}{J_y}\right)(\beta_{s3\delta}^1 + \beta_{s4\delta}^1) + \frac{\alpha}{2m} & a_{5,1}^1 &= -\left(\frac{1}{m} - \frac{l^2}{J_y}\right)(\beta_{d3\delta}^1 + \beta_{d4\delta}^1) + \frac{\alpha}{2m} \\
 a_{8,3}^1 &= -\left(\frac{1}{m} - \frac{l^2}{J_y}\right)(\beta_{s3\delta}^1 + \beta_{s4\delta}^1) + \frac{\alpha}{2m} & a_{5,1}^1 &= -\left(\frac{1}{m} + \frac{l^2}{J_y}\right)(\beta_{d3\delta}^1 + \beta_{d4\delta}^1) + \frac{\alpha}{2m} \\
 a_{5,7}^1 &= -\frac{\rho J_x}{2J_y} & a_{5,8}^1 &= \frac{\rho J_x}{2J_y} & a_{6,7}^1 &= \frac{\rho J_x}{2J_y} & a_{6,8}^1 &= -\frac{\rho J_x}{2J_y} \\
 a_{7,5}^1 &= \frac{\rho J_x}{2J_y} & a_{7,6}^1 &= -\frac{\rho J_x}{2J_y} & a_{8,5}^1 &= -\frac{\rho J_x}{2J_y} & a_{8,6}^1 &= \frac{\rho J_x}{2J_y} \\
 a_{5,9}^1 &= -\left(\frac{1}{m} + \frac{l^2}{J_y}\right)\beta_{s1l}^1 & a_{5,10}^1 &= -\left(\frac{1}{m} - \frac{l^2}{J_y}\right)\beta_{d1l}^1 & a_{5,11}^1 &= \left(\frac{1}{m} + \frac{l^2}{J_y}\right)\beta_{s2l}^1 \\
 a_{5,12}^1 &= \left(\frac{1}{m} - \frac{l^2}{J_y}\right)\beta_{d2l}^1 & a_{6,9}^1 &= -\left(\frac{1}{m} - \frac{l^2}{J_y}\right)\beta_{s1l}^1 & a_{6,10}^1 &= -\left(\frac{1}{m} + \frac{l^2}{J_y}\right)\beta_{d1l}^1
 \end{aligned}$$

$$\begin{aligned}
 a_{6,11}^1 &= \left( \frac{1}{m} - \frac{f^2}{J_y} \right) \beta_{s2l}^1 & a_{6,12}^1 &= \left( \frac{1}{m} + \frac{f^2}{J_y} \right) \beta_{d2l}^1 & a_{7,13}^1 &= - \left( \frac{1}{m} + \frac{f^2}{J_y} \right) \beta_{s3l}^1 \\
 a_{7,14}^1 &= - \left( \frac{1}{m} - \frac{f^2}{J_y} \right) \beta_{d3l}^1 & a_{7,15}^1 &= \left( \frac{1}{m} + \frac{f^2}{J_y} \right) \beta_{s4l}^1 & a_{7,16}^1 &= \left( \frac{1}{m} + \frac{f^2}{J_y} \right) \beta_{d4l}^1 \\
 a_{8,13}^1 &= - \left( \frac{1}{m} - \frac{f^2}{J_y} \right) \beta_{s3l}^1 & a_{8,14}^1 &= - \left( \frac{1}{m} + \frac{f^2}{J_y} \right) \beta_{d3l}^1 & a_{8,15}^1 &= \left( \frac{1}{m} - \frac{f^2}{J_y} \right) \beta_{s4l}^1 \\
 a_{8,16}^1 &= \left( \frac{1}{m} + \frac{f^2}{J_y} \right) \beta_{d4l}^1 \\
 a_{9,5}^1 &= - \frac{\alpha_{s1\delta}^1}{\alpha_{s1l}^1} & a_{10,6}^1 &= - \frac{\alpha_{d1\delta}^1}{\alpha_{d1l}^1} & a_{11,5}^1 &= \frac{\alpha_{s2\delta}^1}{\alpha_{s2l}^1} & a_{12,5}^1 &= \frac{\alpha_{d2\delta}^1}{\alpha_{d2l}^1} \\
 a_{13,7}^1 &= - \frac{\alpha_{s3\delta}^1}{\alpha_{s3l}^1} & a_{14,8}^1 &= - \frac{\alpha_{d3\delta}^1}{\alpha_{d3l}^1} & a_{15,7}^1 &= \frac{\alpha_{s4\delta}^1}{\alpha_{s4l}^1} & a_{16,8}^1 &= \frac{\alpha_{d4\delta}^1}{\alpha_{d4l}^1} \\
 a_{9,9}^1 &= - \frac{R}{\alpha_{s1l}^1} & a_{10,10}^1 &= - \frac{R}{\alpha_{d1l}^1} & a_{11,11}^1 &= - \frac{R}{\alpha_{s2l}^1} & a_{12,12}^1 &= - \frac{R}{\alpha_{d2l}^1} \\
 a_{13,13}^1 &= - \frac{R}{\alpha_{s3l}^1} & a_{14,14}^1 &= - \frac{R}{\alpha_{d3l}^1} & a_{15,15}^1 &= - \frac{R}{\alpha_{s4l}^1} & a_{16,16}^1 &= - \frac{R}{\alpha_{d4l}^1}
 \end{aligned}$$

Având în vedere formele matricelor  $A$  și  $B_3$  și notând elementele nenule ale matricei intrărilor, de forma  $V\alpha_{jl}$ ,  $j=s1, \dots, d4$  cu  $b_{ji}$ ,  $j=1 \dots 8$ , se poate reprezenta schema bloc informațională a lagărului cu sustentație electromagnetică, în ipotezele enunțate în acest paragraf (figura 2.14). Față de diferențele mărimi precizate în acest paragraf, în figură s-au inclus și eventualele forțe exterioare perturbatoare ce acționează în diferite puncte și sub diferite direcții și a căror rezultante se aplică în dreptul electromagneților, în lungul axelor  $Y_s$  și  $Z_s$ , notate cu  $f_{sj}$ ,  $j=\{vs, vd, os, od\}$ .

Analizând elementele matricei  $A$  și figura 2.13 se pot face următoarele observații:

1. Subsistemul vertical și cel orizontal (v și o) sunt cuplate între ele prin reacțiile de la derivata întrefierului amplificate de blocurile  $a_{7,j}$  și  $a_{8,j}$ ,  $j=5 \dots 8$ . Dacă turația mașinii  $p$  este nulă, aceste amplificări sunt nule și subsistemele sunt independente. Cuplajul devine tot mai pronunțat, proporțional cu turația. Influența turației poate fi micșorată dacă prin construcție  $J_y$  este mult mai mare ca  $J_x$ .
2. Între subsistemele stânga-vertical și dreapta-vertical (vs și os) respectiv stânga-orizantal și dreapta-orizantal, cuplajul se datorează reacției de întrefier (blocurile  $a_{6,9}$ ,  $a_{6,11}$ ,  $a_{5,10}$ , și  $a_{5,12}$ , respectiv  $a_{8,13}$ ,  $a_{8,15}$ ,  $a_{7,14}$  și  $a_{7,16}$ ). Se constată că dacă  $m = J_y p^2$  atunci reacțiile pe canalele de curent dispar și cele pe canalele de întrefier se reduc la coeficienții  $\alpha/2m$ . Printr-o prelucrare mecanică corespunzătoare,  $\alpha$  poate fi redus, astfel încât și acest termen să poată fi aproximat cu zero. În acest fel subsistemele pot fi decuplate.

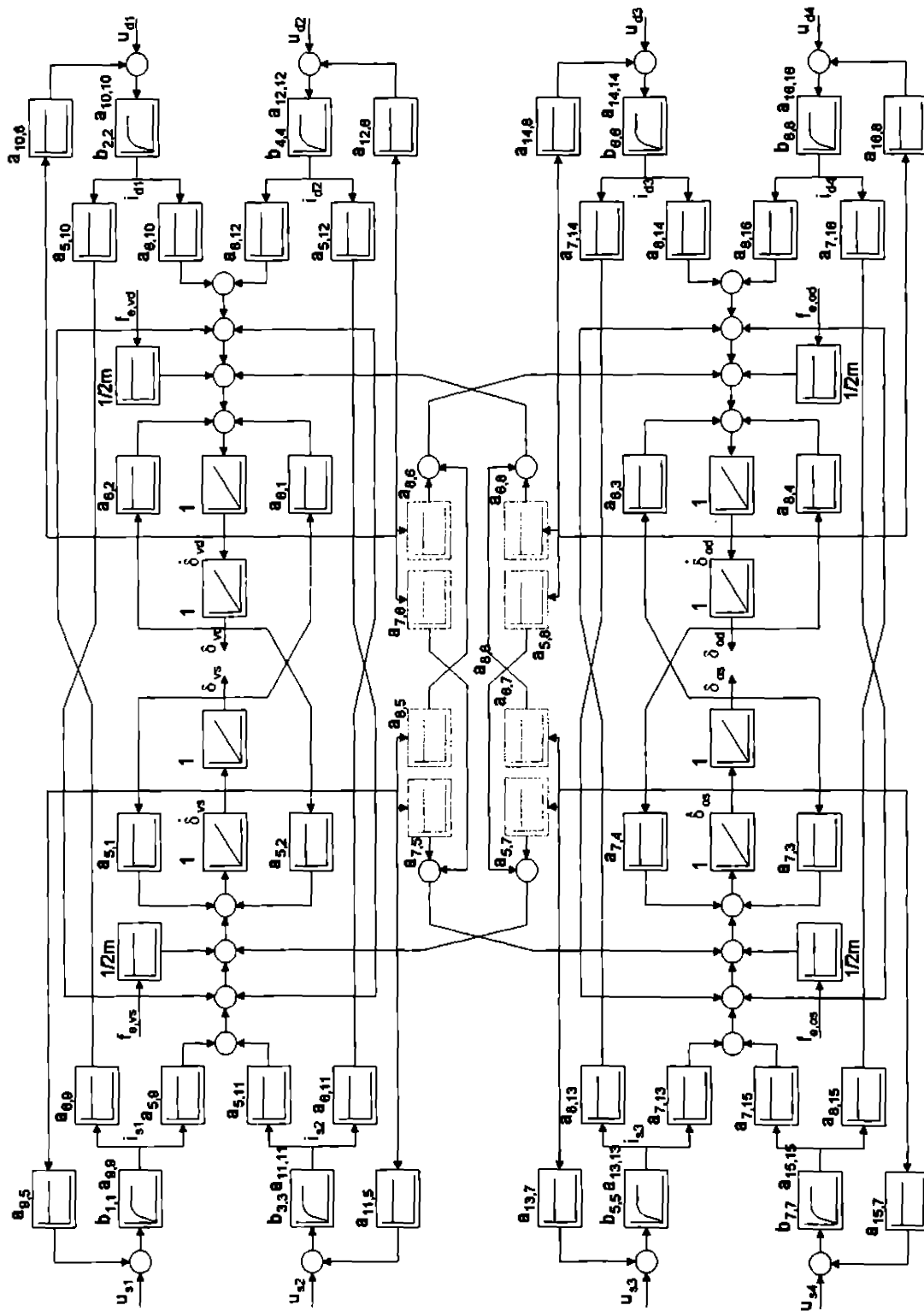


Figura 2.13. Schema bloc informațională a S10E5GL

În concluzie, în condițiile în care se construiește o mașină electrică cu un ax subțire și lung, astfel încât să fie îndeplinite condițiile precizate în observațiile de mai sus, din punct de vedere sistemic lagărul cu sustentanță electromagnetică poate fi privit ca un ansamblu de cinci subsisteme independente:

- subsistemul axă verticală stânga
- subsistemul axă verticală dreapta
- subsistemul axă orizontală stânga
- subsistemul axă orizontală dreapta
- subsistemul axial.

S-a arătat că subsistemul axial poate fi echivalat cu un SZEI/GL tratat în paragraful 2.2. Analog, dacă se neglijează conexiunile între primele patru subsisteme din lista de mai sus, ele sunt tot de tipul SZEI/GL având schemele bloc informaționale de tipul din figură:

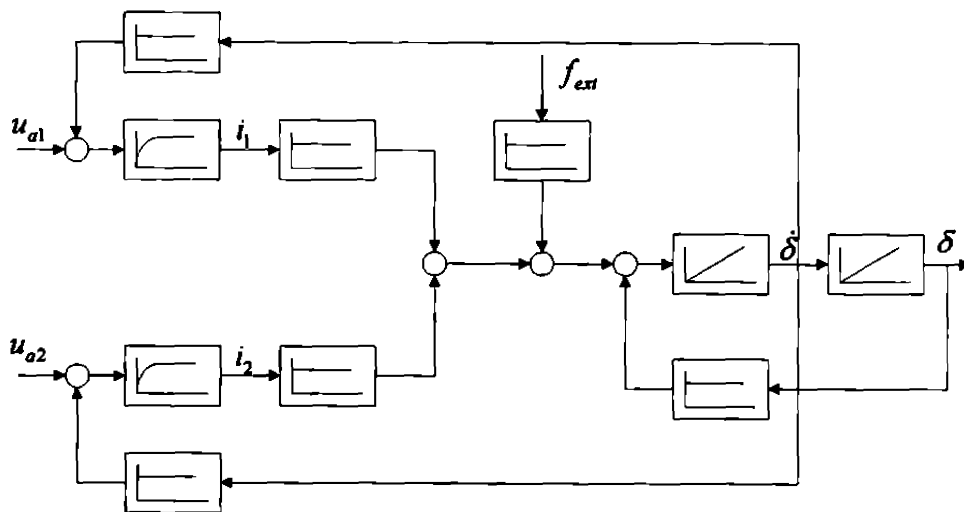


Figura 2.14. Schema bloc informațională a unei axe a lagărului magnetic

În figură nu s-au mai reprezentat amplificările blocurilor componente.

Ideea este de a controla fiecare subsistem în parte ca un sistem de reglare independent și apoi de a utiliza un sistem de reglare ierarhic superior pentru a rezolva conexiunile dintre subsisteme.

### 2.3.2 Analiza efectului giroscopic

O altă problemă ce trebuie rezolvată și care poate fi înglobată într-un sistem de reglare ierarhic superior sistemului de reglare al unei axe a fost observată în urma experimentărilor motorului cu lagăre magnetice de la IPTVT:

Crescând turația motorului, la o anumită valoare a ei apare un fenomen de oscilație care poate scoate complet din funcționare sistemul. Trecând de această valoare a turației, oscilațiile se atenuează până la dispariție, funcționarea devenind normală. Așa cum se arată și în [M2], această oscilație se datorează faptului că axa geometrică a axului motorului și cu axa de inerție nu corespund motiv pentru care la o anumită turație forțele generate de efectul giroscopic devin comparabile cu cele dezvoltate de electromagneții de ghidaj, rotorul oscilând între cele două axe. Atunci când forțele giroscopice devin dominante, rotorul se așează după axa de inerție și oscilațiile dispar.

În funcție de aplicație, axul poate fi lăsat liber să se așeze după axa de inerție (aplicații în care important este doar ca axul să se rotească la turații mari fără contact mecanic) sau forțele giroscopice trebuie compensate, rotorul trebuind întotdeauna să se rotească după axa geometrică (aplicații de prelucrare



mecanică, de exemplu un burghiu de mare viteză). În ambele situații există mai multe metode pentru compensarea și eliminarea oscilațiilor la turajia critică.

## 2.4 Concluzii

În cadrul capitolului este abordată problema modelării sistemelor cu sustentație electromagnetică de bază. Aceste sisteme sunt neliniare dar continue și modelarea lor atât prin deducerea ecuațiilor neliniare ce le descriu cât și prin liniarizarea lor după tangentă crează baza dezvoltărilor din capitolele următoare.

Principalele rezultate sunt redată de.

- modelul neliniar al S1E1GL descris prin ecuațiile (2.2)
- modelul S1E1GL liniarizat prin eliminarea fluxului, reprezentat în schema bloc informațională din figura 2.2 și descris de MM-ISI de ecuații (2.28)+(2.37) sau (2.30)+(2.38) sau (2.32)+(2.39)
- modelul S1E1GL liniarizat prin eliminarea curentului, reprezentat în schema bloc informațională din figura 2.3 și descris de MM-ISI de aceeași formă ca cele de mai sus, obținute însă cu alți coeficienți
- analiza detaliată atât a coeficienților de liniarizare pentru cele două modele cât și a coeficienților modelelor matematice corespunzătoare în funcție de întrefierul de liniarizare, precum și relațiile de aproximare stabilite pentru aceștia
- determinarea unui punct de liniarizare optim din punct de vedere al minimizării erorilor între modelul neliniar și modelul liniar pe întreaga plajă de variație a întrefierului
- caracteristicile amplitudine-pulsație și fază-pulsație ale modelului liniarizat atât în raport cu intrările utile cât și perturbații
- analiza tipurilor de perturbații, a provenienței lor cât și elaborarea de modele exogene pentru ele
- forma completă a S1E1GL extins cu modelele exogene ale perturbațiilor
- modelul S1E1GL extins discretizat
- modelarea și liniarizarea după tangentă a S2E1GL
- caracteristicile amplitudine-pulsație și fază-pulsație ale modelului S2E1GL
- prezentarea pentru exemplificare a unui model de laborator
- modelarea și liniarizarea după tangentă a S10E5GL - rotor cu lagăre magnetice
- determinarea condițiilor în care S10E5GL poate fi echivalat cu 5 subsisteme de tipul S2E1GL și stabilirea conexiunilor între ele.

Cu aceste rezultate se poate porni la analiza posibilităților de stabilizare și reglare a sistemelor cu sustentație electromagnetică.

## ANEXA A2.1

### A2.1. Analiza coeficienților modelelor liniarizate ale S1E1G

#### A2.1.1 Cazul unui electromagnet cu forță portantă mare

Se are în vedere cazul concret al unui vehicul pe pernă magnetică de 4 tone, construit și experimentat între 1980 și 1986 la Institutul Politehnic Timișoara, azi Universitatea "Politehnica" din Timișoara. Cei patru electromagneți de susținere sunt identici și au forma din figură.

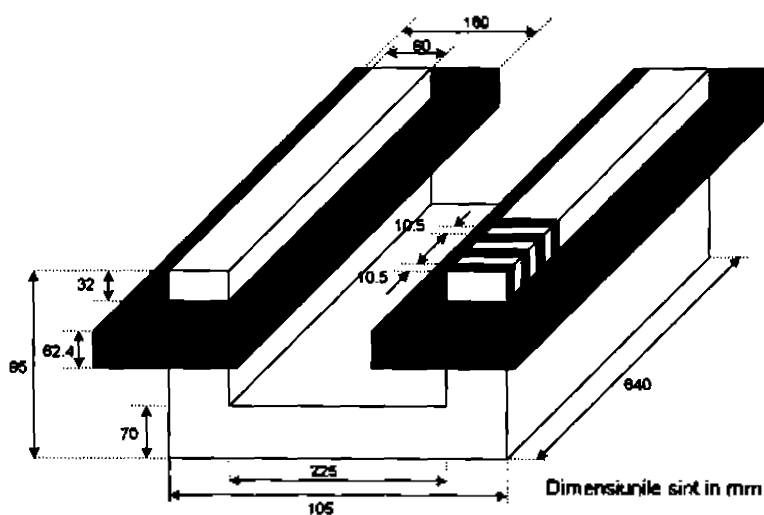


Figura A2.1.1. Electromagnetul cu forță portantă mare

Construcția lor specială se datorează faptului că electromagneții de susținere constituie în același timp și înfășurarea de excitație a motorului sincron pentru propulsia vehiculului, pe ei aflându-se și bobinajul de curent alternativ (acesta fiind motivul apariției creștăturilor). Jugul feromagnetic îl reprezintă calea de glisare care datorită acționării sincronice nu este continuă ci are forma din fig. A2.1.2 :

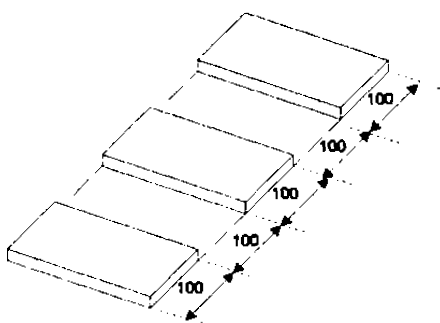


Figura A2.1.2. Calea de glisare

Cu aceste date s-au determinat constantele inductanței din expresia (2.3), confirmate și de metoda experimentală descrisă în paragraful 2.1.1). Astfel la un număr de  $N=400$  spire pe coloană, realizate din sârmă de cupru, s-a obținut:

$$L = \frac{1.594 \cdot 10^{-3}}{z_{\delta} + 0.038 \cdot 10^{-3}} + 0.01734 \text{ H} \quad (\text{A2.1.1})$$

Se prezintă în continuare reprezentarea grafică a coeficienților modelelor liniarizate dați de relațiile (2.17) - figurile A2.1.3 și (2.18) - figurile A2.1.4, pentru un întrefier variind între 5 și 25 mm, raportat la un punct de funcționare nominal considerat a fi la 10mm. Un aspect interesant din analiza curbelor este caracterul relativ linear al variației în raport cu întrefierul a "coeficienților de liniarizare după flux"

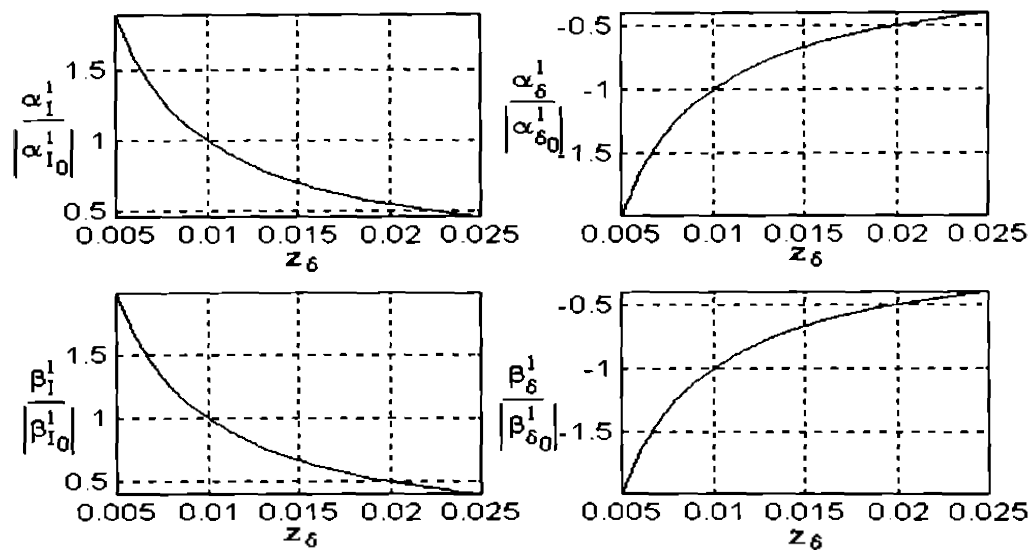


Figura A2.1.3. Variația cu întrefierul a coeficienților de liniarizare prin eliminarea fluxului

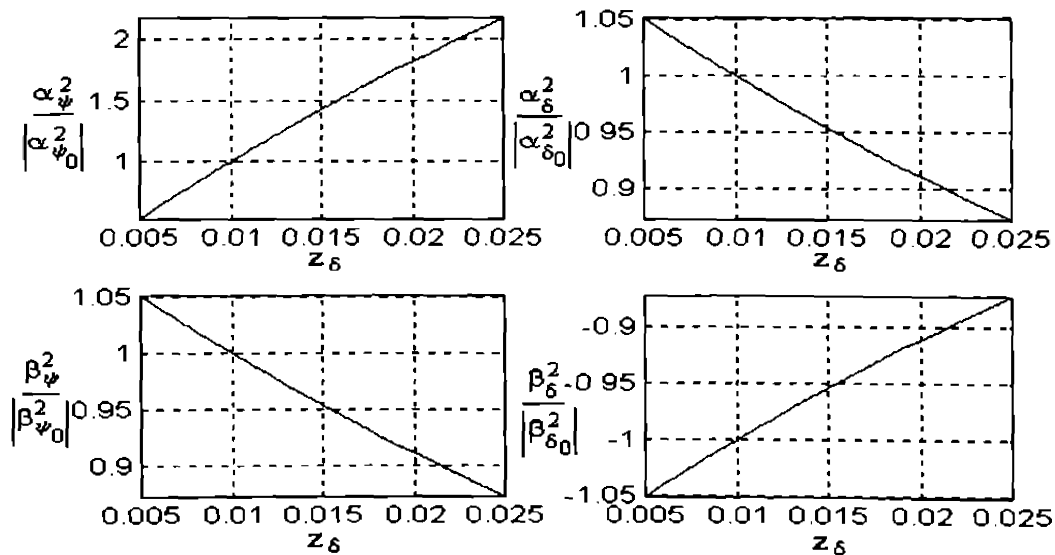


Figura A2.1.4. Variația cu întrefierul a coeficienților de liniarizare prin eliminarea curentului

Variațiile cvasiliniare ale coeficienților din cazul utilizării fluxului ca variabilă de stare independentă permit aproximarea lor cu expresii liniare și exprimarea analitică, ca funcții de  $z_6$ . Astfel:

$$\begin{aligned}\alpha_v^2 &= 466038 \cdot z_6 + 0.957 \\ \alpha_s^2 &= -26877 \cdot 10^3 \cdot z_6 + 3.273 \cdot 10^3 \\ \beta_v^2 &= -26877 \cdot 10^3 \cdot z_6 + 3.273 \cdot 10^3 \\ \beta_s^2 &= 1552 \cdot 10^6 \cdot z_6 - 1.889 \cdot 10^5\end{aligned}\tag{A2.1.2}$$

Coefficienții numerici din (A2.1.2) au fost determinați utilizând metoda celor mai mici pătrate, pentru minimizarea erorii de aproximare.

Pentru coeficienții  $\alpha, \beta$ , determinarea unor relații de aproximare nu-și are sensul, în eventualitatea că se dorește calculul lor se folosesc chiar relațiile (2.17).

În figurile A2.3.5 s-a reprezentat și modul de variație a inductanței și a primelor două derivate utilizate în calcul. Din nou se constată caracterul neliniar al variației

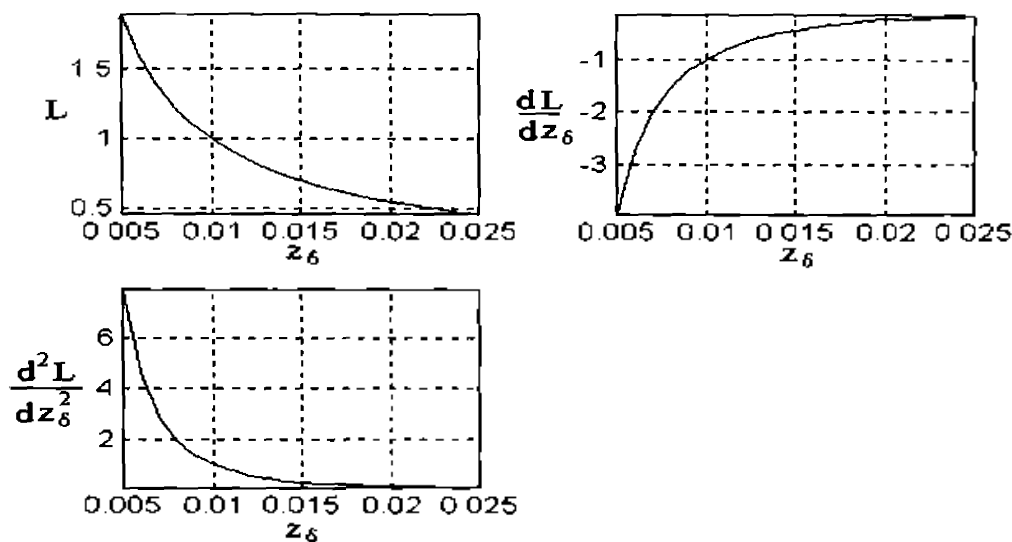


Figura A2.1.5. Variația inductanței și derivatelor sale cu întrefierul

În fine, figurile A2.1.6 prezintă curentul și fluxul necesare generării unei forțe portante egală cu greutatea sustentată la diferite valori ale întrefierului. În ipoteza miezului nesaturat, variațiile sunt liniare.

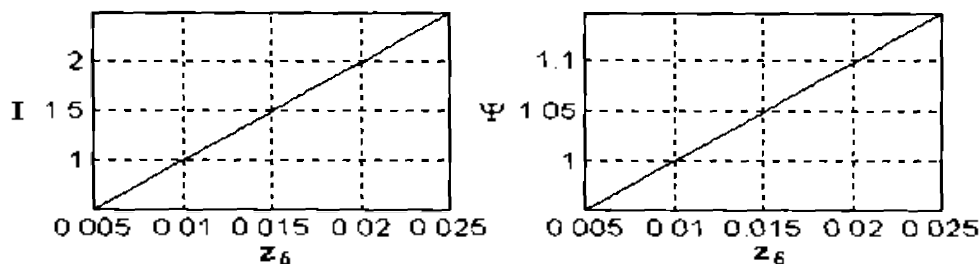


Figura A2.1.6. Variația curentului și a fluxului cu neglijarea saturației miezului

Calculule și diagramele au fost făcute cu un program scris în limbajul MATLAB.

### A2.1.2 Cazul unui electromagnet cu forță portantă redusă

Se prezintă cazul unui electromagnet din cadrul unui model de laborator utilizat în lucrarea de față pentru testarea diferitelor metode de reglare. Materialul feromagnetic din care este construit electromagnetul trebuie să aibă inducția de saturație cât mai mare, putând lucra la frecvențe mai mari de 20kHz cu pierderi cât mai mici. S-au ales jumătăți de tor din Metglas 2605-S3 al firmei Magnetics Inc. [\*6] realizat din tole de 0.001 inch (0.0254 mm) având inducția de saturație la 1.4 T, frecvența maximă de lucru la 100kHz, permeabilitatea absolută la 1 T și 20 kHz de 10 kGauss/Oersted și temperatura Curie la 370 °C. În urma calculului de proiectare a electromagnetului, pentru a dezvolta o forță maximă de minimum 100 N la un câmp în întrefier de 1.2 T, s-a ales un semi-tor cu secțiunea magnetică efectivă de 3.024 cm<sup>2</sup> și pentru un întrefier nominal de 1.5 mm la un curent de 5 A, numărul de spire a rezultat a fi N=285. Cu aceste date, forța maximă ce o poate dezvolta electromagnetul este de 174.18N. În figura A2.1.7 este desenat semitorul utilizat:

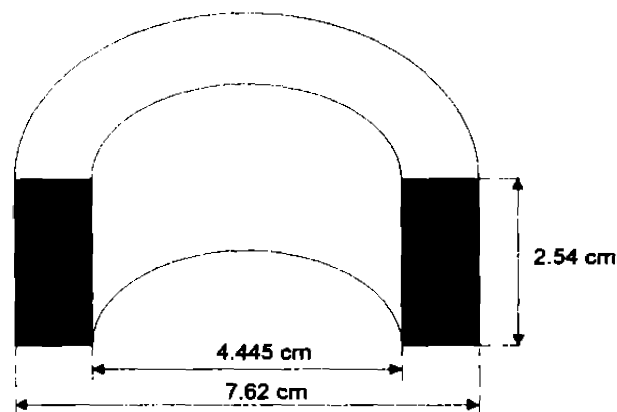


Figura A2.1.7. Electromagnetul cu forță portantă redusă

Pentru determinarea experimentală a coeficienților inductanței s-au făcut 5 măsurători la diferite întrefieruri cu rezultatele date în tabelul A2.1.1.

Tabelul A2.3.1

Întrefier (mm)	0.28575	0.5715	1.143	1.7145	2.286
Inductanța (mH)	48.7	24.7	13.6	8.8	6.9

Utilizarea unui program MATLAB care rezolvă consecutiv  $C_3^3 = 10$  sisteme de 3 ecuații cu 3 necunoscute conduce la valorile medii pentru coeficienții inductanței:  $c = 15.099 \cdot 10^{-6}$  Hm,  $z_0 = 9.434 \cdot 10^{-6}$  m și  $L_{\infty} = 0.4842 \cdot 10^{-3}$  H. În figura A2.1.8 se prezintă variația inductanței măsurate în funcție de întrefier (albastru) și variația inductanței calculate cu coeficienții de mai sus (roșu), expresia inductanței cu coeficienții deduși experimental fiind:

$$L = \frac{15.099 \cdot 10^{-6}}{z_g + 9.4338 \cdot 10^{-6}} + 0.4842 \cdot 10^{-3} \text{ H} \quad (\text{A2.1.3})$$

Se utilizează o sârmă de cupru (AWG14 cu  $82.8 \cdot 10^{-6} \Omega/\text{cm}$  corectat la 80°C) rezultând, la lungimea medie a spirei de 15.25 cm, o rezistență a înfășurării  $R = 0.36 \Omega$ .

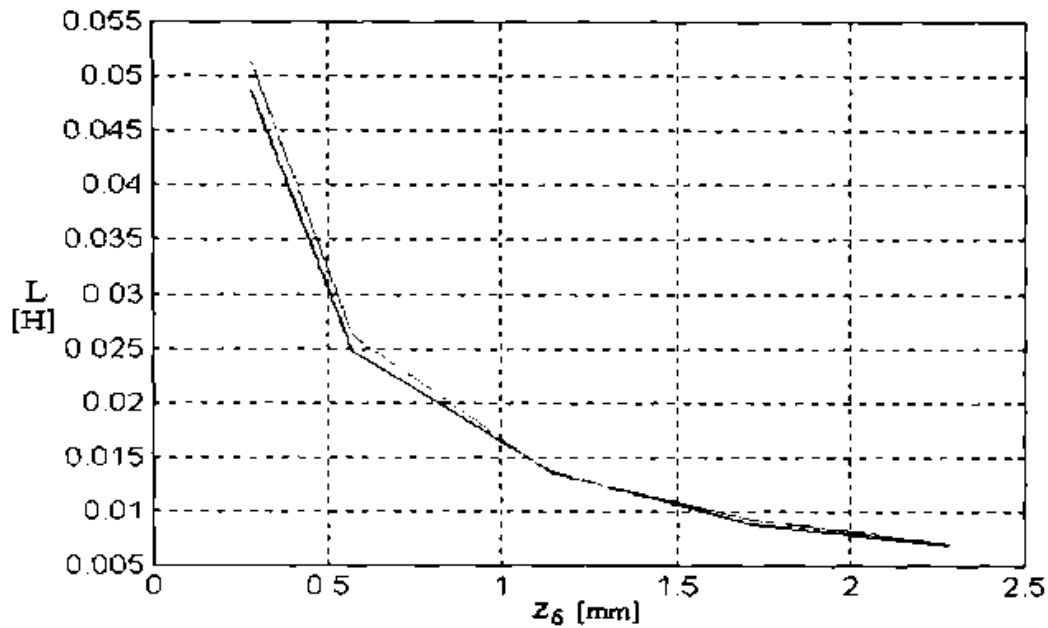


Figura A2.1.8. Variația inductanței cu întrefierul.

Ca și în cazul electromagnetului cu forță portantă mare, se prezintă în figurile următoare variația "coeficienților de liniarizare" în funcție de punctul nominal de funcționare, normate la valoarea lor corespunzătoare unui întrefier de 1.5mm. Astfel coeficienții modelului cu eliminarea fluxului dați de relațiile (2.17) sunt reprezentați în figura A2.1.9, iar cei rezultați din (2.18) prin eliminarea curentului sunt prezentați în figura A2.1.10.

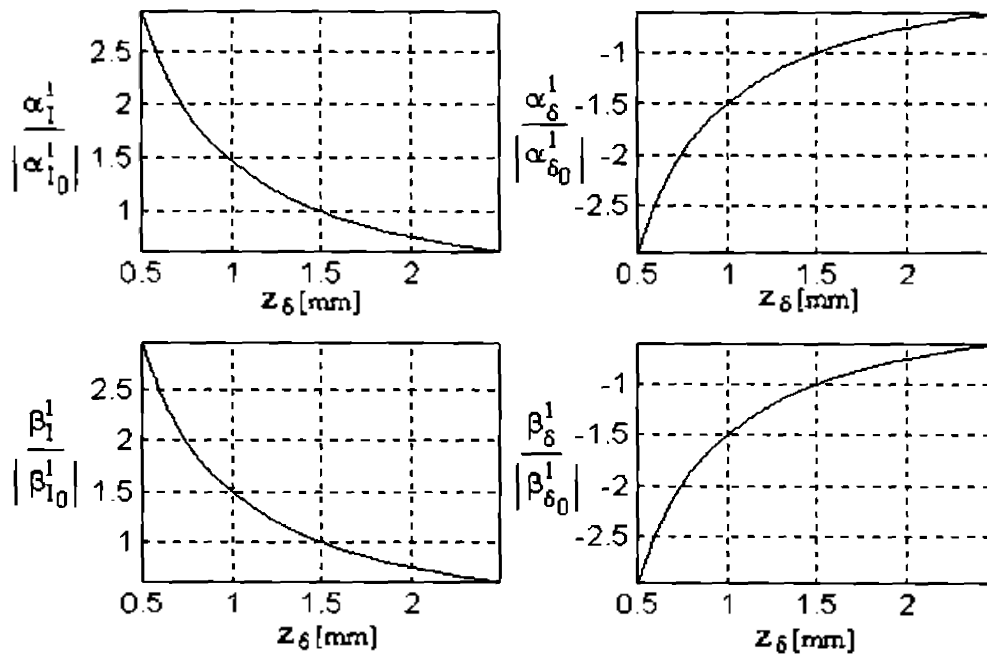
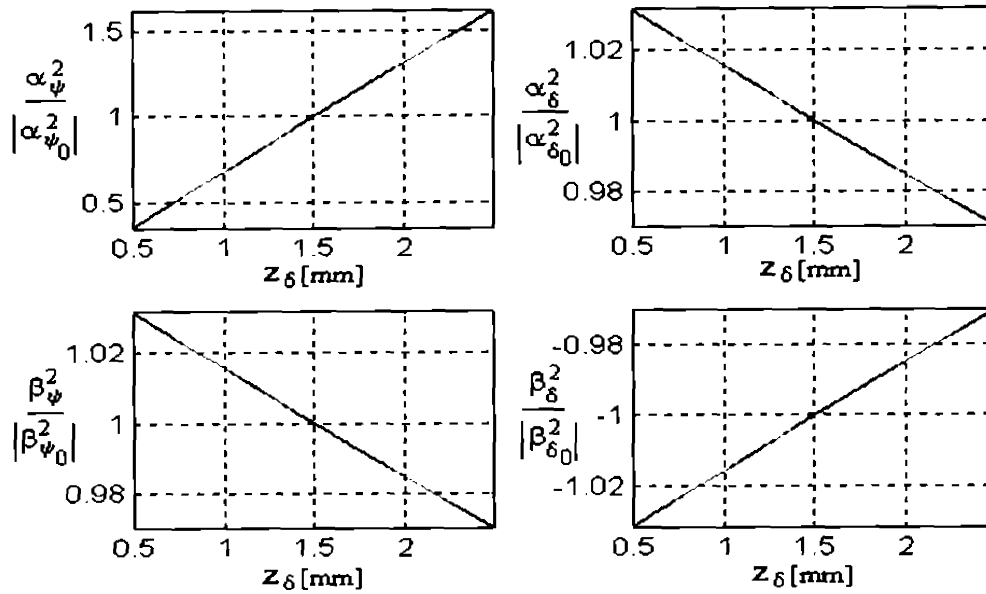


Figura A2.1.9. Variația coeficienților de liniarizare cu eliminarea fluxului



**Figura A2.1.10. Variația coeficienților de liniarizare cu eliminarea curentului**

Figura A2.1.10 prezintă și dreptele de aproximare ale coeficienților, calculate cu metoda celor mai mici pătrate, relațiile liniare având expresiile:

$$\begin{aligned}
 \alpha_{\psi}^2 &= 23.036 \cdot 10^3 \cdot z_{\delta} + 1.628 \\
 \alpha_{\delta}^2 &= -18.035 \cdot 10^3 \cdot z_{\delta} + 613.155 \\
 \beta_{\psi}^2 &= -47.461 \cdot 10^3 \cdot z_{\delta} + 1.614 \cdot 10^4 \\
 \beta_{\delta}^2 &= 32.158 \cdot 10^3 \cdot z_{\delta} - 1.263 \cdot 10^4
 \end{aligned}
 \tag{A2.1.4}$$

În lucrarea [T6] a fost discutat un alt stand utilizat în laboratorul de Reglatoare Automate de la Catedra de Automatică a Institutului Politehnic din Timișoara. Rezultatele au fost practic aceleași: o neliniaritate pronunțată cu variații mari a coeficienților de liniarizare prin eliminarea fluxului și o variație mult mai mică și liniară a coeficienților de liniarizare prin eliminarea curentului. Intrefierul variază în jurul valorii nominale de 5mm și expresia inductanței cu parametrii determinați experimental este

$$L = \frac{0.293 \cdot 10^{-3}}{z_{\delta} + 26.703 \cdot 10^{-6}} + 11.609 \cdot 10^{-3} \text{ H}
 \tag{A2.1.5}$$

## ANEXA 2.2.

### A2.2. Determinarea unui punct de liniarizare cvasi-optimum pentru minimizarea erorii la funcționarea în afara punctului de liniarizare considerat

Calculul analitic al punctului de liniarizare cvasi-optimum ar fi prea complicat având în vedere numărul ridicat de variabile. Din acest motiv, după cum s-a menționat în paragraful 2.1.2.3 problema se rezolvă pe cale numerică, iterativ.

Erorile în ecuațiile tensiunii și forței în *modelul cu eliminarea fluxului*, utilizând relațiile deduse în capitolul 2, sunt .

$$\begin{aligned}\Delta U_a &= U_{a,lm} - U_{a,nlm} = \left( U_{a0} + R\Delta i(t) + \alpha_i^1 \Delta i(t) + \alpha_\delta^1 \Delta z_\delta(t) \right) - \left( Ri(t) + \dot{\Psi}(t) \right) = \\ &= \left( RI_0 + Ri(t) - RI_0 + \alpha_i^1 i(t) + \alpha_\delta^1 \dot{z}_\delta \right) - \left( Ri(t) + L(z_\delta(t))i(t) + \frac{dL(z_\delta(t))}{dz_\delta(t)} i(t) \dot{z}_\delta(t) \right) \\ \Delta F_e &= F_{e,lm} - F_{e,nlm} = \left( Mg + \beta_i^1 \Delta i(t) + \beta_\delta^1 \Delta z_\delta(t) \right) - \left( -\frac{1}{2} \frac{dL(z_\delta(t))}{dz_\delta(t)} i^2(t) \right)\end{aligned}$$

respectiv,

$$\begin{aligned}\Delta U_a &= \alpha_i^1 i(t) + \alpha_\delta^1 \dot{z}_\delta - L(z_\delta(t))i(t) - \frac{dL(z_\delta(t))}{dz_\delta(t)} i(t) \dot{z}_\delta(t) \\ \Delta F_e &= Mg + \beta_i^1 (i(t) - I_0) + \beta_\delta^1 (z_\delta(t) - z_{\delta 0}) + \frac{1}{2} \frac{dL(z_\delta(t))}{dz_\delta(t)} i^2(t)\end{aligned}\tag{A2.2.1}$$

Aceste relații sunt utilizate în continuare în algoritmul de determinare a punctului de liniarizare cvasi-optimum

Similar, pentru *modelul cu eliminarea curentului* se obține

$$\begin{aligned}\Delta U_a &= U_{a,lm} - U_{a,nlm} = \left( U_{a0} + \alpha_\psi^2 \Delta \psi(t) + \alpha_\delta^2 \Delta z_\delta(t) + \Delta \dot{\psi}(t) \right) - \left( Ri(t) + \dot{\Psi}(t) \right) \\ \Delta F_e &= F_{e,lm} - F_{e,nlm} = \left( Mg + \beta_\psi^2 \Delta \psi(t) + \beta_\delta^2 \Delta z_\delta(t) \right) - \left( -\frac{1}{2} \frac{dL(z_\delta(t))}{dz_\delta(t)} \left( \frac{\psi(t)}{L(z_\delta(t))} \right)^2 \right)\end{aligned}$$

rezultând

$$\begin{aligned}\Delta U_a &= \alpha_\psi^2 \psi(t) + \alpha_\delta^2 (z_\delta(t) - z_{\delta 0}) - R \frac{\psi(t)}{L(z_\delta(t))} \\ \Delta F_e &= Mg + \beta_\psi^2 (\psi(t) - \Psi_0) + \beta_\delta^2 (z_\delta(t) - z_{\delta 0}) + \frac{1}{2} \frac{dL(z_\delta(t))}{dz_\delta(t)} \left( \frac{\psi(t)}{L(z_\delta(t))} \right)^2\end{aligned}\tag{A2.2.2}$$

În continuare trebuie stabilite domeniile de variație admisibile pentru diferitele variabile ce apar în (A2.2.1) și (A2.2.2). Considerând, din nou, ca prim caz electromagnetul utilizat în cazul vehicului cu



sustențatie magnetică descris în Anexa A2.1, se admite că întrefierul poate varia între 1mm și 30 mm. În cazul unei funcționări normale, domeniile pentru curent și flux se pot obține plecând de la relațiile de regim cvasistaționar (2.6). Valoarea maximă a derivatei fluxului se poate estima din ecuația tensiunii, din (2.2), în situația în care curentul este nul și se aplică întreaga tensiune disponibilă (forțajul inițial). De aici se pot estima și extremele derivatei curentului prin raportarea valorii maxime a derivatei fluxului la inductanța minimă. În fine, viteza a fost estimată pe baza unor măsurări efectuate pe vehiculul cu susținere electromagnetică. Astfel, în calcule s-au considerat domeniile de variație admisibile:

$$Z_{\delta 0} = Z_{\delta} = (1 \cdot 10^{-3}, 30 \cdot 10^{-3})\text{m}, \quad I = (3.455, 99.975)\text{A}, \quad \Psi = (5.365, 7.039)\text{Wb}$$

$$\dot{Z}_{\delta} = (-1, 1) \frac{\text{m}}{\text{sec}}, \quad \dot{I} = (-2400, 2400) \frac{\text{A}}{\text{sec}}, \quad \dot{\Psi} = (-200, 200) \frac{\text{Wb}}{\text{sec}}$$

Calculul au fost făcute tot cu un fișier MATLAB

Figura A2.2.1 prezintă diagramele obținute într-o primă etapă de calcul în care, pentru a reduce numărul de iterații întrefierul de liniarizare s-a modificat cu un pas mare (3mm). Erorile sunt absolute, exprimate în "volt" respectiv "newton". Din analiza diagramelor se pot face imediat o serie de observații. Astfel:

- eroarea introdusă prin liniarizare este mult redusă în cazul utilizării modelului cu eliminarea curentului față de cel cu eliminarea fluxului (cu mai bine de un ordin de mărime);
- atât pentru ecuația tensiunii cât și pentru ecuația forței, în cazul modelului cu eliminarea fluxului se pot găsi puncte cvasi-optimale de liniarizare dar ele nu sunt identice;
- tot în cazul modelului cu eliminarea fluxului, erorile procentuale față de valoarea maximă a tensiunii și forța nominală pe care trebuie s-o dezvolte electromagnetul sunt ambele în jurul a 10%;
- în cazul modelului cu eliminarea curentului doar ecuația tensiunii are un punct cvasi-optim de liniarizare în timp ce în cazul ecuației forței, eroarea crește cu întrefierul de liniarizare
- rezultatele obținute au mai mult un caracter calitativ decât cantitativ având în vedere că punctele de cvasi-optim obținute sunt serios afectate de domeniile de variație admisibile adoptate.

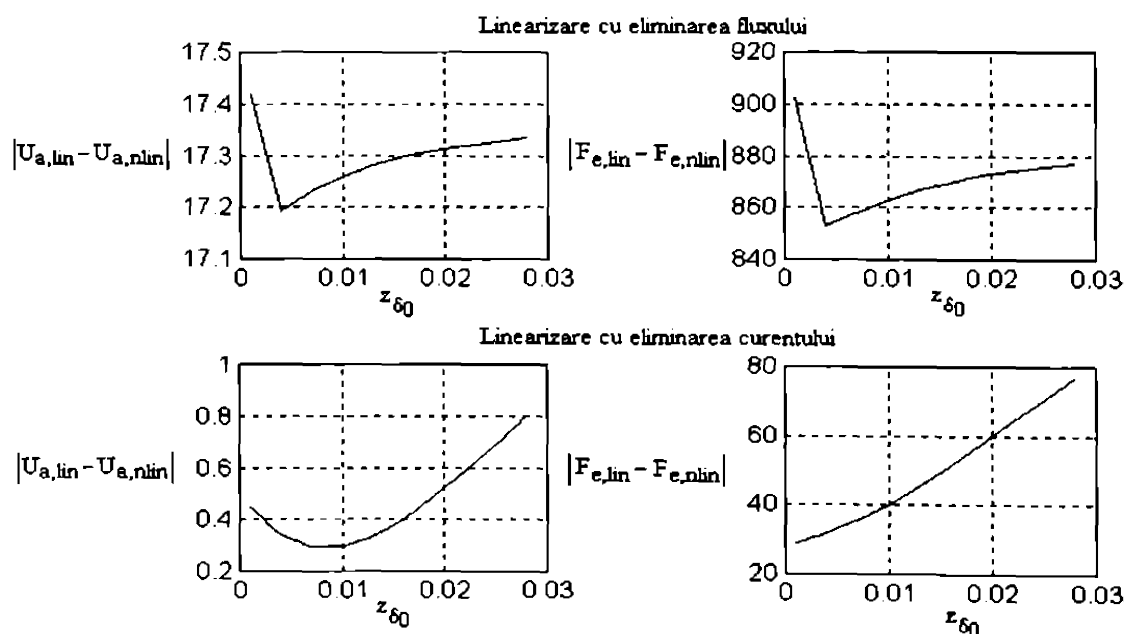
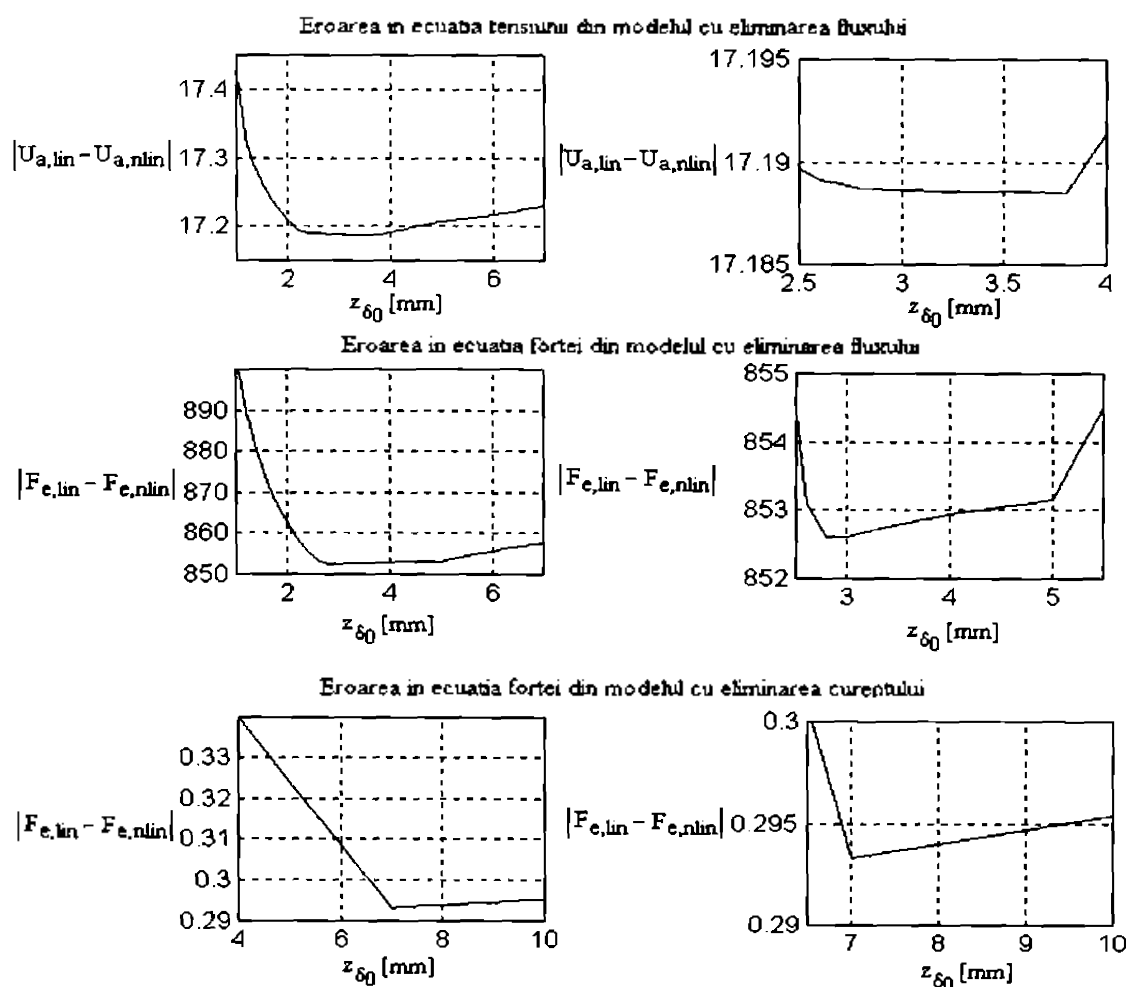


Figura A2.2.1. Eroarea introdusă prin liniarizare prin eliminarea fluxului

Într-o a doua etapă de calcul, domeniul întrefierului de liniarizare s-a restrâns, iar pasul de calcul a fost redus la 0.2mm. Figura A2.2.2 prezintă în coloana din stânga rezultatele acestor calcule, iar în partea dreaptă detaliul cu punctul cvasi-optimum de liniarizare. Se obțin astfel:

- pentru ecuația tensiunii cu eliminarea fluxului  $z_{\delta 0, optim} = 3.8$  mm, dar cu o plajă destul de largă (între 5.6 mm și 8.4 mm) în care eroarea este foarte apropiată de eroarea minimă,
- pentru ecuația forței cu eliminarea fluxului  $z_{\delta 0, optim} = 2.8$  mm, din nou cu o plajă între 2.5 și 5.5mm apropiată de eroarea minimă.
- pentru ecuația tensiunii cu eliminarea curentului  $z_{\delta 0, optim} = 7$  mm cu o eroare relativ redusă până la 10mm.



**Figura A2.2.2. Erori introduse prin liniarizare pentru electromagnetul cu forță portantă mare**

Datorită palierului de minim comun (aproximativ între 3 și 4 mm) din cazul modelului cu eliminarea fluxului, chiar dacă punctele de cvasi-optimum nu sunt identice se poate alege un punct de liniarizare pentru care ambele ecuații să aibe erorile apropiate de minim. În cazul modelului cu eliminarea curentului, punctul de cvasi-optimum este cel în care eroarea de tensiune este minimă.

Similar, pentru electromagnetul utilizat în cadrul standului, se pot determina domeniile de variație admisibile

$$Z_{\delta 0} = Z_{\delta} = (0.5 \cdot 10^{-3}, 12 \cdot 10^{-3})\text{m}, \quad I = (0.431, 9.8415)\text{A}, \quad \Psi = (0.245, 0.354)\text{Wb}$$

$$\dot{Z}_{\delta} = (-1, 1) \frac{\text{m}}{\text{sec}}, \quad \dot{I} = (-1850, 1850) \frac{\text{A}}{\text{sec}}, \quad \dot{\Psi} = (-40, 40) \frac{\text{Wb}}{\text{sec}}$$

pentru care, cu același algoritm se obțin diagramele din figura A2.2.3. Aici, punctul de minim pentru ecuația tensiunii din cadrul modelului cu eliminarea fluxului se pare că este în afara domeniului de întrefier considerat. Pentru ecuația forței cu eliminarea fluxului, minimul este la 1.5mm, iar pentru ecuația tensiunii cu eliminarea curentului minimul se găsește la 3.5mm. De data asta este mai dificilă alegerea unui punct de cvasi-optimum comun pentru modelul cu eliminarea fluxului. Criteriul de alegere ar fi minimizarea sumei erorilor relative ale celor două ecuații.

Se observă că și în acest caz eroarea din cazul modelului cu eliminarea curentului este mult mai mică decât cea din cazul modelului cu eliminarea fluxului.

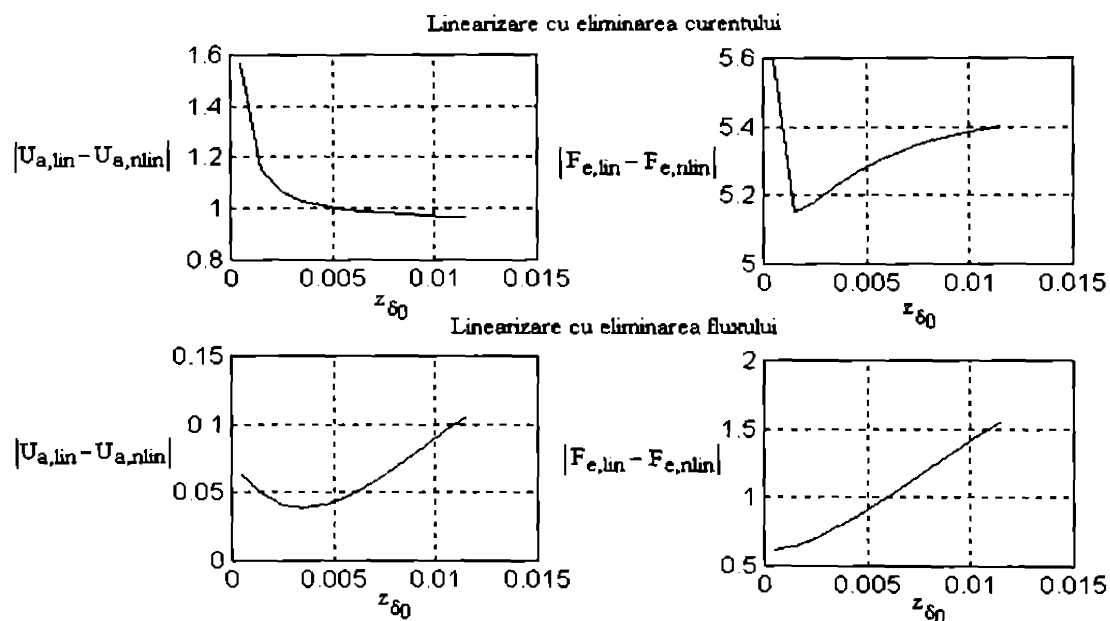


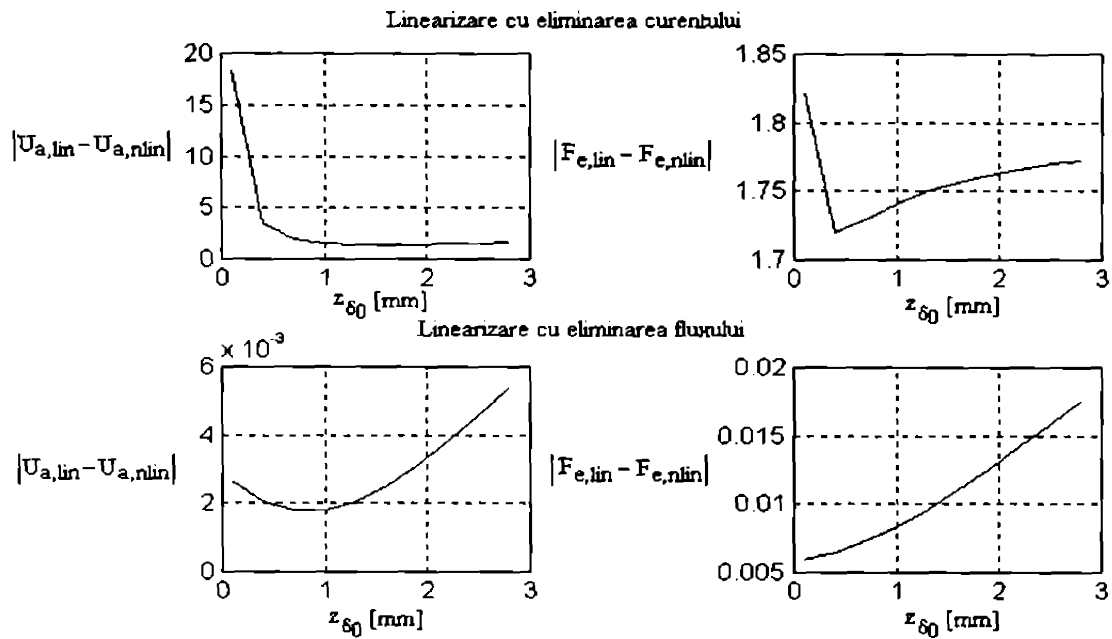
Figura A2.2.3. Erori introduse prin liniarizare pentru electromagnetul cu forță portantă medie

Pentru electromagnetul utilizat în cadrul modelului de laborator domeniile de variație admisibile sunt următoarele:

$$Z_{\delta 0} = Z_{\delta} = (0.1 \cdot 10^{-3}, 3 \cdot 10^{-3})\text{m}, \quad I = (0.1769, 4.866)\text{A}, \quad \Psi = (0.0244, 0.0266)\text{Wb}$$

$$\dot{Z}_{\delta} = (-2, 2) \frac{\text{m}}{\text{sec}}, \quad \dot{I} = (-140000, 140000) \frac{\text{A}}{\text{sec}}, \quad \dot{\Psi} = (-170, 170) \frac{\text{Wb}}{\text{sec}}$$

pentru care se obțin diagramele:



**Figura A2.2.4. Erori introduse prin liniarizare pentru electromagnetul cu forță portantă mică**

Minimele obținute au fost la 1.4 mm, 0.28 mm și 0.7 mm. Și aici trebuie găsit un compromis în alegerea unui punct de cvasi-optimum în cazul modelului cu eliminarea fluxului.

## ANEXA 2.3.

### A2.3. Variația coeficienților din modelele matematice ale S1E1G în funcție de întrefierul de liniarizare

Pentru toate cele trei modele matematici intrare-stare-ieșire deduse în paragraful 2.1.3.1 se reprezintă grafic variațiile coeficienților matricelor în funcție de întrefierul de liniarizare. Prin "întrefier de liniarizare" este denumită valoarea întrefierului corespunzătoare punctului de funcționare în vecinătatea căruia au fost dezvoltate modelele matematice liniarizate.

Astfel, pentru cazul electromagnetului utilizat la vehiculele cu sustentație magnetică, în figurile A2.3.1 sunt reprezentați coeficienții modelului cu a treia variabilă de stare curentul, în figurile A.2.3.2 coeficienții modelului cu a treia variabilă de stare accelerația absolută și în figura A2.3.3 coeficienții modelului cu a treia variabilă de stare fluxul. În toate figurile întrefierul este exprimat în metri. Ca o măsură a neliniarității acestor coeficienți, s-au determinat și drepte de aproximare ale lor, deduse cu metoda celor mici pătrate

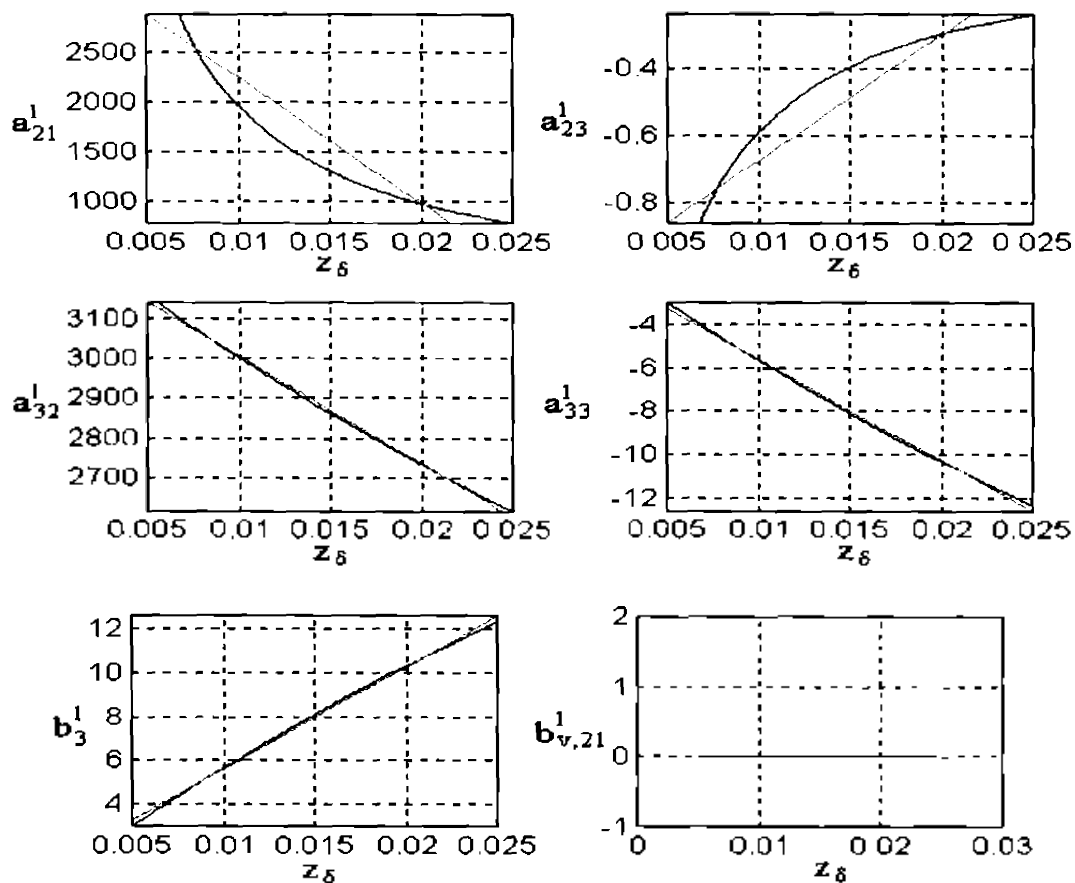


Figura A2.3.1. Variația coeficienților MM-ISI (2.28)

Se observă variația pronunțat neliniară a primilor doi coeficienți în cazul modelului cu a treia variabilă de stare curentul, pentru care aproximarea cu drepte nu-și are sensul. Pentru restul coeficienților se pot deduce relațiile:

$$a_{32}^1 = -26.887 \cdot 10^3 \cdot z_\delta + 3.273 \cdot 10^3$$

$$a_{33}^1 = -466.037 \cdot z_\delta - 0.9575$$

$$b_3^1 = 466.037 \cdot z_\delta + 0.9575$$

$$a_{21}^3 = -1.7248 \cdot 10^3 \cdot z_\delta + 209.886$$

$$a_{31}^3 = 26.897 \cdot 10^3 \cdot z_\delta - 3.273 \cdot 10^3$$

$$a_{31}^2 = -99.467 \cdot 10^3 \cdot z_\delta + 12.104 \cdot 10^3$$

$$a_{32}^2 = -1.7248 \cdot 10^3 \cdot z_\delta + 209.888$$

$$a_{33}^2 = -466.037 \cdot z_\delta - 0.9575$$

$$b_3^2 = 29.8851 \cdot z_\delta - 3.6367$$

$$b_{v,21}^2 = -0.5178 \cdot z_\delta + 0.0011$$

$$a_{23}^3 = 29.8851 \cdot z_\delta - 3.6367$$

$$a_{33}^3 = -466.0376 \cdot z_\delta - 0.9575$$

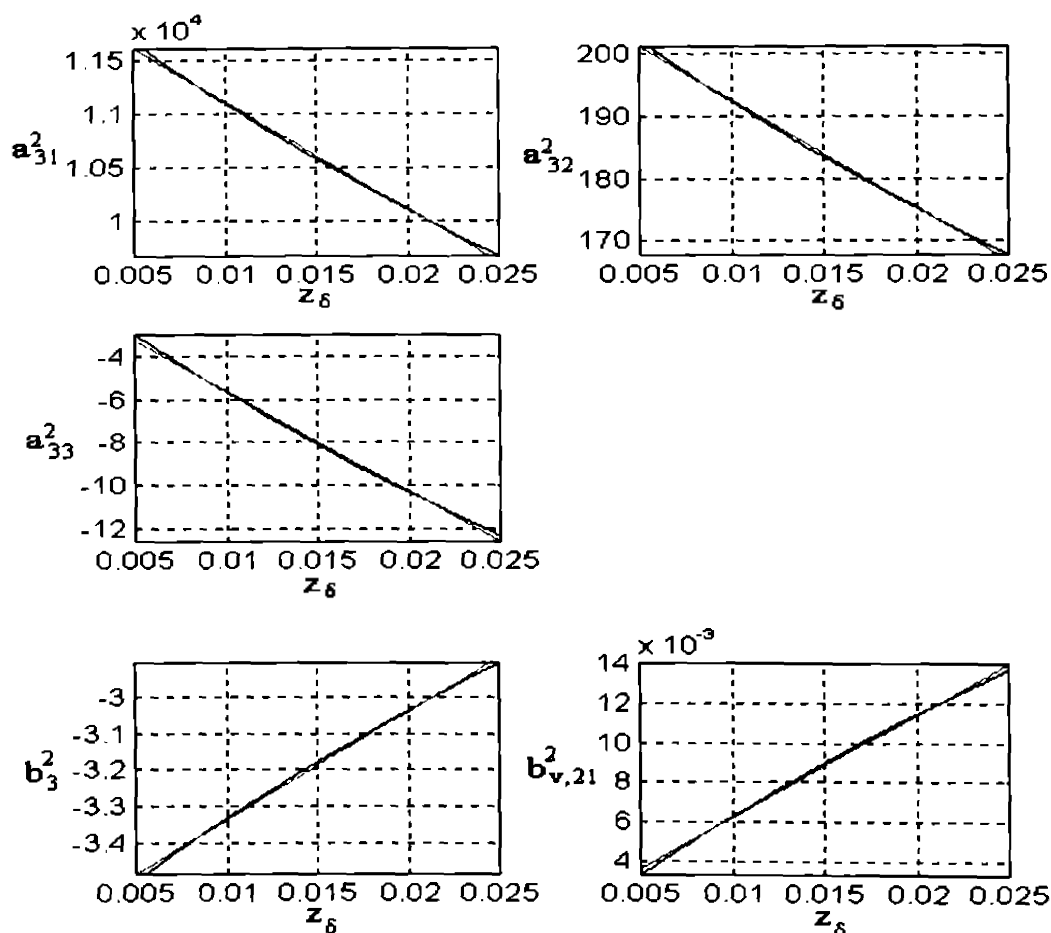


Figura A2.3.2. Variația coeficienților MM-ISI (2.30)

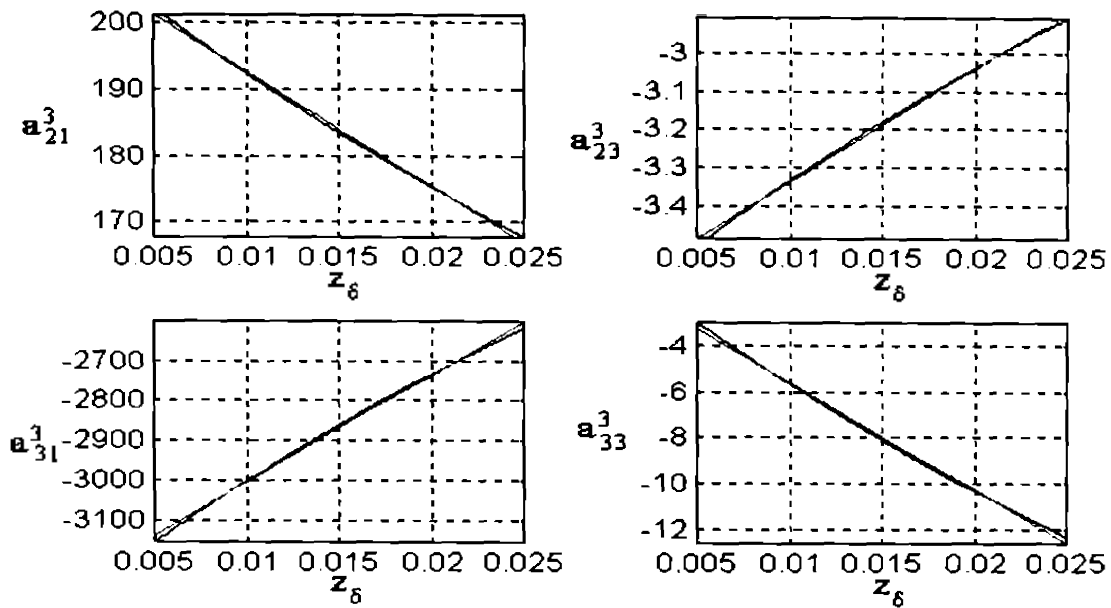


Figura A2.3.3. Variația coeficienților MM-ISI (2.32)

Așa cum s-a menționat, coeficienții polinomului caracteristic sunt identici pentru toate cele trei modelele și sunt valorile opuse ale coeficienților din cazul modelului cu a treia variabilă de stare accelerația absolută (vezi și figura A2.3.2). Variația lor este prezentată în figurile următoare.

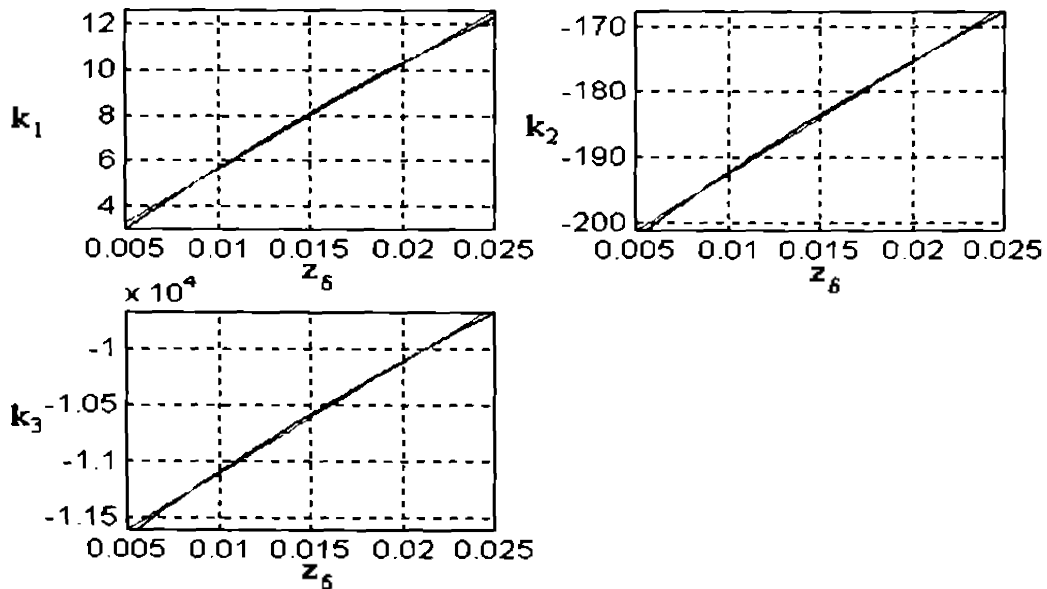


Figura A2.3.4. Variația coeficienților polinomului caracteristic cu întrefierul de liniarizare

În figura A2.3.5 este trasat locul rădăcinilor sistemului liniarizat trasat pentru  $z_{20}$  între 0 și 3 mm. Se observă prezența polului real instabil. Se remarcă de asemenea banda de pulsație redusă a sistemului, situată sub 20 rad/sec.

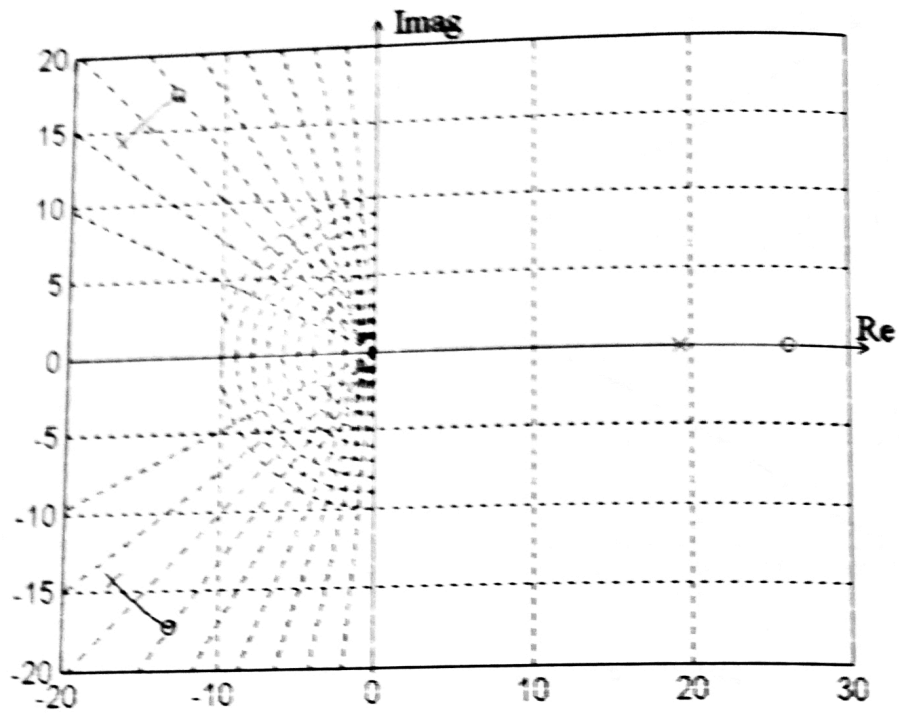
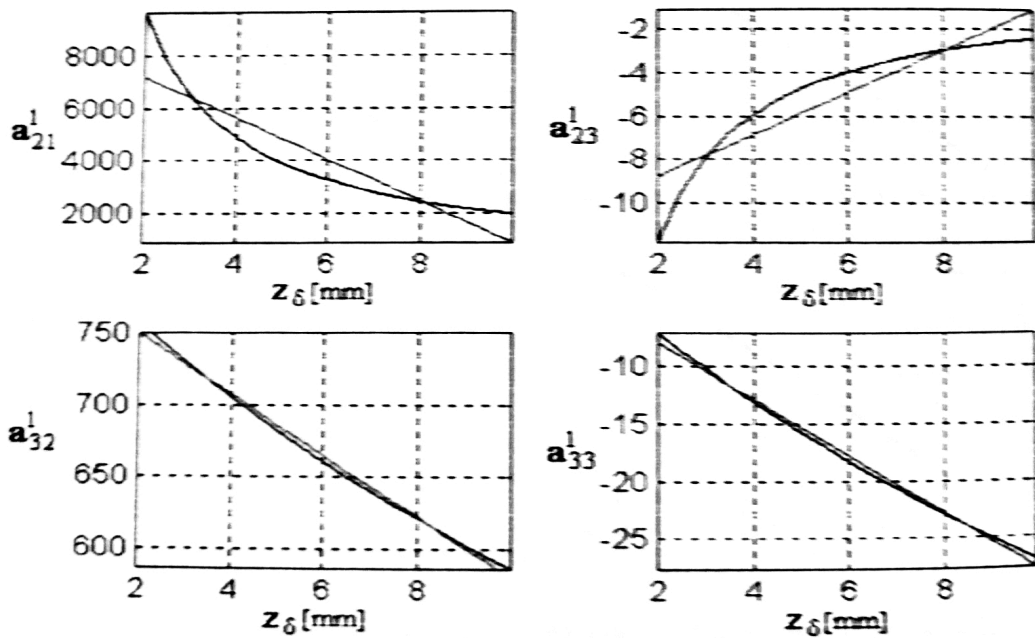


Figura A2.3.5. LR polinomului caracteristic în funcție de întrefierul de liniarizare

Similar se obțin curbele pentru coeficienții modelelor pentru electromagnetul standului:





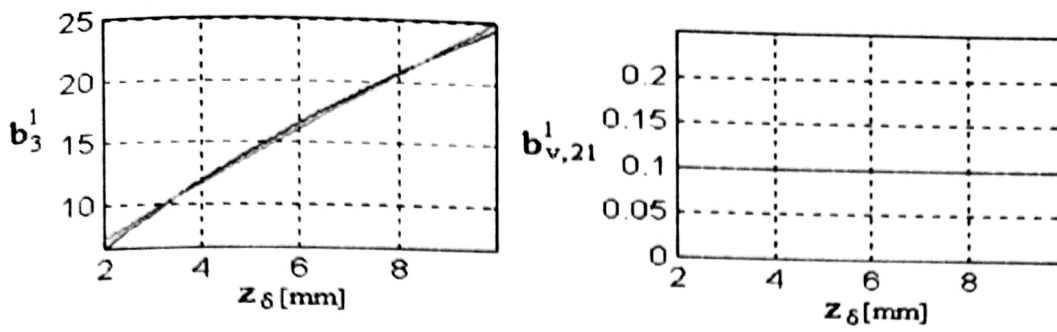


Figura A2.3.6. Variația coeficienților MM-ISI (2.28) pentru stand

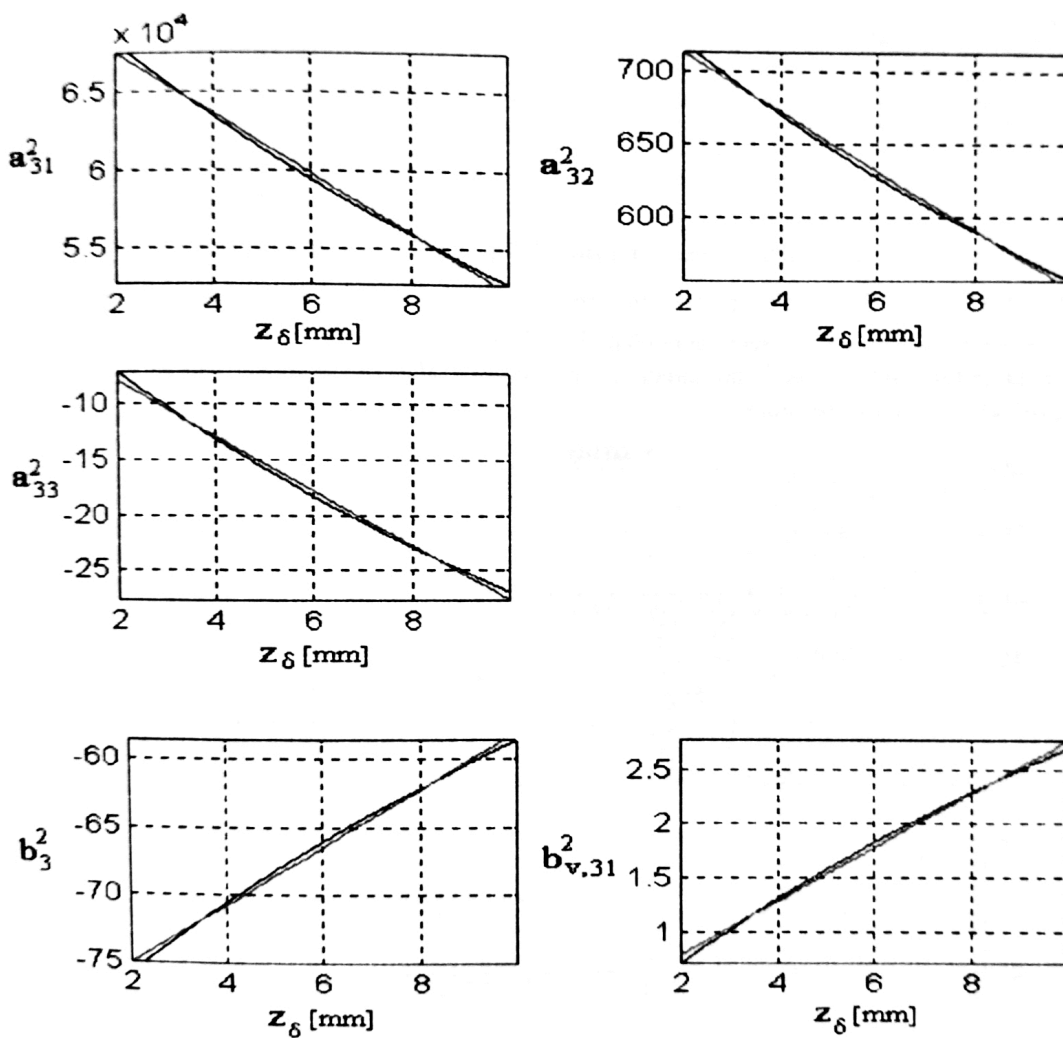


Figura A2.3.7. Variația coeficienților MM-ISI (2.30) pentru stand

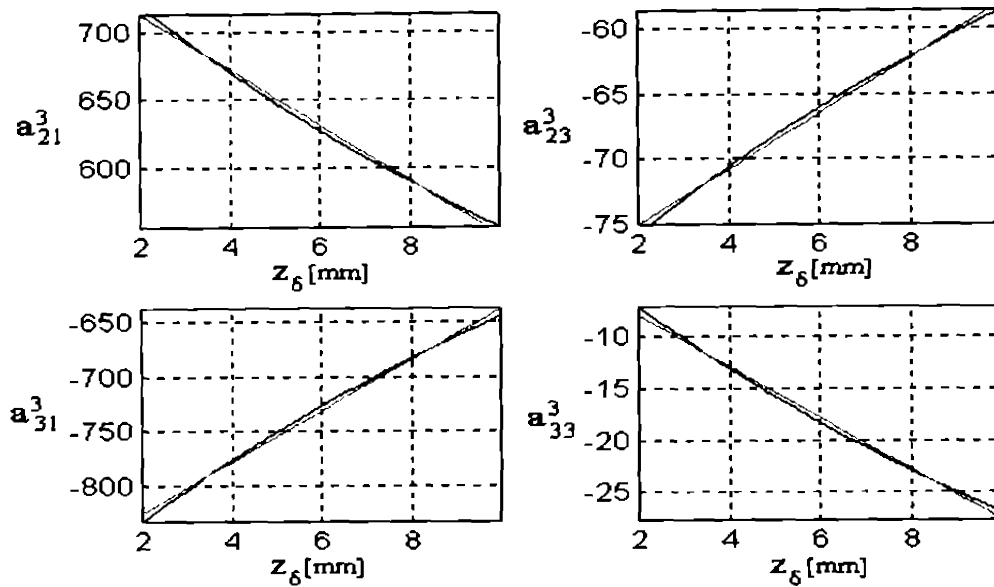


Figura A2.3.8. Variația coeficienților MM-ISI (2.32) pentru stand

Coeficienții funcției de transfer nu s-au mai reprezentat, ei fiind identici cu cei ai modelului cu a treia variabilă de stare accelerația, cu semn schimbat. Locul rădăcinilor trasat pentru  $z_{\delta 0}$  între 0 și 15 mm confirmă prezența polului real instabil, iar banda de pulsații se ridică de data aceasta până la aproape 40rad/sec datorită dimensiunilor mai mici.

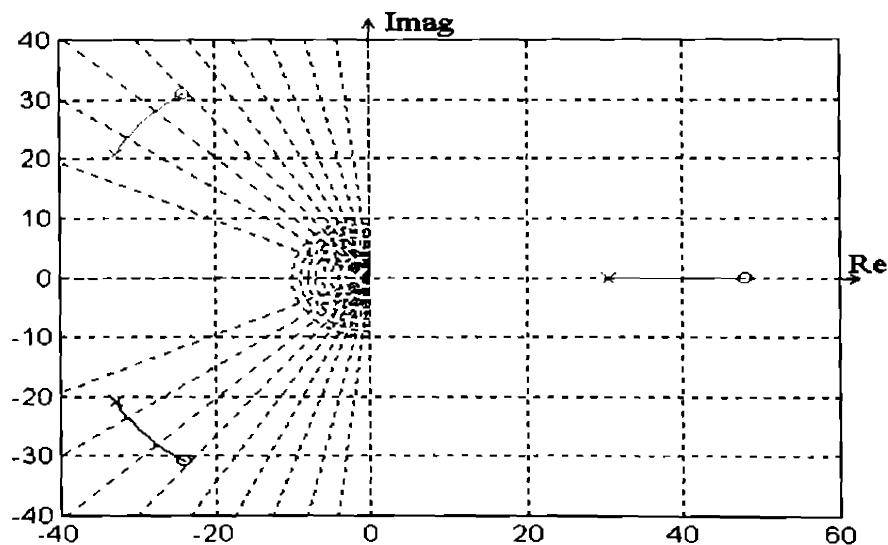


Figura A2.3.9. LR polinomului caracteristic în funcție de întrefierul de liniarizare în cazul standului

În fine, pentru electromagnetul modelului de laborator:

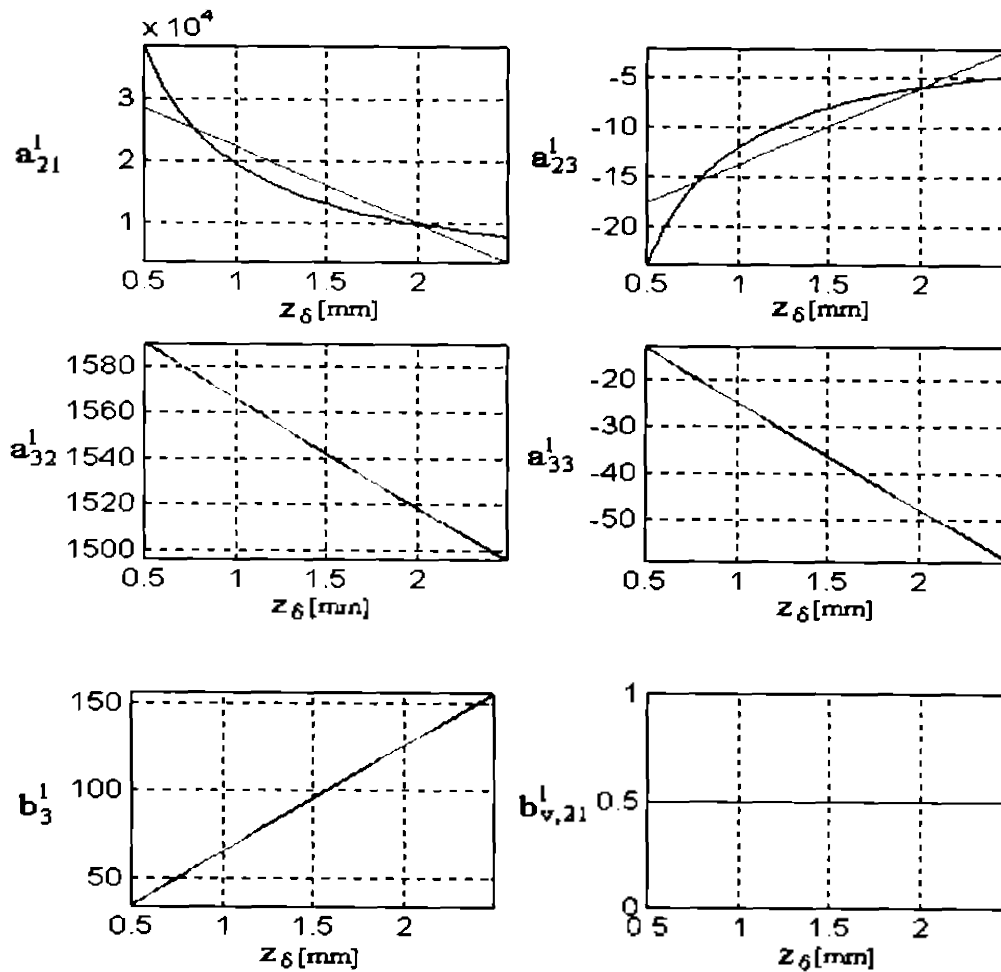
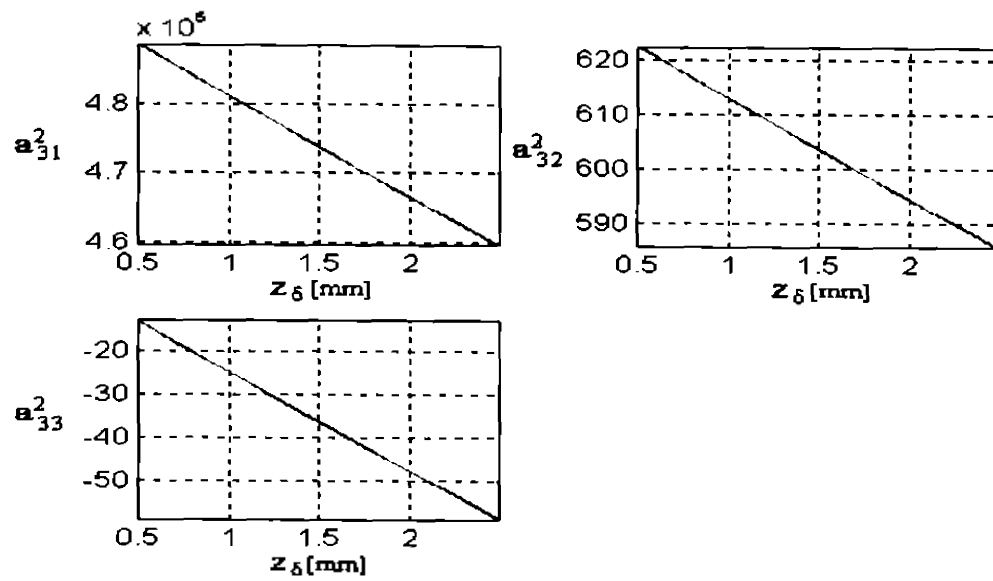


Figura A2.3.10. Variația coeficienților MM-ISI (2.28) pentru modelul de laborator



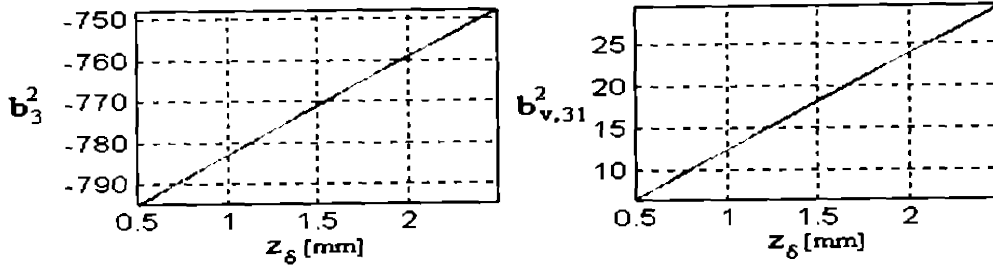


Figura A2.3.11. Variația coeficienților MM-ISI (2.30) pentru modelul de laborator

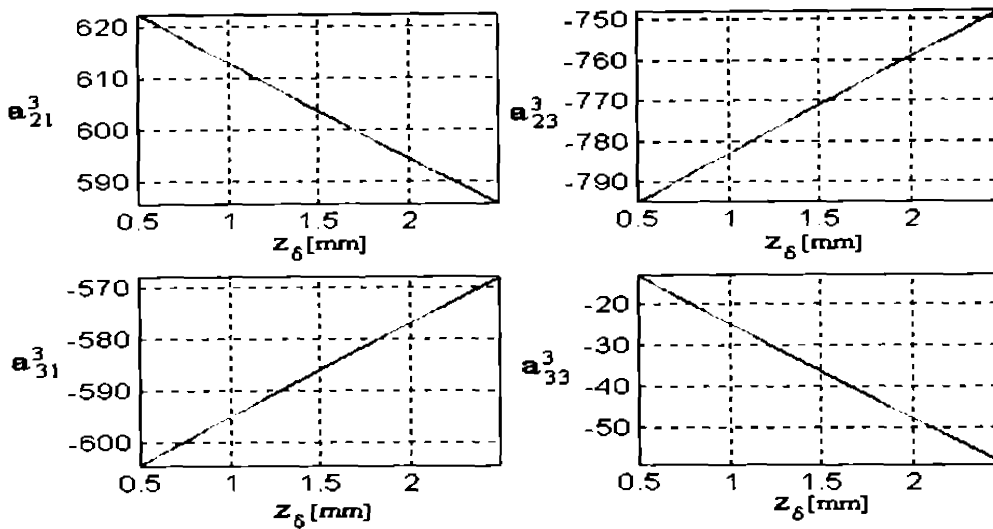


Figura A2.3.12. Variația coeficienților MM-ISI (2.32) pentru modelul de laborator

Din analiza locului rădăcinilor trasat pentru  $z_{\delta 0}$  între 0 și 3 mm se observă că pulsația de tăiere este în jurul a 70 de rad/sec.

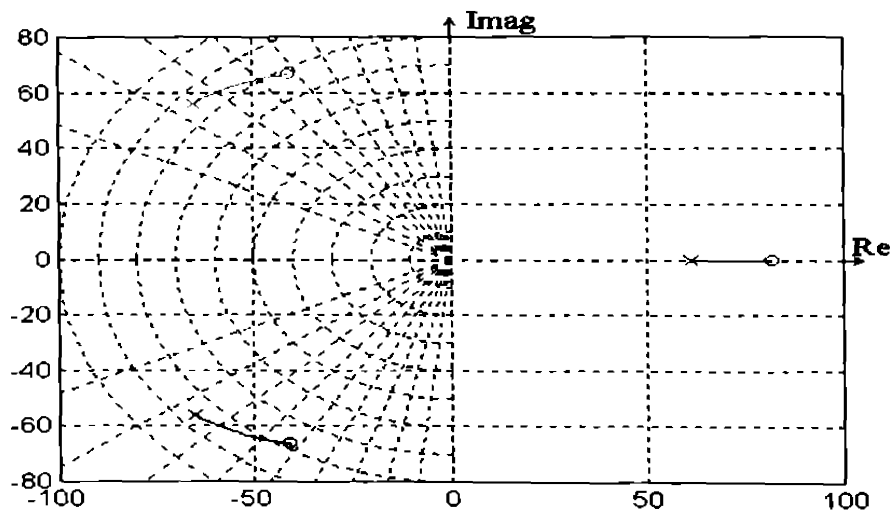


Figura A2.3.13. LR polinomului caracteristic în funcție de întrefierul de liniarizare pentru modelul de laborator

## ANEXA A2.4.

### A2.4. Compararea răspunsului sistemului neliniar cu cele ale sistemelor liniarizate pe baza răspunsului indicial

Scopul acestui studiu este de a aprecia și prin metoda răspunsului indicial cât de bine aproximează modelele liniarizate modelul neliniar original. Este suficient a se simula SIEIG cu electromagnet cu forța portantă mare (vehicul cu susținere electromagnetică) și cu electromagnet cu forța portantă redusă (model de laborator).

În acest scop se consideră sistemul în echilibru, cu condiții inițiale  $z_{\delta} = z_{\delta 0}$ ,  $F'_{ext} = 0$ ,  $\dot{z}_s = 0$ , în care întrefierul inițial este 10 mm pentru primul caz studiat și 1.5 mm pentru al doilea. Se aplică apoi pe fiecare dintre cele 3 intrări câte un semnal treaptă de o valoare care în condiții de echilibru ar produce o variație a forței dezvoltate de electromagnet de  $\pm 10\%$ , adică:

$$\Delta U_a = R(I_1 - I_0) = R(z_{\delta 0} + z_0) \left[ \sqrt{\frac{2g}{c}(1 \pm 0.1)M} - \sqrt{\frac{2g}{c}M} \right]$$

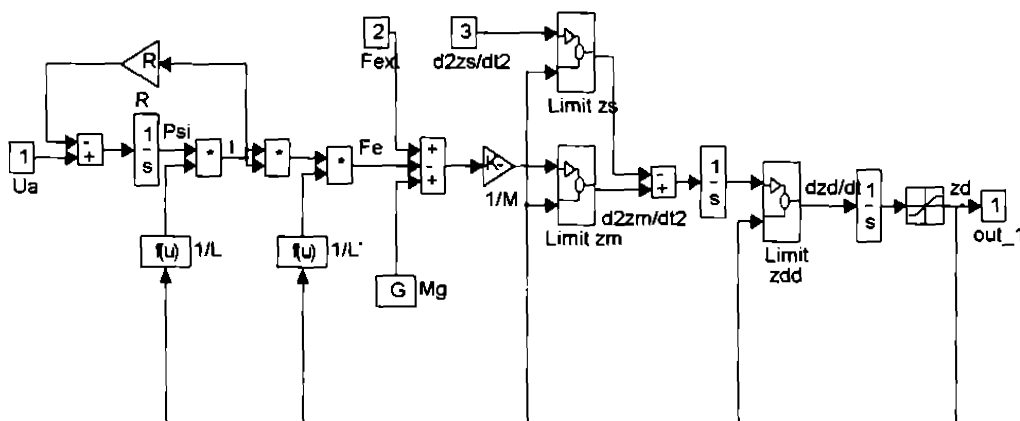
$$\Delta F'_{ext} = \mp 0.1 Mg \tag{A2.4.1}$$

$$\Delta \ddot{z}_s = \pm 0.1g$$

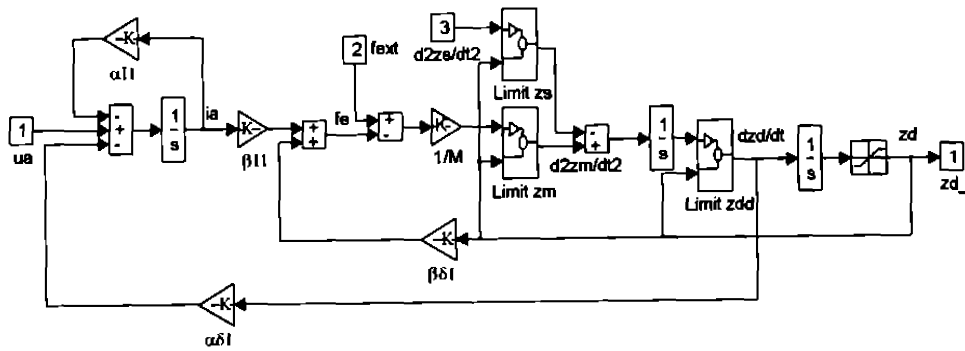
Cele trei modele au fost construite și simulate în SIMULINK.

Schemele bloc sunt prezentate în figurile A2.4.1. Pentru a reda situația reală în care variația întrefierului este limitată constructiv s-a utilizat un bloc de saturare pentru întrefier și câte un bloc de limitare pentru mărimile care în momentul în care întrefierul este limitat devin nule (acelerații și viteza)

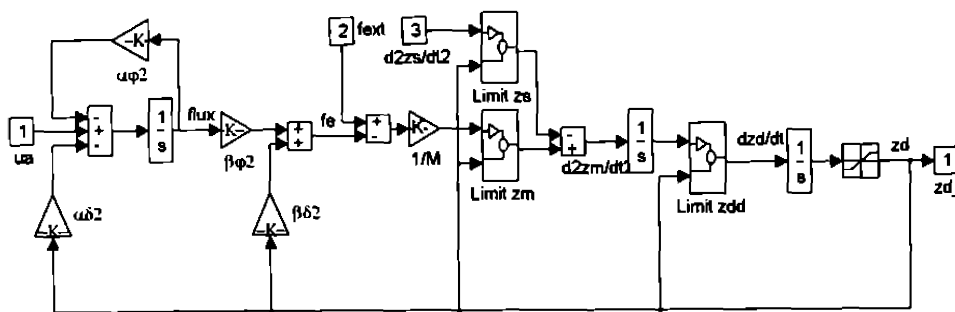
Rezultatele simulărilor pentru variațiile (A2.4.1) sunt apoi redată în figurile A2.4.2, A2.4.3 și A2.4.4. Cu *albastru* sunt reprezentate răspunsurile modelului neliniar, cu *roșu* ale sistemului liniarizat bazat pe eliminarea fluxului și cu *verde* ale modelului liniarizat bazat pe eliminarea curentului.



a) - Modelul neliniar

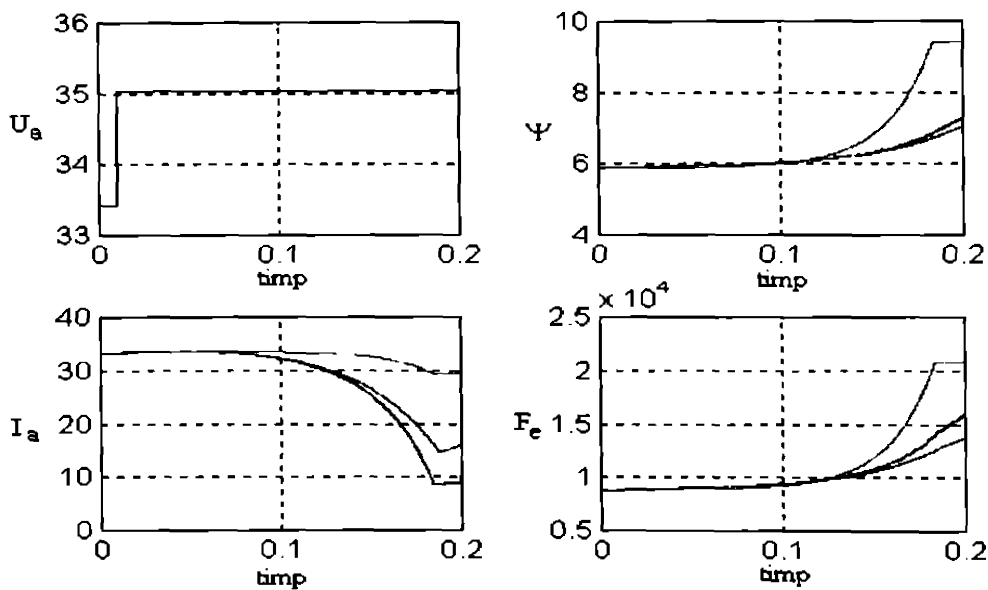


b) - Modelul liniar cu eliminarea fluxului

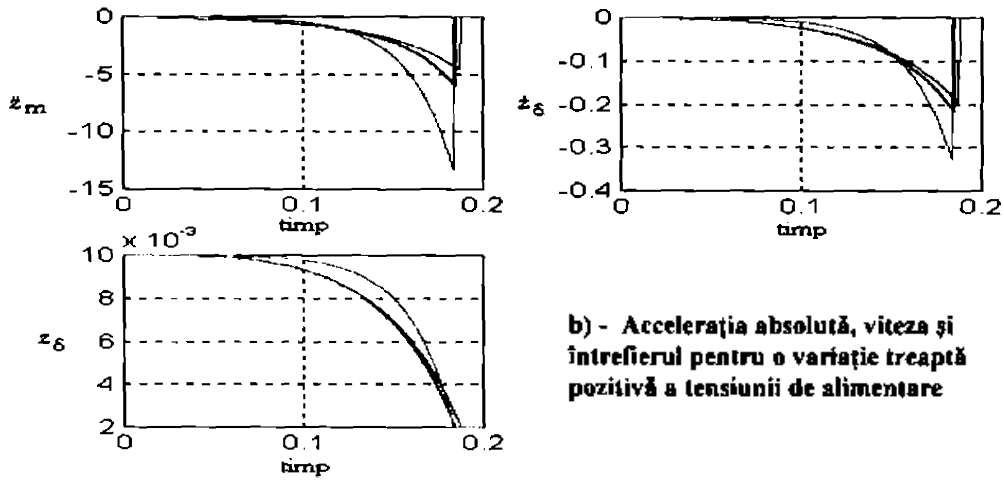


c) - Modelul liniar cu eliminarea curentului

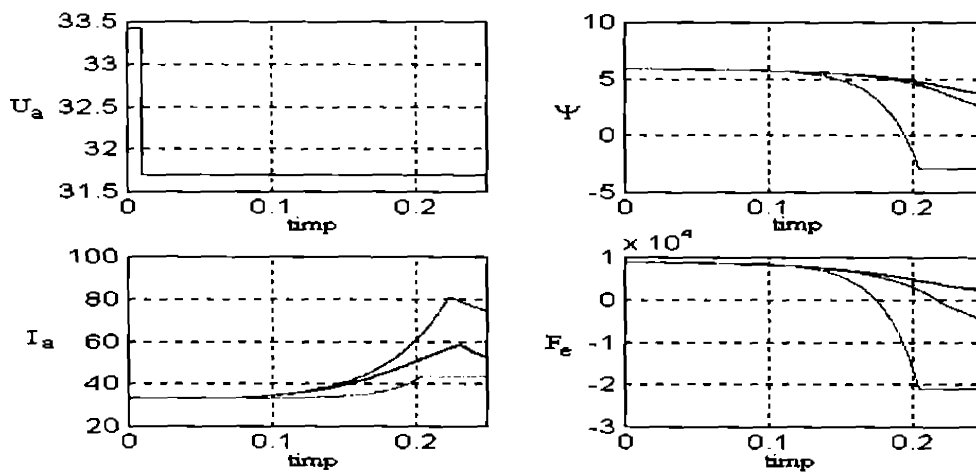
Figura A2.4.1. Schemele bloc pentru simularea SIEIGL



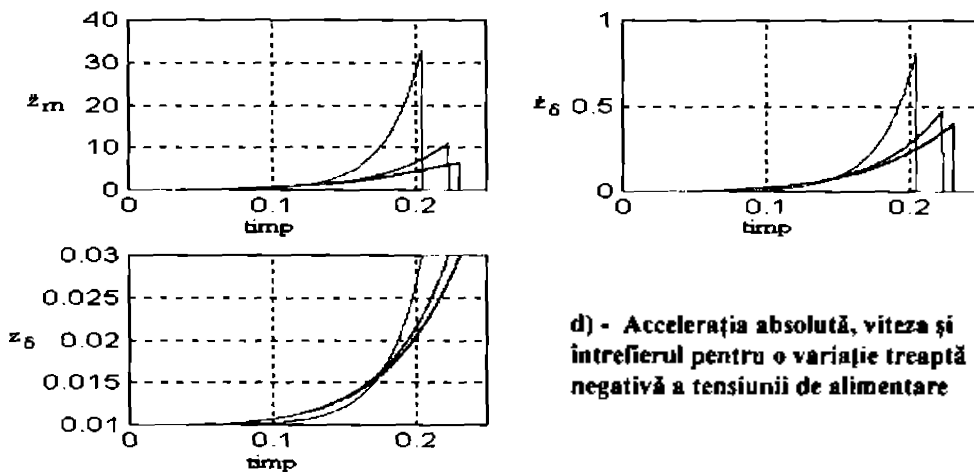
a) - Fluxul, curentul și forța electromagnetică în cele trei modele pentru o variație treaptă pozitivă a tensiunii de alimentare



b) - Accelația absolută, viteza și întrefierul pentru o variație treaptă pozitivă a tensiunii de alimentare

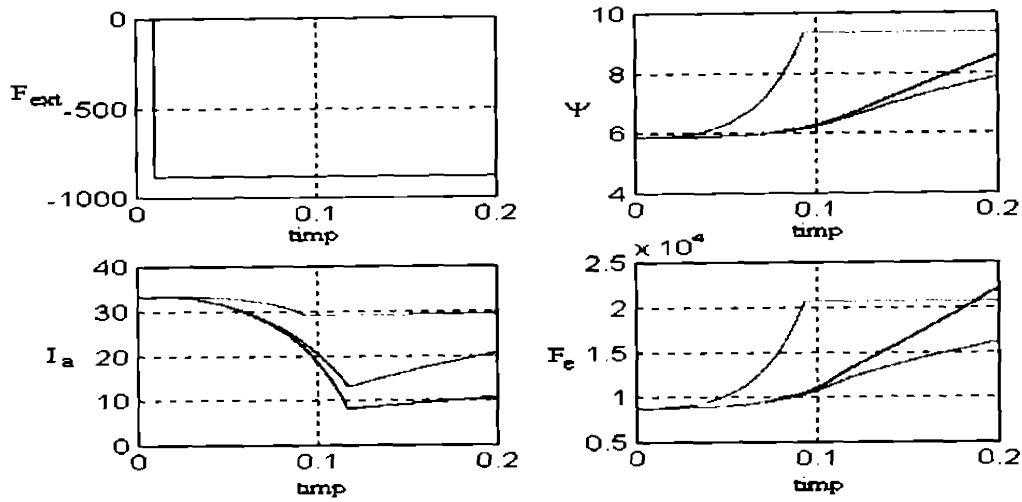


c) - Fluxul, curentul și forța electromagnetică în cele trei modele pentru o variație treaptă negativă a tensiunii de alimentare

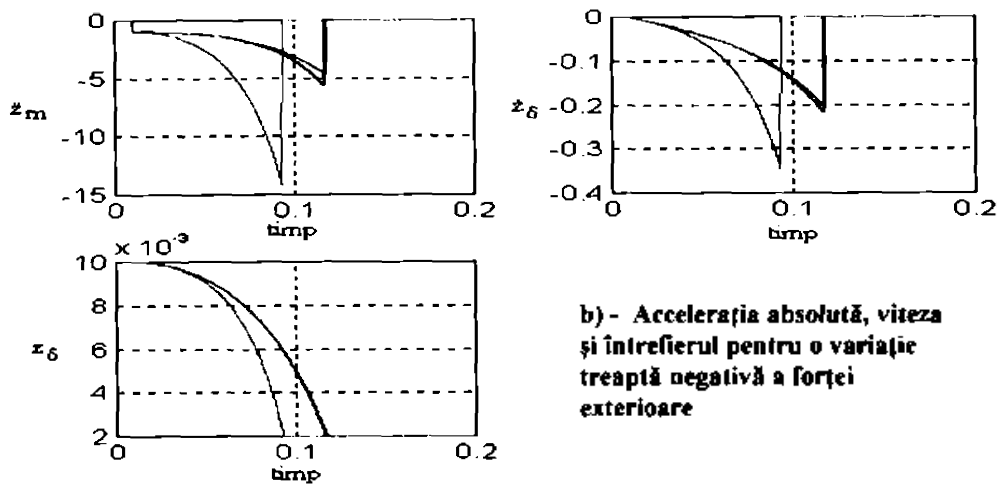


d) - Accelația absolută, viteza și întrefierul pentru o variație treaptă negativă a tensiunii de alimentare

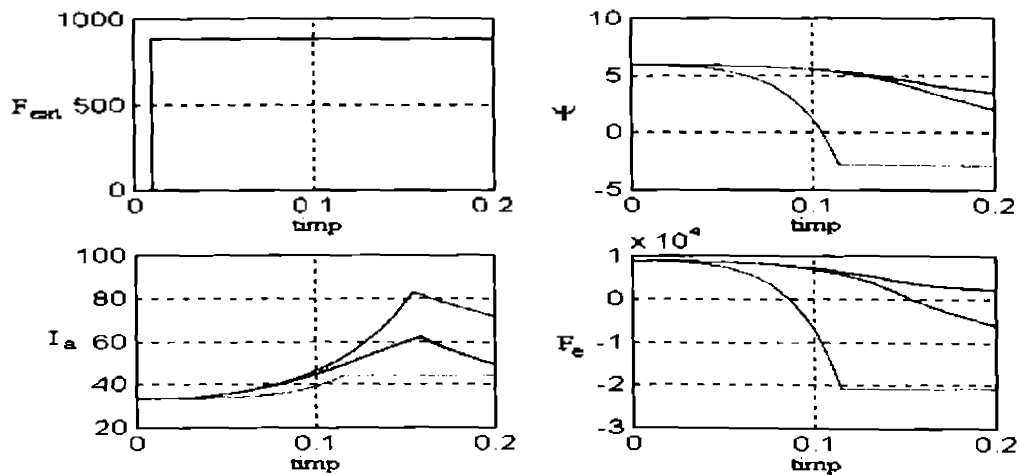
Figura A2.4.2. Comparație între răspunsurile modelului neliniar și ale modelelor liniarizate la variații treaptă ale tensiunii de alimentare pentru electromagnetul cu forță portantă mare



a) - Fluxul, curentul și forța electromagnetică în cele trei modele pentru o variație treaptă negativă a forței exterioare perturbatoare

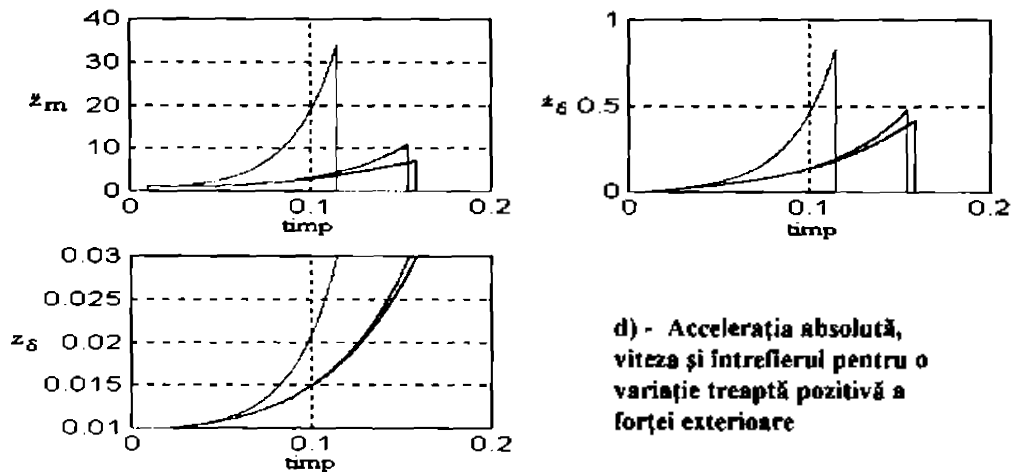


b) - Accelerația absolută, viteza și întrefierul pentru o variație treaptă negativă a forței exterioare



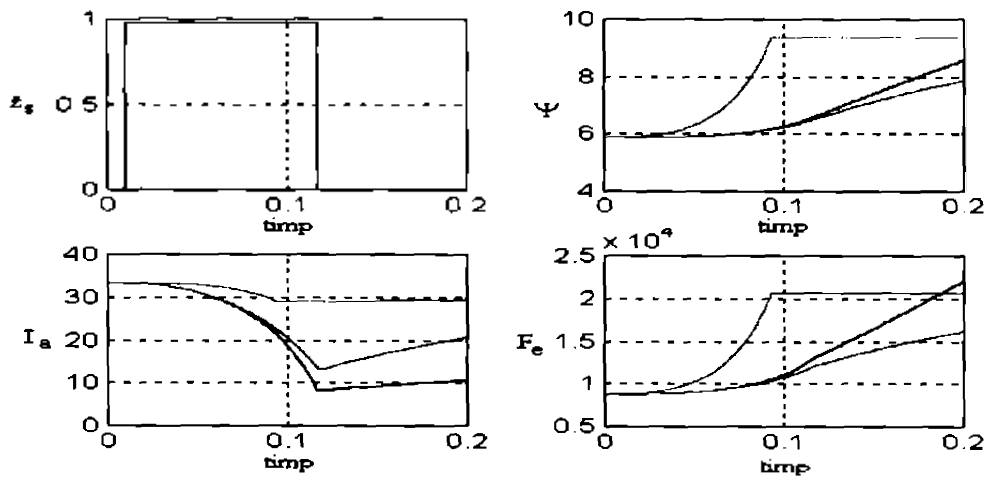
c) - Fluxul, curentul și forța electromagnetică în cele trei modele pentru o variație treaptă pozitivă a forței exterioare perturbatoare



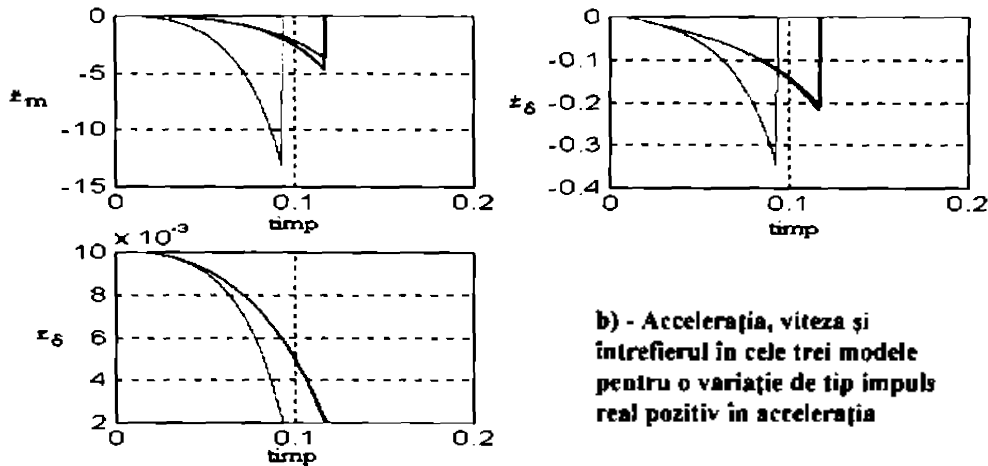


d) - Accelația absolută, viteza și întrefierul pentru o variație treaptă pozitivă a forței exterioare

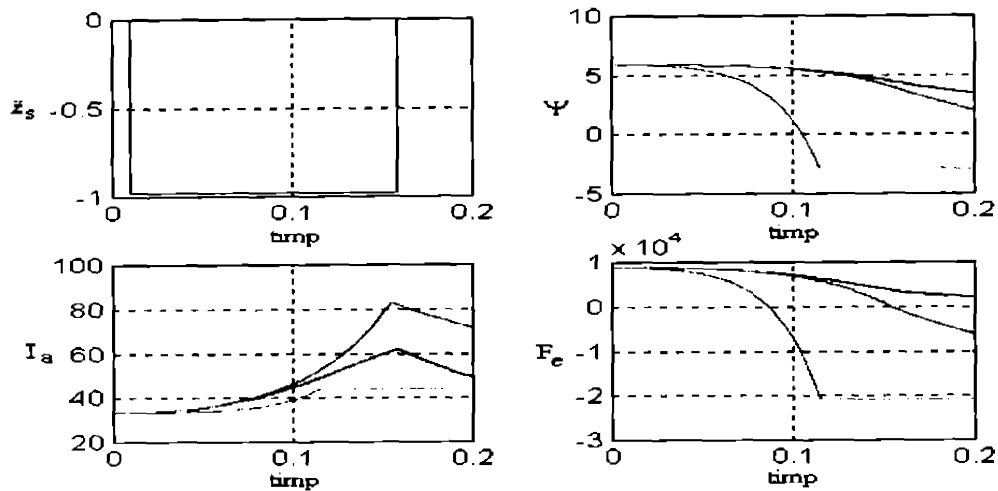
Figura A2.4.3. Comparație între răspunsurile modelului neliniar și ale modelelor liniarizate la variații treaptă ale forței exterioare perturbatoare pentru electromagnetul cu forță portantă mare



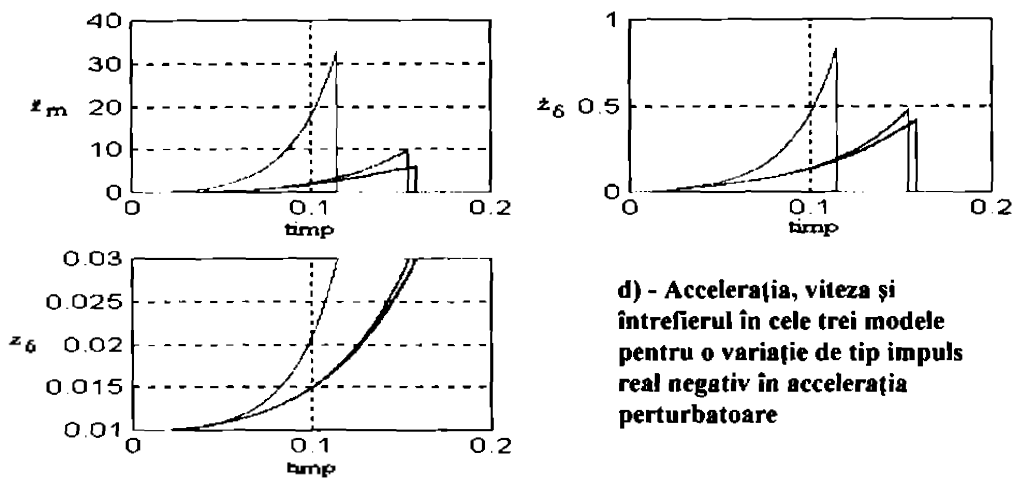
a) - Fluxul, curentul și forța electromagnetică în cele trei modele pentru o variație de tip impuls real pozitiv în accelerația perturbatoare



b) - Accelația, viteza și întrefierul în cele trei modele pentru o variație de tip impuls real pozitiv în accelerația



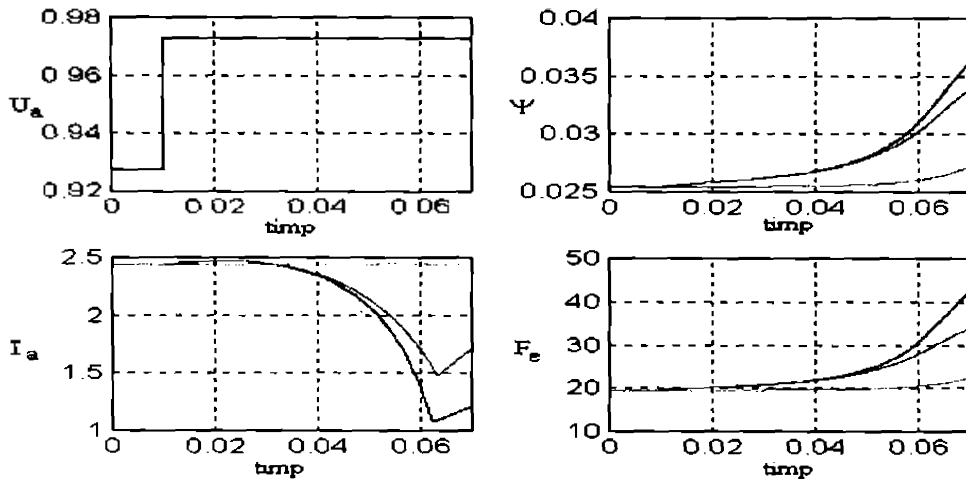
c) - Fluxul, curentul și forța electromagnetică în cele trei modele pentru o variație de tip impuls real negativ în accelerația perturbatoare



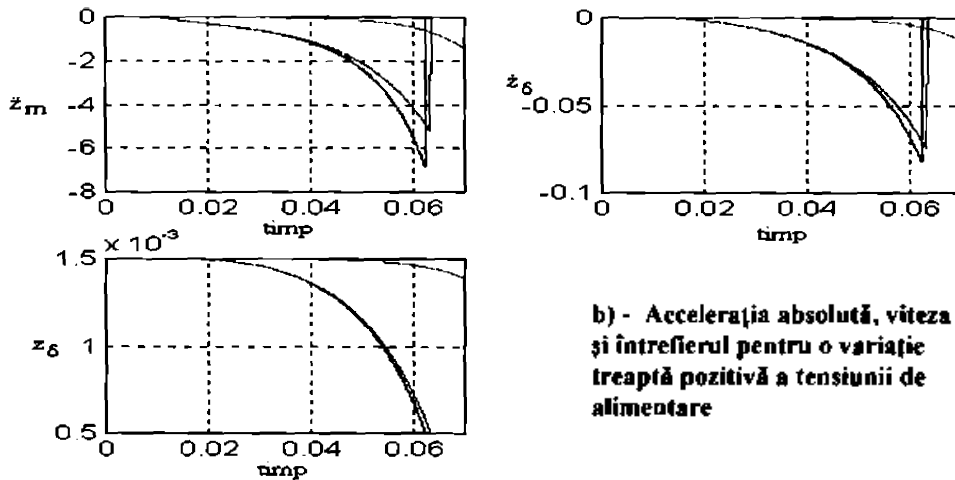
d) - Accelerația, viteza și întrefierul în cele trei modele pentru o variație de tip impuls real negativ în accelerația perturbatoare

Figura A2.4.4. Comparație între răspunsurile modelului neliniar și ale modelelor liniarizate la variații de tip impuls real ale accelerației perturbatoare pentru electromagnetul cu forță portantă mare

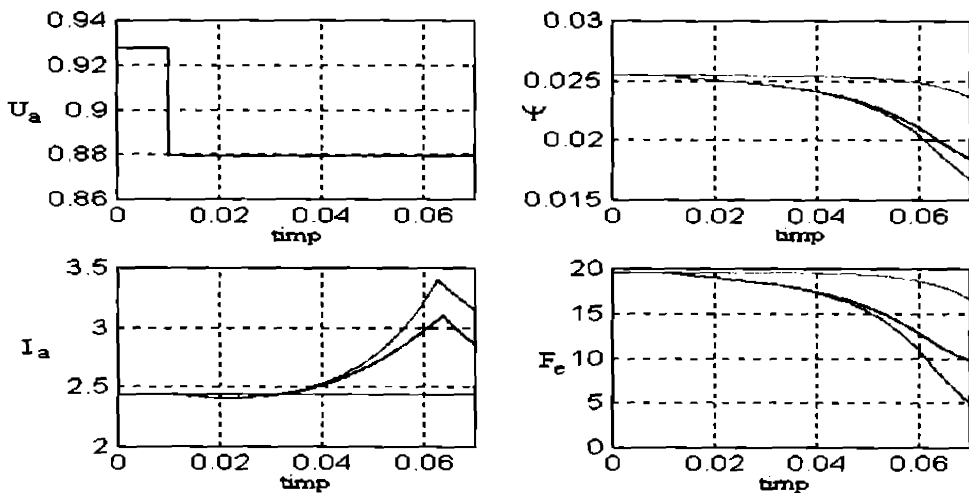
Similar, pentru electromagnetul modelului de laborator s-au trasat diagramele A2.4.5, A2.4.6 și A2.4.7. Ele diferă doar cantitativ de rezultatele de mai sus.



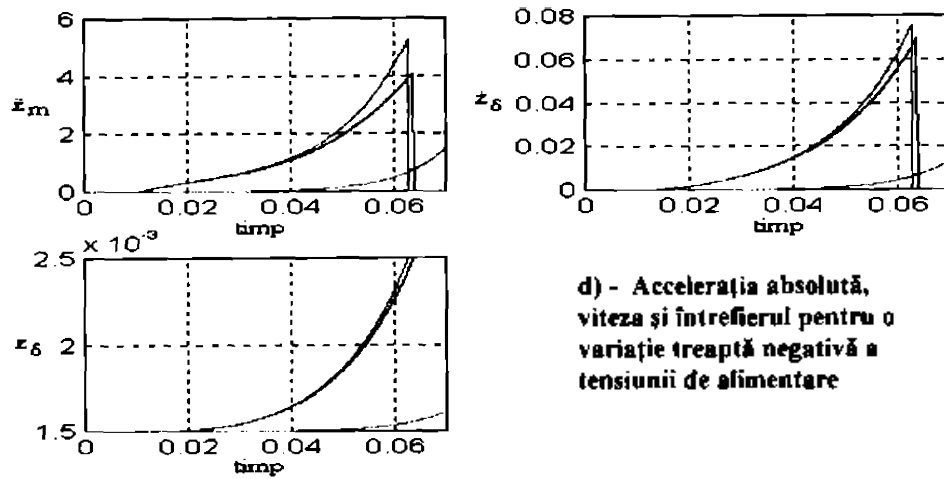
a) - Fluxul, curentul și forța electromagnetică în cele trei modele pentru o variație treaptă pozitivă a tensiunii de alimentare



b) - Accelerația absolută, viteza și întrefierul pentru o variație treaptă pozitivă a tensiunii de alimentare

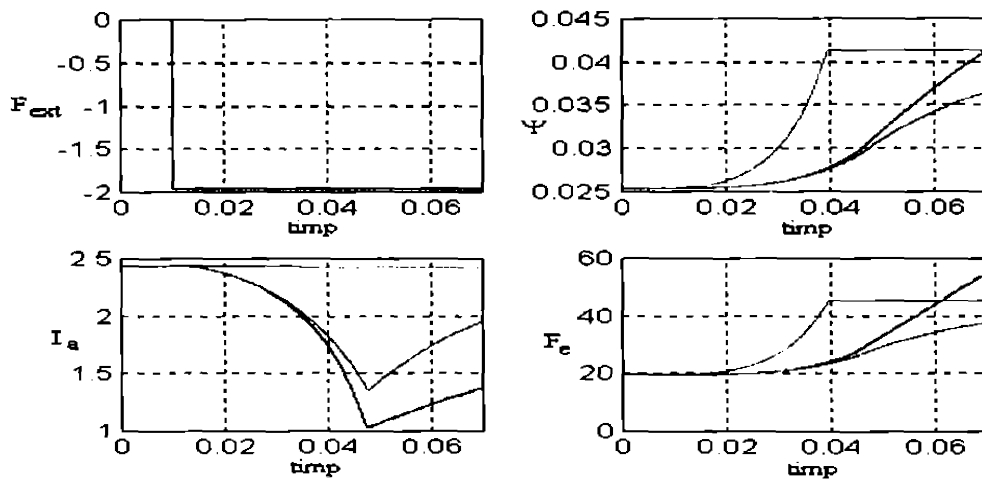


c) - Fluxul, curentul și forța electromagnetică în cele trei modele pentru o variație treaptă negativă a tensiunii de alimentare

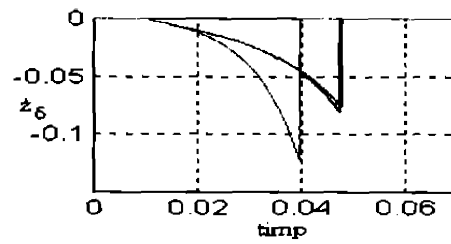
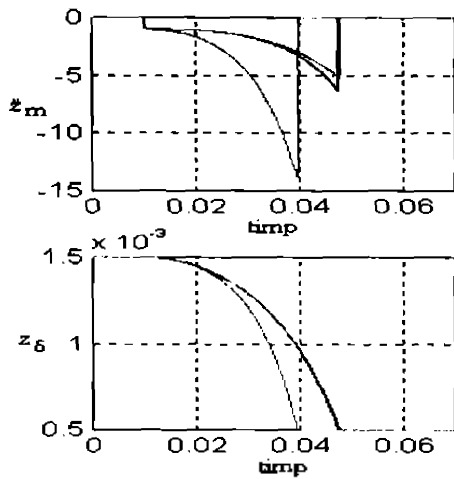


d) - Accelerația absolută, viteza și întrefierul pentru o variație treaptă negativă a tensiunii de alimentare

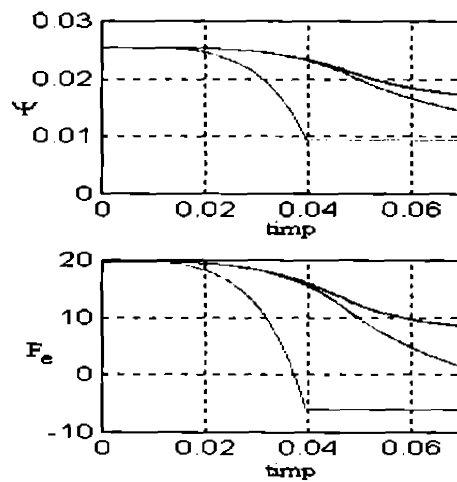
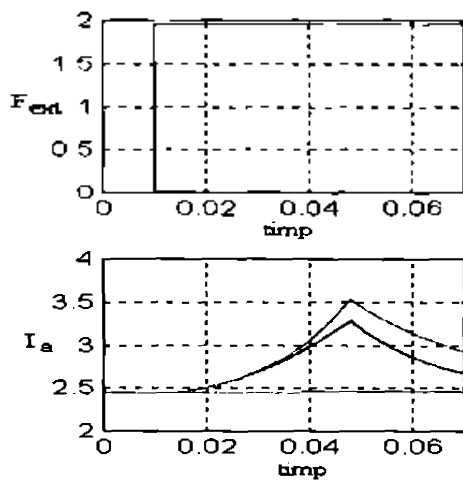
Figura A2.4.5. Comparație între răspunsurile modelului neliniar și ale modelelor linearizate la variații treaptă ale tensiunii de alimentare pentru electromagnetul cu forță portantă mică



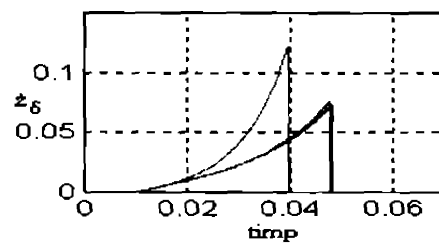
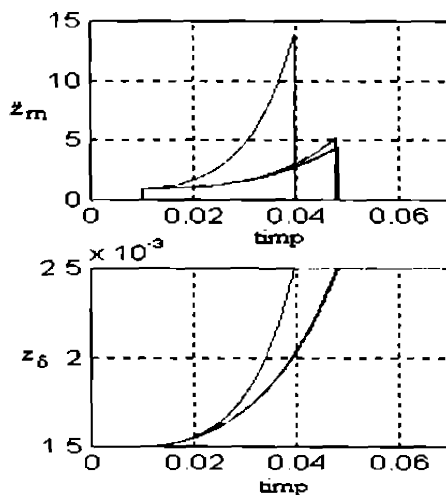
a) - Fluxul, curentul și forța electromagnetică în cele trei modele pentru o variație treaptată negativă a forței exterioare perturbatoare



b) - Accelația absolută, viteza și întrefierul pentru o variație treaptă negativă a forței exterioare

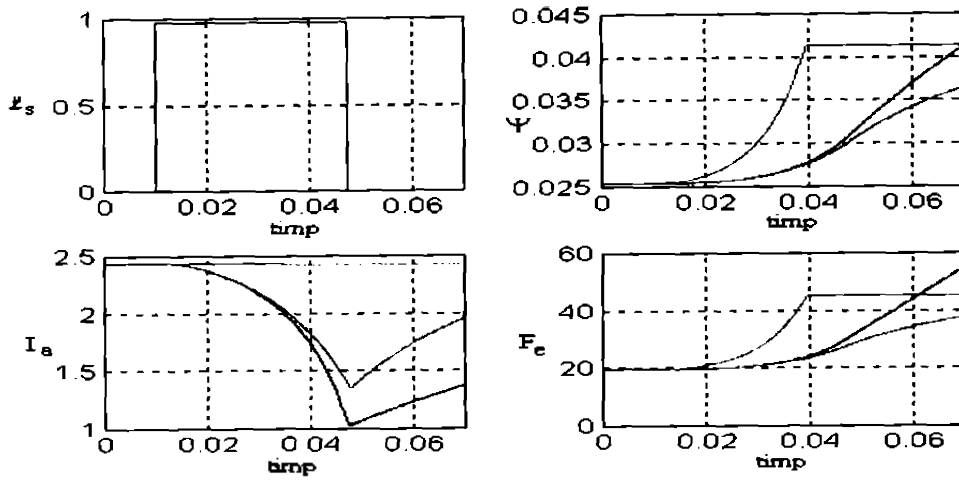


c) - Fluxul, curentul și forța electromagnetică în cele trei modele pentru o variație treaptă pozitivă a forței exterioare perturbatoare

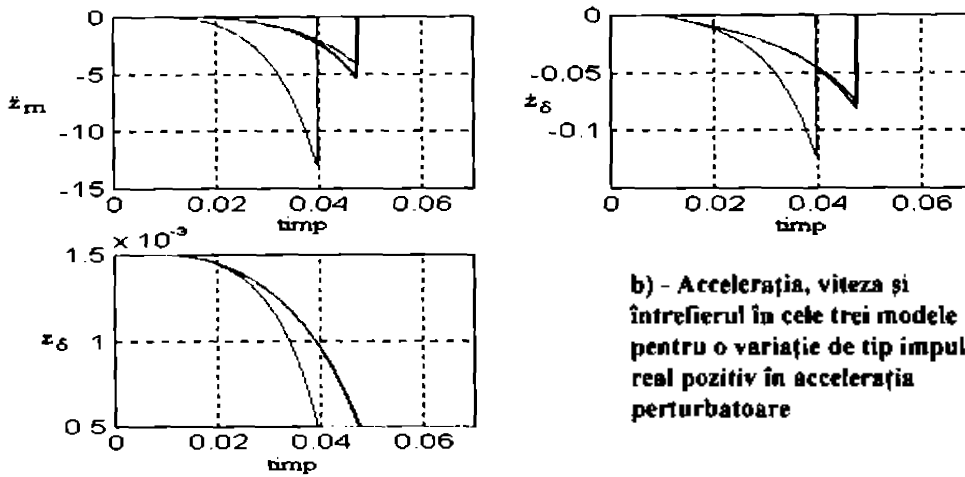


d) - Accelația absolută, viteza și întrefierul pentru o variație treaptă pozitivă a forței exterioare

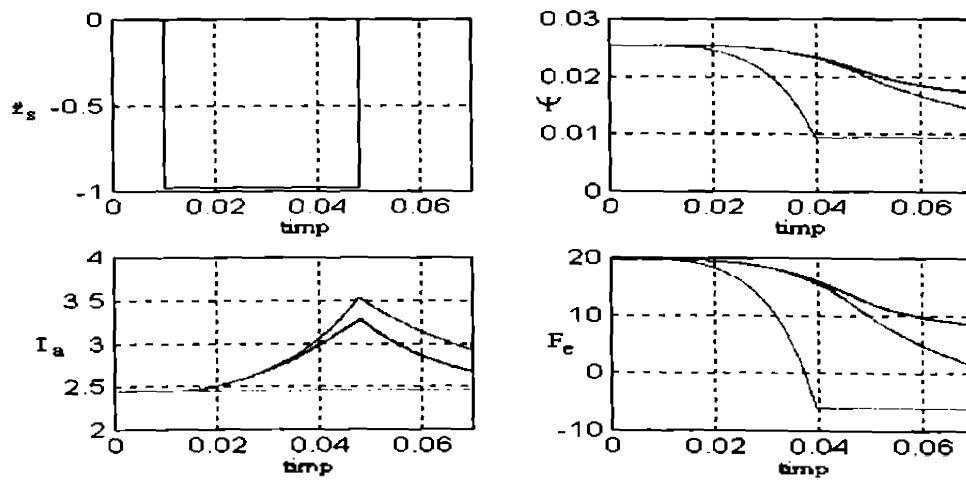
Figura A2.4.6. Comparație între răspunsurile modelului nelinier și ale modelelor liniarizate la variații treaptă ale forței exterioare perturbatoare pentru electromagnetul cu forță portantă mică



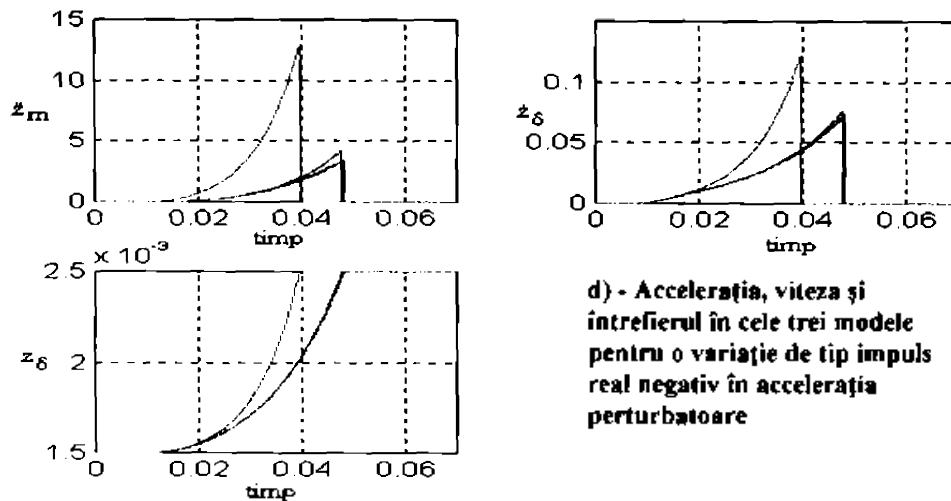
a) - Fluxul, curentul și forța electromagnetică în cele trei modele pentru o variație de tip impuls real pozitiv în accelerația perturbatoare



b) - Accelerația, viteza și întrefierul în cele trei modele pentru o variație de tip impuls real pozitiv în accelerația perturbatoare



c) - Fluxul, curentul și forța electromagnetică în cele trei modele pentru o variație de tip impuls real negativ în accelerația perturbatoare



**Figura A2.4.7. Comparație între răspunsurile modelului neliniar și ale modelelor liniarizate la variații de tip impuls real ale accelerației perturbatoare pentru electromagnetul cu forță portantă mică**

Se constată de la început că modelul cu eliminarea curentului aproximează mult mai bine sistemul neliniar decât modelul cu eliminarea fluxului. Această deosebire este mai pronunțată în cazul electromagnetului pentru modelul de laborator.

De asemenea se poate observa că în modelul cu eliminarea fluxului are în toate situațiile un răspuns foarte energetic pentru toate mărimile cu excepția curentului. În cazul modelului cu eliminarea curentului atunci când întrefierul crește sistemul neliniar real are un răspuns mai lent decât sistemele liniarizate și dimpotrivă, atunci când întrefierul scade sistemul neliniar are un răspuns mai rapid

Si rezultatele acestor simulări recomandă utilizarea modelului liniarizat cu eliminarea curentului.



## ANEXA 2.5.

### A2.5. Caracteristicile de pulsație ale S1E1G

În această anexă se prezintă caracteristicile de pulsație ale S1E1G pentru:

- cazul electromagnetului cu forța portantă mare, utilizat la vehicule pe pernă magnetică
- cazul electromagnetului cu forța portantă redusă din cadrul modelului de laborator.

Sunt trasate diagramele Bode pentru

- ♦ întrefier
- ♦ viteză
- ♦ curent
- ♦ flux
- ♦ forță electromagnetică
- ♦ accelerație absolută

în raport cu cele trei intrări ale sistemului:

- ♦ tensiune de alimentare
- ♦ forța exterioară perturbatoare
- ♦ accelerație perturbatoare

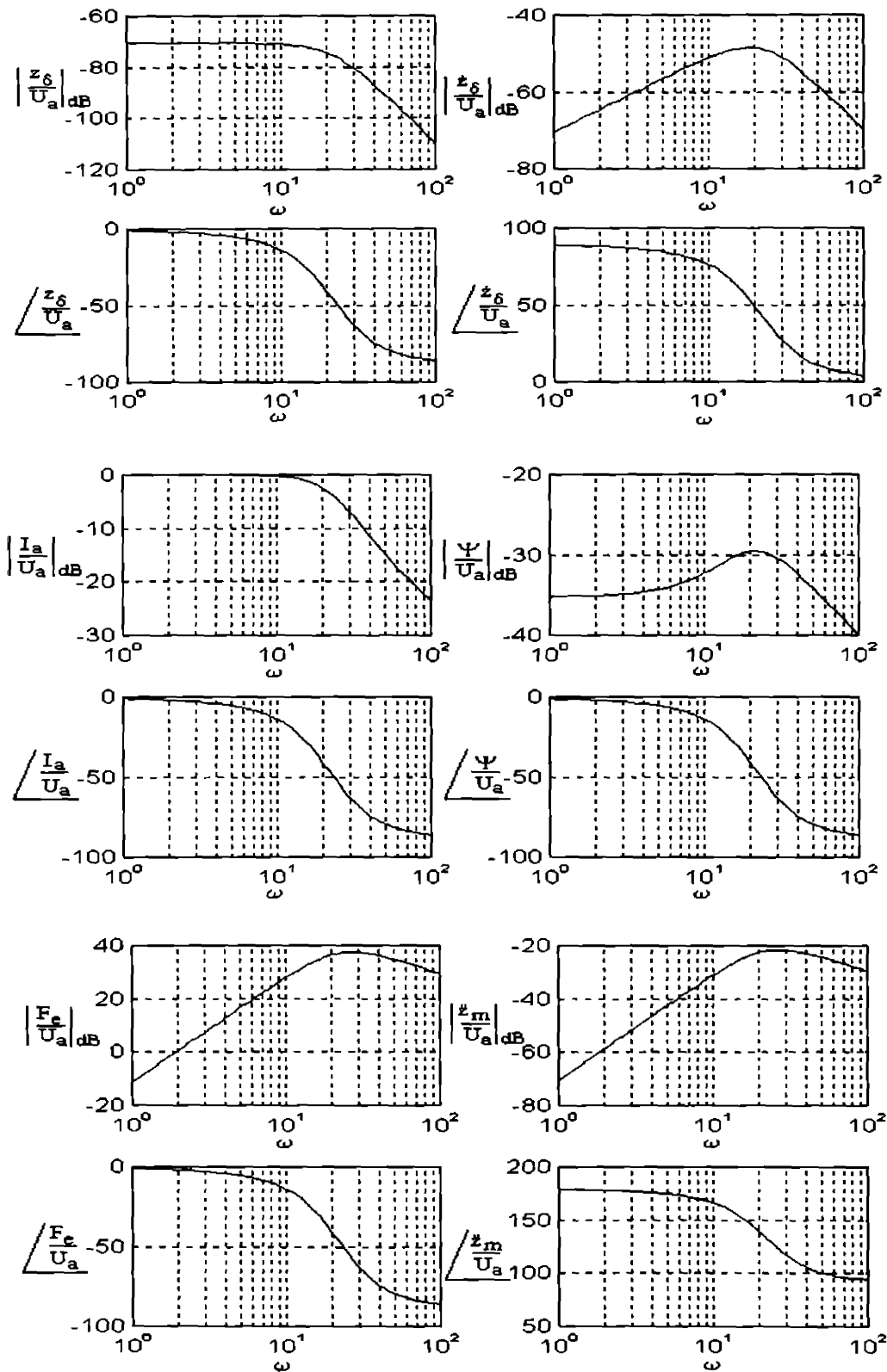
Așa cum s-a menționat sistemele (2.28), (2.30) și (2.32) sunt echivalente. Mai mult, pentru oricare dintre cele trei sisteme se pot utiliza parametri calculați fie cu coeficienții modelului cu eliminarea fluxului (2.29), (2.31) respectiv (2.33), fie cu coeficienții modelului cu eliminarea curentului (2.34), (2.35) respectiv (2.36), ei fiind identici. Oricare model se alege, calculat cu oricare dintre coeficienți, caracteristicile de pulsație sunt aceleași.

În paragraful 2.1.5, s-a ales modelul (2.28) cu coeficienții (2.29). În cele ce urmează nu s-au utilizat relațiile (2.48), (2.53), (2.54) și (2.55), considerându-se greoaie și s-a preferat utilizarea funcțiilor MATLAB ce permit o calculare elegantă și simplă. Sistemul (2.28) a fost pus sub forma

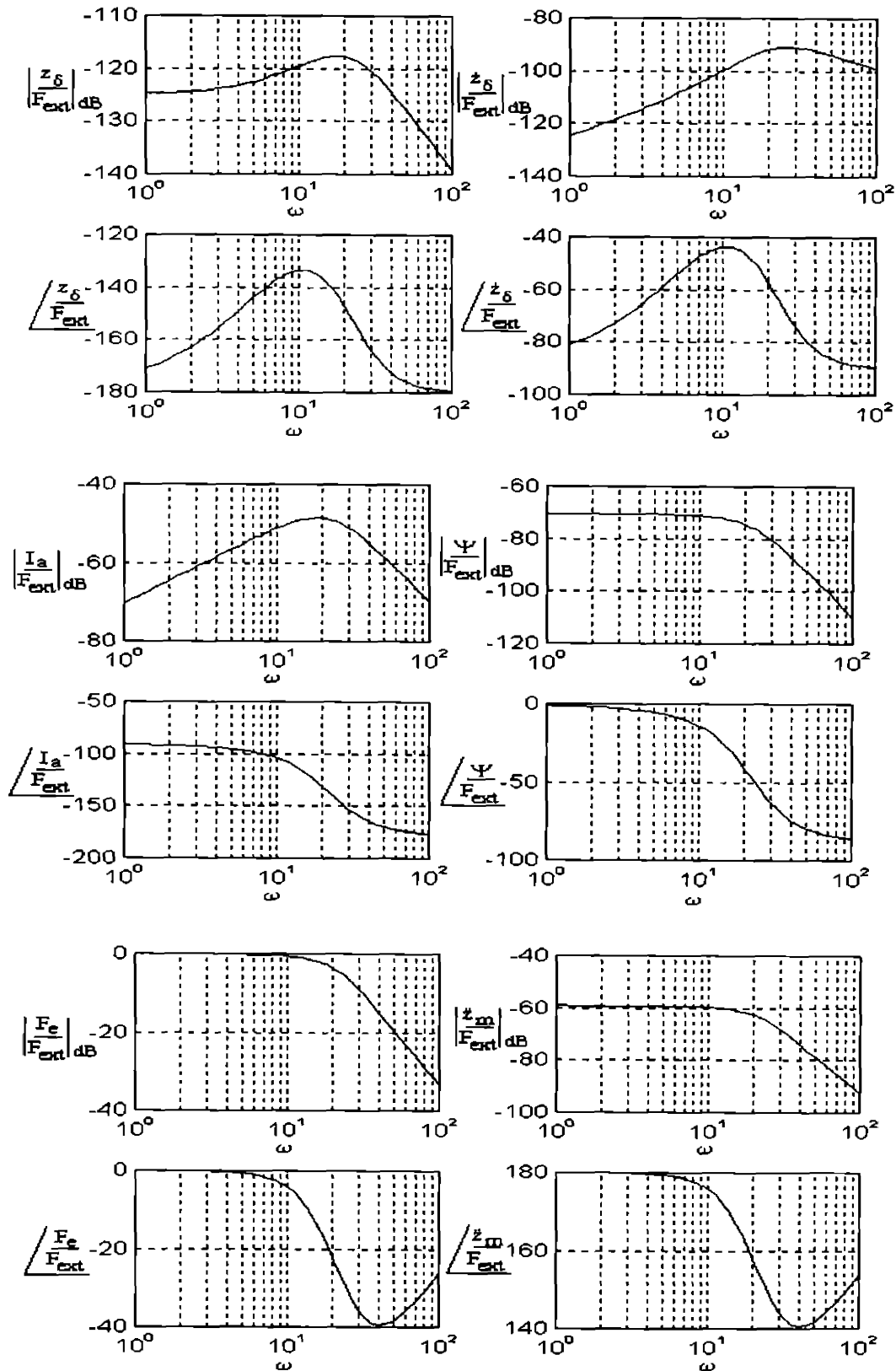
$$\begin{aligned}
 \begin{bmatrix} \ddot{z}_\delta \\ \dot{z}_\delta \\ i \end{bmatrix} &= \begin{bmatrix} 0 & 1 & 0 \\ a_{21}^1 & 0 & a_{23}^1 \\ 0 & a_{32}^1 & a_{33}^1 \end{bmatrix} \begin{bmatrix} z_\delta \\ \dot{z}_\delta \\ i \end{bmatrix} + \begin{bmatrix} 0 & 0 & 0 \\ 0 & b_{v,21}^1 & -1 \\ b_3^1 & 0 & 0 \end{bmatrix} \begin{bmatrix} u_a \\ F_{ext} \\ \ddot{z}_s \end{bmatrix} \\
 \begin{bmatrix} \ddot{z}_\delta \\ \dot{z}_\delta \\ i \\ \psi \\ f_e \\ \ddot{z}_m \end{bmatrix} &= \begin{bmatrix} 1 & 0 & 0 \\ 0 & 1 & 0 \\ 0 & 0 & 1 \\ \alpha_1^1 & 0 & \alpha_\delta^1 \\ \beta_1^1 & 0 & \beta_\delta^1 \\ -\frac{\beta_1^1}{M} & 0 & -\frac{\beta_\delta^1}{M} \end{bmatrix} \begin{bmatrix} z_\delta \\ \dot{z}_\delta \\ i \end{bmatrix} + \begin{bmatrix} 0 & 0 & 0 \\ 0 & 0 & 0 \\ 0 & 0 & 0 \\ 0 & 0 & 0 \\ 0 & 0 & 0 \\ 0 & 1 & 0 \end{bmatrix} \begin{bmatrix} u_a \\ F_{ext} \\ \ddot{z}_s \end{bmatrix} \tag{A2.5.1}
 \end{aligned}$$

Diagramele Bode pentru cazul electromagnetului cu forța portantă mare sunt prezentate în figurile următoare:

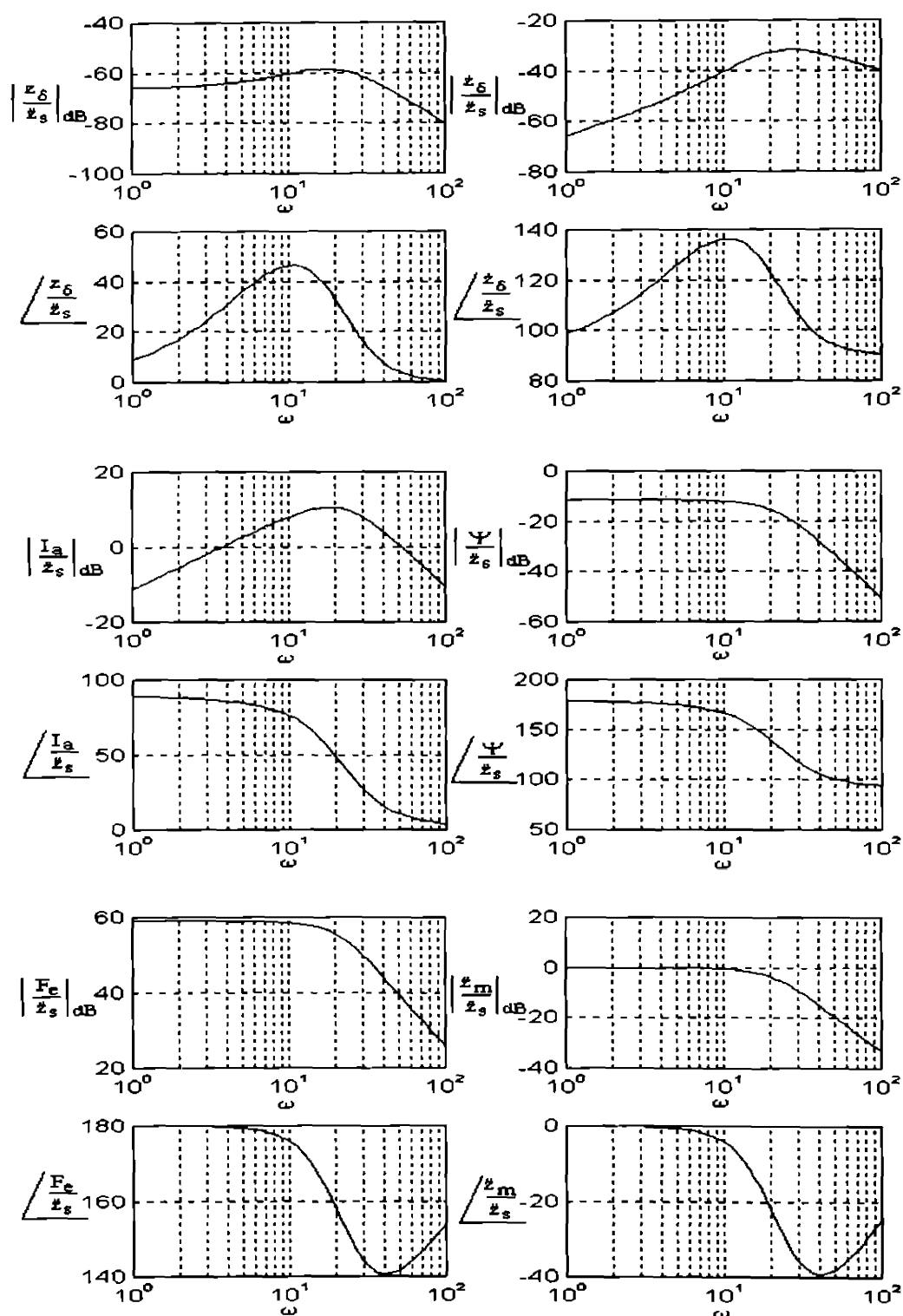




a) - Diagramele Bode pentru mărimile procesului liniarizat în raport cu tensiunea de alimentare



b) - Diagramele Bode pentru mărimile procesului linearizat în raport cu forța exterioară

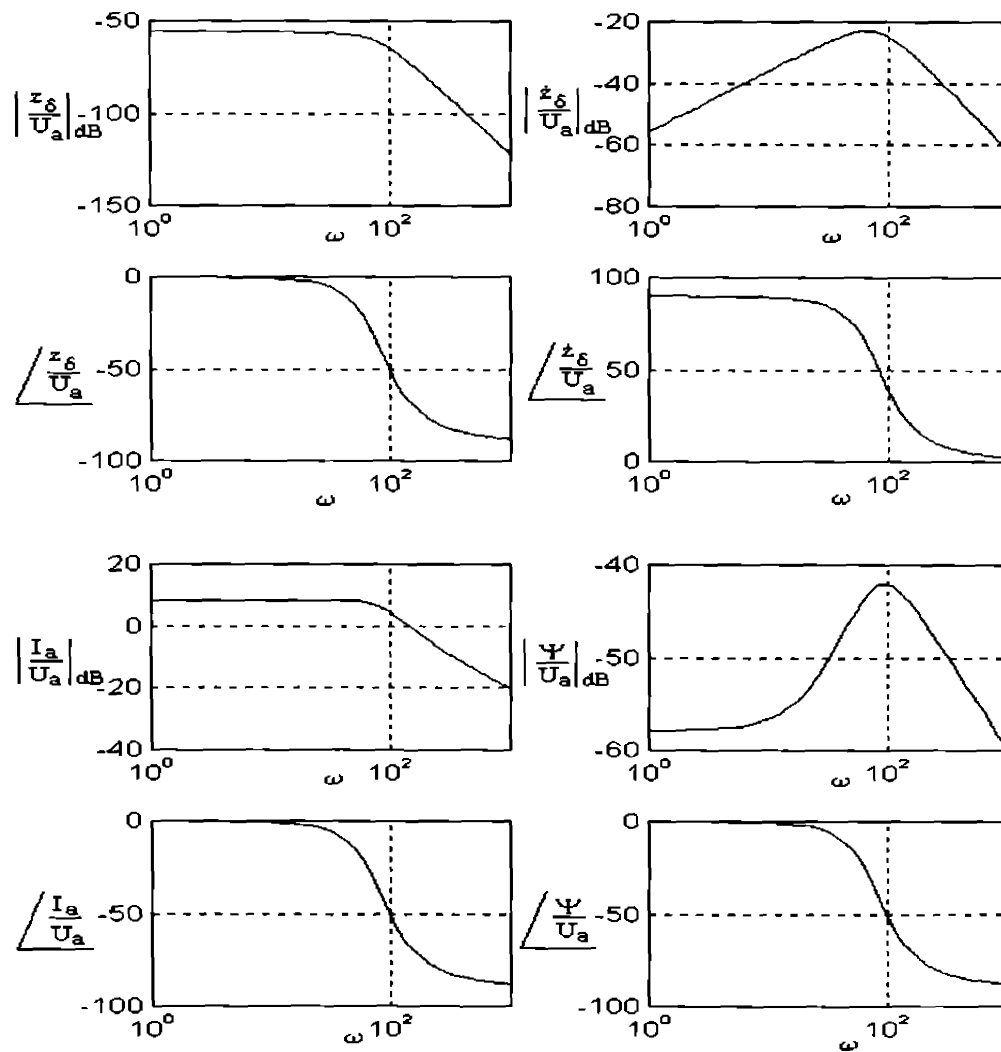


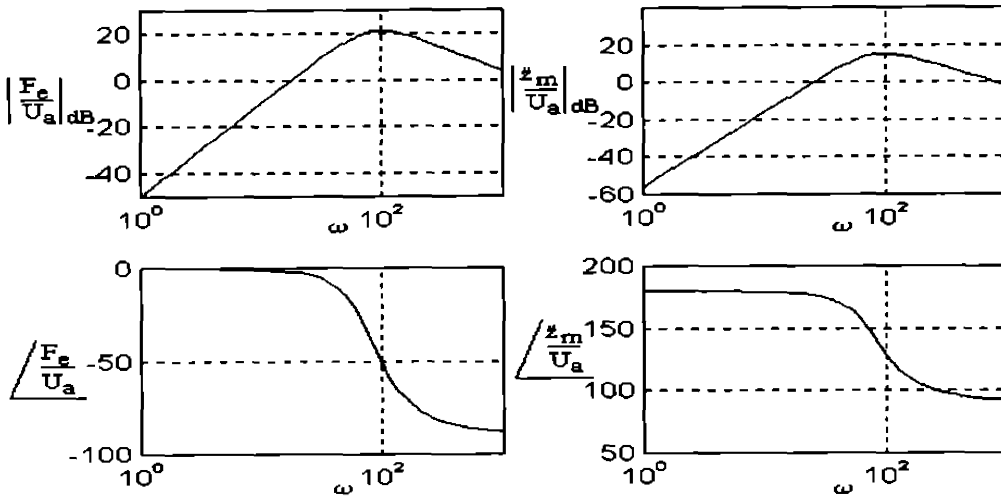
c) - Diagramele Bode pentru mărimile procesului liniarizat în raport cu accelerația perturbatoare  
 Figura A2.5.1. Diagramele Bode pentru modelul liniarizat al S1E1GL pentru electromagnetul cu forță portantă mare

Analizând diagramele de mai sus se poate observa că banda de pulsație este limitată la 20-25 rad/sec așa cum de altfel s-a anticipat în anexa A2.3.

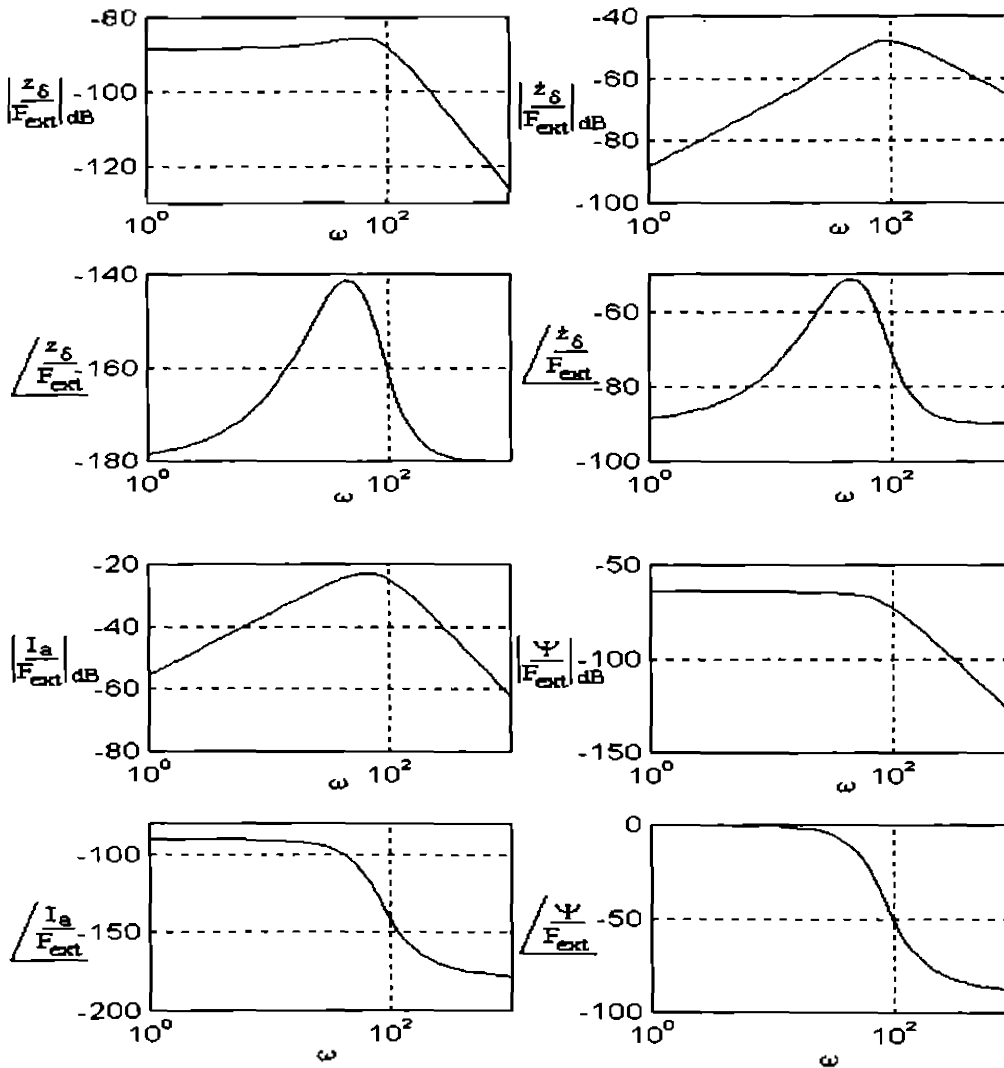
De asemenea, în raport cu tensiunea de alimentare, trebuie remarcat caracterul proporțional și aperiodic amortizat în banda de pulsații al întrefierului și evident anticipativ și dublu anticipativ al vitezei și respectiv accelerației (forței electromagnetice). Curentul este și el proporțional și amortizat aperiodic cu tensiunea în limitele benzii de pulsație spre deosebire de flux care este proporțional dar oscilant amortizat. Observația legată de cuprinderea perturbațiilor într-una singură de forma (2.56) se confirmă comparând caracteristicile de pulsație ale sistemului în raport cu forța exterioară perturbatoare și accelerația perturbatoare. Apoi se poate remarca efectul dublu anticipativ în curent al mărimilor perturbatoare, motiv pentru care ele se reflectă neîntirziat în întrefier. Caracterul instabil al sistemului este subliniat de variațiile de pantă ale fazei (nu evidente în toate diagramele).

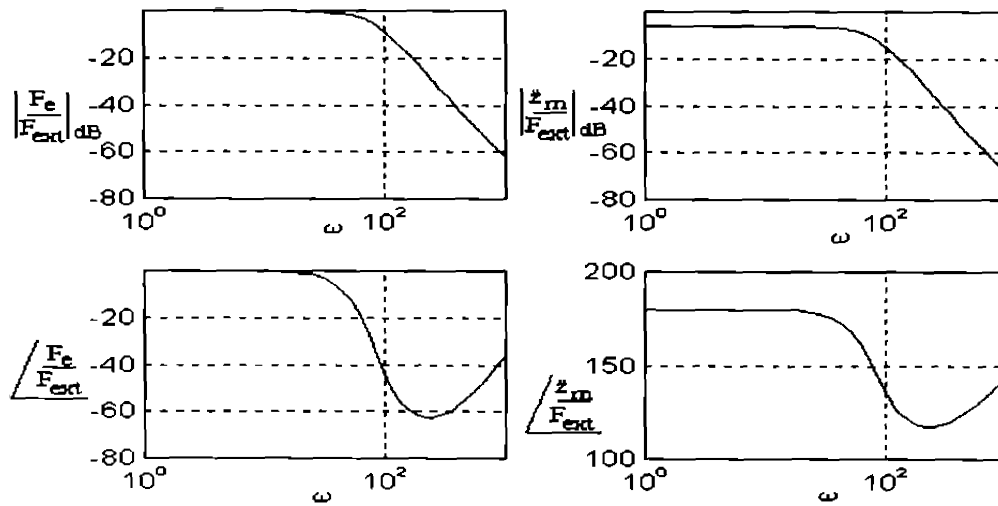
Cu titlu comparativ s-au trasat și caracteristicile de pulsație ale *SIEIG* cu electromagnet cu forța portantă redusă în raport cu tensiunea de alimentare și forța exterioară perturbatoare, prezentate în figurile A2.5.2.





a) - Diagramele Bode pentru mărimile procesului linearizat în raport cu tensiunea de alimentare





c) - Diagramele Bode pentru mărimile procesului liniarizat în raport cu forța exterioară

Figura A2.5.2. Diagramele Bode pentru modelul liniarizat al S1E1GL pentru electromagnetul cu forță portantă mică

## ANEXA 2.6.

### A2.6. Determinarea funcțiilor originale ale funcțiilor raționale de variabilă complexă "s" din imaginea Laplace a funcției de tranziție (2.71)

Pentru calculul matricii discrete a SIEIG extins, în paragraful 2.1.7 s-a dedus imaginea Laplace a funcției (matricii) de tranziție  $\Phi(s)$ , trebuind calculat în continuare originalul acesteia.

Elementele matricii de tranziție sunt funcții raționale. Ele se pot împărți în câteva tipuri generale pentru care în cele ce urmează se deduc expresii generale ale funcțiilor originale. Astfel:

a) *Funcții raționale de forma:*

$$\frac{t \cdot s^2 + v \cdot s + w}{\mu(s)} = \frac{t \cdot s^2 + v \cdot s + w}{(s - \alpha) \left[ (s + a)^2 + \omega^2 \right]}, \quad t, v, w \in \mathbb{R}. \quad (\text{A2.6.1})$$

Ele se descompun sub forma:

$$\frac{A}{s - \alpha} + \frac{Bs + C}{(s + a)^2 + \omega^2} = A \frac{1}{s - \alpha} + B \frac{s + a}{(s + a)^2 + \omega^2} + \frac{(C - aB)}{\omega} \frac{\omega}{(s + a)^2 + \omega^2} \quad (\text{A2.6.2})$$

$$\text{cu } A = \frac{\alpha^2 t + \alpha v + w}{(\alpha + a)^2 + \omega^2}, B = t - A, C = \frac{(\alpha^2 + \omega^2)A - w}{\alpha} \quad (\text{A2.6.3})$$

Funcția originală rezultă cu formula.

$$f_1(t) = A \exp(\alpha t) + B \exp(-at) \cos(\omega t) + \frac{C - aB}{\omega} \exp(-at) \sin(\omega t) \quad (\text{A2.6.4})$$

b) *Funcții raționale de forma:*

$$\frac{t \cdot s^2 + v \cdot s + w}{s \mu(s)} \text{ au originalul de forma } f_2(t) = \int_0^t f_1(\tau) d\tau$$

rezultând  $f_2(t)$  calculat:

$$f_2(t) = \frac{A}{\alpha} \exp(\alpha t) + \exp(-at) \left[ \frac{B(\alpha^2 + \omega^2) - C'a}{\omega(\alpha^2 + \omega^2)} \sin(\omega t) - \frac{C}{(\alpha^2 + \omega^2)} \cos(\omega t) \right] - \frac{A}{\alpha} + \frac{C}{(\alpha^2 + \omega^2)} \quad (\text{A2.6.5})$$

c) *Funcții raționale de forma:*

$$\frac{t \cdot s^2 + v \cdot s + w}{s^2 \mu(s)} \text{ au originalul de forma } f_3(t) = \int_0^t f_2(\tau) d\tau$$

cu  $f_3(t)$  calculat:

$$f_3(t) = \frac{A}{\alpha} \exp(\alpha t) + \frac{1}{\omega(a^2 + \omega^2)} \left[ aB - \frac{(a^2 - \omega^2)C}{a^2 + \omega^2} \right] \exp(-at) \sin(\omega t) - \frac{1}{a^2 - \omega^2} \left[ B - \frac{2Ca}{a^2 + \omega^2} \right] \cdot \exp(-at) \cos(\omega t) - \left( \frac{A}{\alpha} - \frac{C}{a^2 + \omega^2} \right) \cdot t - \left[ \frac{A}{\alpha^2} - \frac{1}{a^2 + \omega^2} \left( B - \frac{2Ca}{a^2 + \omega^2} \right) \right] \quad (\text{A2.6.7})$$

d) Funcții raționale de forma:

$$\frac{l \cdot s^3 + p \cdot s^2 + q \cdot s + r}{(s^2 + \omega_s^2) \mu(s)} = \frac{l \cdot s^2 + v \cdot s + w}{\mu(s)} + \frac{D \cdot s + F}{s^2 + \omega_s^2} = \frac{l \cdot s^2 + v \cdot s + w}{\mu(s)} + D \frac{s}{s^2 + \omega_s^2} + \frac{F}{\omega_s} \frac{\omega_s}{s^2 + \omega_s^2} \quad (\text{A2.6.8})$$

având originalul

$$f_4(t) = f_1(t) + D \cos(\omega_s t) + \frac{F}{\omega_s} \sin(\omega_s t) \quad (\text{A2.6.9})$$

cu

$$D = \frac{(p\omega_s^2 - r)(\omega^2 + a^2 - 2a\alpha - \omega_s^2) + (l\omega_s^2 - q)[\alpha(a^2 + \omega_s^2) + \omega_s^2(2a - \alpha)]}{\omega_s^2(\omega^2 + a^2 - 2a\alpha - \omega_s^2)^2 + [\alpha(a^2 + \omega_s^2) + \omega_s^2(2a - \alpha)]^2}$$

$$F = \frac{q - l\omega_s^2 + [\alpha(a^2 + \omega_s^2) + \omega_s^2(2a - \alpha)]D}{\omega^2 + a^2 - 2a\alpha - \omega_s^2}$$

$$l = -D \quad (\text{A2.6.10})$$

$$v = 1 - D(2a - \alpha)F$$

$$w = \frac{r + F\alpha(\omega^2 + a^2)}{\omega_s^2}$$

e) Funcții raționale de forma:

$$\frac{u \cdot s}{s^2 + \omega_s^2} \text{ având originalul } f_5(t) = u \cos(\omega_s t) \quad (\text{A2.6.11})$$

f) Funcții raționale de forma:

$$\frac{u}{s^2 + \omega_s^2} \text{ cu originalul } f_6(t) = \frac{u}{\omega_s} \sin(\omega_s t) \quad (\text{A2.6.12})$$

Cu aceste funcții se poate determina expresia matricei de tranziție în domeniul timp și prin înlocuirea lui  $t$  cu pasul de discretizare  $T_s$  se obține matricea sistemului discret. Similar se utilizează funcțiile deduse și în relația de calcul a vectorului  $h_d$ .



## CAPITOLUL 3

### 3. Metode de stabilizare și reglare a sistemelor cu sustentație electromagnetică

#### 3.1 Prezentarea metodelor de reglare utilizate în stabilizarea și reglarea sistemelor cu sustentație electromagnetică

Numeroase studii au fost întreprinse în ultimii ani în special, în scopul stabilizării și reglării sistemelor cu sustentație electromagnetică, începând cu clasicul PID, reglare după stare, reglare adaptivă, regulatoare cu structură variabilă, reglare bazată pe logica fuzzy și până la metode de control robuste de tipul  $H_\infty$  cu sinteza de tip  $\mu$ . [T6], [W3], [L1], [J1], [B2], [K2], [J3], [T10], [F2].

Sistemele cu sustentație electromagnetică sunt procese neliniare și pe măsură ce numărul de electromagneți și grade de libertate cresc, se măresc atât ordinul sistemului cât și complexitatea sa. De aceea, fiecare dintre metodele de reglare utilizate rezolvă problema de stabilizare și reglare a sistemelor cu sustentație electromagnetică dintr-un anumit punct de vedere. Deși există firme care au în producție lagăre cu sustentație electromagnetică, încă nu se poate spune că problema este complet rezolvată *performanțele sistemului de reglare se îmbunătățesc continuu și prețul unui lagăr activ poate fi scăzut.*

Autorul lucrării de față s-a preocupat cu două dintre metodele enumerate mai sus

- reglarea după stare
- reglarea cu regulatoare cu structură variabilă, funcționând în regim alunecător.

Mai mult, *din motive istorice* (metoda a fost utilizată în cadrul vehiculului experimental pe pernă magnetică MAGNIBUS-01), în cele ce urmează se prezintă pe scurt SIE1GL cu reglare după stare. *Partea cea mai mare a capitolului se ocupă însă de reglarea în regim alunecător.*

#### 3.2 Reglarea după stare a SIE1GL

Întregul sistem de comandă și reglare din cadrul proiectului MAGNIBUS-01 a fost implementat analogic [B5], motiv pentru care și studiul ce se prezintă în continuare se va ocupa doar de stabilizarea și reglarea în continuu a SIE1GL. Modelul matematic intrare-stare-ieșire al SIE1GL poate fi oricare dintre modelele (2.28), (2.30) sau (2.32) deduse în capitolul 2.

Compararea performanțelor de reglare pentru cei trei vectori de stare (2.27) propuși în capitolul 2 se poate face prin sinteza a trei sisteme de reglare automată echivalente din punct de vedere al procesului liniarizat.

Astfel, dacă procesul liniarizat este descris de sistemul de ecuații.

$$\begin{aligned} \dot{x} &= A_0 x + b u \\ y &= C x \end{aligned} \quad (3.1)$$

cu matricele  $A_0$  și  $b$  identificate din ecuațiile (2.28), (2.30) sau (2.32) și  $C = I_3$  (vectorul de stare este măsurabil în totalitate), pentru stabilizare se poate utiliza o structură cu reacție după stare,  $u = f'x$ , de compensator  $f$ . Pentru proiectarea lui se alege o unică configurație poli-zero-uri,  $\Delta_1$ , în planul complex "s", compensatorul calculându-se printr-o metodă de alocare astfel încât sistemul liniar

$$\dot{x} = A_0 x - b f^T x = (A_0 - b f^T) x = A x, \quad (3.2-1)$$

să îndeplinească condiția:

$$\sigma(A) \approx \Delta_0 \quad (3.2-2)$$

Alegând cei trei poli ai sistemului în buclă închisă, egali cu polii cei mai îndepărtați de axa imaginară a unei configurații Butterworth de ordinul 5 cu pulsația naturală  $\omega_0 = 2\pi 8$  rad/sec, adică

$$p_1 = -50.26 \text{ rad/sec}, \quad p_2 = -10.66 + j29.53 \text{ rad/sec}, \quad p_3 = -10.66 - j29.53 \text{ rad/sec},$$

spectrul matricei sistemului are aspectul din figură 3.1. Pentru determinarea compensatorului se poate utiliza clasică formulă Ackerman,

$$f^T = -[0 \ 0 \ 1] R^{-1} \mu(A), \quad (3.3)$$

în care  $R$  este matricea de controlabilitate a sistemului (3.1), iar  $\mu(s)$  este polinomul caracteristic al sistemului în buclă închisă

$$\mu(s) = (s - p_1)(s - p_2)(s - p_3). \quad (3.4)$$

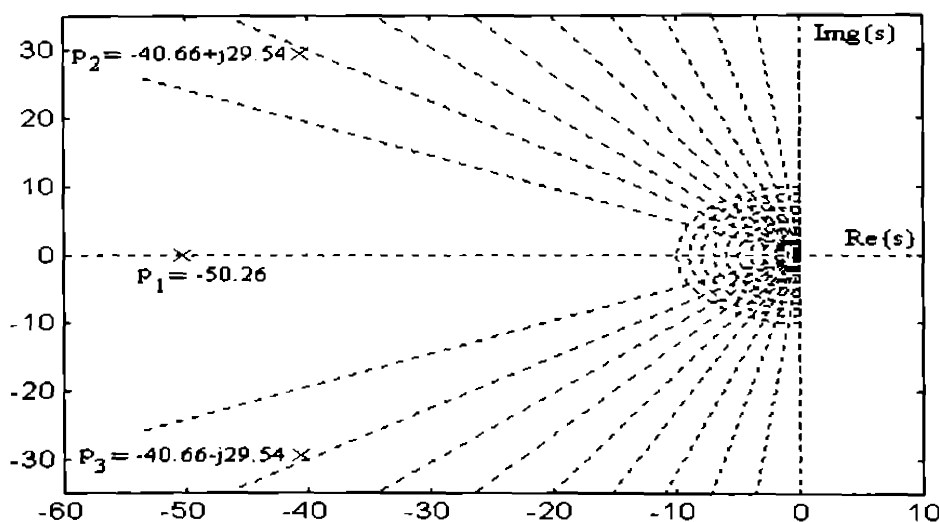


Figura 3.1. Poziția polilor utilizați în problema de alocare

Dacă se ține seama și de mărimea de conducere, prin modificarea legii de comandă sub forma  $u = f^T x + g z_{\delta 0}$  precum și de ecuațiile de ieșire, atunci, prin completarea sistemului (3.2) se obține:

$$\begin{aligned} \dot{x} &= A x + g b z_{\delta 0} \\ y &= C x \end{aligned} \quad (3.5)$$

Scalarul  $g$  se alege astfel încât coeficientul de transfer al mărimii de ieșire  $z_{\delta}$  în raport cu prescrierea  $z_{\delta 0}$  să fie unitar:

$$\left. \frac{z_{\delta}(t)}{z_{\delta 0}(t)} \right|_{t \rightarrow \infty} = 1 \quad (3.6)$$

Se pot trasa astfel caracteristicile de pulsație ale sistemului (3.5). Ele au aspectul din fig. 3.2.

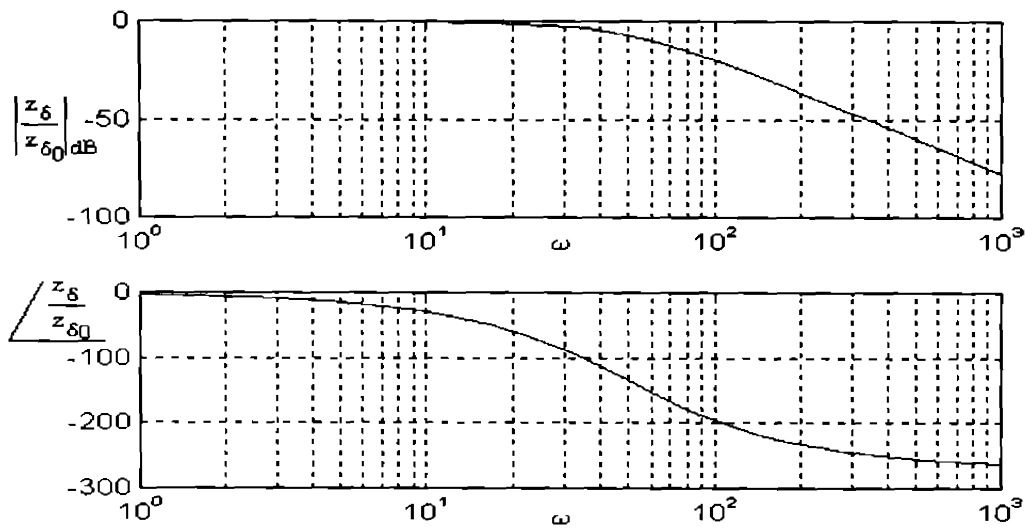


Figura 3.2. Caracteristicile de pulsație ale sistemului de reglare (3.5)

Făcând calculele pentru cele trei modele dezvoltate, se obțin compensatoarele aferente. Se prezintă în continuare răspunsurile sistemului în buclă închisă pentru fiecare din cele trei cazuri, în următoarele condiții (condițiile 1, 2 și 3 reprezintă scenariul de simulare):

1. La momentul  $t=0$  se aplică sistemului care se afla în repaus (blocat) la un întrefier de 30 cm, un semnal treaptă la nivelul mărimii de conducere astfel încât să-l leviteze la 10 cm.
2. După 0.5 secunde de la semnalul treaptă de la pct. 1, se aplică o forță exterioară (o perturbație) egală cu 25% din greutatea sustentată.
3. După alte 0.25 secunde (0.75 sec. din momentul inițial) se aplică o perturbație sinusoidală pe canalul  $\ddot{z}_s$  (tot o perturbație) cu amplitudinea  $1 \text{ m/sec}^2$  și de frecvență 5 Hz
4. Se utilizează choppere într-un singur cadran, ceea ce limitează tensiunea în intervalul  $0+200\text{V}$ .

Simulările au fost făcute în SIMULINK, schema bloc utilizată fiind redată în figura 3.3, iar rezultatele sunt reprezentate în figura 3.4.

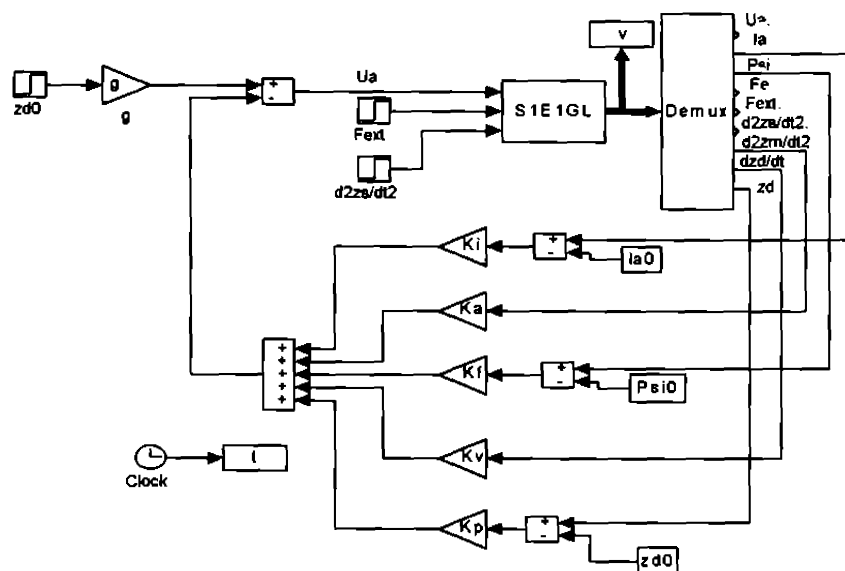


Figura 3.3. Schema SIMULINK pentru simularea reglării după stare

În schema bloc generală din figură, pentru fiecare model utilizat în simulare sunt validate doar amplificările pe canalele corespunzătoare. Astfel:

- pentru modelul cu variabila de stare curent:

$$f^T = \begin{bmatrix} -2.442 \cdot 10^5 & -4.5217 \cdot 10^3 & 33.7685 \end{bmatrix} \text{ și deci}$$

$$K_p = -2.442 \cdot 10^5 \text{ V/m}, K_v = -4.5217 \cdot 10^3 \text{ V/m} \cdot \text{sec}^{-1}, K_a = 0, K_i = 33.7685 \text{ V/A}, K_f = 0$$

- pentru modelul cu variabila de stare accelerație:

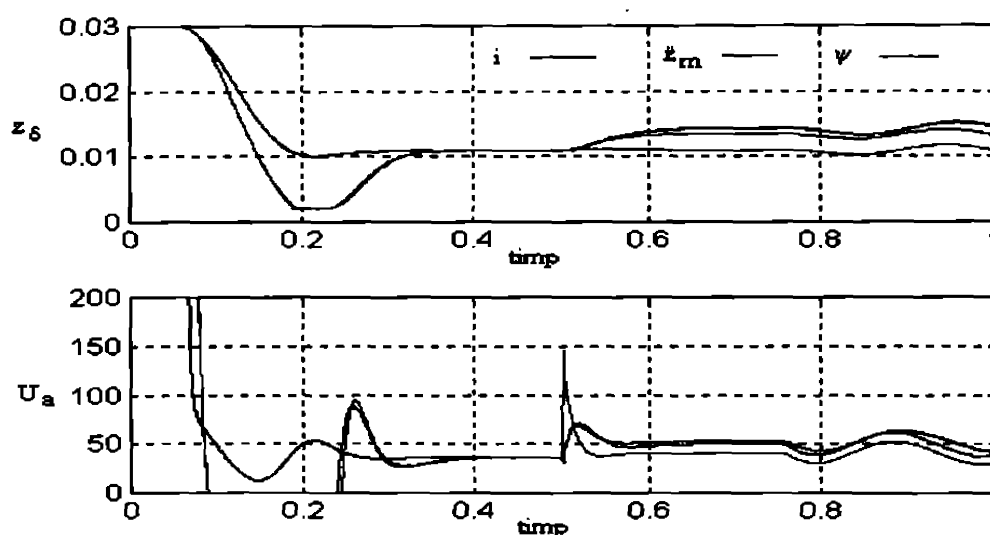
$$f^T = \begin{bmatrix} -1.3189 \cdot 10^5 & -4.5217 \cdot 10^3 & -57.5 \end{bmatrix} \text{ și deci}$$

$$K_p = -1.3189 \cdot 10^5 \text{ V/m}, K_v = -4.5217 \cdot 10^3 \text{ V/m} \cdot \text{sec}^{-1}, K_a = -57.5 \text{ V/m} \cdot \text{sec}^{-2}, K_i = 0, K_f = 0$$

- pentru modelul cu variabila de stare flux:

$$f^T = \begin{bmatrix} -1.4295 \cdot 10^5 & -4.5217 \cdot 10^3 & 191.7177 \end{bmatrix} \text{ și deci}$$

$$K_p = -1.4295 \cdot 10^5 \text{ V/m}, K_v = -4.5217 \cdot 10^3 \text{ V/m} \cdot \text{sec}^{-1}, K_a = 0, K_i = 0, K_f = 191.7177 \text{ V/Wb}$$

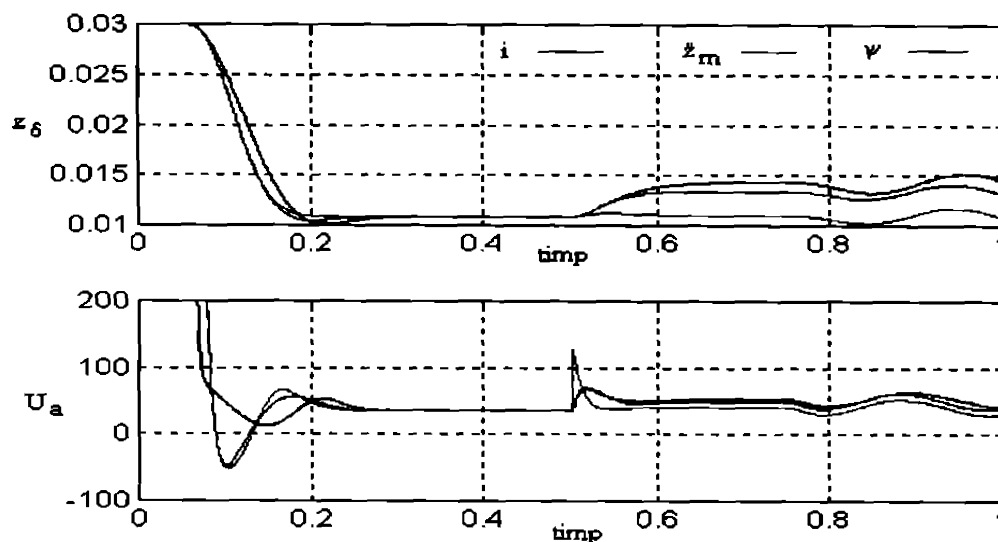


**Figure 3.4. Răspunsurile SRA după stare cu proiectare prin alocare cu chopper într-un cadran**

Analizând figura 3.4 se observă că:

- Modelul cu variabila de stare curent are un răspuns mai rapid și cu variații mai mici ale mărimii de comandă, în schimb este mai sensibil la perturbații de tip forță exterioară.
- Modelul cu variabila de stare accelerație absolută și cel cu variabila de stare flux, au un suprareglaj pronunțat ajungând chiar în limitare la 2 mm, datorită limitării tensiunii de comandă la zero. Modelul ce utilizează accelerația are în schimb un răspuns foarte rapid și energic în compensarea forței exterioare.

Pentru compararea acestor rezultate cu cele obținute în cazul în care se dispune de choppere în două cadrane, se repetă simulările prin lărgirea domeniului de variație al tensiunii pe electromagnet la  $[-200\text{V} + 200\text{V}]$ . Se obțin diagramele din figura 3.5



**Figura 3.5. Răspunsurile SRA după stare cu proiectare prin alocare cu chopper în două cadrane**

Se constată că de data aceasta suprareglajul cel mai mare îl are modelul cu variabila de stare curent. Deși nu rezultă din aceste grafice, atât în urma unor simulări intensive cât și a experimentelor efectuate pe vehiculul MAGNIBUS-01, s-a constatat că în timp ce primele două modele au performanțe diferite la întrefieruri diferite, modelul cu variabila de stare flux are avantajul unor performanțe comparabile atât la întrefieruri mari cât și mici [B3]. Se pot trage concluziile:

1. Modelul cu variabila de stare curent are variații mai mici ale mărării de comandă, concretizate prin consum energetic mai mic; perturbațiile de tip forță exterioară afectează semnificativ funcționarea sistemului.
2. Modelul cu variabila de stare accelerație absolută are nevoie, pentru păstrarea aceleiași benzi de frecvență ca și în cazul modelului de la punctul 1, de valori negative ale tensiunii pe electromagnet, adică de choppere în două cadrane. Având posibilitatea obținerii de tensiuni pozitive și negative, răspunsul este mai rapid, cu suprareglaj mai mic și cu compensare destul de bună a forței exterioare perturbatoare, toate acestea cu un consum de energie mai ridicat.
3. Modelul cu variabila de stare flux are performanțe stabile pe un domeniu larg al întrefierului de lucru; el necesită însă tensiuni pozitive și negative precum și un consum mai mare de energie; perturbațiile de tip forță exterioară afectează destul de mult funcționarea sistemului.

În consecință se poate spune că alegerea unui anume vector de stare este determinată de aplicație prin analiza:

- domeniului de variație al întrefierului de lucru
- performanțelor de reglare,
- consumului de energie disponibil,
- traductoarelor disponibile,
- prețului produsului final (nu în ultimul rând).

*În cazul proiectului MAGNIBUS alegerea modelului matematic intrare-stare-ieșire s-a făcut în principal în urma faptului că s-a dispus de traductoare de accelerație absolute, prețul întregului proces de măsurare al accelerației fiind mai redus decât al măsurării curentului sau al fluxului. Așadar ecuațiile de ieșire având aspectul (2.38), s-a pornit de la sistemul:*

$$\begin{bmatrix} \ddot{z}_\delta \\ \dot{z}_\delta \\ \ddot{z}_m \end{bmatrix}' = \begin{bmatrix} 0 & 1 & 0 \\ 0 & 0 & 1 \\ a_{31}^2 & a_{32}^2 & a_{33}^2 \end{bmatrix} \begin{bmatrix} z_\delta \\ \dot{z}_\delta \\ z_m \end{bmatrix} + \begin{bmatrix} 0 \\ 0 \\ b_3^2 \end{bmatrix} u_a + \begin{bmatrix} 0 & 0 & 0 \\ 0 & 0 & -1 \\ b_{v,31}^2 & b_{v,32}^2 & 0 \end{bmatrix} \begin{bmatrix} F_{ext} \\ \dot{F}_{ext} \\ \ddot{z}_s \end{bmatrix} \quad (2.30)$$

$$\begin{bmatrix} \ddot{z}_\delta \\ \ddot{z}_m \end{bmatrix} = \begin{bmatrix} 1 & 0 & 0 \\ 0 & 0 & 1 \end{bmatrix} \begin{bmatrix} \ddot{z}_\delta \\ \dot{z}_\delta \\ \ddot{z}_m \end{bmatrix} \quad (2.38)$$

Proiectarea compensatorului nu se mai face de data asta prin alocare de poli ci prin rezolvarea unei probleme de optimizare, determinându-se un regulator linear pătratic bazat pe cerințele ce se impun unui vehicul pe perna magnetică. Problema regulatorului linear pătratic se definește ca o problemă de minimizare a funcției obiectiv de forma [J2]

$$J = \frac{1}{2} x^T(t_f) S x(t_f) + \frac{1}{2} \int_{t_0}^{t_f} [x^T(t) Q x(t) + u^T(t) R u(t)] dt \quad (3.7)$$

supusă restricțiilor

$$\dot{x}(t) = Ax(t) + Bu(t), \quad x(t_0) = x_0, \quad (3.8)$$

cu  $S$  și  $Q$  matrice pozitiv semidefinite și  $R$  o matrice pozitiv definită

Pentru cazul considerat, lucrând cu variații ale mărimilor de stare față de punctul de liniarizare și cum  $x(t_f)$  poate fi diferit funcție de întrefierul țintă, primul termen al funcției de transfer nu are sens. De asemenea problema este cu orizont de timp infinit așa că  $t_f \rightarrow \infty$ .

În problema de minimizare nu interesează practic valoarea funcției obiectiv ci doar condițiile în care ea are o valoare minimă. În consecință problema se "normează" și având în vedere că sistemul este monovariabil la intrare se alege  $R = r = 1$ , utilizarea mărimii de comandă în funcția obiectiv penalizând variațiile acesteia și deci consumul de energie. Mărimile de stare vor avea variațiile incluse în funcția obiectiv ponderate față de mărimea de comandă.

Din punct de vedere al unui vehicul pe pernă magnetică, ceea ce interesează este minimizarea variațiilor întrefierului pentru a asigura o funcționare cât mai apropiată de țintă și minimizarea variațiilor accelerației ceea va reduce oscilațiile și va asigura confortul necesar într-un vehicul de călători. Astfel matricea  $Q$  va fi:

$$Q = \begin{bmatrix} q_{11}^2 & 0 & 0 \\ 0 & 0 & 0 \\ 0 & 0 & q_{33}^2 \end{bmatrix},$$

iar pentru a asigura principalul obiectiv al reglării - variații ale întrefierului cât mai mici - se alege o pondere  $q_{11}=10$ , mult mai mare decât cea a variațiilor mărimii de comandă. Variațiile accelerației sunt legate de confort, un aspect important dar nu vital; așadar ponderea va fi mai mică decât în cazul întrefierului și se alege  $q_{22}=3$ .

Trebuie avut în vedere că aceste ponderi trebuiesc la rândul lor corectate datorită unitaților fizice diferite ale celor trei variabile care apar în funcția obiectiv. Astfel *întrefierul* este corectat cu coeficientul de transfer al caracteristicii amplitudine - pulsație al întrefierului în raport cu tensiunea pe electromagnet și care este  $3 \cdot 10^{-4} \text{ m/V}$  (vezi capitolul 2, anexa 2.5), iar *accelerația* cu amplitudinea funcției de transfer a accelerației absolute raportată la tensiunea pe electromagnet, la frecvența de tăiere ( $0.0857 \text{ m}\cdot\text{sec}^{-2}/\text{V}$  - vezi aceeași anexă).

$$Q = \text{diag}(q_{11}^2, 0, q_{33}^2) \quad \text{cu} \quad q_{11} = \frac{q_{11}}{3 \cdot 10^{-4}}, \quad q_{33} = \frac{q_{33}}{0.0857}$$

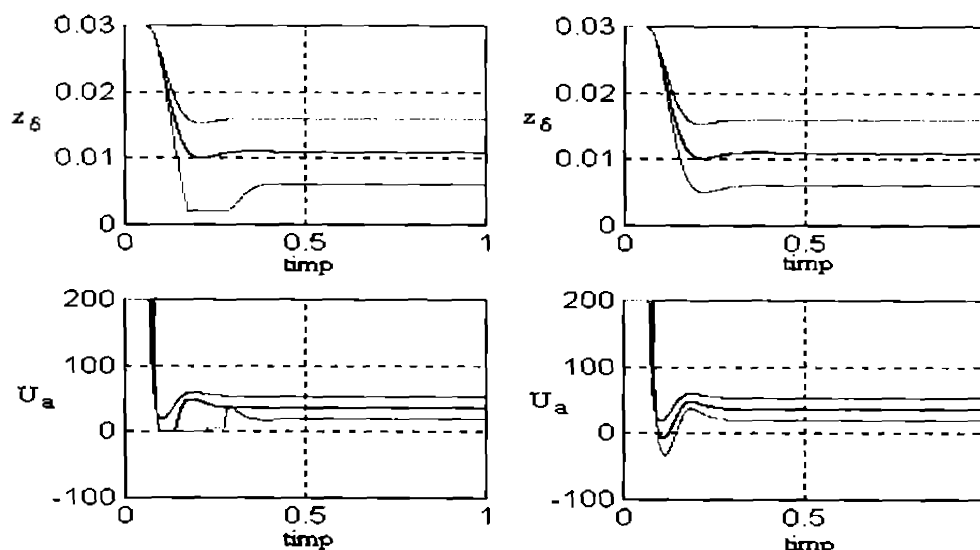
Rezolvarea problemei de optimizare care implică o ecuație algebrică Ricatti se face utilizând funcția LQR2 (linear quadratic regulator) din pachetul MATLAB, rezultând compensatorul

$$f^T = \left[ -36.778 \cdot 10^3 \frac{\text{V}}{\text{m}} \quad -1.8616 \cdot 10^3 \frac{\text{V}}{\text{msec}} \quad -46.7183 \frac{\text{V}}{\text{msec}^2} \right],$$

sistemul de reglare autoamță obținut având poli

$$p_1 = -118.68 \text{ rad/sec} \quad \text{și} \quad p_{2,3} = -21.38 \pm j21.97 \text{ rad/sec}.$$

În figura 3.6 se prezintă răspunsul acestui sistem pentru variații treaptă ale prescrierii de la 30 mm la 15, 10 și respectiv 5 mm.



**Figura 3.6. Răspunsul SRA proiectat pentru funcția obiectiv (3.7)**

În diagramele din stânga figurii, tensiunea pe electromagnet este limitată la 0 și se poate constata din nou că pentru valori mici ale întrefierului prescris sistemul ajunge în limitare. În diagramele din dreapta, s-a lărgit domeniul de variație al tensiunii de la -200V la 200V, răspunsul fiind în toate situațiile cel scontat.

Datorită faptului că în cadrul proiectului MAGNIBUS s-a dispus de choppere într-un singur cadran, tensiunea pe electromagnet nu poate avea valori negative.

Analizând răspunsul modelului cu variabila de stare curent din figura 3.4, se observă că tensiunea nu ajunge în limitare și că decelerarea sistemului are loc mai repede decât în celelalte cazuri. *Se poate trage concluzia că o buclă suplimentară de curent ar putea elimina dezavantajul chopperului într-un cadran.* Plecând de la lucrarea [D7] în care se face o analiză detaliată a sistemelor cu regulatoare bipoziționale cu histerezis, se inserează în sistem, în fața elementului de execuție, un element bipozițional fără histerezis, având în vedere întârzierea produsă de inductanță în variația curentului [T3].

Figura 3.7 prezintă rezultatele obținute cu acest nou sistem de reglare. Sunt studiate cazurile referințelor la 15 mm, 10 mm și 5 mm, cu perturbații de forță exterioară și accelerație perturbatoare de amplitudini și la momente de timp specificate mai sus. Se constată că deși tensiunea este limitată la 0 volt, datorită forțăului realizat prin comanda bipozițională, răspunsul sistemului este rapid, cu un suprareglaj acceptabil și relativ robust la perturbații. Proprietatea din urmă se explică tot prin forțăul realizat de comanda

bipozițională așa cum se poate observa din diagramele de curent și forță electromagnetică. Calitatea reglării este însă obținută în detrimentul unuia din obiectivele problemei de optimizare inițiale, și anume a consumului minim de energie. Frecvența de comutație a elementului bipozițional depinde de parametrii procesului și poate fi în unele situații inacceptabil de mare. Ea poate fi însă limitată superior prin introducerea unui histerezis în elementul bipozițional.

Reglarea după stare are în general dezavantajul unui control cu eroare de regim staționar, lucru care poate fi observat în prima diagramă a figurii 3.7. Pentru obținerea unei erori de regim staționar nule, se introduce un termen integral al erorii de prescriere. Constanta de timp de integrare trebuie să fie suficient de mică pentru a aduce sistemul în poziția dorită într-un timp acceptabil însă suficient de mare pentru a nu influența celelalte proprietăți de reglare. Figura 3.8 prezintă răspunsurile sistemului ce anulează eroarea de regim staționar, iar în figura 3.9 este redată schema bloc a sistemului de reglare final. Se observă anularea treptată a erorii mărimii reglate.

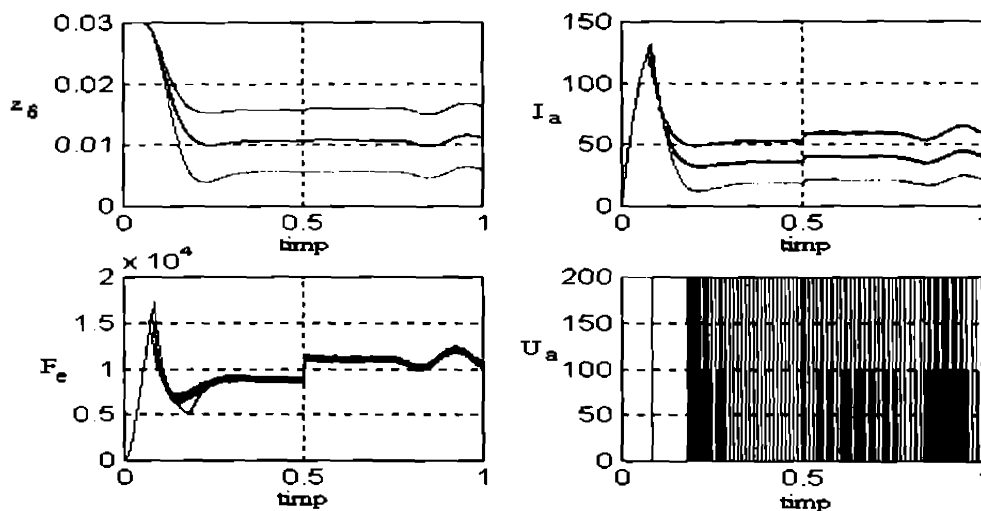


Figura 3.7. Răspunsul SRA cu reglare după stare și control bipozițional al chopperului într-un cadran

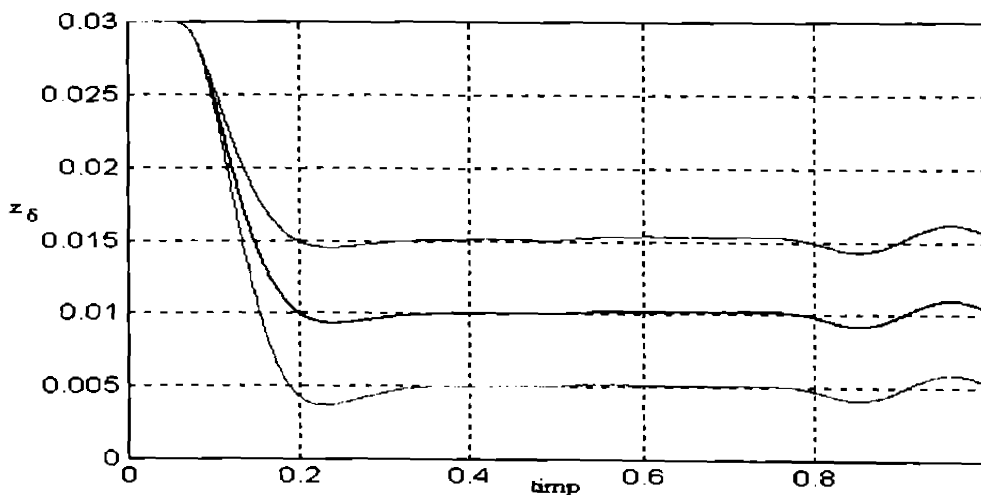


Figura 3.8. Răspunsul SRA cu anularea erorii de regim staționar



Sistemul de reglare automată obținut în cele de mai sus are proprietăți de reglare relativ bune atât din punctul de vedere al indicatorilor de performanță cât și al robusteții la perturbații externe. În cazul sistemelor cu bandă de frecvență mai ridicată s-a constatat însă că este destul de dificil de a găsi un domeniu de stabilitate a sistemului, în special dacă are mai multe grade de libertate. Experiențe efectuate pe un motor electric cu lagăre active au arătat că nu în toate situațiile performanțele sistemului se apropie de cele dorite [B6]. În consecință s-a căutat o altă metodă de reglare și făcând o analogie cu completările ce s-au făcut sistemului de reglare după stare de mai sus, legate de forțajul prin reacția de curent și apoi introducerea elementului integrator, s-a considerat că un regulator ce ar putea avea rezultate excelente pentru acest tip de proces neliniar ar putea fi un tip de regulator cu structură variabilă, funcționând în regim alunecător.

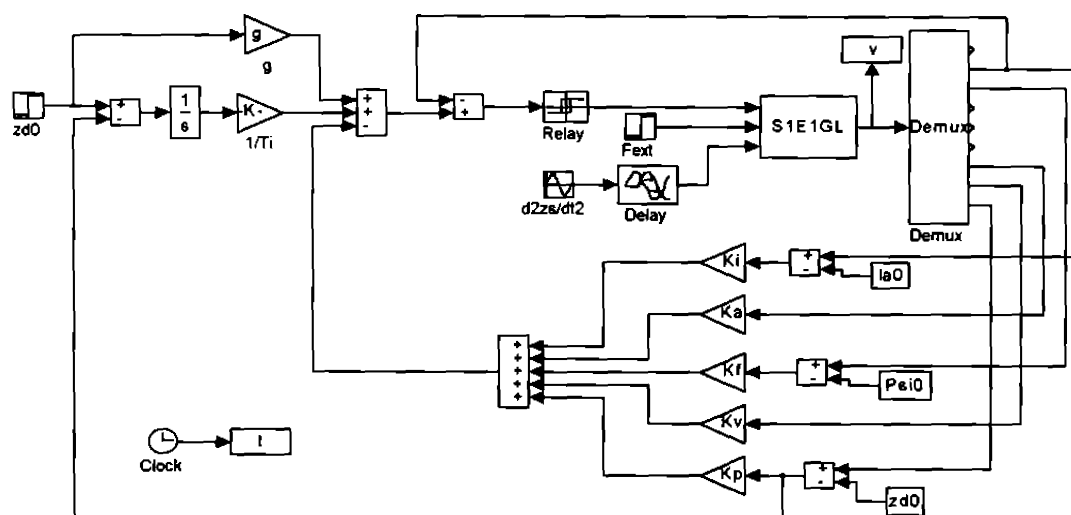


Figura 3.9. SRA cu regulator bipozițional și anularea erorii de regim staționar

### 3.3 S1E1GL funcționând în regim alunecător.

#### 3.3.1 Funcționarea în regim alunecător.

Sistemele funcționând în regim alunecător fac parte din clasa mai largă a sistemelor cu structură variabilă. Ideea de bază este de a modifica dinamica sistemului în sensul dorit, sub acțiunea unui vector de comandă care are ca rezultat un fenomen de forțare a stării sistemului către o hipercurbă, numită curbă de alunecare sau de comutație, pe care după ce o atinge evoluează un timp nedefinit [U1], [U2], [S4].

Fie clasa proceselor cu modelul matematic pe stare:

$$\dot{x}(t) = f(t, x) + B(t, x) u(t) + B_v(t, x) v(t) \tag{3.9}$$

cu

$$x \in \mathcal{X}^n, u \in \mathcal{U}^m, v \in \mathcal{V}^{m_v}, f(\cdot): \mathcal{R}_+^1 \times \mathcal{X}^n \rightarrow \mathcal{X}^n, B(\cdot): \mathcal{R}_+^1 \times \mathcal{X}^n \rightarrow \mathcal{R}^{n \times m}, B_v(\cdot): \mathcal{R}_+^1 \times \mathcal{X}^n \rightarrow \mathcal{R}^{n \times m_v}$$

Din motive de existență  $f$  și  $B$  trebuie să fie continue iar din motive de unicitate a soluției ecuației (3.9),  $f$  trebuie să fie suficient de netedă.

Hipercurba de comutație este în general un subspațiu  $\mathcal{X}^{n-m}$  al lui  $\mathcal{X}^n$  astfel ales încât traiectoriile sistemului care evoluează în acest subspațiu să aibe comportarea dorită. Fiecărei mărimi de comandă  $u_i$  se asociază o hipersuprafață de comutație  $\sigma_i(x) = 0$  iar comanda  $u_i(t)$  trebuie astfel determinată încât sub acțiunea ei sistemul să evolueze către hipersuprafața de comutație, iar odată ajuns pe ea să nu o mai

părăsească, adică  $\sigma_i(x(t)) = 0$ . Determinând fiecare element al vectorului de comandă astfel încât sistemul să evolueze pe o hipersuprafață asociată, în final sistemul se va găsi pe intersecția acestor hipersuprafețe, rezultând hipercurba de comutație:

$$\sigma(x) = [\sigma_1(x) \dots \sigma_m(x)]^T = 0 \quad (3.10)$$

În consecință, pentru implementarea unui regulator cu structură variabilă de acest tip proiectantul trebuie să rezolve două probleme:

- să selecteze hipersuprafețele pe care sistemul odată ajuns să evolueze în sensul dorit;
- să găsească acea comandă care să asigure ca traiectoriile sistemului să intersecteze și să rămână pe hipercurba de intersecție a suprafețelor de comutație.

O etapă deosebit de importantă în proiectarea regulatorului cu structură variabilă este determinarea comenzii astfel încât regimul alunecător să existe în lungul lui  $\sigma(x)=0$  și să fie accesibil din orice stare inițială posibilă.

Printr-o analogie cu stabilitatea sistemelor neliniare definită pe baza funcției Liapunov, intuitiv se poate spune că regimul alunecător există în lungul lui  $\sigma(x)=0$ , dacă sistemul este "stabil în mic" în raport cu  $\sigma(x)=0$ , iar domeniul de accesibilitate este domeniul  $\Omega \subseteq \mathcal{R}^n$  al stărilor inițiale  $x(0)$  din care traiectoriile de stare converg către suprafața de comutație.

Pentru a determina condițiile de existență ale regimului alunecător se pleacă de la funcția Liapunov pozitiv definită

$$V(\sigma(x)) = \frac{1}{2} \sigma^T(x) \dot{\sigma}(x) > 0 \quad (3.11)$$

În legătură cu aceasta se pot enunța teoremele de baza [U1]:

1 Pentru sistemul (3.9) și hipercurba de comutație (3.10) condiția suficientă pentru existența regimului alunecător este ca:

$$\frac{dV(\sigma(x))}{dt} = \sigma^T(x) \dot{\sigma}(x) < 0 \quad (3.12)$$

în vecinătatea lui  $\sigma(x)=0$ .

2 Pentru sistemul dat de (3.9) și hipercurba de comutație (3.10), subspațiul de accesibilitate este:

$$\Omega = \{x | \sigma^T(x) \dot{\sigma}(x) < 0 \quad (\forall) t \in \mathcal{R}_+\} \quad (3.13)$$

Sarcina proiectantului constă în a alege hipercurba de comutație  $\sigma(x)$  ca intersecție a hipersuprafețelor  $\sigma_i(x)$ , de a găsi comanda care să conducă starea sistemului dintr-o stare inițială  $x(0) \in \Omega$  pe  $\sigma(x)=0$  și apoi să o mențină pe hipercurba de comutație. De obicei această comandă este o funcție discontinuă dependentă de semnul lui  $\sigma_i(x)$ ,  $i = \overline{1, m}$ , adică o funcție de forma

$$u_i(x, t) = \begin{cases} u_i^+(x, t) & \text{pentru } \sigma_i(x) > 0 \\ u_i^-(x, t) & \text{pentru } \sigma_i(x) < 0 \end{cases} \quad (3.14)$$

Teoremele enunțate stipulează că dacă  $u_1^+(x, t)$  și  $u_1^-(x, t)$  sunt astfel alese încât  $\sigma^T \dot{\sigma}$  să fie strict negativă pentru orice  $x$ , regimul alunecător există și este accesibil pe  $\sigma(x)=0$  pentru întregul spațiu admisibil al stărilor. Sarcina proiectantului este de a găsi aceste funcții.

Atunci când un sistem este adus și menținut pe suprafața  $\sigma(x) = 0$  se obține o proprietate interesantă și importantă a sistemelor cu funcționare în regim alunecător: hipersuprafețele  $\sigma_i(x)$ , furnizează un sistem de  $m$  ecuații cu  $n$  necunoscute (variabile de stare), compatibil și nedeterminat. O soluție a acestui sistem de forma  $x_2 = \varphi(x_1)$  cu  $x_2 \in \mathcal{H}^m$  și  $x_1 \in \mathcal{H}^{n-m}$  poate fi utilizată pentru reducerea vectorului de stare (ordinului sistemului). Astfel ecuațiile de stare devin:

$$\begin{bmatrix} \dot{x}_1 \\ \dot{x}_2 \end{bmatrix} = \begin{bmatrix} x_1 \\ \varphi(x_1) \end{bmatrix} = f\left(t, \begin{bmatrix} x_1 \\ \varphi(x_1) \end{bmatrix}\right) + B\left(t, \begin{bmatrix} x_1 \\ \varphi(x_1) \end{bmatrix}\right) u(t) \quad (3.15)$$

și ordinul sistemului se reduce la  $n-m$ :

$$\dot{x}_1 = f_1(t, x_1) + B_1(t, x_1) u(t) \quad (3.16)$$

Variabilele de stare eliminate trebuie pe cât posibil astfel alese încât noul sistem să fie cât mai puțin dependent de parametrii incerți și supus cât mai puțin perturbațiilor.

Determinarea comenzii pentru sistemele multivariabile la intrare se face cu metoda controlului echivalent a lui Filippov. Rezolvând ecuația diferențială

$$\dot{\sigma}(x, u, t) = 0 \quad (3.17)$$

pentru sistemul aflat în regim alunecător, în raport cu comanda  $u$ , se obține comanda (controlul) echivalentă  $u_{eq}$  care poate fi interpretată ca acea lege de comandă care ar menține condiția (3.17) dacă dinamica sistemului ar fi exact cunoscută. Există diferite metode pentru calculul expresiei comenzii echivalente [U2], [S4] asupra cărora nu se insistă în lucrarea de față. Odată cunoscută această expresie, se pot determina componentele reale ale vectorului de comandă.

Sistemele monovariabile la intrare pot fi tratate într-un mod particular. În cele ce urmează se prezintă metodologia de proiectare a sistemului cu structură variabilă monovariabil la intrare, având în vedere forma procesului cu sustentație electromagnetică analizat în aceasta lucrare.

### 3.3.2 Proiectarea sistemelor cu structură variabilă, monovariabile la intrare.

În aceste cazuri, unica hipersuprafață de comutație se alege de obicei de forma:

$$\sigma(x) = c^T x = c_1 x_1 + c_2 x_2 + \dots + c_{n-1} x_{n-1} + x_n \quad (3.18)$$

Alegerea vectorului  $c$ , care determină dinamica și performanțele de reglare ale sistemului se face în funcție de cazul considerat.

Un caz favorabil este acela în care procesul are forma canonică controlabilă. Astfel, notând cu  $A(t, x)$  matricea sistemului, cu  $b(t, x)$  vectorul mărimii de comandă și cu  $B_1(t, x)$  matricea perturbațiilor, acestea trebuie să fie de forma:

$$\begin{aligned}
 A(t,x) &= \begin{bmatrix} 0 & 1 & 0 \\ \vdots & \vdots & 0 \\ 0 & 0 & 1 \\ a_1(t,x) & a_2(t,x) & \dots & a_n(t,x) \end{bmatrix} & b(t,x) &= \begin{bmatrix} 0 \\ \vdots \\ 0 \\ g(t,x) \end{bmatrix} \\
 B_v(t,x) &= \begin{bmatrix} 0 & 0 & 0 \\ \vdots & \vdots & \vdots \\ 0 & 0 & 0 \\ b_{v,1}(t,x) & b_{v,2}(t,x) & \dots & b_{v,m_p}(t,x) \end{bmatrix}
 \end{aligned} \tag{3.19}$$

Atunci, pentru  $\sigma(x)=0$ , din (3.18) se poate scrie:

$$x_n = \dot{x}_{n-1} = -c_1 x_1 - c_2 x_2 - \dots - c_{n-1} x_{n-1} \tag{3.20}$$

și matricea sistemului redus la ordinul  $n-1$  (în bucla închisă) de forma (3.15) este:

$$A_{R1} = \begin{bmatrix} 0 & 1 & 0 \\ \vdots & \vdots & \vdots \\ 0 & 0 & 1 \\ -c_1 & -c_2 & \dots & -c_{n-1} \end{bmatrix} , \tag{3.21}$$

având valorile proprii în exclusivitate dictate de vectorul  $c$ . Sistemul de reglare obținut este independent de parametrii procesului și imun la perturbații, având teoretic o robustețe absolută.

Dacă procesul nu este reprezentat în forma canonică, de multe ori se caută transformarea de variabilă de stare  $T(x,t)$  care aplicată procesului să-l aducă la forma de mai sus. Aceasta nu este de cele mai multe ori o operație simplă. Metode pentru determinarea matricei de transformare se dau în [U2] și [W1].

A doua fază de proiectare, constă în elaborarea comenzii. Fie legea de comandă de forma:

$$u = \zeta_1 x_1 + \dots + \zeta_n x_n \tag{3.22}$$

Pentru îndeplinirea condiției (3.12) din prima teoremă se calculează expresia:

$$\sigma^T \dot{\sigma} = \sigma \dot{\sigma} = \sigma c^T \dot{x} = \sigma c^T [A(t,x)x + b(t,x)u + B_v(t,x)v] \tag{3.23}$$

Cunoscând domeniile de variație ale lui  $A(t,x)$ ,  $b(t,x)$  și  $B_v(t,x)v(t)$  se poate găsi comanda  $u(t)$  de forma (3.21) pentru ca  $\sigma \dot{\sigma} < 0$ .

Proiectarea comenzii este simplă în cazul proceselor liniare neperturbate, aduse la forma canonică controlabilă: (3.23) devine

$$\begin{aligned}
 \sigma \dot{\sigma} &= \sigma (c_1 \dot{x}_1 + c_2 \dot{x}_2 + \dots + c_{n-1} \dot{x}_{n-1} + \dot{x}_n + g(t,x)u) = \\
 &= \sigma (c_1 x_2 + c_2 x_3 + \dots + c_{n-1} x_n + a_1(t,x)x_1 + a_2(t,x)x_2 + \dots + a_n(t,x)x_n + g(t,x)u)
 \end{aligned} \tag{3.24}$$

Dacă toate funcțiile  $a_i(t, x)$  sunt continuu diferențiabile și mărginite și  $g(t, x)$  este la rândul ei continuu diferențialabilă, mărginită inferior și i se cunoaște semnul:

$$\begin{aligned} |a_i(t, x)| &\leq \rho_i, \quad i = \overline{1, n} \\ |g(t, x)| &\geq \gamma \end{aligned} \quad ; \quad (3.25)$$

atunci pentru ca

$$\sigma \left[ (a_1(t, x) + g(t, x)\zeta_1)x_1 + (c_1 + a_2(t, x) + g(t, x)\zeta_2)x_2 + \dots + (c_{n-1} + a_n(t, x) + g(t, x)\zeta_n)x_n \right] < 0 \quad (3.26)$$

toți termenii din paranteze trebuie să fie negativi adică:

$$\begin{cases} \zeta_1 \operatorname{sgn}(g(t, x)) < -\frac{\rho_1}{\gamma} & \text{pentru } \sigma \cdot x_1 > 0 \\ \zeta_1 \operatorname{sgn}(g(t, x)) > \frac{\rho_1}{\gamma} & \text{pentru } \sigma \cdot x_1 < 0 \end{cases} \quad (3.27)$$

$$\begin{cases} \zeta_i \operatorname{sgn}(g(t, x)) < -\frac{\rho_i + c_{i-1}}{\gamma} & \text{pentru } \sigma \cdot x_i > 0 \\ \zeta_i \operatorname{sgn}(g(t, x)) > \frac{\rho_i - c_{i-1}}{\gamma} & \text{pentru } \sigma \cdot x_i < 0 \end{cases} \quad i = \overline{2, n} \quad (3.28)$$

Deci o posibilă comandă de forma (3.22) ar putea avea coeficienții:

$$\zeta_i = \begin{cases} \alpha_i & \text{pentru } \sigma \cdot x_i > 0 \\ \beta_i & \text{pentru } \sigma \cdot x_i < 0 \end{cases}, \quad i = \overline{1, n} \quad (3.29)$$

în care

$$\begin{cases} \alpha_i \operatorname{sgn}(g(t, x)) < -\frac{\rho_i}{\gamma} \\ \beta_i \operatorname{sgn}(g(t, x)) > \frac{\rho_i}{\gamma} \end{cases} \quad (3.30)$$

$$\begin{cases} \alpha_i \operatorname{sgn}(g(t, x)) < -\frac{\rho_i + c_{i-1}}{\gamma} \\ \beta_i \operatorname{sgn}(g(t, x)) > \frac{\rho_i - c_{i-1}}{\gamma} \end{cases}, \quad i = \overline{2, n}$$

Problema se poate rezolva și atunci când sistemul este perturbat. Astfel, dacă (3.24) se completează cu perturbațiile din (3.9), cu matricea perturbațiilor având aspectul din (3.19), se obține:

$$\sigma \dot{\sigma} = \sigma \left( c_1 x_2 + \dots + c_{n-1} x_n + a_1(t, x)x_1 + \dots + a_n(t, x)x_n + g(t, x)u + b_{v,1}(t, x)v_1 + \dots + b_{v,m_p}(t, x)v_{m_p} \right) \quad (3.31)$$

Dacă acțiunea perturbațiilor în sistem este mărginită, adică

$$|b_{v,i}(t,x)v_i| \leq v_i, \quad i = \overline{1, m_p} \quad (3.32)$$

comanda se completează cu un termen

$$\begin{aligned} \Xi &\leq -\sum_{i=1}^{m_p} v_i \quad \text{pentru } \sigma < 0 \\ \Xi &\geq \sum_{i=1}^{m_p} v_i \quad \text{pentru } \sigma > 0 \end{aligned} \quad (3.33)$$

legea de comandă având acum și un termen liber

$$u = \zeta_1 x_1 + \dots + \zeta_n x_n + \Xi \quad (3.34)$$

În multe situații ca de exemplu în cazul sistemului cu sustentație electromagnetică prezentat în paragraful 3.2, elementul de execuție este un element bipozițional (chopper). Atunci o comandă de forma (3.22) nu se regăsește decât la nivelul mărimii de comandă, nu și la cel al mărimii de execuție. Din acest motiv se justifică uneori utilizarea directă a unei comenzi bipoziționale de forma:

$$u = \begin{cases} u_{\max} & \text{pentru } \sigma \operatorname{sgn}(g(t,x)) < 0 \\ u_{\min} & \text{pentru } \sigma \operatorname{sgn}(g(t,x)) > 0 \end{cases} \quad (3.35)$$

Această comandă este mult mai energică decât cea precedentă. Ea are avantajul că pentru nivelele  $u_{\min}$  și  $u_{\max}$  corect alese condiția  $\sigma \dot{\sigma} < 0$  este îndeplinită în toate situațiile. Are însă și dezavantajul faptului că frecvența de lucru a chopper-ului nu este fixă, putându-se ajunge de la frecvențe de comutație foarte joase până la frecvențe nepermis de ridicate din punct de vedere al elementelor electronice ale chopper-ului. Acest ultim aspect poate fi însă eliminat în cazul SRA discrete, limitând superior frecvența de comutație prin perioada de eșantionare (pasul de discretizare).

Oscilații de înaltă frecvență, în special în vecinătatea punctului de funcționare staționară sunt caracteristice sistemelor reale funcționând în regim alunecător. Acestea se datorează în principal întârzierilor și histerezisului existent în sistemele reale: starea sistemului nu evoluează continuu pe hipercurba de comutație ci are ușoare oscilații în vecinătatea ei.

Pentru îmbunătățirea performanțelor din acest punct de vedere s-au propus mai multe soluții:

- Unii autori [S6] comută strategia de reglare, atunci când eroarea de reglare scade sub o anumită valoare  $\varepsilon$ , pe un regulator PI. Această metodă înlătură oscilațiile de frecvență ridicată în jurul punctului de regim staționar și asigură și o reglare astatică. Performanțele de reglare în vecinătatea punctului de regim staționar sunt însă puternic afectate de parametrii procesului.
- Alți autori [U2], [S4], [W1] propun utilizarea unei comenzi de forma:

$$u = \begin{cases} u_{\max} & \text{pentru } \sigma < -\varepsilon \\ K_R \frac{\sigma(t)}{\varepsilon} & \text{pentru } -\varepsilon < \sigma < \varepsilon \\ u_{\min} & \text{pentru } \sigma > \varepsilon \end{cases}, \quad \varepsilon \text{ un număr real pozitiv} \quad (3.36)$$

Această comandă asigură într-o vecinătate  $\varepsilon$  suficient de mică a lui  $\sigma(x)=0$  o comandă de tip proporțional în raport cu  $\sigma$ , eliminând oscilațiile mult mai devreme decât în cazul metodei precedente,

condiția  $\sigma(x)=0$  fiind îndeplinită cu aproximație mult înaintea instalării regimului staționar al SRA. Acesta este însă însoțit de o eroare de reglare, cu atât mai mare cu cât raportul  $K_R/\varepsilon$  este mai mic.

• Un al treilea tip de comandă, propus de autor în [T1] și utilizat și în [B8], [B9] este de forma:

$$u = \begin{cases} u_{\max} & \text{pentru } \sigma < -\varepsilon \\ \frac{K_R}{\varepsilon} \left( \sigma(t) + \frac{1}{T_i} \int \sigma(t) dt \right) & \text{pentru } -\varepsilon < \sigma < \varepsilon \\ u_{\min} & \text{pentru } \sigma > \varepsilon \end{cases} \quad (3.37)$$

Aceasta elimină dezavantajul erorii de regim staționar din cazul precedent asigurând evoluția fără oscilații a sistemului pe hipercurba de comutație cu mult înaintea de atingerea țintei.

Un aspect important îl constituie implementarea practică astfel încât să se evite saturarea componentei integratoare. Cea mai bună metodă este scurtcircuitarea acesteia pentru  $|\sigma| < \varepsilon$ ; analogic aceasta este ceva mai dificil de realizat practic, dar într-o implementare digitală nu constituie o problemă. Astfel:

$$u_k = \begin{cases} u_{\max} & \text{pentru } \sigma_k < -\varepsilon \\ \beta_0 u_k + \beta_1 u_{k-1} + \alpha_1 u_{k-1} & \text{pentru } -\varepsilon < \sigma_k < \varepsilon \\ u_{\min} & \text{pentru } \sigma_k > \varepsilon \end{cases} \quad (3.38)$$

cu coeficienții  $\beta_0$ ,  $\beta_1$  și  $\alpha_1$  obținuți printr-una din metodele de discretizare cunoscute. De exemplu o discretizare cu metoda dreptunghiului a regulatorului PI continuu din (3.37) conduce la [D2]:

$$\beta_0 = \frac{K_R}{\varepsilon} \left( 1 + \frac{T_c}{T_i} \right), \quad \beta_1 = -\frac{K_R}{\varepsilon}, \quad \alpha_1 = 1 \quad (3.39)$$

$T_c$  fiind perioada de eșantionare. Saturarea poate fi evitată punând condițiile:

$$u_k = \sigma_k, \quad u_{k-1} = \begin{cases} 0 & \text{pentru } |\sigma_k| > \varepsilon \\ \sigma_{k-1} & \text{pentru } |\sigma_k| < \varepsilon \end{cases} \quad \text{și} \quad u_{k-1} = \begin{cases} 0 & \text{pentru } |\sigma_k| > \varepsilon \\ u_{k-1} & \text{pentru } |\sigma_k| < \varepsilon \end{cases} \quad (3.40)$$

Cazul discret se va discuta în mod mai detaliat într-unul din paragrafele următoare.

Pentru  $|\sigma| < \varepsilon$ , cu o comandă de forma (3.36) sau (3.37) sistemul nu are teoretic robustețea oferită de cea bipozițională. Indiferent însă de cauza care produce deplasarea stării în afara "tubului" limitat de  $-\varepsilon$  și  $\varepsilon$ , reacția energetică a regulatorului prin comenzile  $u_{\min}$  respectiv  $u_{\max}$  readuce sistemul în interiorul vecinătății lui  $\sigma$  considerate. În consecință dacă  $\varepsilon$  este suficient de mic, cu o aproximație suficient de bună se poate aprecia că  $\sigma(x) \cong 0$  și dinamica sistemului de reglare cu structură variabilă este cea impusă.

Proiectarea coeficientului  $K_R$  din (3.36), respectiv a lui  $K_R$  și  $T_i$  din (3.37) se poate face considerând că sistemul evoluează pe suprafața  $\sigma(x)=0$ , iar scopul reglării este menținerea cât mai strânsă a acestei condiții. Se poate porni în acest scop de la o reprezentare MM-II de forma:

$$\begin{aligned} \sigma(s, x(s)) &= \bar{C}^T [I_n - sA(s, x(s))]^{-1} b(s, x(s)) u(s) \\ \text{cu } \bar{C} = C^T &= [c_1 \quad c_2 \quad \dots \quad 1] \\ x(s) &= \mathcal{L}\{x(t)\}, \quad \mathcal{L}\{\cdot\} \text{ - operatorul Laplace} \\ u(s) &= \mathcal{L}\{u(t)\} \\ \sigma(s, x(s)) &= \mathcal{L}\{\sigma(t, x(t))\} \\ A(s, x(s)) &= \mathcal{L}\{A(t, x(t))\} \\ b(s, x(s)) &= \mathcal{L}\{b(t, x(t))\} \end{aligned} \tag{3.41}$$

în care s-au neglijat mărimile perturbatoare.

Prin forma particulară de reprezentare a procesului, deci a matricelor  $A$  și  $b$ , din (3.19) se poate calcula:

$$\sigma(s) = \frac{g(s, x(s))(c_1 + c_2 s + \dots + c_{n-1} s^{n-2} + s^{n-1})}{s^n - a_n(s, x(s)) s^{n-1} - \dots - a_2(s, x(s)) s - a_1(s, x(s))} u(s) \tag{3.42}$$

Estimând pentru coeficienții variabili valori constante convenabile de forma  $a_i(s, x(s)) \cong \bar{a}_i = \text{const.}$ ,  $g(s, x(s)) \cong \bar{b} = \text{const.}$ , proiectarea se poate face cu una din metodele cunoscute din teoria sistemelor liniare.

Pentru o comandă proporțională, viteza de variație a lui  $\sigma$  este dată de o ecuație diferențială omogenă, care în operațional are expresia:

$$s^n - \bar{a}_n s^{n-1} - \dots - \bar{a}_1 - \frac{K_R \bar{b}}{\varepsilon} (s^{n-1} + c_{n-1} s^{n-2} + \dots + c_1) = 0 \tag{3.43}$$

Se poate observa că soluțiile algebrice ale acestei ecuații tind pentru  $K_R \rightarrow 0$  către polii procesului, iar pentru  $K_R \rightarrow \infty$ , către polii sistemului de ordin  $n-1$ , funcționând în regim alunecător pe suprafața  $\sigma(x) = 0$ . Acest rezultat care apare menționat în unele lucrări (de ex. [W1]), dar nu explicit, era de așteptat:  $K_R \rightarrow \infty$  este ca efect echivalent cu  $\varepsilon \rightarrow 0$ , adică o comandă de tip bipozițional. Concluzia ce se poate trage este că dinamica procesului de anulare asimptotică a lui  $\sigma(x)$ , în vecinătatea  $(-\varepsilon, \varepsilon)$  poate fi cel mult la fel de rapidă ca dinamica sistemului funcționând în regim alunecător.

Alta este situația atunci când comanda are în raport cu  $\sigma(s)$  o funcție de transfer de tip PI. Ecuația omogenă poate fi pusă sub forma:

$$\left[ s^{n+1} - \bar{a}_n s^n - \dots - \bar{a}_1 s \right] - \frac{K_R \bar{b}}{\varepsilon} \left[ s^n + \left( c_{n-1} + \frac{1}{T_i} \right) s^{n-1} + \dots + \left( c_1 + \frac{1}{T_i} \right) s + \frac{1}{T_i} \right] = 0 \tag{3.44}$$

Pentru  $K_R = 0$  apare, față de cazul precedent, un pol suplimentar în origine, ceea ce indică o sensibilitate mai ridicată a sistemului, dar pentru  $K_R \rightarrow \infty$  dinamica de anulare a lui  $\sigma(x)$  este dictată de rădăcinile ecuației.



$$s^n + \left(c_{n-1} + \frac{1}{T_i}\right)s^{n-1} + \dots + \left(c_1 + \frac{1}{T_i}\right)s + \frac{1}{T_i} = 0 \quad (3.45)$$

Este adevărat că dispunând doar de parametrul  $T_i$  variabil, plaja rădăcinilor convenabile este destul de restrânsă. Punând (3.45) sub forma:

$$s \left( s^{n-1} + c_{n-1}s^{n-2} + \dots + c_1 \right) + \frac{1}{T_i} (s^{n-1} + \dots + s + 1) = 0 \quad (3.46)$$

pentru un caz concret, pe baza locului rădăcinilor cu parametru  $1/T_i \in [0, \infty)$  se poate alege o valoare  $T_i$  care să satisfacă cerințele de dinamică alese de proiectant.

Trebuie observat că relația (3.42) cât și tratarea cazurilor P și PI sugerează posibilitatea utilizării unor regulatoare  $u(\sigma)$  mai complexe decât cele analizate. De la caz la caz trebuie apreciată necesitatea unor funcții de comandă mai complicate.

### 3.3.3 Funcționarea sistemului cu un electromagnet și un grad de libertate (S1E1G) în regim alunecător.

#### 3.3.3.1 Alegerea modelului matematic

După cum s-a arătat în paragraful precedent, algoritmul de proiectare a regulatorului ce asigură funcționarea în regim alunecător are două etape: determinarea suprafeței de comutație și apoi găsirea comenzii care să asigure condiția de accesibilitate a suprafeței de comutație din orice stare inițială posibilă, și condiția de stabilitate a regimului alunecător odata ce el s-a instalat.

Pentru determinarea unei suprafețe de comutație ca subspațiu a lui  $\mathcal{R}^3$ , procesul condus fiind de ordinul trei, trebuie stabilite mai întâi variabilele de stare care formează spațiul. În capitolul 2 au fost stabilite trei modele matematice intrare-stare-ieșire echivalente prin liniarizarea ecuațiilor neliniare ale procesului, în jurul unui punct de funcționare, având vectorii de stare:

$$x^T = [ z_\delta \quad \dot{z}_\delta \quad I ] , \quad x^T = [ z_\delta \quad \dot{z}_\delta \quad \ddot{z}_m ] , \quad x^T = [ z_\delta \quad \dot{z}_\delta \quad \psi ]$$

Determinarea unei comenzi care să asigure funcționarea sistemului în regim alunecător presupune aducerea modelului matematic intrare-stare-ieșire al procesului la forma canonică controlabilă. Modelul dat de ecuațiile (2.30) și (2.38) are tocmai aceasta formă. Mai mult, și matricea perturbațiilor, cu excepția termenului constant (-1) ce revine accelerației perturbatoare are o formă convenabilă.

Problema s-ar putea rezolva și plecând de la o descriere neliniară a procesului, de forma (3.9). Întrucât există oricum incertitudini în ceea ce privește cunoașterea parametrilor și cum în capitolul 2 s-a făcut o analiză amănunțită a variației coeficienților sistemului pentru diferite puncte de funcționare, putându-se astfel stabili mărghinirea acestora, se preferă utilizarea modelului liniarizat.

Un aspect de natură practică ce întărește alegerea reprezentării liniare a procesului, se referă la dificultățile de calcul legate de o descriere matematică neliniară, exactă, adusă la forma canonică controlabilă a procesului. De asemenea, algoritmul de proiectare al regulatorului nu necesită cunoașterea precisă a coeficienților din reprezentarea matematică a procesului ci doar plaja în care aceștia variază, or în capitolul precedent se face o analiză detaliată în acest sens. Astfel alegerea modelului (3.30) cu (3.38) este pe deplin justificată.

Pe baza proprietății sistemelor aduse la forma canonică controlabilă, din analiza ecuațiilor de stare ale S1E1GL (3.30) se constată posibilitatea ca, prin alegerea corectă a suprafeței de comutație, sistemul, funcționând în regim alunecător, să fie independent de parametrii procesului. Astfel cunoașterea imprecisă a

acestor parametri precum și variațiile lor cu întrefierul nu afectează performanțele de reglare. Forma matricii perturbațiilor arată că în aceeași condiții, sistemul devine imun la perturbații datorate forțelor exterioare. Se păstrează însă efectul perturbațiilor de tipul accelerație perturbatoare, înlăturarea ei făcându-se pe baza altor proprietăți, așa cum se va arăta ulterior.

### 3.3.3.2 Proiectarea SRA a SIEIGL funcționând în regim alunecător

Alegerea suprafeței de comutație - prima etapă de proiectare - impune sistemului o anumită dinamică dorită. Având în vedere că mărimile vectorului de stare sunt variații, suprafața de comutație se alege:

$$\sigma = c_1 \Delta \dot{z}_\delta + c_2 \ddot{z}_\delta + \ddot{z}_m, \quad \Delta \dot{z}_\delta = \dot{z}_\delta - \dot{z}_{\delta_0} \quad (3.47)$$

cu  $z_{\delta_0}$  prescrierea. În continuare pentru simplitatea scrierii se va renunța la notația  $\Delta$  pentru variații.

Constantele  $c_1$  și  $c_2$  determină dinamica sistemului pe suprafața de comutație. Astfel ecuația diferențială omogenă a subsistemului (sistemul de ordin  $n-m=3-1=2$ ) funcționând în regim alunecător este:

$$c_1 y^{(2)}(t) + c_2 y^{(1)}(t) + y(t) = 0 \quad (3.48)$$

În funcție de alegerea constantelor  $y(t)$  poate avea orice variație din clasa răspunsurilor libere ale sistemelor lineare de ordinul III, de la o formă aperiodică, la o formă exponențială (sistem instabil).

Pentru sistemul cu sustentație electromagnetică se alege o evoluție aperiodică spre punctul țintă. Astfel, alegând:

$$c_1 = \frac{1}{T_1 T_2} \quad \text{și} \quad c_2 = \frac{1}{T_1} + \frac{1}{T_2} \quad (3.49)$$

soluția ecuației diferențiale (3.48) este:

$$y(t) = y_0^1 e^{-\frac{t}{T_1}} + y_0^2 e^{-\frac{t}{T_2}} \quad (3.50)$$

Fie  $T_1 = T_2 = T$ . Atunci în condițiile inițiale  $y(0) = y_0$  (eroarea de întrefier) și  $y'(0) = 0$  rezultă:

$$y(t) = y_0 \left( 1 + \frac{t}{T} \right) e^{-\frac{t}{T}} \quad (3.51)$$

Alegând pulsația de bandă a sistemului funcționând în regim alunecător de 25 rad/sec, din (3.48) și (3.49) se obține  $T = 0.04$  sec, iar pentru coeficienții funcției de comutație (3.47) valorile  $c_1 = 625 \text{ rad}^2/\text{sec}^2$  și  $c_2 = 50 \text{ rad}/\text{sec}$ .

Elaborarea comenzii - a doua etapă de proiectare - se face prin evaluarea expresiei:

$$\sigma \dot{\sigma} = \sigma \left( c_1 \dot{z}_\delta + c_2 \ddot{z}_\delta + \ddot{z}_m \right)' = \sigma \left[ c_1 \dot{z}_\delta + c_2 \ddot{z}_m - c_2 \ddot{z}_s + a_{31} \dot{z}_\delta + a_{32} \ddot{z}_\delta + a_{33} \ddot{z}_m + b_{3s} u_s + b_{v,31} \dot{F}_{ext} + b_{v,32} \dot{F}_{ext} \right]$$

sau

$$\sigma \dot{\sigma} = \sigma \left[ a_{31} \dot{z}_\delta + (c_1 + a_{32}) \ddot{z}_\delta + (c_2 + a_{33}) \ddot{z}_m + b_{3s} u_s + (b_{v,31} \dot{F}_{ext} + b_{v,32} \dot{F}_{ext} - c_2 \ddot{z}_s) \right]. \quad (3.52)$$

Precum s-a amintit, parametrii procesului și perturbațiile nu trebuiesc cunoscute cu precizie. Este însă necesar ca ele să fie mărginite și să li se cunoască marginile. Din calculele efectuate în anexa A2.3 pentru coeficienții de linearizare rezultă următoarele domenii de valori, la o variație a întrefierului între 2 și 30 mm:

$$92722 \frac{1}{\text{sec}^3} \leq a_{31} \leq 12042 \frac{1}{\text{sec}^3} ; \quad 160867 \frac{1}{\text{sec}^2} \leq a_{32} \leq 2088 \frac{1}{\text{sec}^2} ; \quad -12508 \frac{1}{\text{sec}} \leq a_{33} \leq -14203 \frac{1}{\text{sec}}$$

$$-3618 \frac{\text{m}}{\text{Vsec}^3} \leq b_3 \leq -2787 \frac{\text{m}}{\text{Vsec}^3} ; \quad 0.0014 \frac{1}{\text{kg sec}} \leq b_{v,31} \leq 0.0158 \frac{1}{\text{kg sec}} ; \quad b_{v,32} = 1/900 \frac{1}{\text{kg}}$$

Se analizează în continuare diferite tipuri de comenzi.

### 3.3.3.2.1 Comanda cu structură variabilă de tip proporțional

Se alege pentru început o comandă de forma (3.22) și se consideră că sistemul este neperturbat:

$$u_a = \zeta_1(z_\delta - z_{\delta_0}) + \zeta_2 \dot{z}_\delta + \zeta_3 \ddot{z}_m \quad (3.53)$$

Rezultă condițiile:

$$\begin{aligned} a_{31} + b_3 \zeta_1 &> 0 && \text{pentru } \sigma(z_\delta - z_{\delta_0}) < 0 \\ a_{31} + b_3 \zeta_1 &< 0 && \text{pentru } \sigma(z_\delta - z_{\delta_0}) > 0 \\ a_{32} + c_1 + b_3 \zeta_2 &> 0 && \text{pentru } \sigma \dot{z}_\delta < 0 \\ a_{32} + c_1 + b_3 \zeta_2 &< 0 && \text{pentru } \sigma \dot{z}_\delta > 0 \\ a_{33} + c_2 + b_3 \zeta_3 &> 0 && \text{pentru } \sigma \ddot{z}_m < 0 \\ a_{33} + c_2 + b_3 \zeta_3 &< 0 && \text{pentru } \sigma \ddot{z}_m > 0 \end{aligned} \quad (3.54)$$

sau

$$\begin{aligned} \zeta_1 &< \min\left(-\frac{a_{31}}{b_3}\right) && \text{pentru } \sigma(z_\delta - z_{\delta_0}) < 0 \\ \zeta_1 &> \max\left(-\frac{a_{31}}{b_3}\right) && \text{pentru } \sigma(z_\delta - z_{\delta_0}) > 0 \\ \zeta_2 &< \min\left(-\frac{a_{32} + c_1}{b_3}\right) && \text{pentru } \sigma \dot{z}_\delta < 0 \\ \zeta_2 &> \max\left(-\frac{a_{32} + c_1}{b_3}\right) && \text{pentru } \sigma \dot{z}_\delta > 0 \\ \zeta_3 &< \min\left(-\frac{a_{33} + c_2}{b_3}\right) && \text{pentru } \sigma \ddot{z}_m < 0 \\ \zeta_3 &> \max\left(-\frac{a_{33} + c_2}{b_3}\right) && \text{pentru } \sigma \ddot{z}_m > 0 \end{aligned} \quad (3.55)$$

în care s-a ținut cont de semnul negativ al lui  $b_3$ . În urma calculului se obțin:

$$\zeta_1 < 3328.3 \frac{V}{m} \quad \text{pentru} \quad \sigma(z_\delta - z_{\delta_0}) < 0$$

$$\zeta_1 > 3328.3 \frac{V}{m} \quad \text{pentru} \quad \sigma(z_\delta - z_{\delta_0}) > 0$$

$$\zeta_2 < 230.4637 \frac{V}{m \text{ sec}} \quad \text{pentru} \quad \sigma \dot{z}_\delta < 0$$

$$\zeta_2 > 230.4637 \frac{V}{m \text{ sec}} \quad \text{pentru} \quad \sigma \dot{z}_\delta > 0$$

$$\zeta_3 < 7.5886 \frac{V}{m \text{ sec}^2} \quad \text{pentru} \quad \sigma \ddot{z}_\delta < 0$$

$$\zeta_3 > 7.5886 \frac{V}{m \text{ sec}^2} \quad \text{pentru} \quad \sigma \ddot{z}_\delta > 0$$

În figura 3.10 se prezintă schema bloc a sistemului de reglare. Blocurile  $K_1 \dots K_4$  sunt blocuri neliniare având structura din figura 3.11 ( $i=1 \dots 4$ ). Coeficienții  $K_{1,2}$  au valorile determinate pe baza inegalităților (3.54). Schema bloc 3.10, este prevăzută și cu blocul corespunzător constantei ce intervine în legea de comandă cu compensarea perturbațiilor, situație care se va discuta mai jos

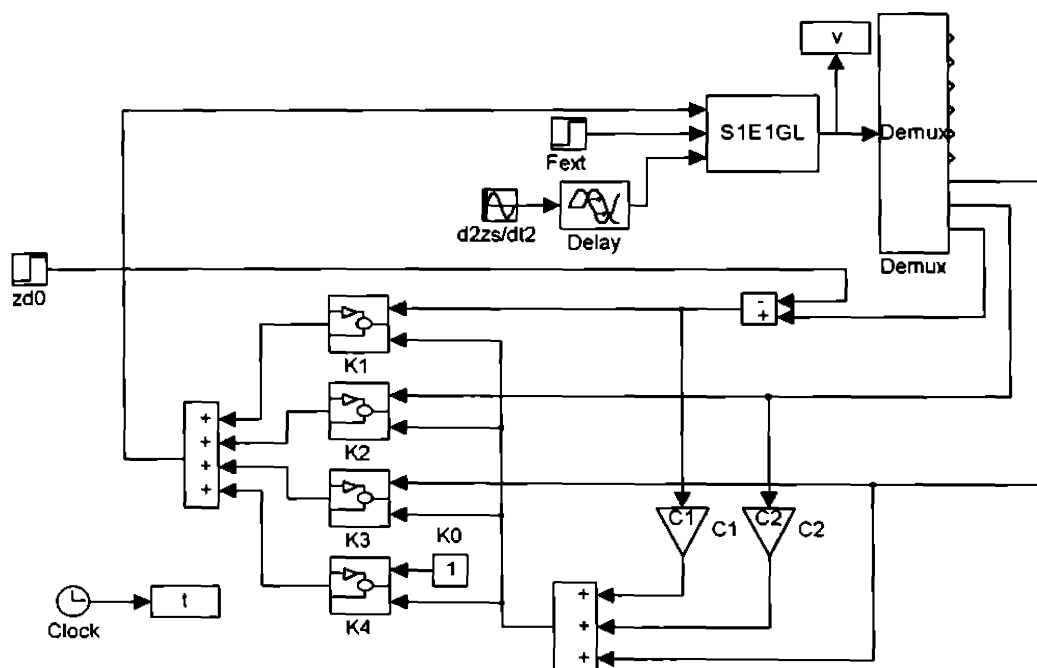


Figura 3.10. Schema bloc a SRA cu regulator cu structură variabilă de tip proporțional

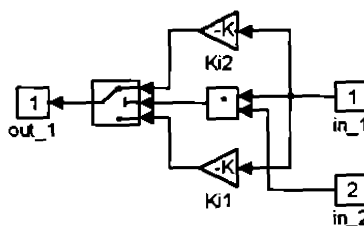


Figura 3.11. Schema blocurilor  $K_i$ ,  $i=1,2,3,4$

Alegând pentru compensator valorile:

$$\zeta_{11} = 3000 \frac{\text{V}}{\text{m}} \quad \text{pentru } \sigma(z_\delta - z_{\delta_0}) < 0$$

$$\zeta_{12} = 3500 \frac{\text{V}}{\text{m}} \quad \text{pentru } \sigma(z_\delta - z_{\delta_0}) > 0$$

$$\zeta_{21} = 200 \frac{\text{V}}{\text{m sec}} \quad \text{pentru } \sigma \dot{z}_\delta < 0$$

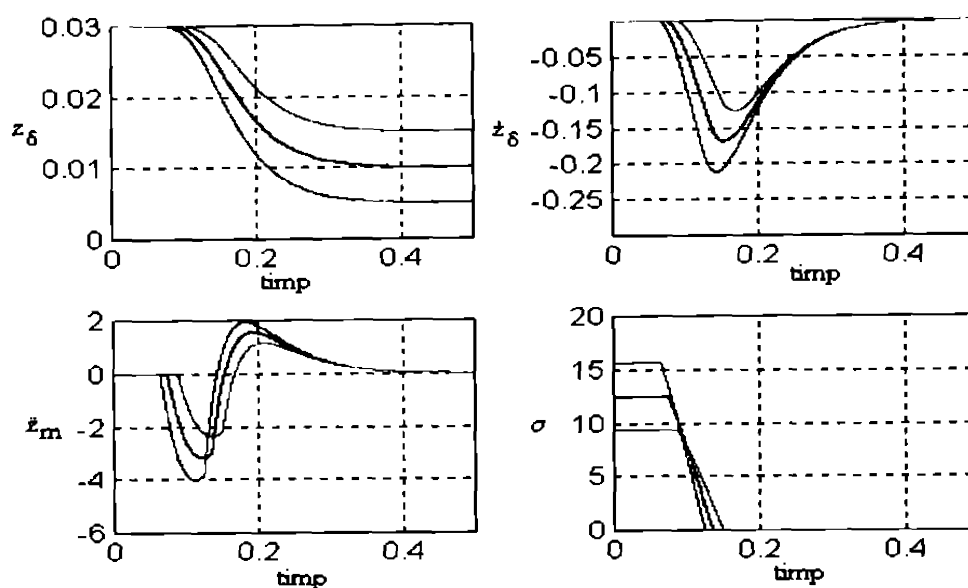
$$\zeta_{22} = 300 \frac{\text{V}}{\text{m sec}} \quad \text{pentru } \sigma \dot{z}_\delta > 0$$

$$\zeta_{31} = 6.5 \frac{\text{V}}{\text{m sec}^2} \quad \text{pentru } \sigma \ddot{z}_\delta < 0$$

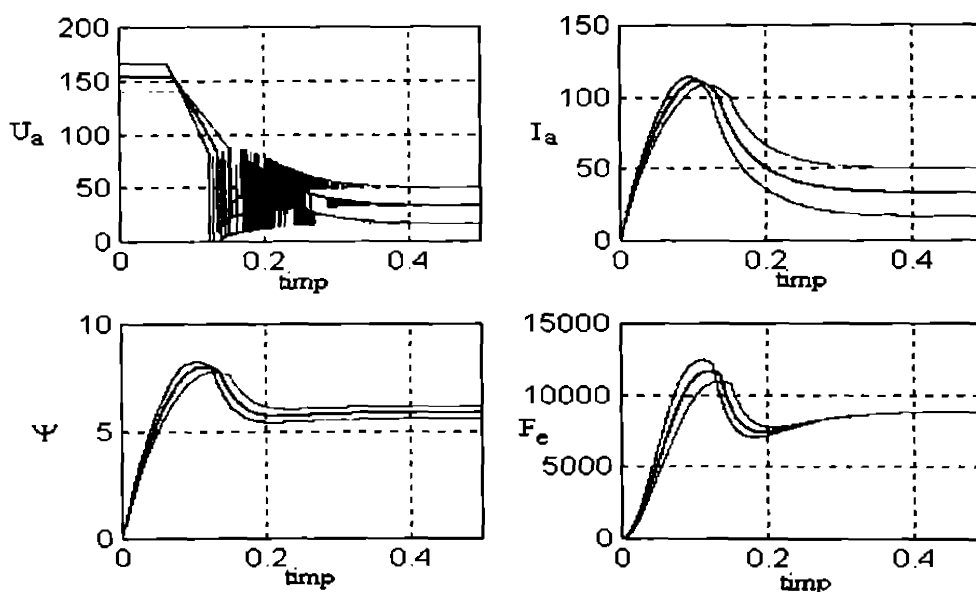
$$\zeta_{32} = 10 \frac{\text{V}}{\text{m sec}^2} \quad \text{pentru } \sigma \ddot{z}_\delta > 0$$

și simulând răspunsul sistemului obținut pentru prescrierea unei referințe de 15, 10 și 5 mm, se obțin diagramele din figurile 3.12. Se constată în toate cele 3 situații o variație asimptotică a întrefierului către punctul țintă, așa cum s-a dorit din proiectare. Se observă apoi că după aproximativ 0.15 sec de la momentul inițial, starea sistemului intersectează suprafața de comutație (funcționala de stare  $\sigma$  se anulează), în continuare sistemul evoluând pe ea. Se poate de asemenea remarca modul de variație al tensiunii pe electromagnet, de la o valoare mare (în limitare la început), urmată de comutări de frecvență ridicată a căror amplitudine scade pe măsură ce mărimile de stare se anulează. Este interesant că în cazul reglării după stare, utilizând același model, în cazul întrefierului prescris de valoare mică sistemul intră în limitare în timp ce în cazul funcționării în regim alunecător datorită variațiilor foarte energice ale tensiunii pe electromagnet nici măcar nu se manifestă un suprareglaj: odată ajuns pe suprafața de comutație, starea sistemului rămâne pe ea, evoluând după legea dată de (3.51).

Pentru cazul studiat, s-a aplicat sistemului, printr-un artificiu, prin blocul  $K_4$ , tensiunea necesară menținerii sale în starea de regim staționar  $U_a = R I_a(z_{\delta_0})$ .



a) 1 - întrefierul, 2 - viteza, 3 - accelerația absolută, 4 - funcționala de stare



b) 1 - tensiunea, 2 - curentul, 3 - fluxul, 4 - forța electromagnetică

Figura 3.12. Răspunsul SRA cu regulator cu structură variabilă de tip proporțional

În figura 3.13 este reprezentată parțial suprafața de comutație și traiectoria sistemului pentru cazul prescrierii de întrefier de 10 mm. Se observă cum inițial starea sistemului se afla în punctul de coordonate  $(20, 0, 0)$ , apoi sub acțiunea comenzii se îndreaptă spre suprafața de comutație și din momentul în care o intersectează n-o mai părăsește, evoluând pe ea până în originea sistemului.

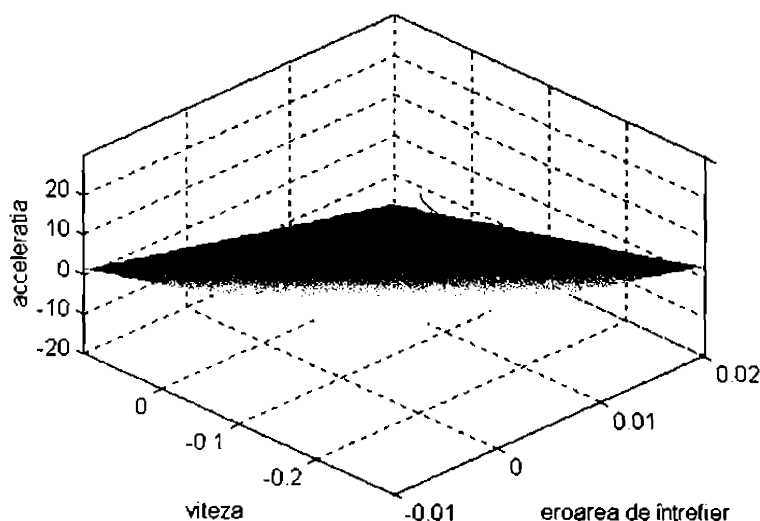


Figura 3.13. Suprafața de comutație în spațiul stărilor

În situația în care sistemul este perturbat, relațiile (3.53) se completează cu:

$$\begin{aligned} b_{v,31}F_{ext} + b_{v,32}\dot{F}_{ext} - c_2\ddot{z}_s + \Xi > 0 & \text{ pentru } \sigma < 0 \\ b_{v,31}F_{ext} + b_{v,32}\dot{F}_{ext} - c_2\ddot{z}_s + \Xi < 0 & \text{ pentru } \sigma > 0 \end{aligned}$$

și apoi relațiile (3.55) cu

$$\begin{aligned} \Xi < \min \frac{1}{b_3}(c_2\ddot{z}_s - b_{v,31}F_{ext} - b_{v,32}\dot{F}_{ext}) & \text{ pentru } \sigma < 0 \\ \Xi > \max \frac{1}{b_3}(c_2\ddot{z}_s - b_{v,31}F_{ext} - b_{v,32}\dot{F}_{ext}) & \text{ pentru } \sigma > 0 \end{aligned} \tag{3.56}$$

Estimând perturbațiile potrivit dublelor inegalități:

$$\begin{aligned} -\frac{1}{2}Mg < F_{ext} < \frac{1}{2}Mg \\ -\frac{10}{2}Mg < \dot{F}_{ext} < \frac{10}{2}Mg \\ -\frac{1}{2}g < \ddot{z}_s < \frac{1}{2}g \end{aligned} ,$$

în care  $M$  este masa sustentată și  $g$  accelerația gravitațională și cu domeniile pentru coeficienți aceleași ca mai sus, se obțin relațiile:

$$\begin{aligned} \Xi < -104.8076 \text{ V} & \text{ pentru } \sigma > 0 \\ \Xi > 104.8076 \text{ V} & \text{ pentru } \sigma < 0 \end{aligned}$$

cu care se determină coeficienții  $K41 = -100 \text{ V}$  și  $K42 = 100 \text{ V}$ .

### 3.3.3.2 Comanda cu structură variabilă de tip proporțional pentru sistemul perturbat, cu răspuns oscilant amortizat.

Este interesant de studiat și un caz în care răspunsul sistemului se dorește a avea un caracter oscilant amortizat. Pentru comparație, se alege pentru sistemul în buclă închisă aceeași bandă de pulsație la 25 rad/sec dar coeficientul de amortizare este 0.707. Aceste condiții conduc la coeficienții  $c_1=625(\text{rad/sec})^2$  și  $c_2=35.35\text{rad/sec}$ . Pentru stabilirea limitelor coeficienților compensatorului se folosesc din nou relațiile (3.55) completate cu (3.56) obținându-se:

$$\zeta_1 < 3328.3 \frac{V}{m} \quad \text{pentru } \sigma(z_\delta - z_{\delta_0}) < 0$$

$$\zeta_1 > 3328.3 \frac{V}{m} \quad \text{pentru } \sigma(z_\delta - z_{\delta_0}) > 0$$

$$\zeta_2 < 230.464 \frac{V}{m \cdot \text{sec}^{-1}} \quad \text{pentru } \sigma \dot{z}_\delta < 0$$

$$\zeta_2 > 281.941 \frac{V}{m \cdot \text{sec}^{-1}} \quad \text{pentru } \sigma \dot{z}_\delta > 0$$

$$\zeta_3 < 12.843 \frac{V}{m \cdot \text{sec}^{-2}} \quad \text{pentru } \sigma \ddot{z}_\delta < 0$$

$$\zeta_3 > 13.474 \frac{V}{m \cdot \text{sec}^{-2}} \quad \text{pentru } \sigma \ddot{z}_\delta > 0$$

$$\Xi < -130.518 V \quad \text{pentru } \sigma > 0$$

$$\Xi > 130.518 V \quad \text{pentru } \sigma < 0$$

Se aleg valorile pentru coeficienții compensatorului astfel încât să satisfacă inegalitățile de mai sus:

$$\zeta_{11} = 3000 \frac{V}{m} \quad \text{pentru } \sigma(z_\delta - z_{\delta_0}) < 0$$

$$\zeta_{12} = 3500 \frac{V}{m} \quad \text{pentru } \sigma(z_\delta - z_{\delta_0}) > 0$$

$$\zeta_{21} = 200 \frac{V}{m \cdot \text{sec}} \quad \text{pentru } \sigma \dot{z}_\delta < 0$$

$$\zeta_{22} = 300 \frac{V}{m \cdot \text{sec}} \quad \text{pentru } \sigma \dot{z}_\delta > 0$$

$$\zeta_{31} = 12 \frac{V}{m \cdot \text{sec}^2} \quad \text{pentru } \sigma \ddot{z}_\delta < 0$$

$$\zeta_{32} = 14 \frac{V}{m \cdot \text{sec}^2} \quad \text{pentru } \sigma \ddot{z}_\delta > 0$$

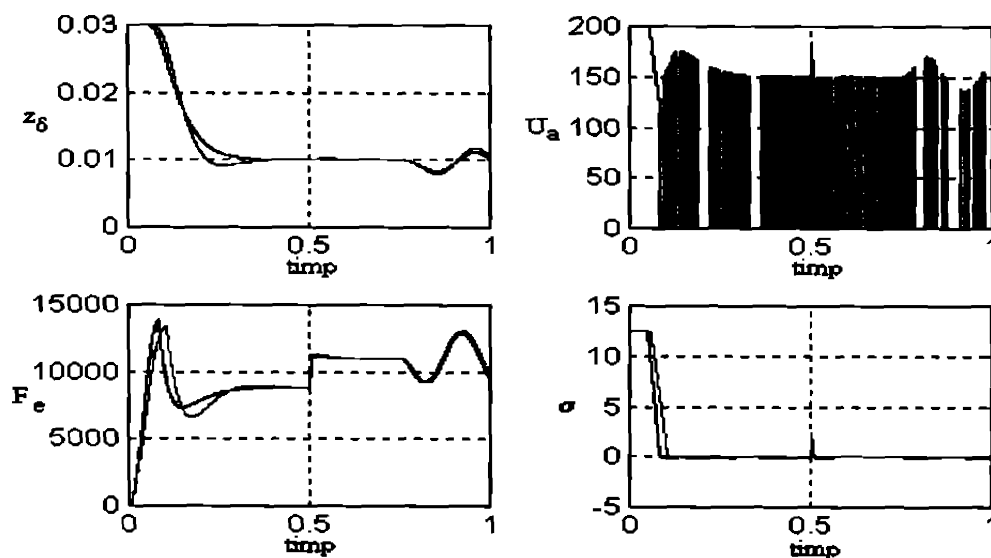
$$\Xi_1 = -150 V \quad \text{pentru } \sigma > 0$$

$$\Xi_2 = 150 V \quad \text{pentru } \sigma < 0$$

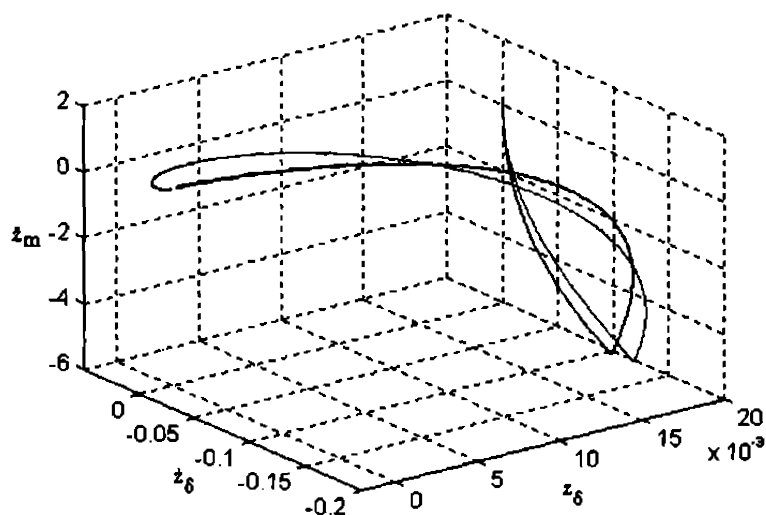
În figurile 3.14 sunt reprezentate câteva dintre mărimile răspunsului SIEIGL funcționând în regim alunecător. Se remarcă din nou că variația întrefierului urmărește exact traiectoria prescrisă prin funcționala de stare. Perturbarea de tip forță exterioară se manifestă neglijabil în răspunsul sistemului, iar, așa cum era de așteptat, accelerația perturbatoare este vizibilă în variația întrefierului. De data aceasta se constată oscilații de



frecvență ridicată în tensiune și care nu se anulează, datorită termenului ce compensează efectul perturbațiilor. Pentru a nu încălca inutil figura, tensiunea de comandă s-a reprezentat doar pentru cazul amortizat.



**Figura 3.14. Răspunsul SRA cu caracter oscilant amortizat.**



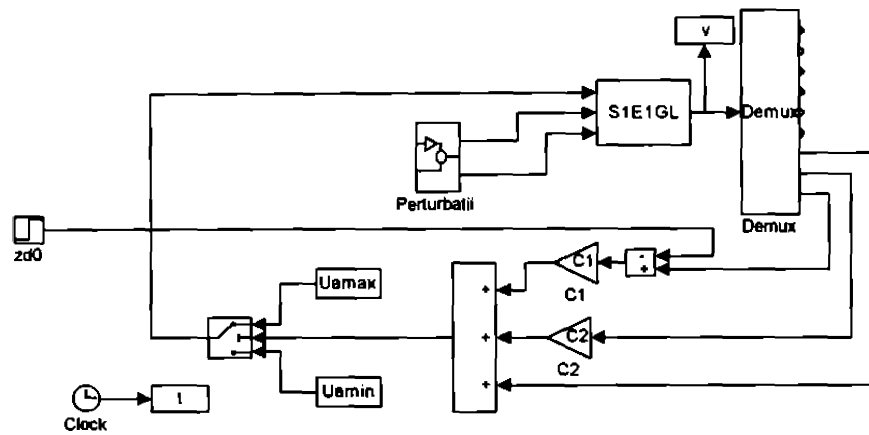
**Figura 3.15. Traiectoriilor SRA în spațiul stărilor**

În figura 3.15 s-au trasat traiectoriile în spațiul stărilor pentru cele două cazuri analizate, de la momentul inițial până la momentul  $t = 0.5$  sec (înainte ca perturbațiile să afecteze sistemul). Se poate limpede observa că traiectoriile se află în ultima lor parte pe suprafețe diferite, dictate de valorile coeficienților  $c_1$  și  $c_2$ . Se poate observa oscilația în jurul originii spațiului stărilor datorită suprareglajului introdus prin proiectare în acest de al doilea caz considerat.

*Cazurile studiate, cu posibile perturbații de amplitudini mari, conduc la o comandă care datorită termenului  $\Xi$  apropiat de valorile limită ale comenzii este practic de forma bipozițională (3.35).*

**3.3.3.2.3 Comanda bipozițională ca regulator cu structură variabilă**

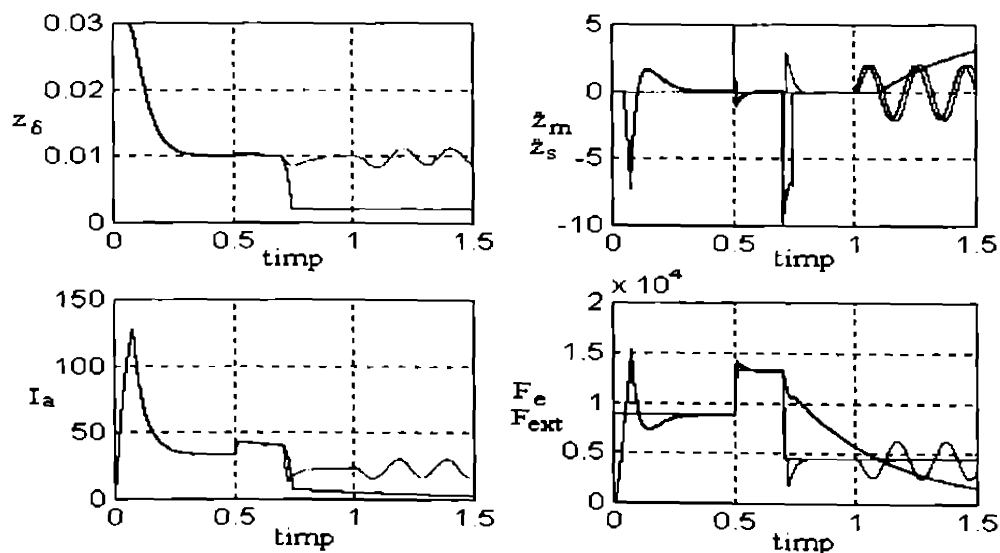
Un sistem cu sustentație electromagnetică cu un electromagnet utilizează ca element de execuție un chopper cu funcționare într-unul sau două cadrane. Primul are avantajul prețului de cost redus, al doilea al dinamicii mult mai bune la stingerea curentului, atunci când forța dezvoltată de electromagnet (proporțională cu pătratul curentului) trebuie micșorată rapid. Se analizează în continuare performanțele sistemului cu o comandă bipozițională de forma (3.35), în care limita inferioară  $u_{min}$  va fi întâi 0, cazul chopperului într-un cadran, iar apoi  $-u_{max}$ , cazul chopperului în două cadrane. Schema bloc utilizată în simulare este dată în figura 3.16. Semnul funcționalei de stare determină aplicarea unei comenzi de forma  $u_{max}$  sau  $u_{min}$ . Trebuie remarcat că acest tip de comandă este cel mai energetic tip de comandă care se poate aplica sistemului.



**Figura 3.16. SRA cu comandă bipozițională**

Prin blocul "Perturbații" se aplică de data aceasta la momentul  $t=0.5$  sec o forță exterioară de amplitudine  $Mg/2$  care după 0.2 sec se modifică la  $-Mg/2$ , iar începând cu  $t=1$  sec se aplică și o accelerație perturbatoare de amplitudine  $2 \text{ m/sec}^2$  și frecvență 5 Hz.

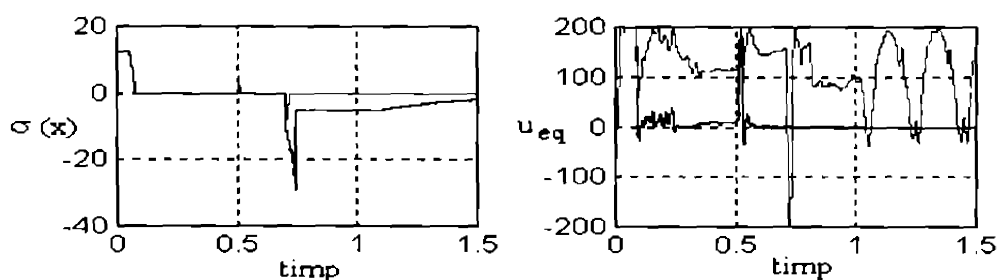
În figurile 3.17 sunt reprezentate rezultatele simulărilor. Cu albastru sunt trasate mărimile din sistem în cazul  $u_{min} = 0V$ , cu roșu cele din cazul  $u_{min} = -200V$ , iar cu verde perturbațiile. Pentru ca figura să fie mai clară, reprezentarea forței exterioare s-a axat pe valoarea  $Mg$ .



**a) 1 - întrefierul, 2 - accelerația absolută și accelerația perturbatoare, 3 - curentul, 4 - forța electromagnetică și forța exterioară perturbatoare**

Se observă că în primul caz, ca și în simulările precedente, sistemul neperturbat are evoluția scontată și se comportă foarte bine sub acțiunea perturbațiilor care cer creșterea curentului ( $F_{ext} > 0$ ). Pentru o perturbație semnificativă cu semn negativ însă, atunci când curentul trebuie să scadă rapid, comanda minimă la nivel 0 V nu poate readuce sistemul de reglare la poziția prescrisă. Deși curentul scade, întrefierul scade și el rapid și cum forța este invers proporțională cu întrefierul, nu este redusă suficient de repede pentru a preveni impactul cu jugul electromagnetic, limitat la 2mm. Dacă simularea s-ar fi continuat, în timp forța electromagnetică ar fi scăzut suficient pentru ca electromagnetul să se desprindă de jug și apoi să revină la poziția dorită.

Atunci când se admite utilizarea unui chopper în două cadrane, adică  $u_{min} = -200V$ , se poate observa că, deși vizibilă în răspunsul întrefierului, perturbația nu afectează semnificativ sistemul care revine rapid la poziția prescrisă. Analizând diagrama funcționalei de stare din figura 3.17b se observă că sub acțiunea perturbațiilor de tip forța exterioară, starea sistemului părăsește suprafața de comutație doar pentru o scurtă perioadă la aplicarea treptei perturbatoare. Este interesant de remarcat că sub acțiunea accelerației perturbatoare, funcțioanla de stare se păstrează nulă, deși efectul ei se manifesta serios în starea sistemului. Acest lucru era de așteptat deoarece din analiza ecuațiilor de stare (2.30), așa cum s-a mai menționat, accelerația perturbatoare se manifestă pe altă linie decât ultima linie, matricea perturbațiilor neavând forma companion în raport cu  $\dot{x}_x$ .



b) funcționala de stare și comanda echivalentă

Figura 3.17. Răspunsurile SRA cu comandă bipozițională

În ultima diagramă din figura 3.17b s-au trasat și comenzile echivalente, adică valorile medii ale tensiunilor aplicate electromagnetului în cele două situații. Se pot observa eforturile de scădere a curentului în cazul chopperului într-un cadran, și faptul că pentru chopperul în două cadrane, tensiunea se află doar pentru puțin timp în limitare. Deși filtrarea a fost făcută cu un filtru trece-jos de ordinul 4 cu frecvența de frângere la 100 Hz, variațiile de tensiune nu sunt netede, indicând regimul de comutație ridicată cu frecvență variabilă în care lucrează elementul de execuție. Aceste oscilații ale mărimii de comandă se manifestă cu atât mai pronunțat atunci când se caută a se limita superior frecvența de comutație și este continuu prezentă în cazul sistemelor de reglare discrete. Pentru înlăturarea acestui efect, care afectează, chiar dacă nu vizibil, întregul sistem se discută în continuare tipuri de algoritme care caută să înlăture acest aspect.

#### 3.3.3.2.4 Comandă cu structură variabilă cu acțiune de tip proporțional în vecinătatea lui $\sigma(x,t)=0$

O primă lege de comandă modificată este cea de forma (3.36). Prin alegerea unei constante  $\varepsilon > 0$ , se determină un "tub" în spațiul  $\mathbb{R}^3$  al stărilor, o vecinătate a lui  $\sigma(x,t)=0$  în care comanda nu mai este de tip bipozițional ci are o valoare proporțională cu valoarea funcționalei de stare. Astfel în această vecinătate, sistemul de reglare automată este descris de ecuațiile:

$$\begin{aligned}
 \begin{bmatrix} \dot{z}_\delta - \dot{z}_{\delta_0} \\ \dot{z}_\delta \\ \dot{z}_m \end{bmatrix}' &= \begin{bmatrix} 0 & 1 & 0 \\ 0 & 0 & 1 \\ a_{31} & a_{32} & a_{33} \end{bmatrix} \begin{bmatrix} z_\delta - z_{\delta_0} \\ \dot{z}_\delta \\ \dot{z}_m \end{bmatrix} + \begin{bmatrix} 0 \\ 0 \\ b_3 \end{bmatrix} \left[ \frac{K_R}{\varepsilon} c_1 (z_\delta - z_{\delta_0}) + \frac{K_R}{\varepsilon} c_2 \dot{z}_\delta + \frac{K_R}{\varepsilon} \dot{z}_m \right] + \\
 &+ \begin{bmatrix} 0 & 0 & 0 \\ 0 & 0 & -1 \\ b_{v,31} & b_{v,32} & 0 \end{bmatrix} \begin{bmatrix} F_{ext} \\ \dot{F}_{ext} \\ \ddot{z}_s \end{bmatrix} = \begin{bmatrix} 0 & 1 & 0 \\ 0 & 0 & 1 \\ a_{31} + b_3 c_1 \frac{K_R}{\varepsilon} & a_{32} + b_3 c_2 \frac{K_R}{\varepsilon} & a_{33} + b_3 \frac{K_R}{\varepsilon} \end{bmatrix} \begin{bmatrix} z_\delta - z_{\delta_0} \\ \dot{z}_\delta \\ \dot{z}_m \end{bmatrix} + \\
 &+ \begin{bmatrix} 0 & 0 & 0 \\ 0 & 0 & -1 \\ b_{v,31} & b_{v,32} & 0 \end{bmatrix} \begin{bmatrix} F_{ext} \\ \dot{F}_{ext} \\ \ddot{z}_s \end{bmatrix} \quad (3.57)
 \end{aligned}$$

Determinarea lui  $K_R$  se poate face din ecuația caracteristică

$$s^3 - (a_{33} + b_3 \frac{K_R}{\varepsilon})s^2 - (a_{32} + b_3 c_2 \frac{K_R}{\varepsilon})s - (a_{31} + b_3 c_1 \frac{K_R}{\varepsilon}) = 0 \quad (3.58)$$

incercând cu ajutorul metodei locului rădăcinilor găsirea unei configurații convenabile a polilor, pentru coeficienții procesului calculați în punctul nominal. În paragraful 3.3.2 s-a arătat însă că dinamica obținută nu poate fi mai bună decât cea obținută cu comanda pur bipozițională. Locul rădăcinilor în raport cu  $K_R/\varepsilon$  este trasat în figura 3.18, utilizând (3.43).

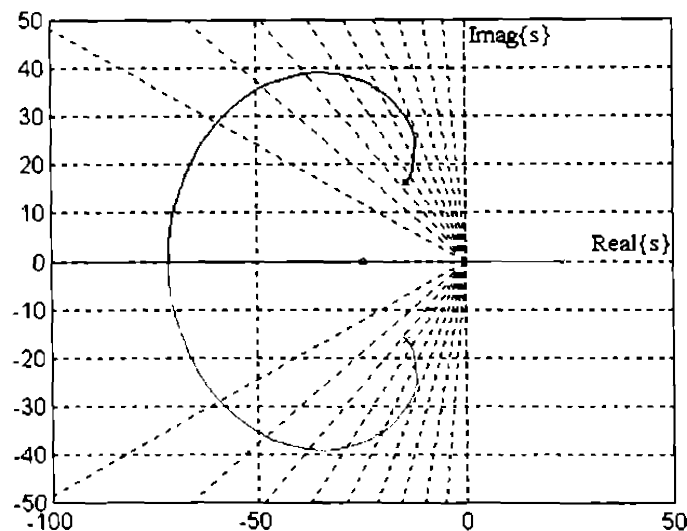


Figura 3.18. LR în raport cu  $K_R/\varepsilon$

Se confirmă că pentru  $K_R = 0$  se obțin polii procesului (cu un pol real pozitiv), iar pentru  $K_R \rightarrow \infty$  se ajunge la comandă bipozițională care menținând strict starea sistemului pe suprafața de comutație reduce sistemul la unul de ordinul 2, împingând un pol la infinit, ceilalți doi fiind reali, egali, la  $-25$  rad/sec, determinați prin proiectare. Se remarcă faptul că stabilirea unei anumite lărgimi a "tubului"  $\varepsilon$  și o anumită amplificarea  $K_R$  este formală, cele două mărimi fiind corelate prin raportul lor.

Alegând polul cel mai apropiat de origine la  $p_1 = -23 \text{ rad/sec}$ , din (3.57) se obține  $K_R/\varepsilon = 1187.4$  (în  $\text{V/m}\cdot\text{sec}^2$ ) și rezolvând din nou (3.57) în raport cu "s" de data aceasta se determină ceilalți doi poli  $p_2 = -27.4 \text{ rad/sec}$  și  $p_3 = -3914 \text{ rad/sec}$ , ultimul fiind suficient de depărtat de origine pentru a putea fi considerat un pol dominat. Sistemul de reglare este simulat cu schema bloc din figura 3.19, rezultatele fiind trasate în figurile 3.20. Pentru a putea analiza situația perturbațiilor de amplitudini mari s-a considerat cazul chopperului în două cadrane.

Din studiul diagramelor se constată, în primul rând prin comparație cu figurile 3.17, că acest tip de comandă elimină intradevăăr oscilațiile din mărimea de comandă fără a afecta performanțele de reglare. întrefierul atinge valoarea prescrisă în timpul scontat, iar perturbațiile afectează în mod rezonabil sistemul. Ultimele două figuri din 3.19b reprezintă funcționala de stare, prima integral, iar a doua la o scară redusă. Se poate observa că în momentele aplicării forței exterioare treaptă, starea sistemului părăsește pentru scurt timp "tubul" determinat de  $K_R/\varepsilon$ , lucru evidențiat în tensiunea prescrisă prin comenzile la 200V, respectiv -200V. În regim staționar, funcționala însă nu mai este nulă, sistemul evoluând pe suprafețe paralele la cea dorită

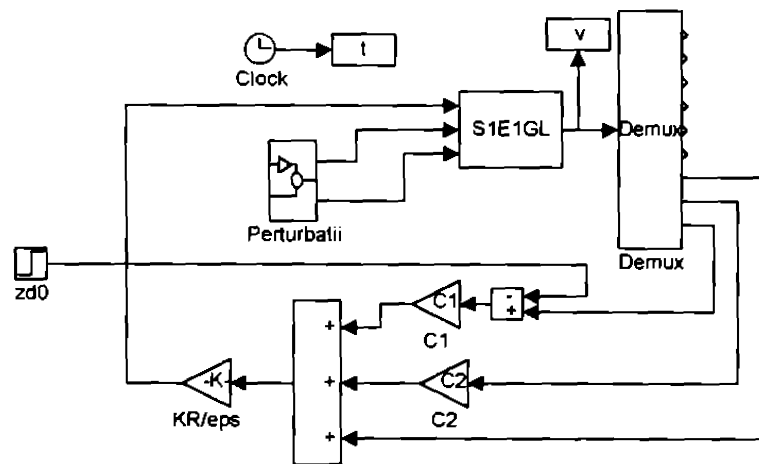
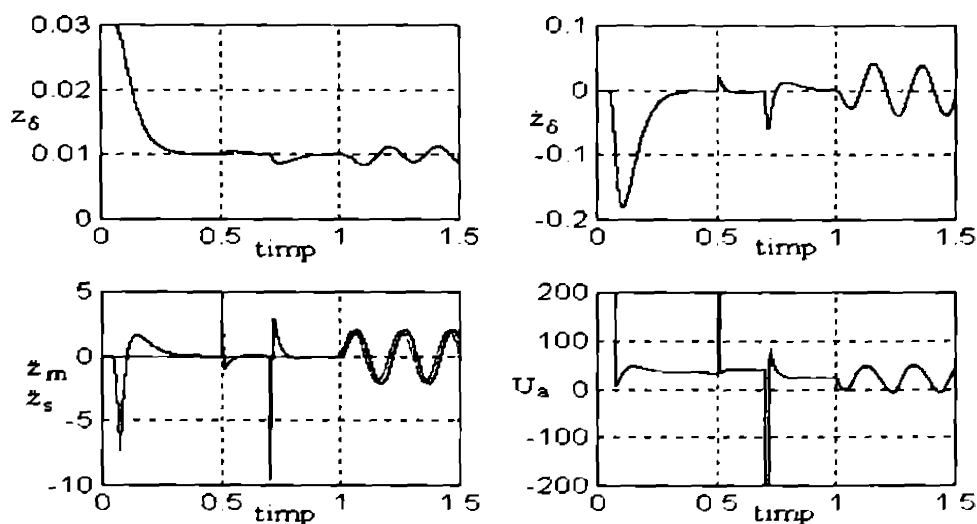
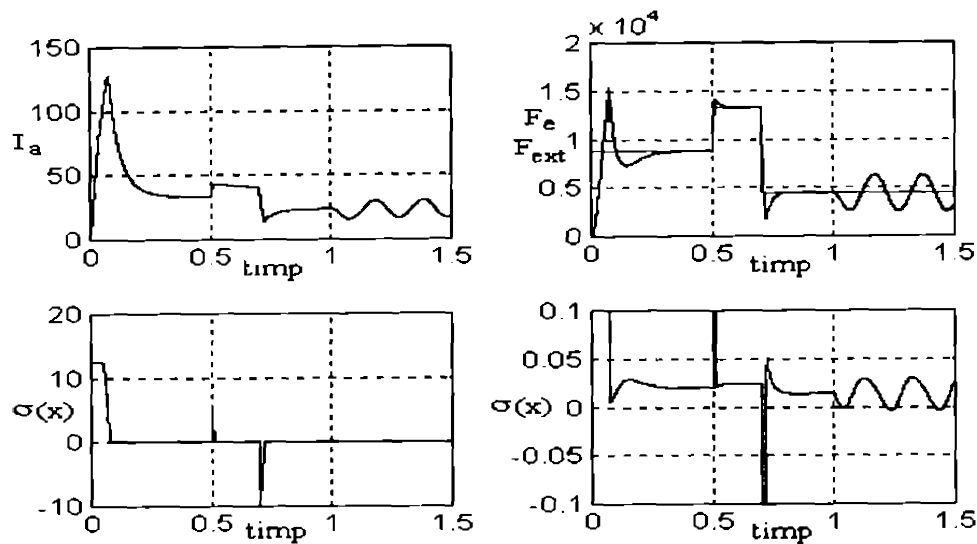


Figura 3.19. SRA cu structură variabilă, cu acțiune de tip proporțional în vecinătatea lui  $\sigma(x)=0$



a) 1 - întrefierul, 2 - viteza, 3 - accelerația absolută și perturbatoare, 4 - tensiunea de comandă



b) 1 - curentul, 2 - foaia electromagnetică și forța exterioară, 3,4 - funcționala de stare

Figura 3.20. Răspunsul SRA cu acțiune de tip proporțional în vecinătatea lui  $\sigma(x)=0$

### 3.3.3.2.5 Comandă cu structură variabilă cu compensator de stare în vecinătatea lui $\sigma(x,t)=0$

Ecuatiile (3.57) sugerează și posibilitatea utilizării în vecinătatea lui  $\sigma(x)=0$  a unei legi de comandă după stare de forma

$$u_a = K_1 c_1 (\ddot{\sigma} - \ddot{\sigma}_m) + K_2 c_2 \dot{\sigma} + K_3 \ddot{\sigma}_m \quad (3.59)$$

Aceasta ar permite alocarea tuturor celor 3 poli ai polinomului caracteristic rezultat și ar avea astfel avantajul posibilității impunerii unei dinamici mai rapide a sistemului în vecinătatea considerată.

$$s^3 - (a_{31} + K_3 b_3) s^2 - (a_{32} + c_2 K_2 b_3) s - (a_{31} + c_1 K_1 b_3) = 0 \quad (3.60)$$

Comanda (3.59) reprezintă de fapt o reglare după stare convențională, utilizată însă numai în vecinătatea suprafeței de comutație. În afara "tubului", comanda este de tip bipozițional, funcție de semnul funcționalei de stare.

### 3.3.3.2.6 Comandă cu structură variabilă cu acțiune de tip PI în vecinătatea lui $\sigma(x,t)=0$

Indiferent de expresia comenzii, în vecinătatea lui  $\sigma(x)=0$ , fie de forma (3.36) sau de forma (3.59), faptul că funcționala de stare are în regim staționar o valoare nenulă se manifestă printr-o croare de regim staționar în întrefier. Acest dezavantaj se poate elimina prin introducerea în regulator a unui element integrator. Mai multe procedee s-au prezentat în literatura în acest scop. Din experiența autorului, rezultatele cele mai bune însă le-a dat o comandă de forma (3.37), modificată din motive de independență a parametrilor în proiectare la:

$$u = \begin{cases} u_{\max} & \text{pentru } \sigma < -\varepsilon \\ \frac{K_R}{\varepsilon} \sigma(t) + \frac{1}{T_i} \int \sigma(t) dt & \text{pentru } -\varepsilon < \sigma < \varepsilon \\ u_{\min} & \text{pentru } \sigma > \varepsilon \end{cases} \quad (3.61)$$

Sistemul în buclă închisă obținut cu acest tip de regulator este de ordinul 4, datorită termenului integrator din (3.60). Noua variabilă de stare este caracterizată de ecuația

$$\dot{z}_a = z_\delta$$

modelul matematic intrare-stare-ieșire păstrându-și forma canonică controlabilă:

$$\begin{aligned} \begin{bmatrix} \dot{z}_a \\ \dot{z}_\delta \\ \dot{z}_\delta \\ \dot{z}_m \end{bmatrix} &= \begin{bmatrix} 0 & 1 & 0 & 0 \\ 0 & 0 & 1 & 0 \\ 0 & 0 & 0 & 1 \\ b_3 \frac{c_1}{T_i} & a_{31} + b_3 \left( \frac{K_R}{\varepsilon} c_1 + \frac{c_2}{T_i} \right) & a_{32} + b_3 \left( \frac{K_R}{\varepsilon} c_2 + \frac{1}{T_i} \right) & a_{32} + b_3 \frac{K_R}{\varepsilon} \end{bmatrix} \begin{bmatrix} z_a \\ z_\delta \\ z_\delta \\ z_m \end{bmatrix} + \\ &+ \begin{bmatrix} 0 & 0 & 0 & 0 \\ 0 & 0 & 0 & 0 \\ 0 & 0 & 0 & -1 \\ b_{v,31} & b_{v,32} & \frac{b_3}{T_i} & 0 \end{bmatrix} \begin{bmatrix} f_{ext} \\ f_{ext} \\ \dot{z}_s \\ z_s \end{bmatrix} \end{aligned} \quad (3.62)$$

cu polinomul caracteristic

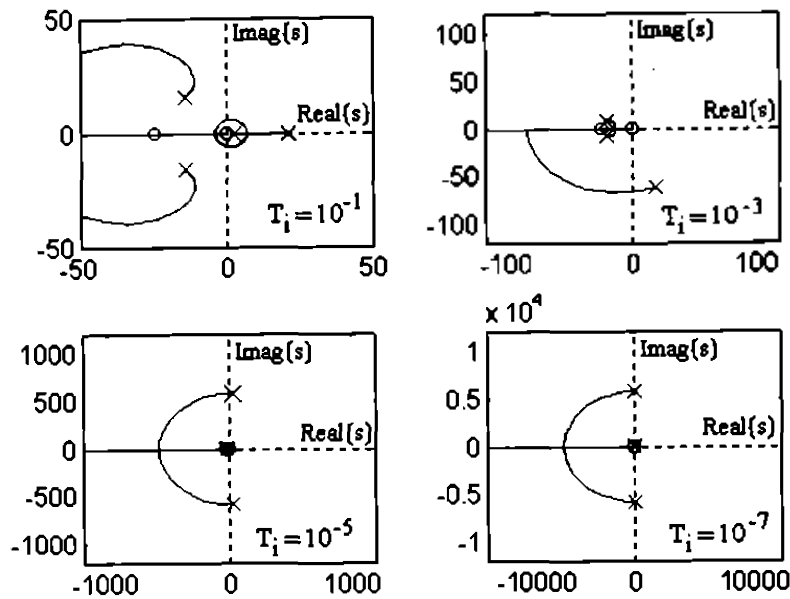
$$\mu(s) = s^4 - \left( a_{31} + b_3 \frac{K_R}{\varepsilon} \right) s^3 - \left[ a_{32} + b_3 \left( \frac{K_R}{\varepsilon} c_2 + \frac{1}{T_i} \right) \right] s^2 - \left[ a_{31} + b_3 \left( \frac{K_R}{\varepsilon} c_1 + \frac{c_2}{T_i} \right) \right] s - b_3 \frac{c_1}{T_i}. \quad (3.63)$$

Se observă introducerea unei noi mărimi perturbatoare în sistem,  $\dot{z}_s$ , cu atât mai pronunțat cu cât constanta de timp integratoare este mai mică. Eliminarea acestui tip de perturbație va face însă obiectul unui alt paragraf.

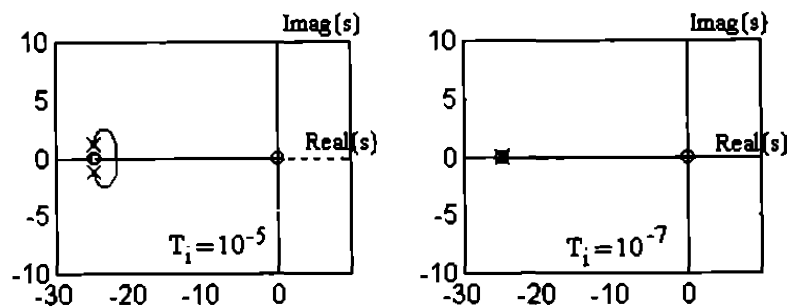
Rearanjând termenii polinomului caracteristic sub forma:

$$\left[ s^4 - a_{31} s^3 - \left( a_{32} + b_3 \frac{1}{T_i} \right) s^2 - \left( a_{31} + b_3 \frac{c_2}{T_i} \right) - b_3 \frac{c_1}{T_i} \right] + \frac{K_R}{\varepsilon} [s^3 + c_2 s^2 + c_1 s] \quad (3.64)$$

se trasează, în figurile 3.21a locurile rădăcinilor în funcție de  $K_R/\varepsilon$ , cu  $T_i$  ca parametru,  $T_i = \{10^{-1}, 10^{-3}, 10^{-5}, 10^{-7}\}$ . În figurile 3.21b, sunt prezentate detalii în vecinătatea originii pentru ultimele două valori ale lui  $T_i$ .



a) LR în raport cu  $K_R/\varepsilon$ , cu  $T_i$  parametru



b) LR în raport cu  $K_R/\varepsilon$ , cu  $T_i$  (detalii)

Figura 3.21. LR în raport cu  $K_R/\varepsilon$ , cu  $T_i$  parametru

Atât relația (3.64) cât și figurile 3.21 confirmă faptul că pentru  $K_R/\varepsilon=0$ , blocul nou introdus în elaborarea comenzii este pur integrator, având o pereche de poli ce se deplasează spre semiplanul real pozitiv pe măsură ce  $T_i$  crește și altă pereche care pornește din semiplanul instabil al planului "s" și pătrunde în porțiunea stabilă cu creșterea lui  $T_i$ , sistemul de reglare automată fiind instabil sau la limita de stabilitate. Pentru  $K_R/\varepsilon \rightarrow \infty$ , constanta de integrare nu mai are nici un efect în poziționarea polilor, însă ei i se datorează un pol în origine. Un al doilea pol se deplasează la  $-\infty$ , rămânând un pol dublu, real, determinat prin proiectare de constantele funcționalei de stare.

Se observă că pentru valori mici ale constantei de integrare și valori nu foarte mari ale lui  $K_R/\varepsilon$ , se obține o pereche de poli complex conjugați mult departați de origine, cealaltă perche de poli fiind tot complex conjugață, cu partea imaginară relativ mică (vezi de exemplu prima figură din 3.20b).

În acest sens, alegând  $K_R/\varepsilon=200 \text{ V/m-sec}^2$  și  $T_i=10^{-5} \text{ m/sec}^3\text{V}$  se obțin polii dominați (mult departați de origine)  $p_{3,4} = -311.33 \pm j487.83 \text{ rad/sec}$  și polii dominanți  $p_{1,2} = -24.92 \pm j1.19 \text{ rad/sec}$ . Se remarcă faptul că polii dominanți sunt foarte apropiați de cei determinați prin coeficienții funcționalei de stare.

Simularea sistemului de reglare automată rezultat s-a făcut cu schema bloc din figura 3.22.



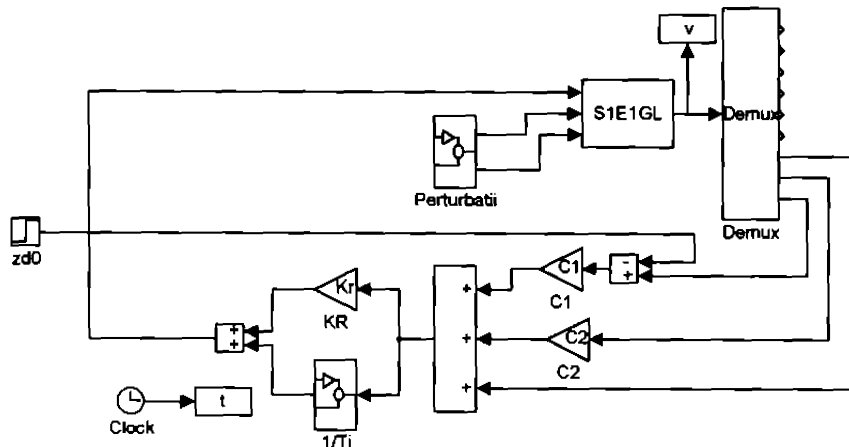


Figura 3.22. SRA cu acțiune de tip PI în vecinătatea lui  $\sigma(x,t) \approx 0$

Pentru evitarea saturării blocului integrator și a utilizării sale doar în situația în care  $|\sigma(x)| \leq \varepsilon$ , blocul notat  $1/T_i$  în figură are structura:

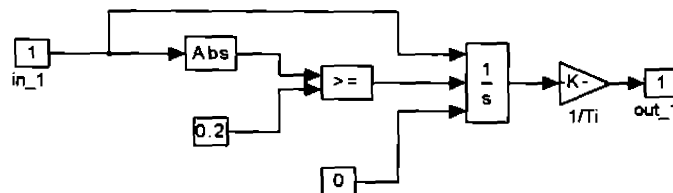


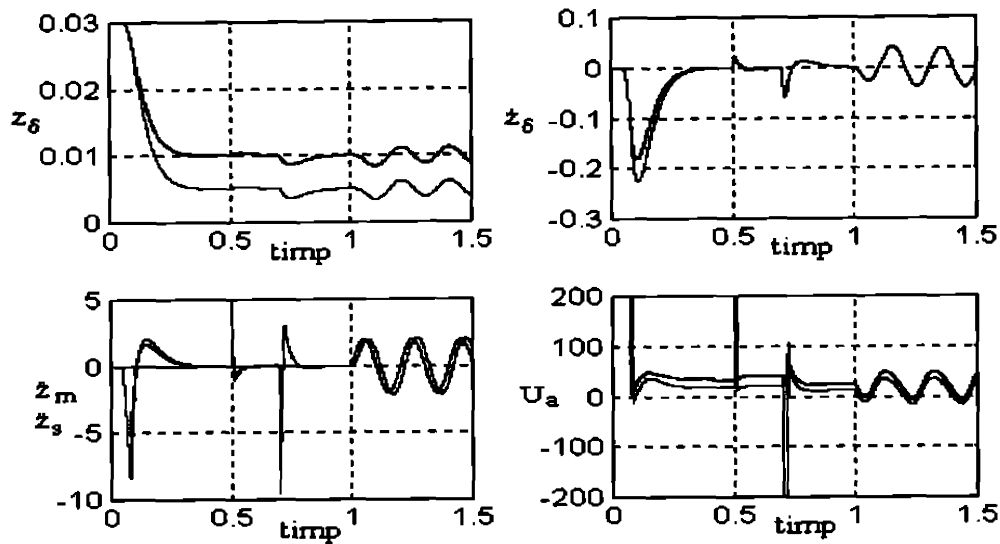
Figura 3.23. Detalierea blocului  $1/T_i$

$\varepsilon$  având în acest caz valoarea  $0.2 \text{ m/sec}^2$ . Atunci când a doua intrare a integratorului este diferită de zero, integratorul este resetat, la intrare aplicându-i-se valoarea de pe intrarea a 3-a (0). Așa cum s-a mai menționat, implementarea analogică a acestei scheme este dificilă, dar realizabilă prin utilizarea unor comutatoare analogice.

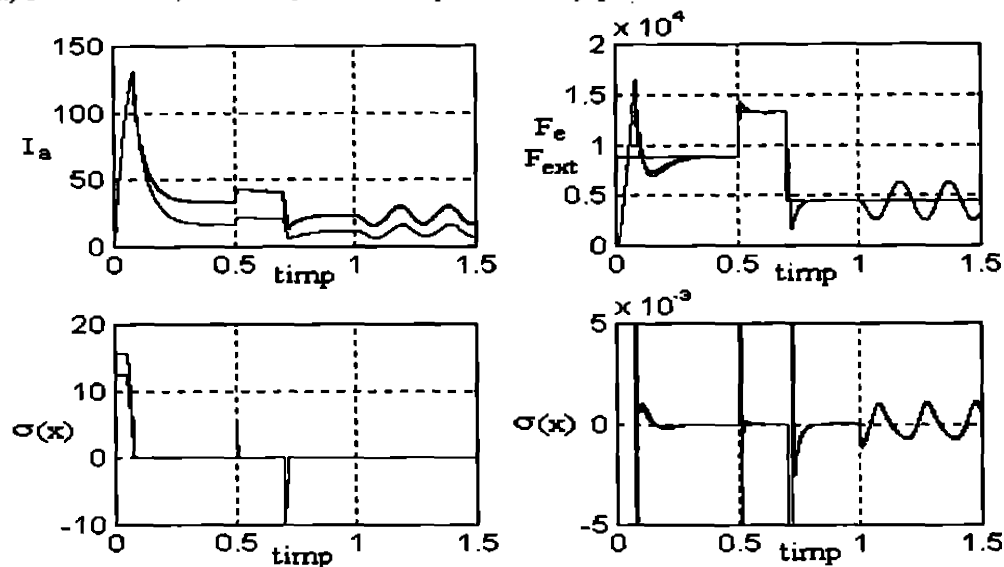
S-au simulat în condițiile aceluiași perturbații ca cele din analiza precedentă, două cazuri de întrefier prescris: 10 mm și 5 mm, ultima fiind o situație deosebit de dificilă pentru regulator, în special în prezența perturbației de tip forță exterioară cu semn negativ. Rezultatele sunt redată în figurile 3.24

Prima constatare ar fi aceea că și la un întrefier prescris scăzut și în condițiile unor perturbații de amplitudine mare, sistemul de reglare se comportă excelent. Fața de cazul precedent are avantajul anulării funcționalei de stare, asigurând în acest mod funcționarea sistemului pe suprafața de comutație preconizată.

Prin utilizarea unei comenzi bipoziționale în afara "tubului" determinat de constanta  $K_R/\varepsilon$ , și a unei comenzi determinate de funcționala de stare prin filtrarea ei printr-un element de tip PI, s-a obținut un sistem de reglare funcționând în regim alunecător, cu toate proprietățile ce decurg din acest mod și cu avantajul eliminării oscilațiilor de frecvență ridicată datorate comutărilor în jurul suprafeței de comutație. Acest tip de comandă poate fi utilizată, așa cum se va discuta mai jos, și în cazul sistemelor discrete, din nou eliminând dezavantajele legate de comutațiile mult mai evidente și supărătoare, datorate pasului de discretizare.



a) 1 - întrefierul, 2 - viteza, 3 - accelerația absolută și perturbatoare, 4 - tensiunea de comandă



b) 1 - curentul, 2 - forțele electromagnetice și perturbatoare, 3,4 - funcționala de stare

Figura 3.24. Răspunsul SRA cu acțiune de tip PI în vecinătatea lui  $\sigma(x)=0$

### 3.4 Rejecția perturbației $\ddot{z}_s$

În toate simulările efectuate până în acest punct, indiferent de tipul comenzii, oricât de energică ar fi fost ea, prezența accelerației perturbatoare s-a făcut remarcată într-un mod pronunțat. De altfel acest lucru a fost anticipat mai sus, având în vedere poziția acestei mărimi în modelul matematic al procesului.

Pentru rejecția acestui tip de perturbație se pot utiliza mai multe metode.

- Una din metode constă în construcția unui model exogen al perturbației și înglobarea acestuia în procesul extins. Acest aspect a fost analizat pe larg în capitolul 2. Sistemul extins obținut este de ordinul 5, astfel

încât și numărul de termeni ai funcționalei de stare crește la 5 și întreaga proiectare se complică din punct de vedere al calculelor destul de mult.

- A doua metodă propusă în lucrarea de față, constă în utilizarea în locul variabilei de stare  $\ddot{z}_m$  a variabilei  $\ddot{z}_\delta$ , ceea ce are ca efect eliminarea din modelul ecuațiilor de stare a perturbației  $\ddot{z}_x$ . Dezavantajul major al metodei este acela că mărimea  $\ddot{z}_\delta$  nu este măsurabilă, astfel că va trebui estimată. De asemenea, dispariția lui  $\ddot{z}_x$  din ecuațiile de stare nu înseamnă că acest tip de perturbație nu se mai manifestă. Ea se va regăsi cu siguranță în ecuațiile de ieșire ale procesului. Totuși, pentru a confirma faptul că un astfel de sistem rejectează perturbațiile de pe canalul de accelerație, s-a analizat și acest al doilea caz ale cărui rezultate se vor prezenta mai jos.
- A treia metodă propusă, pleacă de la modelul matematic (2.28). Reglarea se face de fapt în cascadă, cu o buclă interioară de curent, iar bucla exterioară este cu regulator cu structură variabilă. În felul acesta bucla exterioară, cu numai două variabile de stare,  $z_\delta$  și  $\dot{z}_\delta$ , forțează sistemul într-un regim alunecător în care așa cum va rezulta, sunt rejectate ambele tipuri de perturbație:  $F_{ext}$  și  $\ddot{z}_x$ .

### 3.4.1 Eliminarea perturbației $\ddot{z}_x$ din ecuațiile de stare ale procesului, prin utilizarea variabilei de stare $\ddot{z}_\delta$

Simularea s-a făcut în condiții identice cu cele din ultimul caz analizat în paragraful 3.3. însă pentru procesul modelat cu  $\ddot{z}_\delta$ . În figurile 3.25 se prezintă diagramele obținute:

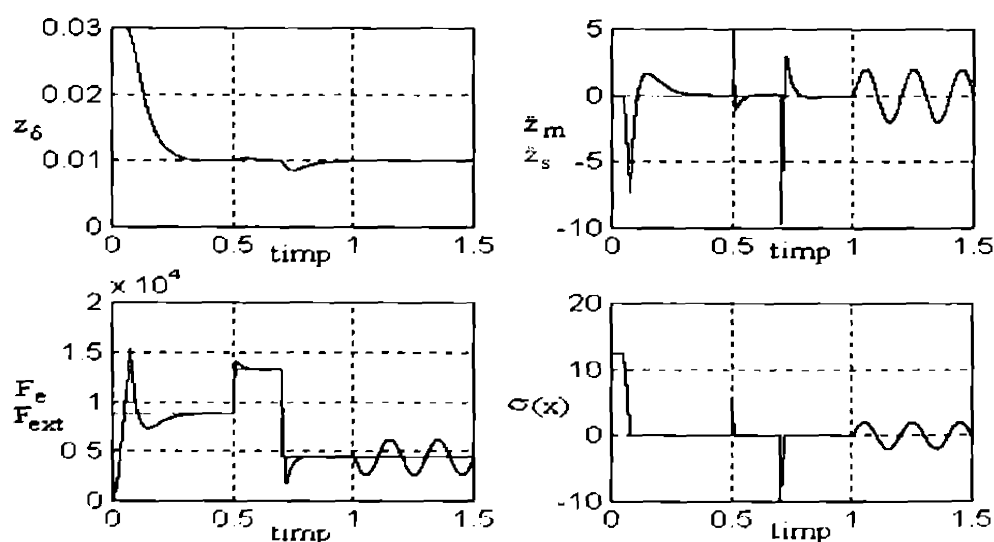


Figura 3.25. Eliminarea perturbației  $\ddot{z}_x$  prin utilizarea variabilei de stare  $\ddot{z}_\delta$

O primă observație care se impune este că accelerația  $\ddot{z}_m$  urmărește perturbația întocmai păstrând astfel eroarea de întrefier nulă. Acest lucru este deranjant atunci când  $\ddot{z}_x$  este produsă de cauze ce nu pot fi considerate perturbații: curbe sau modificări de nivel în cazul unui vehicul cu sustentaj electromagnetic, modificarea dorită a poziției sculei în cazul unei mașini cu lagăre cu sustentaj electromagnetic. Din fericire, aceste fenomene se manifestă prin variații de frecvență coborâtă ale lui  $\ddot{z}_x$ , astfel încât introducerea în regulator a mării  $\ddot{z}_\delta$  printr-un filtru trece sus rezolvă această problemă.

Se constată apoi o rejecție excelentă a perturbației din întrefier, variațiile acestuia sub acțiunea ei fiind nesemnificative. În diagrama funcționalei de stare se poate observa de data aceasta efectul de compensare a accelerației perturbatoare, lucru care nu se întâmplă atunci când variabila de stare este  $\ddot{z}_m$ .

În concluzie, dacă variabila  $\ddot{z}_\delta$  poate fi măsurată sau estimată, metoda poate fi aplicată cu succes.

### 3.4.2 Sistem de reglare în cascadă cu buclă interioară de curent

Analizând ecuațiile de stare (2.28) și (2.30) se observă că amândouă se abat de la forma canonică controlabilă, recomandată în cazul reglării cu funcționarea în regim alunecător. În paragrafele anterioare, prin utilizarea modelului (2.30), perturbațiile de tip forță exterioară au fost eliminate implicit prin metoda de reglare, în schimb accelerația perturbatoare se manifestă în continuare în mărimile de ieșire. Modelul (2.28) are "poziționate" perturbațiile pe o singură linie a ecuațiilor de stare, matricea sistemului nefiind însă de formă controlabilă. Se observă că dacă în acest model se utilizează o buclă interioară de curent, mult mai rapidă decât variațiile de întrefier, astfel încât răspunsul în curent să poată fi aproximat la frecvențe joase ca având funcția de transfer:

$$H_I(s) = \frac{i_a(s)}{i_a^*(s)} = K_I, \quad (3.65)$$

în care  $i_a^*$  este referința de curent, atunci modelul procesului cu buclă interioară de curent se reduce la:

$$\begin{bmatrix} \dot{z}_\delta \\ \dot{i}_a \end{bmatrix} = \begin{bmatrix} 0 & 1 \\ a_{21}^1 & 0 \end{bmatrix} \begin{bmatrix} z_\delta \\ i_a \end{bmatrix} + \begin{bmatrix} 0 \\ a_{23}^1 \end{bmatrix} i_a^* + \begin{bmatrix} 0 & 0 \\ b_{v,21}^1 & -1 \end{bmatrix} \begin{bmatrix} F_{ext} \\ \dot{z}_s \end{bmatrix} \quad (3.66)$$

de formă canonică controlabilă. Proiectarea unui regulator cu structură variabilă funcționând în regim alunecător, va elimina de această dată ambele perturbații.

*Prima problemă este aceea a proiectării buclei interioare de curent, buclă care trebuie să compenseze constanta de timp a electromagnetului, variabilă și mare în special la întrefieruri mici.*

Recurgând la regulatorul de curent bipozițional, utilizat într-unul din cazurile analizate anterior (vezi figura 3.9), și ținând seama de caracterul proporțional-anticipativ al acestuia aplicat unui proces cu funcția de transfer de tip PT1 [D7], se estimează că în acest fel s-ar putea obține pentru buclă interioară de curent o funcție de transfer de tipul (3.65). Teoretic se poate obține un răspuns oricât de rapid în curent. Practic însă, viteza de variație a curentului este limitată energetic, mai exact de valoarea maximă a tensiunii de care se dispune. Astfel, la un semnal treaptă al prescrierii de curent, acesta crește după legea:

$$i_a(t) = i_a(\infty) + (i_a(0) - i_a(\infty)) \exp\left(-\frac{t}{T(z_\delta)}\right) = \frac{U_{a,max}}{R} + \left(i_a(0) - \frac{U_{a,max}}{R}\right) \exp\left(-\frac{t}{T(z_\delta)}\right) \quad (3.67)$$

în care  $R$  este rezistența înfășurării iar  $T(z_\delta) = L(z_\delta) / R$  este constanta de timp a electromagnetului. Dacă se consideră un caz defavorabil în care inductanța are o valoare constantă mare (cea de la 5 mm) și se dorște ca răspunsul în curent să fie mult mai rapid decât răspunsul sistemului mecanic, pentru o treapta de curent de la 0 la 100 A se obține:

$$U_{a,max} = R \frac{i_a(t_f) - i_a(0) \exp\left(-\frac{t_f}{T(z_{\delta 0})}\right)}{1 - \exp\left(-\frac{t_f}{T(z_{\delta 0})}\right)} \quad (3.68)$$

Dacă banda de frecvență a sistemului în buclă închisă este limitată la 25 rad/sec, alegând  $t_f = 2\pi/150$  sec = 0.0419 sec, se obține  $U_{a,max} = 847.78$  V și se alege  $U_{a,max} = 850$  V.

Obținerea unui răspuns convenabil de rapid poate să conducă la relații de proiectare atât pentru tensiunea de alimentare cât și pentru dimensiunile mecanice și electromagnetice ale întregului sistem (rezistența electrică, inductanța etc).

În figura 3.26 se prezintă schema bloc cu care bucla de curent a fost testată: referința de curent este limitată la  $U_{a,max}/R$  superior și la 0 inferior, curenți negativi neputând exista într-un chopper într-unul sau două cadrane. De asemenea un curent negativ nici nu este de dorit având în vedere proporționalitate forței cu pătratul curentului. Elementul bipozițional este fără histerezis și limitat la  $U_{a,max}$  și  $-U_{a,max}$ . În fine, curentul se calculează din flux considerând o inductanță constantă la  $z_{\delta 0} = 5$  mm. Implementarea acestei bucle se va discuta în detaliu în capitolul 5, menționându-se deocamdată că implementarea se va face analogic, utilizând circuite integrate specializate.

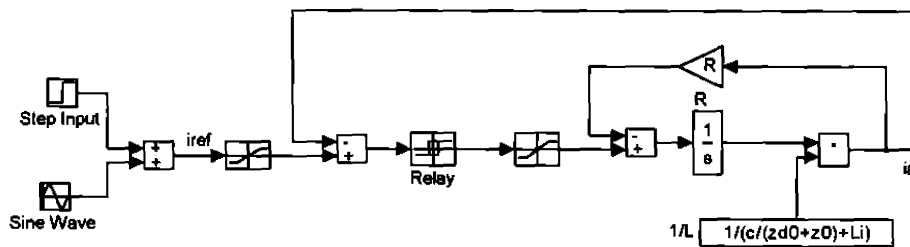


Figura 3.26. Simularea buclei interioare analogice de curent

S-au făcut două simulări: una la o frecvență de 250 Hz, rezultată ca o margine superioară la care răspunsul curentului se mai poate aproxima cu un răspuns proporțional, și una la marginea benzii de frecvență a sistemului mecanic, 25 rad/sec. Acestea sunt prezentate în figurile 3.27:

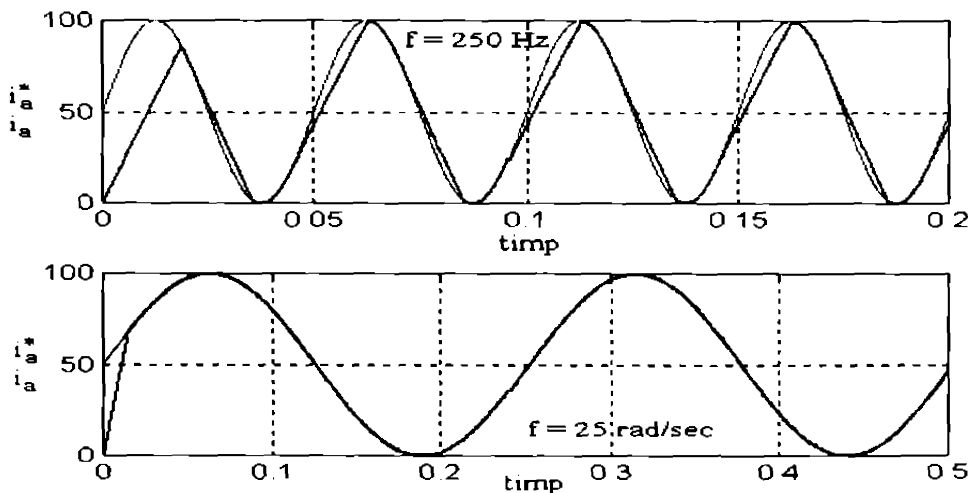


Figura 3.27. Răspunsul buclei analogice de curent

Dacă la frecvența ridicată curentul nu poate urmări exact variațiile rapide ale referinței, la frecvența de lucru maximă referința și mărimea de ieșire sunt identice. *În concluzie, regulatorul de curent conferă buclei interioare proprietățile unui element proporțional.*

În continuare, proiectarea sistemului de reglare automată a SIEIGL se face utilizând modelul simplificat (3.66).

Pentru un sistem de forma (3.66), funcționala de stare va avea forma:

$$\sigma(t, x) = c(z_\delta - z_{\delta_0}) + \dot{z}_\delta \quad (3.69)$$

Odată ajuns sistemul pe dreapta de comutație, evoluția stării lui va fi descrisă de ecuația:

$$\dot{z}_\delta(t) = z_{\delta_0} (1 - \exp(-ct)) \quad (3.70)$$

Utilizând rezultatele paragrafului anterior, pentru eliminarea oscilațiilor în jurul punctului țintă, cu păstrarea erorii de regim staționar nule, se alege o comandă de forma:

$$i_a^* = \begin{cases} \frac{u_{max}}{R} & \text{pentru } \sigma < -\epsilon \\ \frac{K_R}{\epsilon} \sigma(t) + \frac{1}{T_i} \int \sigma(t) dt & \text{pentru } -\epsilon < \sigma < \epsilon \\ 0 & \text{pentru } \sigma > \epsilon \end{cases} \quad (3.71)$$

astfel încât, ajuns pe suprafața de comutație, sistemul de reglare este descris de ecuațiile de stare:

$$\begin{bmatrix} \dot{z}_a \\ \dot{z}_\delta \\ \dot{\dot{z}}_\delta \end{bmatrix} = \begin{bmatrix} 0 & 1 & 0 \\ 0 & 0 & 1 \\ a_{23}^1 \frac{c}{T_i} & a_{23}^1 \left( \frac{K_R}{\epsilon} c + \frac{1}{T_i} \right) + a_{21}^1 & a_{23}^1 \frac{K_R}{\epsilon} \end{bmatrix} \begin{bmatrix} z_a \\ z_\delta \\ \dot{z}_\delta \end{bmatrix} + \begin{bmatrix} 0 & 0 \\ 0 & 0 \\ b_{v,21}^1 & -1 \end{bmatrix} \begin{bmatrix} F_{ext} \\ \dot{z}_s \end{bmatrix} \quad (3.72)$$

cu  $\dot{z}_a = \dot{z}_\delta$  variabila de stare suplimentară introdusă de componenta integratoare din (3.71). Alegând  $c=25$  rad/sec, adică o bandă de frecvență ca și în cazul precedent, și procedând similar studiului anterior, se poate trasa locul rădăcinilor sistemului (3.72) în raport cu  $K_R/\epsilon$  pentru  $T_i=5 \cdot 10^{-3}$  sec. Polinomul caracteristic este:

$$\mu(s) = \left[ s^3 - \left( \frac{a_{23}^1}{T_i} + a_{21}^1 \right) s - a_{23}^1 \frac{c}{T_i} \right] - \frac{K_R}{\epsilon} a_{23}^1 (s^2 + cs)$$

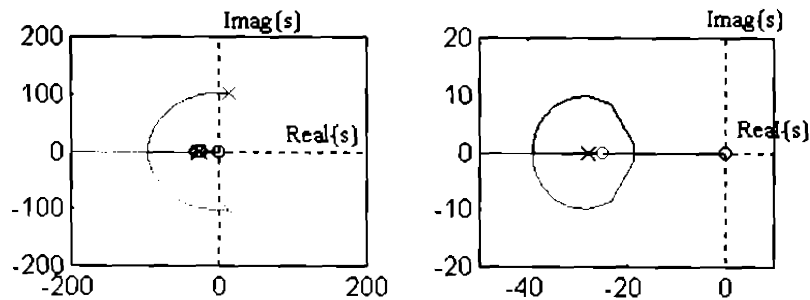


Figura 3.28. LR în raport cu  $K_R/\varepsilon$  pentru  $T_f=5 \cdot 10^{-5}$  sec

A doua diagramă a figurii 3.27 prezintă un detaliu al locului rădăcinilor. Se observă că există o plajă destul de largă a lui  $K_R/\varepsilon$  în care sistemul în buclă închisă are un pol mult depărtat de origine și doi poli dominanți în jurul intervalului de pulsație de la -20 la -40 rad/sec.

Alegând  $K_R/\varepsilon = 750$  se obțin polii sistemului în regim alunecător:  $p_1 = -388.89$  rad/sec și  $p_{2,3} = -25.77 \pm j9.53$  rad/sec.

Schema bloc a sistemului de reglare cu structură variabilă propus este următoarea:

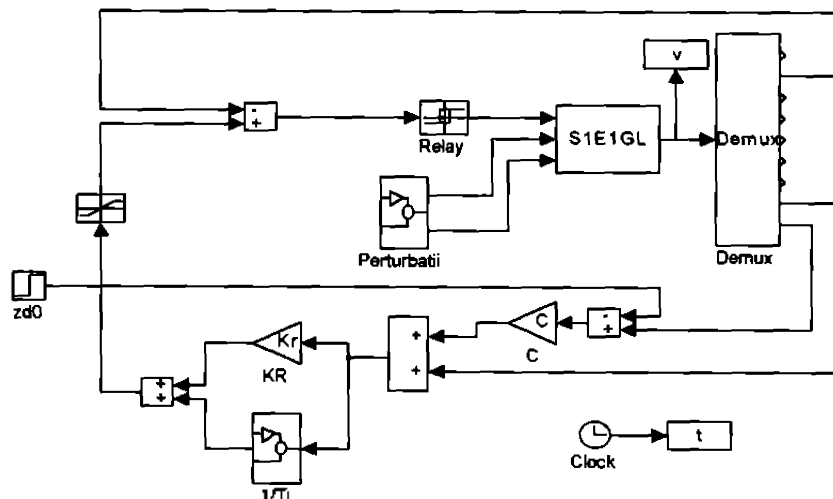
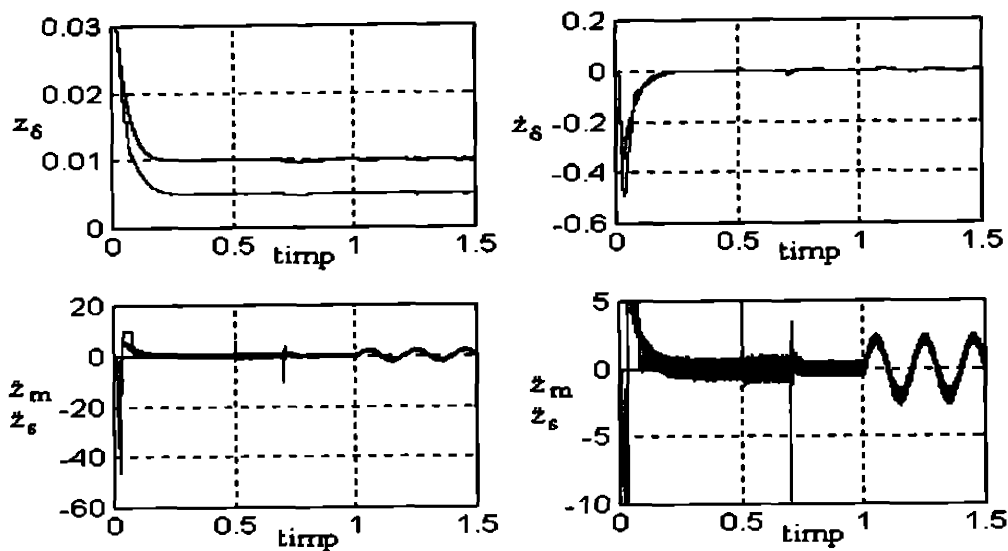


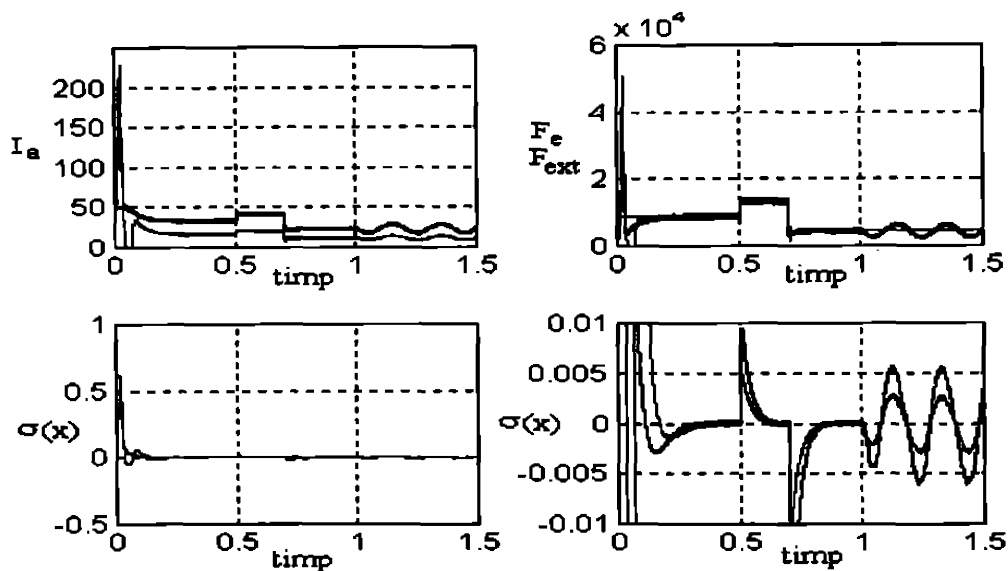
Figura 3.29. SRA cu structură variabilă și buclă interioară de curent

S-au simulat două situații: prescriere la 10 mm și prescriere la 5 mm, în aceleași condiții ale mărimilor perturbatoare. Figurile 3.30 prezintă rezultatele.

Din diagrama întrefierului se poate constata că, respectând datele de proiectare din funcționala de stare, timpul de răspuns al sistemului este de aproximativ 0.2 sec. Rejecția perturbațiilor este excelentă, micile variații datorate atât forței exterioare cât și a accelerației perturbatoare se datorează răspunsului finit al curentului. În cele două diagrame din partea de jos a figurii 3.29a sunt prezentate accelerațiile pentru cele două cazuri și accelerația perturbatoare (pe întreaga plajă de variație și detaliu). Aceasta din urma este urmată strict de  $\ddot{x}_m$ , rezultând în rejecția ei.



a) 1 - întrefierul, 2 - viteza, 3, 4(detaliu) - accelerația absolută și accelerația perturbatoare



b) 1 - curentul, 2 - forța electromagnetică și forța perturbatoare, 3, 4(detaliu) - funcționala de stare

Figura 3.30. Răspunsul SRA cu structură variabilă și buclă interioară de curent

În figurile 3.30b se pot remarca răspunsurile energice ale curentului și forței electromagnetice, precum și funcționala de stare în întregul interval și în detaliu.

Atât în curent, cât și în forța electromagnetică și accelerație se pot observa oscilațiile de înaltă frecvență datorate regulatorului de curent. Ele sunt însă în limite acceptabile, noile tipuri de semiconductoare de putere (IGBT-uri și tranzistoare MOS de putere) putând funcționa la aceste frecvențe.

Pentru a demonstra faptul că performanțele obținute se datorează modului de tratare separată a curentului în bucla de curent și nu doar creșterii tensiunii de alimentare la 850V, s-a simulat cu aceeași tensiune și sistemul din figura 3.22, cu funcționala de stare de ordinul 2. Rezultatele sunt redată în figurile



3.31. Se observă că rezultatele sunt similare cu cele din figurile 3.24, cu un răspuns ceva mai bun în raport cu forța exterioară dar în continuare fără ca sistemul să fie capabil de a rejecta accelerația perturbatoare.

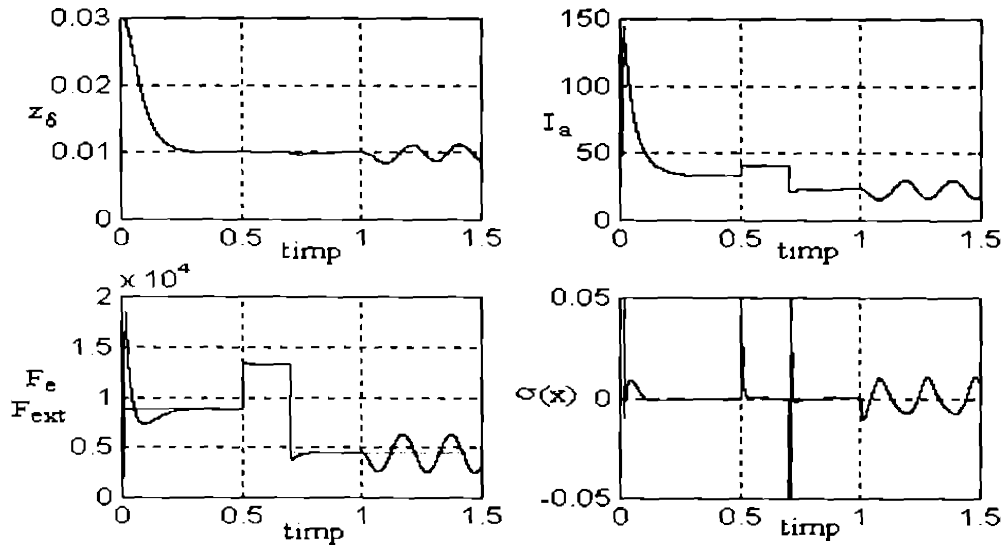


Figura 3.31. Răspunsul SRA fără buclă interioară de curent și tensiune de alimentare mărită

### 3.5 Concluzii asupra reglării în domeniul continual a S1E1GL

O analiză a rezultatelor obținute în paragrafele precedente permite desprinderea următoarelor concluzii:

1. Reglarea după stare, cu proiectare prin alocare de poli sau pe baza regulatorului linear pătratic conduce la rezultate diferite în funcție de vectorul de stare ales.
  - Alegerea accelerației absolute ca variabilă de stare reduce acțiunea perturbațiilor în măsură mai mare ca în celelalte două cazuri (curent sau flux).
  - Utilizarea curentului ca variabilă de stare are ca rezultat un răspuns mai rapid, necesitând variații mai mici ale tensiunii de alimentare, sistemul putând lucra cu chopere într-un singur cadran.
  - Fluxul, ca variabilă de stare, conferă sistemului o comportare uniformă pe o plajă largă de variație a întrefierului.
2. În toate trei situațiile, pentru performanțe acceptabile se recomandă utilizarea unui element de execuție (chopper) în două cadrane care permite o stingere mai rapidă a curentului și implicit a forței în electromagnet.
3. Rezultate mult îmbunătățite se pot obține prin introducerea unei bucle interioare de curent cu caracter de tip PD, prin utilizarea unui regulator bipozițional. Pentru controlul frecvenței maxime de comutație a elementelor de putere din elementul de execuție se utilizează un element bipozițional cu histerezis.
4. Coroborând rezultatele de până aici se estimează că utilizarea unui regulator cu structură variabilă poate îngloba avantajele și elimina parte din dezavantajele observate în reglarea după stare.
5. Pentru proiectarea regulatorului cu structură variabilă funcționând în regim alunecător se utilizează modelul cu variabilă de stare accelerația absolută, datorită formei cvasi-controlabile pe care o are. Pentru eliminarea oscilațiilor de înaltă frecvență în jurul punctului de regim staționar, proprii reglării cu structură variabilă, și totodată pentru menținerea erorii de regim staționar nulă, se introduce un element de tip PI pe funcționala de stare. Performanțele de reglare sunt excelente, consecvente pe un domeniu larg de variație a întrefierului. Sistemul de reglare elimină aproape în totalitate perturbațiile de tip forță exterioară dar nu are suficient efect asupra accelerației perturbatoare.

6. Dacă se poate măsura sau estima accelerația relativă  $\ddot{z}_g$ , atunci problema accelerației perturbatoare este rezolvată.
7. Pentru eliminarea tuturor perturbațiilor atunci când nu se poate măsura sau estima accelerația relativă se introduce o buclă interioară de curent, mult mai rapidă decât sistemul mecanic, reducând sistemul rezultat la unul de ordinul doi. Regulatorul de curent este realizat cu un element bipozițional fără histerezis și are un caracter proporțional-anticipativ. Proiectând pentru sistemul rezultat un regulator cu structură variabilă funcționând în regim alunecător, cu element de tip PI pe funcționala de stare se obține un sistem de reglare deosebit de robust, din punctele de vedere ale: punctului de funcționare, al variației parametrilor procesului și al eliminării perturbațiilor de tip forță exterioară și de tip accelerație perturbatoare.

Într-o implementare analogică, chiar și utilizând regulatoare cu structură variabilă, realizarea fizică a regulatorului astfel încât să țină cont de cât mai multe situații posibile (în sensul unei reglări adaptive) este destul de dificilă și de cele mai multe ori nepractică. Una din neliniaritățile de care de multe ori nu se ține cont în proiectare și care se manifestă frecvent este *limitarea energetică*, manifestată prin saturarea elementului de execuție la mărimi de comandă de amplitudine mare. În toate cazurile analizate până acum, banda de frecvență a sistemului în buclă închisă a fost aleasă astfel încât răspunsul să fie "unic" determinat de constantele C, din funcționala de stare, proiectarea făcându-se pentru cazul cel mai defavorabil.

Adaptarea parametrilor regulatorului cu structură variabilă în funcție de situația concretă ar permite obținerea unor performanțe sporite. Pentru exemplificare se prezintă în figura 3.32 traiectorii ale SIEIGL în planul  $(\dot{z}_g, \ddot{z}_g)$ , în buclă deschisă pentru tensiunea de alimentare a electromagnetului la cele două extreme (-200V și 200V) și pentru diferite forțe exterioare. Astfel, aplicând sistemului tensiunea maximă (accelerând) la întrefieruri de 30, 20 și 10 mm și forțe exterioare 0,  $3/4Mg$  și  $-3/4Mg$  se obțin curbele trasate cu roșu, verde și galben. Se observă că odată accelerat, traiectoria nu depinde semnificativ de mărimea forței exterioare. În schimb dacă se dorește decelerarea sistemului, astfel încât să treacă prin origine (curbele trasate cu albastru), efectul mărimii forței exterioare este semnificativ. Observația este deosebit de importantă: pornind de la un întrefier de 20 mm, forța exterioară fiind nulă, sistemul poate fi accelerat cel mult până în punctul A, când comanda trebuie să comute la -200V. Dacă se depășește acest punct, nu se mai poate atinge originea fără suprareglaj. Cu cât se întârzie mai mult cu atât suprareglajul va fi mai mare. Similar, în prezența unei forțe exterioare  $-3/4Mg$  care ajută decelerarea, sistemul poate fi accelerat mai mult, până în punctul B, iar în prezența forței perturbatoare  $3/4Mg$ , accelerarea este permisă doar pînă în punctul C.

Utilizarea unei singure curbe de comutație, așa cum s-a făcut în proiectare până acum trebuie să țină cont de situația cea mai nefavorabilă, trebuind aleasă curba  $\sigma_1(x)$ , când, probabil, răspunsul ar fi putut fi mult mai rapid. Chiar și dacă n-ar exista forțe perturbatoare, utilizarea unei curbe de comutație constante ar duce la  $\sigma_2(x)$  care ar putea avea alt aspect la un întrefier de start diferit. O curbă adaptivă  $\sigma_k(x)$  pare să dea rezultate mult mai bune.

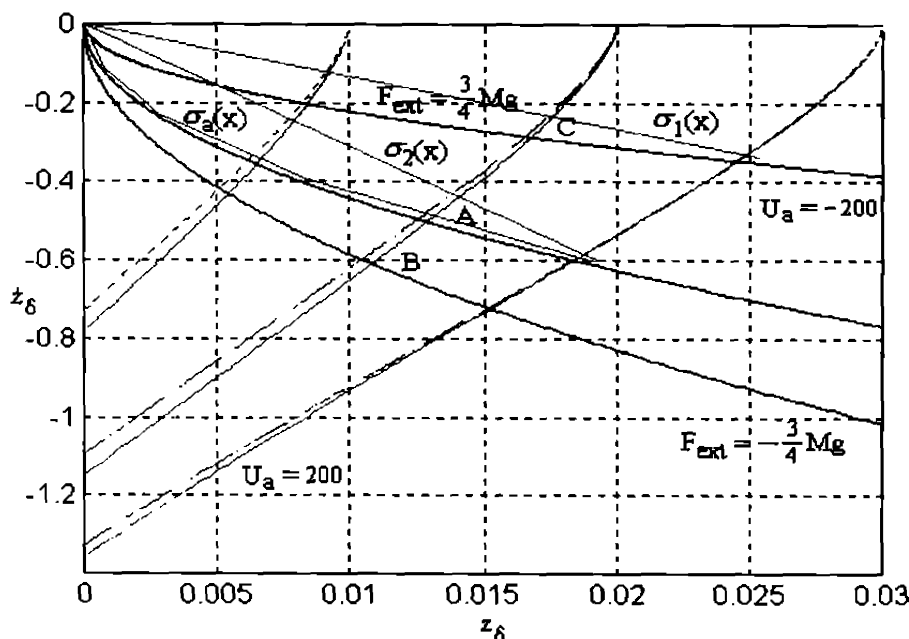


Figura 3.32. Curbe limită pentru S1E1GL

### 3.6 Reglarea numerică a S1E1GL

Implementarea numerică a sistemelor de reglare automată prezintă avantaje certe asupra implementărilor analogice. Marele lor avantaj este flexibilitatea pe care o permit, iar marele lor dezavantaj este viteza de calcul limitată. Acest dezavantaj poate fi minimizat prin alegerea judicioasă a perioadei de eșantionare, din care împreună cu complexitatea algoritmului de reglare decurge apoi alegerea unui echipament de calcul adecvat. În cele ce urmează se discută condițiile pentru implementarea digitală a unor algoritme analizate în paragrafele precedente, iar în continuare algoritme noi, cu parametrii de reglare adaptivi.

Dacă în varianta continuă toate simulările au fost făcute pentru un electromagnet cu forța portantă mare, cazul vehiculului cu susținere electromagnetică, în cele ce urmează analiza se va face pentru electromagnetul utilizat în cadrul modelului de laborator descris în paragraful 2.2.4 și ai cărui parametrii au fost discutați în anexa A2.1. Având în vedere condițiile impuse de o buclă interioară de curent asupra tensiunii de alimentare a electromagnetului, deduse în paragraful 3.4.2, se dorește de la început determinarea limitei inferioare a lui  $U_{a,max}$ . Pentru aceasta, plecând de la analiza benzii de pulsații a S1E1GL cu forță portantă redusă din anexa A2.5 se impune pentru sistemul de reglare a acestuia o bandă de pulsații limitată la 100 rad/sec. Alegând  $T(z_δ) = 0.079$  sec (un caz defavorabil la 0.5 mm) și  $t_f = 2\pi/1000$  sec, apoi impunând sistemului să poată răspunde la forțe exterioare de 20 daN la 3 mm, rezultă un curent  $i_a(t_f) = 16.28$  A. În fine, utilizând relația (3.68) se obține  $U_{a,max} = 80.7275$  V. Din motive practice se alege  $U_{a,max} = 170$  V.

**Observație:** În determinarea lui  $U_{a,max}$  trebuie avut grijă ca într-o funcționare normală, adică la un curent mult mai mic decât cel rezultat mai sus, factorul de umplere să nu fie exagerat de mic, altfel rezoluția necesară obținerii lui devine inacceptabilă din punct de vedere practic. În cazul considerat, în absența forței exterioare și la un întrefier nominal de 1.5 mm tensiunea medie pe electromagnet trebuie să fie de 9274V, adică un factor de umplere de  $0.9274V/170V = .55\%$ , încă realizabil într-o construcție analogică a regulatorului de curent.

Se analizează în continuare situația reglării numerice a SIE1GL funcționând în regim alunecător cu element de tip PI pe ieșire, bazat pe vectorul de ieșire  $y^T = [\dot{z}_\delta \quad \ddot{z}_\delta \quad \ddot{z}_m]$  și situația reglării numerice a SIE1GL funcționând în regim alunecător cu buclă analogică de curent, cu element de tip PI pe ieșire și vector de ieșire  $y^T = [\dot{z}_\delta \quad \ddot{z}_\delta]$ .

### 3.6.1 Reglarea numerică a SIE1GL funcționând în regim alunecător, cu element PI la ieșire

Schema bloc a sistemului de reglare a SIE1GL considerată este următoarea:

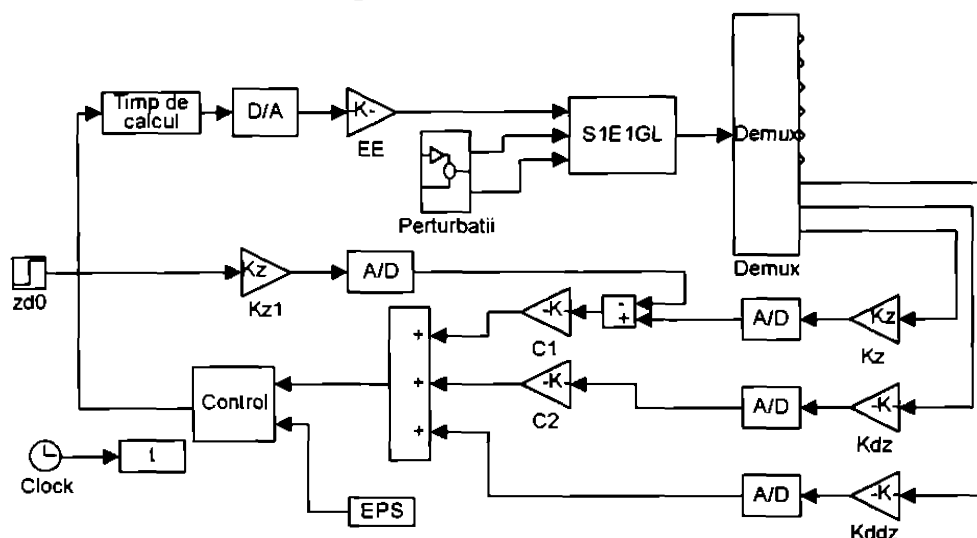


Figura 3.33. Schema bloc a SRA discret

Pentru o simulare cât mai corectă a situației reale s-au luat în considerare traductoarele de întrefier, viteză și accelerație, coeficientul de transfer al elementului de execuție, cât și amplificările introduse de convertorul analog-numeric și numeric-analogic. Astfel, considerând că la intrarea convertorului numeric analogic se aplică semnale între 0 și 5 V, în urma calculului coeficientului de transfer al traductoarelor și a deplasărilor de nivel necesare s-au obținut  $Kz=1666.7 \text{ V/m}$ ,  $Kdz=16.67 \text{ V/m-sec}^{-1}$  și  $Kddz=0.125 \text{ V/m-sec}^{-2}$ . Banda de frecvență a traductoarelor s-a considerat suficient de largă pentru a putea aproxima traductoarele cu elemente proporționale.



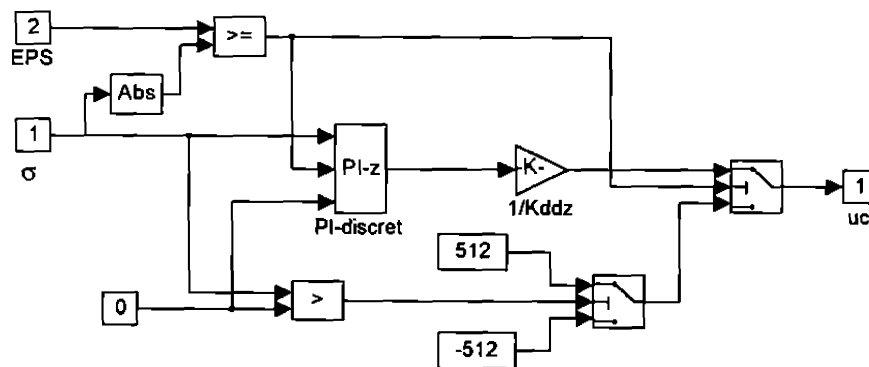
Figura 3.34. Implementarea în SIMULINK a CAN și CNA

Ambele convertoare sunt pe 10 bit, cuanta la achiziție fiind  $5/1024=4.88 \text{ mV/bit}$ . Achiziția este făcută la fiecare perioadă de eșantionare  $T_e$  și amplificarea CAN-ului este  $204.8 \text{ bit/V}$ . Convertorul numeric-analogic limitează rezultatul calculului la  $\pm 511 \text{ bit}$  și cum lucrează cu numere întregi, se ia doar partea întreagă a rezultatului (blocul [X]). Amplificarea CNA-ului este  $4.88 \text{ mV/bit}$ .

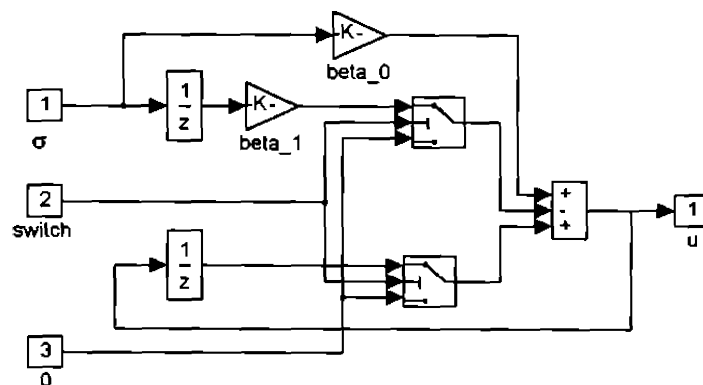
Durata calculului din momentul achiziției și până la furnizarea comenzii s-a luat în considerare prin blocul de întârziere pură "Timp de calcul" și în cele ce urmează se va nota cu  $T_d$ .

Elementul de execuție trebuie să aplice  $u_{\alpha, max}$  pentru 5V la intrare, având amplificarea 34 V/V.

Blocul "Control" implementează algoritmul (3.38) cu condițiile (3.40). În figura 3.35a este prezentată schema bloc a "Control"-ului, iar în figura 3.34b este explicat blocul "PI-discret". Se observă că în funcție de semnul intrării  $\sigma$  (funcționala de stare) se selectează între valorile extreme +512 sau -512, iar în urma comparării funcționalei de stare cu un prag impus (EPS) se selectează între ieșirea elementului de tip PI sau una din valorile extreme. Atâta timp cât modulul funcționalei de stare este mai mare ca EPS (figura 3.35b)  $u_{k-1}$  și  $\sigma_{k-1}$  sunt forțate la zero.



a) Blocul "Control"



c) Blocul "PI-discret"

Figura 3.35

Proiectarea acestui sistem de reglare presupune alegerea a 5 parametri:

- perioada de eșantionare  $T_e$  și durata calculului algoritmului de reglare  $T_d$  - valori care afectează ecuațiile discretizate ale procesului,
- $K_r$  și  $T_i$ , coeficientul de transfer și constanta de timp de integrare - valori care determină elementul de tip PI și deci proprietățile de menținere a sistemului pe curba de comutație,
- $\epsilon$  (EPS în schema bloc) - valoare ce determină lărgimea "tubului".

Perioada de eșantionare se alege astfel încât să se respecte *condiția practică* a teoremei eșantionării, adică de cel puțin 10 ori mai mică decât cea mai mică constantă de timp a procesului. Trebuie

ținut cont, de asemenea, că în cazul unui regulator cu structură variabilă, datorită amplificărilor de valori foarte mari, pentru anumite situații mărimile în proces pot avea viteze de variație mari, comanda neputând reacționa la alegerea unei perioade de eșantionare la limita superioară, în timp util.

Timpul de întârziere de calcul depinde de complexitatea algoritmului de reglare și de viteza echipamentului de calcul de care se dispune. Este o mărime care se va determina în urma simulărilor și a evaluării calculelor necesare. În urma acestei operații se va putea selecta hardware-ul necesar implementării practice.

Proiectarea parametrilor elementului de tip PI se face ca și în cazul continuu, plecând de la forma discretă a polinomului caracteristic (3.63). Determinarea acestuia se face cu ajutorul schemei bloc informaționale:

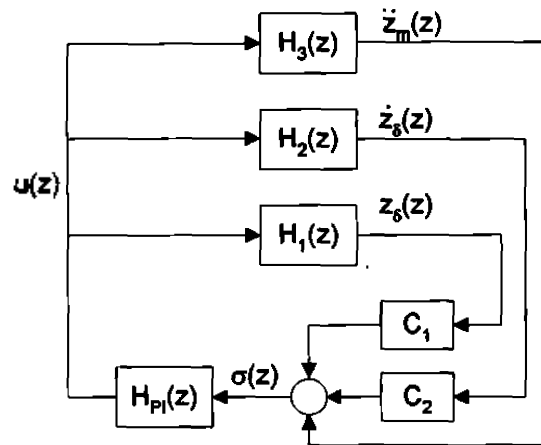


Figura 3.36. Schema bloc a SRA discret în domeniul "z"

Prin discretizarea sistemului (2.30) ca realizare invariantă la semnal treaptă se pot scrie funcțiile de transfer:

$$H_1(z) = \frac{z_s(z)}{u_a(z)} = \frac{n_1(z)}{\mu_0(z)}, \quad H_2(z) = \frac{\dot{z}_s(z)}{u_a(z)} = \frac{n_2(z)}{\mu_0(z)}, \quad H_3(z) = \frac{\ddot{z}_m(z)}{u_a(z)} = \frac{n_3(z)}{\mu_0(z)} \quad (3.73)$$

Pentru elementul PI se poate scrie:

$$H_{PI}(z) = \frac{u_a(z)}{\sigma(z)} = \frac{\beta_0 z - \beta_1}{z - 1} \quad \text{cu} \quad \beta_0 = K_r + \frac{T_e}{2T_l} \quad \text{și} \quad \beta_1 = K_r - \frac{T_e}{2T_l} \quad (3.74)$$

În buclă închisă polinomul caracteristic al sistemului de reglare este numărătorul expresiei:

$$1 - H_{PI}(z)[c_1 H_1(z) + c_2 H_2(z) + H_3(z)]$$

adică

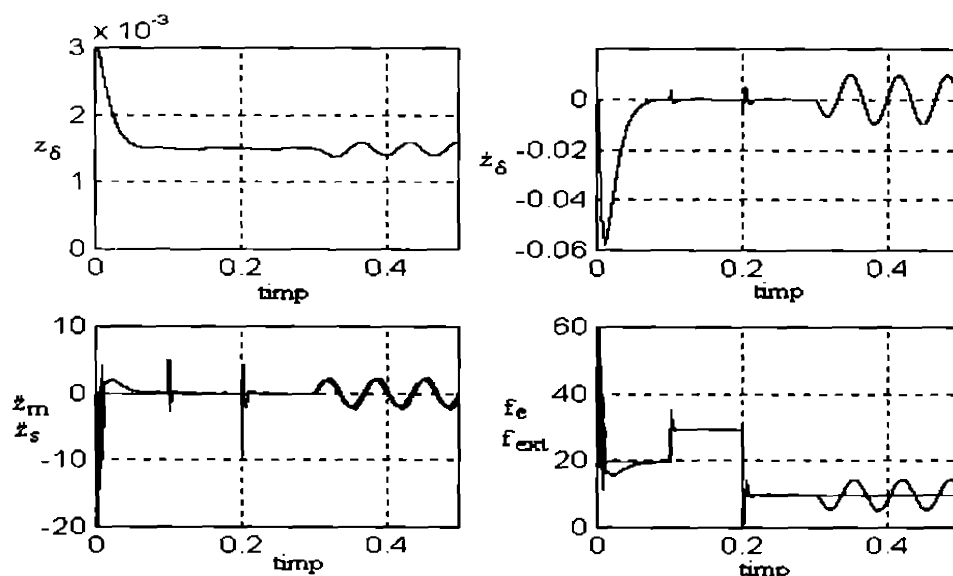
$$\begin{aligned} \mu(z) &= \mu_0(z)(z - 1) - (\beta_0 z - \beta_1)[c_1 n_1(z) + c_2 n_2(z) + n_3(z)] = \\ &= \mu_0(z)(z - 1) - \frac{T_e}{2T_l}(z + 1)[c_1 n_1(z) + c_2 n_2(z) + n_3(z)] - K_r(z - 1)[c_1 n_1(z) + c_2 n_2(z) + n_3(z)] \end{aligned} \quad (3.75)$$

Poliile sistemului în buclă închisă sunt rădăcinile acestui polinom și ele depind de perioada de eșantionare și întârzierea de calcul [explicit sau implicit prin  $\mu_0(z)$ ,  $n_1(z)$ ,  $n_2(z)$  și  $n_3(z)$ ] și de parametrii elementului PI [explicit prin  $K_r$  și  $T_l$ ]. În Anexa A3.1 se face o analiză detaliată a modului în care acești parametri influențează poziția polilor sistemului de reglare automat.

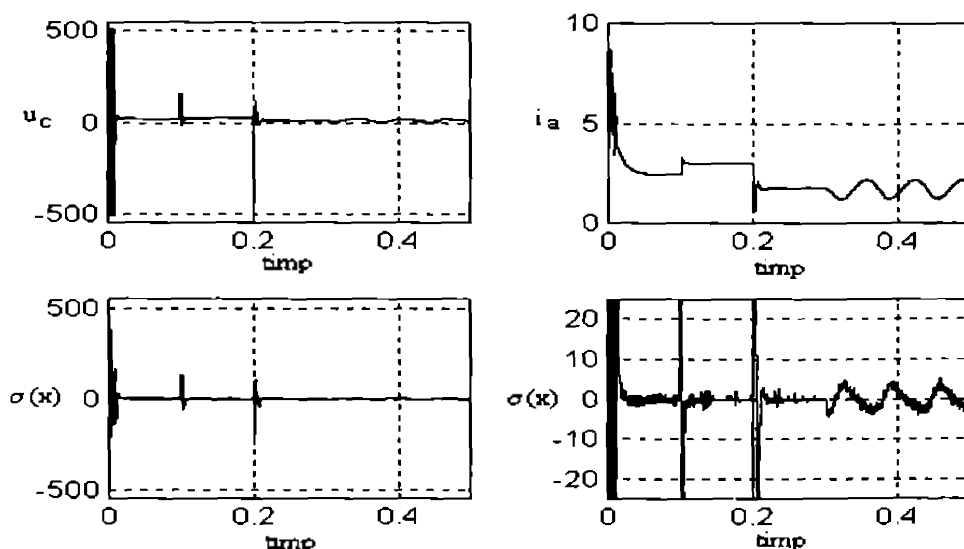
Un prim set de parametri rezultat în urma acestei analize este dat de  $T_e=500\mu\text{sec}$ ,  $T_d=300\mu\text{sec}$ ,  $K_p=1.3$  și  $T_i=3\text{msec}$ .

Un ultim parametru ce trebuie ales este  $\varepsilon$ . Alegerea valorii acestuia depinde de cât de mult se permite sistemului să se abată de la traiectoria impusă prin funcționala de stare. Alegerea unei valori mari va conduce la un sistem relaxat, cu variații relativ mici ale mărimilor de comandă la variații ale perturbațiilor și deci cu abateri mai mari de la traiectoria impusă. Alegerea unei valori mici conduce la un sistem rigid, cu un răspuns foarte energetic la variații mici ale mărimilor perturbatoare. Aceasta are dezavantajul că datorită întârzierii produse de perioada de eșantionare, mărimea de comandă și deci tensiunea pe electromagnet vor avea inițial oscilații mari.

Figurile 3.37a și 3.37b prezintă rezultatele simulărilor sistemului din figura 3.32 cu acești coeficienți.



a) 1 - întrefier, 2 - viteză, 3 - accelerația absolută și perturbatoare, 4 - forța electromagnetică și perturbatoare



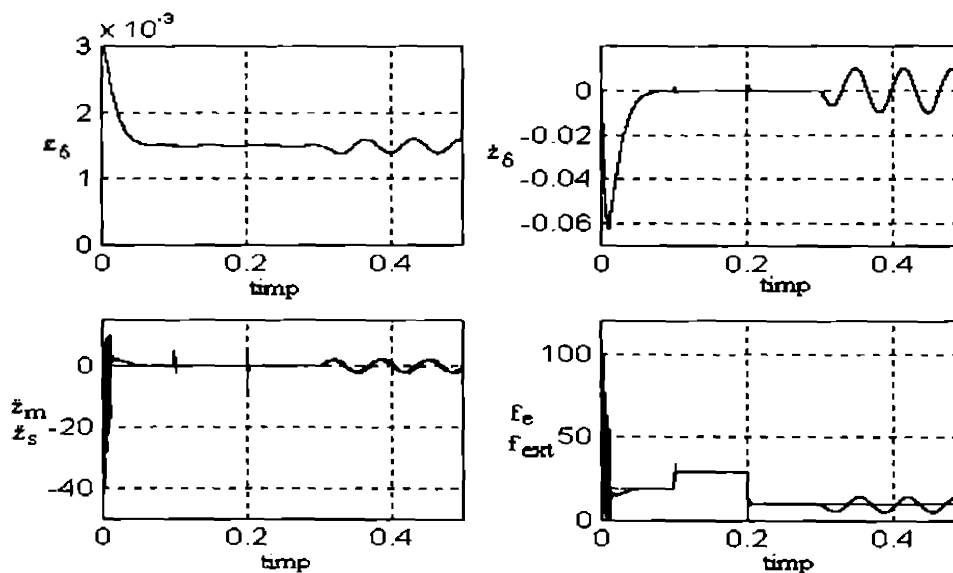
b) 1 - comanda, 2 - curentul, 3,4 (detaliu) - funcționala de stare

Figura 3.37. Răspunsul SRAN a SIE1GL cu  $T_e=500\mu\text{sec}$ ,  $T_d=300\mu\text{sec}$ ,  $K_p=1.3$  și  $T_i=3\text{msec}$ .

Datorită perioadei de eșantionare și a timpului de calcul relativ mari, a trebuit găsit un compromis între o valoare rezonabilă a lui  $\varepsilon$  și tensiunea de alimentare. Astfel aceasta din urmă a trebuit coborâtă la 80V, reducând din capabilitatea sistemului de a răspunde la perturbații de tip forță exterioară. Astfel, după aplicarea semnalului treaptă de întrefier la momentul  $t_0=0$  și atingerea regimului staționar, la momentul  $t_1=0.1\text{sec}$  se aplică o forță perturbatoare  $F_{ext}=0.5Mg$ . După alte 0.1 sec se aplică o forță exterioară negativă  $F_{ext} = -Mg$ . În fine, la  $t_3 = 0.3\text{sec}$  se introduce o perturbație de tip accelerație de amplitudine  $2\text{ m/sec}^2$  și cu frecvența de 15 Hz.

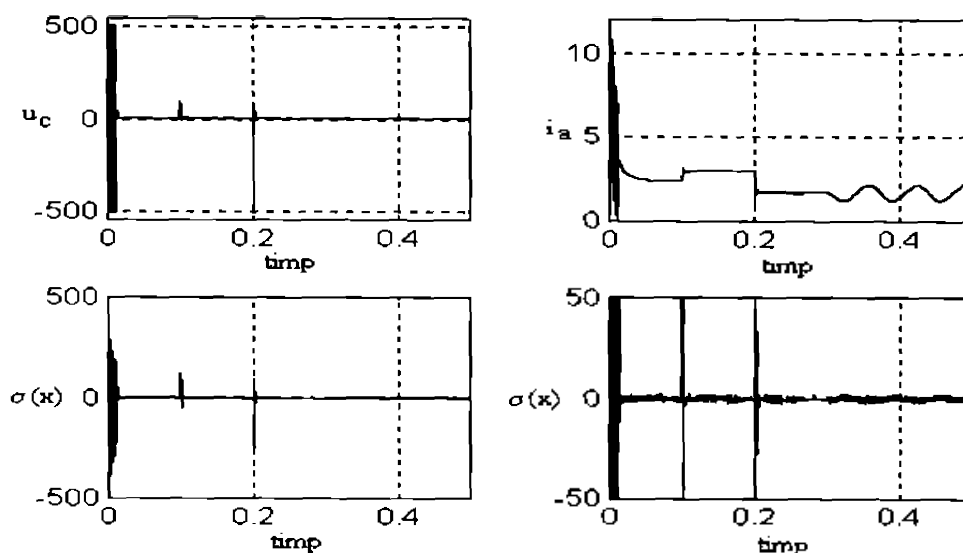
Similar cazului continuu, diagramele confirmă un răspuns aperiodic în timpul scontat și o bună rejecție a perturbației de tip forță exterioară. Accelerația perturbatoare se face însă simțită în toate mărimile, eliminarea ei fiind slabă. În prima figură din 3.37b este reprezentată mărimea de comandă (între -511 și 511 unitați binare), cu oscilații de frecvență ridicată la aplicarea treptei referință, oscilații care apoi se regăsesc și în curent, forță electromagnetică și accelerație. Atunci când se aplică forța perturbatoare cu semn negativ, funcționala de stare depășește pragul impus de  $\varepsilon$  și regulatorul răspunde extrem de energic prin aplicarea întregii tensiunii negative procesului. Ultima figură din 3.37b prezintă un detaliu al funcționalei de stare în care se pot remarca oscilații datorate cuantizării convertorului analog numeric și perioadei de eșantionare.

Un al doilea set de parametri determinat în anexa A3.1 a fost proiectat pentru o perioadă de eșantionare mai mică, astfel încât să se poată utiliza întreaga tensiune de alimentare de 170V. Așadar  $T_e=250\mu\text{sec}$ ,  $T_i=100\mu\text{sec}$ ,  $K_r=2.73$  și  $T_f=50\mu\text{sec}$ . Se obțin rezultatele reprezentate în figurile 3.38.



a) 1 - întrefier, 2 - viteza, 3 - accelerația absolută și perturbatoare, 4 - forța electromagnetică și perturbatoare





b) 1 - comanda, 2 - curentul , 3,4 (detaliu) - funcționala de stare

Figura 3.38. Răspunsul SRAN a S1E1GL cu  $T_e=250\mu\text{sec}$ ,  $T_d=100\mu\text{sec}$ ,  $K_r= 2.73$  și  $T_i=50\mu\text{sec}$

Simulările au fost făcute în aceleași condiții ale mărimilor de intrare. Mărimile din proces ajung la valori mai mari decât în primul caz datorită rezervei suplimentare de tensiune, crescând robustețea la perturbații.

**Observație:** Proiectarea parametrilor elementului PI pe ieșire nu determină performanțele de răspuns în timp ale sistemului de reglare. Acestea sunt în continuare stabilite prin constantele funcționalei de stare  $c_1$  și  $c_2$ .  $K_r$  și  $T_i$  determină doar cât de fidel și de rapid poate urmări sistemul curba de comutație, în condițiile în care se dorește eliminarea oscilațiilor de înaltă frecvență pe aceasta.

### 3.6.2 Reglarea numerică a S1E1GL cu buclă de curent analogică.

Schema bloc utilizată în acest caz este:

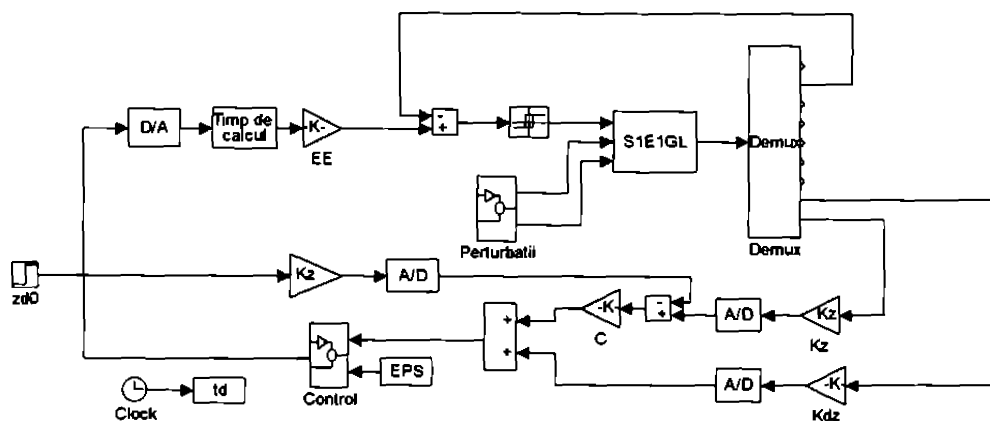
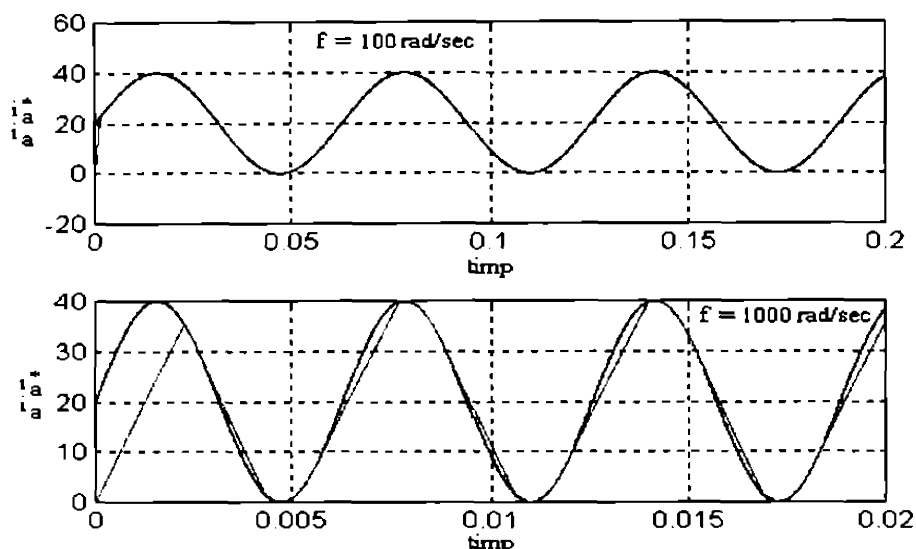


Figura 3.39. SRA discret cu buclă analogică de curent

Blocurile componente sunt cele descrise în paragraful precedent, cu excepția blocului "Control" în care limita inferioară este fixată la 0, corespunzând la 0 amperi (figura 3.35a) Regulatorul de curent

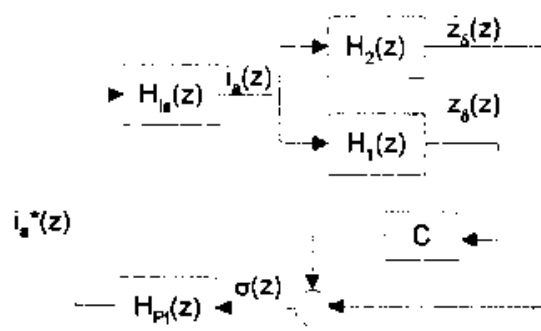
analogic este fără histerezis și o simulare a buclei interioare de curent cu sistemul din figura 3.26 conduce la rezultatele:



**Figura 3.40. Simularea buclei interioare de curent pentru electromagnetul cu forță portantă redusă**

*In concluzie curentul poate urmări prescrierea până la cel puțin de 10 ori pulsația limită impusă sistemului prin constanta C a funcționalei de stare.*

Ca și în cazul analizat în paragraful precedent proiectarea constă în alegerea celor cinci parametrii  $T_e$ ,  $T_d$ ,  $T_r$ ,  $K_r$  și  $\varepsilon$ , alegere care se face în Anexa A3.1.1, plecând de la schema bloc:



**Figura 3.41. SRA discret în domeniul "z"**

Prin discretizarea sistemului (3.66) se pot scrie funcțiile de transfer:

$$H_1(z) = \frac{z_\delta(z)}{i_a(z)} = \frac{n_1(z)}{\mu_0(z)}, \quad H_2(z) = \frac{\dot{z}_\delta(z)}{i_a(z)} = \frac{n_2(z)}{\mu_0(z)} \quad (3.76)$$

Pentru elementul PI se utilizează relațiile (3.74), iar regulatorul de curent discretizat are funcția de transfer

$$H_{\pi\sigma}(z) = \frac{i_a(z)}{i_a^*(z)} \quad (3.77)$$

de tip PT1 dar cu frecvența așa de ridicată încât poate fi aproximat cu un element de tip proporțional.

În buclă închisă polinomul caracteristic al sistemului de reglare are expresia:

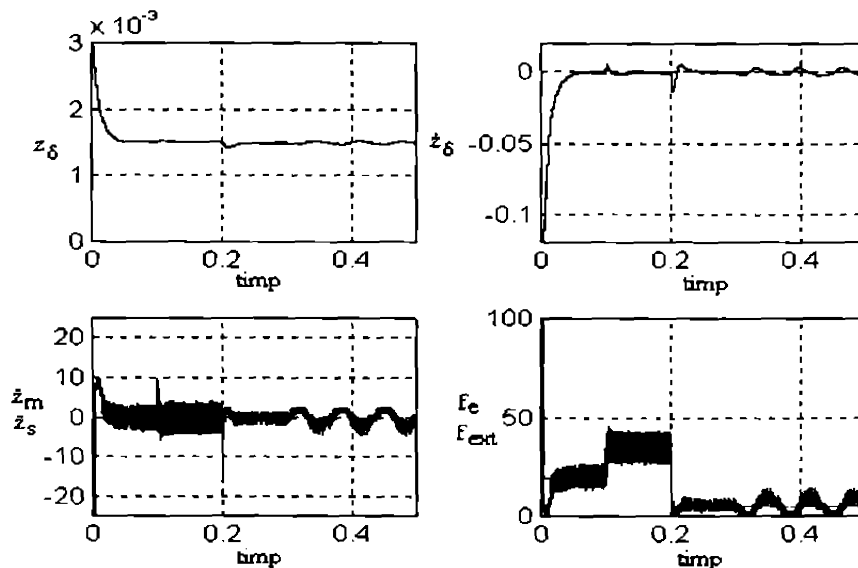
$$\begin{aligned} \mu(z) &= \mu_0(z)(z-1) - (\beta_0 z - \beta_1)[c_1 n_1(z) + n_2(z)] = \\ &= \mu_0(z)(z-1) - \frac{T_r}{2T_i}(z+1)[c_1 n_1(z) + n_2(z)] - K_r(z-1)[c_1 n_1(z) + n_2(z)] \end{aligned} \quad (3.78)$$

O analiză detaliată a polilor acestui polinom se face tot în anexa A3.1.

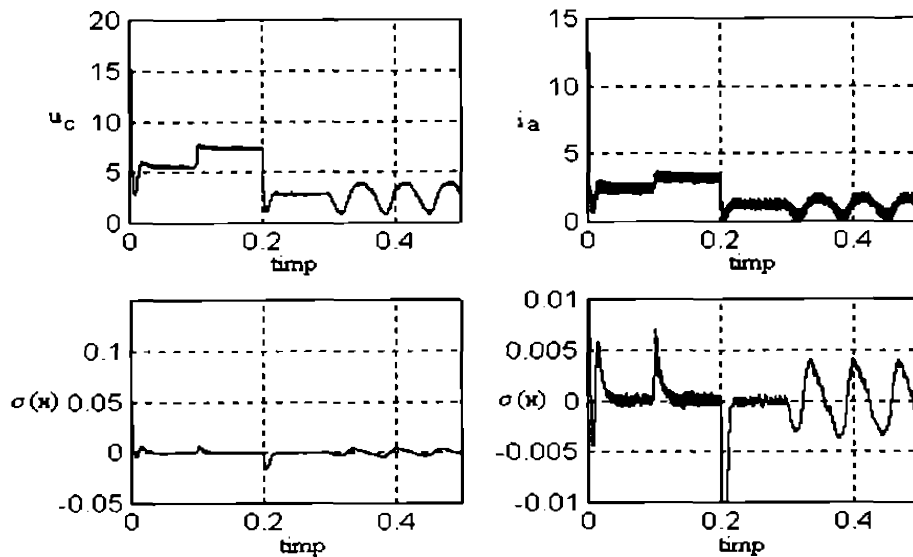
Pentru primul set de parametri stabilit, adică  $T_c=500\mu\text{sec}$ ,  $T_u=250\mu\text{sec}$ ,  $T_i=50\mu\text{sec}$  și  $K_r=90$ , s-a obținut un răspuns stabil dar datorită perioadei de eșantionare mari, ca și în studiul anterior răspunsul nu a fost cel așteptat. Spre deosebire de situația anterioară însă, în care efectul perioadei de eșantionare mari a fost catastrofal pentru tensiunea nominală de 170 V, pentru acest sistem s-a obținut un răspuns cu suprareglaj: reacția sistemului atunci când întrefierul a trecut de țintă a fost foarte energetică și după un interval mai lung decât cel proiectat, s-a obținut regimul staționar. Scăzând perioada de eșantionare la 400μsec, cu ceilalți parametri neschimbați s-a obținut răspunsul scontat. Mai mult, forța perturbatoare exterioară cu semnul pozitiv aplicată la 0.1 sec de la pornire a putut fi crescută de la 50 la 75% din greutatea ansamblului, iar cea negativă după alte 0.1 sec, la 150%. Diagramele corespunzătoare sunt prezentate în figurile 3.42.

Se constată că răspunsul obținut la prescrierea treaptă este din nou aperiodic, respectând evoluția impusă prin ecuația funcționalei de stare. Perturbațiile sunt eliminate aproape complet, atât din punct de vedere al forței exterioare cât și a accelerației perturbatoare. Ele sunt reprezentate în figurile de pe linia a doua a lui 3.42a (verde). Simulările au fost făcute cu un pas minim impus de 2μsec pentru a obține oscilațiile în curent și apoi în forța electromagnetică și accelerație identice ca amplitudine cu cele reale la o frecvență de choppare de 50 kHz. Atunci când se aplică treapta pozitivă de forță exterioară sistemul funcționează la un curent mai mare, motiv pentru care și oscilațiile sunt mai mari.

Pentru majoritatea mărimilor reprezentarea s-a făcut la o astfel de scară încât variațiile lor în apropierea punctului de funcționare staționară și la perturbații să fie vizibile, tăind din oscilațiile inițiale când regulatorul oscilează între  $u_{a,max}$  și  $u_{a,min}$ .



a) 1 - întrefier, 2 - viteza, 3 - accelerația absolută și perturbatoare, 4 - forța electromagnetică și perturbatoare



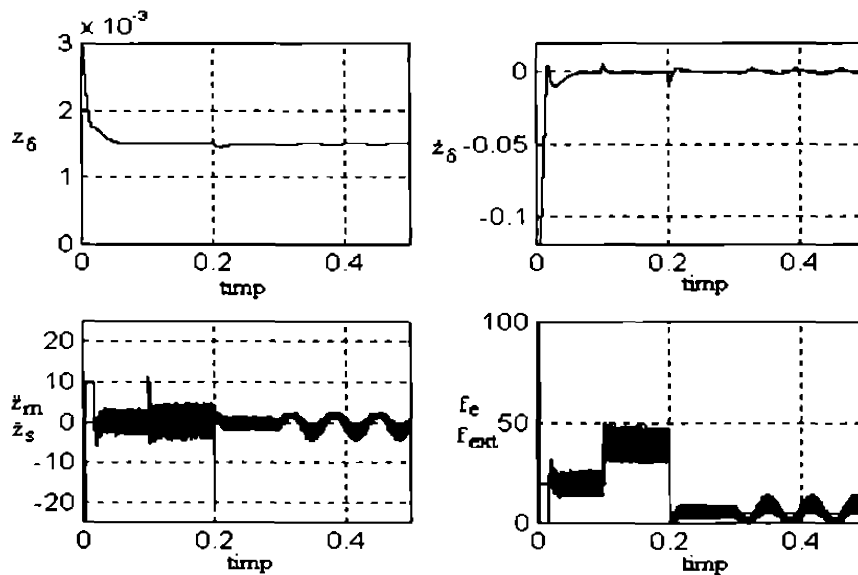
b) 1 - comanda, 2 - curentul, 3,4 (detaliu) - funcționala de stare

Figura 3.42. Răspunsul SRAN a SIE1GL cu  $T_e=500\mu\text{sec}$ ,  $T_f=250\mu\text{sec}$ ,  $T_r=50\mu\text{sec}$  și  $K_r=90$

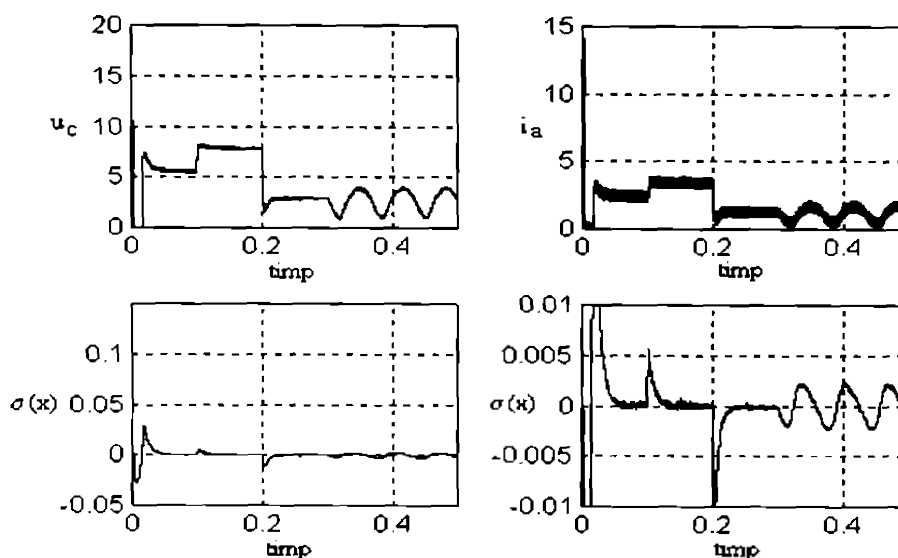
Mărimea de ieșire a elementului PI s-a notat în mod convențional  $u_c$  (mărime de comandă). Ea are la început variații între 511 și 0 (unități binare), apoi funcționala de stare coboară sub pragul  $\varepsilon$  și sistemul evoluează în "tubul" impus.

Răspunsul extrem de energetic la aplicarea semnalului treaptă de întrefier de referință a împiedecat utilizarea unei perioade de eșantionare mai ridicată și a unui timp de întârziere de calcul mai mare. O alternativă care se va studia ulterior va utiliza o prescriere rampă, cazul real într-un sistem de reglare practic.

Se consideră un al doilea set de parametri,  $T_e=250\mu\text{sec}$ ,  $T_f=100\mu\text{sec}$ ,  $T_r=6\mu\text{sec}$  și  $K_r=180$ , pentru care răspunsul sistemului în aceleași condiții de prescriere este reprezentat în figurile 3.43.



a) 1 - întrefier, 2 - viteza, 3 - accelerația absolută și perturbatoare, 4 - forța electromagnetică și perturbatoare



b) 1 - comanda, 2 - curentul, 3,4 (detaliu) - funcționala de stare

Figura 3.43. Răspunsul SRAN a S1E1GL cu  $T_e=250\mu\text{sec}$ ,  $T_f=100\mu\text{sec}$ ,  $T_r=6\mu\text{sec}$  și  $K_r=180$

Utilizarea unei perioade de eșantionare mai redusă permite aplicarea unor forțe perturbatoare și mai mari. Astfel treapta pozitivă este 100% din greutatea  $Mg$ , iar cea negativă 175%, reducând în final forța electromagnetică necesară susținerii la 25%.

Comparativ cu rezultatele obținute anterior se observă că deși oscilațiile de curent, forță și accelerație sunt la fel de mari (lucru normal, frecvența de lucru a chopperului fiind aceeași), totuși în funcționala de stare ele sunt mai mici. Si variațiile funcționalei la aceleași perturbații sunt mai reduse, iar răspunsul în întrefier mai curat cu toate că amplitudinea perturbațiilor este mai mare.

### 3.6.3 Concluzii legate de reglarea numerică a S1E1GL

În ultimele doua paragrafe s-au studiat performanțele ce se pot obține în reglarea numerică a S1E1GL cu funcționare în regim alunecător. Algoritmii de reglare au fost aleși pe baza analizei în continuu a diferitor tipuri de metode de reglare, toate funcționând în regim alunecător. S-a considerat că cele mai bune rezultate se pot obține prin introducerea unui element PI pe funcționala de stare atunci când valoarea acesteia se află în interiorul unui "tub" de lărgime  $\varepsilon$ . Apoi, prin utilizarea unui bucle de curent interioare foarte rapide, ecuațiile procesului se pot pune în mod natural sub formă canonică controlabilă, rejecția perturbațiilor fiind din punct de vedere teoretic integrală. În plus se poate reduce ordinul funcționalei de la 3 la 2, cu avantajul reducerii timpului de calcul.

**Observație:** Așa cum s-a mai menționat în această lucrare, atunci când un sistem este forțat să lucreze în regim alunecător și starea sa se află tot timpul pe o curbă determinată de funcționala de stare, dinamica sistemului de reglare este fixată: răspunsul sistemului este impus prin coeficienții lui  $\sigma(t,x)$ . Utilizarea elementului PI sau a altei structuri între funcționala de stare și comandă are ca scop menținerea cât mai precisă, fără oscilații a condiției  $\sigma(t,x)=0$ .

Reanalizând rezultatele din 3.6.1, 3.6.2 și anexa A3 1 se pot trage următoarele concluzii:

1. Ambele algoritme aduc sistemul neperturbat la referința impusă în intervalul de timp scontat, determinat de coeficienții  $c_1$  și  $c_2$ , respectiv  $c$ , anulând funcționala de stare

2. Valorile determinate în anexa A3.1 pentru perioada de eșantionare, timp de întârziere de calcul și parametrii elementului PI sunt confirmate în urma simulărilor atunci când sistemul lucrează în interiorul "tubului". Reacția deosebit de energetică în afara acestui domeniu introduce o nouă neliniaritate de care nu s-a ținut seama în proiectare. Din acest motiv, în anumite situații perioada de eșantionare trebuie scăzută și implicit și timpul de întârziere de calcul.
3. Ca și în cazul continuu, rejecția perturbației de tip forță exterioară este mai bună calitativ atunci când se utilizează ca mărime de intrare în control accelerația, decât a doua variantă cu buclă interioară de curent. Observația nu mai este valabilă cantitativ: atunci când forța exterioară depășește o anumită limită, sistemul cu măsurarea accelerației nu răspunde suficient de rapid și ajunge în saturație. Accelerația perturbatoare nu este sesizată în măsura necesară, motiv pentru care ea se face simțită destul de mult în întrefier.
4. Utilizarea buclei analogice de curent permite sistemului să facă față la perturbații ale forței exterioare de amplitudine mult mai mare și în același timp este realizată și rejecția accelerației. Timpul de întârziere de calcul afectează mai mult acest sistem de reglare datorită faptului că el a fost proiectat în ipoteza unui răspuns extrem de rapid în curent, răspuns întârziat de  $T_d$ .
5. În urma a numeroase simulări (nu toate s-au prezentat în lucrare) se observă că *timpul de întârziere de calcul afectează foarte mult calitatea sistemului de reglare*. Este de fapt vorba nu atât de mulțimea calculelor care trebuiesc efectuate cât de intervalul de timp scurs între momentul în care mărimile de ieșire ale procesului sunt achiziționate și momentul la care mărimea de comandă este furnizată elementului de execuție. Performanțele și calitatea sistemului de reglare pot fi îmbunătățite dacă în implementare se are în vedere acest fapt: se fac mai întâi calcule legate de mărimile achiziționate anterior (cele cu indice " $k-1$ ") și întârziind achiziția cât mai mult posibil.

### 3.7 Reglarea numerică a S2E1GL

În paragraful 2.2 s-a discutat modelarea sistemului cu 2 electromagneți și 1 grad de libertate, utilizat în modelul de laborator menționat în același paragraf. Tot în capitolul 2, dar în paragraful 2.3, în modelarea unui lagăr magnetic s-a arătat că el poate fi aproximat ca un ansamblu de 5 subsisteme slab interconectate, fiecare subsistem fiind constituit dintr-un sistem cu 2 electromagneți și 1 grad de libertate. Reglarea numerică a S2E1GL este așadar importantă atât din punctul de vedere al modelului de laborator cât și prin definirea sistemului de reglare de bază al unei axe a unui lagăr electromagnetic.

Se analizează în cele ce urmează doar sistemul de reglare funcționând în regim alunecător, cu buclă de curent analogică interioară și element de tip PI pe funcționala de stare.

Întregul sistem a fost modelat în SIMULINK, schema bloc fiind cea din figura 3.44. Este de fapt o reluare a schemei bloc din figura 3.39.

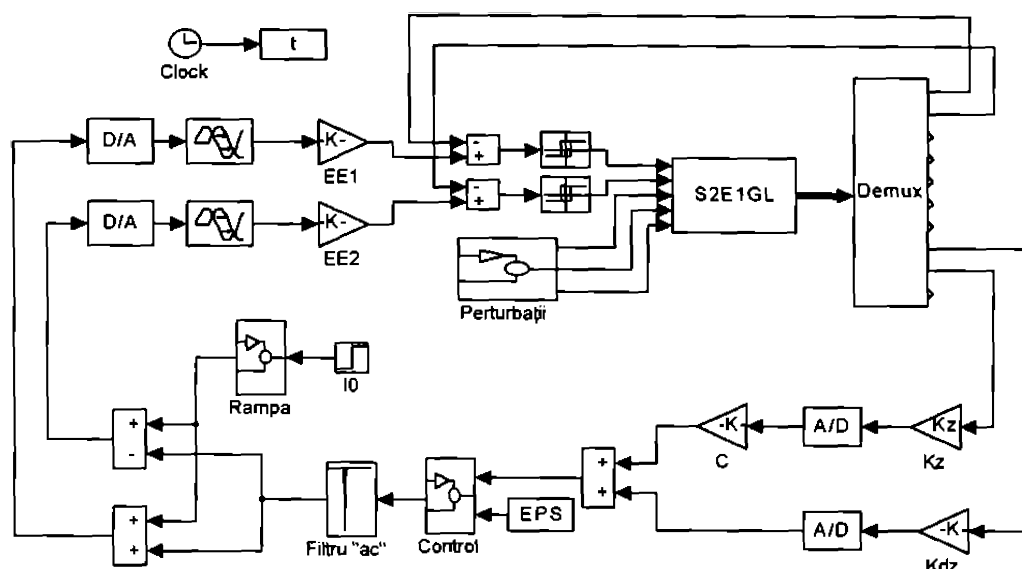


Figura 3.44. Sistemul de reglare numerică a S2E1GL.

De data aceasta sistemul de reglare are două bucle interioare de curent, câte una pentru fiecare electromagnet, prescrierea de curent fiind însă comună, unică. Conversoarele analog - numerice, numeric - analogice și elementele de execuție au fost descrise în paragraful precedent. Blocul "Control" este de asemenea identic cu cel utilizat în sistemul de reglare anterior. Apar două blocuri noi, unul este "Filtru ac", utilizat în rejecția oscilațiilor datorate rezonanțelor mecanice ale sistemului, iar al doilea "Rampă". Acesta din urmă este prezentat în figura 3.45, iar rolul lui este de a pretensiona printr-o rampă sistemul la o valoare a curentului  $I_0$ . Este de fapt un simplu integrator cu panta dată de constanta notată  $did/dt$  și limitată la valoarea prescrisă  $I_0$ .

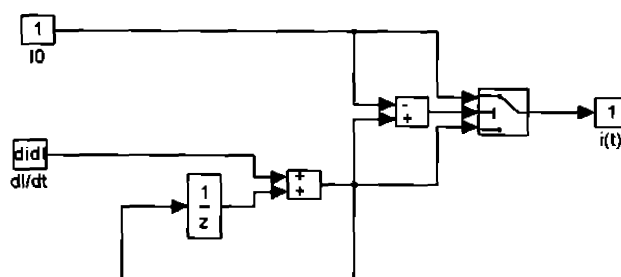


Figura 3.45. Blocul "Rampa"

Procesul este modelat prin blocul S2E1GL, bloc ce se reprezintă în figura 3.46, în care cu linia mai pronunțată este reprezentat vectorul mărimilor de ieșire ale sistemului mecanic. Se respectă ecuațiile neliniare (2.85), cu cele două ramuri ce determină forțele electromagnetice pentru electromagnetul poziționat superior  $F_{e1}$  și cel inferior  $F_{e2}$  și cu partea mecanică înglobată în blocul "Mecanic". Asupra sistemului acționează cele trei tipuri de perturbații: forța exterioară  $F_{ext}$ , accelerație absolută  $\ddot{z}_m$  și eroarea de prelucrare  $z_s$ . Deoarece în continuare chopperele sunt în două cadrane, în sistem nu pot exista curenți, respectiv fluxuri cu semn negativ. Pentru a ține cont de acest aspect în simulare, elementele integratoare sunt cu limitare și resetabile, ele fiind explicitate în figura 3.47. În figura 3.48 este prezentată modelarea părții mecanice a procesului. Sunt prezente și aici limitările la zero ale accelerațiilor și vitezei atunci când

electromagnetul se lipește de jugul feromagnetic sau ajunge la limita superioară, fixate la 0 respectiv 3 mm, corespunzând unei variații a întrefierului fictiv  $z_g$  între -1.5 și 1.5 mm

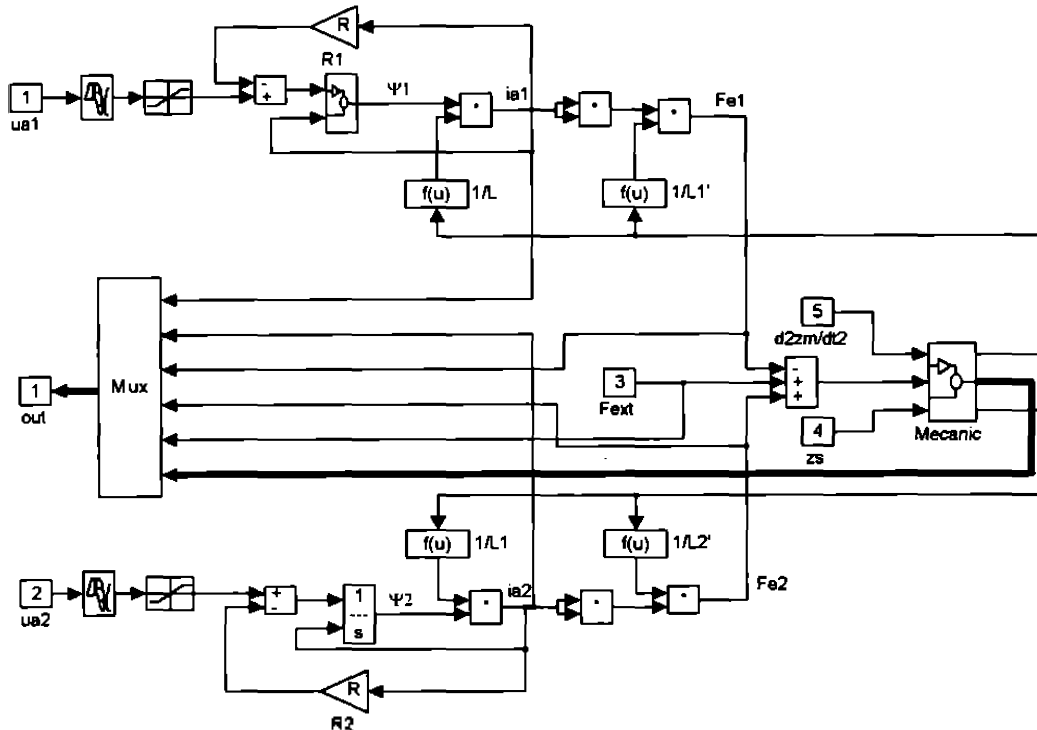


Figura 3.46. Implementarea în SIMULINK a S2E1GL

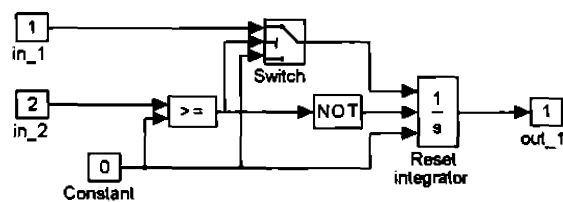


Figura 3.47. Blocurile integratoare din modelul S2E1GL

Ținând cont de semnele absolute ale erorilor de prelucrare  $z_{s1}$  și  $z_{s2}$  față de axa  $z$  (figura 2.6), sumatorul ce produce pe  $z_{s2}$  are ambele intrări luate cu minus.



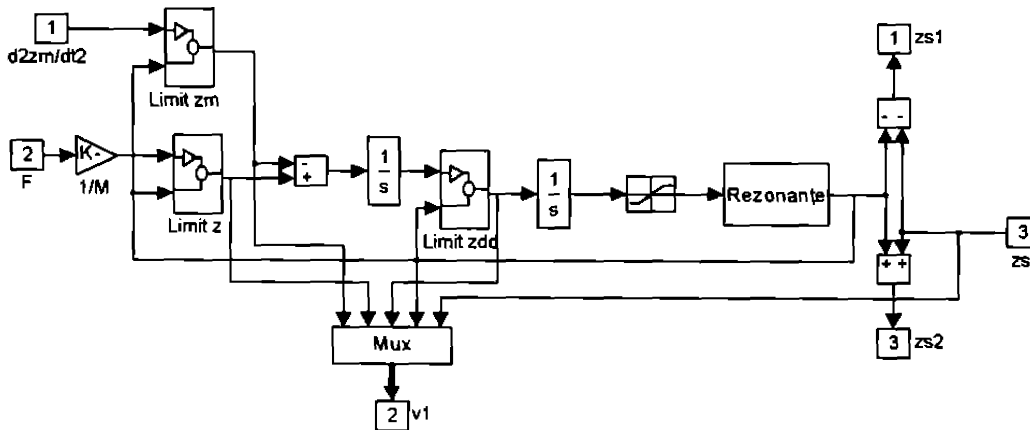


Figura 3.48. Blocul "Mecanic"

Blocul notat "Rezonanțe" este detaliat în figura 3.49: pe canalul de întrefier este intercalat un bloc de tip PT2 cu frecvența de 500, 1000, 2000 sau 3000 Hz și cu o amortizare extrem de redusă ( $d=0.005$ ). Validarea uneia sau altelei din rezonanțe se face prin blocul amplificator corespunzător. În figură nu este selectată nici o rezonanță, întrefierul fiind adus direct la ieșire.

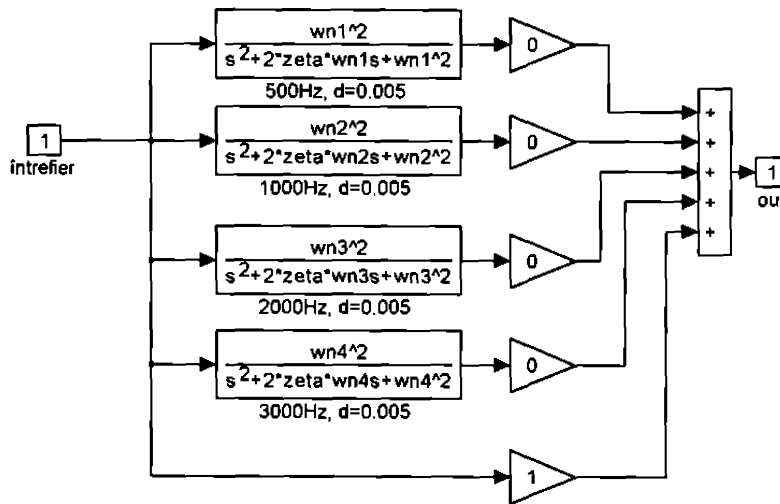


Figura 3.49. Blocul "Rezonanțe"

Prin utilizarea buclelor interioare de curent, mult mai rapide decât restul procesului, ecuațiile (2.93) ce descriu funcționarea S2E1GL se pot reduce la:

$$\begin{bmatrix} \dot{z}_\delta \\ \dot{\dot{z}}_\delta \end{bmatrix}' = \begin{bmatrix} 0 & 1 \\ a_{21} & 0 \end{bmatrix} \begin{bmatrix} z_\delta \\ \dot{z}_\delta \end{bmatrix} + \begin{bmatrix} 0 \\ b_3 - b_4 \end{bmatrix} i_a' + \begin{bmatrix} 0 & 0 & 0 & 0 \\ b_{v,21} & b_{v,22} & 0 & -1 \end{bmatrix} \begin{bmatrix} f_{ext} \\ z_s \\ \dot{z}_s \\ \ddot{z}_m \end{bmatrix} \quad (3.79)$$

Se observă că prin utilizarea buclelor de curent perturbația  $\dot{z}_s$  se pierde, iar sistemul nou obținut are forma canonică controlabilă, recomandată în funcționarea în regim alunecător.

Dacă în cazul S1E1GL sistemul de reglare numerică cu element de tip PI pe funcționala de stare depindea de perioada de eșantionare, timp de întârziere de calcul, parametrii elementului PI și lărgimea "tubului"  $\epsilon$ , în cazul S2E1GL apare un al 6-lea parametru, curentul de pretensionare  $I_0$ . Cu cât valoarea acestuia este mai mare cu atât banda de frecvență a procesului este mai mare, dar din punct de vedere energetic se consumă mai multă energie, chiar și în situații în care sistemul este neperturbat. În anexa A3.2 se discută modalitatea de alegere a celor 6 variabile. În urma acestei proiectări s-au ales  $I_0=1$  A,  $T_e=250$   $\mu$ sec,  $T_d=100$   $\mu$ sec,  $K_r=80$ ,  $T_i=100$   $\mu$ sec și  $\epsilon=1.75$ .

Și în acest caz evoluția stării reduse  $\begin{bmatrix} z_\delta & \dot{z}_\delta \end{bmatrix}^T$  a sistemului de reglare este dependentă de alegerea constantei  $c$ . Având în vedere banda de frecvență a sistemului în buclă deschisă se alege  $c=1000$  rad/sec.

Pretensionarea curentului se face cu o rampă, aleasă în cele ce urmează de 25 A/sec.

Cu aceste date, comportarea sistemului de reglare numerică sub acțiunea diferitelor perturbații este testată prin simulări. În figura 3.50 este prezentat blocul "Perturbații" în care au fost cuprinse vibrații mecanice în timpul funcționării, șocuri, acțiunea periodică a erorilor de prelucrare atunci când de exemplu un lagăr se rotește la diferite frecvențe, mișcări ale întregului sistem față de axa de referință. Din nou validarea uneia sau altele din perturbații se face prin blocul amplificator (în figură sunt selectate vibrațiile).

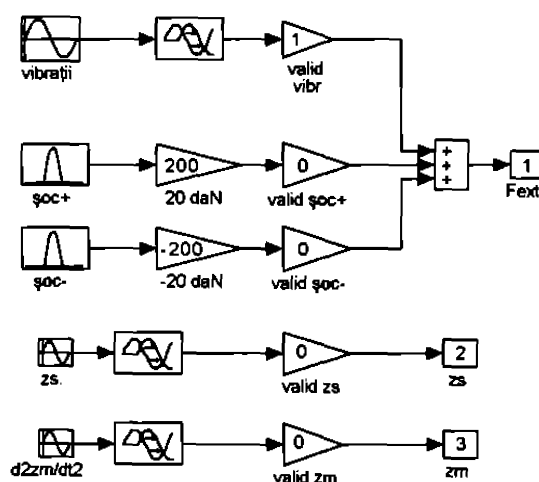


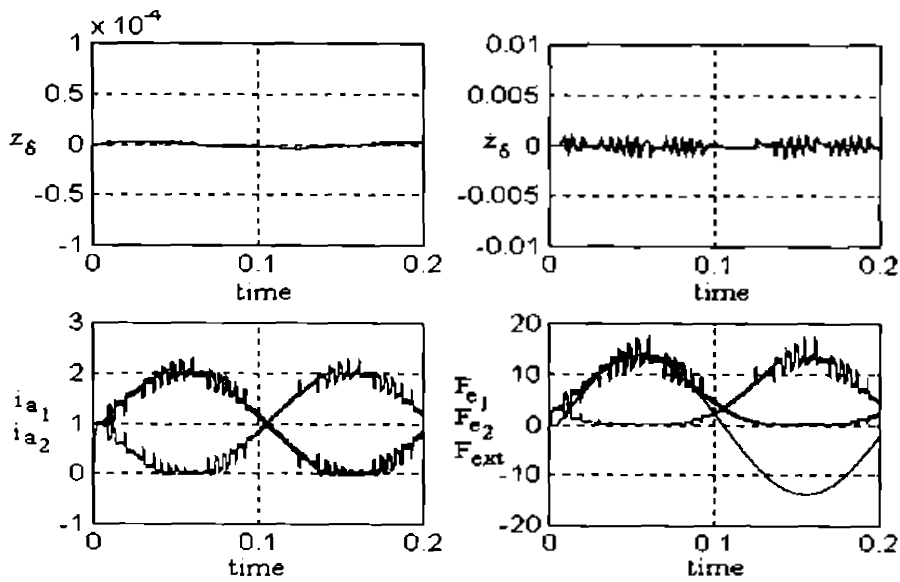
Figura 3.50. Blocul "Perturbații"

Testul la vibrații care se exercită asupra jugului feromagnetic (axul lagărului) se face în condiții deosebit de grele, după o curbă de densitate de putere spectrală utilizată în mod obișnuit în testarea mecanică, nefuncțională, a aparaturii electronice. Astfel, pentru frecvențe între 5 și 15 Hz s-a utilizat puterea de densitate spectrală  $PDS=0.7g$ , pentru 16-25 Hz,  $PDS=1.3g$  și pentru 26-55Hz,  $PDS=3g$ , unde  $g$  este accelerația gravitațională. Se studiază cazurile  $f=5$  Hz și  $PDS=0.7g$  (figurile 3.51),  $f=25$  Hz și  $PDS=1.3g$  (figurile 3.52) și  $f=55$  Hz și  $PDS=3g$  (figurile 3.53).

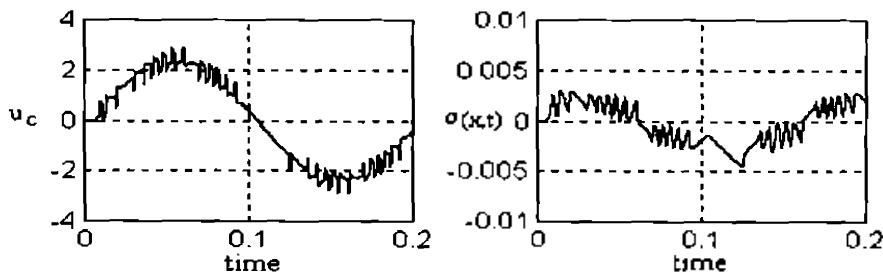
Amplitudinile oscilațiilor au fost calculate din relațiile:

$$\sqrt{f \cdot PDS} = ng$$

$$A = \frac{\sqrt{f \cdot PDS}}{(2\pi f)^2} \quad (3.80)$$

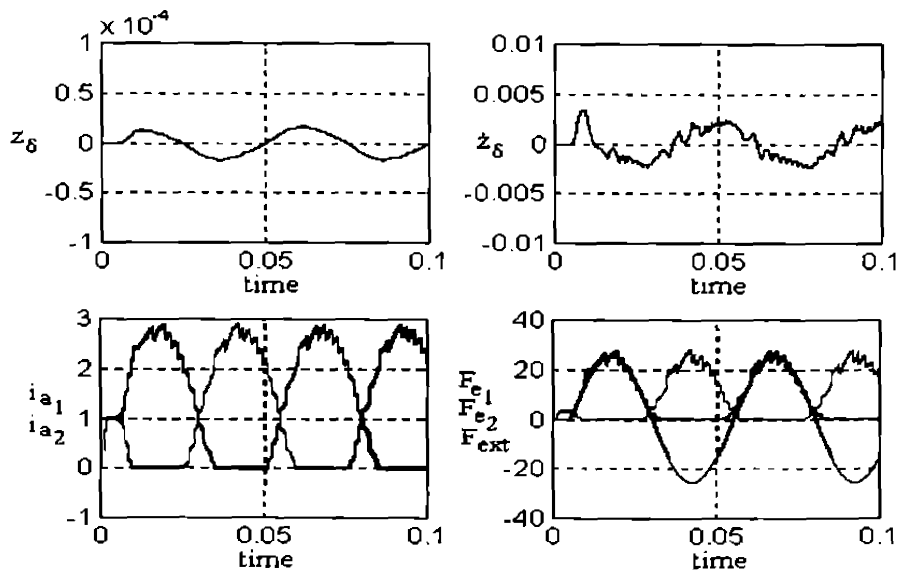


a) 1 - întrefier, 2 - viteza, 3 - curenții, 4 - forțele electromagnetice și forța perturbatoare

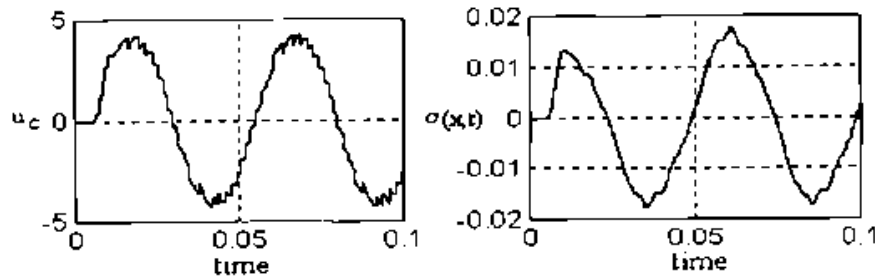


b) 1 - comanda, 2 - funcționala de stare

Figura 3.51. Răspunsul SRAN a S2E1GL sub acțiunea vibrațiilor cu  $f=5$  Hz și PDS=0.7g

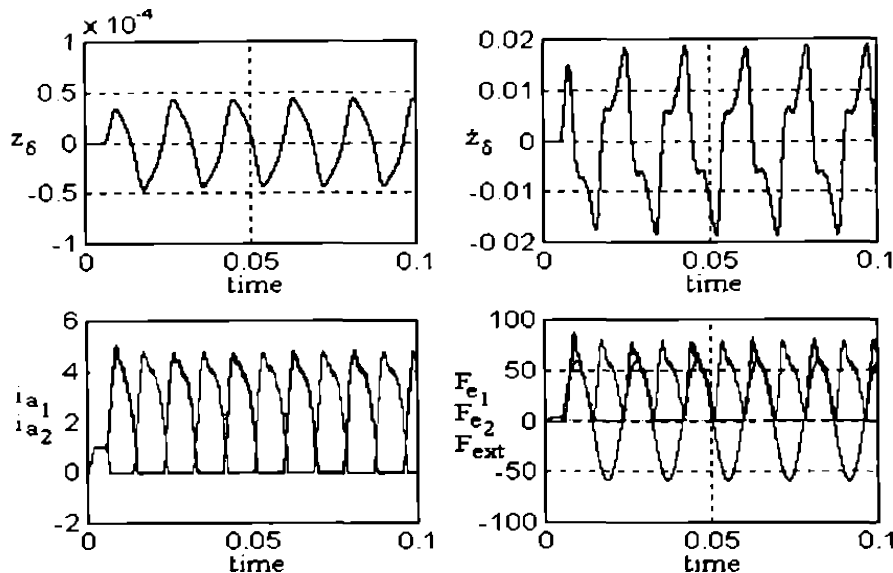


a) 1 - întrefier, 2 - viteza, 3 - curenții, 4 - forțele electromagnetice și forța perturbatoare

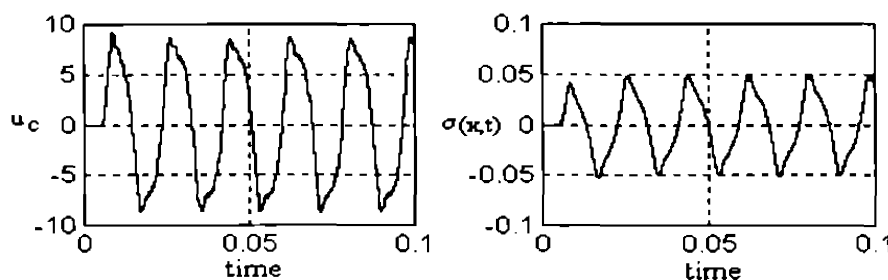


b) 1 - comanda, 2 - funcționala de stare

Figura 3.52. Răspunsul SRAN a S2E1GL sub acțiunea vibrațiilor cu  $f=25\text{Hz}$  și  $\text{PDS}=1.3\text{g}$



a) 1 - întrefier, 2 - viteza, 3 - curenții, 4 - forțele electromagnetice și forța perturbatoare



b) 1 - comanda, 2 - funcționala de stare

Figura 3.53. Răspunsul SRAN a S2E1GL sub acțiunea vibrațiilor cu  $f=55\text{ Hz}$  și  $\text{PDS}=3\text{g}$

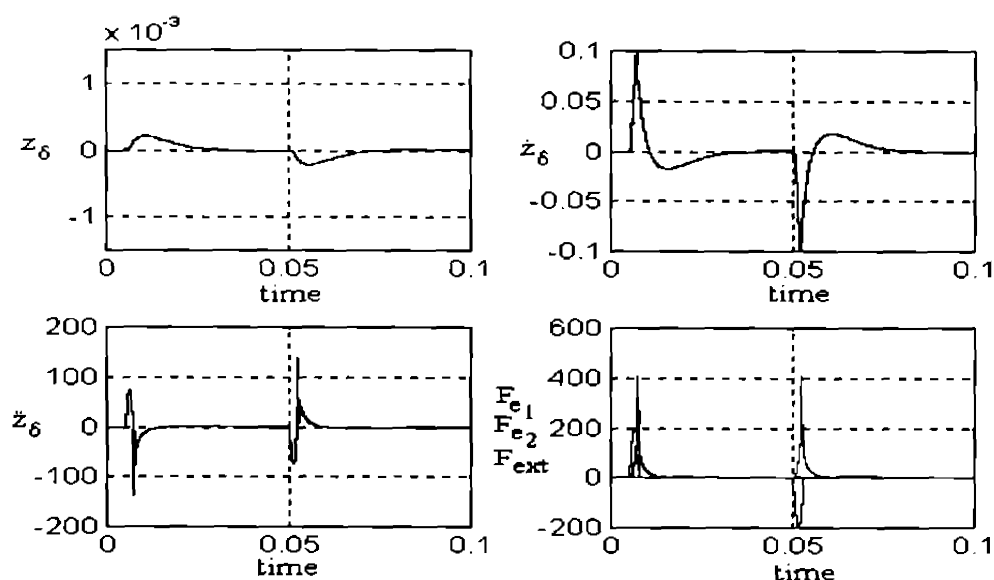
Având în vedere scările de reprezentare, se observă că în cel mai defavorabil caz deplasarea în întrefier nu depășește 50 microni, adică 1.67% din întregul domeniu de întrefier, deci un răspuns excelent. Se observă că atât curenții cât și forțele electromagnetice dezvoltate urmăresc îndeaproape perturbația reprezentată cu verde. În figuri,  $u_c$  este mărimea de comandă, adică mărimea de ieșire a blocului "Control".

Al doilea tip de perturbație este reprezentat de șocuri exercitate asupra jugului feromagnetic (figurile 3.54). Șocul se definește ca o forță exterioară perturbatoare de forma unei semiperioade a unei funcții sinusoidale de perioadă 6 msec și amplitudine dată. În paragraful 3.6 s-a ales tensiunea de alimentare a sistemului astfel încât acesta să fie capabil a răspunde la forțe de 20 daN. Aceasta a și fost amplitudinea

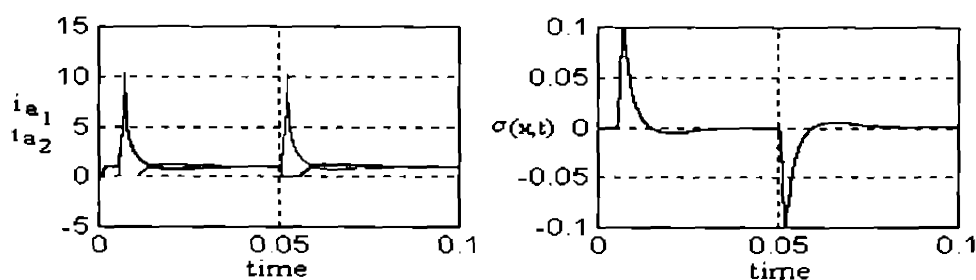
șocurilor aplicate sistemului (cu verde în a patra figură din 3.54). S-au aplicat un șoc de valoare pozitivă și unul de valoare negativă și răspunsurile, având în vedere simetria sistemului sunt, evident, identice

Se observă răspunsul aperiodic al sistemului de reglare, precum și abaterea de la întrefierul nominal de amplitudine relativ redusă (sub 0.3 mm adică sub 10%). Din nou comportarea sistemului de reglare sub acțiunea acestei perturbații se poate aprecia ca foarte bună.

Se remarcă de asemenea răspunsul extrem de energetic și de scurtă durată în curent și forță atunci când valoarea funcționalei depășește pragul impus de lărgimea "tubului".



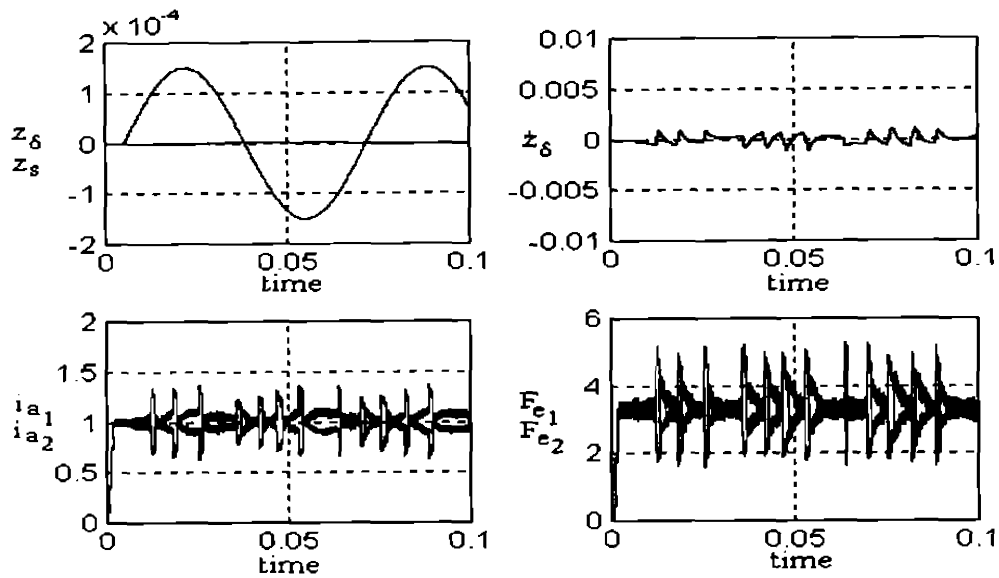
a) 1 - întrefier, 2 - viteză, 3 - accelerația, 4 - forțele electromagnetice și forța perturbatoare



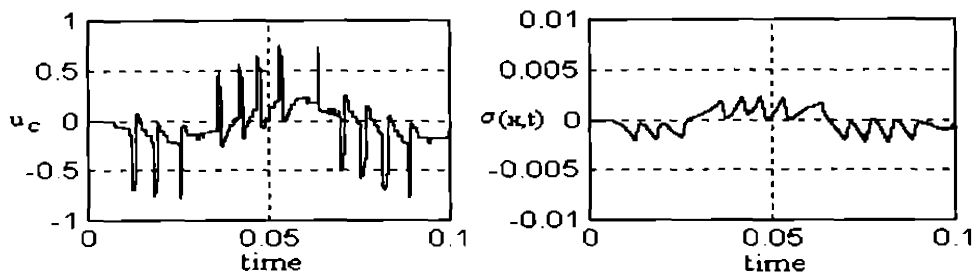
b) 1 - curenții, 2 - funcționala de stare

Figura 3.54. Răspunsul SRAN a S2E1GL sub acțiunea șocurilor

Al treilea tip de perturbație este determinat de eroarea de prelucrare a axului lagărului electromagnetic, eroare care se manifestă în rotația arborelui printr-o perturbație sinusoidală pe canalul de măsurare a întrefierului (figurile 3.55 și 3.56).

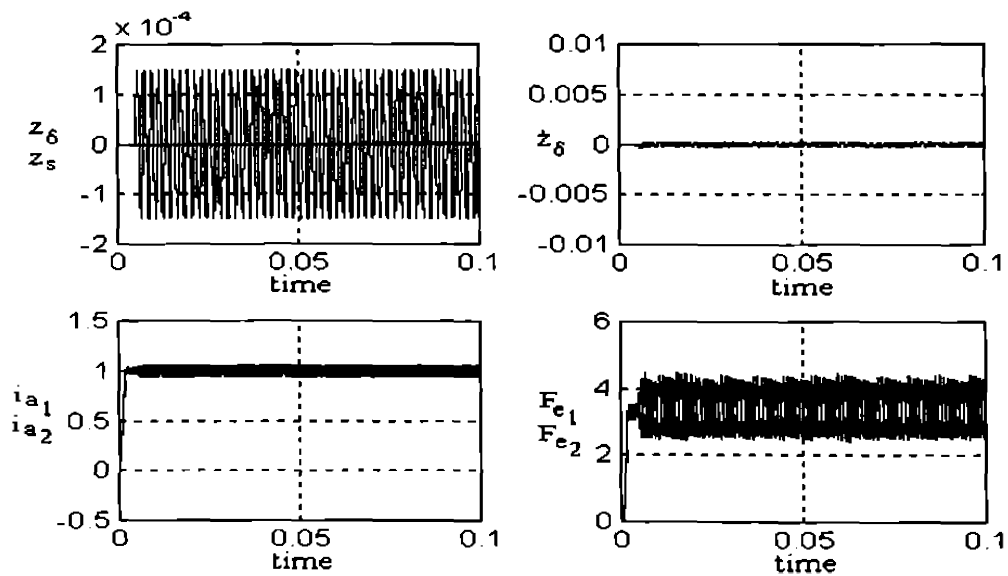


a) 1 - întrefier și erorarea de prelucrare mecanică, 2 - viteza, 3 - curenții, 4 - forțele electromagnetice

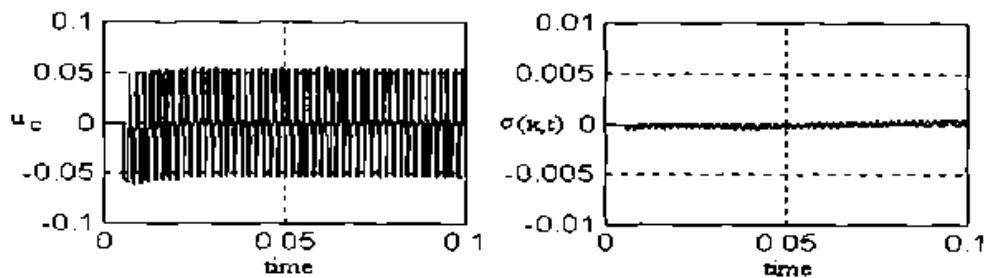


b) 1 - comanda, 2 - funcționala de stare

Figura 3.55. Răspunsul SRAN a S2E1GL sub acțiunea erorii de prelucrare mecanică la 900 rpm



a) 1 - întrefier și erorarea de prelucrare mecanică, 2 - viteza, 3 - curenții, 4 - forțele electromagnetice

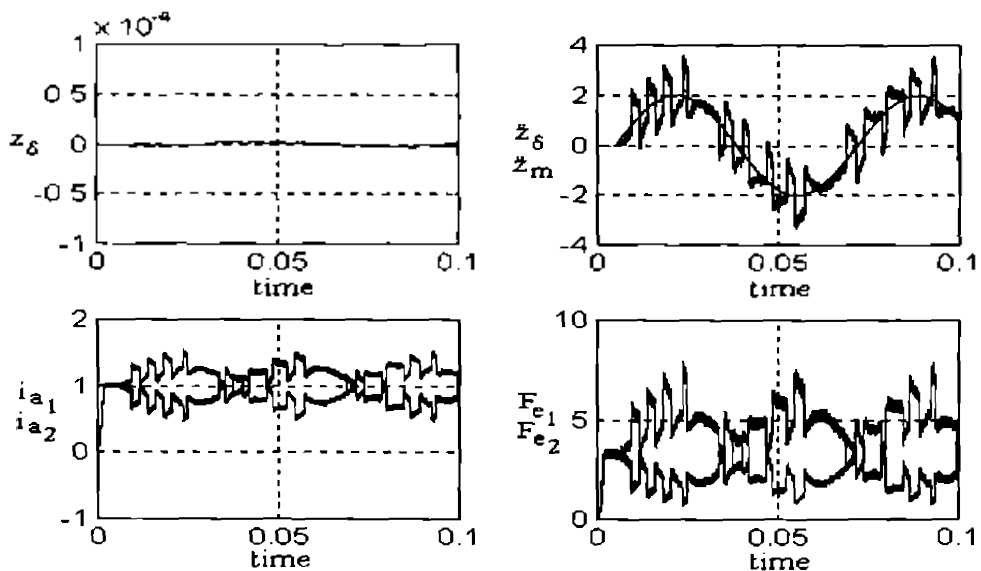


b) 1 - comanda, 2 - funcționala de stare

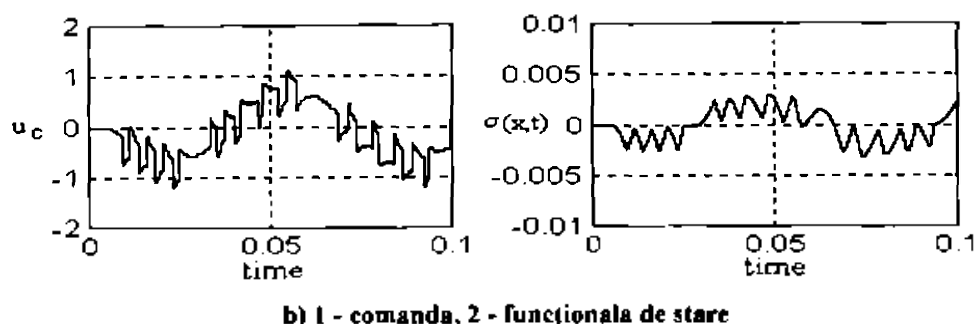
Figura 3.56. Răspunsul SRAN a S2E1GL sub acțiunea erorii de prelucrare mecanică la 30000 rpm

Astfel s-au luat în considerare două cazuri: axul se rotește la o turație joasă de 900 rpm (figurile 3.55) și un al doilea în care axul se rotește la o frecvență ridicată de 30,000 rpm (figurile 3.56). Se constată că în ambele situații, întrefierul nu are de loc de suferit de pe urma acestei perturbații. Mai mult la turații joase sistemul este capabil să răspundă și să rejeteze acest tip de zgomot, iar la turații mari, frecvența mărimii perturbatoare este mult în afara benzii de frecvență a sistemului de reglare și manifestarea ei, deși se regăsește în curenții și mai pronunțat în forțele electromagnetice este uniformă și mult prea rapidă pentru a afecta întrefierul. *Va trebui însă avută în vedere posibilitatea ca aceste mărimi sinusoidale să nu excite în mod supărător de pronunțat frecvențele de rezonanță mecanice ale procesului.*

Al patrulea tip de perturbație se manifestă asupra întregului ansamblu atunci când el se mișcă față de axa de referință absolută  $z_m$ . Se consideră că întegul S2E1GL este deplasată față de referința absolută astfel încât sistemul vede o accelerație  $\ddot{z}_m$  de amplitudine  $2 \text{ m/sec}^2$  și frecvență 15 Hz (figurile 3.57).



a) 1 - întrefier, 2 - accelerația absolută și perturbatoare, 3 - curenții, 4 - forțele electromagnetice



b) 1 - comanda, 2 - funcționala de stare

Figura 3.57. Răspunsul SRAN a S2E1GL vibrând în raport cu axa de referință absolută

Se observă din nou o deplasare a întrefierului ne semnificativă. Oscilația se manifestă vizibil în celelalte mărimi care caută să mențină întrefierul constant. Și din acest punct de vedere sistemul de reglare prezintă calități deosebite.

Ultimul aspect studiat în acest paragraf se referă la *rezonanțele mecanice din sistem*. De multe ori un sistem de reglare de altfel bine proiectat este compromis din cauza acestor fenomene deseori neglijate. Într-un regim staționar ele nu se manifestă, dar sunt excitate atunci când sistemului i se aplică o variație a mărimii de comandă, fie datorită modificării prescrierii, fie ca răspuns la acțiunea unei perturbății. Din punctul de vedere al frecvenței la care apar rezonanțele, ele pot fi împărțite în două categorii: cele care se manifestă în interiorul benzii de frecvență a sistemului de reglare și cele care se manifestă în afara benzii de frecvență. Primele pot fi de cele mai multe ori compensate prin însăși funcția de transfer a regulatorului și nu prezintă dificultăți deosebite. Cele din afara benzii de frecvență sunt însă periculoase. Uneori chiar mult depărtate de banda utilă a regulatorului, ele se manifestă semnificativ prin fenomenul de aliere, ca subarmonice. În cazul lagărelor cu sustentație electromagnetică frecvențele de rezonanță sunt cu atât mai periculoase cu cât pe parcursul accelerării de la zero la turația nominală, turație ce poate fi foarte ridicată (100.000 rpm corespunde la o frecvență de 1667 Hz), sistemul le poate excita pe toate.

Dacă aplicația este de așa natură încât păstrează în timp aceleași rezonanțe, situația se poate rezolva elegant prin saltul în accelerare peste frecvențele rezonante cu ajutorul inverterului de tensiune, procedeu larg utilizat în cadrul convertoarelor de frecvență variabilă cunoscut sub numele de "salt peste frecvențe critice". Dacă rezonanțele nu se păstrează sau dacă inverterul nu are o astfel de opțiune, efectul rezonanțelor se poate elimina în mare măsură prin introducerea unui filtru "oprește bandă" (de rejecție) cu o caracteristică de tip "ac", adică o bandă de oprire foarte îngustă, axată pe frecvența de rezonanță. Utilizarea unui filtru digital care filtrează mărimea de comandă are avantajul față de unul analogic că, pe măsură ce sistemul trece de la o rezonanță la alta, coeficienții filtrului pot fi citați dintr-un tabel și filtrul adaptat pentru rejecția următoarei frecvențe de rezonanță. Chiar mai mult, dacă pentru coeficienții filtrului se pot deduce relații de aproximare simple în funcție de frecvența centrală din banda de rejecție, filtrul poate fi continuu acordat pe frecvența de rotație a rotorului. În cazuri deosebite se pot utiliza tehnici noi, pentru sinteza filtrelor adaptive. Există deci mai multe metode pentru rezolvarea problemei rezonanțelor mecanice. Alegerea uneia sau a alteia depinde de aplicația practică [H1], [B1].

Un aspect de care trebuie ținut seama în utilizarea filtrelor digitale de rejecție a rezonanțelor este că în unele situații, datorită valorii ridicate a frecvenței de rezonanță, perioada de eșantionare utilizată în cadrul sistemului de reglare nu mai satisface pentru calculul filtrului enunțarea practică a teoremei eșantionării. În aceste situații, se utilizează *doar pentru calculul filtrului* o supra-eșantionare (multi-rate control): pe durata unei perioade de eșantionare, pentru filtru se utilizează un multiplu al frecvenței de eșantionare, acest algoritm fiind calculat cu o frecvență mai ridicată, multiplu al frecvenței de eșantionare  $1/T_e$ .



În figura 3.58 se dă schema bloc a filtrului oprește-bandă utilizat în lucrarea de față. Este un filtru cu timp de răspuns infinit (IIR) de ordinul patru, configurația (Butterworth, Cebășev, eliptic) precum și frecvența de acordare și banda de oprire putând fi alese prin valorile coeficienților  $b_0 \div b_4$  și  $a_0 \div a_3$ .

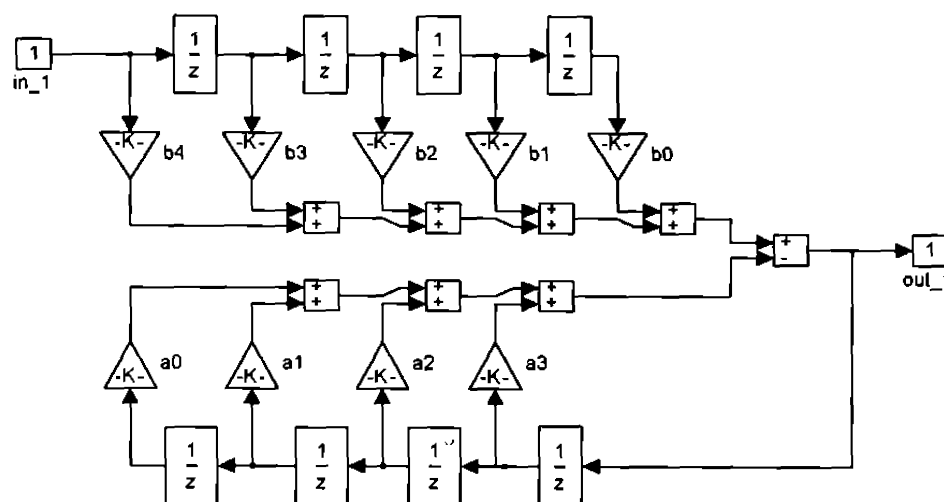


Figura 3.58. Filtru "ac" pentru rejecția rezonanțelor

De exemplu, un filtru Butterworth de ordinul 4 cu frecvența centrală la 500 Hz (echivalentul a 30,000 rpm) și cu o lățime de bandă de 20 Hz are coeficienți:

$$b_0=0.9565, b_1=-2.7068, b_2=3.8281, b_3=-2.7608, b_4=0.9565$$

$$a_0=-2.757, a_1=3.8262, a_2=-2.6467, a_3=0.915$$

rezultând caracteristicile amplitudine - pulsație și fază - pulsație reprezentate în figura 3.59

Simulări extensive precum și rezultate experimentale precedente confirmă posibilitatea rejecției rezonanțelor cu ajutorul filtrelor de rejecție de tip "ac".

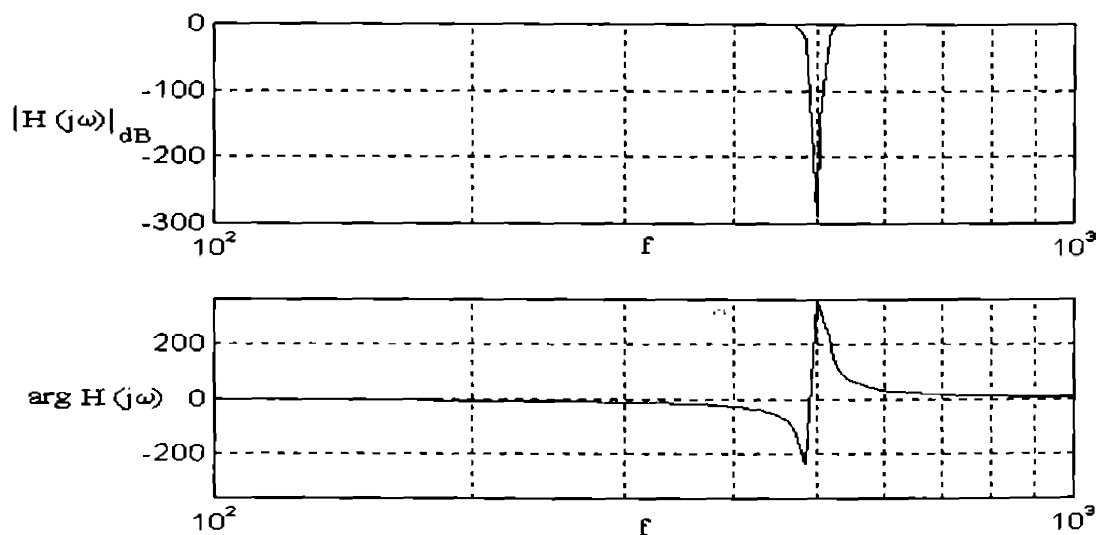


Figura 3.59. Caracteristicile de frecvență ale filtrului "ac"

### 3.8 Concluzii

Acest capitol, dedicat reglării sistemelor cu sustentație electromagnetică, a abordat mai întâi problema reglării unui sistem de bază de tipul SIEIGL, pe baza a două metode:

- reglarea după stare cu compensator
- reglarea modal alunecătoare (sisteme funcționând în regim alunecător).

În primul caz s-a discutat numai cazul continuu, utilizând ca metode de proiectare alocarea de poli și metoda regulatorului liniar pătratic.

Pentru reglarea modal alunecătoare s-a utilizat mai întâi un model al procesului cât mai apropiat de forma canonică controlabilă, reglarea utilizând metode consacrate pentru sistemele monovariabile la intrare. Apoi, ținând cont de particularitatea sistemului, de faptul că el este compus dintr-un subsistem electric rapid și unul mecanic mai lent, s-a utilizat pentru subsistemul electric o buclă interioară foarte rapidă, astfel încât din punct de vedere al subsistemului mecanic răspunsul electric este instantaneu. Aceasta a permis simplificarea ecuațiilor procesului și aducerea lui la forma canonică controlabilă, sistemul de reglare rezultat având toate calitățile reglării cu funcționare în regim alunecător.

Simulările și experimentele efectuate pentru SIEIGL cu reglare după stare au demonstrat posibilitatea utilizării unui astfel de algoritm de reglare în sistemele cu sustentație electromagnetică. S-a arătat că pentru îmbunătățirea performanțelor se impune fie utilizarea unui chopper în două cadrane, fie un reglator bipozițional de curent, cu caracter anticipativ. Din punct de vedere al robusteții la perturbații s-a văzut că atunci când acestea nu sunt exagerat de mari, rejecția lor este satisfăcătoare. S-a constatat că pentru îmbunătățirea radicală a performanțelor de reglare și imunitate la variația parametrilor procesului și perturbații, metoda de reglare tinde către așa numitele reglatoare cu structură variabilă funcționând în regim alunecător, motiv pentru care o clasă a acestora s-a studiat în continuare.

Reglarea modal alunecătoare a SIEIGL s-a început pentru cazul continuu, analizând mai întâi proiectarea clasică. Având în vedere rezultatele excelente obținute comparativ cu reglarea după stare, s-au reproiectat coeficienții regulatorului pentru variații ale parametrilor procesului și perturbații mai mari. S-a constatat că rezultă o comandă foarte apropiată de o comandă bipozițională, cel mai energetic tip de comandă posibilă energetic. Într-adevăr și simulările efectuate în această situație au dus la rezultate remarcabile. Singurul dezavantaj observat a fost oscilația de înaltă frecvență a mărimii de comandă de îndată ce funcționala de stare intersecționează hipercurba de comutație, transmise și în celelalte mărimi ale sistemului. În scopul eliminării acestora s-a admis o abatere a stării sistemului de la hipercurba de comutație în interiorul unui "tub" de mărime  $\varepsilon$ . Eliminarea acestui dezavantaj a introdus însă un altul: o eroare de regim staționar în întrefier  $\leq \varepsilon$ . S-a imaginat în continuare introducerea unui element de tip PI pe funcționala de stare astfel încât păstrând "tubul", prin elementul integrator, în regim staționar funcționala de stare să se anuleze, asigurând în acest fel reglarea fără eroare. *Ideea de bază este că dacă se pot determina parametrii elementului de tip PI astfel încât procesul de anulare al funcționalei să aibe o dinamică mai rapidă decât restul sistemului, se asigură că la scurt timp după ce starea sistemului pătrunde în "tub", ea va evolua pe o traiectorie care satisface ecuația hipercurvei de comutație, sistemul de reglare funcționând în regim alunecător.* Simulările efectuate au demonstrat valabilitatea acestei metode.

Una din problemele pe care sistemul de reglare de mai sus nu a putut s-o rezolve a fost rejecția perturbației de tip accelerație perturbatoare. Aceasta este de altfel singura mărime care face ca sistemul să se abată de la forma canonică controlabilă, formă pentru care se asigură robustețea la variații ale parametrilor procesului și perturbații externe. Una din metodele analizate este utilizarea unei alte variabile de stare care să asigure forma canonică controlabilă. Acesta este însă o mărime care în mod normal nu poate fi măsurată așa că metoda depinde de acuratețea cu care ea poate fi estimată. Se demonstrează astfel rejecția tuturor perturbațiilor, prin simulare în aceleași condiții ca în cazurile precedente. O a doua metodă, menționată deja este introducerea unei bucle de curent interioare, mult mai rapidă decât restul sistemului. Acesta permite rescrierea ecuațiilor procesului într-o formă canonică controlabilă. Păstrând proiectarea anterioară cu element

de tip PI pe funcționala de stare se obțin rezultatele scontate. Mai mult, prin utilizarea unei rezerve suplimentare de tensiune, sistemul este capabil de a-și păstra performanțele de reglare chiar și în prezența unor perturbații de tip forță exterioară sporite.

În continuare s-a discutat modalitatea de proiectare a celor două tipuri de reglatoare cu funcționare în regim alunecător studiate în domeniul discret, pregătind astfel implementarea digitală a algoritmilor. Metoda este bazată pe locul rădăcinilor, făcându-se o analiză detaliată a influenței perioadei de eșantionare, timpului de întârziere de calcul și parametrilor elementului de tip PI. S-a ținut cont de existența convertoarelor analog - numerice și numeric - analogice și a efectului de cuantizare. Din nou sistemele proiectate au fost testate prin simulări extensive, rezultatele fiind similare cazului continuu. În fine, un ultim paragraf este important prin implicațiile sale în proiectarea sistemelor de reglare pentru lagăre electromagnetice a fost consacrat sistemelor cu 2 electromagneți și un grad de libertate. Bazat pe modelul de proces original dezvoltat în capitolul 2 al acestei lucrări și utilizând experiența acumulată în stabilizarea și reglarea S1E1GL, acesta utilizează două bucle interioare de curent, analogice, câte una pentru fiecare electromagnet, cu o prescriere unică în amplitudine dar de semne diferite. Această prescriere este mărirea de comandă furnizată de regulatorul funcționând în regim alunecător cu element PI pe ieșire. Aceasta este de fapt unica soluția pentru S2E1GL, în ecuațiile cărora apar cei doi curenți astfel încât determinarea unui model sub formă canonică controlabilă astfel încât mărimile de stare să aibe o semnificație fizică este imposibilă. Se arată apoi importanța curentului de pretenționare în determinarea benzii de frecvență a procesului. Proiectarea se face tot cu metoda locului rădăcinilor.

**Observație.** Majoritatea sistemelor se pot aduce la forma canonică controlabilă printr-o transformare de stare. În urma acesteia se poate proiecta un sistem cu structură variabilă care să fie independent la variații ale parametrilor. Aceasta însă nu asigură faptul că în implementarea practică se obțin aceleași rezultate: transformarea de stare depinde în majoritatea cazurilor la rândul ei de parametrii din proces, noile variabile de stare trebuie estimate pe baza vechii stări și se ajunge din nou la ecuații dependente de parametrii necunoscuți.

În continuare se determină robustețea sistemului la perturbații. Astfel se analizează efectul vibrațiilor la diferite frecvențe și densități de putere spectrală, șocuri mecanice extrem de dure, mișcări pulsatorii ale întregului ansamblu față de axa de referință absolută, erori de prelucrare mecanică și efectul lor. Un ultim aspect care se discută în detaliu este efectul și modalitățile de rejecție a rezonanțelor mecanice care pot fi excitate pe parcursul funcționării.

În toate situațiile sistemul de reglare numerică proiectat are o comportare excelentă, creând premisele pentru implementarea unui sistem de reglare al unui întreg lagăr electromagnetic.

## ANEXA 3.1.

### A3.1. Analiza locului rădăcinilor pentru sistemul de reglare automată a S1E1GL discret.

Sistemele discrete discutate în paragraful 6 al capitolului 3 sunt dependente de cinci parametri:

- perioada de eșantionare  $T_e$
- întârzierea de calcul  $T_d$
- coeficientul de transfer  $K_r$  al componentei proporționale a elementului PI
- constanta de timp de integrare  $T_i$  a elementului PI
- lățimea "tubului"  $\varepsilon$ .

Doar primii patru din aceștia afectează polinomul caracteristic al sistemului de reglare atunci când funcționarea se desfășoară în interiorul "tubului"  $\varepsilon$ . Astfel, perioada de eșantionare apare explicit în expresia polinomului caracteristic dar afectează și implicit ceilalți coeficienți datorăți procesului, timpul de întârziere afectează numai implicit acești coeficienți, iar  $K_r$  și  $T_i$  apar numai explicit

Analiza din această anexă se referă la cele două tipuri de sisteme discrete discutate în paragraful 3.6:

- sistem discret funcționând în regim alunecător cu element de tip PI pe funcționala de stare de ordinul 3
- sistem discret cu buclă interioară de curent analogică, funcționând în regim alunecător cu element de tip PI pe funcționala de stare de ordinul 2

#### A3.1.1 Sistem discret funcționând în regim alunecător cu funcționala de stare de ordinul 3

În primul caz, polinomul caracteristic al sistemului în buclă închisă este dat de expresia (3.75)

$$\mu(z) = \mu_0(z)(z-1) - \frac{T_e}{2T_i}(z+1)[c_1n_1(z) + c_2n_2(z) + n_3(z)] - K_r(z-1)[c_1n_1(z) + c_2n_2(z) + n_3(z)]$$

în care  $\mu_0(z)$  este polinomul caracteristic al S1E1GL discret,  $n_i(z)$ ,  $i = 1, 2, 3$  sunt numărătorii funcțiilor de transfer ai întinerului, vitezei și accelerației respectiv pentru S1E1GL în raport cu intrarea  $u_a$  și  $c_1$ ,  $c_2$  coeficienții funcționalei de stare. Facând notațiile

$$\begin{aligned} D(z) &= \mu_0(z)(z-1) \\ N_T(z) &= -\frac{T_e}{2}(z+1)[c_1n_1(z) + c_2n_2(z) + n_3(z)] \\ N_K(z) &= -(z-1)[c_1n_1(z) + c_2n_2(z) + n_3(z)] \end{aligned} \quad (A3.1.1)$$

polinomul caracteristic al sistemului de reglare automată se poate pune sub forma

$$\mu(z) = D(z) + \frac{1}{T_i}N_T(z) + K_rN_K(z) \quad (A3.1.2)$$

Analiza se face descompunând problema alegerii cvartetului ( $T_e$ ,  $T_d$ ,  $T_i$ ,  $K_r$ ) în mai multe probleme de trasare a locului rădăcinilor (LR). Astfel, presupunând că alegerea lui  $K_r$  se va face prin metoda locului rădăcinilor a lui (A3.1.2), se face întâi un studiu asupra polilor acestui LR, adică asupra rădăcinilor expresiei

$$D(z) + \frac{1}{T_i} N_T(z) \tag{A3.1.3}$$

tot ca o problemă de LR cu  $1/T_i$  parametru. Intrebarea la care se caută răspunsul este cum se modifică poziția polilor și a zerourilor locului rădăcinilor pentru polinomul (A3.1.2) cu  $T_e$ ,  $T_d$  și  $T_i$  variabili.

Fie pentru început  $T_e=500\mu\text{sec}$ . În tabelul TA3.1.1 sunt listați polii, iar în tabelul TA3.1.2 zerourile polinomului (A3.1.3) în funcție de  $T_d$ , pentru patru valori ale lui  $T_d$ : 0, 100, 200 și 300  $\mu\text{sec}$ .

Tabelul TA3.1.1

	$P_1$	$P_{2,3}$	$P_4$	$P_5$
$T_d = 0 \mu\text{sec}$	0	$0.9733 \pm j0.0307$	1	1.0355
$T_d = 100 \mu\text{sec}$	0	$0.9733 \pm j0.0307$	1	1.0355
$T_d = 200 \mu\text{sec}$	0	$0.9733 \pm j0.0307$	1	1.0355
$T_d = 300 \mu\text{sec}$	0	$0.9733 \pm j0.0307$	1	1.0355

Tabelul TA3.1.2

	$z_1$	$z_2$	$z_3$	$z_4$
$T_d = 0 \mu\text{sec}$	-1	0	0.9505	0.9519
$T_d = 100 \mu\text{sec}$	-1	-0.2605	0.9511	0.9513
$T_d = 200 \mu\text{sec}$	-1	-0.6946	$0.9512 - j0.0005$	$0.9512 + j0.0005$
$T_d = 300 \mu\text{sec}$	-1	-1.5624	$0.9512 - j0.0005$	$0.9512 + j0.0005$

Se observă că  $D(z)$  are rădăcinile independente de variația lui  $T_d$  (ceea ce era de altfel de așteptat)  $N_T(z)$  are o rădăcină fixă  $z_1 = -1$  și două rădăcini care se modifică foarte puțin cu  $T_d$ , rădăcinile  $z_{3,4}$ . În schimb  $z_2$  parcurge o plajă largă a axei reale negative.

Se prezintă în figurile A3.1.1 LR pentru polinomul (A3.1.3) cu  $T_i$  parametru.

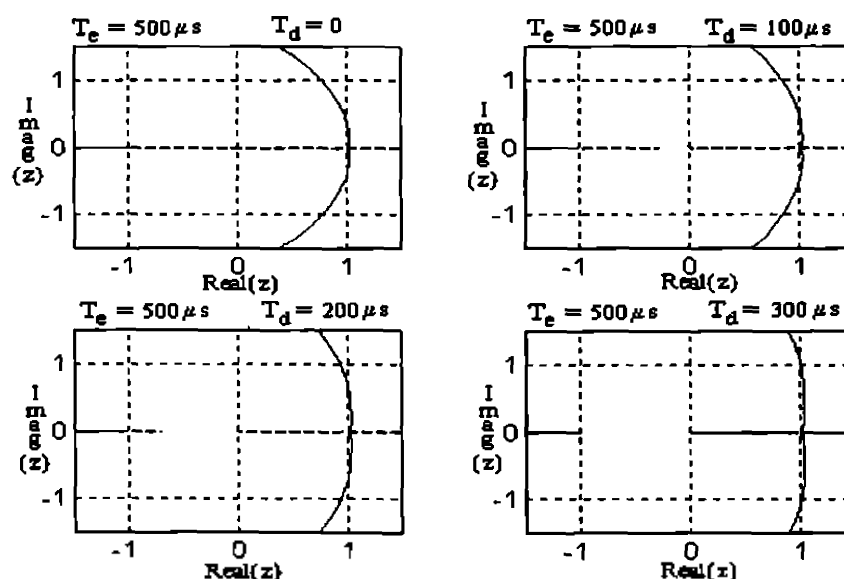


Figura A3.1.1. LR pentru polinomul (A3.1.3) cu  $T_i$  ca parametru

Aceleași evaluări se fac și pentru  $T_e=250 \mu\text{sec}$ , cu  $T_d = 0$  și  $100 \mu\text{sec}$ , rezultatele fiind date în tabelele TA3.1.3 și TA3.1.4, iar în figurile A.3.1.2 sunt trasate LR cu  $T_d$  parametru.

Tabelul TA3.1.3

	$p_1$	$p_{2,3}$	$p_4$	$p_5$
$T_d = 0 \mu\text{sec}$	0	$0.9867 \pm j0.0156$	1	1.0176
$T_d = 100 \mu\text{sec}$	0	$0.9867 \pm j0.0156$	1	1.0176

Tabelul TA3.1.4

	$z_1$	$z_2$	$z_3$	$z_4$
$T_d = 0 \mu\text{sec}$	-1	0	0.9751	0.9755
$T_d = 100 \mu\text{sec}$	-1	-0.6805	$0.9753 - j0.0001$	$0.9753 + j0.0001$

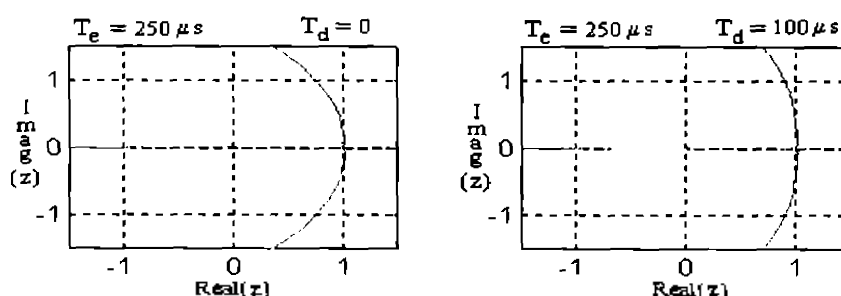


Figura A3.1.2. LR pentru polinomul (A3.1.3) cu  $T_d$  ca parametru

Se poate constata din nou independența rădăcinilor lui  $D(z)$  de timpul de întârziere și doar o mică deplasare a lor în funcție de perioada de eșantionare. Observațiile anterioare la rădăcinile lui  $N_T(z)$  sunt în continuare valabile: doar  $z_2$  se modifică mult cu timpul de calcul, celelalte rămânând constante (-1) sau modificându-se foarte puțin.

Se pot formula concluziile:

- $D(z)$  are doi poli independenți de  $T_e$  și  $T_d$ :  $p_1=0$ , datorat existenței lui  $T_d$ , și  $p_4=1$ , datorat componentei integratoare a elementului PI; apoi o pereche de rădăcini complex conjugate în interiorul cercului unitate, cu parte reală pozitivă apropiată de 1 și cu partea imaginară aproape nulă, rădăcini date de poli stabili ai procesului, ultima rădăcină este dată de polul instabil al procesului continuu, reală pozitivă. Nici una din aceste ultime trei rădăcini nu se modifică decât în limite foarte mici în funcție de  $T_e$  și  $T_d$ .
- $N_T(z)$  are o rădăcină la -1 constantă dată de termenul  $(z+1)$  din expresia (3.75); are un pol real negativ puternic dependent de  $T_d$ , plecând de la 0 și până la valori mari; ultimii doi poli sunt poziționați într-o regiune restrânsă a planului "z", în funcție de  $T_d$  putând fi reali sau complex conjugate cu partea reală cuprinsă între 0.95 și 1 și cu partea imaginară foarte apropiată de 0. Acești doi poli sunt întotdeauna la stânga polilor complex conjugate ai lui  $D(z)$ .
- $N_K(z)$  are exact aceleași rădăcini cu  $N_T(z)$  cu excepția rădăcinii -1 care este înlocuită de  $z_1=1$ , afirmație care se face pe baza relațiilor (A3.1.1).
- LR trasate în figurile de mai sus indică poziționarea posibilă a rădăcinilor polinomului din (A3.1.3):
  - un pol real negativ cuprins între -1 și 0 dat de perechea  $(p_1, z_2)$
  - 2 poli complex conjugate sau reali cuprinși într-o zonă restrânsă a planului "z" cu partea reală pozitivă cuprinsă în intervalul (0.95, 1) și cu partea imaginară foarte apropiată de zero, dați de perechile  $(p_{2,3}, z_{3,4})$

- doi poli care se modifică mult cu  $T_i$  dați de  $p_4$  și  $p_5$  și de  $z_1$  și un zero la infinit: pentru valori mari ale lui  $T_i$  (mici ale lui  $1/T_i$ ) polii sunt pozitivi, reali și mai mari ca 1, apoi se ramifică pe două ramuri complex conjugate care trec prin cercul unitate cu atât mai mult cu cât  $T_d$  este mai mic; pentru valori mici ale lui  $T_i$  (mari ale lui  $1/T_i$ ) devin din nou reali, negativi și mai mici ca -1.
- figura A3.1.3 prezintă locația posibilă a polilor pentru diferite valori ale lui  $T_i$ .

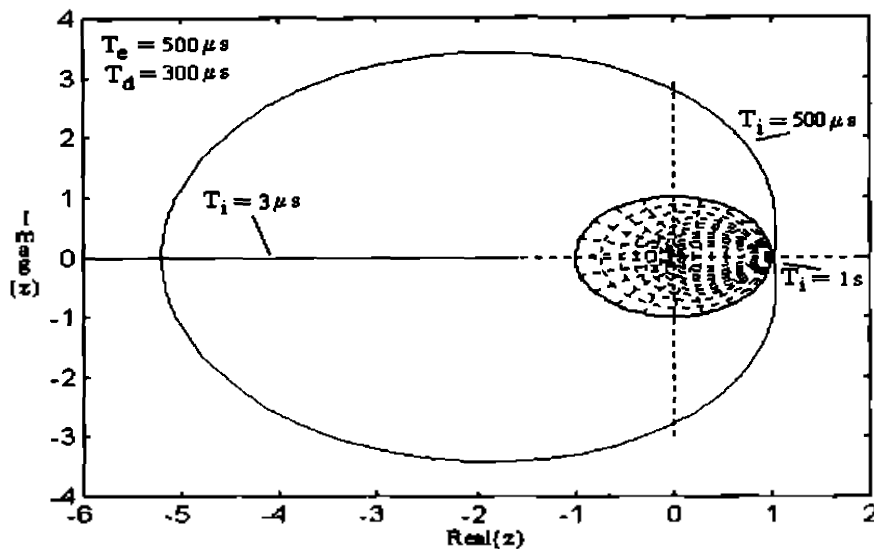


Figura A3.1.3. LR pentru  $D(z)+1/T_i N_T(z)$  în raport cu  $T_i$

Se desprind 3 tipuri de posibile configurații ale LR polinomului (3.75) pentru cazul considerat. Astfel pentru  $T_e=500\mu\text{sec}$  și  $T_d=300\mu\text{sec}$  se analizează trei cazuri tipice:

1.  $T_i$  are valori mari, de exemplu  $T_i = 1 \text{ sec}$ . În funcție de  $K$ , se obține locul rădăcinilor:

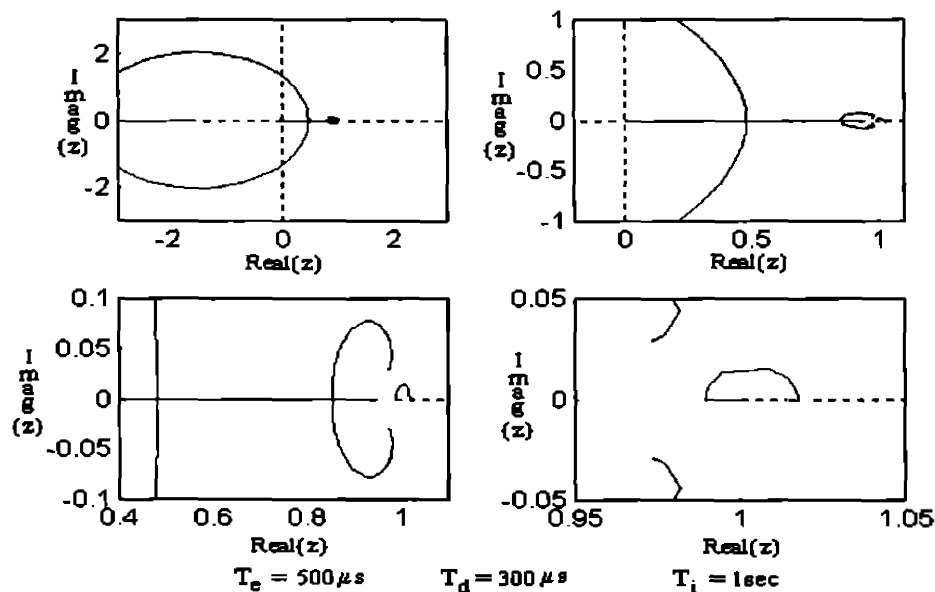


Figura A3.1.4. LR pentru  $\mu(z)$  cu  $T_i = 1 \text{ sec}$  și  $K$ , parametru

În figură este trasat același LR la diferite scări. Se obțin configurații stabile ale sistemului de reglare automată pentru  $K_r$  luând valori de la  $K_r = 0.55$  ( $p_1=0.0126$ ,  $p_{2,3}=0.9814\pm j0.0377$  și  $p_{4,5}=0.9991\pm j0.0165$ ), când două rădăcini complex conjugate cu parte reală pozitivă pătrund în cercul de rază unitate și până la  $K_r = 4.24$ , când alte două rădăcini complex conjugate părăsesc cercul de rază unitate ( $p_{1,2}=0.2092\pm j0.999$ ,  $p_3=0.9408$ ,  $p_4=0.9584$  și  $p_5=0.9999$ ). Plaja pentru  $K_r$  pentru care sistemul este stabil nu este foarte mare și nici una din valori nu determină o configurație convenabilă din punct de vedere al stabilității. Astfel una dintre cele mai stabile configurații este dată de  $K_r = 0.15$  ( $p_1=0.0357$ ,  $p_{2,3}=0.9724\pm j0.0623$ ,  $p_4=0.9852$  și  $p_5=0.9928$ ) dar și în acest caz două dintre rădăcini sunt inadmisibil de apropiate de 1.

2.  $T_i$  are valori medii, de exemplu  $T_i = 500 \mu\text{sec}$ . LR obținut este următorul

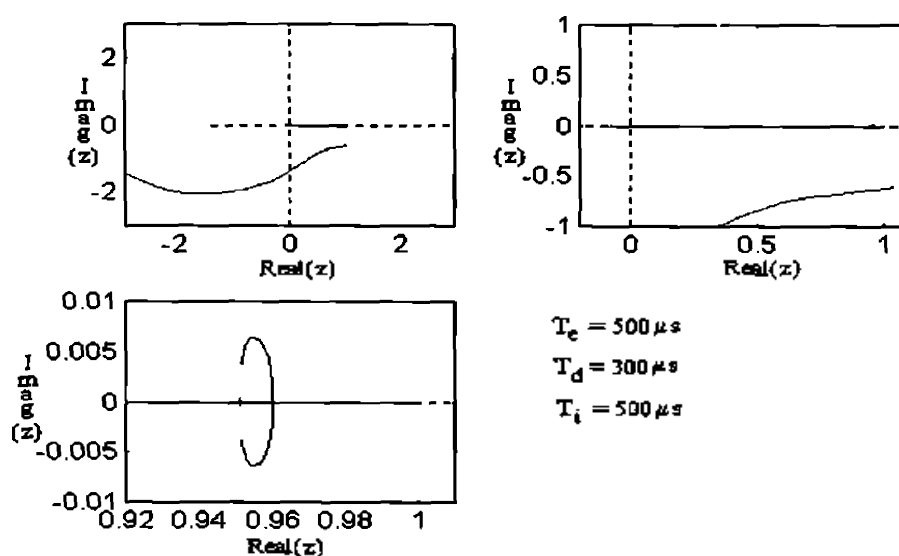


Figura A3.1.5. LR pentru  $\mu(z)$  cu  $T_i = 500 \mu\text{sec}$  și  $K_r$  parametru

Din nou sunt prezentate detalii ale aceluiaș LR. Se obțin configurații stabile pentru  $K_r$  luând valori între  $K_r = 0.266$  ( $p_1=0.0412$ ,  $p_{2,3}=0.9517\pm j0.0038$  și  $p_{4,5}=0.9999\pm j0.6249$ ), când două rădăcini complex conjugate intră în cercul de rază unitate și  $K_r = 3.77$  ( $p_1=0.7135$ ,  $p_{2,3}=0.9518\pm j0.0041$  și  $p_{4,5}=0.3479\pm j0.9999$ ), când aceleași două rădăcini părăsesc din nou cercul de rază unitate. Se observă că și în acest caz plaja în care parametrul poate varia pentru a obține o configurație stabilă nu este foarte largă. Una dintre cele mai bune valori pentru  $K_r$  ar fi 2.36 pentru care se obține o configurație stabilă dar puternic oscilantă ( $p_1=0.4855$ ,  $p_{2,3}=0.9518\pm j0.0040$  și  $p_{4,5}=0.5725\pm j0.7806$ ).

3.  $T_i$  are valori mici, de exemplu  $T_i = 3 \mu\text{sec}$ . LR obținut este:



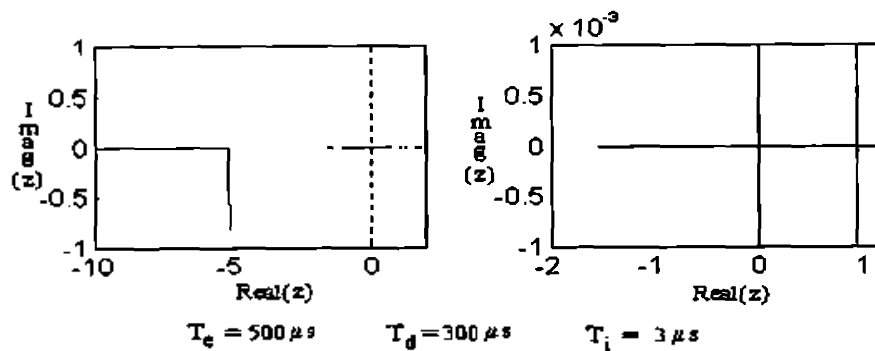


Figura A3.1.6. LR pentru  $\mu(z)$  cu  $T_i = 3 \mu\text{sec}$  și  $K_r$  parametru

Se poate vedea că în această situație nu există nici o valoare a parametrului  $K_r$  pentru care sistemul să fie stabil, având cel puțin doi poli cu parte reală negativă întotdeauna mai mici ca -1.

Analizând cele trei cazuri considerate se poate estima că pentru valori între 500  $\mu\text{sec}$  și 1 sec ale constantei de timp de integrare, trebuie să existe situații mai favorabile decât cele anterioare. Astfel alegând  $T_i$  de ordinul milisecundei, de exemplu  $T_i = 3 \text{msec}$ , se obține LR:

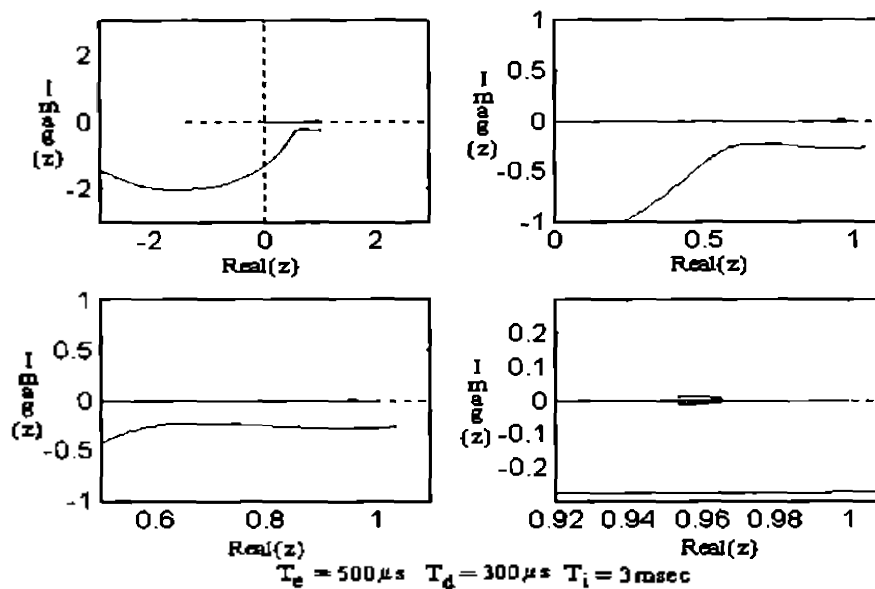


Figura A3.1.7. LR pentru  $\mu(z)$  cu  $T_i = 3 \text{msec}$  și  $K_r$  parametru

Valoarea constantei de timp de integrare este încă suficient de mică pentru a aduce la zero funcționala de stare în timp util dar în același timp destul de mare pentru a asigura o configurație de poli confortabilă. Pentru  $K_r = 0.21$ , sistemul este la limita de stabilitate cele două rădăcini complex conjugate pătrunzând în cercul de rază unitate ( $p_{1,2} = 0.287 \pm j0.9537$  și  $p_{4,5} = 1.0000 \pm j0.2718$ ), iar pentru  $K_r = 4.185$  ( $p_{1,2} = 0.9323 \pm j0.9625$  și  $p_{4,5} = 0.2279 \pm j1.0000$ ), ele ies din nou. Domeniul de stabilitate a lui  $K_r$  este mai mare de data aceasta și se poate găsi o valoare care să conducă la poli acceptabili. Astfel în figura A3.1.8 este prezentată configurația obținută pentru  $K_r = 1.3$  ( $p_{1,2} = 0.7326 \pm j0.9550$  și  $p_{4,5} = 0.5614 \pm j0.2970$ ):

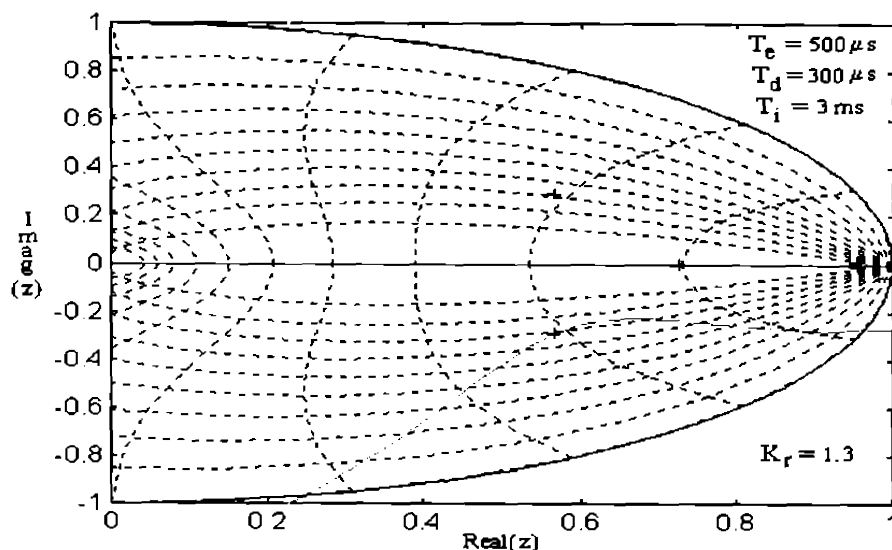


Figura A3.1.8. Configurația poli zerouri utilizată în SRAN cu  $T_e=500 \mu\text{sec}$

Acest set de parametri,  $T_e=500 \mu\text{sec}$ ,  $T_d=300 \mu\text{sec}$ ,  $T_i=3 \text{ msec}$  și  $K_r=1.3$ , au fost utilizați pentru simularea sistemului de reglare automată (capitolul 3, paragraful 6).

Studiul efectuat a fost utilizat și la găsirea unui set de parametri alternativi, pentru  $T_e=250 \mu\text{sec}$ ,  $T_d=100 \mu\text{sec}$ ,  $T_i=500 \mu\text{sec}$  și  $K_r=2.73$ . Astfel configurația obținută este prezentată în figura A3.1.9:

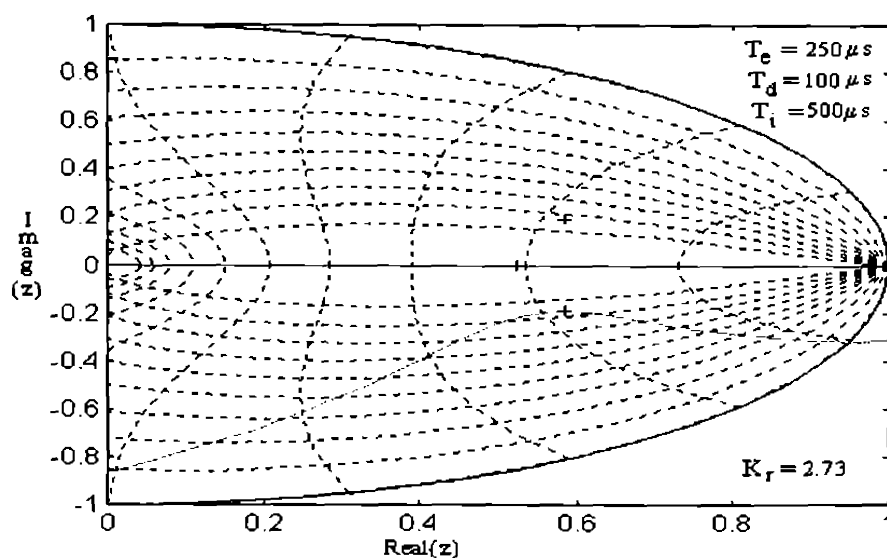


Figura A3.1.9. Configurația poli zerouri utilizată în SRAN cu  $T_e=250 \mu\text{sec}$

polii fiind  $p_1=0.5228$ ,  $p_{2,3}=0.9756 \pm j0.0021$  și  $p_{4,5}=0.5841 \pm j0.1910$ . Acest nou set a permis ridicarea tensiunii de alimentare la valoarea nominală  $u_{a,max} = 170 \text{ V}$ , fără a mai avea probleme de suprareglaj sau oscilații permanente ale mărimii de comandă.

### A3.1.2 Sistem discret funcționând în regim alunecător cu funcționala de stare de ordinul 2

Se discută în continuare problema sistemului discret cu buclă interioară de curent analogică, funcționând în regim alunecător cu element de tip PI pe funcționala de stare de ordinul 2. Polinomul caracteristic este dat de (3.78)

$$\mu(z) = \mu_0(z)(z-1) - \frac{T_e}{2T_i}(z+1)[c_1 n_1(z) + n_2(z)] - K_r(z-1)[c_1 n_1(z) + n_2(z)]$$

în care  $\mu_0(z)$  este polinomul caracteristic al SIEIGL discret,  $n_i(z)$ ,  $i = 1, 2$  sunt numărătorii funcțiilor de transfer ai întrefierului și vitezei respectiv pentru SIEIGL în raport cu intrarea  $i_a$  și  $c$  este coeficientul funcționalei de stare. Facând același tip de notații ca mai sus:

$$\begin{aligned} D(z) &= \mu_0(z)(z-1) \\ N_I(z) &= -\frac{T_e}{2}(z+1)[c_1 n_1(z) + n_2(z)] \\ N_K(z) &= -(z-1)[c_1 n_1(z) + n_2(z)] \end{aligned} \quad (\text{A3.1.4})$$

polinomul caracteristic al sistemului de reglare automată se poate pune din nou sub forma

$$\mu(z) = D(z) + \frac{1}{T_i} N_I(z) + K_r N_K(z) \quad (\text{A3.1.5})$$

Se analizează aceleași două cazuri pentru  $T_e=500 \mu\text{sec}$  și mai apoi pentru  $T_e=250 \mu\text{sec}$ . În tabelele TA3.1.5 și TA3.1.7 sunt listați polii, iar în tabelul TA3.1.6 și TA3.1.8 zerourile polinomului (A3.1.3) cu  $D(z)$  și  $N_I(z)$  date de (A3.1.4) în funcție de  $T_d$ , pentru cele două valori ale perioadei de eșantionare.

Tabelul A3.1.5

	$p_1$	$p_2$	$p_3$	$p_4$
$T_d = 0 \mu\text{sec}$	0	0.9446	1	1.0587
$T_d = 100 \mu\text{sec}$	0	0.9446	1	1.0587
$T_d = 200 \mu\text{sec}$	0	0.9446	1	1.0587
$T_d = 300 \mu\text{sec}$	0	0.9446	1	1.0587

Tabelul A3.1.6

	$z_1$	$z_2$	$z_3$
$T_d = 0 \mu\text{sec}$	-1	0	0.9512
$T_d = 100 \mu\text{sec}$	-1	-0.2563	0.9512
$T_d = 200 \mu\text{sec}$	-1	-0.6835	0.9512
$T_d = 300 \mu\text{sec}$	-1	-1.15380	0.9512

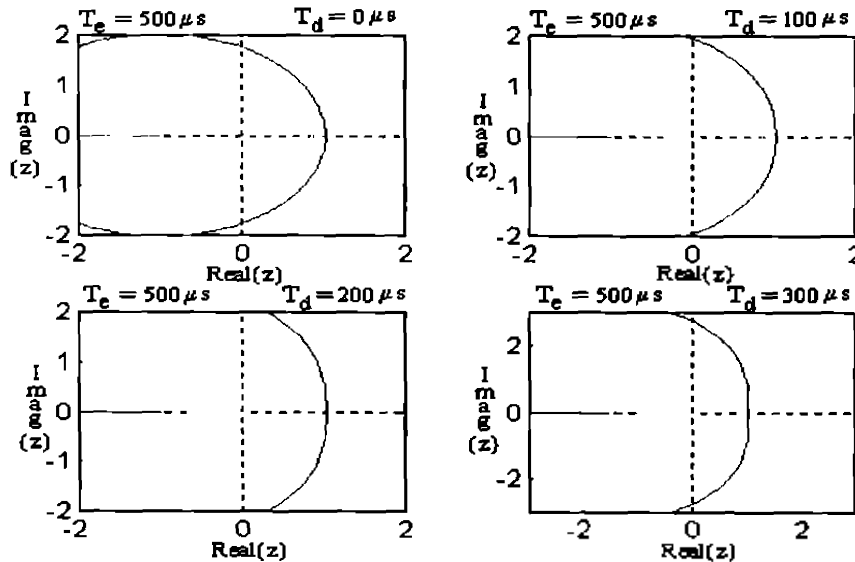
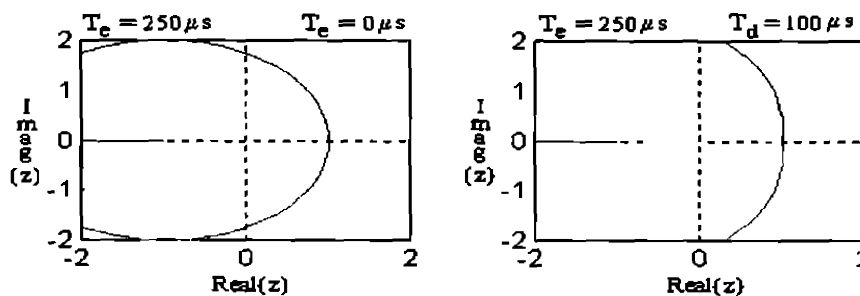
Tabelul A3.1.7

	$p_1$	$p_2$	$p_3$	$p_4$
$T_d = 0 \mu\text{sec}$	0	0.9719	1	1.0289
$T_d = 100 \mu\text{sec}$	0	0.9719	1	1.0289

Tabelul A3.1.8

	$z_1$	$z_2$	$z_3$
$T_d = 0 \mu\text{sec}$	-1	0	0.9753
$T_d = 300 \mu\text{sec}$	-1	-0.675	0.9753

Locurile rădăcinilor asociate polinomului (A.3.1.3) în raport cu constanta de timp de integrare sunt reprezentate în figurile A3.1.10 și A3.1.11 respectiv:

Figura A3.1.10. LR pentru polinomul (A3.1.3) cu  $T_i$  ca parametruFigura A3.1.11. LR pentru polinomul (A3.1.3) cu  $T_i$  ca parametru

Din analiza acestor tabele și diagrame se pot trage concluziile legate de rădăcinile polinoamelor din (A3.1.4):

- $D(z)$  are la o perioadă de eșantionare fixă rădăcinile constante în funcție de timpul de calcul  $T_d$ ; variația lor este minimală la modificarea lui  $T_e$ , se regăsesc o rădăcină în origine, datorată existenței unei întârzieri în calcul, o rădăcină în punctul real 1 datorată elementului integrator, și două rădăcini reale pozitive foarte apropiate de 1, una în interiorul și una în exteriorul cercului de rază unitate; acestea din urmă sunt datorate procesului redus la un sistem de ordinul doi.
- $N_T(z)$  are o singură rădăcină care se modifică relativ mult cu timpul de calcul, din nou pe axa reală negativă plecând din origine și deplasându-se spre  $-\infty$  cu creșterea lui  $T_d$ ; o a doua

rădăcină este datorată termenului  $(z+1)$  din (A3.1.4) și este constantă și o a treia rădăcină este reală, pozitivă în interiorul cercului de rază unitate dar apropiată de 1.

- $N_K(z)$  are aceleași rădăcini cu  $N_T(z)$  cu excepția celei din punctul -1, înlocuit de o rădăcină în punctul 1.
- Locul rădăcinilor polinomului caracteristic (A3.1.5) în raport cu  $K_r$  poate avea poli plasați în funcție de  $T_i$  astfel:

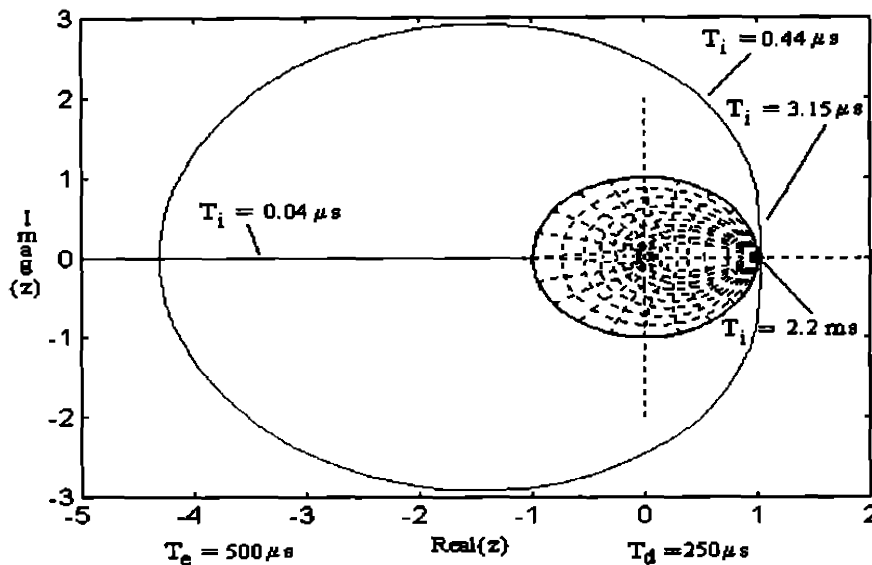


Figura A3.1.12. LR pentru  $D(z)+1/T_i N_T(z)$  în raport cu  $T_i$

- pentru valori mari (mai mari ca 10msec) ale lui  $T_i$  (mici ale lui  $1/T_i$ ) poli locului rădăcinilor polinomului caracteristic  $\mu(z)$  sunt:
  - un pol real negativ apropiat de 0
  - un pol real pozitiv, stabil apropiat de 0.9
  - doi poli reali pozitivi mai mari ca 1 și apropiați de 1

LR are aspectul:

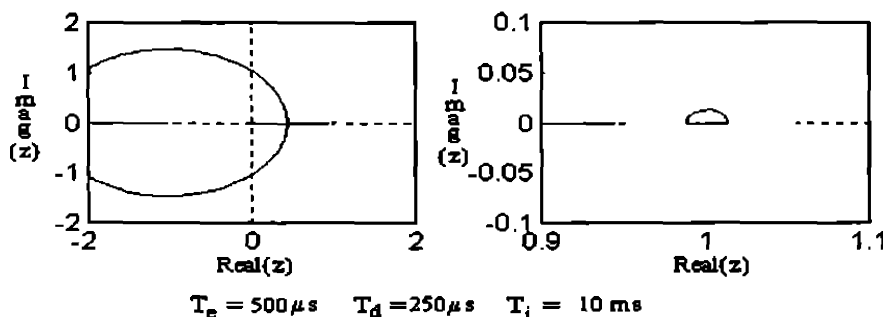


Figura A3.1.13. LR pentru  $\mu(z)$  cu  $T_i = 10$  sec și  $K_r$  parametru

Analizând cele două diagrame se constată că există o plajă a lui  $K_r$  pentru care să se obțină valori stabile. Astfel pentru  $K_r = 16$  cei doi poli inițial reali instabili și care pe măsură ce  $K_r$  crește se transformă în poli complex conjugați, pătrund în cercul de rază unitate ( $p_1=0.0338$ ,  $p_2=0.9370$  și  $p_{3,4}=0.9999\pm j0.0128$ ), iar pentru  $K_r = 480$  alți doi poli complex conjugați care se formează părăsesc cercul de rază unitate

( $p_1=0.9516$ ,  $p_2=0.9999$  și  $p_{3,4}=0.0374\pm j0.9999$ ). Din păcate în întregul domeniu de stabilitate există o rădăcină reală pozitivă inacceptabil de apropiată de 1.

- pentru valori de ordinul zecilor de  $\mu\text{sec}$  polii LR sunt:
  - un pol real negativ apropiat de 0
  - un pol real pozitiv stabil între 0.9 și 1
  - doi poli complex conjugăți cu partea reală pozitivă apropiată de 1 și parte imaginară redusă.

Luând ca exemplu  $T_i=50\mu\text{sec}$  se obține LR:

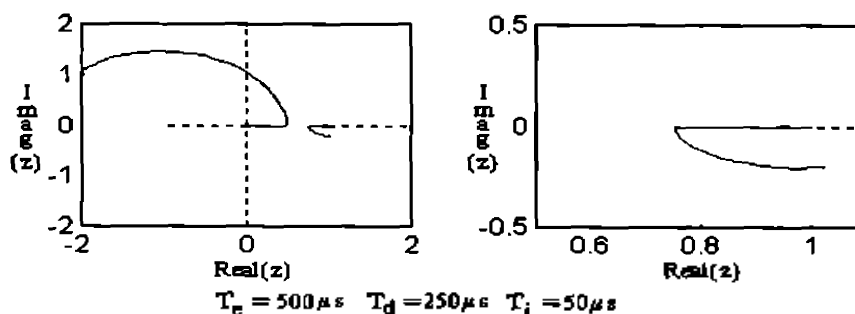


Figura A3.1.14. LR pentru  $\mu(z)$  cu  $T_i=50\mu\text{sec}$  și  $K_r$  parametru

Se găsește în acest caz o plajă largă a lui  $K_r$  pentru care se poate obține o configurație stabilă. Astfel pentru  $K_r=13.1$  cei doi poli complex conjugăți inițiali intră în cercul de raza unitate ( $p_1=0.0163$ ,  $p_2=0.9504$  și  $p_{3,4}=0.9999\pm j0.2030$ ), iar pentru  $K_r=475.1$  ceilalți doi poli complex conjugăți care se formează ies din cercul de rază unitate ( $p_1=0.9519$ ,  $p_2=0.9781$  și  $p_{3,4}=0.0481\pm j0.9999$ ). De data aceasta se pot obține mai multe configurații de poli care să satisfacă suficient stabilitatea sistemului.

- pentru valori de ordinul  $\mu\text{sec}$  polii LR sunt:
  - un pol real negativ cuprins între -1 și 0
  - un pol real negativ cuprins între 0.9 și 1
  - doi poli complex conjugăți cu partea imaginară mai mare ca 1 și partea reală cuprinsă între 0.7 și 1

De exemplu pentru  $T_i=50\mu\text{sec}$  se obține LR:

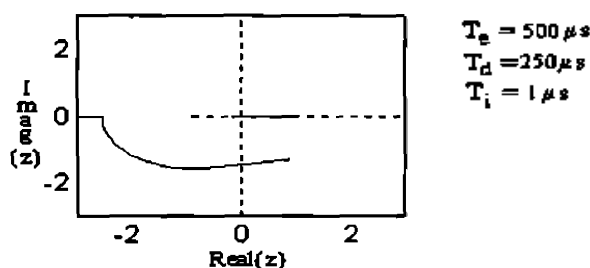


Figura A3.1.15. LR pentru  $\mu(z)$  cu  $T_i=1\mu\text{sec}$  și  $K_r$  parametru

Se constată că rădăcinile polinomului caracteristic au întotdeauna cel puțin un pol instabil.

În concluzie se alege o configurație cu valori destul de mici ale constantei de timp de integrare care are aspectul din figura A3.1.16. Polii obținuți pentru  $K_r=90$  sunt  $p_1=0.2789$ ,  $p_2=0.9499$  și  $p_{3,4}=0.7906\pm j0.1086$ .

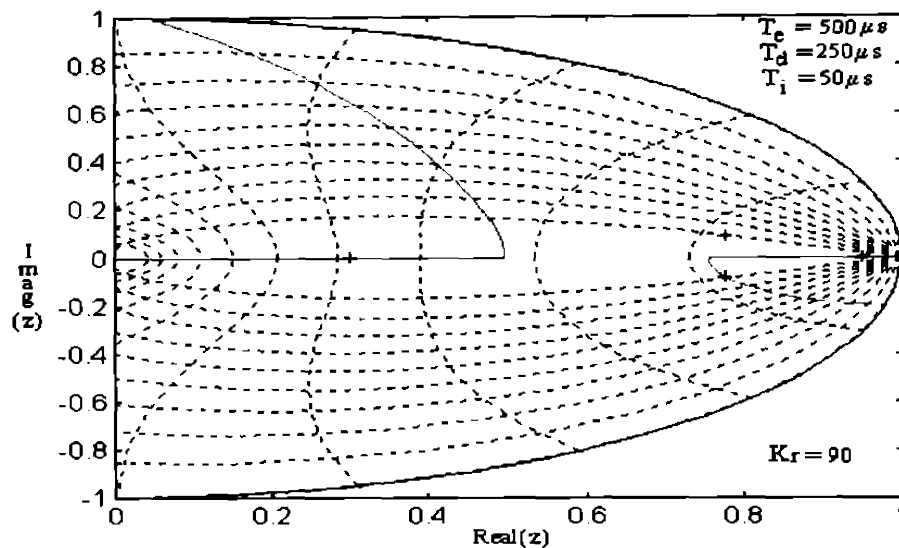


Figura A3.1.16. Configurația poli zerouri utilizată în SRAN cu  $T_c=500 \mu\text{sec}$

Pentru a putea compara rezultatele cu cele din studiul sistemului anterior s-a analizat și situația în care perioada de eșantionare este 250  $\mu\text{sec}$  și timpul de întârziere datorat calculului este 100  $\mu\text{sec}$ . Având în vedere modul de variație al polilor LR al polinomului caracteristic cu constanta de timp de integrare, similar cu reprezentarea din figura A3.1.12 este necesară alegerea unei constante de timp  $T_i$  destul de mică. Astfel această valoare s-a ales 6  $\mu\text{sec}$  și locul rădăcinilor pentru polinomul caracteristic (A3.1.15) în raport cu amplificarea  $K_r$  este trasat în figură A3.1.17.

Tot în această figură s-au marcat și polii sistemului de reglare automată obținuți pentru  $K_r=180$ , valorile lor fiind  $p_1=0.7870$ ,  $p_2=0.9752$  și  $p_{3,4}=0.4366 \pm j0.2820$ .

Rezultatele simulărilor obținute cu valorile determinate în această anexă sunt analizate în capitolul 3, paragrafele 6.1 și 6.2.

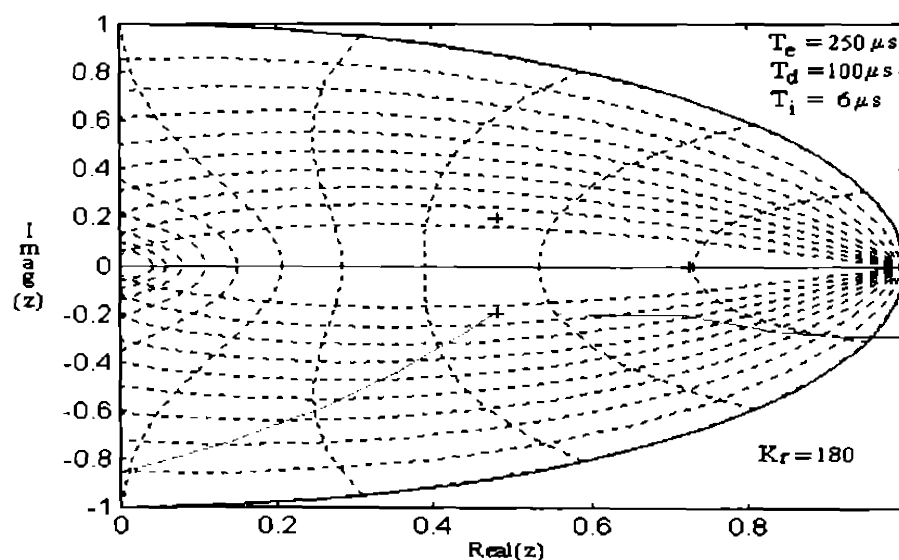


Figura A3.1.17. Configurația poli zerouri utilizată în SRAN cu  $T_c=250 \mu\text{sec}$

## ANEXA 3.2.

### A3.2. Analiza locului rădăcinilor pentru sistemul de reglare automată a S2E1GL discret

Sistemul de reglare numerică a S2E1GL discutat în 3.7 este dependent de 6 parametri:

- curentul de pretensionare  $I_0$
- perioada de eșantionare  $T_e$
- întârzierea de calcul  $T_d$
- coeficientul de transfer  $K_r$  al componentei proporționale a elementului PI
- constanta de timp de integrare  $T_i$  a elementului PI
- lățimea "tubului"  $\varepsilon$

În urma experienței dobândite în proiectarea S1E1GL, din start se alege pentru perioada de eșantionare valoarea de 250  $\mu$ sec și pentru timpul de întârziere de calcul 100  $\mu$ sec. Aceasta va permite utilizarea unui unic procesor pentru reglarea a două axe perpendiculare, deci a unui întreg lagăr magnetic

Pentru sistemul discret cu buclă interioară de curent analogică, funcționând în regim alunecător cu element de tip PI pe funcționala de stare de ordinul 2, polinomul caracteristic este dat și în acest caz de (3.78)

$$\mu(z) = \mu_0(z)(z-1) - \frac{T_e}{2T_i}(z+1)[c_1n_1(z) + n_2(z)] - K_r(z-1)[c_1n_1(z) + n_2(z)] \quad (A3.2.1)$$

în care:  $\mu_0(z)$  este însă polinomul caracteristic al S2E1GL discret,  $n_i(z)$ ,  $i=1,2$  sunt numărătorii funcțiilor de transfer ale întrefierului și vitezei respectiv pentru S2E1GL în raport cu intrarea  $i_u$  iar  $c$  este coeficientul funcționalei de stare. Cu notațiile cunoscute:

$$\begin{aligned} D(z) &= \mu_0(z)(z-1) \\ N_T(z) &= -\frac{T_e}{2}(z+1)[c_1n_1(z) + n_2(z)] \\ N_K(z) &= -(z-1)[c_1n_1(z) + n_2(z)] \end{aligned} \quad (A3.2.2)$$

polinomul caracteristic al sistemului de reglare automată se poate pune din nou sub forma

$$\mu(z) = D(z) + \frac{1}{T_i}N_T(z) + K_rN_K(z) \quad (A3.2.3)$$

În afară de  $T_e$  și  $T_d$ , cele trei polinoame din (A3.2.2) depind în acest caz și de curentul  $I_0$ . Curentul de pretensionare este un element nou față de S1E1GL și în capitolul 2 s-a arătat că în absența lui, S2E1GL este necontrolabil. În același timp valoarea lui  $I_0$  modifică și banda de pulsație a procesului: cu cât este mai mare cu atât banda de pulsație este mai extinsă. Cu cât însă  $I_0$  este mai mare cu atât consumul de energie este mai mare și sistemul poate deveni neeconomic în special atunci când S2E1GL este într-un regim staționar. Ca mai totdeauna și aici trebuie găsit un compromis între lățimea benzii de frecvență și consumul energetic admisibil în regim staționar. *Este o problemă care se rezolvă în funcție de aplicația concretă, în care banda de pulsație a sistemului de reglare poate fi una din datele impuse prin proiectare.*

În figura A3.2.1 se dau caracteristicile amplitudine - pulsație și fază - pulsație pentru sistemul discret (3.79) în raport cu referința de curent, pentru diferite valori ale lui  $I_0$ . Se constată că într-adevăr banda



de pulsație a sistemului crește cu valoarea curentului de pretensionare, de la aproximativ 7 rad/sec la  $I_0 = 0.1$  A și până la aproximativ 300 rad/sec pentru 5 A. Un compromis între banda de frecvențe și energia utilizată se obține pentru  $I_0 = 1$  A, valoare la care pulsația de frângere este aproximativ 60 rad/sec, iar în repaus, energia disipată în înfășurarea electromagnetului și elementele semiconductoare de putere utilizate în chopper este încă relativ redusă.

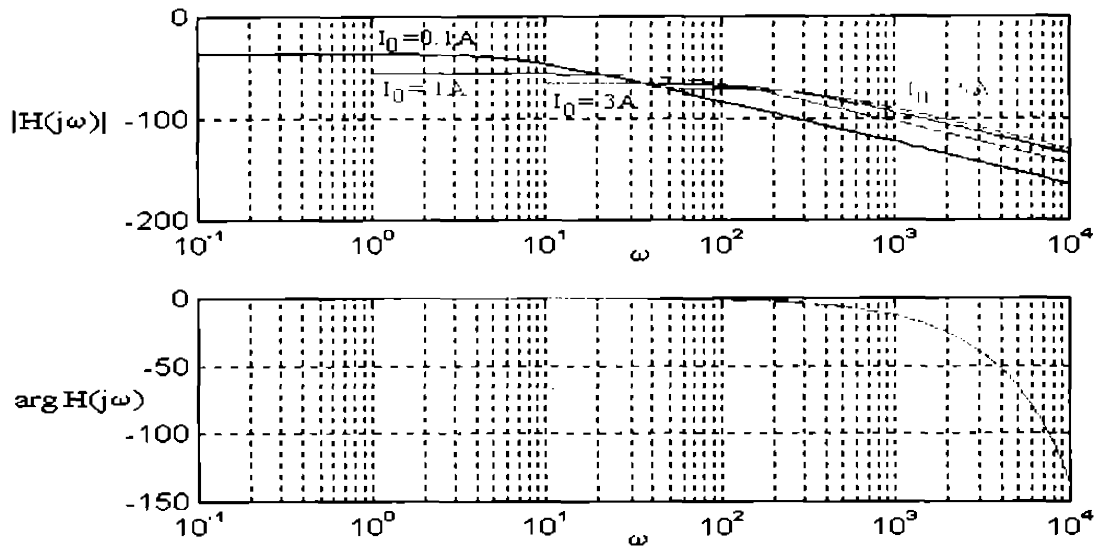


Figura A3.2.1. Diagramele Bode pentru sistemul (3.79) cu  $I_0$  ca parametru

În tabelele T A3.2.1 și T A3.2.2 se dau valorile rădăcinilor lui  $D(z)$  și  $N_7(z)$  respectiv pentru câteva valori ale curentului de pretensionare.

Tabelul T A3.2.1

	$p_1$	$p_2$	$p_3$	$p_4$
$I_0 = 0.1$ A	0	0.9983	1	1.0017
$I_0 = 1$ A	0	0.9836	1	1.0167
$I_0 = 3$ A	0	0.9517	1	1.0508
$I_0 = 5$ A	0	0.9207	1	1.0861

Tabelul T A3.2.2

	$z_1$	$z_2$	$z_3$
$I_0 = 0.1$ A	-1	-0.7560	0.7793
$I_0 = 1$ A	-1	-0.7560	0.7793
$I_0 = 3$ A	-1	-0.7560	0.7793
$I_0 = 5$ A	-1	-0.7559	0.7792

Se observă că două din rădăcinile lui  $D(z)$  se modifică pe măsură ce curentul crește, iar două sunt constante,  $p_1=0$  corespunzătoare timpului de întârziere de calcul și  $p_2=1$  corespunzătoare elementului integrator din elementul PI. Rădăcinile lui  $N_7(z)$  se modifică cu totul nesemnificativ, iar cele ale lui  $N_A(z)$  sunt identice cu cele ale lui  $N_7(z)$  cu excepția celei din punctul 1, în locul lui -1, lucru evident din (A3.2.2).

Descompunând problema alocării polilor lui  $\mu(z)$  din (A3.2.3) similar procedurii utilizat în anexa A3.1, se determină în primul rând poziția posibilă a rădăcinilor lui

$$D(z) + \frac{1}{T_i} N_T(z) \quad (\text{A3.2.4})$$

în raport cu  $1/T_i$ . Astfel, trasând locul rădăcinilor polinomului (A3.2.4) în raport cu acest coeficient se obține diagrama din figura A3.2.2

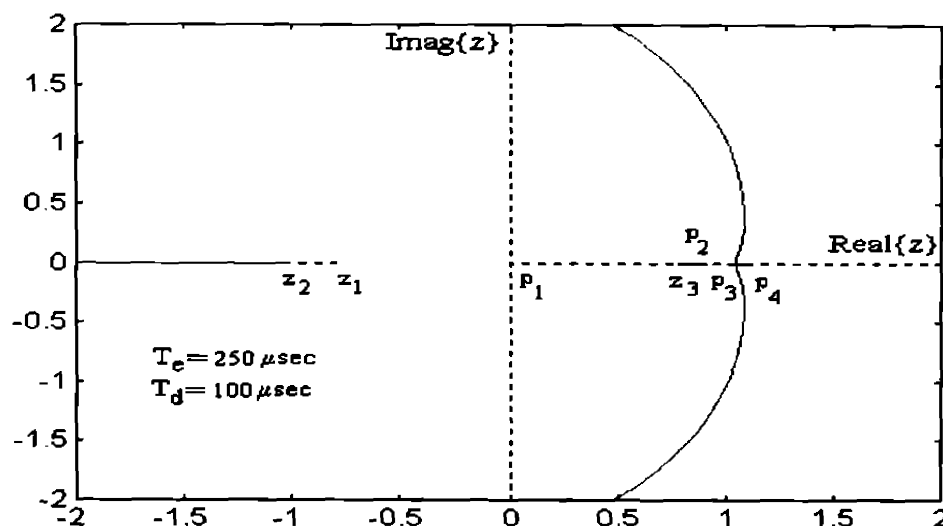


Figura A3.2.2. LR pentru (A3.2.4) cu  $T_i$  ca parametru

Se observă că o rădăcină va fi poziționată pe segmentul axei reale negative dintre  $p_1$  și  $z_1$ , o alta pe segmentul axei reale pozitive între  $p_3$  și  $z_3$ . Alte două, pentru valori mari ale lui  $T_i$  se găsesc tot pe axa reală pozitivă într-o zonă foarte apropiată de 1, pentru valori medii ale constantei de integrare pe cele două ramuri complex conjugate care se ramifică în zona lui  $(1,0)$  și care apoi devin din nou reale undeva pe axa reală negativă, în jurul valorii  $(-5,0)$ , iar pentru valori foarte mici ale lui  $T_i$  una se va afla pe axa reală negativă între  $-5$  și  $-1$  și a doua pe axa reală negativă, tinzând spre infinit. Această poziționare a rădăcinilor polinomului (A3.2.4) este similară cu cele determinate în anexa A3.2.1, astfel încât, pe baza celor determinate anterior se apreciază că cei doi poli, care variază mult, ai locului rădăcinilor determinat pentru

$$D(z) + \frac{1}{T_i} N_T(z) + K_r N_K(z) \quad (\text{A3.2.5})$$

în raport cu coeficientul  $K_r$ , trebuie să se afle pe cele două ramuri complex conjugate, în prima porțiune a acestora. Se alege valoarea  $T_i = 100 \mu\text{sec}$ .

Se trasează apoi LR pentru (A3.2.5):

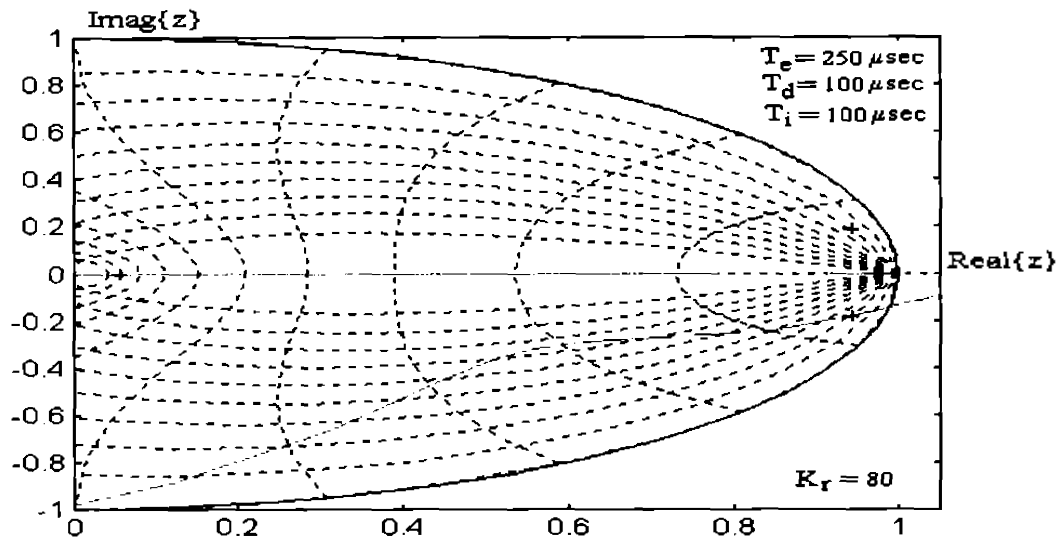


Figura A3.2.3. Configurația poli zerouri pentru  $T_r = 250 \mu\text{sec}$

Alegerea uncia din cele mai convenabile configurații determină valoarea lui  $K_r=80$ , valoare pentru care se obțin pentru polinomul caracteristic al sistemului de reglare numerică rădăcinile: 0.0549, 0.96499 și  $0.9446 \pm j0.1819$ , adică un pol foarte apropiat de 0 (pol dominat) și trei poli dominanți, cu parte reală pozitivă, doi cu parte imaginară dar destul de mică, asigurând nu numai stabilitatea sistemului dar și performanțe de răspuns relativ rapide și fără un suprareglaj exagerat.

## CAPITOLUL 4

### 4. Metode pentru estimarea stării sistemelor cu sustentație electromagnetică

#### 4.1 Enunțarea problemei

Sistemele de reglare sintetizate în capitolul precedent utilizează în calculul mărimii de comandă diferite variabile ale procesului, variabile considerate a fi la dispoziția proiectantului. În realitate, doar un număr redus de mărimi din proces pot fi măsurate, fie datorită dificultăților tehnice, fie datorită complexității măsurării și deci a prețului prohibitiv. De exemplu, măsurarea fluxului în întrefier va fi puternic influențată de dispersie. Este extrem de dificil, dacă nu imposibil de a separa fluxul de dispersie de fluxul "util", flux care produce forța electromagnetică. Apoi măsurarea directă a forței, fără contact mecanic între electromagnet și jugul feromagnetic necesită traductoare de forță cu totul deosebite de cele utilizate în mod obișnuit, prețul lor fiind foarte ridicat.

În capitolul 2 s-au dedus modele matematice intrare-stare-ieșire în care s-a presupus posibilitatea de măsurare a trei tipuri de mărimi ale procesului: întrefier, accelerație absolută și curentul (curenții) prin electromagneți.

S-au experimentat diferite metode de măsurare fără contact mecanic a poziției jugului electromagnetic față de electromagnet: metode bazate pe variație de inductanță, variație de capacitate electrică, ultrasunete, piezoelectrice etc. Fiecare dintre ele are însă dezavantaje: unele sunt neliniare, altele variază în timp, sunt dependente de mediul ambiant, sunt prea scumpe, măsoară pe domenii prea mici, extrem de ușor perturbabile. În urma analizei avantajelor și dezavantajelor diferitelor metode și a experimentelor efectuate în decursul timpului, s-a decis utilizarea traductoarelor inductive. Acestea sunt independente de mediul ambiant, nu variază în timp, prețul lor este rezonabil și se pot obține variații semnificative ale tensiunii de ieșire în raport cu variația întrefierului. Au însă două dezavantaje mari: tensiunea la ieșire este neliniară în raport cu întrefierul și, deoarece sunt bazate pe fenomene de inducție electromagnetică într-un mediu extrem de poluat cu radiație electromagnetică datorită chopperelor, pot avea un zgomot ridicat. Primul dezavantaj se poate remedia prin utilizarea unei curbe a traductorului care să compenseze neliniaritatea. În [T2] se prezintă construcția unui astfel de traductor. În situații în care reglarea este numerică și se dispune de un echipament de calcul numeric se poate face o calibrare numerică a traductorului. Zgomotul traductorului poate fi mult redus prin plasarea lui într-un punct în care perturbația electromagnetică să fie redusă.

Traductoarele de accelerație sunt inerțiale, utilizând timbre tensiometrice plasate pe o parte și alta a unei tije fixe la un capăt și cu o masă mobilă cunoscută la celălalt, totul cufundat într-un lichid cu vâscozitate relativ ridicată. Ele au câteva mari dezavantaje: sunt dependente de temperatură (vâscozitatea este dependentă de temperatura mediului), necesită întreținere periodică (vâscozitatea lichidului se modifică în timp) și sunt de dimensiuni relativ mari. În ultimul timp însă, au apărut traductoare încapsulate de dimensiuni relativ reduse care nu mai au nevoie nici de întreținere și nu mai depind de condițiile mediului ambiant. Utilitatea traductoarelor de accelerație a fost clar dovedită în cadrul proiectului MAGNIBUS, datorită dimensiunilor însă, nu au putut și nu pot fi folosite deocamdată în cazul lagărelor magnetice.

Măsurarea curentului, mărime cvasicontinuă, a constituit o problemă în trecut datorită necesității decuplării galvanice între șuntul rezistiv și circuitele de control. În prezent, existența traductoarelor de curent bazate pe sonde Hall cu compensare de temperatură, în buclă închisă, permițând măsurarea curentului într-o bandă de frecvență de la 0 la câteva sute de kHz rezolvă complet această problemă.

În concluzie, având în vedere sistemele de reglare analizate în capitolul 3, problema estimării stării proceselor cu sustentație electromagnetică discutate în această lucrare poate fi:

- estimarea vitezei, atunci când se măsoară întrefierul și accelerația absolută

- estimarea vitezei și accelerației, atunci când se măsoară înțefierul și curentul
- estimarea vitezei, atunci când se măsoară înțefierul și curentul.

*Estimarea unei variabile a unui proces reprezintă de fapt o metodă de măsurare indirectă: pe baza altor mărimi din proces, prin calcul, se determină o mărime dorită, nemăsurabilă în mod direct. Măsurarea indirectă este uneori făcută printr-un calcul direct bazat în exclusivitate pe mărimile măsurabile și parametrii procesului, alteori prin ceea ce în teoria sistemelor se cunoaște sub denumirea de estimator de stare și mai nou prin metode aproximative, bazate pe logica fuzzy sau rețele neuronale. În cele ce urmează se consideră că pentru sistemele cu susținere electromagnetică, cele mai potrivite metode de estimare sunt cele tratate de teoria sistemelor: calculul direct este ușor perturbabil prin zgomote și variații ale parametrilor, iar metodele bazate pe logica fuzzy și derivate ale acesteia necesită un efort de calcul prea mare pentru viteza la care se desfășoară procesele cu susținere electromagnetică.*

## 4.2 Estimatoare de stare

Estimatoarele de stare sunt bazate pe teoria filtrelor în domeniul frecvență dezvoltată de Wiener și apoi, la începutul anilor 1960 transpusă de Kalman în spațiul stărilor, în ceea ce se cunoaște sub denumirea de filtre Kalman. Particularizarea acestor filtre de către Luenberger [L3], [L4] la sistemele liniare a constituit o simplificare cu aplicații extrem de utile în teoria reglării sistemelor liniare. Studiile pentru determinarea unor estimatoare cât mai simple și robuste continuă. În lucrarea de față sunt discutate atât filtrele Kalman, estimatoarele de tip Luenberger, cât și un tip de estimator bazat pe funcționarea în regim alunecător.

### 4.2.1 Estimatoare de stare liniare

O tratare extrem de completă și riguroasă matematic a estimatoarelor de stare liniare este făcută în [11]. Se enunță pe scurt problema estimatorului de stare așa cum apare în volumul menționat.

Pe baza mărimilor de intrare ale procesului  $u$  și ale celor de ieșire  $y$  se poate determina un estimator de  $Fx$ . Un estimator de  $Fx$  are drept scop sinteza unei mărimi  $w$  astfel încât:

$$\lim_{t \rightarrow \infty} (w(t) - Fx(t)) = 0$$

în cazul continuu și

$$\lim_{k \rightarrow \infty} (w_k - Fx_k) = 0$$

în cazul discret.



Figura .14.1. Estimator de  $Fx$

Se consideră procesul  $(A,B,C)$  și estimatorul  $(J,H,M,K,N,P)$  descrise de ecuațiile:

$$\begin{aligned} \dot{x} &= Ax + Bu, \quad \text{cu } x(0) = x_0 \in \mathcal{X}_0 \\ y &= Cx \\ \text{cu } x &\in \mathcal{R}^n, u \in \mathcal{R}^m, y \in \mathcal{R}^p \end{aligned} \tag{4.1}$$

$$\begin{aligned} \dot{z} &= Jz + Hy + Mu, \quad \text{cu } z(0) = z_0 \\ w &= Kz + Ny + Pu \\ \text{cu } z &\in \mathcal{R}^n, w \in \mathcal{R}^l \end{aligned} \tag{4.2}$$

matricele celor două sisteme având ordine corespunzătoare.

(i) Sistemul (4.2) este întradevăr un estimator de  $Fx$  dacă

$$\lim_{t \rightarrow \infty} (w(t) - Fx(t)) = 0 \quad \text{în cazul continuu} \tag{4.3}$$

$$\lim_{k \rightarrow \infty} (w_k - Fx_k) = 0 \quad \text{în cazul discret}$$

$$\forall x_0 \in X_0 \text{ și } \forall z_0 \in \mathbb{R}^r$$

(ii) dacă  $\sigma(J) \subset C^s$  (domeniul de stabilitate al planului "s" sau "z") estimatorul se numește stabil

(iii) dacă  $\sigma(J) = \Lambda_{ES}$  cu  $\Lambda_{ES} \subset C^s$  un set simetric arbitrar de numere, estimatorul se numește și alocabil.

Cazul general ia forme particulare astfel:

- dacă  $l=n$  → estimator de stare și  $w=x$
- dacă  $l=m$  → lege de comandă și  $w=Fx$
- dacă  $l=1$  → lege de comandă pentru cazul proceselor monovariabile la intrare și  $w=u=f^T x$  sau funcțională liniară de stare  $w=f^T x$ .

Proiectarea unui estimator de stare constă în stabilirea ordinului estimatorului adică a lui  $n_2$  și determinarea matricelor  $J, H, M, K, N$  și  $P$ . Introducând eroarea de estimare

$$e = z - Vx, \quad \text{cu } e(0) = e_0 = z_0 - Vx_0 \tag{4.4}$$

cu  $V$  o matrice deocamdată neprecizată, înlocuind în ecuațiile (4.2) și punând condiția ca eroarea de estimare să tindă asimptotic la zero, adică sistemul să se simplifice la:

$$\begin{aligned} \dot{e} &= Je & e_0 &= z_0 - Vx_0 \\ w - Fx &= Ke \end{aligned} \tag{4.5}$$

se obțin condițiile de existență ale estimatorului:

$$\begin{aligned} JV + HC &= VA \\ KV + NC &= F \\ M &= VB \\ P &= 0 \\ K\Phi_J &\rightarrow 0 \text{ cand } t \text{ (sau } k) \rightarrow \infty \end{aligned} \tag{4.6}$$

cu  $\Phi_J$  matricea de tranziție a primei ecuații din (4.5).

Dacă spectrul lui  $J$ :  $\sigma(J) \subset C^s$  ultima condiție din (4.6) este superfluă, iar dacă spectrul lui  $J$  este complet alocabil, atunci condiția menționată se înlocuiește cu  $\sigma(J) = \Lambda_{ES} \subset C^s$ .

Dacă în (4.6) se impune  $N=0$ , estimatorul se numește de tipul 1, altfel de tipul 2.

Condițiile (4.6) constituie totodată și relațiile de proiectare ale estimatorului, necunoscutele fiind matricele estimatorului, matricea  $V$  și ordinul  $n_2$ . În majoritatea cazurilor numărul necunoscutelor scalare rezultate este mai mare decât numărul ecuațiilor scalare conținute în ele, problema fiind nedeterminată, existând principial o infinitate de soluții. Metodele de proiectare diferă între ele doar prin modul de utilizare a gradelor de libertate.

În aplicațiile de reglare estimatorul se poate utiliza în două moduri echivalente:

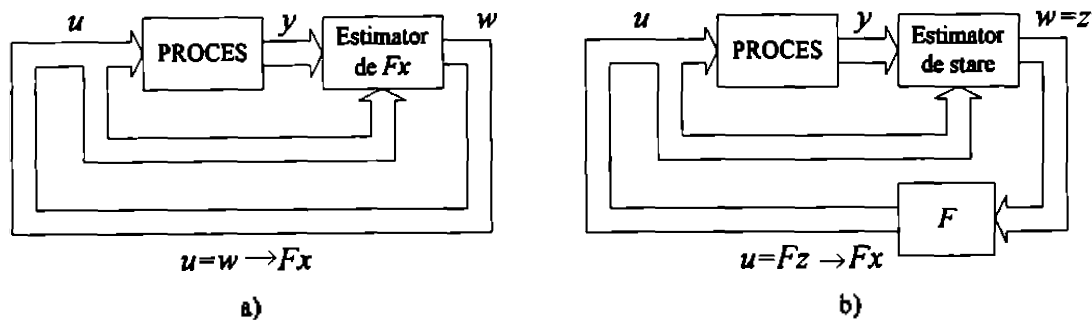


Figura 4.2. Schemele bloc ale estimatorului de  $Fx$  și estimatorului de stare

Diferența constă în faptul că în timp ce în primul caz se estimează direct  $u$ , variabilă de stare  $z$  neavând nici o semnificație (doar mărime de calcul), în al doilea caz se estimează starea  $x$ , vectorul  $z$  reprezentând estimata vectorului de stare, iar legea de comandă se obține din produsul compensatorului de stabilizare cu vectorul de stare estimat. În ambele cazuri, ecuațiile de stare ale sistemului astfel obținut pot fi aduse la forma:

$$\begin{bmatrix} \dot{x} \\ e \end{bmatrix} = \begin{bmatrix} A + BF & K \\ 0 & J \end{bmatrix} \begin{bmatrix} x \\ e \end{bmatrix} \quad (4.7)$$

evidențînd proprietatea cunoscută sub denumirea de *teorema separării spectrelor*: spectrul sistemului (4.7) se obține ca reuniune disjunctă a spectrului sistemului de reglare (proces + reacție după stare) și cel al estimatorului:

$$\sigma\left(\begin{bmatrix} A + BF & K \\ 0 & J \end{bmatrix}\right) = \sigma(A + BF) \dot{\cup} \sigma(J) \quad (4.8)$$

Se observă că

$$\sigma(J) = \sigma(A - HC) = \Lambda_{ES} \quad (4.9)$$

Problema de alocare (4.9) are soluție dacă și numai dacă perechea  $(C, A)$  este observabilă.

Estimatorul de stare din figura 4.1b se obține prin particularizarea condițiilor de existență (4.6) prin  $K=V=I_n$ ,  $N=0$  și eliminând a doua condiție:

$$\begin{aligned} J + HC &= A \\ M &= B \\ \sigma(J) &= \Lambda_{ES} \subset C^* \end{aligned} \quad (4.10)$$

Nu în toate situațiile este necesară construcția unui estimator de stare de ordin complet ( $n_2=n$ ). Atunci când o parte a vectorului de stare este măsurabilă se poate construi un estimator cu  $n_2 < n$ , cu

evidente avantaje în timpul de calcul și preț de cost. Notând cu  $x^T = [x_1 \ x_2]$  cu  $x_1 \in \mathfrak{M}^{n-q}$  starea nemăsurabilă și cu  $x_2 \in \mathfrak{M}^q$  starea măsurabilă procesul se poate pune sub forma:

$$\begin{aligned} \begin{bmatrix} \dot{x}_1 \\ \dot{x}_2 \end{bmatrix} &= \begin{bmatrix} A_{11} & A_{12} \\ A_{21} & A_{22} \end{bmatrix} \begin{bmatrix} x_1 \\ x_2 \end{bmatrix} + \begin{bmatrix} B_1 \\ B_2 \end{bmatrix} u \\ y = \begin{bmatrix} y_1 \\ y_2 \end{bmatrix} &= \begin{bmatrix} C_1 & C_2 \\ 0 & I_q \end{bmatrix} \begin{bmatrix} x_1 \\ x_2 \end{bmatrix} \end{aligned} \quad (4.11)$$

În cazul estimatorului de  $F\hat{x}$  de ordin redus:

$$F\hat{x} = \begin{bmatrix} F_1 & F_2 \end{bmatrix} \begin{bmatrix} x_1 \\ x_2 \end{bmatrix} \quad (4.12)$$

ecuațiile acestuia sunt:

$$\begin{aligned} \dot{z} &= Jz + H_1 y_1 + H_2 x_2 + Mu \\ w &= Kz + N_1 y_1 + N_2 x_2 + Pu \end{aligned} \quad (4.13)$$

Pentru ca estimatorul de  $F\hat{x}$  de ordin redus să îndeplinească condițiile

$$\begin{aligned} \lim_{t \rightarrow \infty} (w(t) - F_1 x_1(t)) &= 0 && \text{în cazul continuu} \\ \lim_{k \rightarrow \infty} (w_k - F_1 x_{1,k}) &= 0 && \text{în cazul discret} \end{aligned} \quad (4.14)$$

facând schimbarea de variabilă

$$e = z - Vx_1 \quad (4.15)$$

se obțin condițiile de existență ale estimatorului de  $F\hat{x}$  de ordin redus:

$$\begin{aligned} JV + H_1 C_1 &= VA_{11} \\ H_1 C_2 + H_2 &= VA_{12} \\ M &= VB_1 \\ KV + N_1 C_1 &= F_1 \\ N_1 C_2 + N_2 &= 0 \\ P &= 0 \\ \sigma(J) &= \Lambda_{ES} \subset C^s \end{aligned} \quad (4.16)$$

Atunci ecuațiile estimatorului de  $F\hat{x}$  de ordin redus sunt:

$$\begin{aligned} \dot{e} &= Je \\ w - F_1 x_1 &= Ke \end{aligned} \quad (4.17)$$



Si aici se poate deduce estimatorul de stare de ordin redus prin impunerea condițiilor  $K=V=I_{n-q}$ ,  $N_1=N_2=0$  obținându-se:

$$\begin{aligned} J + H_1 C_1 &= A_{11} \\ H_1 C_2 + H_2 &= A_{12} \\ M &= B_1 \\ P &= 0 \\ \sigma(J) &= \sigma(A_{11} - H_1 C_1) = \Lambda_{ES} \subset C^s \end{aligned} \tag{4.18}$$

Ultima relație din (4.18) reprezintă o problemă de alocare care are soluție dacă și numai dacă perechea  $(C_1, A_{11})$  este observabilă.

In cazul sistemelor monovariabile la intrare se vorbește de estimator de funcțională liniară de stare, caz particular al estimatorilor de  $\hat{x}$ :

$$\begin{aligned} \dot{\hat{x}} &= J\hat{x} + Hy + mu \\ w &= k^T \hat{x} + n^T y \end{aligned} \tag{4.19}$$

cu condițiile de existență (și proiectare)

$$\begin{aligned} JV + HC &= VA \\ k^T V + n^T C &= f^T \\ m &= Vb \\ \sigma(J) &= \Lambda_{ES} \end{aligned} \tag{4.20}$$

Pentru sistemele monovariabile la intrare se pot construi estimatoare de stare de ordin minimal alocabile. In acest sens se poate enunța teorema:

Pentru procesul observat  $(A, b, C)$  există întotdeauna un estimator de funcțională liniară de stare de tipul 1 care are rangul  $v$  și unul de tipul 2 de rang  $v-1$ , unde  $v$  este indicele de observabilitate al sistemului, adică cel mai mic întreg pentru care matricea

$$\begin{bmatrix} C \\ CA \\ \vdots \\ CA^{v-1} \end{bmatrix}$$

are rangul  $n$ .

Estimatorul de  $\hat{x}$  prezentat este bazat pe ipoteza că sistemul estimat este constant, invariant în timp și neperturbat. Aceste supoziții constituie un handicap în aplicarea lor în cazul sistemelor cu sustentație electromagnetică, în care matricele sistemului sunt în mare măsură dependente de starea acestuia, iar procesul este perturbat. Totuși pentru acest caz particular, în [D4] se dă construcția unui estimator de stare liniar, independent de parametrii procesului și relativ invariant la perturbații, așa cum se va vedea într-unul din paragrafele următoare.

### 4.2.2 Filtre Kalman

Filtrele Kalman - cunoscute și sub denumirile de "estimatori Kalman", sau "filtre Kalman-Bucy" - au fost dezvoltate în contextul problemei regulatorului linear pătratic gaussian. Astfel filtrul Kalman înlocuiește compensatorul utilizat în reacția după stare printr-o combinație compensator-estimată a stării procesului. Problema determinării filtrului Kalman este o problemă de optimizare, de determinare a unei estimate a stării sistemului în condițiile minimizării erorii medii pătratice de estimare. Problema se definește pornind de la procesul stohastic linear [D1], [G3]:

$$\begin{aligned} \dot{x}(t) &= A(t)x(t) + B(t)u(t) + D(t)v(t) \\ y(t) &= C(t)x(t) \\ \dot{z}(t) &= \zeta(t)x(t) + w(t) \end{aligned} \tag{4.21}$$

cu  $x \in \mathfrak{R}^n$ ,  $y \in \mathfrak{R}^p$ ,  $u \in \mathfrak{R}^m$ ,  $v \in \mathfrak{R}^q$ ,  $w \in \mathfrak{R}^p$ ,  $z \in \mathfrak{R}^p$ , în care prima ecuația reprezintă ecuațiile de stare ale modelului stohastic, a doua ecuațiile de ieșire, iar a treia ecuațiile observate (măsurate) în care ieșirii i se aduagă zgomote. Se fac ipotezele:

Matricele procesului  $A(t) \in \mathfrak{R}^{n \times n}$ ,  $B(t) \in \mathfrak{R}^{n \times m}$ ,  $C(t) \in \mathfrak{R}^{p \times n}$ ,  $D(t) \in \mathfrak{R}^{n \times q}$  sunt considerate lineare pe porțiuni.

Starea inițială  $x_0 = x(0)$  are valoarea medie  $E\{x_0\} = m_0 = 0 \in \mathfrak{R}^n$  și satisface egalitatea  $\text{cov}[x_0, x_0] = P_0 \in \mathfrak{R}^{n \times n}$  cu  $P_0$  dată a priori.

Zgomotul procesului  $v(\cdot) \in \mathfrak{R}^q$  și zgomotul de măsură  $w(\cdot) \in \mathfrak{R}^p$  au media nulă, sunt necorelate și au covarianțele:

$$\text{cov}[v(t), v(t)] = Qt \text{ respectiv } \text{cov}[w(t), w(t)] = \int_0^t R(\tau) d\tau \tag{4.23}$$

$Q$  fiind o matrice constantă, diagonală și pozitiv semidefinită.

Atunci estimatorul optimal care minimizează eroarea medie patratică

$$\langle e(t), e(t) \rangle = E[e^T(t)e(t)] \text{ , } e(t) = x(t) - \hat{x}(t|t) \tag{4.24}$$

este dat de ecuația diferențială stohastică:

$$\dot{\hat{x}}(t|t) = A(t)\hat{x}(t|t) + K(t)(\dot{z}(t) - C(t)\hat{x}(t|t)) + B(t)u(t) \tag{4.25}$$

unde  $\hat{x}(t_0|t_0) = E[x(t_0)] = m_0$ , iar matricea Kalman

$$K(t) = P(t)C^T(t)R^{-1}(t) \text{ , } t \geq t_0 \tag{4.26}$$

Matricea de covarianță a erorii de estimare  $P(t) = E[e^T(t)e(t)]$  satisface ecuația diferențială matriceală Riccati:

$$\dot{P}(t) = A(t)P(t) + P(t)A^T(t) + D(t)QD^T(t) - P(t)C^T(t)R^{-1}(t)C(t)P(t) \quad (4.27)$$

cu condiția inițială

$$P(t_0) = P_0 = \text{cov}[x_0, x_0] \quad (4.28)$$

Schema bloc informațională a estimatorului Kalman este dată în figura 4.3:

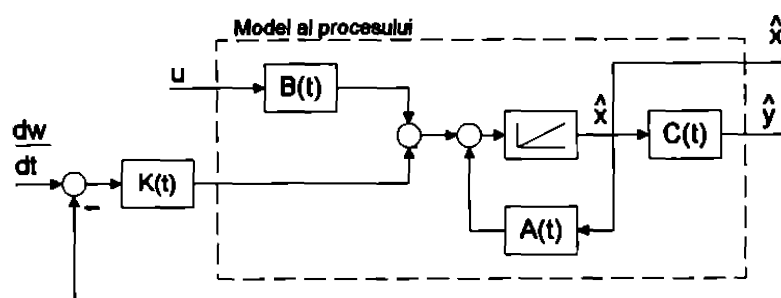


Figura 4.3. Schema bloc a filtrului Kalman

Procedura de calcul a estimatorului presupune rezolvarea la fiecare moment  $t > t_0$  a ecuației diferențiale matriceale Riccati (4.27), calculul amplificării Kalman (4.26) și apoi determinarea stării estimate cu (4.25). Sigur că pentru acest caz general acest algoritim este rareori posibil de implementat practic. Particularizând însă pentru sisteme invariante în timp se obține filtrul Kalman invariant în timp cu numeroase aplicații practice. Astfel se poate enunța teorema:

Fie sistemul (4.21) invariant în timp, cu sursele de zgomot staționare ( $Q \geq 0$  și  $R > 0$  constante) și necorelate:

- (i) Dacă sistemul (4.21) este detectabil și stabilizabil din punctul de vedere al zgomotului procesului atunci soluția ecuației diferențiale matriceale Riccati tinde către valoarea unică constantă  $P$  pentru orice  $P_0 \geq 0$ .
- (ii) Dacă matricea  $P$  există atunci ea este soluția simetrică pozitiv semidefinită a ecuației algebrice Riccati

$$AP + PA^T + DQD^T - PC^T R^{-1} CP = 0 \quad (4.29)$$

Dacă sistemul este detectabil și stabilizabil atunci  $P$  este soluția unică pozitiv semidefinită a ecuației algebrice Riccati (4.29).

- (iii) Dacă matricea  $Q > 0$  și matricea  $P$  există atunci ea este pozitiv definită dacă și numai dacă sistemul este complet controlabil.
- (iv) Filtrul Kalman invariant în timp este asimptotic stabil dacă și numai dacă sistemul este detectabil și stabilizabil.

Demonstrația acestei teoreme este dată în numeroase lucrări, de exemplu [K3].

Domeniul în care filtrul Kalman și-a găsit cu precădere aplicație este reglarea sistemelor discrete. Atât estimatorii variant cât și cei invariante pot fi aplicate sub diferite forme care se vor defini în continuare.

Fie procesul (4.30) rezultat din (4.21) prin discretizare ca realizare invariantă la semnal treaptă.

$$\begin{aligned} x_{k+1} &= A_k x_k + B_k u_k + D_k v_k \\ z_k &= y_k + w_k = C_k x_k + w_k \end{aligned} \quad (4.30)$$

Zgomotul procesului și al măsurilor măsurate sunt presupuse cu valoare medie nulă și albe, adică:

$$\begin{aligned} \text{cov}[v_k, v_l] &= Q_k \delta_{kl} \\ \text{cov}[w_k, w_l] &= R_k \delta_{kl} \\ \text{cov}[v_k, w_k] &= 0 \end{aligned} \quad \text{cu } \delta_{k,l} = \begin{cases} 1 & \text{pentru } l = k \\ 0 & \text{pentru } l \neq k \end{cases} \quad (4.31)$$

și

$$E[v_k] = 0, \quad E[w_k] = 0 \quad (4.32)$$

$Q_k \geq 0$  și  $R_k > 0$  sunt matrice de covarianță simetrice.

Vectorul stării inițiale se presupune a fi necorelat cu zgomotul procesului, cu covarianța inițială  $P_0$  și media  $m_0$ :

$$m_0 = E[x_0], \quad P_0 = E[(x_0 - m_0)(x_0 - m_0)^T]$$

Definind eroarea de estimare

$$e_{k|k-1} = x_k - \hat{x}_{k|k-1} \quad (4.33)$$

filtrul linear optimal discret care minimizează funcția obiectiv a eroarii:

$$\langle e_{k|k-1}, e_{k|k-1} \rangle = E[e_{k|k-1} e_{k|k-1}^T] \quad (4.34)$$

are ecuațiile:

$$\hat{x}_{k+1|k} = A_k \hat{x}_{k|k-1} + K_k (z_k - C_k \hat{x}_{k|k-1}) + B_k u_k \quad (4.35)$$

cu:

$$K_k = A_k P_{k|k-1} C_k^T [C_k P_{k|k-1} C_k^T + R_k]^{-1} \quad (4.36)$$

covarianța a priori

$$P_{k+1|k} = A_k P_{k|k-1} A_k^T + D_k Q_k D_k^T - A_k P_{k|k-1} C_k^T [C_k P_{k|k-1} C_k^T + R_k]^{-1} C_k P_{k|k-1} A_k^T \quad (4.37)$$

și condiții inițiale

$$\begin{aligned} \hat{x}_{1|0} &= A_0 m_0 \\ P_{1|0} &= A_0 P_0 A_0^T + D_0 Q_0 D_0^T \end{aligned} \quad (4.38)$$

O altă formă a ecuației recurente (4.37) mai mult utilizată în practică este:

$$P_{k+1,k} = [A_k - K_k C_k] P_{k,k-1} [A_k - K_k C_k]^T + D_k Q_k D_k^T + K_k R_k K_k^T \quad (4.39)$$

care deși cere un efort de calcul mai mare, poate calcula  $P_{k+1,k}$  cu acuratețe mai bună chiar și în prezența erorilor de trunchiere.

Acest tip de estimator poartă și denumirea de "predictor într-un pas" datorită faptului că starea la momentul  $k+1$  depinde doar de istoria estimatorului, nu și de stările curente. Estimatorul Kalman poate fi definit și utilizând măsurări prezente. În acest caz funcția obiectiv ce trebuie minimizată se definește:

$$J = \langle e_{k,k}, e_{k,k} \rangle = E[e_{k,k} e_{k,k}^T] \quad \text{cu eroarea} \quad e_{k,k} = x_k - \hat{x}_{k,k} \quad (4.40)$$

Ecuatiile filtrului Kalman discret sunt:

$$\hat{x}_{k,k} = A_{k-1} \hat{x}_{k-1,k-1} + K_k (z_k - C_k A_{k-1} \hat{x}_{k-1,k-1}) + B_{k-1} u_{k-1} \quad (4.41)$$

cu

$$K_k = P_{k,k-1} C_k^T [C_k P_{k,k-1} C_k^T + R_k]^{-1} \quad (4.42)$$

covarianța *a priori*

$$P_{k+1,k} = A_k P_{k,k-1} A_k^T + D_k Q_k D_k^T \quad (4.43)$$

covarianța *a posteriori*

$$P_{k,k} = P_{k,k-1} - K_k C_k P_{k,k-1} \quad (4.44)$$

și condiții inițiale

$$\begin{aligned} \hat{x}_{1,0} &= m_0 \\ P_{0,0} &= P_0 \end{aligned} \quad (4.45)$$

Analiza ecuațiilor filtrului Kalman permite scrierea ecuațiilor într-o a treia formă de tipul predictor-corrector. Astfel dacă se notează cu  $\bar{v}_k = E[v_k]$  și  $\bar{w}_k = E[w_k]$  predictorul are ecuațiile:

$$\hat{x}_{k+1,k} = A_k \hat{x}_{k,k} + B_k u_k + D_k \bar{v}_k \quad (4.46)$$

cele ale filtrului Kalman sunt

$$\hat{x}_{k+1,k+1} = \hat{x}_{k+1,k} + K_{k+1} (z_{k+1} - C_{k+1} \hat{x}_{k+1,k} - \bar{w}_k) \quad (4.47)$$

cu amplificarea

$$K_{k+1} = P_{k+1,k} C_{k+1}^T [C_{k+1} P_{k+1,k} C_{k+1}^T + R_{k+1}]^{-1} \quad (4.48)$$

covarianța *a priori*

$$P_{k+1,k} = A_k P_{k,k} A_k^T + D_k Q_k D_k^T \quad (4.48)$$

covarianța *a posteriori*

$$P_{k+1,k+1} = P_{k+1,k} - K_{k+1} C_{k+1} P_{k+1,k} \quad (4.49)$$

și condiții inițiale

$$\begin{aligned} \hat{x}_{1,0} &= m_0 \\ P_{0,0} &= P_0 \end{aligned} \quad (4.50)$$

Ca și în cazul continuu, dacă matricele procesului sunt invariante și zgomotele sunt staționare ( $Q \geq 0$  și  $R > 0$  constante) estimatorul Kalman se reduce la un filtru invariant în timp. Acesta este echivalentul unui filtru optimal discret care sub forma unei funcții de transfer este cunoscut sub numele de filtru Wiener. Astfel pentru procesul invariant

$$\begin{aligned} x_{k+1} &= Ax_k + Bu_k + Dv_k \\ z_k &= y_k + w_k = Cx_k + w_k \end{aligned} \quad (4.51)$$

estimatorul Kalman are ecuațiile:

$$\hat{x}_{k+1|k+1} = A\hat{x}_{k|k} + K(z_{k+1} - CA\hat{x}_{k|k}) + Bu_{k+1} \quad (4.52)$$

cu amplificarea Kalman

$$K = PC^T(CPC^T + R)^{-1} \quad (4.53)$$

și  $P$  soluția ecuației algebrice Riccati

$$P = APA^T - APC^T(CPC^T + R)^{-1}CPA^T + DQD^T \quad (4.54)$$

Această scurtă trecere în revistă a filtrelor Kalman va permite într-unul din paragrafele următoare selectarea unuia sau a altuia, în funcție de modul în care se pretează în estimarea stării sistemelor cu susținere electromagnetică în bucle de reglare continue sau discrete.

### 4.2.3 Estimatoare cu funcționare în regim alunecător

În acest paragraf se caută a se face o generalizare a estimatorului de stare cu funcționare în regim alunecător descris în [W1] și [Y3] și care se referea la estimarea completă a stării unor procese neperturbate pe canalele de ieșire. Parțial această generalizare a fost concepută dar nefinalizată în [T6].

#### 4.2.3.1 Preliminarii

Fie clasa proceselor reprezentate prin sistemul de ecuații:

$$\begin{aligned} \dot{x}(t) &= A(x,t)x(t) + B(x,t)u(t) + v(t,x,u) \\ y(t) &= C(x,t)x(t) + w(t,x,u) \end{aligned} \quad (4.55)$$

în care:

- $x \in \mathfrak{R}^n, u \in \mathfrak{R}^m, y \in \mathfrak{R}^p,$
- matricele  $A(x,t) \in \mathfrak{R}^{n \times n}, B(x,t) \in \mathfrak{R}^{n \times m}, C(x,t) \in \mathfrak{R}^{p \times n}$  pot fi funcții variabile în timp, dependente de starea și parametrii procesului,
- funcțiile  $v(t,x,u): \mathfrak{R}_+^1 \times \mathfrak{R}^n \times \mathfrak{R}^m \rightarrow \mathfrak{R}^n$  și  $w(t,x,u): \mathfrak{R}_+^1 \times \mathfrak{R}^n \times \mathfrak{R}^m \rightarrow \mathfrak{R}^p$  pot fi interpretate ca neliniarități și perturbații pe intrări.

Dacă

(1) se pot separa:

$$\begin{aligned} A(x,t) &= A + \Delta A(x,t) \\ B(x,t) &= B + \Delta B(x,t) \\ C(x,t) &= C + \Delta C(x,t) \end{aligned} \tag{4.56}$$

în care  $A$ ,  $B$  și  $C$  sunt matrice invariante cu rangul lui  $C = p$ .

(2) există matricele  $E_1 \in \mathfrak{R}^{n \times n}$ ,  $E_2 \in \mathfrak{R}^{p \times p}$  constante și cu rangurile  $n$  respectiv  $p$ , și funcțiile:

$$\begin{aligned} f_1(t,x) &: \mathfrak{R}_+^1 \times \mathfrak{R}^n \rightarrow \mathfrak{R}^n \\ f_2(t,x) &: \mathfrak{R}_+^1 \times \mathfrak{R}^m \rightarrow \mathfrak{R}^m \\ f_3(t,x,u) &: \mathfrak{R}_+^1 \times \mathfrak{R}^n \times \mathfrak{R}^m \rightarrow \mathfrak{R}^n \end{aligned} \quad \text{și} \quad \begin{aligned} g_1(t,x) &: \mathfrak{R}_+^1 \times \mathfrak{R}^n \rightarrow \mathfrak{R}^p \\ g_2(t,x,u) &: \mathfrak{R}_+^1 \times \mathfrak{R}^n \times \mathfrak{R}^m \rightarrow \mathfrak{R}^p \end{aligned} \tag{4.57}$$

astfel încât să se poată scrie:

$$\begin{aligned} \Delta A(x,t)x(t) &= E_1 f_1(t,x) & \Delta C(x,t)x(t) &= E_2 g_1(t,x) \\ \Delta B(x,t)u(t) &= E_1 f_2(t,x) & w(t,x,u) &= E_2 g_2(t,x,u) \\ v(t,x,u) &= E_1 f_3(t,x,u) \end{aligned} \tag{4.58}$$

(3) făcând notațiile:

$$\begin{aligned} f(t,x,u) &= f_1(t,x) + f_2(t,x) + f_3(t,x,u) \\ g(t,x,u) &= g_1(t,x) + g_2(t,x,u) \end{aligned} \tag{4.59}$$

cu  $f(t,x,u)$  și  $g(t,x,u)$  funcții continue și mărginite superior.

atunci sistemul (4.55) se poate rescrie sub forma:

$$\begin{aligned} \dot{x}(t) &= Ax(t) + Bu(t) + E_1 f(t,x,u) \\ y(t) &= Cx(t) + E_2 g(t,x,u) \end{aligned} \tag{4.60}$$

Se dorește construcția unui estimator de  $F \cdot x$  pentru sistemul (4.60) astfel încât:

$$\begin{aligned} \lim_{t \rightarrow \infty} (w(t) - Fx(t)) &= 0 & \text{pentru cazul continuu} \\ \text{respectiv} & & \\ \lim_{k \rightarrow \infty} (w_k - Fx_k) &= 0 & \text{pentru cazul discret} \end{aligned} \tag{4.61}$$

Se fac următoarele ipoteze:

(i) Perechea  $(A,C)$  este detectabilă, existând matricea  $H \in \mathfrak{R}^{n \times p}$  astfel încât

$$\sigma((VA - HC)V^{-1}) = \Lambda_{KS} \subset \mathbb{C}^n$$

cu  $V \in \mathfrak{R}^{n \times n}$  o matrice inversabilă ce se va determina ulterior.

(ii) Există o matrice  $Q \in \mathfrak{R}^{n \times n}$  simetrică și pozitiv definită și matricele  $E \in \mathfrak{R}^{n \times n}$ ,  $G \in \mathfrak{R}^{n \times p}$  și

$T_1, T_2 \in \mathfrak{R}^{n \times n}$  astfel încât

$$\begin{aligned} ET_1 &= VE_1 \\ ET_2 &= (VA - HC)E_2 \\ C^T G^T &= PE \end{aligned} \quad (4.62) \quad \left| \begin{array}{l} \text{matricea } E \text{ poate fi privită ca cel mai} \\ \text{mare divizor comun al matricelor} \\ VE_1 \text{ și } (VA - HC)E_2 \end{array} \right.$$

în care  $P \in \mathfrak{R}^{n \times n}$  este soluția unică, pozitiv definită a ecuației Liapunov

$$V^{-T}(VA - HC)^T P + P(VA - HC)V^{-1} = -Q \quad (4.63)$$

(iii) Există două funcții scalare  $\rho(t, u)$  și  $\eta(t, u)$  astfel încât

$$\begin{aligned} \|f(t, x, u)\| &\leq \rho(t, u) \quad , \forall t \in \mathfrak{R}_+, x \in \mathfrak{R}^n, u \in \mathfrak{R}^m \\ \|g(t, x, u)\| &\leq \eta(t, u) \quad , \forall t \in \mathfrak{R}_+, x \in \mathfrak{R}^n, u \in \mathfrak{R}^m \end{aligned} \quad (4.64)$$

Notând cu  $z \in \mathfrak{R}^n$  starea estimatorului de  $Fx$  și cu  $e \in \mathfrak{R}^n$  eroarea de estimare  $e = z - Vx$ , se construiesc ecuațiile estimatorului:

$$\begin{aligned} \dot{z} &= Jz + Hy + Mu - S(t, z, x, \rho, \eta) \\ w &= Kz + Ny + Pu \end{aligned} \quad (4.65)$$

În (4.65) se poate identifica din nou estimatorul de  $Fx$  de tip Luenberger, la care se adaugă funcția  $S$ , funcție ce se va determina în continuare.

Se pot imediat obține condițiile de existență ale estimatorului:

$$\begin{aligned} JV + HC &= VA \\ M &= VB \\ KV + NC &= F \\ P &= 0 \\ \sigma(J) &= \Lambda_{\mathfrak{R}^n} \subset \mathbb{C}^s \\ NE_2 g(t, x, u) &= 0 \\ S(t, z, x, \rho, \eta) + VE_1 f(t, x, u) - JVE_2 g(t, x, u) &\xrightarrow{t \rightarrow \infty} 0 \end{aligned} \quad (4.66)$$

recunoscând în primele cinci condițiile de existență ale estimatorului liniar de  $Fx$ .

Ultimele două relații sunt proprii acestui tip de estimator. Prima dintre ele poate fi satisfăcută în mai multe situații:

- se poate determina  $N$  astfel încât  $NE_2 = 0$
- ecuațiile de ieșire sunt neperturbate  $y = Cx$  și  $g(t, x, u) = 0$
- estimatorul este de tipul 1, adică  $N = 0$

Se caută în continuare a se determina funcția  $S$  astfel încât să fie îndeplinită și ultima condiție din (4.66) care cu ipotezele făcute anterior se poate rescrie:

$$\begin{aligned} S(t, z, x, \rho, \eta) + Eh(t, x, u) &\xrightarrow{t \rightarrow \infty} 0 \\ \text{cu} \\ h(t, x, u) &= T_1 f(t, x, u) + T_2 g(t, x, u) \end{aligned} \quad (4.67)$$



cu proprietatea

$$\|h(t, x, u)\| \leq \|I_1\| \rho(t, u) + \|I_2\| \eta(t, u) = \chi(t, u) \quad , \forall t \in \mathfrak{M}_+ , x \in \mathfrak{X}^n , u \in \mathfrak{U}^m \quad (4.68)$$

rezultată din (4.64).

Fie funcția Liapunov

$$V_t(e) = \frac{1}{2} e^T P e \quad (4.69)$$

Originea este un punct asimptotic stabil pentru sistemul (4.60) dacă pentru oricare stare inițială a erorii  $e_0$  derivata funcției Liapunov este strict negativă pentru oricare  $t \geq 0$ .

$$\begin{aligned} \dot{V}_t &= \frac{1}{2} (e^T P e + e^T P \dot{e}) = \frac{1}{2} [e^T J^T - S^T(t, z, x, \chi) - h^T(t, x, u) E^T] P e + \\ &+ \frac{1}{2} e^T P [J e - S(t, z, x, \chi) - E h(t, x, u)] = \frac{1}{2} e^T [J^T P + P J] e - \\ &- \frac{1}{2} [S^T(t, z, x, \chi) P e + e^T P S(t, z, x, \chi)] - \frac{1}{2} [h^T(t, x, u) E^T P e + e^T P h(t, x, u)] \end{aligned}$$

Ținând cont de relațiile (4.62), (4.66), (4.67) și (4.68):

$$\|h^T(t, x, u) E^T P e + e^T P E h(t, x, u)\| \leq 2 \|GCe\| \chi(t, u) \quad (4.70)$$

și utilizând și (4.63) se poate scrie

$$\dot{V}_t(e) \leq -\frac{1}{2} e^T Q e - \frac{1}{2} [S^T(t, z, x, \chi) P e + e^T P S(t, z, x, \chi)] + \|GCe\| \chi(t, u).$$

Se definește acum

$$S(t, z, x, \chi) = S(t, e, \chi) = \begin{cases} \frac{EGCe}{\|GCe\|} \chi(t, u) & \text{pentru } GCe \neq 0 \\ 0 & \text{pentru } GCe = 0 \end{cases} \quad (4.71)$$

Se analizează cazul  $GCe \neq 0$ , demonstrația pentru  $GCe = 0$  fiind imediată. Utilizând din nou (4.62) și (4.66) rezultă:

$$\begin{aligned} S^T(t, e, \chi) P e + e^T P S(t, e, \chi) &= \frac{e^T C^T G^T E^T}{\|GCe\|} \chi(t, u) P e + e^T P \frac{EGCe}{\|GCe\|} \chi(t, u) = \\ &= 2 \frac{e^T C^T G^T G C e}{\|GCe\|} \chi(t, u) = 2 \|GCe\| \chi(t, u) \end{aligned}$$

Înlocuind în expresia derivatei funcției Liapunov se obține:

$$\dot{V}_t(e) \leq -\frac{1}{2} e^T Q e$$

rezultând stabilitatea asimptotică a estimatorului.

Se observă că hipersuprafața  $Gce=0$  este în mod implicit hipersuprafața de comutație în spațiul erorilor de estimare.

Se determină în continuare viteza de variație a erorii de estimare spre zero. Astfel, fie matricea  $\bar{P}$  nesingulară astfel încât  $P = \bar{P}^T \bar{P}$ . Atunci se poate scrie:

$$\frac{1}{2} \frac{d}{dt} \|\bar{P}e\|^2 \leq -e^T Q e \leq -\lambda_{\min}(Q) \|e\|^2 \leq -\lambda_{\min}(Q) \frac{\|\bar{P}e\|^2}{\|\bar{P}\|^2} \leq -\frac{\lambda_{\min}(Q)}{\lambda_{\max}(P)} \|\bar{P}e\|^2 \quad (4.72)$$

în care cu  $\lambda_{\min}(Q)$  s-a notat cea mai mică valoare proprie a lui  $Q$ , iar cu  $\lambda_{\max}(P)$  cea mai mare valoare proprie a lui  $P$ . Relația (4.72) arată că în spațiul de coordonate al erorilor eroarea scade exponențial și deci în toate sistemele de coordonate. Se arată în [Y3] că variația maximă se obține pentru  $Q$  matricea unitate

Se studiază în continuare proprietățile regimului alunecător, ale traiectoriilor erorii în raport cu suprafața de comutație implicită  $\{e | GCe = 0\}$ , identică din (4.62) cu  $\{e | E^T P e = 0\}$ .

Fie funcția de comutație:

$$\phi(e) = GCe = E^T P e \quad (4.73)$$

Se poate scrie:

$$\begin{aligned} \frac{1}{2} \frac{d}{dt} \|\phi\|^2 &= \phi^T \dot{\phi} = \phi^T E^T P \dot{e} = \phi^T E^T P J e - \frac{\phi^T E^T P E \phi}{\|\phi\|} \chi(t, u) - \phi^T E^T P E h(t, x, u) \leq \\ &\leq \|\phi\| \|E^T P J e\| - \lambda_{\min}(E^T P E) \|\phi\| \chi(t, u) + \lambda_{\max}(E^T P E) \|\phi\| h(t, x, u) \end{aligned}$$

astfel condiția de regim alunecător  $\phi^T \dot{\phi} < 0$  este îndeplinită atunci când

$$\frac{\lambda_{\max}(E^T P E)}{\lambda_{\min}(E^T P E)} \|h(t, x, u)\| + \frac{\|E^T P J e\|}{\lambda_{\min}(E^T P E)} < \chi(t, u) \quad (4.74)$$

Estimatorul de  $Fx$  dezvoltat este complex și impunând un număr destul de mare de condiții ce trebuie să fie îndeplinite, poate să nu aibe soluție sau construcția sa să fie impractică. Importanța rezultatului este însă în primul rând datorată modului în care prin particularizări se pot obține echivalențe ale estimatorului cu funcționare în regim alunecător, cu diferitele tipuri de estimatoare definite în teoria sistemelor liniare.

#### 4.2.3.2 Estimator de stare de ordin complet.

Se caută un estimator de stare de ordin complet care să asigure

$$\begin{aligned} \lim_{t \rightarrow \infty} (z(t) - x(t)) &= 0 \quad \text{pentru cazul continuu} \\ \lim_{k \rightarrow \infty} (z_k - x_k) &= 0 \quad \text{pentru cazul discret} \end{aligned} \quad (4.75)$$

În aceleași condiții (i) - (iii), făcând  $K=V=F=I_n$  se obține estimatorul de stare de ordin complet

$$\dot{z} = Jz + Hy + Bu - S(t, e, \chi) \quad (4.76)$$

cu condițiile de existență

$$\begin{aligned} J + HC &= A \\ M &= B \\ N &= 0 \\ P &= 0 \\ \sigma(J) &= \Lambda_{ES} \subset \mathbb{C}^s \\ S(t, e, \chi) + Eh(t, x, u) &\xrightarrow{t \rightarrow \infty} 0 \end{aligned} \quad (4.77)$$

în care funcția  $S(t, e, \chi)$  are definiția (4.71).

În particular, dacă sistemul (4.55) este neperturbat pe canalele de ieșire, adică  $\Delta C(x, t) \equiv 0$  și  $w(t, x, u) \equiv 0$  se obține estimatorul de stare determinat în [W1] și [Y3], ipotezele (i)...(iii) simplificându-se astfel:

(i) perechea  $(A, C)$  este detectabilă, existând matricea  $H \in \mathfrak{R}^{n \times p}$  astfel încât

$$\sigma(A - HC) = \Lambda_{ES} \subset \mathbb{C}^s$$

(ii) există o matrice  $Q \in \mathfrak{R}^{n \times n}$  simetrică și pozitiv definită și matricea  $G \in \mathfrak{R}^{n \times p}$  astfel încât

$$C^T G^T = PE \quad (4.78)$$

în care  $P \in \mathfrak{R}^{n \times n}$  este soluția unică, pozitiv definită a ecuației Liapunov

$$(A - HC)^T P + P(A - HC) = -Q \quad (4.79)$$

(iii) există funcția scalară  $\chi(t, u)$  astfel încât

$$\|f(t, x, u)\| \leq \chi(t, u) \quad , \forall t \in \mathfrak{M}_+, x \in \mathfrak{R}^n, u \in \mathfrak{U} \quad (4.80)$$

păstrându-se forma (4.76) a estimatorului de stare cu condițiile de existență (4.77) și funcția  $S$  definită în (4.71).

### 4.2.3.3 Estimator de $Fx$ de ordin redus.

Atunci când o parte a vectorului de stare este direct măsurabilă, în ipoteza că pe canalul de măsurare nu este zgomot, se poate construi și în cazul estimatoarelor cu funcționare în regim alunecător un estimator de  $Fx$  de ordin redus. Astfel dacă sistemul (4.56) se aduce la forma

$$\begin{aligned} \begin{bmatrix} \dot{x}_1 \\ \dot{x}_2 \end{bmatrix} &= \begin{bmatrix} A_{11} & A_{12} \\ A_{21} & A_{22} \end{bmatrix} \begin{bmatrix} x_1 \\ x_2 \end{bmatrix} + \begin{bmatrix} B_1 \\ B_2 \end{bmatrix} u + \begin{bmatrix} F_{11} \\ F_{12} \end{bmatrix} f(t, x, u) \\ \begin{bmatrix} y_1 \\ y_2 \end{bmatrix} &= \begin{bmatrix} C_1 & C_2 \\ 0 & I_{n-q} \end{bmatrix} \begin{bmatrix} x_1 \\ x_2 \end{bmatrix} + \begin{bmatrix} E_{21} \\ 0 \end{bmatrix} g(t, x, u) \end{aligned} \quad (4.81)$$

se caută estimatorul de  $Fx_1$  care să satisfacă:

$$\begin{aligned} \lim_{t \rightarrow \infty} (z(t) - Fx_1(t)) &= 0 \quad \text{pentru cazul continuu} \\ \lim_{k \rightarrow \infty} (z_k - Fx_{1,k}) &= 0 \quad \text{pentru cazul discret} \end{aligned} \quad (4.82)$$

Se presupun din nou ipotezele:

(i) Perechea  $(A_{11}, C_1)$  este detectabilă, existând matricea  $H_1 \in \mathfrak{R}^{n-q \times p-q}$  astfel încât

$$\sigma((VA_{11} - H_1C_1)V^{-1}) = \Lambda_{ES} \subset C^s$$

cu  $V \in \mathfrak{R}^{n-q \times n-q}$  o matrice inversabilă ce se va determina ulterior.

(ii) Există o matrice  $Q \in \mathfrak{R}^{n-q \times n-q}$  simetrică și pozitiv definită și matricele

$G \in \mathfrak{R}^{n-q \times p-q}$ ,  $E \in \mathfrak{R}^{n-q \times p-q}$  și  $T_1, T_2 \in \mathfrak{R}^{n-q \times n-q}$  astfel încât

$$\begin{aligned} C_1^T G_1^T &= PVE_{11} \\ C_1^T G_2^T &= P(VA_{11} - H_1C_1)E_{21} \\ G_1 &= T_1G \\ G_2 &= T_2G \end{aligned} \quad (4.83)$$

în care  $P \in \mathfrak{R}^{n-q \times n-q}$  este soluția unică, pozitiv definită a ecuației Liapunov

$$V^{-T}(VA_{11} - H_1C_1)^T P + P(VA_{11} - H_1C_1)V^{-1} = -Q \quad (4.84)$$

(iii) Există două funcții scalare  $\rho(t, u)$  și  $\eta(t, u)$  astfel încât

$$\begin{aligned} \|f(t, x, u)\| &\leq \rho(t, u) \quad , \forall t \in \mathfrak{R}_+, x \in \mathfrak{R}^n, u \in \mathfrak{R}^m \\ \|g(t, x, u)\| &\leq \eta(t, u) \quad , \forall t \in \mathfrak{R}_+, x \in \mathfrak{R}^n, u \in \mathfrak{R}^m \end{aligned} \quad (4.85)$$

Notând cu  $z \in \mathfrak{R}^{n-q}$  starea estimatorului de  $Fx_1$  și cu  $e \in \mathfrak{R}^{n-q}$  eroarea de estimare  $e = z - Vx_1$  se construiesc ecuațiile estimatorului:

$$\begin{aligned} \dot{z} &= Jz + H_1y_1 + H_2x_2 + Mu - S(t, e, \chi) \\ w &= Kz + N_1y_1 + N_2y_2 + Pu \end{aligned} \quad (4.86)$$

Se pot obține din nou condițiile de existență ale estimatorului de ordin redus:

$$\begin{aligned} JV + H_1C_1 &= VA_{11} \\ H_2C_2 + H_2 &= VA_{12} \\ M &= VB_1 \\ KV + N_1C_1 &= F \\ N_1C_2 + N_2 &= 0 \\ P &= 0 \\ \sigma(J) &= \Lambda_{ES} \subset C^s \\ N_1E_{21}g(t, x, u) &= 0 \\ S(t, e, \chi) + E_1h(t, x, u) &\xrightarrow{t \rightarrow \infty} 0 \end{aligned} \quad (4.87)$$

**4.2.3.4 Estimator de stare de ordin redus**

Pentru estimatorul de stare de ordin redus se particularizează estimatorul de ordin redus de  $Fx_1$  prin  $V=I \Rightarrow K=I_{n-q}$ . Pentru a satisface asimptotic condițiile:

$$\begin{aligned} \lim_{t \rightarrow \infty} (z(t) - x_1(t)) &= 0 && \text{pentru cazul continuu} \\ \lim_{k \rightarrow \infty} (z_k - x_{1,k}) &= 0 && \text{pentru cazul discret} \end{aligned} \tag{4.88}$$

cu estimatorul de stare de ordin redus

$$\dot{z} = Jz + H_1 y_1 + H_2 x_2 + Mu - S(t, e, \chi) \tag{4.89}$$

trebuie să satisfacă condițiile

$$\begin{aligned} J + H_1 C_1 &= A_{11} \\ H_2 C_2 + H_2 &= A_{12} \\ M &= B_1 \\ \sigma(J) &= \Lambda_{ES} \subset C^s \\ S(t, e, \chi) + E_1 h(t, x, u) &\xrightarrow{t \rightarrow \infty} 0 \end{aligned} \tag{4.90}$$

plecând de la ipotezele:

(i) perechea  $(A_{11}, C_1)$  este detectabilă, existând matricea  $H_1 \in \mathfrak{R}^{(n-q) \times p-q}$  astfel încât

$$\sigma(A_{11} - H_1 C_1) = \Lambda_{ES} \subset C^s;$$

(ii) există o matrice  $Q \in \mathfrak{R}^{(n-q) \times (n-q)}$  simetrică și pozitiv definită și matricele

$G_1, G_2, G \in \mathfrak{R}^{(n-q) \times p-q}$  și  $T_1, T_2 \in \mathfrak{R}^{(n-q) \times (n-q)}$  astfel încât

$$\begin{aligned} C_1^T G_1^T &= PVE_{11} \\ C_1^T G_2^T &= P(VA_{11} - H_1 C_1)E_{21} \\ G_1 &= T_1^T G \\ G_2 &= T_2^T G \end{aligned} \tag{4.91}$$

în care  $P \in \mathfrak{R}^{(n-q) \times (n-q)}$  este soluția unică, pozitiv definită a ecuației Liapunov

$$(A_{11} - H_1 C_1)^T P + P(A_{11} - H_1 C_1) = -Q \tag{4.92}$$

(iii) există două funcții scalare  $\rho(t, u)$  și  $\eta(t, u)$  astfel încât

$$\begin{aligned} \|f(t, x, u)\| &\leq \rho(t, u) \quad , \forall t \in \mathfrak{R}_+, x \in \mathfrak{R}^n, u \in \mathfrak{R}^m \\ \|g(t, x, u)\| &\leq \eta(t, u) \quad , \forall t \in \mathfrak{R}_+, x \in \mathfrak{R}^n, u \in \mathfrak{R}^m \end{aligned}$$

Funcția  $S$  și funcția de comutație își pastrează forma anterioară.

### 4.2.3.5 Estimator de funcțională liniară de stare

Ca și cazuri particulare ale estimatorului de  $Fx$ , pentru sistemele monovariabile la intrare se pot defini estimatoare de funcțională liniară de stare de ordin complet, de ordin redus, de tipul 1 și de tipul 2. Ca o exemplificare, și pentru că din punct de vedere al problemelor de stabilizare și reglare este de interes mai ales estimatorul de tipul 1, se scriu mai jos ecuațiile estimatorului pentru un sistem cu indicele de observabilitate  $\nu$ .

$$\begin{aligned} \dot{z} &= Jz + H_1 y_1 + H_2 x_2 + mu - S(t, e, \chi) \\ w &= kz \end{aligned} \quad (4.93)$$

Particularizarea ipotezelor de construcție, a condițiilor de existență și a funcțiilor  $S$  și de comutație sunt imediate.

În finalul acestui paragraf se definește o formă echivalentă a estimatorului (4.65) care se pretează mai ușor unei implementări practice. Astfel, se notează cu

$$\bar{c} = [\bar{c}_1^T \quad \dots \quad \bar{c}_m^T]^T = G\bar{c} \quad \text{cu } \bar{c}_i^T \in \mathcal{R}^{1 \times m} \quad (4.94)$$

și

$$h(t, x, u) = \begin{bmatrix} h_1(t, x, u) \\ \vdots \\ h_m(t, x, u) \end{bmatrix} \quad \chi(t, u) = \begin{bmatrix} \chi_1(t, u) \\ \vdots \\ \chi_m(t, u) \end{bmatrix}, \quad \text{cu } |h_i(t, x, u)| < \chi_i(t, u). \quad (4.95)$$

Fie funcția

$$\bar{E}(e, \chi) = E \begin{bmatrix} z_1(e, \chi) \\ \vdots \\ z_m(e, \chi) \end{bmatrix} \quad \text{cu } z_i(e, \chi) = \begin{cases} \chi_i(t, u) \operatorname{sgn}(\bar{c}_i e) & \text{pentru } \bar{c}_i e \neq 0 \\ 0 & \text{pentru } \bar{c}_i e = 0 \end{cases}; \quad (4.96)$$

atunci se poate defini estimatorul neliniar de  $Fx$  cu funcționare în regim alunecător

$$\begin{aligned} \dot{z} &= Jz + Hy + Mu - \bar{E}(t, e, \chi) \\ w &= Kz + Ny + Pu \end{aligned} \quad (4.97)$$

care să asigure

$$\begin{aligned} \lim_{t \rightarrow \infty} e(t) = \lim_{t \rightarrow \infty} (z(t) - x_1(t)) &= 0 \quad \text{pentru cazul continuu} \\ \lim_{k \rightarrow \infty} e_k = \lim_{k \rightarrow \infty} (z_k - x_{1,k}) &= 0 \quad \text{pentru cazul discret} \end{aligned} \quad (4.98)$$

Eliminarea oscilațiilor de înaltă frecvență în vecinătatea originii se poate și în acest caz face prin introducerea unui "tub" de dimensiuni  $\varepsilon$  în care sistemul devine liniar, prin modificarea funcției  $z(e, \chi)$ :

$$z_i(e, \chi) = \begin{cases} \chi_i(t, u) \operatorname{sgn}(\bar{c}_i e) & \text{pentru } |\bar{c}_i e| \geq \varepsilon, \\ \frac{\chi_i(t, u) \bar{c}_i e}{\varepsilon} & \text{pentru } \bar{c}_i e < \varepsilon, \end{cases} \quad (4.99)$$

și din nou poate apărea problema de eroare în regim staționar care se poate rezolva prin introducerea unui termen integral în (4.99)

$$\hat{z}_i(e, \chi) = \begin{cases} \chi_i(t, u) \operatorname{sgn}(\bar{z}_i e) & \text{pentru } |\bar{z}_i e| \geq \varepsilon_i \\ \frac{\chi_i(t, u) \bar{z}_i e}{\varepsilon_i} + \frac{1}{T_i} \int \chi_i(t, u) \bar{z}_i e dt & \text{pentru } \bar{z}_i e < \varepsilon_i \end{cases} \quad (4.100)$$

În partea a doua a acestui capitol se vor studia cazuri particulare ale acestui tip de estimator neliniar, aplicabile sistemelor cu sustentație electromagnetică.

### 4.3 Estimatoare de stare utilizate pentru sistemele cu sustentație electromagnetică

După cum s-a arătat în capitolele precedente, sistemele cu sustentație electromagnetică sunt sisteme neliniare, putându-se pune sub formă matematică intrare-stare-ieșire cu matricele dependente de starea procesului. Ele sunt de asemenea sisteme perturbate cu perturbații atât de tip determinist cât și nedeterminist. În stabilizarea și reglarea lor se utilizează atât variabile direct măsurabile cât și variabile care trebuiesc estimate. În cele ce urmează se analizează diferențele tipuri de estimatoare discutate în paragrafele anterioare, din punct de vedere al performanțelor în sistemele de reglare a sistemelor cu sustentație electromagnetică.

#### 4.3.1 Estimatoare de stare liniare

Estimarea stării sistemelor cu sustentație electromagnetică cu estimatoare de tip Luenberger are două aspecte:

- estimarea stării procesului de bază
- estimarea stării sistemului exogen al perturbațiilor

Cele două probleme pot fi separate și tratarea lor se va face independent.

##### 4.3.1.1 Estimarea stării

După cum s-a menționat în paragraful 4.2.1, estimatorul de tip Luenberger este puternic dependent de parametrii procesului. Indiferent de forma la care se aduce un sistem cu sustentație electromagnetică, coeficienții matricelor modelului matematic variază mult în funcție de punctul de liniarizare. Aplicarea practică a unui astfel de estimator conduce la erori de estimare nepermis de mari.

În urma unui artificiu datorat măsurării accelerației absolute, în situația SIEIGL aplicat vehiculelor cu sustentație electromagnetică, în [D4] se dezvoltă un estimator de stare de ordin redus pentru estimarea vitezei, pornind de la un model redus al procesului, independent de parametrii săi. Astfel se poate scrie modelul matematic ce descrie procesul de poziționare:

$$\begin{bmatrix} \dot{z}_\delta \\ \dot{\dot{z}}_\delta \end{bmatrix}' = \begin{bmatrix} 0 & 1 \\ 0 & 0 \end{bmatrix} \begin{bmatrix} z_\delta \\ \dot{z}_\delta \end{bmatrix} + \begin{bmatrix} 0 \\ 1 \end{bmatrix} \ddot{z}_m + \begin{bmatrix} 0 \\ -1 \end{bmatrix} \ddot{z}_s \quad (4.101)$$

completat pentru cazul SIEIGL cu accelerația perturbatoare. În lucrarea menționată se definește estimatorul de stare:

$$\begin{bmatrix} \dot{\hat{z}}_\delta \\ \ddot{\hat{z}}_\delta \end{bmatrix}' = \begin{bmatrix} -2\zeta\omega_{ES} & 1 \\ -\omega_{ES}^2 & 0 \end{bmatrix} \begin{bmatrix} \hat{z}_\delta \\ \dot{\hat{z}}_\delta \end{bmatrix} + \begin{bmatrix} 2\zeta\omega_{ES} & 0 \\ \omega_{ES}^2 & 1 \end{bmatrix} \begin{bmatrix} z_\delta \\ \dot{z}_\delta \end{bmatrix} \quad (4.102)$$

cu  $\zeta$  și  $\omega_{ES}$  astfel alese încât rădăcinile polinomului caracteristic al sistemului (4.67)

$$\mu_{ES}(s) = s^2 + 2\zeta\omega_{ES}s + \omega_{ES}^2 \quad (4.103)$$

să fie "puțin la stânga" polilor sistemului de reglare automată a SIEIGL.

O analiză a funcțiilor de transfer ale diferitelor mărimi ce apar în sistemul (4.102), pornind de la schema bloc informațională dată în figura 4.4 conduce la rezultate deosebit de interesante.

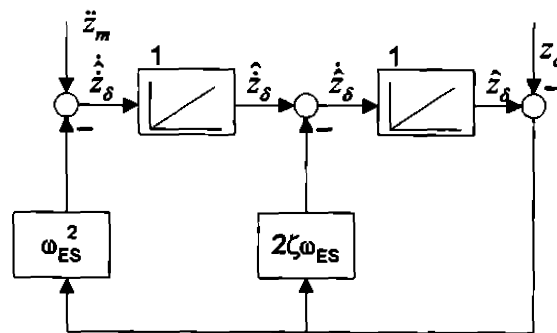


Figura 4.4. Estimator de stare pentru un proces de poziționare

$$\begin{aligned} \hat{z}_\delta(s) &= \frac{2\zeta\omega_{ES}s + \omega_{ES}^2}{s^2 + 2\zeta\omega_{ES}s + \omega_{ES}^2} z_\delta(s) + \frac{1}{s^2 + 2\zeta\omega_{ES}s + \omega_{ES}^2} \ddot{z}_m(s) \\ \dot{\hat{z}}_\delta(s) &= \frac{s\omega_{ES}^2}{s^2 + 2\zeta\omega_{ES}s + \omega_{ES}^2} z_\delta(s) + \frac{s + 2\zeta\omega_{ES}}{s^2 + 2\zeta\omega_{ES}s + \omega_{ES}^2} \dot{\ddot{z}}_m(s) \\ \dot{\hat{z}}_\delta(s) &= \frac{s(2\zeta\omega_{ES}s + \omega_{ES}^2)}{s^2 + 2\zeta\omega_{ES}s + \omega_{ES}^2} z_\delta(s) + \frac{s}{s^2 + 2\zeta\omega_{ES}s + \omega_{ES}^2} \ddot{z}_m(s) \\ \dot{\hat{z}}_\delta(s) &= \frac{s^2\omega_{ES}^2}{s^2 + 2\zeta\omega_{ES}s + \omega_{ES}^2} z_\delta(s) + \frac{s^2 + 2\zeta\omega_{ES}s}{s^2 + 2\zeta\omega_{ES}s + \omega_{ES}^2} \ddot{z}_m(s) \\ \hat{z}_\delta(s) - z_\delta(s) &= -\frac{s^2}{s^2 + 2\zeta\omega_{ES}s + \omega_{ES}^2} z_\delta(s) + \frac{1}{s^2 + 2\zeta\omega_{ES}s + \omega_{ES}^2} \ddot{z}_m(s) \end{aligned} \quad (4.104)$$

Se observă în primul rând că în absența accelerației perturbatoare și dacă măsurările ar fi liniare, fără zgomote și erori, atunci  $\ddot{z}_m(s) = \ddot{z}_\delta(s) = s^2 z_\delta(s)$  și estimarea ar fi perfectă. Pe de alta parte, polinomul de ordinul 2 de la numitor limitează banda de frecvență a estimatorului, eliminând în mare măsură zgomotele de înaltă frecvență de pe canalele de măsură.

În al doilea rând, prin utilizarea accelerației absolute care conține și informații legate de perturbația  $\ddot{z}_\delta$ , efectul acestuia poate fi redus în sistemul de reglare. Mai mult, analizând a treia ecuație din (4.104) se observa că



mărimea  $\hat{z}_\delta$ , ar putea fi interpretată ca o estimată a accelerației  $\ddot{z}_\delta$  și dacă poate fi utilizată, după cum s-a demonstrat în capitolul 3 eliminarea accelerației perturbatoare este asigurată.

După cum se va vedea însă, zgomotele de măsură, în special pe canalul de accelerație constituie un dezavantaj al acestui estimator.

Un aspect important al estimatorilor de stare în alegerea benzii de frecvență îl constituie faza mărimilor estimate: utilizarea unei benzi de frecvență pentru estimator care să asigure un defazaj apropiat de zero în întreaga bandă de frecvență a procesului presupune fie o pulsație de frângere ridicată ceea ce permite introducerea zgomotelor de măsură în sistem, fie o amortizare scăzută care poate facilita excitarea rezonanțelor sistemului, favorizând și o anumită porțiune a spectrului zgomotului. Trebuie găsit și aici un compromis. Astfel, admitând un defazaj maxim în banda de frecvență de  $15^\circ$  și o amortizare de 0.707 se alege pentru cazul SIEIGL cu forță portantă mare  $\zeta=0.707$  și  $\omega_{ES}=100$  rad/sec. În figurile 4.5 și 4.6 se reprezintă diagramele Bode pentru primele trei funcții de transfer ale lui (4.104) în raport cu întrefierul și accelerația absolută respectiv. Se observă pantele de 20 și 40 dB/dec, respectiv -40 și -20 dB/dec.

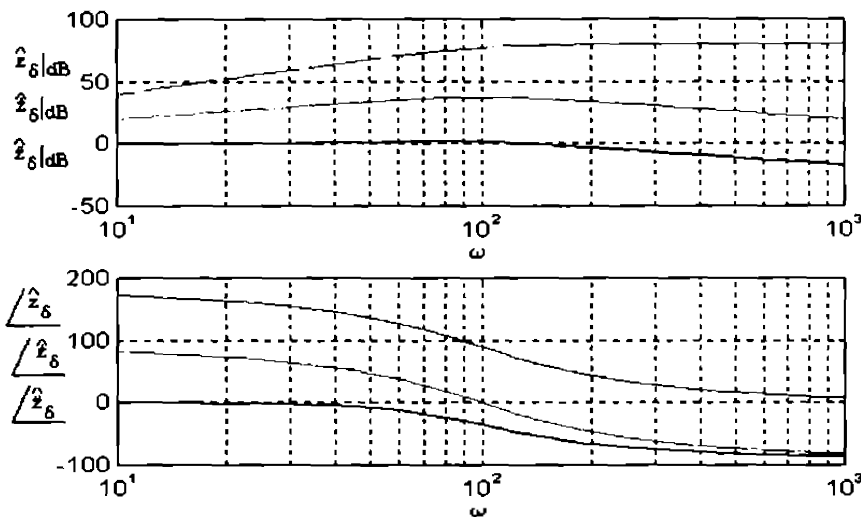


Figura 4.5. Diagramele Bode ale estimatorului în raport cu întrefierul

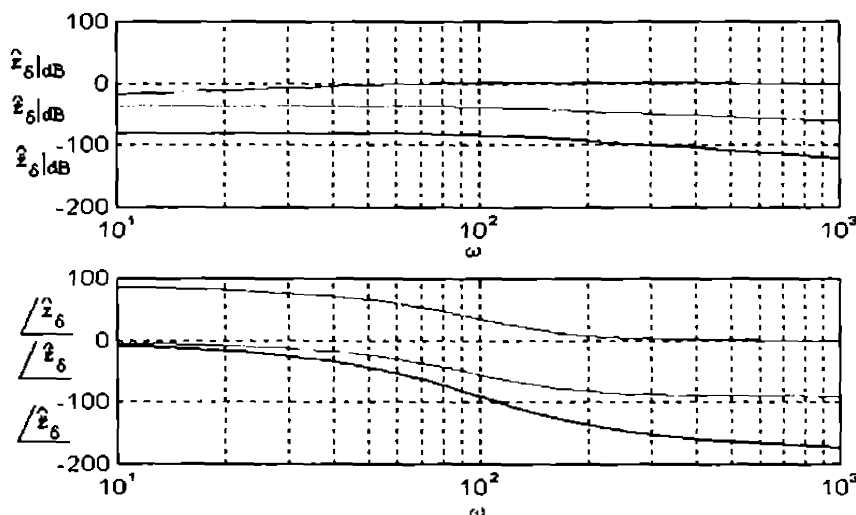


Figura 4.6. Diagramele Bode ale estimatorului în raport cu accelerația perturbatoare

În figura 4.6 curba amplitudine - pulsație a accelerației estimate este aproximativ 80dB constant pentru frecvențele ridicate (comportare de filtru trece sus), amplificând zgomotele de frecvență mare. Și în cazul celei de-a doua intrări la frecvențe ridicate nu există un efect de filtrare. De aici se poate trage concluzia că utilizarea unei astfel de estimate a accelerației întrefierului poate fi utilizată numai în cazurile în care se poate obține un semnal de măsură foarte puțin perturbat sau, în cazul reglării numerice, utilizarea unui filtru digital de tip trece jos care să taie din start semnalului  $\ddot{z}_m(s)$  componentele de frecvență aflate în afara benzii de frecvență a estimatorului.

În estimatele întrefierului și vitezei se poate observa că ponderea accelerației este redusă (-30dB și -85dB respectiv), putând fi interpretată ca un factor de corecție la frecvențe ridicate.

În figura 4.7 este reprezentat modelul de estimator construit în SIMULINK cu care se studiază proprietățile sale, respectând structura de bază dată mai sus.

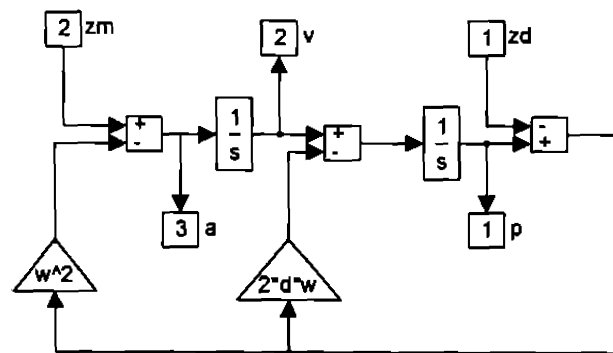


Figura 4.7. Modelul SIMULINK al estimatorului de stare

În figurile 4.8 s-au reprezentat mărimile măsurate și estimate precum și eroarea de estimare pentru întrefier, la o variație sinusoidală a acestuia cu amplitudinea de 5mm și de frecvență egală cu frecvența de frângere a benzii de pulsație a sistemului de reglare automată la 25 rad/sec. Cu albastru s-au reprezentat mărimile măsurate și cu roșu cele estimate.

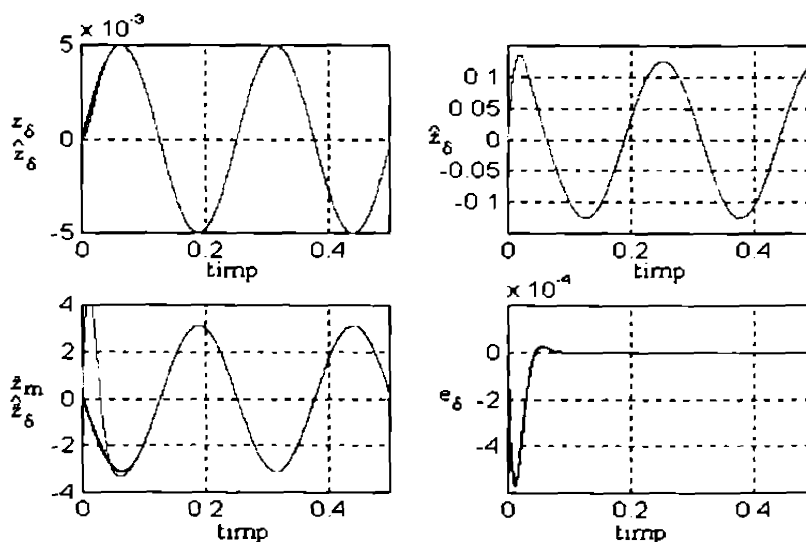


Figura 4.8. Mărimile măsurate și estimate

Se remarcă eroarea de la începutul diagramelor datorată inițializării cu 0 a stărilor estimatorului de stare. Atât amplitudinea cât și defazațiile sunt neglijabile și nu vor avea nici un efect în aplicarea estimatorului în sistemul de control.

Problema se schimbă atunci când mărimile măsurate sunt afectate de zgomot. De exemplu, dacă pe canalul de întrefier există un zgomot alb având deviația standard nu mai mult de 3% din amplitudinea mărimii măsurate, estimata accelerației este inacceptabilă, zgomotul având o deviație standard de 1.48, reprezentând 48% din semnal. Dimpotrivă în estimata întrefierului, datorită efectului de filtrare care s-a discutat mai sus, zgomotul reprezintă doar 0.17% din semnal, iar din viteză doar 2.34%. Lucrurile stau mult mai bine atunci când zgomotul este pe canalul de măsurare a accelerației. Astfel cu același procent de zgomot, 3% din amplitudinea semnalului, estimata accelerației vede tot același procent de zgomot, în timp ce în viteză se regăsește doar 2.35%, iar în întrefier doar 0.15%. Se poate concluziona că în cazul în care pe canalul de măsurare a întrefierului există zgomot alb într-o proporție de ordinul procentului, estimata accelerației nu mai poate fi folosită, recomandându-se utilizarea în control a mărimii măsurate. Dimpotrivă, întrefierul estimat are un același conținut de informație utilă ca și cel măsurat, dar mult mai sărac în zgomot.

**Observație:** Calculele au fost făcute prin simularea estimatorului cu modelul din figura 4.7 și din rezultate a fost eliminată pulsația de 25 rad/sec utilizând transformata Fourier.

Analiza legată de perturbații stohastice pe canalele de măsură s-a făcut având în vedere și situațiile în care accelerația nu este măsurabilă. Se demonstrează astfel că dacă intrarea de întrefier este doar într-o măsură foarte mică perturbată, estimatorul de stare poate furniza atât o estimată a vitezei cât și a accelerației. Se prezintă în figura 4.9 rezultatele estimării atunci când singura intrare este întrefierul măsurat și zgomotul are o pondere de doar 0.5%.

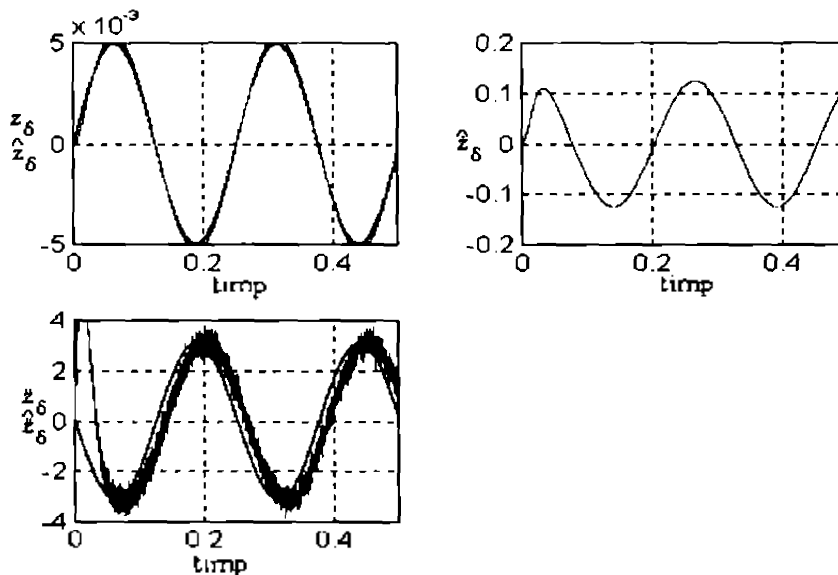


Figura 4.9. Estimarea cu zgomot de măsură

În figură s-a reprezentat cu albastru și care ar trebui să fie accelerația întrefierului. Se observă că zgomotul pe accelerație este prezent dar nu inacceptabil. De asemenea se constată că observația de mai sus legată de faptul că accelerația are mai mult un rol de corecție la frecvențe ridicate este întemeiată: apare un defazaj vizibil atât în estimata întrefierului cât și accelerației, reducerea acestuia necesitând creșterea benzii de frecvență a estimatorului.

În [T4] se dă o generalizare a estimatorului de stare pentru procesul dublu integrator, în care se măsoară doar mărimea de ieșire, pentru un proces multi-integrator.

Pentru sistemele discrete, estimatorul de stare discutat poate fi implementat prin simpla discretizare a sa. Astfel pornind de la ecuațiile de stare (4.102) și utilizând metoda de discretizare invariantă la semnal treaptă se obține estimatorul de stare discret:

$$\begin{bmatrix} \hat{z}_{\delta,k+1} \\ \hat{z}_{m,k+1} \end{bmatrix} = \begin{bmatrix} a_{11} & a_{12} \\ a_{21} & a_{22} \end{bmatrix} \begin{bmatrix} \hat{z}_{\delta,k} \\ \hat{z}_{m,k} \end{bmatrix} + \begin{bmatrix} b_{11} & b_{12} \\ b_{21} & b_{22} \end{bmatrix} \begin{bmatrix} z_{\delta,k} \\ z_{m,k} \end{bmatrix} \quad (4.105)$$

cu elementele celor două matrice determinate din funcția de tranziție.

În figura 4.10 este prezentată schema bloc a estimatorului discret implementat în SIMULINK. Este respectată întocmai structura descrisă de ecuațiile (4.106).

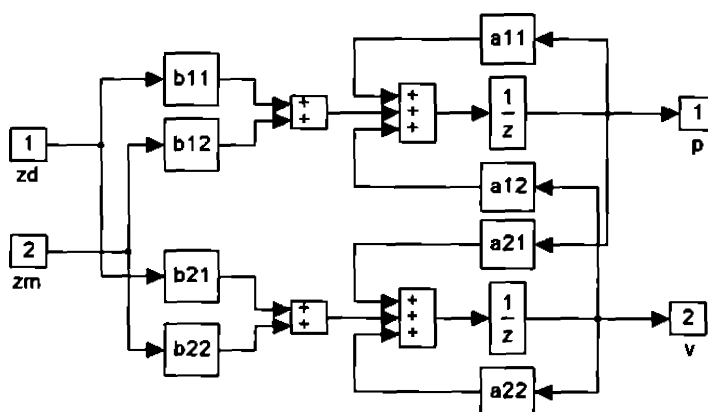


Figura 4.10. Estimator de stare discret

În figurile 4.11 s-au reprezentat estimatele întrefierului și vitezei, la intrări aplicându-se mărimile măsurate, fiecare cu un zgomot de măsură de 3%. S-a reprezentat atât situația în care perioada de eșantionare este cea utilizată în sistemul de reglare ( $T_e=400\mu\text{sec}$ ) cât și situația în care s-ar utiliza o perioadă de eșantionare de 4 msec

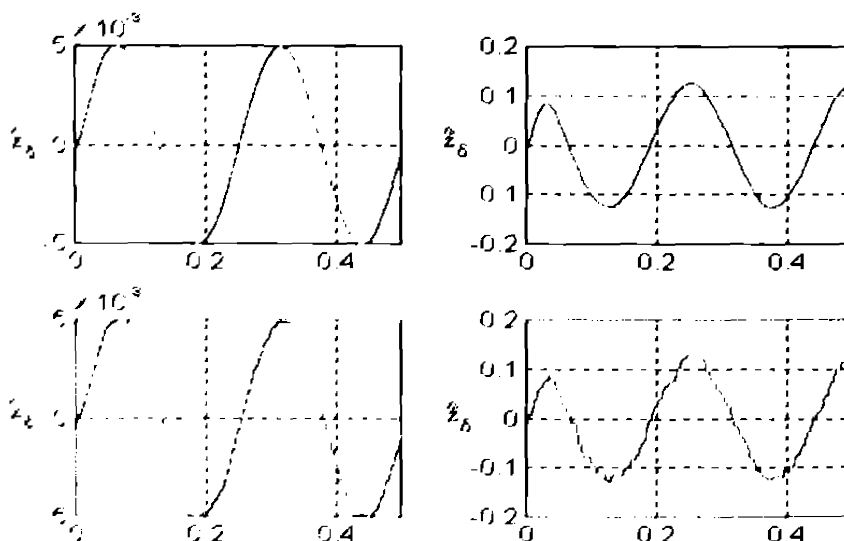


Figura 4.11. Răspunsul estimatorului de stare discret cu: 1 -  $T_e=400\mu\text{sec}$ , 2 -  $T_e=4\text{msec}$

În ambele situații se constată că estimatele sunt corecte, influența zgomotului fiind mai serioasă în cazul perioadei de eșantionare de valoare mare.

Estimatorul continuu a fost aplicat S1E1GL cu electromagnet cu forță portantă mare în schema din figura 4.12. Simulările au fost făcute pentru două valori ale lui  $\omega_{ES}$  la 100 rad/sec și 1000 rad/sec. De asemenea au fost studiate atât cazul în care în funcționala de stare este utilizată accelerația măsurată cât și cel în care se folosește accelerația estimată. În figurile 4.13 se dau rezultatele acestor simulări. Cu albastru s-au trasat mărimile procesului, cu roșu mărimile estimate atunci când se utilizează accelerația măsurată și cu verde cele obținute cu accelerația estimată.

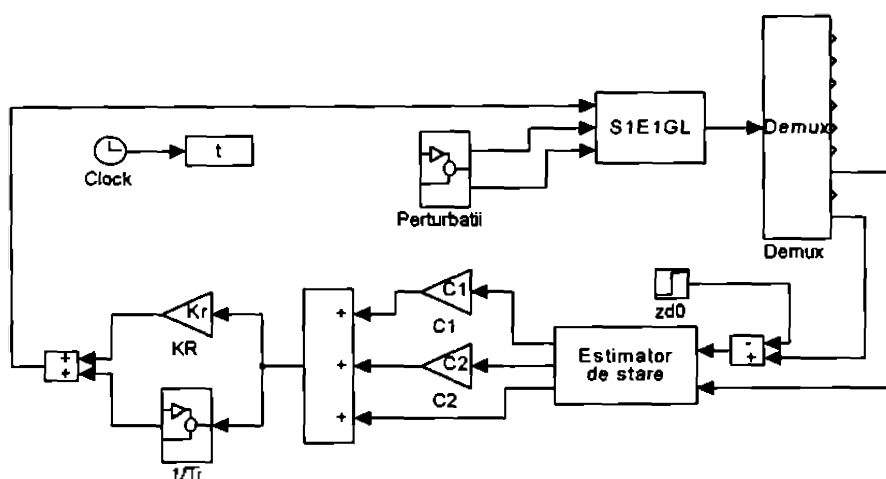


Figura 4.12. SRA continuu cu estiamtor de stare

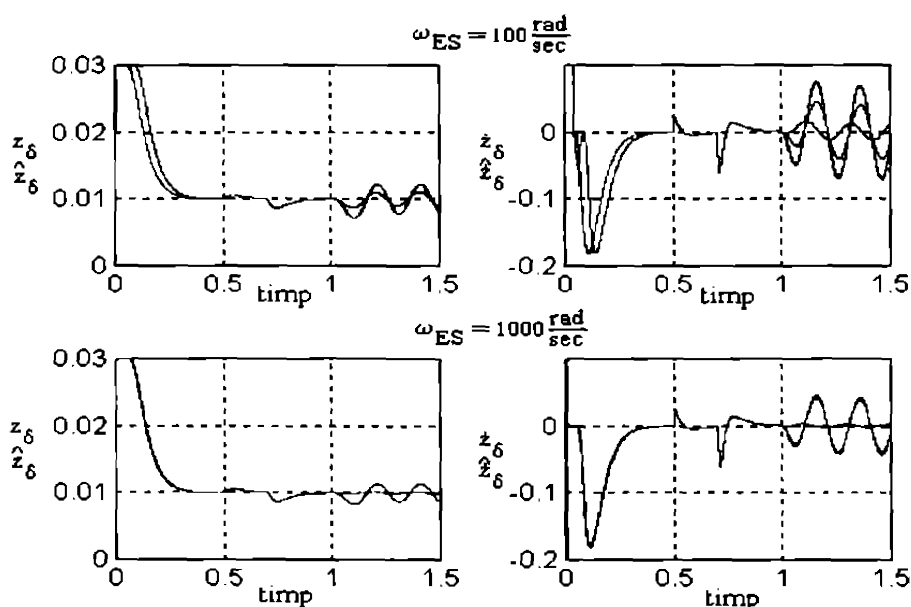


Figura 4.13. Răspunsul SRA cu estiamtor de stare 1 -  $\omega_{ES}=100 \text{ rad/sec}$ , 2 -  $\omega_{ES}=1000 \text{ rad/sec}$

Se observă că din punctul de vedere al răspunsului la semnal treaptă și perturbație de tip forță exterioară rezultatele sunt practic identice în funcție de cele doua tipuri de accelerații folosite. O oarecare întârziere se manifestă la început în răspunsul la semnal treapta atunci când pulsația estimatorului este 100 rad/sec. În schimb utilizarea accelerației estimate are un efect semnificativ asupra eliminării perturbației de

tip accelerație perturbatoare. Cu o pulsație mare a estimatorului accelerația estimată este întrădeavăr accelerația întrefierului și perturbația este practic eliminată.

Se reprezintă în figura 4.14 răspunsul SIEIGL pentru electromagnetul cu forța portantă redusă atunci când întrefierul și viteza sunt estimate cu estimatorul discret de mai sus în condițiile descrise în capitolul 3, sistemul de reglare fiind cel din figura 3.32.

În simulare estimatorul a fost inițializat cu valorile inițiale  $[\hat{z}_\delta - \hat{z}_\delta^* \ 0]^T$ .

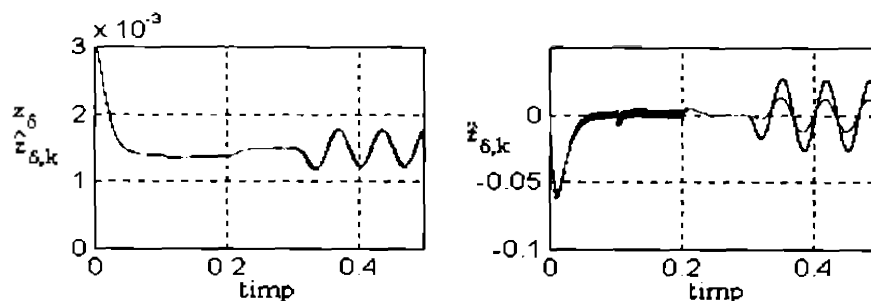


Figura 4.14. Răspunsul SRAN cu estimator de stare numeric

Se observă că dacă estimata întrefierului este practic suprapusă peste întrefierul real pe întregul domeniu de simulare (ele au fost reprezentate la aceeași scară), estimata vitezei are amplitudinea mai mică decât cea reală atunci când acționează accelerația perturbatoare și este "un pic" defazată în față. Se impune utilizarea unei frecvențe de frângere a estimatorului ceva mai ridicată.

**Observație:** În unele aplicații de reglare numerică se folosește ca estimată a vitezei de variație a erorii mărimii de ieșire, o formă a derivatei acesteia, numită "variația erorii", sub forma:

$$ve_k = e_k - e_{k-1} \quad (4.107)$$

Datorită erorilor de măsurare și a zgomotelor pe canalul de măsură, forma (4.107) se poate însă folosi numai atunci când există posibilitatea unei filtrări serioase a mărimii achiziționate. Cu alte cuvinte achiziția trebuie făcută de mai multe ori într-o perioadă, eșantioanele filtrate conduc la un rezultat care este considerat ca mărime de măsură la momentul "k". Nu este cazul în situația sistemelor cu susținere electromagnetică, sisteme prea rapide pentru a permite o supraeșantionare.

#### 4.3.1.2 Estimarea perturbațiilor deterministe

Modelele exogene determinate în capitolul 2 se pot adăuga sistemului SIEIGL de bază, încercându-se pe baza lor eliminarea perturbațiilor persistente descrise [T7]. Fiecărui model îi sunt asociate un număr de variabile de stare care în mod evident nu pot fi măsurate, ele trebuind deci estimate. În [D5] se proiectează un estimator de stare complet pentru sistemul exogen al forței exterioare perturbatoare din cadrul SIEIGL. Alte estimatoare similare sunt dezvoltate în [C1], [L2]. Se constată din nou dependența pronunțată a coeficienților estimatorului de parametri variabili ai procesului, motiv pentru care se consideră că utilizarea directă a acestui estimator nu poate conduce la rezultate comparabile cu alte moduri de rejecție a perturbațiilor.

O posibilitate de aplicare cu succes a estimatorului stării modelelor exogene ar fi utilizarea relațiilor de aproximare a coeficienților de liniarizare determinați în capitolul 2 și corectarea coeficienților estimatorului cu acestea. Lucrarea de față nu se ocupă cu această soluție ce ar putea face obiectul unui studiu viitor.

### 4.3.2 Estimatoare Kalman

Studiind diferitele variante ale filtrelor Kalman și având în vedere aplicația lor la sistemele cu sustentație electromagnetică se poate trage concluzia că ele pot fi implementate în mai multe moduri. Astfel un prim estimator de tip Kalman se va proiecta într-o variantă similară estimatorului pentru procesul dublu integrator discutat în paragraful 4.3.1.1. Considerând accelerația absolută ca mărime de intrare a procesului și zgomotul suprapus pe ea ca zgomot al procesului, ca mărime de ieșire întrefierul, iar ca mărime observată (măsurată) întrefierul cu zgomotul de măsura adăugat, se poate discuta pentru început un filtru Kalman continuu și invariant în timp.

Neglijând accelerația perturbatoare deterministă modelul procesului poate fi pus sub forma:

$$\begin{bmatrix} \dot{z}_\delta \\ \dot{\dot{z}}_\delta \end{bmatrix} = \begin{bmatrix} 0 & 1 \\ 0 & 0 \end{bmatrix} \begin{bmatrix} z_\delta \\ \dot{z}_\delta \end{bmatrix} + \begin{bmatrix} 0 \\ 1 \end{bmatrix} \ddot{z}_m + \begin{bmatrix} 0 \\ 1 \end{bmatrix} v \quad (4.108)$$

pentru ecuațiile de stare, în care  $v$  reprezintă zgomotul procesului (de fapt zgomotul de măsurare al accelerației) și

$$y_\delta = \begin{bmatrix} 1 & 0 \end{bmatrix} \begin{bmatrix} z_\delta \\ \dot{z}_\delta \end{bmatrix} + w \quad (4.109)$$

cu  $w$  zgomotul de măsurare al întrefierului și  $y_\delta$  întrefierul măsurat.

Considerând ca și în analiza din paragraful precedent că zgomotele au o pondere de 3% din amplitudinea mărimilor, la un semnal de test pentru estimator de  $5 \cdot 10^{-3}$  mm la o pulsație de 25 rad/sec și cu amplitudinea accelerației de  $5 \cdot 10^{-3} \cdot 25^2$  mm/sec<sup>2</sup>, deviația standard a zgomotului de pe canalul de întrefier este  $0.15 \cdot 10^{-3}$ , iar pe canalul de accelerație de  $93.8 \cdot 10^{-3}$ . Aceste valori permit determinarea matricelor de covarianță  $Q$  și  $R$ , în acest caz scalari cu valorile

$$q = \sqrt{93.8 \cdot 10^{-3}} = 8.8 \cdot 10^{-3} \quad \text{și} \quad r = \sqrt{0.15 \cdot 10^{-3}} = 2.25 \cdot 10^{-6}.$$

Utilizând ecuația algebrică Riccati (4.29) cu expresiile matricelor din (4.108) și (4.109) și cu covarianțele calculate, în urma rezolvării ei se determină valoarea staționară a matricii  $P$ :

$$P = \begin{bmatrix} 7.957 \cdot 10^{-7} & 1.407 \cdot 10^{-5} \\ 1.407 \cdot 10^{-5} & 4.976 \cdot 10^{-4} \end{bmatrix}$$

Amplificarea Kalman se determină apoi din expresia staționară a lui (4.26):

$$k = \begin{bmatrix} 35.3658 \\ 625.3333 \end{bmatrix}$$

cu care se pot scrie ecuațiile estimatorului:

$$\hat{\dot{x}} = A\hat{x} + k(y_\delta - C\hat{x}) + bu$$

sau explicitând:

$$\begin{aligned}\dot{\hat{z}}_{\delta} &= \dot{z}_{\delta} + k_1(y_{\delta} - \hat{z}_{\delta}) \\ \hat{z}_{\delta} &= k_2(y_{\delta} - \hat{z}_{\delta}) + \ddot{z}_m\end{aligned}\tag{4.110}$$

Construind schema bloc informațională pentru acest estimator pe baza ecuațiilor (4.110) se obține:

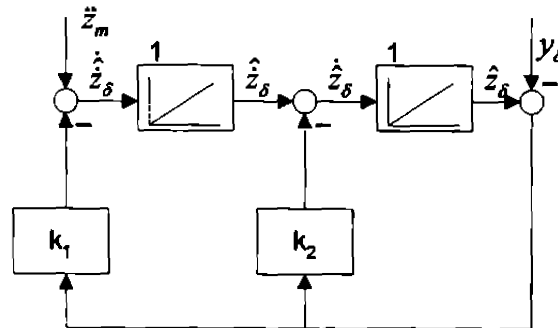


Figura 4.15. Schema bloc a filtrului Kalman continuu, invariant

Comparând-o cu schema bloc din figura (4.4) se constată că de fapt are aceeași structură. Se pot chiar identifica parametrii estimatorului din (4.4) cu  $k_1$  și  $k_2$ . Astfel se obține pentru  $\omega_{ES}=25.0067$  rad/sec și pentru amortizare  $\zeta=0.7071$ , adică exact  $\sqrt{2}/2$ , valoare utilizată și pentru estimatorul Luenberger. Filtrul Kalman proiectat nu face altceva decât să coboare frecvența de frângere a estimatorului în funcție de matricele de covarianță. Utilizarea acestui estimator în schema de reglare nu poate avea alte rezultate decât cele obținute cu estimatorul Luenberger studiat mai sus, continuarea analizei neavând sens.

Problema construcției unui estimator variant în timp pentru sistemul de reglare continuu al SIE1GL nu se pune datorită dificultăților de implementare practică în calculul matricelor  $P$  și  $k$ .

*Rezultatul obținut pentru sisteme invariante în cazul continuu, sugerează că și în cazul discret construcția unui estimator Kalman discret va conduce la ecuații echivalente cu cele din (4.105) și structura practic identică cu cea din figura 4.10, cu aceleași rezultate.*

Se discută în continuare situația estimării stării sistemelor cu sustentație electromagnetică cu filtre Kalman discrete, variante în timp. Pentru procesul SIE1GL care are ca mărimi măsurate întrefierul și curentul prin electromagnet, se dorește construcția unui predictor Kalman într-un pas, având ca mărimi estimate întrefierul, viteza de variație a întrefierului și curentul. Modelul matematic intrare-stare-ieșire este descris de ecuațiile (2.28) și (2.37), discretizat. La fiecare pas de calcul  $k$  coeficienții matricelor modelului sunt determinate pe baza relațiilor (2.21) sau (2.43) sau pot fi calculate cu relațiile de aproximare determinate în anexa A2.3. În cazul relațiilor (2.21), (2.43), se pot tabela un număr relativ redus de valori și în funcție de valoarea momentană a întrefierului, prin interpolare se poate determina valoarea coeficienților.

Presupunând că mărimile de ieșire sunt perturbate de zgomote datorate traductoarelor și conversiei analog - numerice și că mărimea de intrare a procesului este la rândul său perturbată de un zgomot datorat erorilor de trunchiere ale convertorului numeric - analogic și a impreciziilor elementului de execuție, zgomote gaussiene necorelate, se aleg matricele de covarianța:

$$q = (0.1)^2 \quad \text{și} \quad R = \begin{bmatrix} (0.15 \cdot 10^{-3})^2 & 0 \\ 0 & (0.1)^2 \end{bmatrix}$$



Notând cu  $A_{d,k}$  matricea sistemului discret și cu  $b_{d,k}$  matricea de intrare la momentul  $k$  se inițializează starea estimată  $\hat{x}_0 = [0 \ 0 \ 0]^T$  și matricea  $P_0$  cu  $P_0 = b_{d,0} q b_{d,0}^T$ . În continuare algoritmul de calcul la fiecare moment  $k$  este:

1. se măsoară întrefierul și curentul
2. se determină pe baza tabelor și a interpolarii liniare matricele  $A_{d,k}$  și  $b_{d,k}$
3. se calculează cu (4.36) matricea  $K_k$
4. noua estimată, pentru pasul  $k+1$  este determinată pe baza relației (4.35)
5. se determină matricea  $P_{k+1}$  necesară în pasul următor cu relația (4.37)

Se constată că algoritmul este extrem de laborios, o realizare practică a acestui filtru fiind foarte costisitoare în timp de calcul. În special pentru sistemele rapide din a căror clasă fac parte și sistemele cu susținere electromagnetică, sunt necesare procesoare de semnal cu virgulă flotantă, utilizarea lor precum și a periferiei tot rapide din jurul lor, ridicând în mod semnificativ prețul de cost al unui astfel de sistem de reglare.

*Din studiul efectuat referitor la aplicarea filtrelor Kalman sistemelor cu susținere electromagnetică se desprinde faptul că estimatoarele invariante (staționare) pot fi aplicate sistemelor cu levitație electromagnetică care au ca mărimi de ieșire întrefierul și accelerația absolută, cu rezultate echivalente cu cele ale estimatorului de tip Luenberger analizat în paragraful 4.3.1.1, iar în cazul în care mărimile de ieșire sunt întrefierul și curentul este necesară aplicarea filtrului Kalman discret nestaționar, cu complicații serioase în implementarea practică care limitează în mod semnificativ utilizarea lor.*

### 4.3.3 Estimatoare cu funcționare în regim alunecător

#### 4.3.3.1 Estimator de stare de ordin complet funcționând în regim alunecător

Se caută a se construi un estimator de stare de ordin complet funcționând în regim alunecător, pentru SIEIGL al cărui model matematic este dat de relațiile (2.28) și (2.37):

$$\begin{bmatrix} \dot{z}_\delta \\ \dot{z}_\delta \\ i_a \end{bmatrix} = \begin{bmatrix} 0 & 1 & 0 \\ a_{21}^1 & 0 & a_{23}^1 \\ 0 & a_{32}^1 & a_{33}^1 \end{bmatrix} \begin{bmatrix} z_\delta \\ \dot{z}_\delta \\ i_a \end{bmatrix} + \begin{bmatrix} 0 \\ 0 \\ b_3^1 \end{bmatrix} u_a + \begin{bmatrix} 0 & 0 \\ b_{v,21}^1 & -1 \\ 0 & 0 \end{bmatrix} \begin{bmatrix} F_{ext} \\ \ddot{z}_s \end{bmatrix} \quad (2.28)$$

$$\begin{bmatrix} y_1 \\ y_2 \end{bmatrix} = \begin{bmatrix} 1 & 0 & 0 \\ 0 & 0 & 1 \end{bmatrix} \begin{bmatrix} z_\delta \\ \dot{z}_\delta \\ i_a \end{bmatrix} \quad (2.37)$$

Separând în ecuațiile de stare partea liniară și invariantă în timp se obține:

$$\begin{aligned}
 A &= \begin{bmatrix} 0 & 1 & 0 \\ 0 & 0 & 0 \\ 0 & 0 & 0 \end{bmatrix} + \begin{bmatrix} 0 & 0 & 0 \\ a_{21}^1 & 0 & a_{23}^1 \\ 0 & a_{32}^1 & a_{33}^1 \end{bmatrix} \\
 b &= \begin{bmatrix} 0 \\ 0 \\ 0 \end{bmatrix} + \begin{bmatrix} 0 \\ 0 \\ b_3^1 \end{bmatrix} \\
 C &= \begin{bmatrix} 1 & 0 & 0 \\ 0 & 0 & 1 \end{bmatrix} + \begin{bmatrix} 0 & 0 & 0 \\ 0 & 0 & 0 \end{bmatrix} \\
 v(t, x, u) &= \begin{bmatrix} 0 & 0 \\ b_{v,21}^1 & -1 \\ 0 & 0 \end{bmatrix} \begin{bmatrix} I_{est} \\ \ddot{z}_s \end{bmatrix} \\
 w(t, x, u) &= 0
 \end{aligned} \tag{4.111}$$

Identificând procesul cu situațiile discutate în paragraful 4.2.3, se constată că este un sistem cu matricele  $A$ ,  $b$  neliniare, funcții de întefierul curent, cu perturbații la nivelul procesului dar liniar, invariant și neperturbat în ecuațiile de ieșire. Se pot face notațiile:

$$f_1(t, x) = \begin{bmatrix} 0 \\ a_{21}^1 \dot{z}_\delta + a_{23}^1 i_a \\ a_{32}^1 \dot{z}_\delta + a_{33}^1 i_a \end{bmatrix}, \quad f_2(t, u) = \begin{bmatrix} 0 \\ 0 \\ b_3^1 u_a \end{bmatrix}, \quad f_3(t, x, v) = \begin{bmatrix} 0 & 0 \\ b_{v,21}^1 & -1 \\ 0 & 0 \end{bmatrix} \begin{bmatrix} I_{est} \\ \ddot{z}_s \end{bmatrix}, \tag{4.112}$$

sistemul rescriindu-se:

$$\begin{bmatrix} \dot{z}_\delta \\ \ddot{z}_\delta \\ i_a \end{bmatrix}' = \begin{bmatrix} 0 & 1 & 0 \\ 0 & 0 & 0 \\ 0 & 0 & 0 \end{bmatrix} \begin{bmatrix} z_\delta \\ \dot{z}_\delta \\ i_a \end{bmatrix} + \begin{bmatrix} e_{11} & 0 & 0 \\ e_{12} & 1 & 0 \\ e_{13} & 0 & 1 \end{bmatrix} (f_1(t, x) + f_2(t, u) + f_3(t, x, v)) \tag{4.113}$$

cu

$$E = \begin{bmatrix} e_{11} & 0 & 0 \\ e_{21} & 1 & 0 \\ e_{31} & 0 & 1 \end{bmatrix}$$

elementele de pe prima coloană putând fi oarecare. Sistemul își păstrează ecuațiile de ieșire.

Se poate ușor constata că și cu noua matrice  $A$  sistemul rămâne observabil, condiție în care estimatorul este alocabil. O altă condiție care se pune pentru a putea construi acest tip de estimator este ca rangul lui  $C$  să fie 2, și ea îndeplinită.

Se proiectează întâi partea liniară a estimatorului utilizând condițiile de existență (4.10) determinate în paragraful 4.2.1. Astfel impunând și în acest caz pentru estimator un spectru care să se aște "puțin la stânga" spectrului sistemului de reglare, cu pulsația  $\omega_{ES} = 150$  rad/sec se alege

$$\Lambda_{ES} = \left\{ -\omega_{ES}, -\omega_{ES} \left( \cos \frac{\pi}{6} - j \sin \frac{\pi}{6} \right), -\omega_{ES} \left( \cos \frac{\pi}{6} + j \sin \frac{\pi}{6} \right) \right\} \tag{4.114}$$

toți polii fiind pe un cerc de raza  $\omega_{ES}=150$  rad/sec, cu partea imaginară nu foarte mare. Se poate determina matricea estimatorului  $J$ , calcul matricei  $H$  fiind apoi imediat

$$J = \begin{bmatrix} -2 \cos \frac{\pi}{6} \omega_{ES} & 1 & 0 \\ -\omega_{ES}^2 & 0 & 0 \\ 0 & 0 & -\omega_{ES} \end{bmatrix}, \quad H = \begin{bmatrix} 2 \cos \frac{\pi}{6} \omega_{ES} & 0 \\ \omega_{ES}^2 & 0 \\ 0 & \omega_{ES} \end{bmatrix} \quad (4.115)$$

Astfel estimatorul de stare are ecuațiile:

$$\dot{z} = Jz + Hy + \bar{E}(t, e, \chi) \quad (4.116)$$

trebuind determinată acum funcția  $\bar{E}$ , variantă practică (4.96) a funcției  $S$ . Astfel în [Y3] se utilizează următorul algoritm.

- se determină din ecuația  $C^T G^T = PE$  elementele lui  $P$  în funcție de elementele lui  $G$  astfel încât să se păstreze simetria lui  $P$
- se calculează matricea  $Q$  din ecuația Lyapunov (4.79) în funcție de elementele lui  $G$  și  $P$
- se aleg elementele lui  $Q$  astfel încât să fie pozitiv definită și simetrică, rezultând parțial coeficienți ai matricelor  $P$  și  $G$
- se aleg restul elementelor lui  $P$  și  $G$

Algoritmul este destul de greoi, iar matricea  $Q$  are valori proprii parțial sau în totalitate determinate de elementele matricelor  $P$  și  $G$ . Sunt însă situații în care acest algoritm este singura alternativă.

În proiectarea estimatorului (4.116) se caută însă o variantă mai simplă. Astfel, ținând cont de observația că eroarea de estimare are cea mai rapidă variație spre zero atunci când matricea  $Q$  este matricea unitate, se rezolvă ecuația Lyapunov (4.79) în această situație și se obține:

$$P = \begin{bmatrix} 43.3032 & -0.5 & 0 \\ -0.5 & 0.0077 & 0 \\ 0 & 0 & 0.0033 \end{bmatrix}$$

Înlocuind acum în ecuația  $C^T G^T = PE$  rezultă un sistem compatibil și nedeterminat care se poate rezolva obținându-se:

$$G = \begin{bmatrix} 1 & 1 \\ 0.1667 & 0 \\ 0 & 0.0033 \end{bmatrix}, \quad E = \begin{bmatrix} 0.0924 & 0.0154 & 0 \\ 5.9987 & 1 & 0 \\ 300 & 0 & 1 \end{bmatrix} \quad (4.117)$$

Funcția de comutație obținută implicit este:

$$GCe = \begin{bmatrix} 1 & 0 & 1 \\ .1667 & 0 & 0 \\ 0 & 0 & .0033 \end{bmatrix} \begin{bmatrix} \hat{z}_\delta - z_\delta \\ \hat{z}_\delta - z_\delta \\ \hat{i}_a - i_a \end{bmatrix}$$

Utilizând notația din (4.94) se identifică:

$$\bar{c}_1 = [1 \ 0 \ 1], \quad \bar{c}_2 = [0.1667 \ 0 \ 0], \quad \bar{c}_3 = [0 \ 0 \ 0.0033] \quad (4.118)$$

Un aspect interesant al acestui tip de estimator este că până în acest punct în nici o etapă a proiectării nu au intervenit parametrii procesului. Doar în acest punct, în alegerea funcțiilor de mărginire  $\chi$  se vor aprecia doar intervalele de variație ale funcției  $f(t, x, u, v)$ , sumă a funcțiilor din (4.113). Astfel, pe baza analizei făcute în capitolul de modelare, pentru electromagnetul cu forța portantă mare utilizat în vehiculele cu sustentație electromagnetică, se apreciază.

$$\begin{aligned} |a_{21}^1 \dot{z}_\delta| &< (3000 \cdot \text{sec}^{-2}) \cdot (30 \cdot 10^{-3} \text{ m}), & |a_{23}^1 i_a| &< (0.9 \cdot \text{m} / \text{A} \cdot \text{sec}^2) \cdot (100 \text{ A}) \\ |a_{32}^1 \dot{z}_\delta| &< (3200 \cdot \text{A} / \text{m}) \cdot (0.3 \cdot \text{m} / \text{sec}), & |a_{33}^1 i_a| &< (15 \cdot \text{sec}^{-1}) \cdot (100 \text{ A}) \\ |b_1^1 i_d| &< (15 \cdot (\Omega \cdot \text{sec})^{-1}) \cdot (200 \cdot \text{V}), & |b_{v,21}^1 i_{err}| &< \frac{|i_{err}^1|}{M} < g = 9.81 \cdot \frac{\text{m}}{\text{sec}^2}, & |\ddot{z}_s| &< g = 9.81 \cdot \frac{\text{m}}{\text{sec}^2} \end{aligned}$$

obținându-se:

$$\begin{aligned} \chi_1 &= 0 \\ \chi_2(t, x, v) &= 120 < |a_{21}^1 \dot{z}_\delta| + |a_{23}^1 i_a| + |b_{v,21}^1 i_{err}| + |\ddot{z}_s| \\ \chi_3(t, x, u) &= 5500 < |a_{32}^1 \dot{z}_\delta| + |a_{33}^1 i_a| + |b_1^1 u_d| \end{aligned}$$

Se definesc funcțiile:

$$\begin{aligned} z_1 &= 0 \\ z_2 &= \begin{cases} 120 \operatorname{sgn}[0.1667(\dot{z}_\delta - z_\delta)] & \text{pentru } \bar{c}_2 e \neq 0 \\ 0 & \text{pentru } \bar{c}_2 e = 0 \end{cases} \\ z_3 &= \begin{cases} 5500 \operatorname{sgn}[0.0033(\dot{z}_\delta - z_\delta)] & \text{pentru } \bar{c}_3 e \neq 0 \\ 0 & \text{pentru } \bar{c}_3 e = 0 \end{cases} \end{aligned}$$

$e$  fiind eroarea de estimare. În final se obține termenul neliniar al estimatorului de stare:

$$\bar{F} = E[0 \quad z_1 \quad z_2]^T \quad (4.119)$$

Estimatorul a fost implementat în SIMULINK, schema bloc având aspectul din figura 4.16.

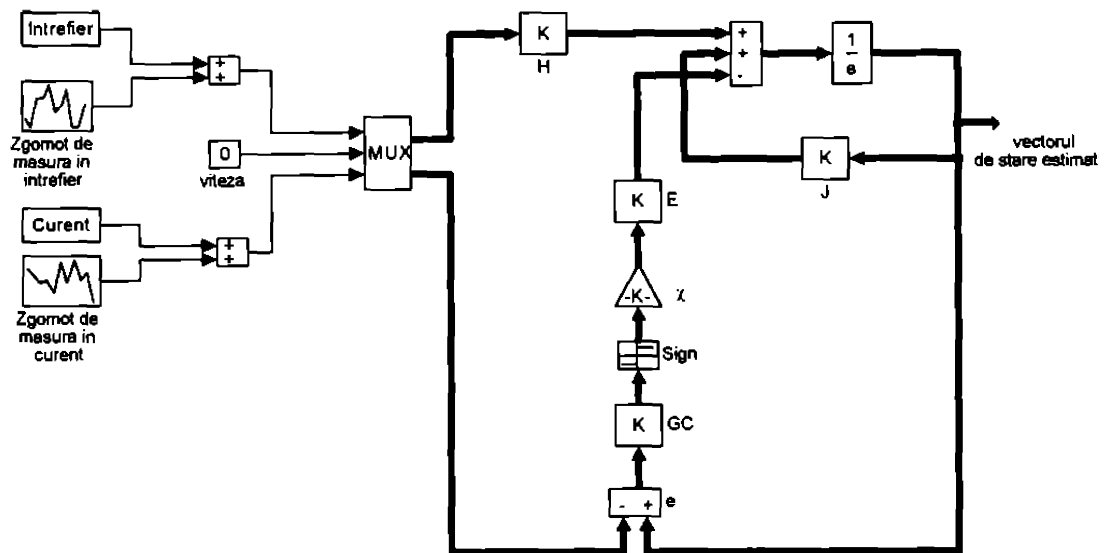


Figura 4.16. Estimator de stare de ordin complet funcționând în regim alunecător

Din motive de simetrie s-a introdus în blocul multiplexor al mărimilor de ieșire din proces și viteza ca o constantă nulă. Multiplexorul are două ieșiri, prima cu doar două componente: întrefierul și curentul, a doua cu toate cele trei variabile (viteza nulă) astfel încât să se poată aduna la vectorul  $e$  (eroarea de estimare) cu trei dimensiuni.

Utilizând datele de simulare obținute în capitolul 3 și reprezentate în figurile 3.23 pentru un întrefier prescris de 10 mm, s-au aplicat la intrările estimatorului funcționând în regim alunecător întrefierul și curentul măsurate. S-a testat estimatorul obținut într-o primă etapă, fără a adăuga zgomote de măsură pe cele două canale de intrare. Rezultatele sunt trasate în figurile 4.17, cu *albastru* mărimea reală din proces și cu *roșu* mărimea estimată.

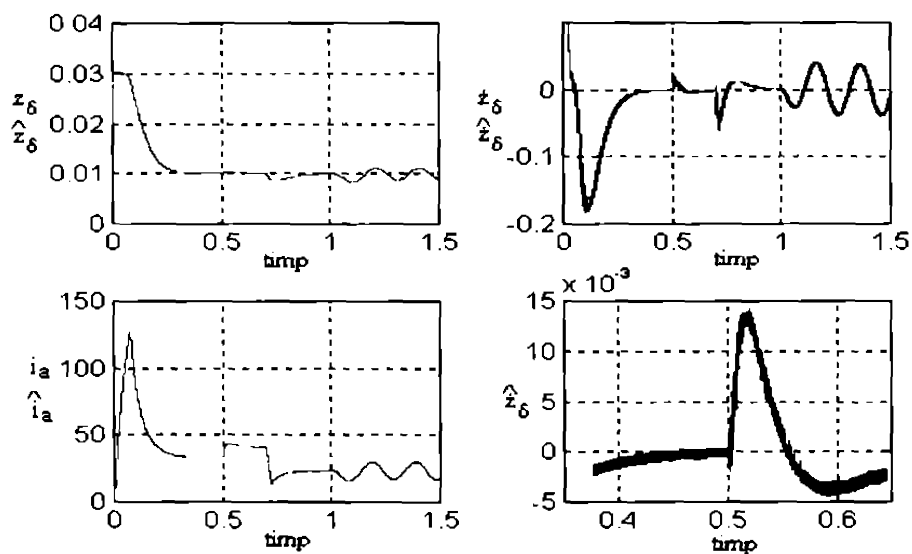


Figura 4.17. Răspunsul estimatorului de stare de ordin complet

Se constată că în ceea ce privește întrefierul și curentul nu există eroare între mărimile din proces și cele estimate, curbele cu roșu și albastru fiind suprapuse. În cazul vitezei se observă un puls pozitiv la

momentul inițial datorat curentului nul, ceea ce ar avea ca efect ca sub acțiunea gravitației, electromagnetul să-și mărească întrefierul. Această eroare de estimare este rapid corectată din momentul în care valoarea curentului este suficientă, ca prin forța dezvoltată să compenseze greutatea. În restul estimării se constată un ușor defazaj între mărimea reală și cea estimată, dar eroarea este neglijabilă. Având în vedere că pulsația estimatorului este însă doar 150 rad/sec, rezultatul este semnificativ mai bun ca în cazul estimatorului de stare de tip Luenberger analizat mai sus (vezi figurile 4.13). În ultima figură din 4.17 a fost reprezentat un detaliu al vitezei estimate pentru a evidenția oscilațiile de înaltă frecvență datorate funcției de comutație și care se manifestă în acest tip de estimator în special în mărimile care nu au echivalent în vectorul de măsură. Amplitudinea oscilațiilor este mică datorită integratorului dar se poate anticipa că într-o implementare discretă, datorită perioadei de eșantionare finită, ele vor fi mult mai pronunțate, necesitând introducerea unui "tub" proporțional

Aceleași simulări au fost făcute cu zgomote de măsură pe canalele de intrare. Astfel pe întrefier s-a introdus un zgomot cu deviația standard de 3% din variația maximă a întrefierului de 30 mm, iar pe canalul de curent zgomotul are o deviație standard echivalentă cu un curent de 5 A. Rezultatele sunt redată în figurile 4.18:

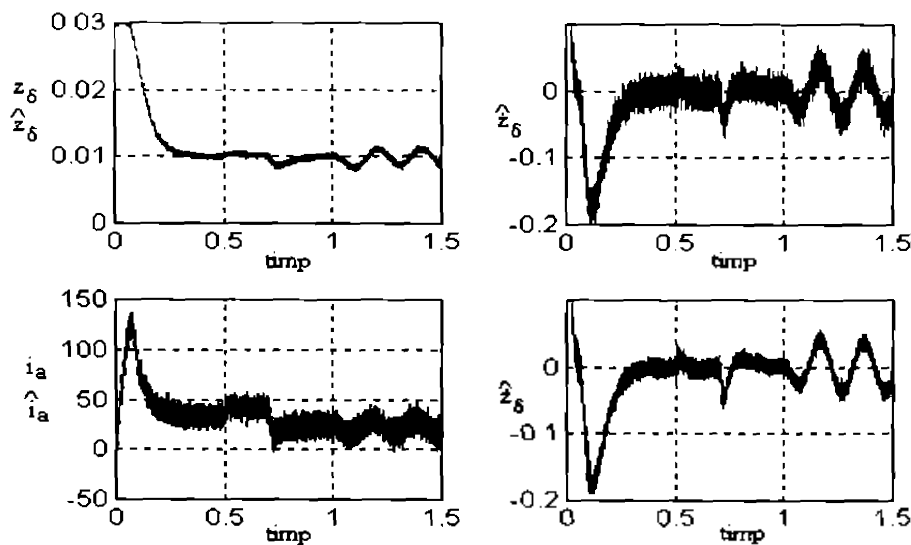


Figura 4.18. Răspunsul estimatorului de stare de ordin complet cu zgomote pe canalele de măsură

Se observă atenuarea zgomotului în întrefier, nici pe departe însă nu așa de spectaculoasă ca rejecția de zgomot de pe canalul de curent. În ceea ce privește viteza estimată, în figura de pe rândul superior se constată prezența semnificativă a zgomotului, în figura de pe rândul al doilea fiind reprezentată viteza estimată în situația în care perturbația acționează numai pe întrefier. Comparând cele două diagrame se concluzionează că erorile datorate zgomotului se datorează în mare măsură celui de pe curent decât celui de pe întrefier. Indiferent de situație, viteza estimată este afectată semnificativ de zgomotele de măsură, recomandându-se utilizarea unor filtre digitale de tip trece jos pentru rejecția lor.

#### 4.3.3.2 Discretizarea estimatorului de stare de ordin complet funcționând în regim alunecător

Pentru a obține forma discretă a estimatorului, cea mai simplă variantă este de a discretiza ecuațiile estimatorului continuu prezentat mai sus. Astfel considerând ca mărimi de intrare ale estimatorului mărimile măsurate împreună cu funcțiile  $\tau_1$  și  $\tau_2$ , ecuațiile sale se pot rescrie.

$$\begin{bmatrix} \hat{z}_\delta \\ \hat{z}_\delta \\ \hat{i}_a \end{bmatrix}' = J \begin{bmatrix} \hat{z}_\delta \\ \hat{z}_\delta \\ \hat{i}_a \end{bmatrix} + [H \ E] [\bar{z}_\delta \ i_a \ z_1 \ z_2 \ z_3]^T \quad (4.120)$$

cu  $J$  și  $H$  din (4.115) și  $E$  din (4.117). Discretizând acest sistem liniar se obțin matricele  $J_d$  și  $[H \ E]_d$  din care se pot extrage  $H_d$  și  $E_d$ . Se obțin:

$$J_d = \begin{bmatrix} 0.9364 & 0.0002 & 0 \\ -5.4449 & 0.9993 & 0 \\ 0 & 0 & 0.9632 \end{bmatrix}, H_d = \begin{bmatrix} 0.0636 & 0 \\ 5.4449 & 0 \\ 0 & 0.0368 \end{bmatrix}, E_d = \begin{bmatrix} 0.0225 & 0.0038 & 0 \\ 1.4358 & 0.2393 & 0 \\ 73.6112 & 0 & 0.2454 \end{bmatrix} \cdot 10^{-3}$$

Așa cum s-a menționat, proiectarea este independentă de parametrii procesului, așa încât *doar în acest punct trebuie specificate datele procesului*. Pentru estimatorul discret se consideră SIEIGL cu electromagnet cu forța portantă mică. Utilizând datele determinate în capitolul 2 anexa 2.3 și estimând variațiile maxime ale mărimilor din proces se scriu inegalitățile:

$$\begin{aligned} |a_{21}^1 \bar{z}_\delta| &< (40000 \cdot \text{sec}^{-2}) \cdot (3 \cdot 10^{-3} \text{ m}), & |a_{23}^1 i_a| &< (25 \cdot \text{m} / \text{A} \cdot \text{sec}^2) \cdot (10 \text{ A}) \\ |a_{32}^1 \dot{z}_\delta| &< (1600 \cdot \text{A} / \text{m}) \cdot (0.2 \cdot \text{m} / \text{sec}), & |a_{33}^1 i_a| &< (60 \cdot \text{sec}^{-1}) \cdot (10 \text{ A}) \\ |b_3^1 u| &< (180 \cdot (\Omega \cdot \text{sec})^{-1}) \cdot (20 \cdot \text{V}), & |b_{v,21}^1 F_{\text{ext}}| &< \frac{F_{\text{ext}}}{M} < g = 9.81 \cdot \frac{\text{m}}{\text{sec}^2}, & |\ddot{z}_\delta| &< g = 9.81 \cdot \frac{\text{m}}{\text{sec}^2} \end{aligned} \quad (4.121)$$

Se obțin astfel funcțiile de mărginire:

$$\begin{aligned} \chi_1 &= 0 \\ \chi_2(t, x, v) &= 400 < |a_{21}^1 \bar{z}_\delta| + |a_{23}^1 i_a| + |b_{v,21}^1 F_{\text{ext}}| + |\ddot{z}_\delta| \\ \chi_3(t, x, u) &= 5000 < |a_{32}^1 \dot{z}_\delta| + |a_{33}^1 i_a| + |b_3^1 u| \end{aligned}$$

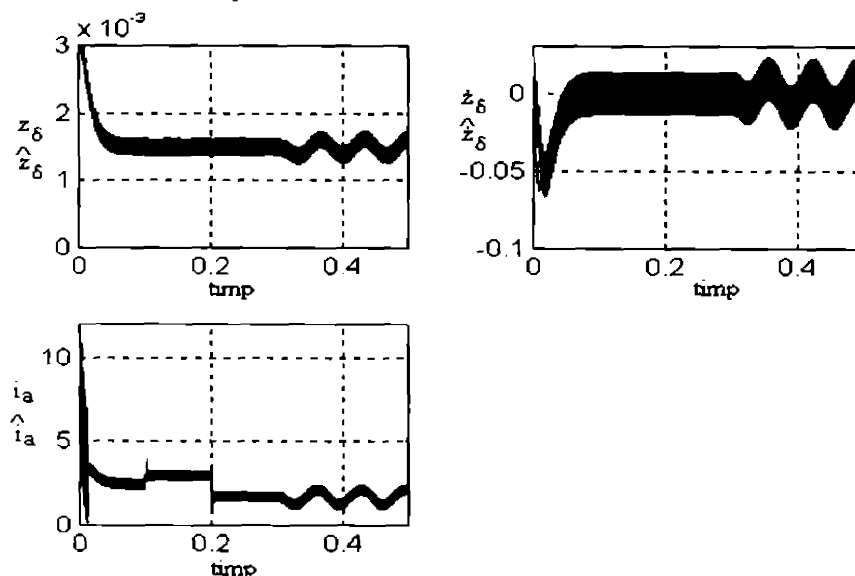
și apoi funcțiile de comutație  $z_i$

$$\begin{aligned} z_1 &= 0 \\ z_2 &= \begin{cases} 400 \text{sgn}[0.166(\hat{z}_\delta - z_\delta)] & \text{pentru } \bar{c}_2 e \neq 0 \\ 0 & \text{pentru } \bar{c}_2 e = 0 \end{cases} \\ z_3 &= \begin{cases} 5000 \text{sgn}[0.0033(\dot{\hat{z}}_\delta - \dot{z}_\delta)] & \text{pentru } \bar{c}_3 e \neq 0 \\ 0 & \text{pentru } \bar{c}_3 e = 0 \end{cases} \end{aligned}$$

în care  $\bar{c}_i, i=1,2,3$  sunt date de aceleași expresii (4.118)

În fine termenul neliniar aplicat estimatorului de stare este dat de (4.119) cu funcțiile de mai sus și înlocuind matricea  $E$  cu  $E_d$ .

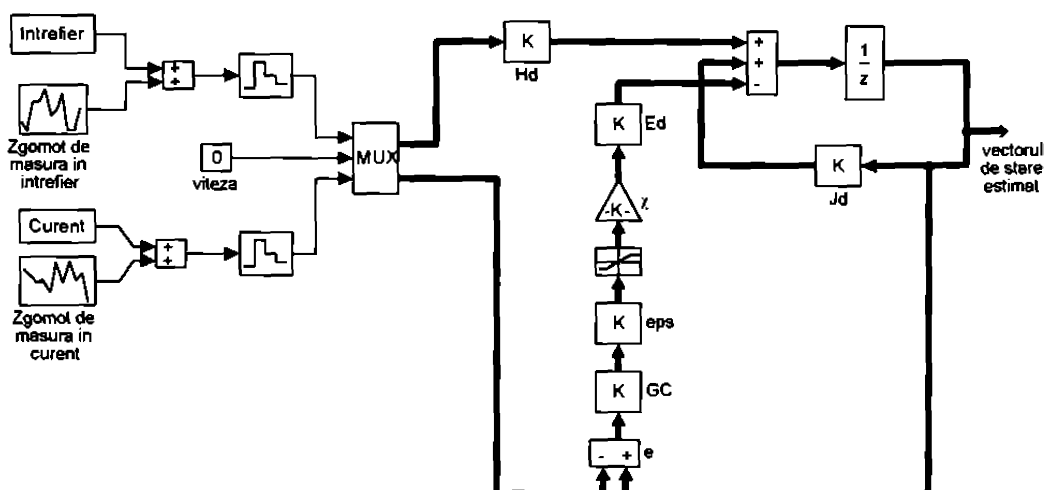
Înlocuind valorile matricelor discretizate direct în schema bloc din figura 4.16 și utilizând ca date de intrare rezultatele simulării din capitolul 3 (figurile 3.37) se obțin diagramele din figura 4.19, în care cu *albastru* s-au reprezentat mărimile reale din proces și cu *roșu* mărimile estimate.



**Figura 4.19. Răspunsul estimatorului de stare cu funcționare în regim alunecător discret**

Deși se poate observa că estimarea este corectă, așa cum s-a anticipat mai sus, în prezența unei perioade de eșantionare finite, oscilațiile de înaltă frecvență sunt prezente în toate mărimile estimate. Din acest motiv este necesară introducerea unui "tub" în care funcțiile  $\tau_i$  sunt de forma (4.99).

În figura 4.20 este dată schema bloc a estimatorului modificat.



**Figura 4.20. Estimator de stare discret funcționând în regim alunecător cu componentă proporțională**

Forma (4.99) a funcțiilor  $\tau_i$  a fost realizată prin înlocuirea blocului "Sign" cu un bloc de saturare cu limitele de saturație la  $\pm 1$  și cu un bloc amplificator cu amplificări  $1/\epsilon_i$ . De asemenea ca valori inițiale în blocul  $1/z$  a fost utilizat vectorul  $[30 \cdot 10^{-3} \ 0 \ 0]^T$  evitându-se în acest fel pulsul pozitiv de la momentul inițial în viteza estimată. Rezultatele sunt reprezentate în figura 4.21.



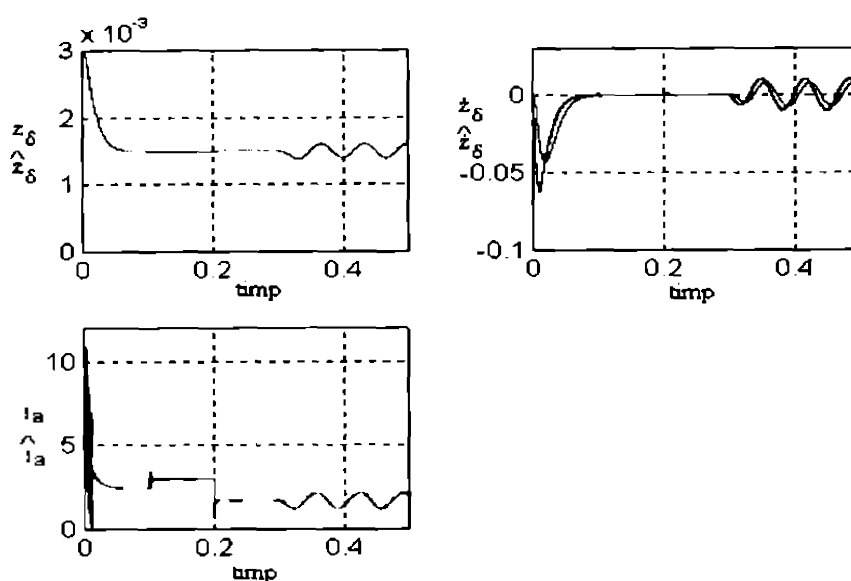


Figura 4.21. Răspunsul estimatorului de stare discret cu componentă proporțională

Introducerea "tubului" a înlăturat într-adevăr oscilațiile de înaltă frecvență. Se constată că în afara unui defazaj în viteză, defazaj care se poate micșora prin alegerea unei benzi de frecvență mai largă pentru partea liniară a estimatorului, determinarea noilor valori pentru vectorul de stare satisface întru totul.

Problema unui estimator de stare de ordin redus nu se poate pune pentru procesul considerat, perechea  $(A_1, C_1)$  care ar rezulta în acest caz nefiind detectabilă.

#### 4.3.3.3 Estimator de stare pentru procesul redus, discret, funcționând în regim alunecător

Ultimul estimator de stare cu funcționare în regim alunecător care se construiește este pentru sistemul de reglare numerică a SIEIGL cu buclă interioară de curent analogică. Ecuațiile procesului sunt în acest caz:

$$\begin{bmatrix} \dot{z}_\delta \\ \dot{z}_s \end{bmatrix} = \begin{bmatrix} 0 & 1 \\ a_{21}^1 & 0 \end{bmatrix} \begin{bmatrix} z_\delta \\ z_s \end{bmatrix} + \begin{bmatrix} 0 \\ a_{23}^1 \end{bmatrix} i_a + \begin{bmatrix} 0 & 0 \\ b_{v,21}^1 & -1 \end{bmatrix} \begin{bmatrix} F_{ext} \\ \ddot{z}_s \end{bmatrix} \quad (3.66)$$

$$y = \begin{bmatrix} 1 & 0 \end{bmatrix} \begin{bmatrix} z_\delta \\ z_s \end{bmatrix} \quad (4.122)$$

Si în acest caz se proiectează întâi estimatorul analogic care apoi se discretizează. Astfel se indentifică:

$$A = \begin{bmatrix} 0 & 1 \\ 0 & 0 \end{bmatrix}, f_1(t, x) = \begin{bmatrix} 0 \\ a_{21}^1 z_\delta \end{bmatrix}, f_2(t, x, u) = \begin{bmatrix} 0 \\ a_{23}^1 i_a \end{bmatrix}, f_3(t, x, v) = \begin{bmatrix} 0 \\ b_{v,21}^1 F_{ext} - \ddot{z}_s \end{bmatrix} \quad (4.123)$$

Perechea  $(A, C)$  este și în acest caz controlabilă, iar rangul lui  $C$  este 1. Se impune pentru partea liniară a estimatorului spectrul

$$\Lambda_{ES} = \left\{ -\omega_{ES} \left( \cos \frac{\pi}{6} - j \sin \frac{\pi}{6} \right), -\omega_{ES} \left( \cos \frac{\pi}{6} + j \sin \frac{\pi}{6} \right) \right\} \quad (4.124)$$

cu  $\omega_{ES}$  de data aceasta cu o valoare mai mare pentru a compensa defazajul remarcat în situația anterioară ( $\omega_{ES} = 1200$  rad/sec) și alegând matricea  $J$  de o formă similară cu cea din (4.115) se poate calcula și matricea  $H$ :

$$J = \begin{bmatrix} -2 \cos \frac{\pi}{6} \omega_{ES} & 1 \\ -\omega_{ES}^2 & 0 \end{bmatrix}, \quad H = \begin{bmatrix} 2 \cos \frac{\pi}{6} \omega_{ES} \\ \omega_{ES}^2 \end{bmatrix} \quad (4.125)$$

Forma (4.140) a funcțiilor neliniare conduce la o matrice  $E$  de forma:

$$E = \begin{bmatrix} e_{11} & 0 \\ e_{12} & 1 \end{bmatrix} \quad \text{în care } e_{1i} \text{ sunt grade de libertate ce se vor determina ulterior.}$$

Din nou se alege  $Q = I_2$  matrice unitate și rezolvând ecuația Lyapunov (4.79) se obține

$$P = \begin{bmatrix} 346.4104 & -0.5 \\ -0.5 & 0.001 \end{bmatrix}$$

Rezolvând acum ecuația  $C^T G^T = P E$  și alegând pentru gradele de libertate existente valori corespunzătoare, se obțin:

$$G = \begin{bmatrix} 1 \\ 0.1667 \end{bmatrix}, \quad E = \begin{bmatrix} 0.0115 & 0 \\ 6 & 1 \end{bmatrix}$$

În urma discretizării ecuațiilor estimatorului scrise similar formei (4.118) se obțin matricele discrete:

$$J_d = \begin{bmatrix} 0.5629 & 0.0002 \\ -276.592 & 0.9622 \end{bmatrix}, \quad H_d = \begin{bmatrix} 0.4371 \\ 276.592 \end{bmatrix}, \quad F_d = \begin{bmatrix} 0.0024 & 0.0004 \\ 1.0432 & 0.1739 \end{bmatrix} \cdot 10^{-3}$$

Păstrând estimările (4.121) legate de mărginirea produselor neliniare se determină funcțiile

$$\begin{aligned} \chi_1 &= 0 \\ \chi_2(t, x, v) &= 120 < |a_{21}^1 \bar{z}_s| + |a_{23}^1 \bar{z}_a| + |b_{v,21}^1 F_{ext}| + |\ddot{z}_s| \end{aligned}$$

iar funcțiile de comutație vor fi:

$$\begin{aligned} z_1 &= 0 \\ z_2 &= \begin{cases} 400 \operatorname{sgn}[0.166(\hat{z}_s - z_s)] & \text{pentru } \bar{z}_2 e \neq 0 \\ 0 & \text{pentru } \bar{z}_2 e = 0 \end{cases} \end{aligned}$$

Ecuările estimatorului sunt în consecința:

$$\begin{bmatrix} \hat{z}_{\delta,k+1} \\ \hat{z}_{\delta,k+1} \\ \hat{z}_{\delta,k+1} \end{bmatrix} = J_d \begin{bmatrix} \hat{z}_{\delta,k} \\ \hat{z}_{\delta,k} \\ \hat{z}_{\delta,k} \end{bmatrix} + H_d \hat{z}_{\delta,k} + E_d \begin{bmatrix} 0 \\ 0 \\ -z_2 \end{bmatrix} \quad (4.126)$$

Implementarea în SIMULINK este redată în figura 4.22

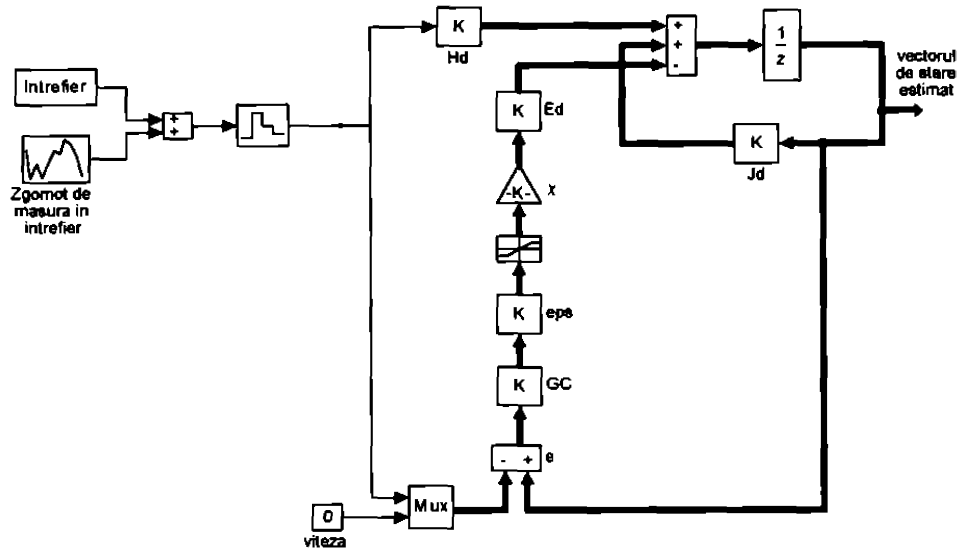


Figura 4.22. Estimator de stare de ordin redus, discret, cu funcționare în regim alunecător

Simulările au fost făcute pe baza rezultatelor determinate în capitolul 3 și care au fost reprezentate în figurile 3.41. Într-o primă simulare a estimatorului, lărgimea "tubului" a fost făcută foarte mică, astfel încât comportarea blocului amplificator "eps" și a blocului limitator să fie practic cea a unui bloc de tip "Sign". Cu acestea se obțin răspunsurile de pe prima linie a figurii 4.23, în care se poate vedea efectul pronunțat al oscilațiilor de înaltă frecvență, mai ales pe viteza. (Din nou s-au reprezentat cu *albastru* mărimile procesului și cu *roșu* mărimile estimate.) Chiar și așa se poate observa că înfășurătoarea oscilațiilor urmărește îndeaproape viteza reală. Atunci când se mărește "tubul" astfel încât să se înlătore oscilațiile, se obțin rezultate reprezentate pe linia a doua a figurii 4.23.

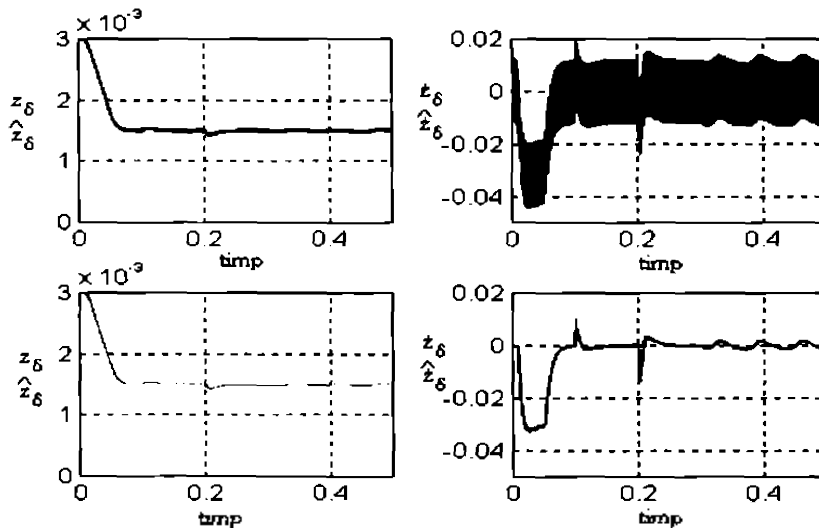


Figura 4.23. Răspunsul estimatorului de stare de ordin redus, discret

Diagramele confirmă o estimare excelentă atât din punctul de vedere al întrefierului (curbe practic suprapuse) cât și al vitezei, din care defazajul remarcat în simulările anterioare a dispărut aproape integral prin lărgirea benzii de frecvență a părții liniare a estimatorului.

*Se poate concluziona* că estimarea stării sistemelor cu sustentație electromagnetică cu estimatoare funcționând în regim alunecător rezolvă problema variației parametrilor procesului și a perturbațiilor deterministe ce acționează asupra lui. În acest paragraf a fost determinat atât un estimator de stare de ordin complet în continuu cât și două estimatoare tot de ordin complet în discret, prin discretizarea ecuațiilor de stare a sistemului continuu. Atunci când estimarea este analogică (continuu) oscilațiile de înaltă frecvență proprii acestui tip de estimator nu deranjează prea mult, dar implementarea lor practică nu este foarte simplă. Estimarea cu sisteme digitale impune utilizarea unui "tub" de lățime  $\varepsilon$  pentru înlăturarea acestor oscilații, mult mai pronunțate datorită perioadei de eșantionare finite. Nu a fost cazul introducerii și a unui termen integral, dar pot exista situații în care datorită caracterului strict proporțional se păstrează o eroare de estimare chiar și în regim staționar și atunci prezența elementului integrator este necesară

#### **4.4 Concluzii legate de estimarea stării sistemelor cu sustentație electromagnetică.**

În acest capitol au fost analizate posibilități și variante de estimare în sistemele cu sustentație electromagnetică. Astfel s-au analizat estimatoare liniare invariante, filtre Kalman și estimatoare lucrând în regim alunecător. Ele au fost studiate atât pentru cazul continuu cât și pentru cazul discret, desprinzându-se următoarele concluzii:

1. Determinarea unui estimator liniar și invariant pentru sistemele cu sustentație electromagnetică construit pe baza condițiilor de existență (4.6) conduce la un sistem dependent de parametrii procesului. Utilizarea sa în aplicații în care întrefierul se poate modifica în limite largi va conduce la erori semnificative. În plus, dacă identificarea parametrilor ce intervin în acești coeficienți este eronată, estimarea este de la început și în orice punct compromisă.
2. În cazul în care una din mărimile măsurate este accelerația absolută se poate determina un estimator independent de parametrii procesului, de ecuații (4.102). Acest estimator poate avea atât o implementare analogică cât și digitală cu aceleași performanțe bune. Utilizarea sa conduce la estimarea vitezei și o estimată a întrefierului cu proprietăți de filtrare foarte bune a zgomotelor de măsură în afara benzii de frecvențe impuse estimatorului.
3. Chiar și atunci când accelerația absolută nu este măsurabilă, același estimator poate fi utilizat în estimarea vitezei, făcând intrarea de accelerație nulă. Pentru a obține rezultate bune însă, banda de frecvențe a estimatorului trebuie crescută pentru a compensa lipsa accelerației, mărime care în estimatorul (4.102) are un efect de corecție a valorilor estimate la frecvențe ridicate.
4. Datorită dificultăților de implementare, construcția unui filtru Kalman în domeniul continuu, pentru estimarea stării sistemelor cu sustentație electromagnetică este posibilă doar sub forma invariantă. S-a arătat însă că aceasta este echivalentă ca și structură cu estimatorul de stare liniar bazat pe măsurarea accelerației și întrefierului, banda de frecvență a filtrului rezultând din covarianțele considerate pentru zgomotele de măsură.
5. Construcția unui filtru Kalman variant în timp, ca funcție de întrefier în principal, este posibilă în cazul discret. Se constată însă că implementarea practică necesită o putere de calcul nejustificată pentru această aplicație.
6. Problema variației parametrilor procesului în timp și/sau funcție de stare este rezolvabilă prin utilizarea estimatorilor cu funcționare în regim alunecător. Astfel s-a arătat că atunci când o serie de condiții sunt îndeplinite, este posibilă construcția unui estimator de  $\dot{x}$  cu funcționare în regim alunecător. Prin particularizări apoi s-au obținut estimatoare de stare de ordin complet, estimatoare de  $\dot{x}$  de ordin redus, estimatoare de stare de ordin redus și funcționale liniare de stare. Proiectarea nu este neapărat simplă dar rezultatele justifică efortul depus.
7. Pentru sistemele cu sustentație electromagnetică s-au construit estimatoare de stare de ordin complet atât în continuu cât și în discret, pornind de la modelul cu măsurarea întrefierului și

curentului, ecuațiile sistemului fiind dependente atât de parametri procesului cât și de intrări perturbatoare. În ambele situații, estimările au fost corecte

8. Toate tipurile de estimatoare discutate sunt sensibile la zgomot alb pe canalul de măsurare al întrefierului. În situațiile analizate zgomotul întrefierului aplicat pe intrarea estimatorului trebuie să aibe o deviație standard de cel mult 3% din variația maximă absolută a întrefierului. Din acest motiv se recomandă ca atunci când zgomotul este nepermis de mare să se utilizeze metode speciale de filtrare a lor, fie la nivelul traductorului fie în cadrul sistemului de reglare

## CAPITOLUL 5

### 5. Implementarea reguletoarelor pentru sistemele cu sustentație electromagnetică

În capitolele precedente, începând cu modelarea, s-au avut în vedere posibilitățile de implementare practică a algoritmilor de reglare dezvoltate. În acest sens s-a ținut cont atât de natura procesului, de tipul traductoarelor, de elementul de execuție, cât și de domeniul continuu sau discret în care se face reglarea. Capitolul de față se ocupă cu precizarea detaliilor de implementare practică a sistemelor cu sustentație electromagnetică. Astfel se vor discuta scheme analogice de construcție a reguletoarelor și estimatoarelor discutate și se vor detalia algoritmi de reglare numerică precizând modul de implementare soft și hard. Considerând a fi parte integrantă a procesului, se vor discuta și elementele de execuție, chppere în două cadrane de puteri diferite în funcție de tipul electromagnetului utilizat în procesul de sustentație.

Tratarea sistemelor de reglare analogice se va face considerând situația sistemelor cu sustentație electromagnetică cu electromagneți cu forță portantă mare (vehicul pe pernă magnetică), iar pentru reglarea numerică se vor avea în vedere electromagneți cu forță portantă mică (model de laborator și lagăre cu sustentație magnetică). Pe baza celor două procese se va încerca exemplificarea implementării a cât mai multe din sistemele studiate în capitolele 3 și 4.

#### 5.1 Implementarea sistemelor de reglare continue

În cele ce urmează se vor discuta două tipuri de sisteme de reglare a sistemelor cu sustentație electromagnetică. Primul se referă la o reglare după stare cu compensatorul determinat fie prin alocare de poli fie după principiul regulatorului liniar pătrătic, cu întrefierul și accelerația măsurate și cu un estimator de stare de ordin complet, elementul de execuție fiind un chopper în două cadrane. Al doilea este o reglare în regim alunecător adaptată implemetării analogice, cu măsurarea întrefierului și curentului, cu buclă interioară de curent și cu estimator de stare de ordin complet.

##### 5.1.1 Sistem de reglare continuu cu compensator după stare

Schema bloc a regulatorului considerat este dată în figura 5.1, în care s-au reprezentat estimatorul de stare de ordin complet cu măsurarea întrefierului și accelerației și compensatorul cu amplificările corespunzătoare pe canalele de întrefier, viteză și poziție.

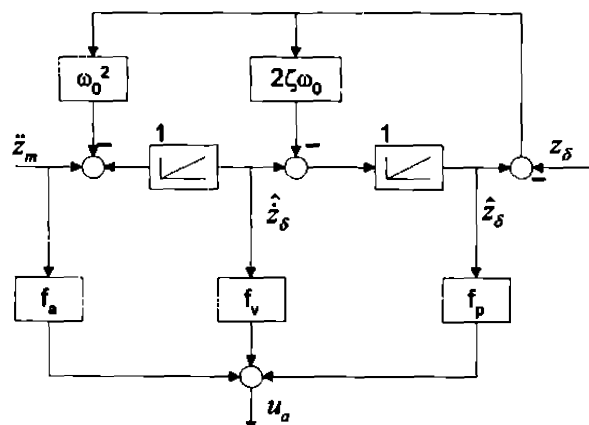


Figura 5.1. Schema bloc a regulatorului după stare: estimator + compensator

Prima etapă în implementarea sistemelor de reglare continue sau numerice, înainte de a concepe o schemă electronică sau a alege un echipament de calcul numeric este *conversia coeficienților regulatorului de la mărimile fizice în care au fost proiectate la mărimi ingineresti*. Această conversie se face pe baza coeficienților de transfer ai traductoarelor, convertoarelor analog - numerice, numeric - analogice, elementelor de execuție. De cele mai multe ori această conversie se rezolvă relativ simplu pe baza algebrei schemelor bloc. Astfel notând cu  $k_{Ta}$  coeficientul de transfer al traductorului de întrefier,  $k_{Td}$  cel al traductorului de accelerație și cu  $k_{ce}$  coeficientul de transfer al elementului de execuție, schema de reglare ce trebuie realizată este dată în figura 5.2., în care cu albastru este reprezentat regulatorul.

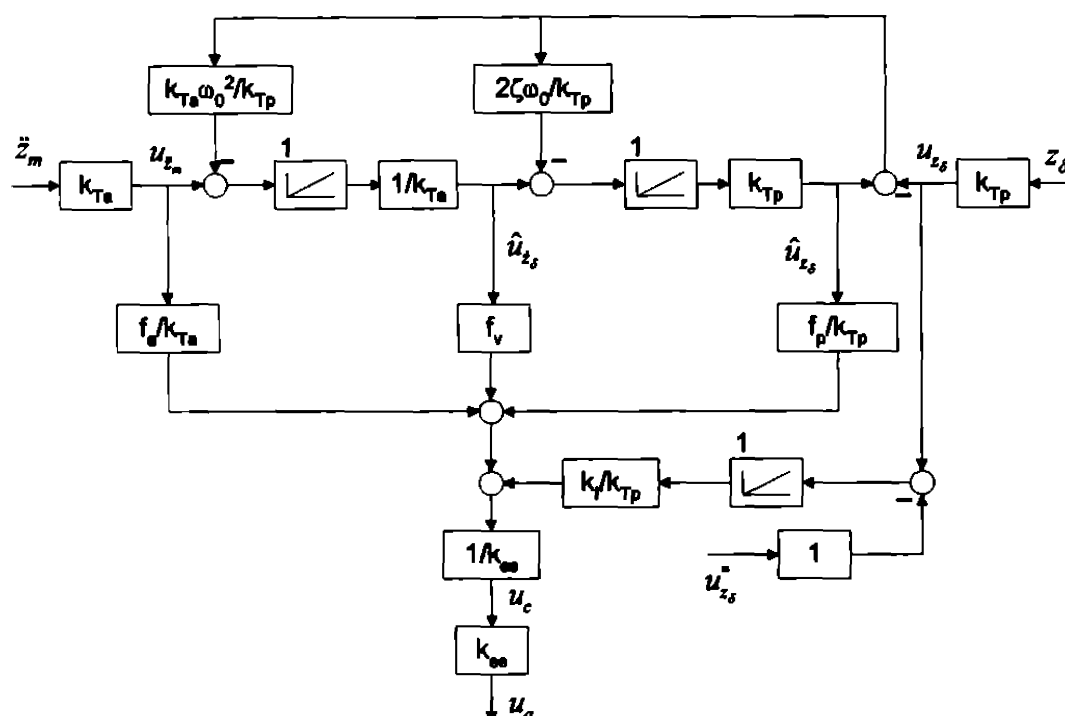


Figura 5.2. Schema bloc a regulatorului cu traductoare înglobate.

Față de schema din figura 5.1. s-a introdus un nou termen ce constituie prescrierea sistemului  $u_{zs}^*$ . Prescrierea se aplică printr-o rampă care integrează eroarea mării de ieșire (întrefierul) cu partă dată de coeficientul  $k_f$ . Acest termen asigură și anularea erorii de regim staționar, deficiență a sistemelor de reglare după stare.

În realizarea acestei scheme cu amplificatoare operaționale trebuie avute în vedere câteva reguli:

- amplificările să fie cuprinse între cel puțin 0.1 V/V și ce mult 10 V/V - amplificări prea mici (atenuări prea mari) coboară nivelul semnalului util la nivelul zgomotului; amplificări prea mari necesită amplificatoare operaționale cu rata de variație (V/μsec) mare, cu preț de cost ridicat
- valorile rezistențelor să fie între 1 kΩ și 100 kΩ - valori prea mici necesită curenți pe care operaționalele s-ar putea să nu le poată furniza, iar valori prea mari reduc precizia amplificării, curenții de intrare în amplificator - considerați neglijabili - putând deveni comparabili cu cei prin rezistențe
- condensatorii nepolarizați să fie până la 1 μF, valoare uzuală.

Alegând pentru coeficienți valorile  $k_{Tp}=20$  V/30 mm,  $k_{Td}=10$  V/5 m-sec<sup>2</sup>,  $k_{ce}=200$  V/20 V,  $k_f=0.25$  V/sec și  $f_p$ ,  $f_v$  și  $f_a$  determinate în capitolul 3, utilizând pentru estimatorul de stare pulsația

$\omega_{E,S}=100$  rad/sec și amortizarea  $\zeta=0.707$ , și respectând condițiile de mai sus, în urma aplicării algebrei schemelor bloc s-a obținut pentru regulator schema din figura 5.3.

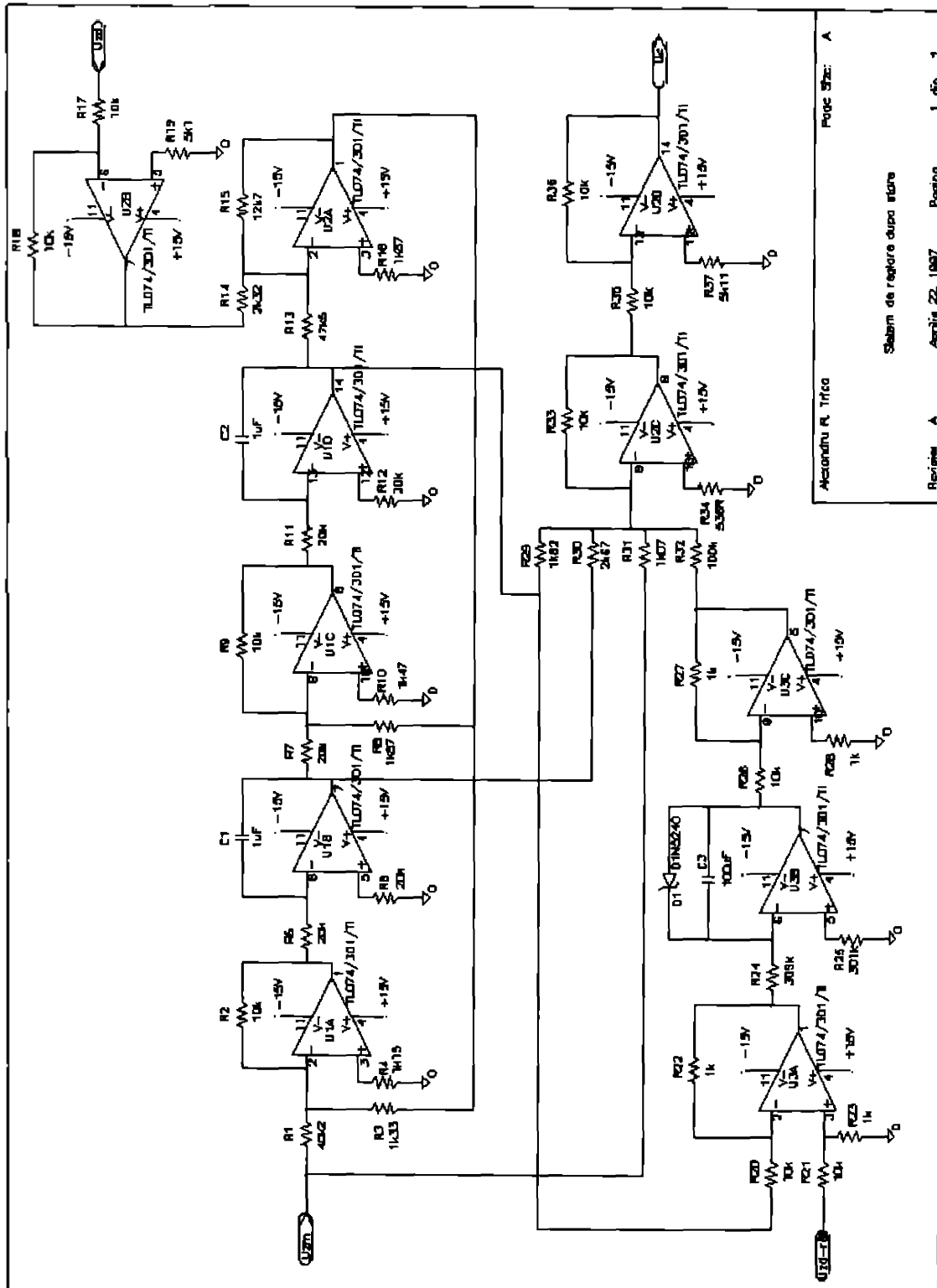


Figura 5.3. Schema circuitului pentru reglarea după stare cu estimator de stare de ordin complet



S-au utilizat amplificatoare operaționale TL074N (Texas Instruments) cu JFET-uri pe intrare, 4 într-o capsulă, cu preț de cost redus. Rezistențele sunt realizate în tehnologie film metalizat, de precizie 1% din clasa E96. Condensatoarele nepolarizate sunt de tipul poliester metalizat. Cum prescrierea este întotdeauna pozitivă, integratorului U3B i s-a putut asocia un condensator polarizat de valoare mare, limitarea operaționalului fiind asigurată prin dioda Zener de 10V din reacție.

Această schemă a fost practic implementată și testată cu succes în stabilizarea și reglarea "roților magnetice" din cadrul proiectului MAGNIBUS [B4], [B5], [B7].

Pentru că elementele de execuție utilizate la vehiculul cu pernă magnetică de la Institutul Politehnic Timișoara au fost chopper într-un cadran cu tiristoare, în anexa A5.1 se prezintă schema electronică a unui chopper în două cadrane realizat cu IGBT-uri, chopper ce în situația reluării proiectului se poate utiliza pentru tensiuni de până la 800 V și curenți de 200 A [\*5]. Prețul unui astfel de chopper se estimează cu tot cu circuitul de comandă la aproximativ 1000\$ CDN. Dacă tensiunea de alimentare trebuie să fie mai mare atunci se pot înlocui IGBT-urile utilizate cu cele de 1700V care încep să devină tot mai accesibile din punct de vedere al prețului.

### 5.1.2 Sistem de reglare continuă cu funcționare în regim alunecător, cu buclă interioară de curent

Deși funcționarea în regim alunecător presupune utilizarea unor elemente neliniare, greu de realizat în scheme analogice, regulatorul poate fi implementat în varianta cu element de tip PI la ieșirea funcționalei de stare destul de simplu. Astfel schema bloc a regulatorului și estimatorului de stare sunt date în figura 5.4:

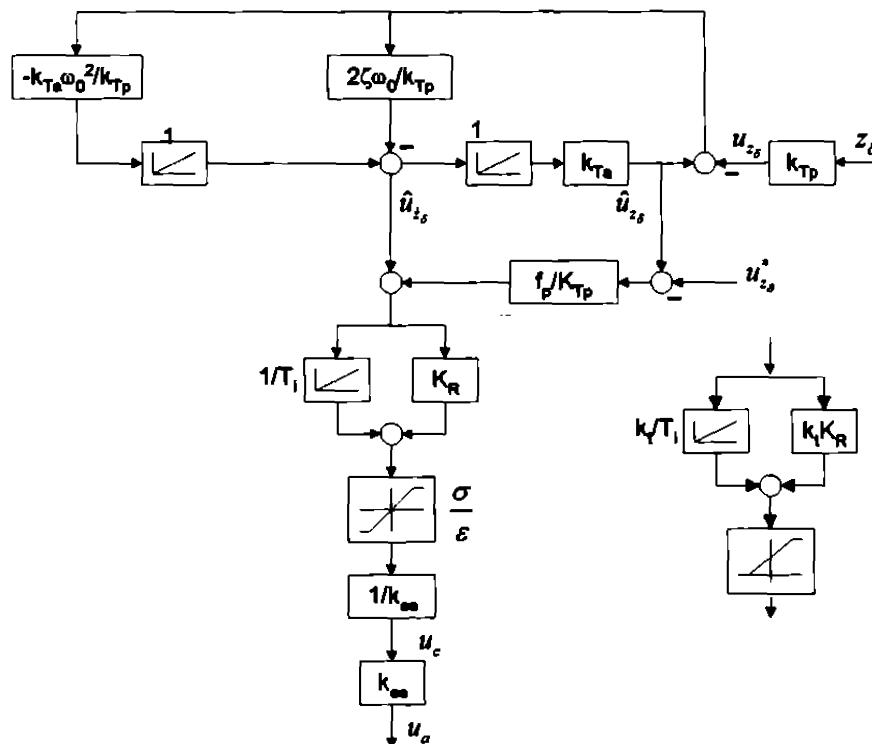


Figura 5.4. Schema bloc a regulatorului cu funcționare în regim alunecător și a estimatorului de stare

Datorită particularității circuitului de comandă a chopperului utilizat, circuit care va fi utilizat în bucla de curent interioară, tensiunea de comandă  $u_c$  trebuie limitată între 0 și 4.5 V. Acest aspect este prins în partea dreaptă a figurii în care se remarcă deplasarea de nivel, amplificările fiind înglobate în blocurile P și I prin coeficientul  $k_f$ .

Pentru electromagnetul cu forța portantă redusă, coeficienții traductorului de întrefier și elementului de execuție sunt:  $k_{Tp}=20 \text{ V/3 mm}$  și  $k_{ee}=170 \text{ V/4.5 V}$ . Utilizând o pulsație de 200 rad/sec cu aceeași amortizare de 0.707, pe baza algebrei schemelor bloc se poate, din nou, determina schema electronică a cărui circuit este reprezentat în figura 5.5. S-au utilizat același tip de amplificatoare operaționale, rezistențe și condensatoare ca și în schema precedentă. Elementul PI a fost realizat cu un singur amplificator U2C. Referința utilizată în deplasarea de nivel este ajustată cu amplificatorul U3C.

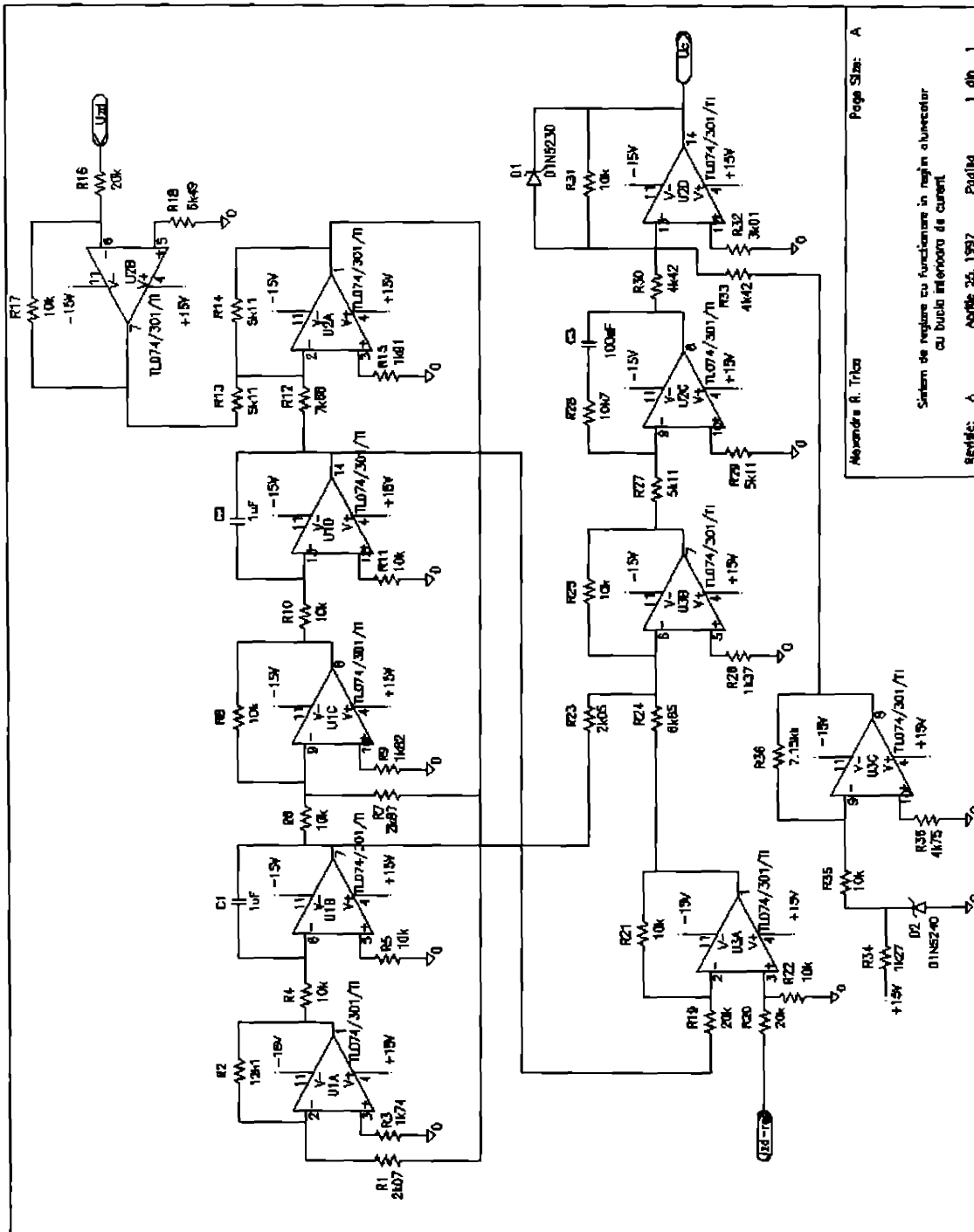


Figura 5.5. Schema electrica a regulatorului functionind in regim alunecator + estimator de stare

În schema nu s-au prevăzut rezistențe variabile dar dacă este necesară o acordare practică a regulatorului se pot utiliza potențiometre. De exemplu lăpimea "tubului"  $\varepsilon$ , stabilit în schemă la 1V, se poate face modificând rezistența R30 (nu R31 care ar avea ca efect secundar modificarea nivelului de tensiune continuă aplicată amplificatorului U2D).

O variantă a acestei scheme a fost utilizată în cadrul circuitului pentru stabilizarea și reglarea fiecărei axe a lagărului magnetic proiectat și testat la Institutul Politehnic Timișoara [B6].

Bucă analogică de curent poate fi implementată cu succes utilizând circuite specializate pentru surse de alimentare în comutație cu regulator de curent și tensiune. Principiul după care acestea funcționează este reprezentat simplificat în figura 5.6:

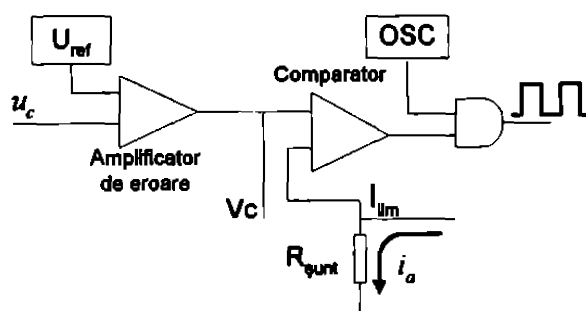


Figura 5.6. Schema de principiu a regulatorului de curent

Amplificatorul de eroare este un amplificator transconductanță, pe pinul  $V_c$  (control) conectându-se circuitul de compensare în frecvență. Acest ansamblu constituie regulatorul de tensiune, ieșirea lui reprezentând prescrierea de curent. Măsurarea curentului se face prin șuntul  $R_{sunt}$ . La fiecare ciclu, curentul prin sarcina inductivă crește liniar până ce tensiunea de pe șunt atinge valoarea prescrierii de curent, moment în care comparatorul basculează pe zero. Frecvența și durata maximă a modulării în lățime de puls de la ieșire sunt controlate de oscilator. Circuite suplimentare, care nu s-au mai reprezentat, limitează valoarea maximă a curentului unui puls, generează referințe utilizate la pornirea lentă a montajului (soft-start), protejează la suprasarcină și nu în ultimul rând amplifică pulsurile pentru comanda directă a MOS-urilor de putere sau IGBT-urilor, sau pot reprezenta comanda un transformator de impulsuri.

Analizând funcționarea circuitului se constată că principiul de funcționare poate fi utilizat la realizarea regulatorului cu buclă interioară de curent, generând pulsurile modulate în lățime de puls necesare comenzii chopperului în două cadrane și asigurând în același timp atât limitarea curentului la pornire cât și protecțiile de curent necesare. Pe amplificatorul de eroare se aduce în locul reacției de tensiune, tensiunea de comandă și eliminându-se din circuitul de compensare componente integratoare, referința de tensiune  $U_{ref}$  poate fi privită doar ca o deplasare de nivel. Privind mai îndeaproape circuitul se constată că de fapt este vorba tot de un regulator bipozițional fără histerezis, dar cu frecvența constantă.

Fără a intra în detalii s-au considerat două circuite, unul devenit în timp clasic și construit de numeroase companii este de exemplu de la Unitorde circuitul UC1843. Cu acesta s-a conceput schema de comandă a chopperului în două cadrane realizat cu MOS-uri, pentru alimentarea electromagnetului cu forța portantă redusă și care a fost simulat în pachetul PSPICE 7.1 dar poate fi utilizată și la comanda chopperelor cu IGBT-uri. Schema este dată în figura 5.7, iar diagramele în figurile 5.8. Ceea ce s-a dorit a fost demonstrarea a două lucruri: că circuitul poate fi utilizat în această aplicație și că viteza de variație a curentului este cea dorită și evaluată în capitolul 3, adică atât de rapidă încât, din punct de vedere al sistemului mecanic, să fie practic instantanee.

Amplitudinea sursei dreptunghiulare  $V_{pulse}$  a fost astfel aleasă încât curentul să se modifice între 0,6 și 4 A. Deplasarea de nivel necesară pentru compatibilitatea cu referința internă a circuitului UC1843 a fost asigurată prin  $V_{ref}$ . Interesant este că pentru o funcționare stabilă în lăpimea de puls, frecvența de

choppare este condiționată de valoarea maximă a curentului și de constanta de timp a electromagnetului: astfel pentru tensiunea de  $V_{bus}=170\text{ V}$  utilizată în simulări și la parametri electromagnetului considerat, pentru a avea oscilații sub 0.1 A, frecvența a fost crescută la 100 kHz, frecvență de lucru uzuală pentru MOSFET-urile din schemă.

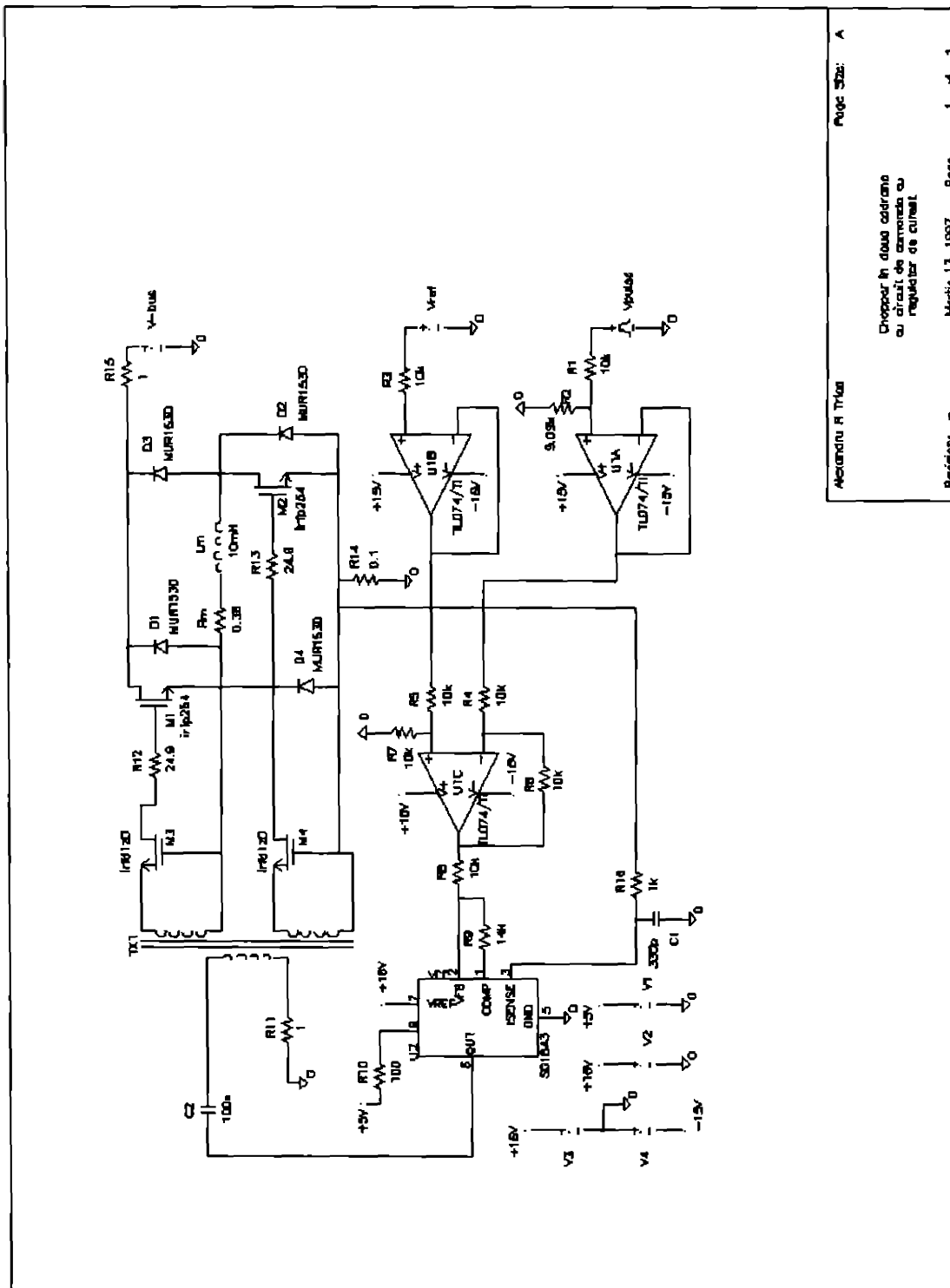


Figura 5.7. Schema utilizată în simularea buclei de curent

Răspunsul în curent al circuitului are viteza scontată: se pot măsura pantele de creștere și scădere a curentului la 15.95 A/μsec, respectiv 14.995 A/μsec, timpii în care curentul ajunge la valoarea prescrisă fiind 211.8 μsec și 225.65 μsec, adică echivalentul unei frecvențe de răspuns de aproximativ 5 kHz.

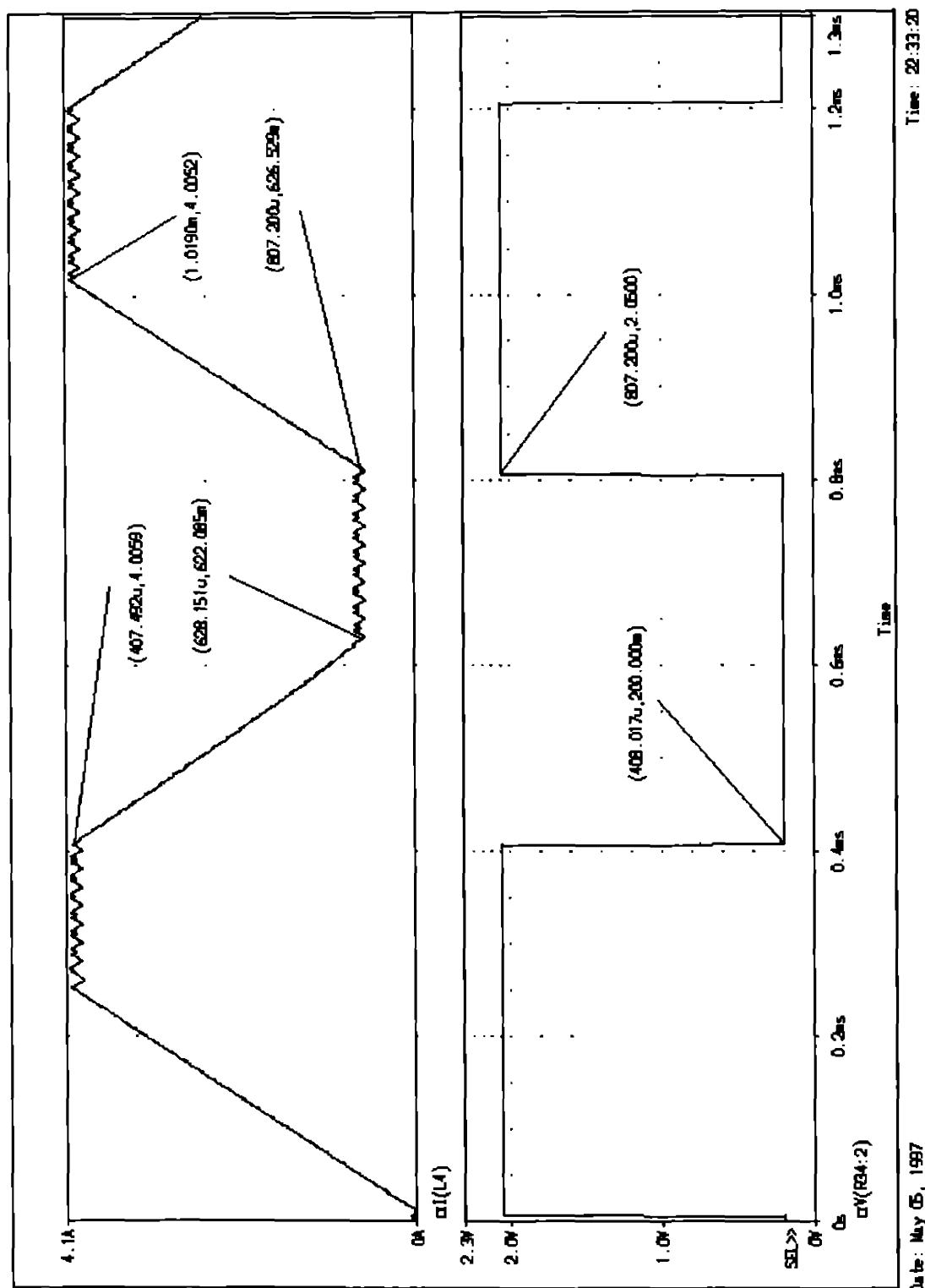
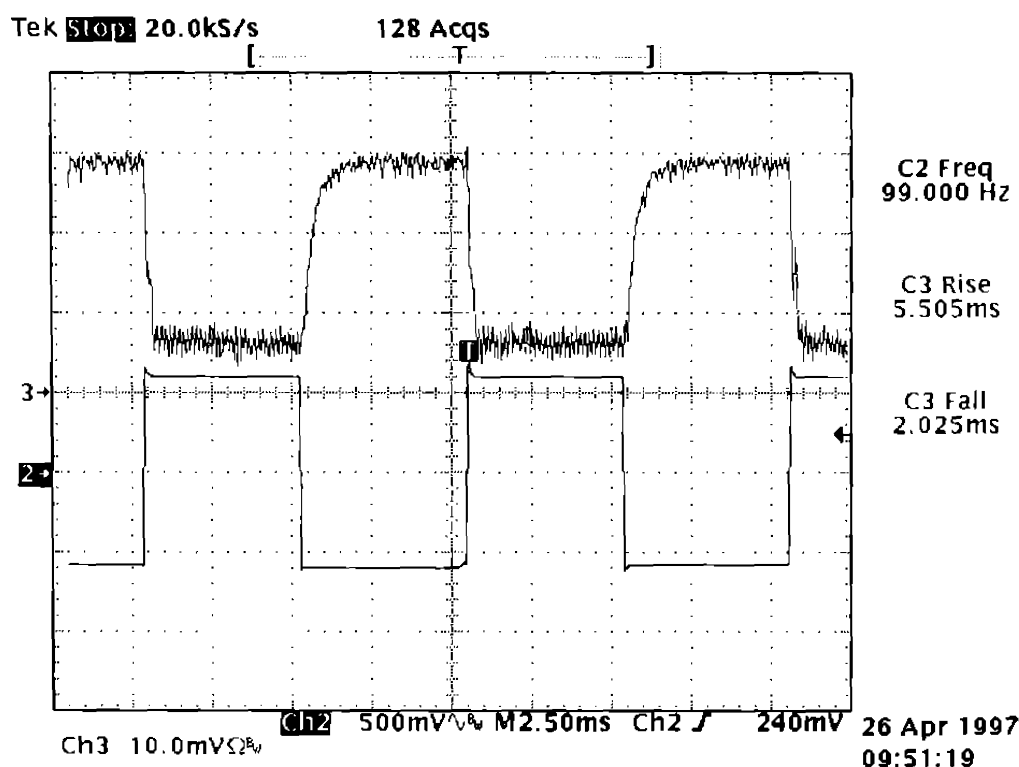


Figura 5.8. Rezultatele simulărilor: curentul și prescrierea de curent

Utilizarea circuitului UC1843 în simulări se datorește faptului că acesta este definit în biblioteca de componente a pachetului PSPICE. În circuitul construit practic s-a utilizat o variantă mai evoluată și anume circuitul LT1105 de la Linear Technology. Acesta are mai multe îmbunătățiri față de circuitele clasice dintre care pentru aplicația considerată două sunt importante:

- datorită sarcinii stocate în joncțiunile diodelor de nul, atunci când ele se blochează apare un vârf de curent de foarte scurtă durată (zeci până la sute de nano-secunde, în funcție de tipul diodei folosite) dar de amplitudine foarte mare care ar putea produce bascularea comparatorului din figura 5.6. În general în paralel cu șuntul se pune un condensator pentru a filtra acest impuls. Circuitul LT1105 este prevăzut cu un bloc care decuplează reacția de curent pentru 500 nanosecunde astfel încât impulsul de curent nu este luat în considerare și în continuare reacția de curent nu mai trebuie filtrată.
- reacția de curent de tipul PWM este inerent instabilă pentru un factor de umplere mai mare decât 0.5 [4], motiv pentru care trebuie utilizată o așa-numită "compensare de pantă" Circuitul LT1105 are un circuit de compensare a pantei înglobat, astfel încât funcționează stabil fără componente externe la orice factor de umplere.

Schema electrică a circuitului practic utilizat este dată în anexa A5.2, iar în figura 5.9 se arată referința de curent și curentul prin electromagnetul cu forță portantă redusă.



**Figura 5.9. Prescrierea de curent și curentul în bucla de reglare analogică de curent**

Pe canalul 2 s-a măsurat tensiunea de referință, un semnal dreptunghiular de frecvență 100 Hz și variație 1.5 Vv-v. Acest semnal a fost aplicat în locul tensiunii de comandă  $u_c$ . Un șunt de  $0.3 \Omega$  pus în serie cu inductanța electromagnetului este utilizat pentru vizualizarea curentului, reprezentat pe canalul 3 în figură. S-a utilizat o sondă diferențială cu atenuare 1:50, curentul variind între 0.8 și 5 A. Din păcate, din motive practice, tensiunea de alimentare nu a putut fi crescută mai mult de 48 V astfel încât timpii de creștere și cădere sunt mai mari decât cei care s-ar fi obținut la 170 V. Chiar și așa, la un timp de ridicare de 5.5 msec și timp de cădere de 2.2 msec, răspunsul este suficient de rapid pentru scopul aplicației.

## 5.2 Implementarea sistemelor de reglare discrete

Alegerea echipamentului de calcul pentru un sistem de reglare numerică se face în urma analizei complexității algoritmului și legat de aceasta a volumului și vitezei calculelor ce trebuie efectuate pe durata unui pas de eșantionare. În acest sens, în cele ce urmează se analizează două sisteme numerice:

- reglarea numerică a modelului de laborator de tip "balanță" (vezi paragraful 2.2.4) în care un S2E1GL caută să mențină un întrefier constant de 1.5 mm în prezența a diferite tipuri de perturbații introduse cu cel de-al doilea S2E1GL. Algoritmul de reglare constă în măsurarea întrefierului și accelerației, estimarea vitezei și întrefierului, determinarea funcționalei de stare și elaborarea comenzii în urma calculului elementului PI.
- reglarea numerică a unui lagăr magnetic, compus din două axe perpendiculare, fiecare axă fiind constituită dintr-un S2E1GL. Se consideră sistemul cu buclă interioară analogică de curent. Pentru fiecare axă, cu un singur micro-controller trebuie măsurat întrefierul și curentul, estimată viteza și întrefierul, calculată funcționala de stare și apoi comanda în urma elementului de tip PI.

### 5.2.1 Sistem de reglare numeric pentru modelul de laborator

Și în cazul implementării sistemelor discrete se pune problema conversiei din unități fizice în unități ingineresti, de data asta unități binare (ub). În afara coeficienților de transfer ai traductoarelor, în sistemele discrete apar și cei ai convertoarelor analog-numeric și numeric-analogice, astfel că schema bloc a sistemului de reglare arată astfel:

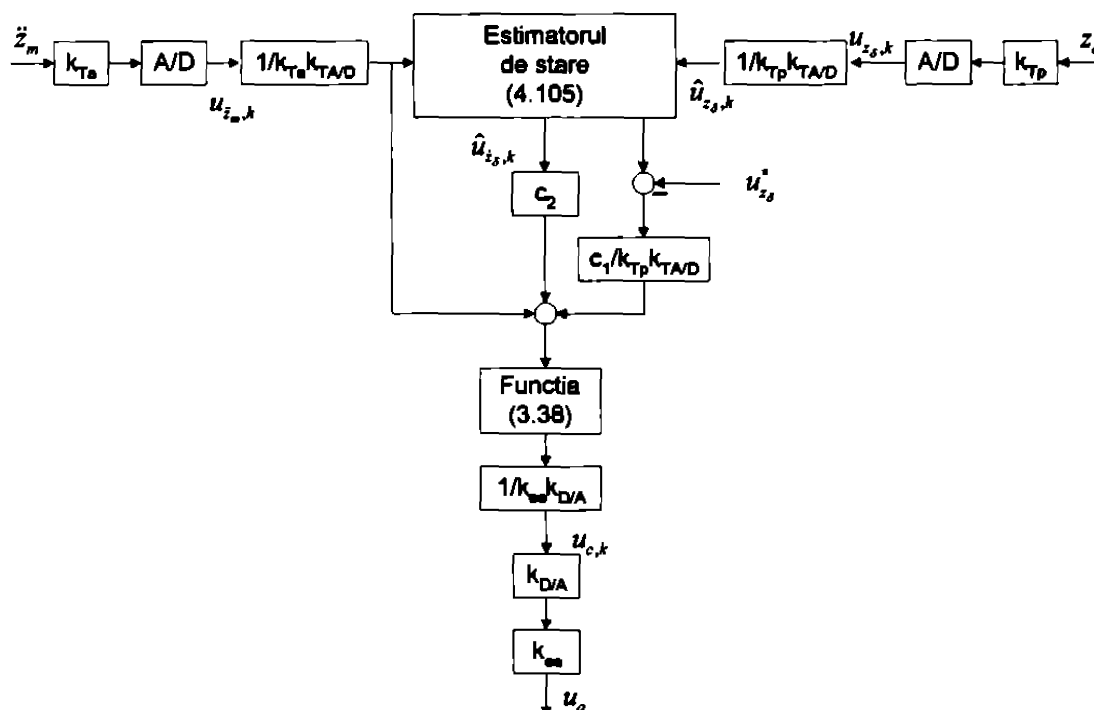


Figura 5.10. Schema bloc a sistemului de reglare numerică cu funcțională de stare de ordinul 2.

Este de fapt o reprezentare a regulatorului din figura 3.32 la care se adaugă estimatorul (4.105). S-au utilizat convertoare analog-numeric pe 10 bit cu semnal de intrare între 0 și 5V, astfel încât traductoarele trebuie să asigure semnale de măsură cuprinse în acest domeniu. Convertorul numeric-analogic este pe 12 bit cu referința astfel aleasă încât să furnizeze o tensiune compatibilă cu elementul de execuție, în acest caz un chopper în două cadrane comandat în tensiune. Astfel, traductorul de întrefier este de tipul diferențial, măsurând diferența întrefierului pe cele două părți ale electromagnetului, adică tocmai pe  $z_s$ . Ajustând

circuitul de ieșire pentru domeniul specificat de tensiune, rezultă  $k_{Tp} = 5 \text{ V/3 mm}$ . Pentru traductorul de accelerație s-a ales un circuit specializat de la Analog Devices și anume ADXL05 pus într-o configurație de măsurare până la  $\pm 2 \text{ g}$  (accelerație gravitațională) într-o bandă de frecvențe de la 0 Hz la 1000 Hz, cu o precizie de 0.2%. Accelerometrul este încapsulat și nu depinde de condițiile ambiante. Coeficientul de transfer al traductorului este  $k_{Ta} = 200 \text{ mV/g}$ . Având în vedere că într-un electromagnet alimentat de un chopper în două cadrane, regimul de curent neîntrerupt se stabilește doar pentru un factor de umplere al pulsurilor mai mare de 0.5, circuitul de comandă este astfel conceput încât factorul de umplere să se modifice între 0.5 și 0.99 atunci când tensiunea de comandă se modifică între 0 și 10 V. Pentru o tensiune de alimentare de 170 V, coeficientul de transfer al elementului de execuție este  $k_{ee} = 170 \text{ V/10 V}$ .

Implementarea unui regulator numeric poate fi făcută în virgulă flotantă sau virgulă fixă. În primul caz se utilizează fie un procesor puternic din categoria procesoarelor de semnal care să aibe înglobat sau separat un coprocesor capabil a face operații în virgulă mobilă, caz în care prețul de cost al sistemului se ridică substanțial, fie un procesor mai ieftin care are o bibliotecă software de calcul în virgulă mobilă, caz în care timpul necesar calculelor este nepermis de mare. În cazul în care se utilizează virgula fixă - varianta utilizată în această lucrare - trebuie avute în vedere conversii ale coeficienților ce intră în calcul, precum și posibilitatea de a lucra la cea mai mare rezoluție posibilă, fără a avea vreodată depășire de capacitate de registrii. Această operație este de multe ori laborioasă și în lucrarea de față s-a optat, pentru rezolvarea optimă a problemei, la utilizarea bibliotecii de calcul cu virgulă fixă din SIMULINK.

Astfel, pentru exemplificarea procedurii, în figura 5.11 se dă schema utilizată pentru verificarea estimatorului de stare. Toți coeficienții au fost reprezentați pe 16 bit (un "cuvânt" binar), înmulțirile sunt de tipul 16x16 cu rezultatul pe 32 bit. Adunările produselor sunt făcute pe 32 de bit și înainte de o nouă înmulțire, rezultatul este trunchiat din nou la 16 bit. În blocurile amplificatoare, pe rândul de sus este reprezentat coeficientul rotunjit la 16 bit, iar pe rândul de jos este specificată eroarea de rotunjire. Sunt situații în care eroarea de rotunjire devine comparabilă cu valoarea coeficientului. În astfel de cazuri se aplică din nou algebra schemelor bloc pentru a aduce valorile coeficienților la valori acceptabile.

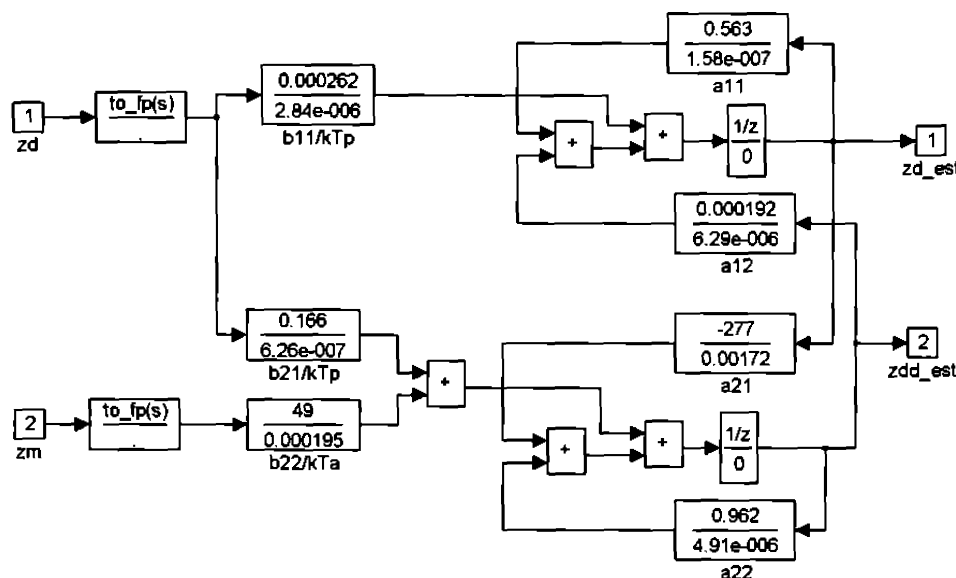


Figura 5.11. Estimatorul de stare în virgulă fixă

În mod similar se construiește întregul regulator. Pe intrări se aplică apoi semnale sinusoidale de frecvențe necorelate, cu amplitudinea 511 u.b. și se urmărește dacă apar depășiri. Într-o asemenea situație se reduce amplificarea, utilizând din nou algebra schemelor bloc, până ce rezultatele sunt corecte.

În continuare este simplu de a evalua numărul de operații ce trebuie efectuate. Astfel se identifică:

- estimatorul - 7 operații de înmulțire și 5 adunări



• regulatorul cu structură variabilă - 5 operații de înmulțire, 4 operații de adunare, 2 comparații. deci un total de 12 operații de înmulțire, 9 operații de adunare și două comparații la care se adaugă durata achiziției, a elaborării valorii pentru convertorul numeric-analogic și diferite alte servicii. Pentru acest număr de operații selecția de micro-controllere ce ar putea fi utilizate este largă: operații de bază pe 16 bit, viteză de lucru între 12 și 20 MHz, de preferat cel puțin două canale analogice de intrare. Aproape oricare membru al familiei MCS-96 Intel care are convertor analog-numeric înglobat satisface aceste cerințe, apoi 68HC16 Motorola și altele. În lucrarea de față s-a utilizat un micro-controller al lui Intel și anume 80C196MC, autorul având la dispoziție pentru testare o placă de evaluare EV80C196MC. Lucrând cu o perioadă de 125 nsec pe ciclu-mașină, acest micro-controller execută o operație de înmulțire 16x16 bit cu rezultat pe 32 bit în 1.75 μsec, un algoritm de adunare 32+32 cu rezultat pe 32 bit în 2 μsec și o comparație 16 cu 16 bit în 1.125 μsec, rămânând suficient timp pentru celelalte operații asociate rutinei de reglare. Convertorul analog-numeric de 10 bit are un multiplexor de 12 canale la intrare, satisfăcând și această condiție.

În primul paragraf al anexei A5.3 este listat programul subrutinei de reglare scris în limbajul C și apoi, pentru comparație se dă și sursa scrisă în asamblare. Aceste programe au fost compilat respectiv asamblat cu pachetul oferit de firma BSO Tasking (asamblor A-196, compilator C-196, linker RL-196 și bibliotecă LIB-196) și testate apoi cu placa de evaluare menționată. Se constată în ambele cazuri timpul de întârziere de calcul considerat în proiectare este mai mare decât cel realizat în implementare, fapt îmbucurător având în vedere că în simulările efectuate în capitolul 3 s-a observat că sistemul este cu atât mai stabil cu cât această durată este mai scurtă. Implementarea algoritmului poate fi în continuare optimizată dar câștigul în viteză de execuție nu este spectaculos.

Într-o altă buclă de întrerupere, tot la fiecare 250 μsec se generează semnalul de comandă al chopperului care acționează electromagnetul ce constituie perturbația. Se pot obține semnale dreptunghiulare, sinusoidale sau de tip rampă, la diferite frecvențe.

În anexa A5.4 este dată schema electronică pentru comanda modelului de laborator. Având în vedere tensiunea și curentul necesare sustentării electromagneților, chopperele în două cadrane sunt realizate cu MOSFET-uri de putere, cu frecvența de comutație la 100 kHz, ca și în simulările de mai sus.

### 5.2.2 Sistem de reglare numerică pentru o axă a unui lagăr magnetic

O axă a unui lagăr magnetic este așa cum s-a arătat în capitolele 2 și 3 un sistem cu 2 electromagneți și 1 grad de libertate. Plasarea unui traductor de accelerație pe axul lagărului este practic imposibilă așa că sunt posibile doar măsurarea întrefierului și a curenților prin cei doi electromagneți. În consecință se utilizează schema de reglare cu buclă interioară de curent analogică și regulator cu structură variabilă cu funcționarea de stare de ordinul 1 dat în figura 3.43, estimarea vitezei făcându-se cu estimatorul de stare cu funcționare în regim alunecător dat de ecuațiile (4.126). Schema bloc a sistemului de reglare este dată în figura 5.12.

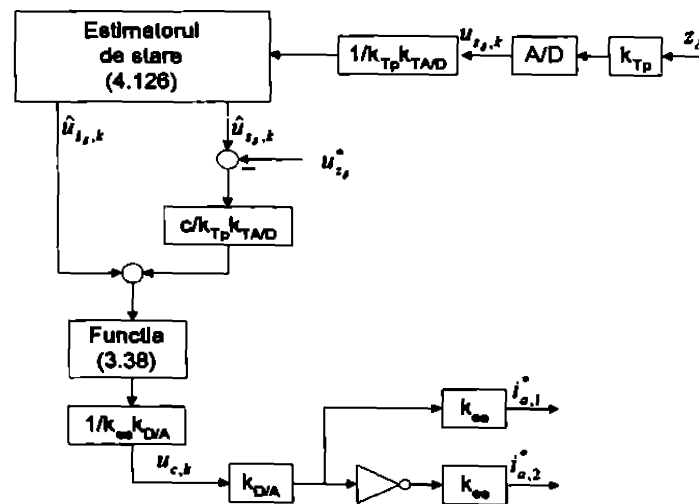


Figura 5.12. Sistem de reglare a unei axe a unui lagăr magnetic

Utilizând același tip de traductor de întrefier diferențial cu coeficientul de transfer  $5 \text{ V/3 mm}$  și utilizând șunturi pentru măsurarea curentului de  $0.1 \text{ }\Omega$ , urmate de un amplificator diferențial cu amplificarea  $5 \text{ V/1V}$ , se obține pentru diferența curenților un coeficient de transfer  $k_{d1} = 5 \text{ V/10 A}$ .

Cu același algoritm utilizat în paragraful precedent, se construiește în virgulă fixă în SIMULINK întregul sistem de control și se determină coeficienții astfel încât să se obțină rezoluția maximă, fără a avea depășiri. Numărul operațiilor ce trebuie efectuate în  $100 \text{ }\mu\text{sec}$  sunt:

- înmulțiri 11
- adunări 9 (în care s-au înglobat scăderile)
- comparații 6

din nou micro-controllerul 80C196MC fiind suficient de rapid pentru a putea rula un astfel de algoritm. În a doua parte a anexei A5.3 se dau programele de implementare a algoritmului în C și asamblare. Timpii de calcul nu sunt mult diferiți și având în vedere că din nou timpul de întârziere de calcul este mai mic decât cel considerat în proiectare este foarte probabil că perioada de eșantionare să poată fi crescută.

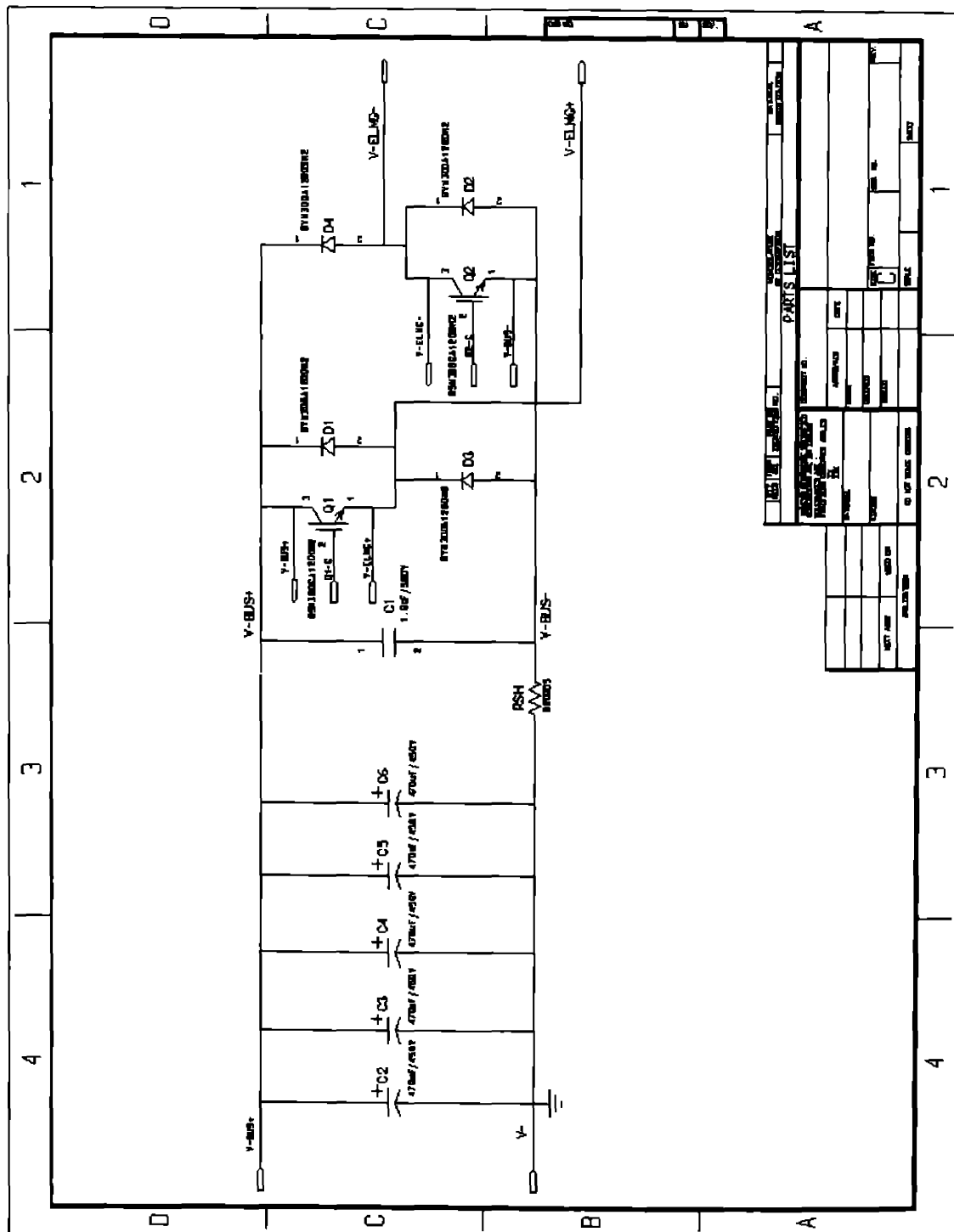
Având în vedere că un lagăr magnetic este compus din două S2E1GL și că timpul de calcul este sub  $100 \text{ }\mu\text{sec}$ , același sistem poate fi utilizat pentru ambele axe perpendiculare. Sincronizând cele două rutine de tratare a întreruperii de timp astfel încât pe durata unei perioade de eșantionare una să fie lansată la momentul  $T_e$ , iar a doua la momentul  $T_e + 125 \text{ }\mu\text{sec}$ , rămâne încă timp de calcul pentru diferitele servicii. Mai mult, utilizarea unui procesor mai rapid, de exemplu un membru al familiei 60C3xx, pe 32 de bit, lucrând la 16 sau 20 MHz sau ultimul membru al familiei MCS-96 și anume 80C296 care lucrează la 50 MHz și are înglobate funcții DSP ar putea scădea și mai mult timpul de calcul și întregul S10E5GL, constituit de 5 axe de tipul studiat, ar putea fi stabilizat cu un unic micro-controller.

Modalitățile de implementare a sistemelor de reglare pentru sistemele cu sustentație electromagnetică sunt diverse și exemplele prezentate în acest capitol nu exclud alte variante. Au fost prezentate doar acele implementări practic utilizate de autor, iar continuarea studiilor, în special pe modelul de laborator propus, va aduce cu sine noi soluții, cu performanțe de timp de calcul sporite prin optimizarea algoritmilor de calcul și a procesoarelor utilizate.

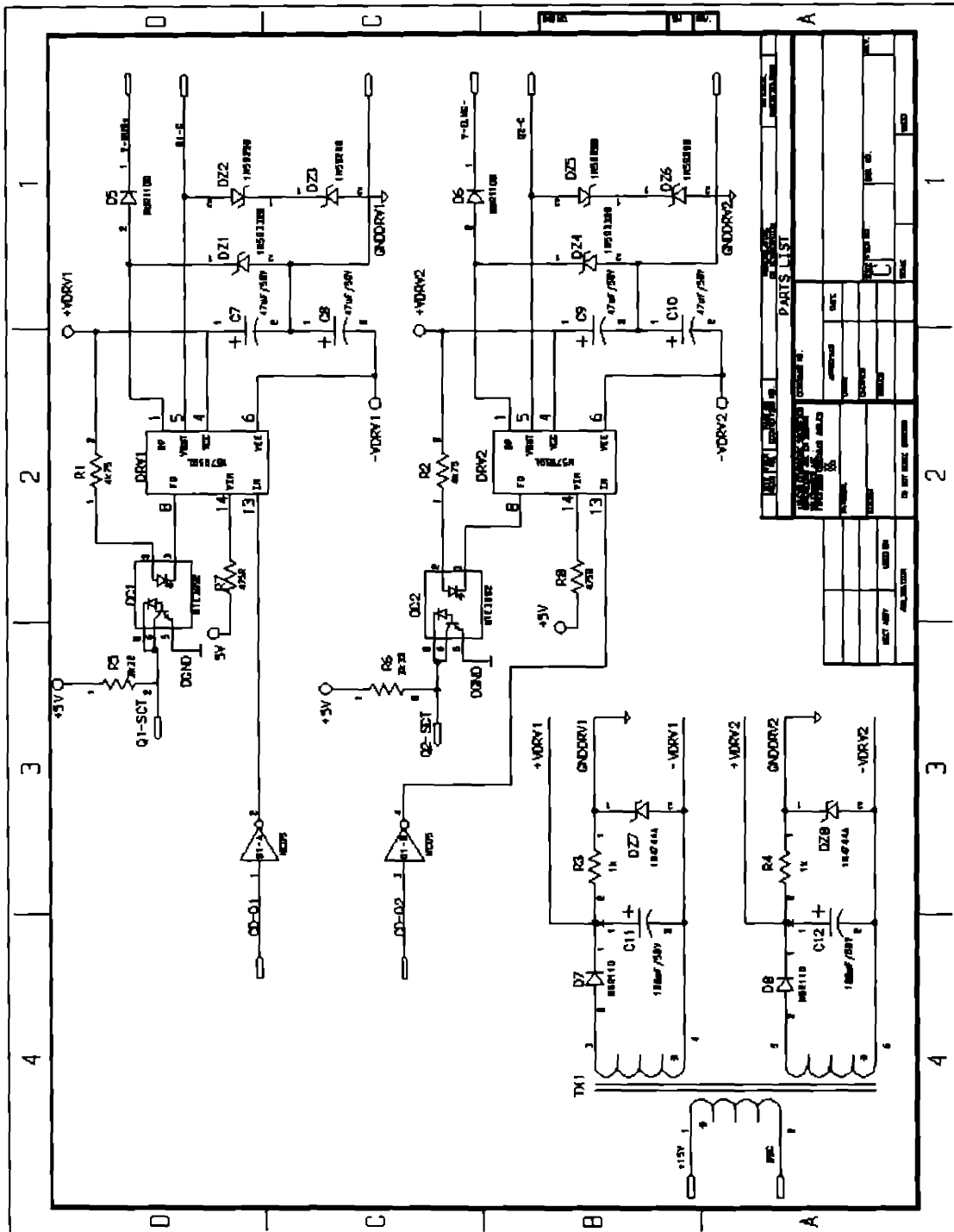
# ANEXA A5.1

## A5.1. Chopper în două cadrane cu IGBT-uri

Se prezintă schema electronică a unui chopper în două cadrane cu IGBT-uri, chopper dedicat alimentării unei "roți magnetice" a unui vehicul cu sustentație electromagnetică.



Curentul limitat al componentelor de putere ale firmei EUPEC este de 400 A la o tensiune de 1200V [\*5]. Condensatorul C1 este utilizat pentru filtrarea vârfurilor de tensiune introduse prin comutație în inductanțele parazite ale conexiunilor. Condensatorii C2-C6 sunt cu riplu mare de curent, ei trebuind să asigure curenții de frecvență mare necesari chopperului, pe care IGBT-urile nu le pot lua din sursa de tensiune neideală de la intrare.



Circuitele de comandă ale celor două IGBT-uri sunt identice, utilizând circuite specializate POWEREX, cu protecție la scurtcircuit, decuplate galvanic de circuitul de comandă. Ele necesită tensiuni de alimentare speciale, obținute printr-un transformator de impulsuri TX1.

Chopperul lucrează cu modulare în lățime de puls la frecvențe de pînă la 16 kHz, radiatorul pe care componentele sunt amplasate trebuind să fie proiectat în mod corespunzător.

## ANEXA A5.2

### A5.2. Chopper în două cadrane cu buclă interioară de curent

Se prezintă mai jos schema electronică utilizată în testarea vitezei de răspuns în curent a chopperului în două cadrane cu buclă interioară de curent. Alimentarea chopperului se face de la o sursă de tensiune de 48 V, iar circuitul de comandă cu circuitul LT1105CN<sup>8</sup> este excitat de la un generator de semnal cu o tensiune dreptunghiulară cu frecvența de 100 Hz, amplitudine 0.75 V, axat pe o componentă continuă de 2.2 V. Inducția este cea a electromagnetului utilizat în modelul de laborator descris în capitolul 2.

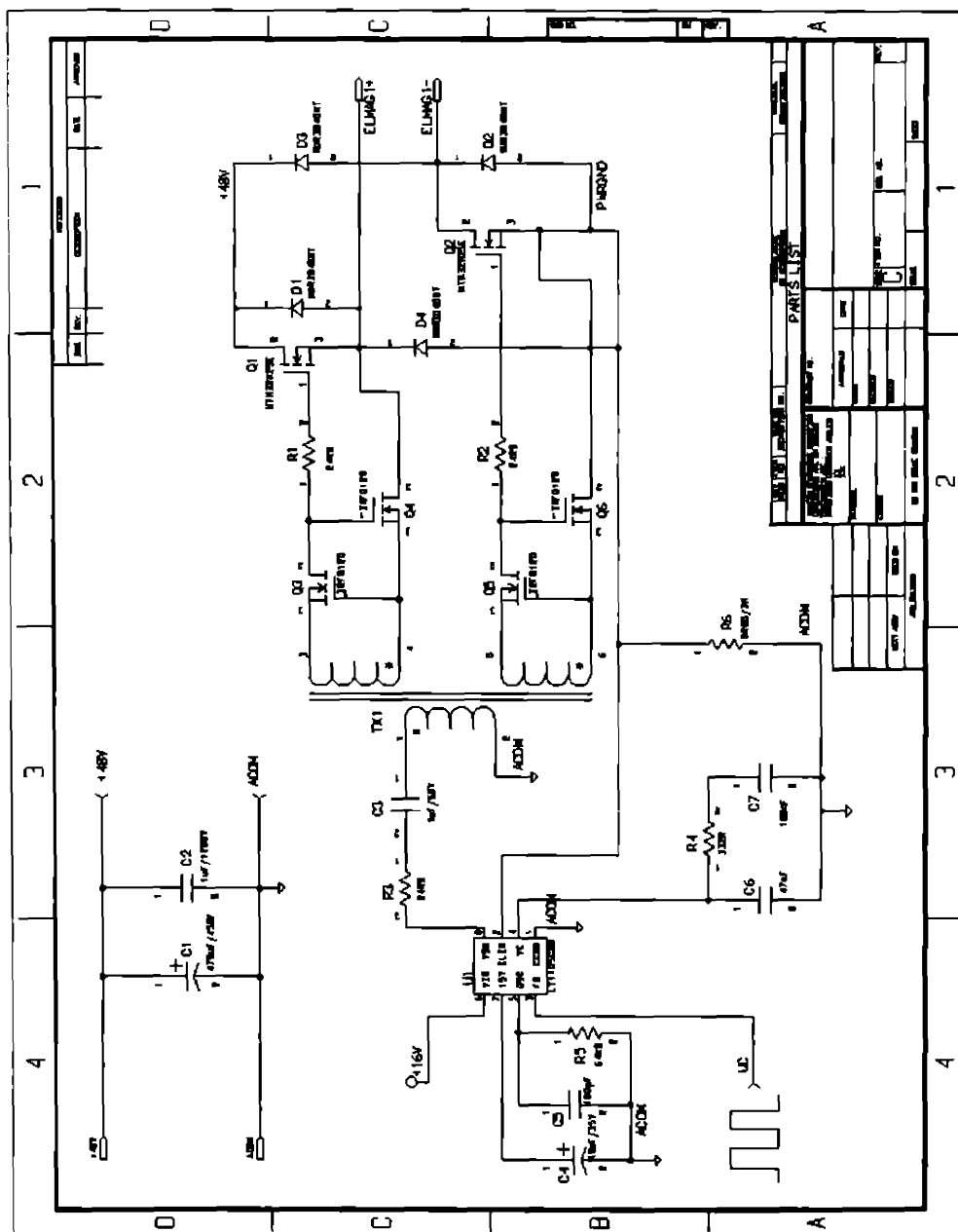


Figura 5.2.1. Circuitul pentru testarea buclei interioare de curent

## ANEXA 5.3.

### A5.3. Programele pentru subrutinele de reglare numerică

În aceasta anexă sunt listate subrutinele de reglare pentru cazurile studiate în lucrare. Pentru fiecare algoritm sunt date, pentru comparație atât sursa scrisă în C cât și sursa scrisă în asamblare. Se evaluează apoi timpii de calcul și se compară

#### A5.3.1 Program pentru reglarea numerică cu regulator cu structură variabilă și estimator de stare de ordinul 2

Operațiile ce trebuie efectuate sunt:

- reprogramarea ceasului de timp real: la o perioadă de eșantionare de 250 μsec și cu o rezoluție de 125 nsec; valoarea ce trebuie înscrisă în numărătorul **Timer0** utilizat ca ceas de timp real trebuie să fie 2000.
- calculul estimatorului de stare cu relațiile

$$\begin{aligned}\hat{z}_{\delta,k+1} &= a_{11}\hat{z}_{\delta,k} + a_{12}\hat{z}_{\delta,k} + b_{11}\bar{z}_{\delta,k} \\ \hat{z}_{\delta,k+1} &= a_{21}\hat{z}_{\delta,k} + a_{22}\hat{z}_{\delta,k} + b_{21}\bar{z}_{\delta,k} + \ddot{z}_{m,k}\end{aligned}$$

în care s-a ținut cont de coeficienții nuli sau unitari. Având în vedere că până după achiziție nu se cunosc nici întrefierul și nici accelerația, pe durata achizițiilor se fac restul calculelor, astfel încât aceasta etapă este împărțită în pași:

- programarea convertorului analog-numeric pentru achiziția întrefierului; în prealabil, în secvența de inițializare - care nu se mai detaliază - trebuie specificate în registrul **Ad\_Time** durata timpului de eșantionare al semnalului analogic și durata conversiei, în cazul de față 3.125 μsec, respectiv 10.1875 μsec, astfel încât o achiziție analogică durează, rotunjit superior 13.5 μsec, adică 108 cicluri mașină (125 nsec/ciclu).
- pe durata achiziției se fac primele două înmulțiri din prima ecuație și apoi suma lor, rezultatul memorându-se într-o variabilă auxiliară pe 32 bit (**\_calc1** în program),
- se așteaptă într-o buclă de testare a slășitului achiziției, după preluarea rezultatului, se declanșează a doua achiziție pentru accelerație;
- pot fi efectuate ultimele două operații - înmulțire+adunare pentru noua estimată de întefier și se fac cele trei înmulțiri și două adunări (**\_calc2**) pentru estimata de întefier;
- se așteaptă într-o buclă până ce achiziția de accelerație este și ea sfârșită;
- se efectuează ultima operație de adunare,
- se calculează funcționala de stare de ordinul doi

$$\sigma = C_1\hat{z}_{\delta,k} + C_2\hat{z}_{\delta,k} + C_3\ddot{z}_{m,k}$$

coeficienții fiind cei rezultați în urma adăugării coeficienților de transfer ai traductoarelor și convertorului analog - numeric și aplicarea algebrei schemelor bloc,

- se evaluează valoarea funcționalei de stare:
  - dacă funcționala este mai mare ca  $\varepsilon$  comanda  $u_c$  ia valoarea maximă pozitivă ce o poate furniza convertorul numeric - analogic pe 12 bit, adică 2048 u.b.
  - dacă funcționala este mai mică decât  $-\varepsilon$ , valoarea comenzii va fi -2048 u.b
  - altfel se calculează comanda ca ieșire a elementului PI

$$u_c = \beta_0\sigma_k - \beta_1\sigma_{k-1} + u_{k-1};$$

- se memorează valorile de la momentul  $k$  pentru a fi utilizate în pasul următor,
- se limitează comanda la  $\pm 2048$  u.b. și apoi se transformă din complement față de 2 în cod binar natural, cod în care lucrează convertorul numeric - analogic.

În continuare este listată sursa în C, urmată de sursa în asamblare generată de compilator. În "regvars.h" au fost declarate variabilele și constantele proprii sistemului de reglare.

C196 Compiler REGSTARE

30-Apr-97 21:52:18 Page 1

BOC196 C compiler v4.0 r5 1995 Tasking Software BV  
 Object module placed in regstare.obj  
 Compiler invoked by: C:\MC\C196\BIN\C196.EXE regstare.c code

Line Level Incl

```

1  /*-----*/
2  /*  Subrutina de reglare cu regulator cu structura variabila  */
3  /*  si estimator de stare de ordinul 2  */
4  /*-----*/
5
6
7  #pragma model(mc)          /* control pentru generare de cod 196MC */
8  #pragma optimize(2)       /* control pentru optimizare nivel 3 */
9  #pragma nocentrant        /* functie ne-recentranta */
10 #pragma interrupt (regstare = 0) /* declararea functiei "regstare" ca o subrutina de tratare
11                               a intreruperii declansata de TIMER 0/1 */
12
13 #include <mc_sfrs.h>       /* declararea registrilor cu functii speciale */
14 #include <mc_funcs.h>     /* declararea functiilor specifice */
15
16 #include "regvars.h"      /* declararea variabilelor proprii functiei */
17
18
19 void regstare(void)
20 {
21     long int _calc1, _calc2;
22
23     timer1 += 2000;        /* reincarcarea numaratorului cu 800 pentru
24                           generarea unei noi intreruperi dupa 2000 usec */
25     ad_command = 0x10;    /* declansarea unei achizitii normale, pe 10 bit pe canalul
26                           de intrerier - canalul 0 */
27     /* se incep calcule care pot fi facute inainte ca achizitia de intrerier sa fie terminata */
28     _calc1 = a11*zd_est+ a12*zdd_est;
29
30     while (!(ad_result & 0x10)); /* se testeaza terminarea achizitiei */
31
32     ad_command = 0x11;    /* declansarea achizitiei pe canalul de acceleratie - canalul 1 */
33
34     zd_k = ad_result>>6; /* memorarea intrerierului achizitional */
35
36     /* se pot continua calculele pentru determinarea intrerierului estimat */
37     _calc1 += b11*zd_k;
38
39     /* se incep si calcule pentru calculul estimatului vitezei */
40     _calc2 = b21*zd_k+a21*zd_est+a22*zdd_est;
41
42     /* se poate determina noua valoare estimata a intrerierului */
43     zd_est = (int)(_calc1>>16); /* cuvintul superior al lui _calc1 */
44
45     /* se testeaza daca achizitia pe canalul de acceleratie s-a terminat */
46     while (!(ad_result & 0x10));
47
48     zm_k = ad_result>>6; /* memorarea acceleratiei absolute achizitionate */

```



```

49 1
50 1   _calc2 += zm_k;           /* continuarea calculului */
51 1
52 1   zdd_est = (int)(_calc2 >> 16); /* noua valoare a vitezei estimate */
53 1
54 1   /* sfirsitul secventei de calcul a estimatorului de stare */
55 1   /*~~~~~*/
56 1
57 1   /* calculul functiei de stare */
58 1   _calc1 = C1*zd_est+C2*zdd_est+C3*zm_k; /* C1, C2 si C3 au rezultat in urma
59 1   utilizarii algebrei schemelor bloc */
60 1   sigma_k = (int)(_calc1 >> 16); /* functionala este cuvintul superior al rezultatului */
61 1   if (sigma_k > EPS)          /* daca sigma > EPS comanda la valoarea maxima */
62 1   {
63 2       uc_k = UMAX;          /* este anulata istoria */
64 2       uc_k_1 = 0;
65 2       sigma_k_1 = 0;
66 2   }
67 1   else if (sigma_k < -EPS)   /* daca sigma < -EPS comanda la valoarea minima */
68 1   {
69 2       uc_k = UMIN;          /* este anulata istoria */
70 2       uc_k_1 = 0;
71 2       sigma_k_1 = 0;
72 2   }
73 1   else                      /* se calculeaza elementul P1 */
74 1   {
75 2       _calc1 = beta0*sigma_k-beta1*sigma_k_1+uc_k_1;
76 2       uc_k = (int)(_calc1 >> 16);
77 2       sigma_k_1 = sigma_k; /* se memoreaza istoria */
78 2       uc_k_1 = uc_k;
79 2
80 2       if (uc_k > UMAX)      /* limitarea comenzii la 12 bit */
81 2           uc_k = UMAX;
82 2       else if (uc_k < UMIN)
83 2           uc_k = UMIN;
84 2   }
85 1
86 1   /* sfirsitul secventei de calcul al comenzii */
87 1   /*~~~~~*/
88 1
89 1   uc_k ^= 0x200;           /* conversia comenzii din complement fata de doi */
90 1                           /* in cod binar direct utilizat de CNA */
91 1   *ptr_CNA = uc_k;        /* depunerea valorii la adresa CNA */
92 1
93 1   /* sfirsitul rutinei de calcul a regulatorului */
94 1   /*~~~~~*/
95 1   }

```

## Assembly Listing of Object Code

```

cseg
: Statement 20
0000                                registre:                ;4+39+16, sum=59
0000 F4                                pusha                    ;12
0001 C01C                            push    Tmp0             ;6
0003 C01E                            push    Tmp2             ;6
0005 C820                            push    Tmp4             ;6
0007 C822                            push    Tmp6             ;6
0009 69040010                        sub     SP,#4            ;6
000D C600                            E      push    ?FRAME01  ;6
000F AD1800                            E      ld     ?FRAME01,SP ;4
: Statement 23
0012 A30100001C                        E      ld     Tmp0,timer1 ;6
0017 6500071C                        add    Tmp0,#700H        ;6
001B C30100001C                        E      st     Tmp0,timer1 ;6 sum1=66, sum=125
: Statement 25

```

```

0020 B1101C          ldb      Tmp0,#10H          ;4
0023 C70100001C     E      stb      Tmp0,ad_command      ;5 sum2=9, sum=134
; Statement 28
0028 FE4D62D0041C   R      mul      Tmp0,zd_est,#62H      ;17
002E FE4D02000620   R      mul      Tmp4,zdd_est,#2H      ;17
0034 A01C00          R      ld        _calc1,Tmp0          ;4
0037 A01E02          R      ld        _calc1+2,Tmp2        ;4
003A 642000          R      add      _calc1,Tmp4          ;4
003D A42202          R      addc     _calc1+2,Tmp6        ;4 sum3=50, sum=184
; Statement 30
0040 @0003:
0040 A30100001C     E      ld        Tmp0,ad_result      ;106-50=56
0045 341CF8          bbc     Tmp0,4,@0003      ;5
; Statement 32
0048 B1111C          ldb      Tmp0,#11H          ;4
004B C70100001C     E      stb      Tmp0,ad_command      ;5 sum4=122, sum=306
; Statement 34
0050 A301000000      E      ld        zd_k,ad_result      ;5
; Statement 37
0055 FE4D2500001C   R      mul      Tmp0,zd_k,#25H      ;17
005B 641C00          R      add      _calc1,Tmp0          ;4
005E A41E02          R      addc     _calc1+2,Tmp2        ;4
; Statement 40
0061 FE4DDA00001C   R      mul      Tmp0,zd_k,#00AH      ;17
0067 FE4D04000420   R      mul      Tmp4,zd_est,#4H      ;17
006D 64201C          add      Tmp0,Tmp4          ;4
0070 A4221E          addc     Tmp2,Tmp6          ;4
0073 FE4DA6000620   R      mul      Tmp4,zdd_est,#0A6H      ;17
0079 64201C          add      Tmp0,Tmp4          ;4
007C A4221E          addc     Tmp2,Tmp6          ;4
007F C300021C          E      st        Tmp0,_calc2[?FRAME01] ;6
0083 C300041E          E      st        Tmp2,_calc2+2[?FRAME01] ;6
; Statement 43
0087 A00204          R      ld        zd_est,_calc1+2      ;4 sum5=113, sum=409
; Statement 46
008A @0006:
008A A30100001C     E      ld        Tmp0,ad_result      ;5
008F 341CF8          bbc     Tmp0,4,@0006      ;5 sum6=10, sum=419
; Statement 48
0092 A301000002      E      ld        zm_k,ad_result      ;5
; Statement 50
0097 A0021C          R      ld        Tmp0,zm_k          ;4
009A 061C          ext     Tmp0              ;4
009C 6700021C          E      add      Tmp0,_calc2[?FRAME01] ;6
00A0 A700041E          E      addc     Tmp2,_calc2+2[?FRAME01] ;6
00A4 C300021C          E      st        Tmp0,_calc2[?FRAME01] ;6
00A8 C300041E          E      st        Tmp2,_calc2+2[?FRAME01] ;6
; Statement 52
00AC A3000406          E      ld        zdd_est,_calc2+2[?FRAME01] ;6
; Statement 58
00B0 FE4D2017041C   R      mul      Tmp0,zd_est,#1720H      ;17
00B6 FE4DD8080620   R      mul      Tmp4,zdd_est,#8DBH      ;17
00BC 64201C          add      Tmp0,Tmp4          ;4
00BF A4221E          addc     Tmp2,Tmp6          ;4
00C2 FE4D51000220   R      mul      Tmp4,zm_k,#51H      ;17
00C8 AD1C00          R      ld        _calc1,Tmp0          ;4
00CB A01E02          R      ld        _calc1+2,Tmp2        ;4
00CE 642000          R      add      _calc1,Tmp4          ;4
00D1 A42202          R      addc     _calc1+2,Tmp6        ;4
; Statement 60
00D4 A00208          R      ld        sigma_k,_calc1+2      ;4 sum7=122, sum=621
; Statement 61
00D7 89800008          R      cmp      sigma_k,#80H          ;5
00DB DA06          bfc     @0008            ;5
; Statement 63
00DD A1FF070C          R      ld        uc_k,#7FFH          ;5
00E1 200A          br     @000F

```

```

; Statement 67
00E3 @0008:
00E3 8980FF08 R cmp sigma_k,#0FF80H ;5
00E7 D60A bge @000A ;5 sum0=20, sum=641
; Statement 69
00E9 A100F80C R ld uc_k,#0F800H
00ED @000F:
; Statement 70
00ED 010E R clr uc_k_1
; Statement 71
00EF 010A R clr sigma_k_1
; Statement 73
00F1 2842 br @0009
00F3 @000A:
; Statement 75
00F3 FE4D2903081C R mul Tmp0,sigma_k,#329H ;17
00F9 FE4D6F300A20 R mul Tmp4,sigma_k_1,#0F3H ;17
00FF 68201C sub Tmp0,Tmp4 ;4
0102 A8221E subc Tmp2,Tmp6 ;4
0105 A00E20 R ld Tmp4,uc_k_1 ;4
0108 0620 ext Tmp4 ;4
010A A01C00 R ld _calc1,Tmp0 ;4
010D A01E02 R ld _calc1+2,Tmp2 ;4
0110 542000 R add _calc1,Tmp4 ;4
0113 A42202 R addc _calc1+2,Tmp6 ;4
; Statement 76
0116 A0D20C R ld uc_k,_calc1+2 ;4
; Statement 77
0119 A0080A R ld sigma_k_1,sigma_k ;4
; Statement 78
011C A00C0E R ld uc_k_1,uc_k ;4
; Statement 80
011F 89FF070C R cmp uc_k,#7FFH ;5 sum=83, sum=724
0123 DA06 ble @000C ;8
; Statement 81
0125 A1FF070C R ld uc_k,#7FFH
; Statement 82
0129 200A br @0009
012B @000C:
012B 8900F80C R cmp uc_k,#0F800H ;5
012F D604 bge @0009 ;5
; Statement 83
0131 A100F80C R ld uc_k,#0F800H ;5
0135 @0009:
; Statement 89
0135 8500020C R xor uc_k,#200H ;5
; Statement 91
0139 C2100C R st uc_k,[ptr_CNA] ;10 sum=38, sum=762
; Statement 95
013C CC00 E pop ?FRAME01 ;6
013E 65040018 add SP,#4 ;5
0142 CC22 pop Tmp6 ;6
0144 CC2B pop Tmp4 ;6
0146 CC1E pop Tmp2 ;6
0148 CC1C pop Tmp0 ;6
014A F5 popa ;12
014B F0 ret ;14 sum=63, sum=825

```

```

; Function Statistics for: registre
; Code Size : 332 Parameter Count: 0
; Stack Size: 4 Parameter Size: 0
; OReg Size: 4 Stack Depth : 20

```

end

Module Information:

```

Code Area Size      = 014CH   332D
Constant Area Size  = 0000H   0D
Data Area Size      = 0000H   0D
Static Regs Area Size = 0012H   18D
Overlayable Regs Area Size = 0004H   4D
Maximum Stack Size  = 0014H   20D

```

C196 Compilation Complete. 0 Warnings, 0 Errors

Analizând din punctul de vedere al vitezei de execuție, s-a evaluat - prin scrierea numărului de cicluri mașină pentru fiecare instrucție - cea mai defavorabilă situație, astfel s-a considerat că subrutina întrerupe cea mai lungă instrucție, instrucția de normalizare (norm) care ia 39 de cicluri mașină și deci din momentul declanșării întreruperii până când rutina începe să se execute trec 59 cicluri mașină. Se observă apoi că 58 de cicluri mașină se mai pierd așteptând sfârșitul conversiei pentru întrefier. La începutul secvenței se salvează în stivă 4 regiștri (ampon dar într-un alt mod de a scrie programul - în asamblare -, nu de toți ar fi nevoie. Sigur că programul se poate optimiza (de exemplu în perioada de așteptare pentru terminarea achiziției se poate parțial calcula funcționala de stare), pentru claritate însă s-a preferat scrierea de mai sus. Chiar și așa în întregime execuția programului ia 103.125 μsec, mult sub perioada de eșantionare utilizată, iar din momentul declanșării primei achiziții și până la generarea comenzii 628 cicluri mașină, adică 78.5 μsec, sub limita de 100 μsec considerată în proiectare și simulări.

Se dă în continuare același program, cu respectarea ordinii de execuție, optimizat din punct de vedere al codului, scris în asamblare.

00C196 MACRO ASSEMBLER REGSTARE

01-May-97 19:15:00 PAGE 1

00C196 macro assembler v4.0 r5

1995 Tasking Software BV

SOURCE FILE: regstare.asm

OBJECT FILE: regstare.obj

CONTROLS SPECIFIED IN INVOCATION COMMAND: <none>

```

LOC  OBJECT          STMT  SOURCE STATEMENT
1  .....
2  ;* Subrutina de reglare cu regulator cu structura variabila      *
3  ;* si estimator de stare de ordinul 2                          *
4  .....
5  Snallst
   345
00000457  346  C1      EQU  1720H      ;coeficientii functionale de stare
00000BAE  347  C2      EQU  08DBH
00000D05  348  C3      EQU  0051H
   349
000015B3  350  B11     EQU  0025H      ;coeficientii estimatorului
00001A0A  351  B12     EQU  0002H

00001E61  352  B21     EQU  00DAH

0000115C  353  A11     EQU  0062H
000022B8  354  A12     EQU  0002H
0000270F  355  A21     EQU  0004H
000004D2  356  A22     EQU  00A6H
   357
0000103B  358  BETA0   EQU  0329H      ;coeficientii elementului PI
00000998  359  BETA1   EQU  00F3H
   360
0000F002  361  ptr_CNA EQU  0F002H
   362
0000      363      rseg
   364  extrn  Tmp0:      word

```

	365	extrn	Tmp2:	word	
	366	extrn	Tmp4:	word	
	367	extrn	Tmp6:	word	
0000	368	_calc1:	dsl 1		
0004	369	_calc2:	dsl 1		
	370				
	371	extrn	zd_est:	word	
	372	extrn	zdd_est:	word	
	373	extrn	zd_k:	word	
	374	extrn	zm_k:	word	
	375	extrn	sigma_k:	word	
	376	extrn	sigma_k_1:	word	
	377	extrn	uc_k:	word	
	378	extrn	uc_k_1:	word	
	379				
	380				
0000			381	cseg	;4+39+16 sum=59
0000	F4		382	regstarc: pusha	;12
0001	B17B14		383	ldb	wsr,#7BH ;4
0004	65D007FA		384	add	timer1_7b,#2000 ;5 sum1=21, sum=70
0008	B17D14		385	ldb	wsr,#7DH ;4
000B	B110EC		386	ldb	ad_command_7d,#10H ;5 sum2=9, sum=79
000E	C800	E	387	push	Tmp0 ;6
0010	C800	E	388	push	Tmp2 ;6
0012	FE4D5C110000	E	389	mul	_calc1,zd_est,#A11 ;17
0018	FE4DB8220000	E	390	mul	Tmp0,zdd_est,#A12 ;17
001E	640000	E	391	add	_calc1,Tmp0 ;5
0021	A40002	E	392	addc	_calc1+2,Tmp2 ;4 sum3=49, sum=128
0024	34EAFD		393	adc_1: bbc	ad_result_7d,4,adc_1 ;5+100-49=64
0027	B111EC		394	ldb	ad_command_7d,#11H ;4 sum4=68,sum=196
002A	A0EA00	E	395	ld	zd_k,ad_result_7d ;5
002D	D00600	E	396	shr	zd_k,#06 ;12
0030	FE4DB3150000	E	397	mul	Tmp0,zd_k,#B11 ;17
0036	640000	E	398	add	_calc1,Tmp0 ;4
0039	A40002	E	399	addc	_calc1+2,Tmp2 ;4
			400		
003C	FE4D611E0004	E	401	mul	_calc2,zd_k,#B21 ;17
0042	FE4D0F270000	E	402	mul	Tmp0,zd_est,#A21 ;17
0048	640000	E	403	add	_calc1,Tmp0 ;4
004B	A40002	E	404	addc	_calc1+2,Tmp2 ;4
004E	FE4DD2040000	E	405	mul	Tmp0,zdd_est,#A22 ;17
0054	640000	E	406	add	_calc1,Tmp0 ;4
0057	A40002	E	407	addc	_calc1+2,Tmp2 ;4
005A	A0D200	E	408	ld	zd_est,_calc1+2 ;5 sum5=114, sum=310
005D	34EAFD		409	adc_2: bbc	ad_result_7d,4,adc_2 ;5 sum6=5, sum=315
0060	A0EA00	E	410	ld	zm_k,ad_result_7d ;5
0063	1114		411	clrb	wsr ;4
0065	D00600	E	412	shr	zm_k,#06 ;12
0068	640004	E	413	add	_calc2,zm_k ;4
006B	A5000006	R	414	addc	_calc2+2,#0 ;5
006F	A00600	E	415	ld	zdd_est,_calc2+2 ;4
			416		
0072	FE4D57040000	E	417	mul	_calc1,zd_est,#C1 ;17
0078	FE4DAE080000	E	418	mul	Tmp0,zdd_est,#C2 ;17
007E	640000	E	419	add	_calc1,Tmp0 ;4
0081	A40002	E	420	addc	_calc1+2,Tmp2 ;4
0084	FE4D050D0000	E	421	mul	Tmp0,zm_k,#C3 ;17
008A	640000	E	422	add	_calc1,Tmp0 ;4
008D	A40002	E	423	addc	_calc1+2,Tmp2 ;4
0090	A0D200	E	424	ld	sigma_k,_calc1+2 ;4 sum7=101, sum=416
			425		
0093	09000000	E	426	cmp	sigma_k,#80H ;5
0097	DA06		427	ble	nolim1 ;5
0099	A1FF0700	E	428	ld	uc_k,#7FFH ;5
009D	200A		429	br	llmk1
009F	0900FF00	E	430	nolim1: cmp	sigma_k,#0FF80H ;5
00A3	D60A		431	bge	nolim2 ;5 sum8=20, sum=436

```

00A5 A100F800      E 432      id      uc_k,#0F800H
00A9 0100          E 433      llm1:   clr      uc_k_1
00AB 0100          E 434      clr      sigma_k_1
00AD 2038          435      br      output
00AF FE4D3B100000   E 436      nolim2: mul     _calc1,sigma_k,#BETA0 ;17
00B5 FE4D98090000   E 437      mul     Tmp0,sigma_k_1,#BETA1 ;17
00B8 680000          E 438      sub     _calc1,Tmp0 ;4
00BE A80002          E 439      subc    _calc1+2,Tmp2 ;4
00C1 640000          E 440      add     _calc1,uc_k_1 ;4
00C4 A5000002       R 441      addc    _calc1+2,R0 ;4
00C8 A00200          E 442      ld      uc_k,_calc1+2 ;4
00CB A00000          E 443      ld      sigma_k_1,sigma_k ;4
00CE A00000          E 444      ld      uc_k_1,uc_k ;4
00D1 89FF0700       E 445      cmp     uc_k,#7FFH ;5 sum9=67, sum=503
00D5 DA05          446      ble     nolim3 ;8
00D7 A1FF0700       E 447      ld      uc_k,#7FFH
00DB 200A          448      br      output
00DD 8900F800       E 449      nolim3: cmp     uc_k,#0F800H ;5
00E1 D604          450      bge     output ;5
00E3 A100F800       E 451      ld      uc_k,#0F800H ;5
00E7 85000200       E 452      output: xor     uc_k,#200H ;5
00EB C30102F000       E 453      st      uc_k,ptr_CNA[0] ;10 sum10=38, sum=541
00F0 CC00          E 454      pop     Tmp2 ;6
00F2 CC00          E 455      pop     Tmp0 ;6
00F4 F5          456      popa   ;12
00F5 F0          457      ret    ;14 sum11=38, sum=579
      458
00F6          459      end

```

ASSEMBLY COMPLETED, NO ERROR(S) FOUND.

Durata acestei secvențe a scăzut la 72.375 μsec, iar timpul de întârziere între momentul declanșării primei achiziții și elaborarea comenzii este de 462 cicluri mașină adică 57.75 μsec. Această îmbunătățire a fost obținută prin folosirea mai eficientă a regiștrilor și utilizarea tehnicii de programare în "fereastră" a regiștrilor cu funcții speciale a familiei 196. Din simulările efectuate în capitolul 3 se cunoaște că sistemul este cu atât mai stabil cu cât timpul de întârziere de calcul este mai mic *îată că acesta se poate reduce aproape la jumătatea valorii luate în considerare în proiectare.*

### A5.3.2 Program pentru reglarea numerică cu regulator și estimator de stare cu structură variabilă.

Operațiile ce trebuie efectuate sunt:

- reprogramarea ceasului de timp real;
- declanșarea achiziției pe canalul de întrefier;
- calculul estimatorului de stare cu funcționare în regim alunecător de tipul (4.126)

$$\hat{z}_{\sigma,k+1} = f_{11}\hat{z}_{\sigma,k} + f_{12}\hat{z}_{\sigma,k} + h_1z_{\sigma,k}$$

$$\hat{z}_{\sigma,k+1} = f_{21}\hat{z}_{\sigma,k} + f_{22}\hat{z}_{\sigma,k} + h_2z_{\sigma,k} + g_2z_{\sigma,k}$$

- pentru ambele ecuații se calculează mai întâi produsele cu valorile cunoscute adică cele în care intervin coeficienții  $f_{ij}$ ;
- se verifică dacă achiziția de întrefier este terminată;
- se calculează restul ecuațiilor, cu algoritmul pentru  $z_2$  de tipul cu introducerea unei zone proporționale;
- se calculează funcționala de stare de ordinul 1;
- se determină valoarea funcționalei în raport cu  $\mathcal{E}$  și se decide valoarea comenzii (max, min sau utilizarea elementului P1 - vezi algoritmul din paragraful anterior);

- se furnizează valoarea comenzii convertorului numeric - analogic.

Algoritmul a fost implementat în C și în limbaj de asamblare iar fișierele de ieșire ale celor două programe sunt listate în continuare. Se observă că durata subrutinei de întrerupere scrisă în C este de 80.625  $\mu$ sec cu un timp de întârziere de calcul, evaluat din momentul declanșării achiziției de întrefier și până la aplicarea unei noi valori convertorului numeric - analogic de 60.875  $\mu$ sec, iar durata subrutinei scrisă în asamblare cu optimizarea codului este de 72.25  $\mu$ sec, cu un timp de întârziere de calcul de 57.625  $\mu$ sec.

O observație valabilă pentru toate programele scrise se referă la perioada de eșantionare reală. *având în vedere că de la momentul întreruperii și până la reprogramarea ceasului de timp real se pierde ciclul mașină cu deservirea întreruperii și salvarea unor regiștrii în stivă, perioada de eșantionare reală este mai lungă decât cea considerată în proiectare.* Acest aspect poate fi însă corectat prin înscrierea în **Timer0** a unui număr care să țină cont de ciclul mașină pierduți. De exemplu pentru programul ce urmează, din momentul întreruperii și până la reprogramarea ceasului de timp real pot trece între 98 ciclul mașină (întreruperea unei instrucții de 39 ciclul mașină) și 63 ciclul mașină (întreruperea unei instrucții de 4 ciclul mașină). Luând ca medie întreruperea unei instrucții de 6 ciclul mașină, din valoarea 2000 ce se înscrie în numărător se poate înscrie  $2000 - 65 = 1935$ . În acest fel pentru cea mai scurtă instrucție de 4 ciclul mașină perioada de eșantionare reală va fi de 249.5  $\mu$ sec (eroare de 0.5  $\mu$ sec, adică 0.2%), iar pentru cea mai lungă de 39 ciclul mașină, perioada reală va fi 245.875  $\mu$ sec (eroare de 4.125  $\mu$ sec, adică 1.65%).

Algoritmul scris în C este următorul.

C196 Compiler REGAL

01-May-97 20:36:31 Page 1

90C196 C compiler v4.0 r5 1995 Tasking Software BV  
Object module placed in regal.obj  
Compiler invoked by: C:\MC\C196\BIN\C196.EXE regal.c code

Line Level Incl

```

1      /*****
2      /* Subrutina de reglare cu regulator si estimator de stare */
3      /* cu structura variabila */
4      *****/
5
6
7      #pragma model(mc)           /* control pentru generare de cod 196MC */
8      #pragma optimize(2)        /* control pentru optimizare nivel 3 */
9      #pragma nocreentrant       /* functie ne-reentrant */
10     #pragma interrupt (registre = 0) /* declararea functiei "registre" ca o subrutina de
11                                     /* tratare a intreruperii declansata de TIMER 0 */
12
13     #include <mc_sfrs.h>         /* declararea regiștrilor cu functii speciale */
14     #include <mc_funcs.h>       /* declararea functiilor specifice */
15
16     #include "regvars.h"        /* declararea variabilelor proprii functiei */
17
18
19     void registre(void)
20     {
21     1      long int _calc1, _calc2, _calc3;
22     1
23     1      timer1 += 2000;         /* reincarcarea numaratorului cu 800 pentru
24     1                          /* generarea unei noi intreruperi dupa 2000 uscc */
25     1      ad_command = 0x10;    /* declansarea unei achizitii normale, pe 10 bit pe
26     1                          /* canalul de intrerier - canalul 0 */
27     1      /* se incep calcule care pot fi facute inainte ca achizitia de intrerier sa fie terminata */
28     1      _calc1 = j11*_zd_est + j12*_zdd_est;
29     1      _calc2 = j21*_zd_est + j21*_zdd_est;

```

```

30 1
31 1   while ((ad_result & 0x10)); /* se testeaza terminarea achizitiei */
32 1   zd_k = ad_result>>6;      /* memorarea inteferului achizitional */
33 1
34 1   /* se pot continua calculele pentru determinarea marimilor estimate */
35 1   _calc1 += h1*zd_k;
36 1   _calc2 += h2*zd_k;
37 1
38 1   /* calculul functionalei pentru estimator */
39 1   _calc3 = g2*(zd_est - zd_k);
40 1   if (_calc3 > EPS_EST)
41 1     _calc3 = PRAG_LIMITARE;
42 1   else if (_calc3 < EPS_EST)
43 1     _calc3 = -PRAG_LIMITARE;
44 1
45 1   _calc2 += _calc3;
46 1
47 1   /* stabilirea noilor marimi estimate */
48 1   zd_est = (int)(_calc1>>16);
49 1   zdd_est = (int)(_calc2>>16);
50 1
51 1   /* sfirsitul secventei de calcul a estimatorului de stare */
52 1   /*~~~~~*/
53 1
54 1   /* calculul functionalei de stare */
55 1   _calc1 = C1*zd_est+C2*zdd_est; /* C1 si C2 au rezultat in urma utilizarii algebrei
56 1                               schemelor bloc */
57 1   sigma_k = (int)(_calc1>>16); /* functionala este cuvintul superior al rezultatului */
58 1   if (sigma_k > EPS)          /* daca sigma>EPS comanda ia valoarea maxima */
59 1   {
60 2     uc_k = UMAX;             /* este anulata istoria */
61 2     uc_k_1 = 0;
62 2     sigma_k_1 = 0;
63 2   }
64 1   else if (sigma_k < -EPS)   /* daca sigma<-EPS comanda la valoarea minima */
65 1   {
66 2     uc_k = UMIN;           /* este anulata istoria */
67 2     uc_k_1 = 0;
68 2     sigma_k_1 = 0;
69 2   }
70 1   else                       /* se calculeaza elementul P1 */
71 1   {
72 2     _calc1 = beta0*sigma_k+beta1*sigma_k_1+uc_k_1;
73 2     uc_k = (int)(_calc1>>16);
74 2     sigma_k_1 = sigma_k;   /* se memoreaza istoria */
75 2     uc_k_1 = uc_k;
76 2
77 2     if (uc_k > UMAX)       /* limitarea comenzii la 12 bit */
78 2       uc_k = UMAX;
79 2     else if (uc_k < UMIN)
80 2       uc_k = UMIN;
81 2   }
82 1
83 1   /* sfirsitul secventei de calcul al comenzii */
84 1   /*~~~~~*/
85 1
86 1   uc_k ^= Dx200;           /* conversia comenzii din complement fata de doi */
87 1                           /* in cod binar direct utilizat de CNA */
88 1   *ptr_CNA = uc_k;        /* depunerea valorii la adresa CNA */
89 1
90 1   /* sfirsitul rutinei de calcul a regulatorului */
91 1   /*~~~~~*/
92 1 }
93

```

Assembly Listing of Object Code



```

cseg
: Statement 20
0000                                regstore:                :4+39+16, sum=59
0000 F4                            pusha                    :12
0001 C01C                          push Tmp0                :6
0003 C01E                          push Tmp2                :6
0005 C020                          push Tmp4                :6
0007 C022                          push Tmp6                :6
: Statement 23
0009 A30100001C                    E ld Tmp0,timer1        :5
000E 65D0071C                      add Tmp0,#7D0H          :5
0012 C30100001C                    E st Tmp0,timer1        :5 sum1=39, sum=90
: Statement 25
0017 B1101C                        ldb Tmp0,#10H           :5
001A C70100001C                    E slb Tmp0,ad_command   :5 sum2=10, sum=108
: Statement 28
001F FE4DFA00021C                  R mul Tmp0,zd_est,#0FAH :17
0025 FE4DE4180420                  R mul Tmp4,zdd_est,#18E4H :17
002B A01C00                        R ld _calc1,Tmp0        :4
002E A01E02                        R ld _calc1+2,Tmp2      :4
0031 642000                        R add _calc1,Tmp4       :4
0034 A42202                        R addc _calc1+2,Tmp6    :4
: Statement 29
0037 FE4D0300021C                  R mul Tmp0,zd_est,#3    :17
003D FE4D03000420                  R mul Tmp4,zdd_est,#3    :17
0043 A01C04                        R ld _calc2,Tmp0        :4
0046 A01E06                        R ld _calc2+2,Tmp2      :4
0049 642004                        R add _calc2,Tmp4       :4
004C A42206                        R addc _calc2+2,Tmp6    :4 sum3=100, sum=208
: Statement 31
004F                                @0003:
004F A30100001C                    E ld Tmp0,ad_result     :108-100=8
0054 341CF8                        bbc Tmp0,4,@0003        :5 sum4=13, sum=221
: Statement 32
0057 A301000000                    E ld zd_k,ad_result     :5
005C 000600                        R shr zd_k,#6           :12
: Statement 35
005F ADDE1C                        ldbze Tmp0,#0DEH        :4
0062 FE6C001C                      R mul Tmp0,zd_k         :14
0066 641C00                        R add _calc1,Tmp0       :4
0069 A41E02                        R addc _calc1+2,Tmp2    :4
: Statement 36
006C FE4DA224001C                  R mul Tmp0,zd_k,#24A2H  :17
0072 641C04                        R add _calc2,Tmp0       :4
0075 A41E06                        R addc _calc2+2,Tmp2    :4
: Statement 39
0078 4800021C                      R sub Tmp0,zd_est,zd_k  :5
007C FE4D03271C00                  R mul _calc3,Tmp0,#2703H :17
: Statement 40
0082 A0DA1E                        R ld Tmp2,_calc3+2      :4
0085 491000001C                    R sub Tmp0,_calc3,#10H  :6
008A A8001E                        subc Tmp2,R0             :4
008D DA06                        btc @0005                :0 sum5=129, sum=350
: Statement 41
008F A1020200                      R ld _calc3,#202H       :4
0093 2011                          br @000F                 :4
: Statement 42
0095                                @0005:
0095 A0DA1E                        R ld Tmp2,_calc3+2      :4
0098 491000001C                    R sub Tmp0,_calc3,#10H  :6
009D A8001E                        subc Tmp2,R0             :4
00A0 D606                        bge @0006                :5
: Statement 43
00A2 A17EFD00                      R ld _calc3,#0FD7EH     :5
00A6                                @000F:

```

```

00A6 0608          R   ext  _calc3          ;4
00A8              @0006:
; Statement 45
00A8 640004          R   add  _calc2,_calc3   ;4
00AB A40A06          R   addc _calc2+2,_calc3+2 ;4
; Statement 48
00AE A00202          R   ld   zd_est,_calc1+2   ;4
; Statement 49
00B1 A00604          R   ld   zdd_est,_calc2+2   ;4
; Statement 55
00B4 FE4DEB02021C   R   mul  Tmp0,zd_est,#2EBH  ;17
00BA FE4D13000420   R   mul  Tmp4,zdd_est,#13H  ;17
00C0 A01C00          R   ld   _calc1,Tmp0       ;4
00C3 A01E02          R   ld   _calc1+2,Tmp2     ;4
00C6 642000          R   add  _calc1,Tmp4       ;4
00C9 A42202          R   addc _calc1+2,Tmp6     ;4
; Statement 57
00CC A00206          R   ld   sigma_k,_calc1+2   ;4
; Statement 58
00CF 89800006       R   cmp  sigma_k,#80H      ;5
00D3 DA06           ble  @0008                 ;8 sum6=111, sum=461
; Statement 60
00D5 A1FF070A       R   ld   uc_k,#7FFH        ;5
00D9 200A           br   @0010
; Statement 64
00DB              @0008:
00DB 8900FF06       R   cmp  sigma_k,#0FF80H   ;5
00DF D60A           bge  @000A                 ;8 sum7=13, sum=474
; Statement 66
00E1 A100F80A       R   ld   uc_k,#0F800H      ;5
00E5              @0010:
; Statement 67
00E5 010C           R   clr  uc_k_1            ;5
; Statement 68
00E7 0108           R   clr  sigma_k_1         ;5
; Statement 70
00E9 2042           br   @0009
00EB              @000A:
; Statement 72
00EB FE4D2602061C   R   mul  Tmp0,sigma_k,#226H  ;17
00F1 FE4D82020020   R   mul  Tmp4,sigma_k_1,#282H ;17
00F7 68201C          sub  Tmp0,Tmp4             ;4
00FA A0221E          subc Tmp2,Tmp6             ;4
00FD A00C20          R   ld   Tmp4,uc_k_1       ;4
0100 0620           ext  Tmp4                  ;4
0102 A01C00          R   ld   _calc1,Tmp0       ;4
0105 A01E02          R   ld   _calc1+2,Tmp2     ;4
0108 642000          R   add  _calc1,Tmp4       ;4
010B A42202          R   addc _calc1+2,Tmp6     ;4
; Statement 73
010E A0020A          R   ld   uc_k,_calc1+2     ;4
; Statement 74
0111 A00608          R   ld   sigma_k_1,sigma_k  ;4
; Statement 75
0114 A00A0C          R   ld   uc_k_1,uc_k       ;4
; Statement 77
0117 89FF070A       R   cmp  uc_k,#7FFH        ;5
011B DA06           ble  @000C                 ;8 sum8=91, sum=565
; Statement 78
011D A1FF070A       R   ld   uc_k,#7FFH        ;5
; Statement 79
0121 200A           br   @0009
0123              @000C:
0123 8900F80A       R   cmp  uc_k,#0F800H      ;5
0127 D604           bge  @0009                 ;5
; Statement 80
0129 A100F80A       R   ld   uc_k,#0F800H      ;5

```

```

012D          @0009:
              ; Statement 86
012D 850002DA  R  xor  uc_k,#200H          ;5
              ; Statement 88
0131 C20E0A   R  st   uc_k,[ptr_CNA]      ;10 sum9=30, sum=595
              ; Statement 92
0134 CC22     pop  Tmp6                ;6
0136 CC2D     pop  Tmp4                ;6
0138 CC1E     pop  Tmp2                ;6
013A CC1C     pop  Tmp0                ;6
013C F5       popa                     ;12
013D F0       rel                      ;14 sum10=50, sum=645

; Function Statistics for: regstare
; Code Size : 318      Parameter Count: 0
; Stack Size: 0       Parameter Size : 0
; OReg Size : 12     Stack Depth  : 14

end

```

Module Information:

```

Code Area Size      = 013EH      318D
Constant Area Size  = 0000H      0D
Data Area Size      = 0000H      0D
Static Regs Area Size = 0010H     16D
Overlayable Regs Area Size = 000CH    12D
Maximum Stack Size  = 000EH     14D

```

C196 Compilation Complete. 0 Warnings. 0 Errors

Algoritmul scris în asamblare:

80C196 MACRO ASSEMBLER REGAL 01-May-97 23:03:32 PAGE 1

80C196 macro assembler v4.0 r5 1995 Tasking Software BV

SOURCE FILE: regal.asm  
OBJECT FILE: regal.obj  
CONTROLS SPECIFIED IN INVOCATION COMMAND: <none>

```

LOC OBJECT      STMT  SOURCE STATEMENT
1  ;*****
2  ;* Subrutina de reglare cu regulator si estimator de stare *
3  ;* cu structura variabila *
4  ;*****
5  $nolist
   345
   346
000000FA       347 J11          EQU 00FAH      ;coeficientii estimatorului
000010E4       348 J12          EQU 10E4H
00000003       349 J21          EQU 0003H
00000102       350 J22          EQU 0102H
000000DE       351 H1           EQU 00DEH
000024A2       352 H2           EQU 24A2H
00002703       353 G2           EQU 2703H
   354
00000010       355 EPS_EST      EQU 0010H
00000282       356 PRAG_LIMITARE EQU 0282H
   357
000002EB       358 C1           EQU 02EBH      ;coeficientii functionale de stare
00000013       359 C2           EQU 0013H

```

	360				
00000226	361	BETA0	EQU	0226H	:coeficientii elementului PI
00000282	362	BETA1	EQU	0202H	
00000000	363	EPS	EQU	120	
	364				
000003FF	365	U_MAX	EQU	1023	
FFFFFFCD	366	U_MIN	EQU	-1024	
	367				
0000F002	368	ptr_CNA	EQU	0F002H	
	369				
0000	370		rseg		
	371	extrn	Tmp0:word		
	372	extrn	Tmp2:word		
	373	extrn	Tmp4:word		
	374	extrn	Tmp6:word		
0000	375	_calc1:	dsl	1	
0004	376	_calc2:	dsl	1	
0008	377	_calc3:	dsl	1	
	378				
	379	extrn	zd_est:	word	
	380	extrn	zdd_est:	word	
	381	extrn	zd_k:	word	
	382	extrn	sigma_k:	word	
	383	extrn	sigma_k_1:	word	
	384	extrn	uc_k:	word	
	385	extrn	uc_k_1:	word	
	386				
	387				
	388				
0000	389		cseg		
	390				

LOC	OBJECT	STMT	SOURCE STATEMENT	
0000	F4	391	regel: pusha	:4+39+16 sum=59
0001	017B14	392	ldb wsr,#7BH	:12
0004	A1D007FA	393	ld timer1_7b,#2000	:4
0008	B17D14	394	ldb wsr,#7DH	:5 sum1=21, sum=70
000B	B110EC	395	ldb ad_command_7d,#10H	:4
000E	C000	E 396	push Tmp0	:5 sum2=9, sum=79
0010	C800	E 397	push Tmp2	:6
0012	FE4DFA000000	E 398	mul Tmp0,zd_est,#J11	:6
0018	FE4DE4180000	E 399	mul _calc1,zdd_est,#J12	:17
001E	640000	E 400	add _calc1,Tmp0	:4
0021	A40002	E 401	addc _calc1+2,Tmp2	:4
0024	FE4D03000000	E 402	mul Tmp0,zd_est,#J21	:4
002A	FE4D02010004	E 403	mul _calc2,zdd_est,#J22	:17
0030	640004	E 404	add _calc2,Tmp0	:4
0033	A40006	E 405	addc _calc2+2,Tmp2	:4
0036	34EAFD	406	end_conv: bbc ad_result_7d,4,end_conv	:4 sum3=96, sum=175
0039	A301AA1F00	E 407	ld zd_k,ad_result	:108-96+5=17
003E	000600	E 408	shr zd_k,#6	:5
0041	FE4DDE000000	E 409	mul Tmp0,zd_k,#H1	:12
0047	640000	E 410	add _calc1,Tmp0	:17
004A	A40002	E 411	addc _calc1+2,Tmp2	:4
004D	FE4DA2240000	E 412	mul Tmp0,zd_k,#H2	:4
0053	640004	E 413	add _calc2,Tmp0	:17
0056	A40006	E 414	addc _calc2+2,Tmp2	:4
0059	40000008	E 415	sub _calc3,zd_est,zd_k	:4
005D	FE6D032700	R 416	mul _calc3,#G2	:5
0062	A00A00	E 417	ld Tmp2,_calc3+2	:17
0065	4910000800	E 418	sub Tmp0,_calc3,#EPS_EST	:4
006A	A00B00	E 419	subc Tmp2,R0	:5
006D	DA06	420	blc nolimit1	:4
006F	A1820208	R 421	ld _calc3,#PRAG_LIMITARE	:8 sum4=127, sum=302
0073	2011	422	br cont1	
0075	A00A00	E 423	nolimit1: ld Tmp2,_calc3+2	:4
0078	4910000800	E 424	sub Tmp0,_calc3,#EPS_EST	:5

```

007D A80000      E 425      subc      Tmp2,R0          ;4
0080 D606        E 426      bge      nolimit2          ;5
0082 A17EFD08    R 427      ld       _calc3,#(-PRAG_LIMITARE) ;5
0086           E 428      cont1:
0086 0608        R 429      ext     _calc3          ;4
0088 640804      R 430      nolimit2: add     _calc2,_calc3    ;4
008B A40A06      R 431      addc    _calc2+2,_calc3+2 ;4
008E A00200      E 432      ld       zd_est,_calc1+2 ;4
0091 A00600      E 433      ld       zdd_est,_calc2+2 ;4
           E 434
0094 FE4DEB020000 E 435      mul     _calc1,zd_est,#C1    ;17
009A FE4D13000000 E 436      mul     Tmp0,zdd_est,#C2    ;17
00A0 640000      E 437      add     _calc1,Tmp0        ;4
00A3 A40002      E 438      addc    _calc1+2,Tmp2      ;4
00A6 A00200      E 439      ld       sigma_k,_calc1+2   ;4
00A9 89000000    E 440      cmp     sigma_k,#EPS       ;5
00AD DA06        E 441      ble     nolimit3          ;0 sum=102, sum=404
00AF A1FF0300    E 442      ld       uc_k,#U_MAX
00B3 200A        E 443      br      cont2
00B5           E 444      nolimit3:
00B5 8900FF00    E 445      cmp     sigma_k,#(-EPS)    ;5
00B9 D60A        E 446      bge     nolimit4          ;8
00BB A100FC00    E 447      ld       uc_k,#U_MIN
00BF           E 448      cont2:
00BF 0100        E 449      clr     uc_k_1
00C1 0100        E 450      clr     sigma_k_1
00C3 203C        E 451      br      output
00C5 FE4D26020000 E 452      nolimit4: mul     _calc1,sigma_k,#BETA0 ;17
00CB FE4D02020000 E 453      mul     Tmp0,sigma_k_1,#BETA1 ;17
00D1 600000      E 454      sub     _calc1,Tmp0        ;4
00D4 A80002      E 455      subc    _calc1+2,Tmp2      ;4
00D7 A00000      E 456      ld       Tmp0,uc_k_1       ;4
00DA 0600        E 457      ext     Tmp2              ;4
00DC 640000      E 458      add     _calc1,Tmp0        ;4
00DF A40002      E 459      addc    _calc1+2,Tmp2      ;4
00E2 A00200      E 460      ld       uc_k,_calc1+2     ;4
00E5 A00000      E 461      ld       sigma_k_1,sigma_k ;4
00E8 A00000      E 462      ld       uc_k_1,uc_k       ;4
00EB 89FF0300    E 463      cmp     uc_k,#U_MAX       ;5
00EF DA06        E 464      ble     nolimit5          ;8 sum=96, sum=500
00F1 A1FF0300    E 465      ld       uc_k,#U_MAX
00F5 200A        E 466      br      output
00F7 8900FC00    E 467      nolimit5: cmp     uc_k,#U_MIN       ;5
00FB D604        E 468      bge     output            ;5
00FD A100FC00    E 469      ld       uc_k,#U_MIN
0101           E 470      output:
0101 85000200    E 471      xor     uc_k,#200H         ;5
0105 C30102F000    E 472      st     uc_k,ptr_CNA[0]    ;20 sum=40, sum=540
010A CC00        E 473      pop     Tmp2              ;8
010C CC00        E 474      pop     Tmp0              ;6
010E F5         E 475      pop    ;12
010F F0         E 476      ret     ;14 sum=38, sum=578
           E 477
0110           E 478      end

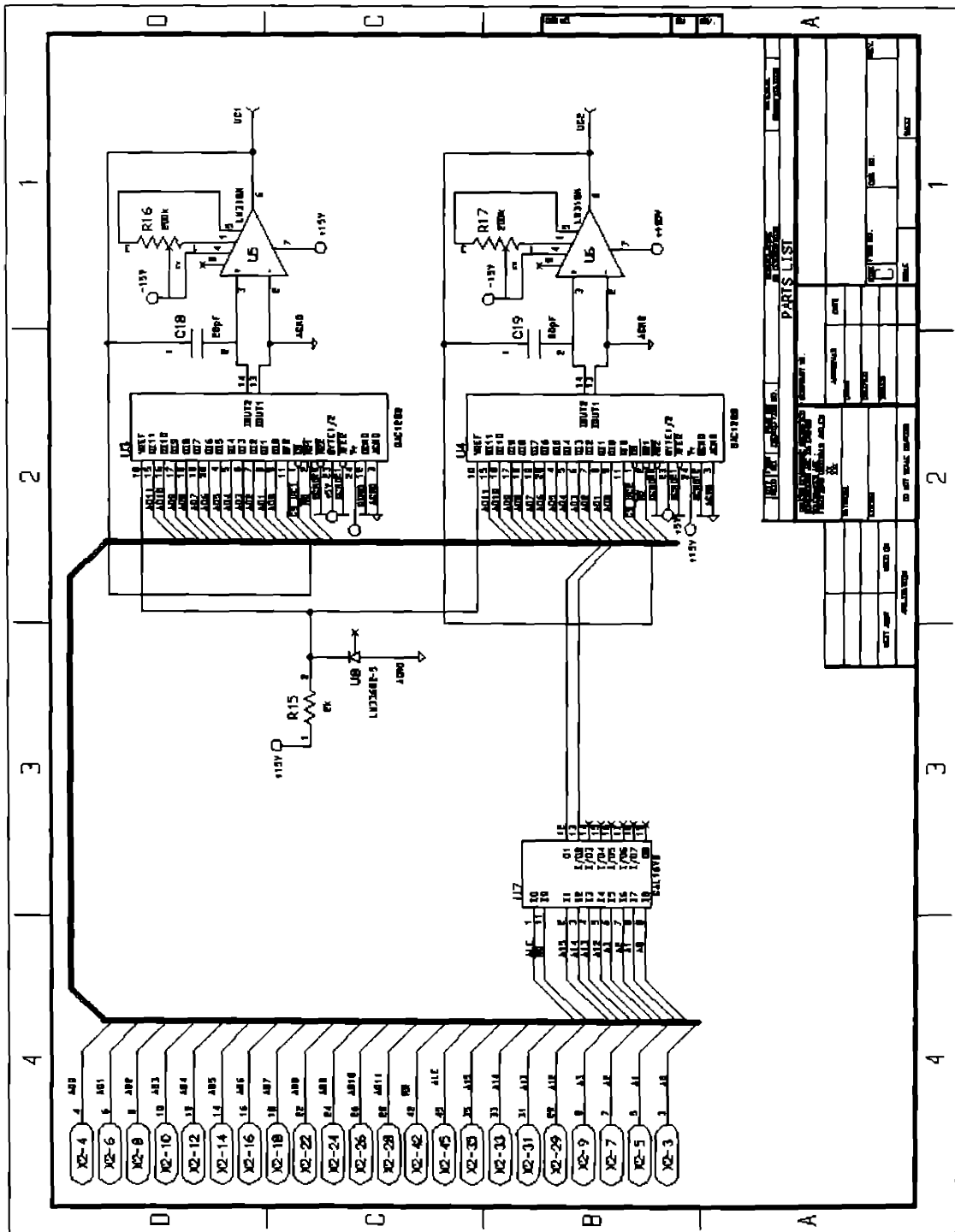
```

ASSEMBLY COMPLETED. NO ERROR(S) FOUND.

# ANEXA A5.4

## A5.4. Schema electronică a modelului de laborator

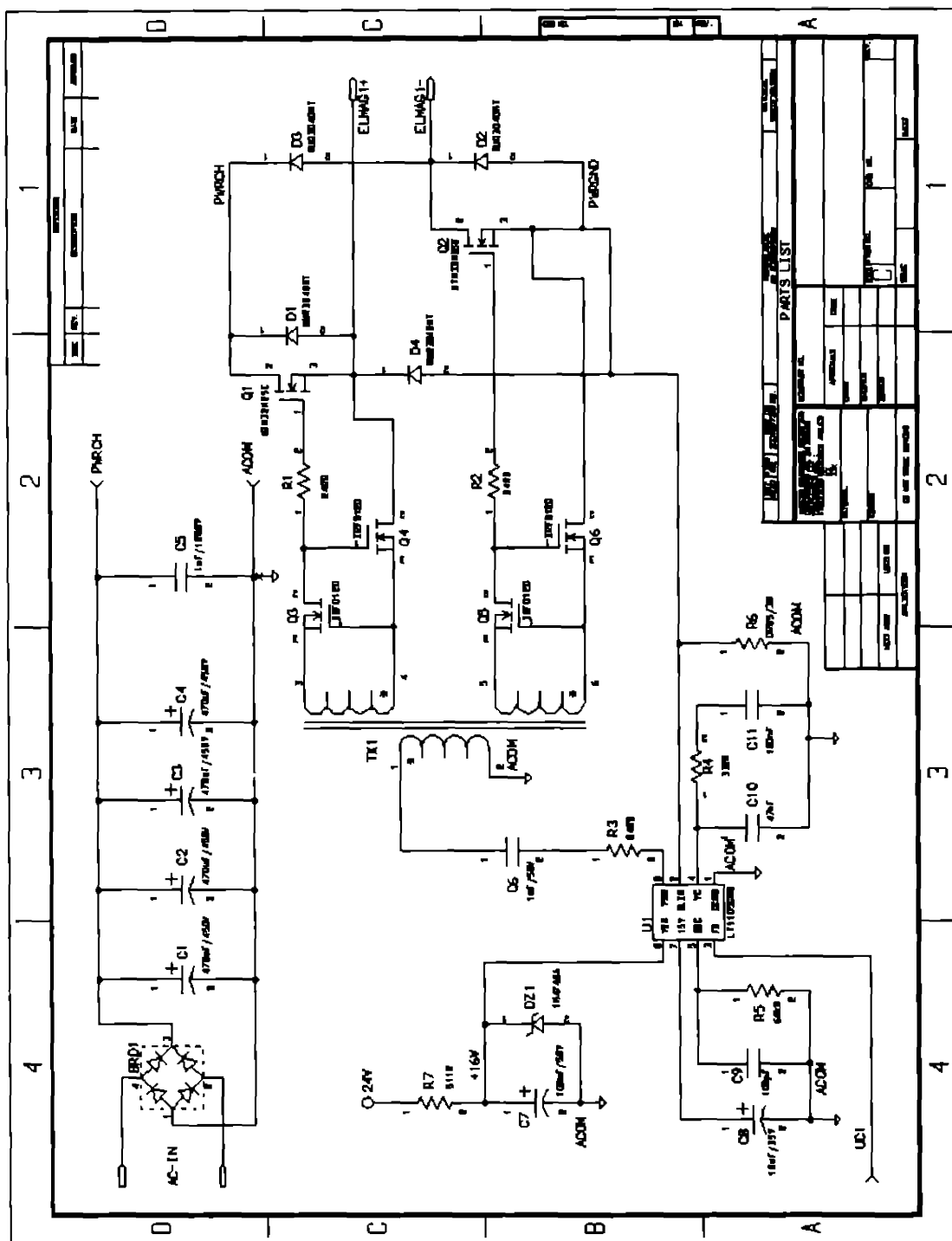
În această anexă sunt prezentate schemele electronice utilizate în comanda modelului de laborator descris în capitolul 2. În prima sunt reprezentate circuitele de comandă ale celor două chopperce utilizate.

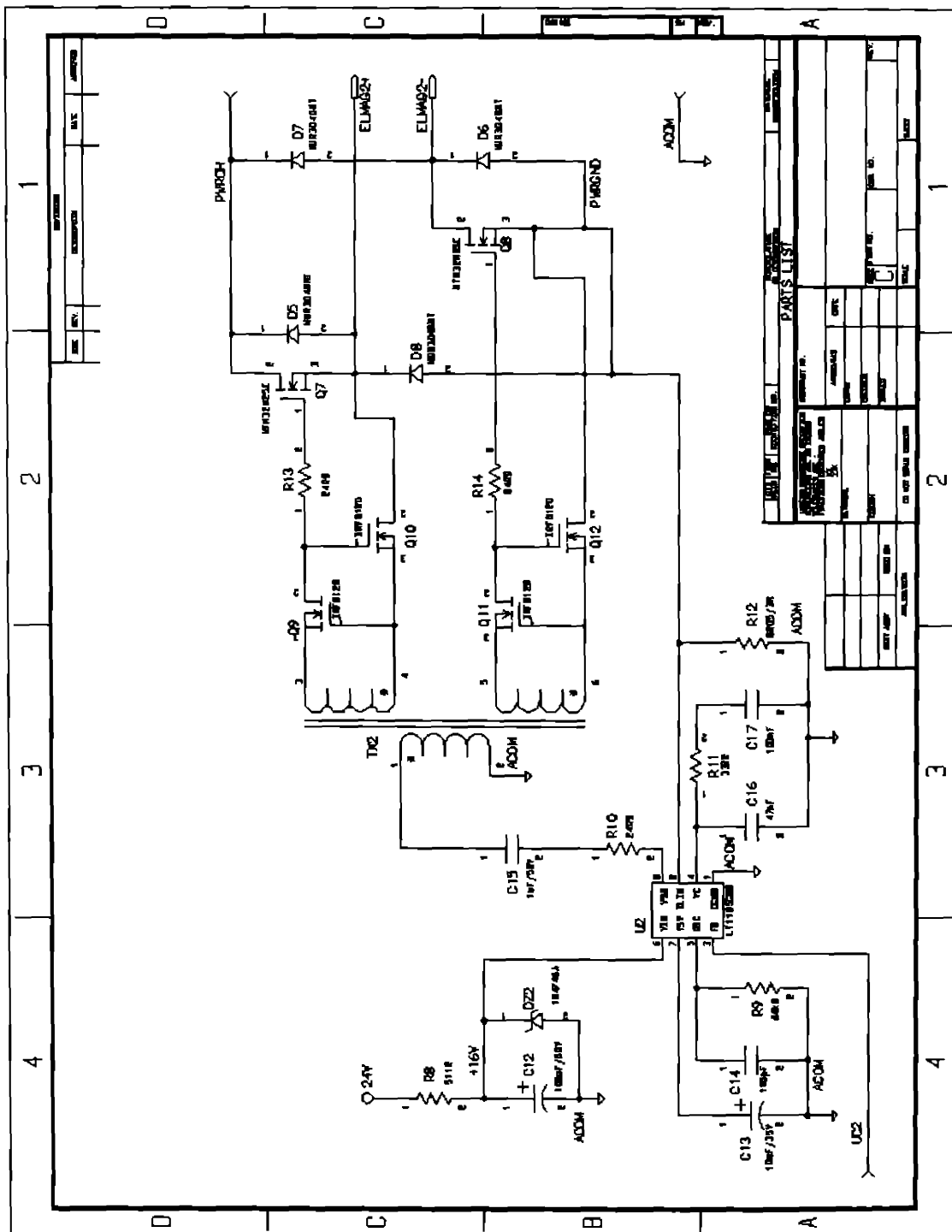


În plus față de circuitele prezentate în anexă, s-a utilizat un sistem de evaluare a micro-controller-ului 80C196MC la care se pot atașa diferite alte circuite prin doi conectori de 72 de pini. Unul din acești conectori, utilizat în schema descrisă, este notat cu X2 și oferă accesul la magistralele de date și adrese.

Un GAL16V8 a fost folosit pentru generarea diferitelor selecții din montaj.

Două convertoare numeric-analogice de 12 bit, paralele, cu referința de 5V generată cu referința de tensiune LM336BZ-5, toate de la National Semiconductor au fost utilizate pentru generarea comenzii analogice a chopperelor în două cadrane.





Pentru fiecare electromagnet din cei patru ai sistemului, este utilizat câte un chopper in patru cadrane. Comanda perechii de choppere, corespunzătoare electromagneților utilizați în sustentație este notată cu UC1, mărime furnizată de sistemul de reglare numerică, iar comanda perechii de choppere, corespunzătoare electromagneților utilizați ca sistem perturbator este notată cu LC2, generată de același sistem de calcul. In figuri nu s-au reprezentat decât câte un chopper asociat fiecărei perechi de electromagneți.



## CAPITOLUL 6

### 6. Rezultate experimentale

Pe parcursul acestei lucrări au fost menționate în repetate rânduri două aplicații principale ale sistemelor cu sustentație electromagnetică: vehicule pe pernă magnetică și lagăre cu sustentație electromagnetică. Accentuarea acestora se datorește preocupărilor autorului pe parcursul anilor legate de studiul sustentației electromagnetice cu aplicație în special la vehiculele cu sustentație electromagnetică și motoare electrice cu lagăre magnetice.

În cadrul unui contract de lungă durată cu Electroputere Craiova, Institutul Politehnic Timișoara, catedra de Mașini Electrice cu sprijinul mai multor colective din IPT, printre care și a celui de automatizări, a avut ca sarcină proiectarea, construcția și experimentarea prototipului unui vehicul pe pernă magnetică, MAGNIBUS-01. La finalizarea acestuia, experiența acumulată pe parcursul a numeroși ani de muncă a fost folosită cu succes în cadrul unui al doilea contract cu ICSIT Titan, filiala Timișoara, în proiectarea, construcția și experimentarea prototipului unui motor asincron de mare viteză cu lagăre cu sustentație electromagnetică. Pe scurt, în cele ce urmează se vor prezenta principalele date și rezultate experimentale ale celor două aplicații [B4], [B5], [B6], [B7], [D6], [T2].

#### 6.1 Vehiculul cu sustentație electromagnetică, MAGNIBUS-01.

MAGNIBUS-01 este un vehicul de 4 m lungime și greutate de 4 tone, cu patru electromagneți de sustentație de 140 kg fiecare, dezvoltând la un întrefier de 12 mm câte o forță de 1 tonă. Datele electromagneților au fost date în capitolul 2 și pe parcursul lucrării s-au făcut repetate referiri la ei sub denumirea de "electromagnet cu forță portantă mare". Motoarele liniare utilizate pentru propulsie au fost motoare sincrone homopolare, fluxul practic continuu dezvoltat în electromagneții de sustentație constituind excitația motorului sincron. Vehiculul este autonom, având electromagneții, motorele, electronica de putere (chopper, inverter de curent) și circuitele de comandă și auxiliare la bord.

Vehiculul a fost prevăzut cu un control primar descentralizat al electromagneților, fiecare fiind considerat ca un S1E1GL. Schema bloc a controlului unei "roți magnetice" este dată în figura 6.1.

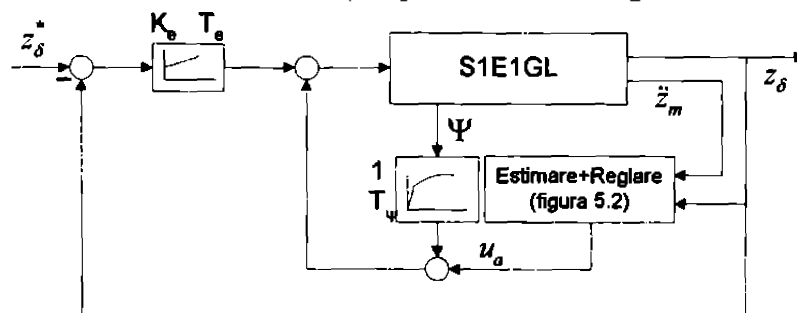


Fig. 6.1. "Roata magnetică"

Estimatorul de stare este de ordinul 2 cu măsurarea întrefierului și a accelerației de ecuații (4.102). Regulatorul este de tipul compensator cu coeficienți calculați pe baza problemei regulatorului liniar pătratic cu funcție obiectiv de tipul (3.7). Pentru a crește domeniul de stabilitate pe întreaga plajă de variație a întrefierului, s-a introdus un termen după flux. Fluxul s-a obținut din derivata sa indusă într-o bobină de măsură și integrată apoi printr-un element de tip PT1 cu constanta de timp de ordinul secundelor, în acest fel asigurându-se eliminarea unei componente continue de drift.

Elementul de execuție a fost un chopper cu tiristoare într-un singur cadran dar cu o comandă de tip bipozițional cu care s-a reușit într-o mare măsură compensarea constantei de timp a electromagnetului.

Se prezintă în figurile 6.2 tensiunea pe electromagnet, curentul și întrefierul măsurate pe parcursul ridicării unei "roți magnetice" (nr.2 - față dreapta) din repaus (20 mm) la un întrefier de 12.5 mm și apoi coborârii sale din nou în repaus. Se observă creșterea treptată a curentului până ce forța dezvoltată este suficientă pentru a compensa masa ce trebuie levitată și apoi scăderea curentului pe măsură ce întrefierul scade spre valoarea prescrisă.

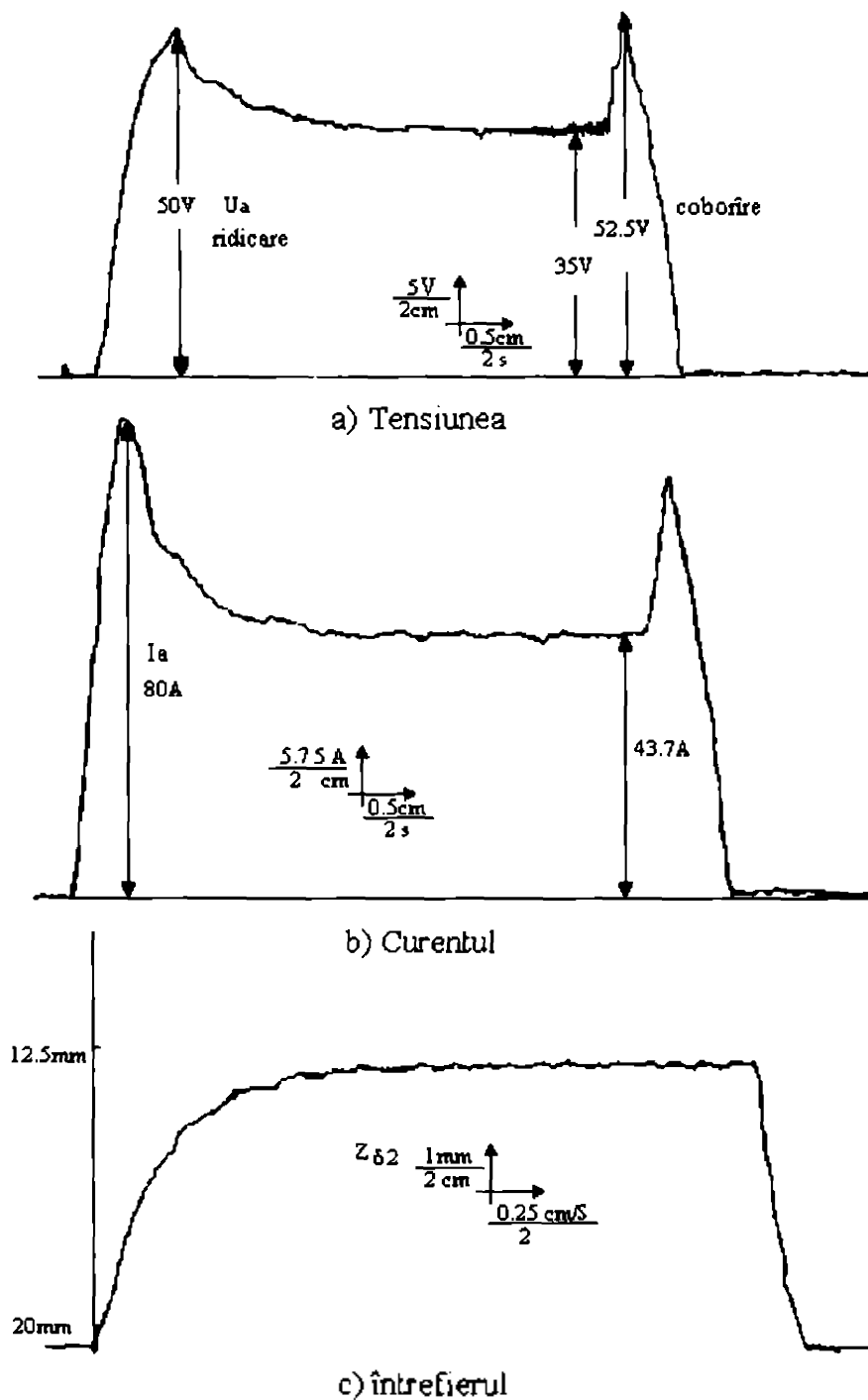


Fig. 6.2. Ridicarea și coborârea unui electromagnet

În urma experimentărilor cu topi electromagneți sustentați s-a constatat necesitatea introducerii unei componente centralizate pe diagonale: platforma pe care sunt montați electromagneții are o tendință de oscilație pe diagonală astfel încât este necesară o reacție anticipativă a acestei mișcări. S-a introdus pe fiecare colț o reacție pozitivă după viteza de variație a întrefierului din colțul opus. Cu această modificare sustentarea întregului vehicul s-a putut face în condiții de stabilitate la orice întrefier. Pentru testarea stabilității și a calității reglării, s-a urmărit influența asupra unui electromagnet (nr.2 față dreapta) a oscilațiilor unui electromagnet vecin. Astfel pe prescrierile electromagneților nr.1 (față stânga) și apoi nr.3 (spate dreapta) s-au aplicat tensiuni sinusoidale de frecvențe diferite, măsurându-se efectul asupra electromagnetului sub test. În figurile 6.3. s-au reprezentat situațiile corespunzătoare la 4 Hz și 1 Hz. Se observă că frecvența de 4 Hz este destul de mult filtrată încă în prescriere datorită benzii de frecvență redusă a sistemului de reglare. Amplitudinea oscilațiilor perturbatoare la 1 Hz au fost de aproximativ  $\pm 5$  mm la un întrefier nominal de 12 mm. Se constată o rejecție excelentă a acestor perturbații de către electromagnetul testat ( $z_{\delta 2}$ ).

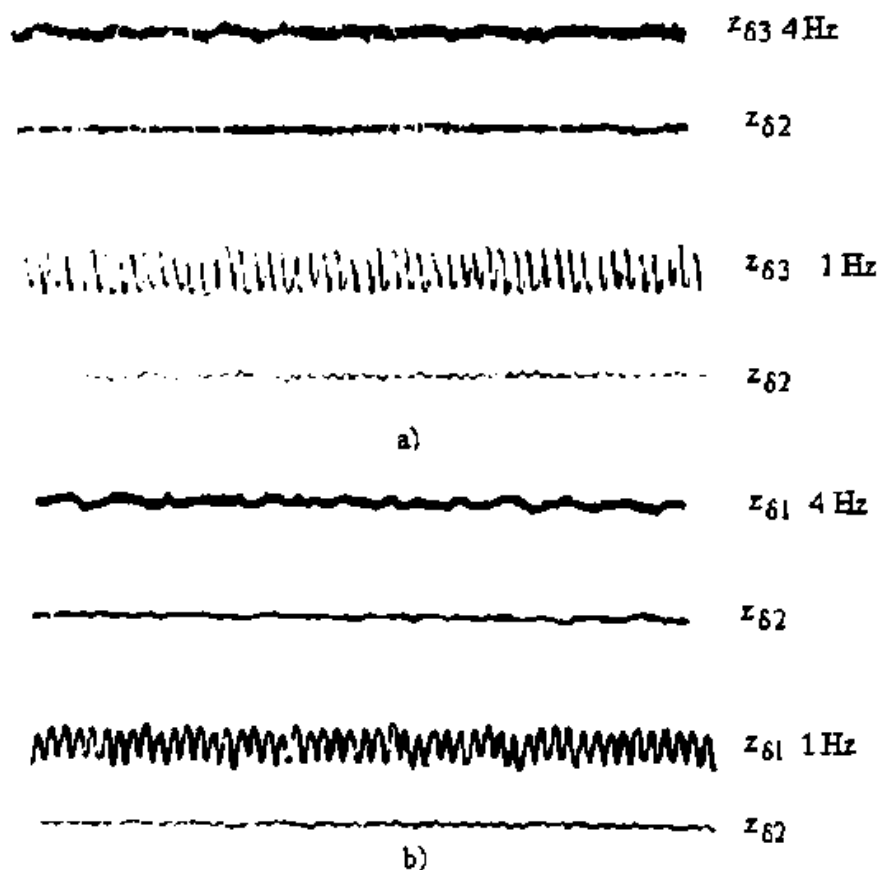


Fig. 6.3. Răspunsul electromagnetului nr. 2 (cu întrefierul  $z_{\delta 2}$ ) la perturbarea electromagneților vecini

Propulsia, asigurată printr-un invertor de curent a avut de suferit datorită unei deficiențe de construcție și anume neconcordanța dimensiunilor electromagneților cu calea de glisare (vezi figurile A2.1.1 și A2.1.2 din anexa A2.1). Din acest motiv întregul vehicul are tendința de a se poziționa în punctele de energie potențială minimă, puncte în care electromagneții "văd" o suprafață maximă de material feromagnetic din calea de glisare. Această deficiență a condus la o pornire a vehiculului - întotdeauna dintr-o poziție de energie potențială minimă - dificilă și cu oscilații relativ mari, fapt ce poate fi remarcat în figura 6.4 în care se prezintă pornirea, oprirea și reversarea vehiculului pe o distanță scurtă

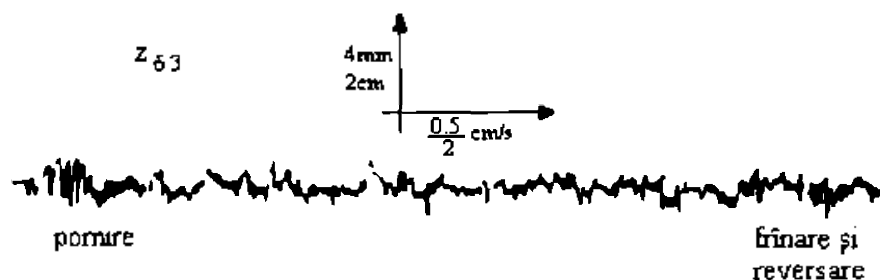


Fig. 6.4. Intrefierul unei roți magnetice pe parcursul accelerării și opririi, la viteze mici

Toate măsurările au fost făcute cu un înregistrator X-Y cu două canale, fiind repetate de mai multe ori.

În ultimele luni de testare a prototipului, experimentările s-au făcut pe calea de glisare de 150 m de la Institutul Politehnic din Timișoara, vitezele maxime atinse limitându-se la 15 m/sec datorită traseului scurt.

Reluarea acestui proiect, în condițiile avansului tehnologic din ultimii 10 ani atât în domeniul electronicii de putere (IGBT-uri, MOSFET-uri de curenți mare) cât și a sistemelor de control digitale ar putea conduce la rezultate spectaculoase, mai ales datorită soluției originale adoptate la concepția acestui tip de vehicul, diferită de tipurile de vehicule pe pernă magnetică construite în Germania, Japonia sau Marea Britanie. De asemenea, dacă în ultimii ani, interesul legat de vehicule cu sustentație electromagnetică scăzuse, în prezent se face simțită o reînvișorare a temei pe plan mondial.

## 6.2 Motor de inducție de mare viteză cu lagăre cu sustentație electromagnetică

Experiența în domeniul sistemelor cu sustentație electromagnetică acumulată pe parcursul desfășurării proiectului MAGNIBUS-01 a fost în continuare folosită cu succes în proiectarea, construcția și experimentarea unui prototip de motor de inducție de 300W cu turație nominală de 25000 rpm, cu lagăre cu sustentație electromagnetică radiale și axiale.

În figura 6.5 este prezentat sistemul cu 10 electromagneți și 5 grade de libertate considerat.

Sistemul este constituit dintr-un motor de inducție, două lagăre radiale și unul axial. Motorul este alimentat cu un inverter de tensiune cu undă de ieșire rectangulară, iar electromagneții lagărelor cu chopere în două cadrane cu tranzistoare de putere funcționând la 20 kHz

Prototipul a fost construit pentru o aplicație de găurire la mare viteză și precizie. Din acest motiv cele două lagăre radiale sunt diferite: cel anterior, în dreptul căruia este montată scula este mai mare și dezvoltă forțe mai mari. De asemenea întrefierurile nominale sunt diferite. magnetul anterior are un întrefier de 0.5 mm, iar cel posterior de 0.8 mm. Intrefierurile relativ mari utilizate se datoresc imperfecțiunilor de construcție mecanică a rotorului. Într-o construcție îngrijită acestea ar putea fi scăzute la 0.25 mm.

Controlul analogic al fiecărei axe este asigurat prin măsurarea întrefierului diferențial cu un traductor inductiv, estimarea vitezei și accelerației cu un estimator de tipul (4.102) din care însă lipsește intrarea de accelerație absolută - variantă discutată în capitolul 4, apoi calculul funcționalei de stare pentru generarea comenzii ce forțează sistemul într-un regim alunecător și elementul PI pentru înlăturarea

oscilațiilor de înaltă frecvență din apropierea țintei și a erorii de regim staționar. Schemele electronice sunt în mare măsură cele prezentate în capitolul 5, figurile 5.3 și 5.5. Deși s-au utilizat choppere în două cadrane, experiența a arătat că introducerea unui element bipozițional cu histerezis (pentru limitarea frecvenței de lucru) în circuitul de comandă a chopperului conduce la răspunsuri mai rapide și performanțe de reglare mai bune.

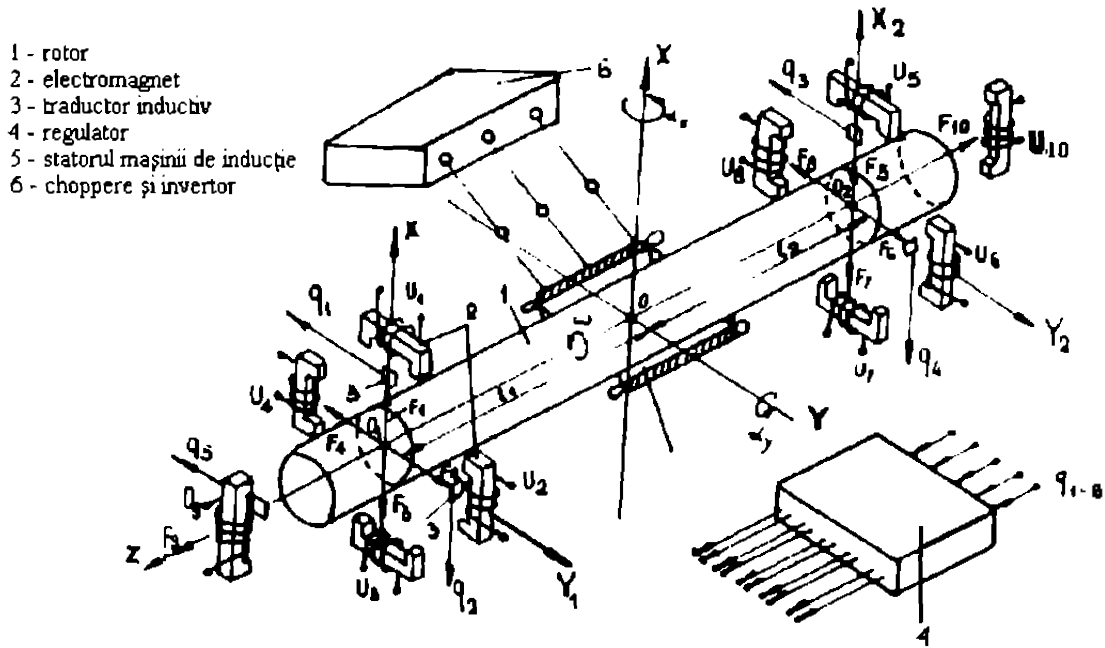


Fig. 6.5. Sistemul cu 10 electromagneți și 5 grade de libertate.

În figurile 6.6 sunt reprezentate diagrame ale întrefierurilor celor două axe perpendiculare ale lagărului frontal în repaus și la 25000 rpm

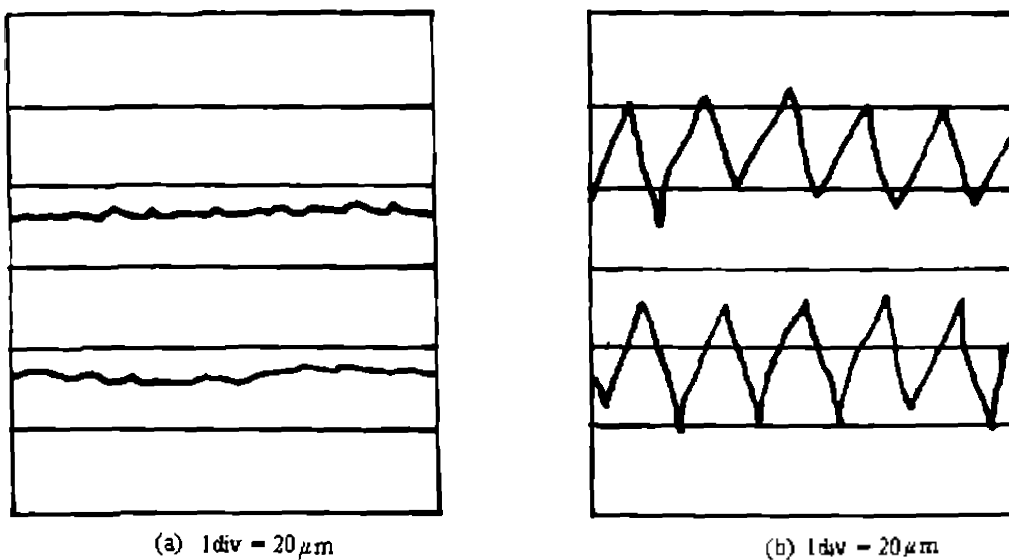


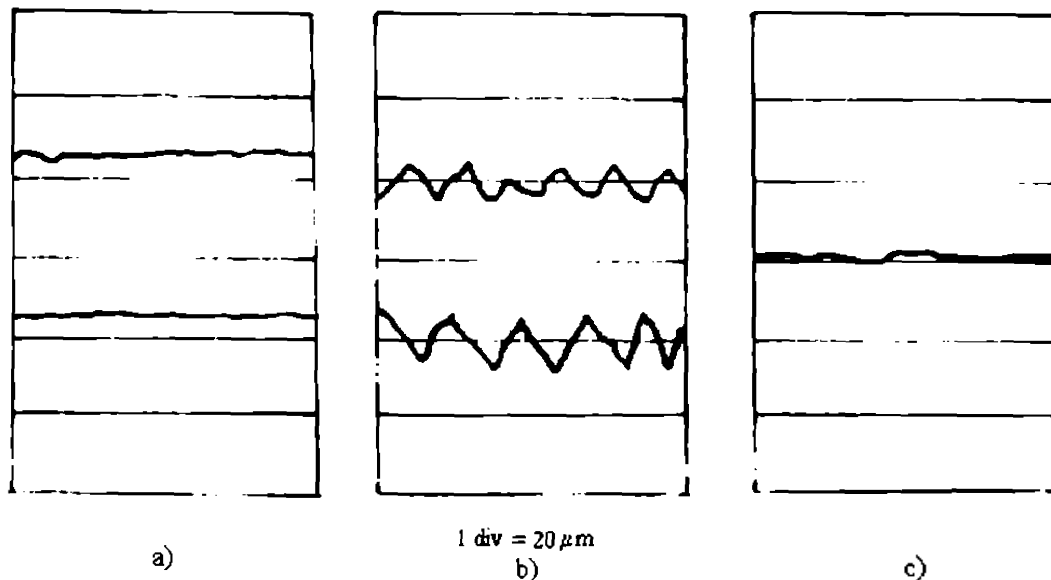
Fig.6.6. Variația întrefierului pe lagărul radial frontal: a) regim staționar, b) la 25000 rpm

Dacă în repaus variația de întrefier este de sub  $5 \mu\text{m}$ , la turație ridicată apar oscilații de frecvență egală cu frecvența de rotație a rotorului care se manifestă în întrefier cu valori de până la  $30 \mu\text{m}$  vârf la vârf. În general una din problemele întâmpinate și care a fost menționată în capitolul 3 a fost intrarea în rezonanță a sistemului la diferitele frecvențe de rezonanță mecanice, excitate nu atât prin sistemul de comandă cât prin imperfecțiunile de prelucrare mecanică manifestate sincron cu turația. Este foarte dificil într-un sistem analogic de a elimina această perturbare prin filtrare. Într-o implementare digitală însă, în care controlul este integrat în același sistem cu inverterul și frecvența de rotație este destul de precis cunoscută (la turații așa de ridicate alunecarea motorului asincron poate fi neglijată) este posibilă o acordare continuă a filtrului digital pentru rejecția rezonanței.

În cazul considerat întreaga comandă fiind analogică s-a optat pentru utilizarea unui filtru doar pentru o singură frecvență critică, frecvență legată nu de o rezonanță mecanică ci de un punct în care forțele giroscopice devin comparabile cu forțele electromagnetice cu care se acționează asupra axului. Axele geometrice și de inerție nefiind identice datorită prelucrării mecanice și a omogenității imperfecte a rotorului apare o oscilație care poate fi catastrofală. Din fericire turația la care fenomenul s-a manifestat a fost la 10000 rpm, diferită de turația nominală (25000 rpm) astfel încât prin filtrarea comenzii la această frecvență, după trecerea peste acest punct, accelerarea în continuare a mașinii a decurs fără probleme. Așa cum s-a menționat în lucrare, o comandă digitală a inverterului de tensiune poate "sări" peste acest domeniu destul de îngust de frecvențe, eliminând parțial sau chiar integral fenomenul descris.

Similar figurilor de mai sus, în figurile 6.7 sunt prezentate înregistrări ale întrefierurilor celor două axe perpendiculare ale lagărului posterior (figurile a și b) și a lagărului axial (figura c). Se constată o variație mai mică a întrefierului la turația nominală, electromagneții dezvoltând forțe mai mici, și efectul rezonanței mecanice fiind limitat.

Oprirea mașinii asincrone de la turația de 25000 rpm s-a făcut prin oprirea alimentării, timpul scurs până la repaus fiind de 3 minute, indicând curenți turbionari reduși.



**Fig. 6.7. Variația întrefierului lagărului radial posterior: a) regim staționar, b) la 25000 rpm. c) Variația întrefierului lagărului axial în ambele situații.**

Anii în care aplicația prezentată a fost construită și experimentată (1986 - 1989) au fost ani de pionerat în domeniu. Nici în prezent nu există după cunoștințele autorului decât două firme producătoare de

lagăre electromagnetice: Actidine (Franța) și Traxler A.G. (Elveția) producând unicate pentru diferite aplicații. Există însă multe colective de cercetare în care se studiază acest subiect.

Utilizarea lagărelor magnetice în aplicații de viteză de rotație foarte ridicată sau sisteme rotative în care frecările trebuie eliminate cunoaște în momentul de față un interes crescând și reluarea acestui proiect cu sistemele digitale care sunt la dispoziție, utilizarea unor choppere cu MOSFET-uri cu frecvențe de modulare de 100 kHz și invertoare de tensiune tot cu MOSFET-uri ar putea conduce la rezultate rapide și deosebit de performante.

## CAPITOLUL 7.

### 7. Concluzii

În finalul acestei lucrări, după parcurgerea a 6 capitole, în capitolul de față se discută modul în care obiectivele inițial stabilite au fost atinse, concluziile care s-au desprins și se prezintă opiniile autorului privind direcțiile de cercetare viitoare asociabile problematicii tezei.

#### 7.1 Rezultatele lucrării

În capitolul 1 s-a arătat care este scopul lucrării și care sunt obiectivele pe care le urmărește: explorarea posibilităților de stabilizare și reglare a sistemelor cu sustentație electromagnetică, utilizând în special tehnici ce forțează sistemul condus în regimuri alunecătoare, găsirea de soluții practice, realizabile în condițiile tehnologiei de azi la un preț de cost cât mai redus și cu performanțe cât mai ridicate.

În capitolul 2 s-a analizat în detaliu procesul de sustentație electromagnetică. După modelarea și identificarea sistemului cu 1 electromagnet și 1 grad de libertate (S1E1GL) cu utilizare practică la vehiculele cu sustentație electromagnetică, s-a analizat sistemul cu 2 electromagneți și 1 grad de libertate (S2E1GL) anticipând faptul că sistemele cu 10 electromagneți și 5 grade de libertate (S10E5GL) analizate în finalul capitolului pot fi echivalente cu 5 subsisteme de tipul S2E1GL, cu interconexiuni cunoscute. Astfel:

- S-au dedus ecuațiile de regim dinamic și staționar ale S1E1GL. Se consideră ca o contribuție originală modul de tratare a inductanței electromagnetului în funcție de întrefier: unele lucrări utilizează o relație mult simplificată care la rîndul ei simplifică întregul proces într-un mod considerat - de către autor - inacceptabil, altele utilizează relații complexe, ținînd cont de geometria electromagnetului, greoaie în manipulare în modelarea procesului. Echivalarea acestora din urmă într-o formă simplă, cu determinarea experimentală a coeficienților ce intervin în relație, metodă exemplificată în anexa A2, paragraful 1.2, conduce la o relație simplă și în același timp precisă a dependenței inductanței de întrefier.
- Sistemele cu sustentație electromagnetică sunt descrise de modele neliniare dar continue și diferențiabile astfel încît ele pot fi liniarizate în vecinătatea unui punct de funcționare după tangentă. Dacă în literatură, atunci cînd se discută linearizarea, sunt utilizate ca variabile independente întrefierul și curentul în ipoteza miezului electromagnetic nesaturat, în lucrare se utilizează și o a doua metodă, în care ca variabile independente sunt considerate întrefierul și fluxul electromagnetic. Ideea utilizării fluxului ca variabilă în ecuațiile liniarizate este originală, neîntîlnită în literatură. Din analizele prezentate în anexa A2.1 se confirmă că modelul astfel liniarizat este mult mai apropiat de modelul neliniar, explicația fiind aceea că fluxul înglobează neliniaritatea principală a sistemului cu sustentație electromagnetică, reprezentată de inversa amplitudinii întrefierului.
- În anexa A2.1 se face o analiză de detaliu a variației coeficienților modelelor liniarizate cu *eliminarea fluxului* și cu *eliminarea curentului*, în raport cu întrefierul de liniarizare. Se determină plajele lor de variație, gradul de neliniaritate și se stabilesc în scopul unei posibile reglări adaptive, cu metoda celor mai mici pătrate, dreptele care aproximează cel mai bine variația lor.
- O altă idee originală este aceea că pentru fiecare proces cu sustentație electromagnetică de tipul S1E1GL există un punct de liniarizare optim în sensul minimizării erorilor în regim dinamic, dintre modelul neliniar și modelul liniarizat. Astfel în



anexa A2.2 se determină prin calcul puncte de cvasi-optimum în sensul arătat, puncte care apoi, dacă convin pot fi utilizate ca puncte de funcționare nominală.

- Modelele liniarizate permit descrierea matematică în spațiul stărilor a procesului. Prin alegerea setului de trei variabile de stare, pentru procesul de ordinul 3 se pot scrie modelele matematice intrare-stare-ieșire. Sunt derivate atât modelele larg utilizate în literatură în care pe lângă întrefier și viteza de variație a întrefierului se utilizează ca a treia variabilă de stare curentul respectiv accelerația și, ca o contribuție originală, un al treilea model în care a treia variabilă de stare este fluxul util al câmpului electromagnetic. Toate aceste sisteme sunt controlabile și observabile condiții necesare pentru proiectarea unui sistem de reglare cu implementare practică, bazat pe reacție după stare.
- Se arată prin calcul că datorită metodei de liniarizare, indiferent de modelul liniar folosit, fie liniarizat cu *eliminarea fluxului*, fie liniarizat cu *eliminarea curentului*, modele matematice intrare-stare-ieșire descrise de aceleași variabile de stare sunt identice, iar prin comportare la nivelul stărilor toate modelele sunt echivalente.
- Se efectuează o a doua analiză de detaliu a variației coeficienților modelelor matematice pe stare în funcție de întrefierul de liniarizare și se constată că variația ce mai mică o au coeficienții modelului cu a treia variabilă de stare fluxul. Se determină din nou cu metoda celor mai mici pătrate relații de aproximare liniare ale coeficienților în raport cu întrefierul.
- S-au comparat, din nou, pe baza răspunsului indicial, printr-o metodă originală modelele liniarizate cu modelul neliniar. Simulările au reconfirmat rezultatele anterioare care indicau o aproximare mai bună a sistemului original de către modelul liniarizat prin eliminarea curentului.
- Scrierea funcțiilor de transfer ale tuturor mărimilor fizice din proces în raport cu intrarea utilă - tensiunea de alimentare a electromagnetului - și cele două perturbații - forța exterioară și accelerația perturbatoare - permite atât stabilirea benzii de pulsație a proceselor considerate cât și o evaluare a acțiunii pe care aceste intrări o au asupra diferitelor mărimi. Se remarcă astfel, fapt neglijat în literatură că din punct de vedere al relației intrare-ieșire, efectul perturbațiilor poate fi cumulat într-o singură mărime (relația (2.56)).
- Sunt identificate apoi, de o manieră mai elaborată decât cea ce se găsește în prezent în literatură, tipurile de variație și cauzele mărimilor de intrare perturbatoare și sunt derivate sisteme exogene pentru acestea.
- În finalul paragrafului de tratare a S1E1GL se discută problema discretizării sistemului liniar, analizându-se un aspect deseori neglijat atât în lucrările academice cât și în practică și anume efectul timpului de întârziere de calcul asupra ordinului și aspectului sistemului discret.
- Modelarea sistemului cu 2 electromagneți și 1 grad de libertate este o idee cu totul originală, literatura ocupându-se fie doar cu modelarea S1E1GL fie direct cu S10E5GL. Abordarea acestui sistem s-a dovedit extrem de utilă în tratarea celor 5 subsisteme ale S10E5GL. Se ține cont în modelare atât de perturbații datorate mediului - forțe exterioare, șocuri,

vibrații - cit și a prelucrării mecanice deficitare, aspect practic de neevitat.

- S-au stabilit și pentru acest proces modelele liniarizate cu eliminarea curentului și eliminarea fluxului și s-au derivat relații de calcul pentru coeficienții de liniarizare. Modelul matematic intrare - stare - ieșire obținut este de ordinul 4, iar ca un element de noutate, se demonstrează că pentru ca sistemul să fie controlabil și observabil în situația utilizării S2E1GL în aplicații de ghidaj, este necesară pretensionarea electromagneților cu un procent din curentul de funcționare nominal.
- În urma calculului și analizei funcțiilor de transfer ale mărimilor din proces în raport cu intrările, se poate din nou concluziona că la nivelul intrare-ieșire, perturbațiile de tip forță exterioară, eroarea de prelucrare medie și accelerația față de referința absolută pot fi înglobate într-o singură variabilă cu caracter de mărime perturbatoare complexă.
- S-a imaginat apoi un model de laborator destinat experimentarilor constituit dintr-o pirghie ce are la capete două S2E1GL, unul ce caută printr-un sistem de reglare să mențină pirghia în echilibru și un al doilea, generator de perturbații, ajustabile ca amplitudine și formă prin prescriere.
- În fine, al treilea paragraf al capitolului se ocupă de modelarea, identificarea și scrierea modelului matematic liniar pentru un ax cu lagăre magnetice, adică un S10E5GL. Plecând de la rezultate prezentate în literatură, se arată că S10E5GL poate fi echivalat cu un ansamblu de 5 subsisteme de tipul S2E1GL cu interconexiuni. Aceste conexiuni pot fi reduse substanțial în condițiile unei prelucrări mecanice îngrijite, a alegerii dimensiunilor mecanice corespunzătoare și a înlăturării cuplajului datorat turației printr-un sistem de control adecvat.

În capitolul 3 s-au discutat metode de stabilizare și reglare a sistemelor cu sutentație electromagnetică. S-au prezentat metode pentru reglarea S1E1GL și pentru reglarea S2E1GL atât în domeniul continuu cât și în cel discret. Pentru început s-au arătat rezultate obținute în cazul unei reglări după stare, accentul punându-se în continuare pe reglare prin forțarea sistemului în regim alunecător.

- Într-un prim paragraf sunt proiectate două sisteme de reglare după stare, unul prin alocare de poli și unul utilizând problema regulatorului liniar pătratic cu o funcție obiectiv care minimizează variațiile de întrefier, variațiile de accelerație - pentru asigurarea confortului în cazul unui vehicul pe perna magnetică - și minimizarea variațiilor de energie prin comandă.
- Ca un element de noutate se compară efectul elementului de execuție, atunci când funcționarea lui este într-un cadran și atunci când se desfășoară în două cadrane și se identifică cauzele pentru care chopperul într-un cadran are rezultate mai slabe.
- Un element cu totul original îl constituie introducerea unui element bipozițional în circuitul de comandă al chopperului, element care prin efectul derivativ pe care îl introduce compensează parțial constanta de timp mare și variabilă a electromagnetului. Se arată că în acest fel se asigură o variație mult mai rapidă a curentului, ceea ce permite obținerea de rezultate comparabile pentru cazurile *chopper într-un singur cadran cu element bipozițional și chopper în două cadrane*.

- Avînd în vedere că sistemele cu sustentație electromagnetică sunt monovariabile la intrare, în prima parte a paragrafului 3 se face o sinteză a proiectării reguletoarelor cu structură variabilă ce induc regimul alunecător în sisteme monovariabile la intrare. Se arată că aceste reguletoare introduc în sistem, în vecinătatea originii spațiului stărilor oscilații de înaltă frecvență. Este larg acceptată în literatură ideea că eliminarea acestor oscilații se poate face prin introducerea unui "tub" de lățime arbitrară  $\varepsilon > 0$ , în locul suprafeței de comutație, în interiorul căreia regulatorul este de fapt un compensator de stare. Această metodă are ca dezavantaj faptul că sistemul de reglare are o eroare de regim staționar, cu atît mai mare cu cît valoarea lui  $\varepsilon$  este mai mare, iar ca un al doilea dezavantaj, se pierde din robustețea sistemului de reglare. În lucrare s-a prezentat o metodă originală pentru înlăturarea erorii de regim staționar, indiferent de lățimea "tubului", prin introducerea alături de elementul proporțional, a unui element integrator care să forțeze anularea funcționalei de stare și deci a erorii de regim staționar. S-a arată că această metodă permite aducerea lină, fără oscilații a stării sistemului pe suprafață de comutație și apoi alunecarea pe suprafață de comutație, fără oscilații pînă în originea spațiului stărilor. S-au dat soluții pentru proiectarea elementului de tip PI care conferă sistemului proprietățile menționate și s-a generalizat metoda, arătînd că, în funcție de cazul concret, în locul unui element de tip PI se poate introduce o funcție de transfer de o formă oarecare.
- Pentru S1E1GL s-au proiectat apoi mai multe variante de reguletoare cu structură variabilă, alegînd din cele trei modele matematice intrare-stare-ieșire, cel mai potrivit acestui tip de reglare, cel care prin aspect se apropie cel mai mult de forma canonică controlabilă. Ținînd cont de variațiile parametrilor procesului în funcție de întrefier, variații determinate în capitolul 2 și impunînd domeniul de variație admisibile pentru perturbații s-au proiectat pentru început în domeniul continuu
  - ◆ un sistem de reglare funcționînd în regim alunecător, nesupus pertrubațiilor
  - ◆ un sistem de reglare funcționînd în regim alunecător cu pertrubații semnificative pe canalele de forță exterioară și accelerație perturbatoare; s-a estimat și s-a confirmat prin simulările efectuate că datorită poziției nefavorabile a accelerației perturbatoare în modelul procesului, această mărime nu este rejectată din răspuns
  - ◆ datorită domeniile mari de variație a perturbațiilor, comanda trebuie să oscileze între două valori apropiate de maximum și minimum tensiunii de alimentare, astfel încît, pentru simplificarea algoritmului, are sens utilizarea unei funcții de tip releu ideal cu pragurile  $u_{max}$  și  $u_{min}$ ; robustețea sistemului crește în detrimentul unui consum mai mare de energie.
  - ◆ în scopul înlăturării oscilațiilor de frecvență ridicată din comandă, ce se fac resimțite în întregul sistem, s-a proiectat regulatorul cu structură variabilă cu zona de proporționalitate în vecinătatea funcției de comutație. Pe parcursul proiectării s-a făcut o analiză a modului în care parametrul  $K_H/\varepsilon$  afectează performanțele de reglare. Ca un element de noutate se arată că de fapt, avînd un singur grad de libertate, prin alegerea lățimii "tubului"  $\varepsilon$  se alege implicit amplificarea  $K_p$  și reciproc, selectarea unei valori pentru amplificare, determină implicit lățimea "tubului". Se subliniază eroarea de regim staționar proprie acestui algoritm de reglare.
  - ◆ eliminarea erorii de regim staționar și a oscilațiilor de frecvență ridicată se face prin proiectarea unui sistem ce utilizează un element PI la ieșirea blocului de calcul al funcționalei de stare. Se face o analiză detaliată a performanțelor de reglare în funcție

de parametri  $K_p/\varepsilon$  și  $T$ , ai elementului PI. În urma simulărilor efectuate se arată că această metodă originală conferă sistemului performanțe excelente, elimină oscilațiile de înaltă frecvență pe întreg parcursul răspunsului tranzitoriu și în regim staționar, sistemul astatic obținut comportându-se similar pe întreaga plajă de variație a întrefierului. Perturbațiile de tip forță exterioară sunt complet rejectate, sistemul este insensibil la variațiile parametrilor procesului. După cum era de așteptat, rezultate mai slabe sunt obținute în ceea ce privește rejectia accelerației perturbatoare.

- S-a arătat cu ocazia simulării sistemelor de mai sus că prin alegerea constantelor  $C_1$  și  $C_2$  ale funcțioanelor de stare, se poate impune sistemului de reglare dinamica dorită.
- Un subiect separat îl face problema rejectiei accelerației perturbatoare. Astfel în lucrare s-au propus două metode
  - ◆ rejectia perturbației din răspunsul întrefierului este absolută atunci când este posibilă utilizarea ca variabilă de stare în locul accelerației absolute a accelerației de variație a întrefierului. Sunt situații speciale în care această măsurare este posibilă sau estimarea acestei mărimi este posibilă. În funcție de acuratețea măsurării, respectiv a estimării, a benzii de frecvență în care mărimea este disponibilă, raportată la variațiile perturbației, această metodă poate fi utilizată cu mai mult sau mai puțin succes.
  - ◆ a doua metodă propusă în lucrare, metodă originală, niciodată - după cunoștințele autorului - amintită în literatură constă în utilizarea unei bucle interioare pentru reglarea curentului. Se arumentează, în lucrare, teoretic și se confirmă prin simulări că, atunci când bucla de curent este mult mai rapidă decât dinamica procesului de poziționare, este posibilă o decuplare a sistemului, regulatorul de curent și regulatorul pentru poziționare pot fi proiectate independent. Astfel
    - \* pentru regulatorul de curent s-au determinat condițiile în care viteza de răspuns în curent poate fi considerată mult mai rapidă decât variația părții mecanice a procesului. Se obține astfel ca un nou element de noutate, o condiție de alegere a tensiunii de alimentare a electromagnetului. În mod obișnuit tensiunea era un element nespecificat decât prin "rezerva de tensiune" pentru regimul dinamic, în cele mai multe situații aleasă în funcție de disponibilități. Metoda propusă în lucrare stabilește premisele pentru proiectarea unui electromagnet (inductanță, rezistență) legat de tensiunea de alimentare și de dinamica procesului de poziționare (banda de pulsații a regulatorului de curent mult mai largă decât cea a procesului).
    - \* echivalarea buclei de curent rapide cu un element proporțional, permite rescrierea ecuațiilor procesului și reducerea modelului la un sistem de ordinul 2, de data aceasta într-o formă controlabilă. Proiectarea unui regulator cu structură variabilă conduce la un răspuns al sistemului de reglare excelent, cu rejectia practic totală a perturbațiilor.
    - \* Frecvența de choppare ridicată (IGBT-uri pentru curenți mari și MOSFET-uri pentru curenți mai mici de 100 A) reduce oscilațiile de curent în electromagnet în mod semnificativ.
- Într-o a doua parte a capitolului s-a tratat problema reglării în domeniul discret al S1E1GL. Din punctul de vedere al regulatorului cu structură variabilă, în urma rezultatelor obținute în

domeniul continuu s-a considerat doar cazul funcționalei de stare cu element de tip PI pe ieșire. S-a arătat că în continuare dinamica procesului este dată de coeficienții funcționalei de stare, iar performanțele de regim staționar atît din punctul de vedere al întregului ansamblu cît și al anulării funcționalei de stare sunt date de un număr de 5 parametri  $K_R$ ,  $\xi$ ,  $T_n$ ,  $T_v$  și  $T_d$ . Utilizarea unei zone liniare în vecinătatea lui  $\sigma(x)=0$  elimină din start o problemă subliniată în literatură, legată de oscilațiile semnificative ale comenzii sistemelor cu structură variabilă datorate perioadei de eșantionare.

- În paragraful 3.6.1. s-a analizat cazul sistemului fără buclă interioară de curent, funcționala de stare fiind de ordinul 2, iar în paragraful 3.6.2, cazul sistemului cu buclă interioară de curent analogică și funcțională de stare de ordinul 1. S-a făcut pentru ambele situații o analiză detaliată a efectului celor 5 parametri asupra performanțelor de reglare. Modul de tratare al problemei se consideră a fi original, rezultatele obținute confirmînd justetea algoritmului de proiectare folosit.
- Una din constatările importante ale acestei analize se referă la timpul de intîrziere de calcul  $T_d$ ; cu cît acesta este mai mare cu atît perioada de eșantionare trebuie micșorată. Acesta observație este extrem de importantă din punct de vedere al implementării practice. Scrierea unui program care să minimizeze timpul de intîrziere de calcul permite utilizarea unei perioade de eșantionare mai mari și deci implementarea cu sisteme de calcul mai ieftine.
- Comparînd cele două sisteme de reglare numerice s-a constatat o comportare mai robustă, cu rejecția perturbațiilor într-o plajă mai largă, a sistemului cu buclă interioară de curent, motiv pentru care această metodă a fost preferată în reglarea S2EIGL tratat în continuare.
- S2EIGL este subsistemul de bază în reglarea lagărelor magnetice, motiv pentru care studiul său a fost considerat extrem de important. Deși cu o comandă unică, structura sistemului de reglare este constituită din două bucle de curent analogice, cîte una pentru fiecare electromagnet. Studiul întreprins a condus la un proces de poziționare abordabil pe baza unui model simplificat, redus la un sistem de ordinul doi, sub formă canonică controlabil în raport cu toate intrările utile sau perturbatoare, creînd premisele pentru proiectarea unui sistem cu structură variabilă robust atît la variațiile parametrilor cît și perturbații externe.
- Proiectarea regulatorului cu structură variabilă s-a făcut, în anexa A3.2, din nou printr-o analiză detaliată a efectului gradelor de libertate asupra performanțelor de reglare. Unul din aspectele importante subliniate în acesta analiză s-a referit la importanța curenților de pretensionare a electromagneților. Se arată astfel, ca un element de noutate, că banda de frecvență a procesului și a întregului sistem de reglare poate fi modificată prin curenții de pretensionare.
- Un alt aspect original al lucrării, îl constituie modul în care mărimile perturbatoare sunt echivalate cu perturbații întîlnite în practică: șocuri, vibrații, oscilații în raport cu axa de referință. Prin simulări extensive se demonstrează robustețea acestui sistem de reglare în raport cu ele.
- Se discută apoi problema rezonanțelor proprii sistemului, din nou un element care rareori este subliniat în literatură. S-a

identificat că în cazul lagărelor cu sustentație electromagnetică, una din cauzele majore ale rezonanțelor o constituie efectul giroscopic. Se dau soluții legate de filtre de tip "ac" pentru rejecția acestora, filtre ce își adaptează frecvența centrală în funcție de turația axului.

În capitolul 4 s-au discutat tipuri de estimatoare de stare, necesare în cazul sistemelor cu sustentație electromagnetică, având în vedere că starea procesului nu este complet măsurabilă. S-a pornit de la problema estimatoarelor de  $Fx$  care apoi poate fi particularizată la estimatoare de stare de ordin complet, estimatoare de  $Fx$  de ordin redus, estimatoare de stare de ordin redus și estimatoare de funcțională liniară de stare.

- Pentru început s-au discutat estimatoare de  $Fx$  liniare de tip Luenberger și prin particularizare s-au identificat cele care își găsesc aplicația în sistemele cu sustentație electromagnetică.
- Similar, după ce s-au definit estimatoarele (filtrele) Kalman, s-a arătat că pentru sistemele cu sustentație electromagnetică pot fi utilizate, pentru cazul continuu doar filtrele invariante, iar pentru cazul discret și cele variabile în timp.
- Pornind de la două lucrări în care sunt discutate probleme ale estimării stării cu sisteme cu structură variabilă, ca o contribuție originală a acestei lucrări se face o generalizare a problemei estimatoarelor de  $Fx$  pentru sisteme cu parametrii variabili, cu perturbații atât în cadrul ecuațiilor de stare cât și în ecuațiile de ieșire. Problema, complexă din punct de vedere matematic, este utilă mai puțin prin aplicarea practică - condițiile care trebuiesc îndeplinite pentru existența și construcția estimatorului fiind destul de restrictive - dar relevant de utilă prin particularizările care se pot face pentru toate tipurile de estimatoare menționate mai sus, cu aplicații și în cazul sistemelor cu sustentație electromagnetică. Prin modul de construcție al estimatorului, toate elementele incerte - parametrii variabili ai procesului, perturbații - sunt înglobate în cadrul ecuațiilor într-un termen care în timp se anulează, în acest sens estimatorul fiind extrem de robust.
- S-au făcut apoi simulări pentru tipurile de estimatoare discutate. Astfel:
  - ◆ S-a construit un estimator de stare de tip Luenberger, independent de parametrii procesului, printr-un artificiu datorat măsurării accelerației absolute. Prin simulări s-a arătat nu numai validitatea estimatorului dar s-au studiat și efectele zgomotelor de măsură asupra mărimilor estimate. Se constată astfel că zgomotele introduse pe canalul de măsurare a întrefierului afectează substanțial estimată accelerației. S-au stabilit astfel condiții de care trebuie ținut cont în prelucrarea semnalului de întrefier (filtrare). Se compară apoi răspunsul SIEIGL cu estimarea întrefierului și accelerației cu răspunsul SIEIGL în care s-a considerat întreaga stare măsurabilă, constatându-se diferențe minore. Structura estimatorului poate fi păstrată și în cazul reglării numerice prin simpla discretizare a ecuațiilor estimatorului s-a obținut un estimator discret, simulările arătând din nou, prin modul de proiectare, diferențe mici între mărimile reale și cele estimate.
  - ◆ S-a sintetizat un filtru Kalman continuu și invariant și s-a arătat că de fapt se regăsește aceeași structură ca și în cazul estimatorului Luenberger, diferența constând doar în modul de alegere a datelor de proiectare. Astfel se arată că prin alegerea unor matrice de covarianță pentru zgomotele de pe canalele de măsură, caracterizând zgomote pronunțate, de fapt se coboară frecvența de fringere a

estimatorului Kalman, denumirea de "filtru" Kalman găsindu-și pe deplin justificarea. S-au discutat apoi pe scurt problemele legate de implementarea practică a unor estimatoare Kalman discrete și variante și s-a considerat că în cazul sistemelor cu sustentație electromagnetică, sisteme considerate rapide, volumul de calcule necesar pentru rezolvarea problemei necesită un echipament de calcul nejustificat de scump, având în vedere că există și alte soluții mai ieftine.

- ◆ Prin particularizarea estimatorului de  $FX$  cu funcționare în regim alunecător, în prima parte a capitolului, s-au construit estimatoare de stare pentru sistemul de reglare cu funcțională de stare de ordinul 2, în care procesul are ordinul 3 și estimatoare de stare pentru sistemul de reglare cu funcțională de stare de ordinul 1, proprie sistemului cu buclă interioară de curent. Astfel
  - \* se construiește pentru cazul continuu un prim estimator de stare de ordinul 3 complet, testat apoi prin simulare în situația în care măsurările nu sunt afectate de zgomote și în cazul în care pe canalele de măsură sunt prezente zgomote albe. Se constată că estimarea întrefierului și a curentului este extrem de precisă și rejecția zgomotului de măsură este spectaculoasă. Viteza estimată este doar ușor defazată în urma mărimii reale a procesului, defazaj care poate fi redus prin creșterea benzii de frecvență a estimatorului.
  - \* în literatura de specialitate nu se discută aspecte ale discretizării unui astfel de estimator și în lucrarea de față se prezintă o metodă originală care se caracterizează în special prin simplitate. Se arată apoi că datorită perioadei de eșantionare finite, oscilațiile care apar datorită elementului neliniar sunt cu atât mai pronunțate cu cât perioada de eșantionare este mai mare, motiv pentru care este necesară introducerea "tubului" utilizat și în algoritmul de reglare. Se demonstrează astfel prin simulări că este suficient a utiliza doar o componenta proporțională la ieșirea funcționalei de stare, eroarea de regim staționar putând, în acest caz, fi neglijată. Rezultatele sunt similare cu cele din cazul continuu, introducerea "tubului" asigurând la ieșire mărimi chiar mai netede decât în cazul continuu.
  - \* un ultim estimator cu funcționare în regim alunecător este construit pentru cazul sistemului cu buclă interioară de curent, pentru cazul discret. Banda de frecvențe a estimatorului a fost crescută pentru a micșora defazajul între viteza estimată și viteza reală. Prin simulări, cu și fără element proporțional la ieșirea funcționalei de stare de ordinul 1, se demonstrează comportarea excelentă a estimatorului.
- ◆ Metoda utilizată în proiectarea estimatoarelor s-a abatut de la cea precizată în partea teoretică și constituie un alt element de originalitate al lucrării. S-a considerat ca o posibilă soluție, mult mai puțin laborioasă, dar nu întotdeauna aplicabilă, alegerea matricei  $Q$  de tip unitate, astfel încât să se poată determina direct o soluție numerică a ecuației algebrice Ricatti. Această abordare are și avantajul că asigură cea mai rapidă scădere a erorii către zero.
- ◆ Se apreciază că mare parte a acestui capitol, legat în special de estimarea în regim alunecător este originală oferind soluții și metode noi de abordare a conducerii sistemelor cu sustentație electromagnetică. Numai o parte a

estimatorilor care pot fi derivate din cazul general au fost implementate, existând numeroase alte variante, atât din punct de vedere al structurii cât și al mărimilor care pot fi utilizate ca mărimi măsurate și cel al mărimilor care pot fi estimate.

În capitolul 5 s-au arătat modalități de implementare practică a reguletoarelor pentru sisteme cu sustentație electromagnetică. Se discută atât elemente legate de implementarea regulatorului propriu-zis în domeniul continuu și în domeniul discret cât și a elementului de execuție, considerat parte integrantă a procesului condus.

- O prima schemă de reglare analogică, realizată cu amplificatoare operaționale este construită pentru sistemul de reglare după stare, cu estimator liniar de tip Luenberger. Schema a fost aplicată pentru stabilizarea și reglarea unei roți magnetice în cadrul proiectului MAGNIBUS.
- O a doua schemă de reglare, utilizată în stabilizarea unei axe a rotorului cu lagăre electromagnetice este realizată tot cu amplificatoare operaționale. Estimatorul de ordinul 2 are doar o intrare - întrefierul - și regulatorul este de tipul cu structură variabilă. Este o metodă originală de implementare analogică a unui regulator cu structură cvasi-variabilă, fără comutatoare analogice.
- Un element de noutate în implementare îl constituie ideea utilizării circuitelor specializate pentru surse de alimentare în comutație, ca regulator în bucla interioară de curent. S-a demonstrat prin simularea circuitului analogic, posibilitatea utilizării unui astfel de circuit, simplificând mult circuitul de comandă al chopperului.
- Sunt prezentate apoi ca și elemente de execuție scheme electronice a chopperului în două cadrane, într-o variantă dedicată sistemelor cu curenți mari (vehicule pe perna magnetică) cu IGBT-uri și o a doua pentru sisteme de curent relativ redus (lagăre cu sustentație electromagnetică) cu MOSFET-uri de putere. Schemele sunt utilizate în aplicații de control industrial, adaptate în lucrarea de față sistemelor considerate.
- S-au scris apoi programele în C pentru două algoritme legate de reglarea numerică cu funcționare în regim alunecător. S-au căutat combinații regulator-estimator care să cuprindă cât mai multe elemente prezentate în lucrare. Astfel, primul algoritm s-a scris pentru cazul funcționării de stare de ordinul 2, cu estimator de stare liniar de tip Luenberger, iar al doilea presupune existența buclei de curent analogice, estimator de stare cu funcționare în regim alunecător și regulator cu funcțională de stare de ordinul 1.
- Contorizând apoi intervalul scurs din momentul declanșării primei achiziții și pînă la generarea comenzii se apreciază întârzierea de calcul pentru rularea programului pe un micro-controller din familia Intel MCS-96 cu ceasul de 16 MHz, adică un ciclu mașină de 125 nsec. Se constată că întârzierea de calcul este mai mică decît cele 100 μsec luate în considerare în proiectare
- Se arată că optimizarea sursei prin scrierea programului la nivel de limbaj de asamblare reduce semnificativ acest interval de timp.
- Așa cum s-a menționat mai sus, optimizarea programului din punctul de vedere al minimizării timpului de întârziere de calcul este probabil cel mai important aspect al implementării software. Aceasta permite lucrul cu o perioadă de eșantionare mai mare și deci utilizarea unui micro-controller mai ieftin. Acest aspect este privit în lucrare și din alt



punct de vedere: utilizarea unui echipament de calcul performant și optimizarea programului, utilizarea apoi a unei perioade de eșantionare mai mari, permite reglarea unui întreg ansamblu al unui S10E5GL cu un singur microprocesor, soluție care evident ieftinește întregul sistem.

În capitolul 6 s-au prezentat cele mai reprezentative rezultate experimentale obținute de autor în decursul anilor în domeniul sistemelor cu sustentație electromagnetică:

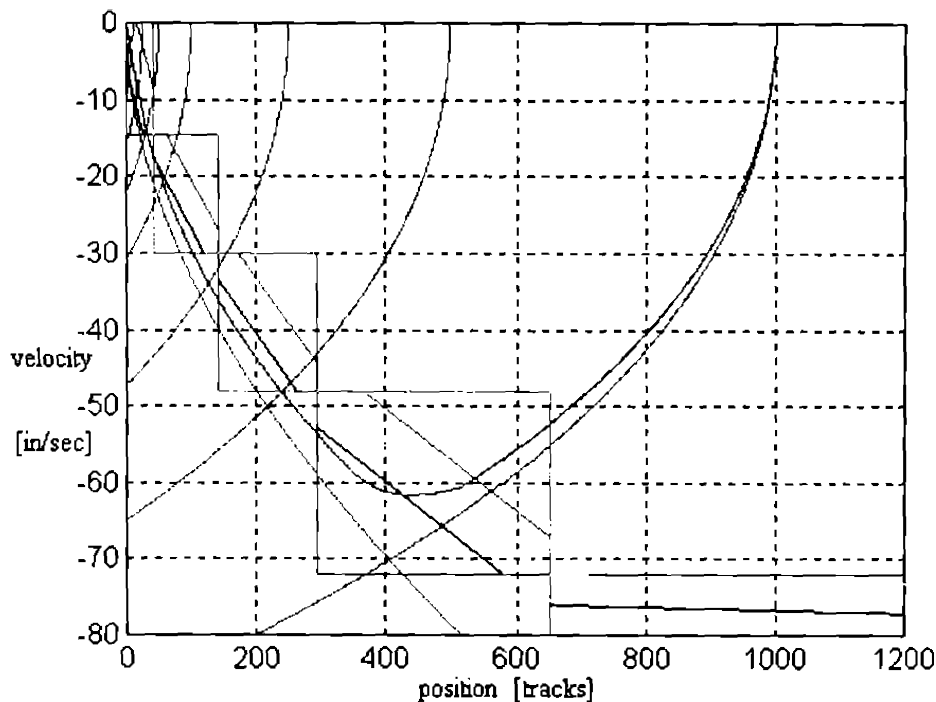
- Au fost reprezentate și comentate rezultate experimentale legate de vehiculele cu sustentație electromagnetică, măsurările făcându-se pe prototipul MAGNIBUS-01. Multe dintre subansamblele acestui vehicul sunt contribuții originale ale autorului lucrării de față, plecând de la traductoarele de întefier și choppers și pînă la părți din proiectarea și implementarea sistemului de control.
- Un al doilea set de rezultate experimentale s-a referit la mașina de inducție cu lagăre electromagnetice. Se apreciază că realizarea unui astfel de model, cu performanțele dinamice de proiectare satisfăcute la 20000 rpm, în condițiile de prelucrare mecanică a rotorului și a componentelor electronice avute la dispoziție constituie un succes deosebit.

Un aspect care trebuie subliniat este că pe parcursul întregii lucrări, s-au avut continuu în vedere posibilitățile practice de implementare astfel încît, plecînd de la rezultatele stabilite, drumul către un produs care să poată fi oferit pieței să fie cît mai scurt.

## 7.2 Direcții de cercetare viitoare

Ca întotdeauna la sfîrșitul unei lucrări, s-au cristalizat idei care ar putea ridica în continuare calitate stabilizării și reglării sistemelor cu sustentație electromagnetică. De la început lucrarea nu a avut ambiția de a avea ultimul cuvînt în sustentația electromagnetică, ci doar să aducă o contribuție la numeroasele studii care s-au făcut și se vor face și mai departe. Se sugerează în continuare cîteva direcții de cercetare viitoare:

- În paragraful 3.5 se discută posibilitatea unei reglări adaptive, din punct de vedere al curbei de comutație, care să țină cont de poziția inițială și încărcarea sistemului ce trebuie adus în starea finală. În [T8], [T9] s-a făcut un astfel de studiu legat tot de un proces de poziționare și rezultatele au fost extrem de promițătoare, iar în [LS] și [WS] se discută o problemă asemănătoare. Ideea directoare este că prin utilizarea unui algoritm bazat pe logică fuzzy, neliniaritatea sistemului cu sustentație electromagnetică poate fi compensată prin modul de alegere al funcțiilor de apartenență fuzzy. Astfel în figura 7.1 este prezentată o traiectorie reprezentativă în planul (*poziție, viteză*) atunci cînd eroarea de poziție este adusă dintr-o stare inițială de repaus, de la 1000 de pași elementari la zero (curba trasată cu verde). Comanda regulatorului fuzzy are doar 3 stări (valori lingvistice) delimitate de dreptunghiurile trasate cu mov: "negativ mare" - porțiunea de sub anile delimitate de dreptunghiuri, "zero" - interiorul dreptunghiurilor și "pozitiv mare" - porțiunea de deasupra anilor delimitate de dreptunghiuri. Cu albastru deschis sunt trasate traiecroiile limită, acele traiectorii care corespund unor comenzi de tipul  $u_{c,max}$  (pleacă din punctele de coordonate (1000,0), (500,0), (100,0), (50,0) și (10,0)) respectiv de tipul  $u_{c,min}$ , unica traiectorie care aduce sistemul în origine.



**Figura 7.1. Evoluția în planul stărilor a unui sistem de poziționare bazat pe logica fuzzy**

Funcțiile de apartenență pentru comandă sunt astfel alese încât valoarea comenzii este  $u_{c,max}$  atunci când starea sistemului este deasupra curbei delimitate cu roșu și  $u_{c,min}$  atunci când starea este dedesubtul curbei delimitate cu albastru, curba trasată cu galben reprezentând o comandă nulă.

Se poate observa că întreaga algoritme este o combinație a unei probleme de optimizare cu timp minim (curbe limită) și a unei probleme de reglare în regim alunecător cu o lățime a "tubului" cuprinsă între curba albastră și cea roșie.

Rețineră avută în utilizarea acestei metode în lucrare, se datorează calculelor extensive proprii algoritmilor fuzzy. Este însă posibil ca în scurt timp, procesoare sau co-procesoare "fuzzy" să facă posibilă rularea unui astfel de algoritm în timp suficient de scurt ca el să poată fi aplicat sistemelor cu susținere electromagnetică.

- O a doua problemă care ar putea fi studiată se referă la determinarea unor algoritme pentru sisteme de reglare ierarhic superioare sistemului de reglare de bază de tipul S1E1GL sau S2E1GL. Astfel centralizarea datelor de la toate "roțile magnetice" - în cazul vehiculului cu penna magnetică - respectiv de la toate axele unui rotor cu lagăre electromagnetice ar putea fi utilizate în generarea unor prescrieri pentru aceste subsisteme. Având în vedere complexitatea problemei, dificultățile legate de a descrie matematic comportarea întregului sistem în diferite situații, apreciem că acest algoritm ar putea fi bazat pe logica fuzzy sau rețele neuronale.
- Așa cum s-a menționat, au fost testate doar un număr limitat al variantelor de estimatoare de  $Fx$  funcționând în regim alunecător. O comparație a tuturor tipurilor posibile ar fi probabil de interes.

- În fine, este foarte posibil ca în urma unor experimentări extensive, atât pe modelul de laborator descris în lucrare cât și mai târziu pe prototipuri de vehicule cu pernă magnetică sau lagăre magnetice să ridice noi probleme cărora va trebui să li se găsească soluție. Dacă modelul de laborator nu ridică probleme complexe în construcție, prețul unui prototip din cele menționate este însă semnificativ, motiv pentru care ar trebui găsit un sponsor interesat în domeniu.

În mod sigur cititorii acestei lucrări vor avea mult mai multe idei decât cele menționate mai sus.

## Bibliografie:

- [A1]: Ahrens,M., Kučera,L., Larssonneur,R. - *Performance of a Magnetically Suspended Flywheel Energy Storage Device*, IEEE Trans. on Control Systems Technology, Vol.4, No. 5, Sept. 1996, pag 494-502
- [B1]: Bleuler,H., Gähler,C , Herzog,R.,Larssonneur,R., Mizuno,T., Siegwart,R., Woo,S. - *Application of Digital Signal processors for Industrial Magnetic Bearings*, IEEE Trans. on Control Systems Technology, Vol.2, No. 4, Dec. 1994, pag 280-289
- [B2]: Boldea,I - *Vehicule pe pernă magnetică*, Ed. Academiei RSR, 1981
- [B3]: Boldea,I, Trica,A.R., Papusoiu,G. - *Preliminary Field Tests on Magnibus-01, a Maglev with Passive Guideway Linear Inductor Motors*, The 2-nd Intern. Conf. on Electrical Drives - Poiana Brasov, 1988, pag. C.4.5.1-C.4.5.10
- [B4]: Boldea,I., Dragomir,T.L., Hauler,E., Trica,A.R. - *Magnibus - The Romanian Linear Induction (Synchronous) Motor (Passive Guideway) Maglev*, Int. Conf. on Maglev Transport, Birmingham, pag. 149-154
- [B5]: Boldea,I., Trica,A.R., Papusoiu,G. - *Magnibus-01, the Romanian Maglev Vehicle*, IEEE Trans. on Vehicular Technology, Nov. 1988, vol.37, No.4 pag.213-219.
- [B6]: Boldea,I., Morcov,N , Trica,A.R., Schulhoff,G - *High Speed Induction Motor Drive with Active Magnetic Bearings and Sliding Mode Decentralized Control*, Electric Machines and Power Systems, No.4-5, vol.18, 1990, p.375-382
- [B7]: Boldea,I., Trica,A.R. - *Sistem integrat pentru reglarea levitației și propulsiei la vehicule pe pernă magnetică*, Brevet de Inventie nr. 94795/1986
- [B8]: Boldea,I., Pfeiffer,I., Trica,A.R. - *Modified Sliding Mode Versus PI Control of a Current Controlled Field Oriented Induction Motor Drive*, Electric Machines and Power Systems, Vol.16, No.3 1989, pag. 209-223
- [B9]: Boldea,I., Trica,A.R. - *Torque Vector Controlled (TVC) Voltage-Fed Induction Motor Drives - Very Low Speed Performance Via Sliding Mode Control*, International Conference on Electrical Machine, ICEM, 13-15 August, 1990 MIT, Cambridge/Massachusetts, pag.1212-1217
- [C1]: Crămer,W, Roche,C. - *Einsatzerweiterter Zustandsbeobachter zur Verbesserung des Verhaltens von Magnetfahrzeugen*, Frankfurt/M, VDI/VDE Gesellschaft für Mess- und Regelungstechnik, Februar 1975
- [D1]: Davis,M.H., Vinter,R.B. - *Stochastic Modeling and Control*, Chapman and Hall, New York, 1979
- [D2]: Dragomir,T.L. - *Reglatoare Autoamte*, vol. I, curs, IPTVT 1986
- [D3]: Dragomir,T.L., Preitl,S., Trica,A.R. - *Reglatoare Automate*, vol. II, curs, IPTVT, 1989
- [D4]: Dragomir,T.L. - *Sisteme cu mașini electrice cu levitație electromagnetă*, Teza de doctorat, IPTVT, 1982
- [D5]: Dragomir,T.L., Trica,A.R. - *Asupra unor metode pentru compensarea forțelor exterioare perturbatoare la vehicule cu sustentație electromagnetă*, Simpozion Craiova 1986, vol.1, pag.124-129
- [D6]: Dragomir,T.L., Trica,A.R. - *Vibrator cu capacitate portantă mare*, Brevet de inventie Nr. 94076/1986
- [D7]: Dragomir,T.L., Trica,A.R. - *Über einen Zweipunktregelkreis*, Bul. St. și Teh. IPTVT, Timișoara, Tom 30 (44)/1985, pag 103-106
- [F1]: Fearnside,J.J., Hedrick,J.K., Firouztach,H. - *Specification of Ride Quality Criteria for Transportation Systems: The State of the Art and a New Approach*, High Speed Ground Transportation Journal, Vol.8, No.2, 1974, pag. 125-132
- [F2]: Fujita,M, Namerikawa,T., Matsumura,F, Uchida,K. -  *$\mu$ -Synthesis of an Electromagnetic Suspension System*, IEEE Trans. on Automatic Control, vol.40, No.3, pag.530-536, March 1995
- [G1]: Gao,W , Wang,Y., Homaifa,A - *Discrete-Time Variable Structure Control Systems*, IEEE Trans. on Industrial Electronics, Vol.42, No.2, Apr.1995, pag.117-122
- [G2]: Gottzein,E. - *Das "Magnetische Rad" als autonome Funktionseinheit, modularer Trag- und Führungssysteme für Magnetbahnen*, VDI Meß- - Steuerung - und Regelungstechnik, 1984

- [G3]: Grumble, M., Johnson, M. - *Optimal Control and Stochastic Estimation: Theory and Applications*, John Wiley & Sons, Chichester, 1988
- [H1]: Herzog, R., Bühler, P., Gähler, C., Larsonneur, R. - *Unbalance Compensation Using Generalized Notch Filters in the Multivariable Feedback of Magnetic Bearings*, IEEE Trans. on Control Systems Technology, Vol.4, No. 5, Sept. 1996, pag. 580-586
- [I1]: Ionescu, V. - *Teoria sistemelor*, vol. 1, Ed. Did. și Ped., București, 1985
- [J1]: Jayawant, B.V. - *Development of 1-Ton Magnetically Suspended Vehicle Using Controlled DC Electromagnets*, Proc. IEE, Vol. 123, No.9, Sept. 1976, pag. 941-948
- [J2]: Jamshidi, M., Tarokh, M., Shafai, B. - *Computer-Aided Analysis and Design of Linear Control Systems*, Prentice Hall, Englewood Cliffs, New Jersey
- [J3]: Joo, S., Seo, J. - *Design and Analysis of the Nonlinear Feedback Linearization Control for an Electromagnetic Suspension System*, IEEE Trans. on Control Systems Technology, Vol.5, No. 1, January 1997, pag. 135-144
- [K1]: Kachroo, P., Tomizuka, M. - *Chattering Reduction and Error Convergence in the Sliding-Mode Control of a Class of Nonlinear Systems*, IEEE Trans. on Automatic Control, Vol.41, No. 7, July 1996, pag. 1063-1068
- [K2]: Kim, C.-H., Lee, C.-W. - *In Situ Runout Identification in Active Magnetic Bearing System by Extended Influence Coefficient Method* IEEE Trans. on Mechatronics, Vol.2, No. 1, March 1997, pag. 51-57
- [K3]: Kwakernaak, H., Sivan, R. - *Linear Optimal Control Systems*, Wiley Interscience, New York, 1972
- [L1]: Larsonneur, R. - *Design and Control of Active Magnetic Bearing Systems for High Speed Rotation*, Dissertation, ETH No. 1940, Zürich
- [L2]: Lu, Y., Chen, J. - *Design of a Perturbation Estimator Using the Theory of Variable-Structure Systems and Its Application to Magnetic Levitation Systems*, IEEE Trans. on Industrial Electronics, Vol.42, No. 3, June 1995, pag. 281-289
- [L3]: Luenberger, D.G. - *Observing the State of a Linear System*, IEEE Trans. on ME, 1964 pg. 74
- [L4]: Luenberger, D.G. - *Introduction to Dynamic Systems*, J Wiley & Sons, New York, 1979
- [L5]: Lung, Y., Chen, J. - *A Self-Organizing Fuzzy Sliding-Mode Controller Design for a Class of Nonlinear Servo-Systems*, IEEE Trans. on Industrial Electronics, Vol.41, No. 5, Oct. 1994, pag. 492-502
- [M1]: Matsumura, F., Kobayashi, H., Akiyama, Y. - *Fundamental Equation for Horizontal Shaft Magnetic Bearing and ITS Control System Design*, Electrical Engineering in Japan, Vol.101, No.3, 1981, pag. 123-130
- [M2]: Mohamed, A., Busch-Vishniac, I. - *Imbalance Compensation and Automation Balancing in Magnetic Bearing Systems Using the Q-Parameterization Theory*, IEEE Trans. on Control Systems Technology, Vol.3, No. 3, June 1995, pag. 202-211
- [M3]: Morishita, M., Ida, T. - *Constant Gap Width Control of Magnetic Levitation Systems by Attractive Force*, Electrical Engineering in Japan, Vol.103, No.3, 1983, pag. 91-99.
- [R1]: Rundell, A.E., Drakunov, S., DeCarlo, R.A. - *A Sliding Mode Observer and Controller for Stabilization of Rotational Motion of a Vertical Shaft Magnetic Bearing*, IEEE Trans. on Control Systems Technology, Vol.4, No. 5, Sept. 1996, pag. 598-608
- [S1]: Senatori, L. - *Rechenmodelle zur Simulation des Systemes Magnet-Schiene für Schnellbahnen*, ETZ-a Band 97, Heft 3, 1976, pag. 137-176
- [S2]: Shinha, P.K. - *Electromagnetic Suspension. Dynamics & Control* - Peter Peregrinus Ltd., London, 1987
- [S3]: Shinha, P.K. - *Some Structural Properties of the Electromagnetic Suspension Systems*, 1988
- [S4]: Slotine, J., Li, W. - *Applied Nonlinear Control*, Prentice Hall, Englewood Cliffs, New Jersey
- [S5]: Slotine, J., Hedrick, J.K., Misawa, E.A. - *On Sliding Observers for Nonlinear Systems*, IEEE Proceedings, Dec. 1986, pag. 1794-1800
- [T1]: Trica, A.R., Boldea, I. - *New Sliding Mode Versus State-Feedback Control of Electromagnetic Levitation Systems*, The 2-nd International Conference on Electrical Drives - Poiana Brasov, 1988, pag. D1.7.1-D1.7.10
- [T2]: Trica, A.R. - *Traductor inductiv pentru măsurarea întrefierului cu aplicații la vehicule cu susținere electromagnetică*, Simpozion Craiova, 1986, vol.3, pag. 396-400

- [T3]: **Trica, A.R., Dragomir, T.L.** - *Sistem de comandă hipozițională pentru acționarea chopperului unei roți magnetice*, Brevet de invenție, Nr.94967/1986
- [T4]: **Trica, A.R., Dragomir, T.L.** - *Estimator de stare pentru un proces multi-integrator*, Simpozionul de Calculatoare, Timișoara, 1989, vol.II, pag.117-118
- [T5]: **Trica, A.R.** - *Modelarea proceselor conduse din cadrul sistemelor cu susținere electromagnetică*, Referat de doctorat, IPTVT, ianuarie 1992.
- [T6]: **Trica, A.R.** - *Reglarea sistemelor cu susținere electromagnetică*, Referat de doctorat, IPTVT, aprilie 1993.
- [T7]: **Trica, A.R., Precup, E., Popescu, M.** - *Ingineria reglării automate și tehnici avansate*, Lucrări de laborator, UTT, Timișoara 1995
- [T8]: **Trica, A.R.** - *Head Positioning Servo-System for HDD - The Sliding Mode Control* - Internal Report, Mentalogic Systems Inc., Markham, May 1995
- [T9]: **Trica, A.R.** - *Head Positioning Servo-System for HDD - The Fuzzy Logic Control* - Internal Report, Mentalogic Systems Inc., Markham, January 1996
- [T10]: **Traxler, A., Schweitzer, G.** - *Measurement of Force Characteristics of a Contactless Electromagnetic Rotor Bearing*, Institut für Mechanik, ETH, Zürich, 1984, pag.187-191
- [U1]: **Utkin, V.I.** - *Sliding Modes and Their Application in Variable Structure Systems*, MIR Publishers, Moscow 1978
- [U2]: **Utkin, V.I.** - *Sliding Modes in Control and Optimization*, Springer Verlag, Berlin Heidelberg, 1992
- [W1]: **Walcott, L.B., Zak, S.H.** - *Observation and Control of Nonlinear Uncertain Systems: A Variable Structure Approach*, Report, Purdue University, 1986
- [W2]: **Wang, J., Lee, T., Juang, Y.** - *New Methods to Design a Variable Structure Controller*, IEEE on Transaction Control, Vol.41, No.1, Jan. 1996, Pag.140-143
- [W3]: **Westkämpfer, E., Hörseman, W.** - *Hochgeschwindigkeits - Innenrundscheiben mit aktiv magnet-gelagerten Spindeln*, DIMA, No.6, 1990, pag.60-65
- [W4]: **Willems, J.C.** - *Stability Theory of Dynamical Systems*, John Wiley & Sons, New York, 1970
- [W5]: **Wu, J., Liu, T.** - *A Sliding Mode Approach to Fuzzy Control Design*, IEEE Trans. on Control Systems Technology, Vol.4, No. 2, March 1996, pag.141-151
- [Y1]: **Yamamura, S., Abe, S., Hayagashi, T.** - *Attractive Electromagnet Levitation of Vehicles*, Electrical Engineering in Japan, Vol.94, No.3, 1974, pag.72-9
- [Y2]: **Yamamura, S., Abe, S.** - *Control and Speed Characteristics of Magnetically Levitated Vehicles of Attractive-Magnet Type*, Electrical Engineering in Japan, Vol.96, No.3, 1976
- [Y3]: **Young, K. (editor)** - *Variable Structure Control for Robotics and Aerospace Applications*, Elsevier Science Publishers, 1993
- [\*1]: \*\*\* - *SIMULINK - Dynamic System Simulation Software*, V1.3, The MathWorks Inc., 1995
- [\*2]: \*\*\* - *Control System Toolbox, User's Guide*, V1.2, The MathWorks Inc., 1994
- [\*3]: \*\*\* - *Fixed-Point Blockset, User's guide*, The MathWorks Inc., 1996
- [\*4]: \*\*\* - *Linear Technology - 1994 Linear Databook*
- [\*5]: \*\*\* - *Eupec - 1997 Databook*
- [\*6]: \*\*\* - *Nickel-Iron and Supermandur Cut Cores*- Magnetics Inc.